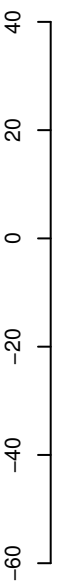
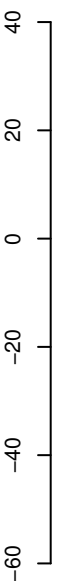


AeAeg_Whole_ZIKVdr_In2_GP.18_23.rep



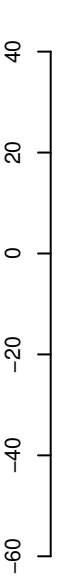
positive=1286, negative=805, total=2091

AeAeg_Whole_ZIKVdr_In2_GP.24_35.rep



positive=159, negative=59, total=219

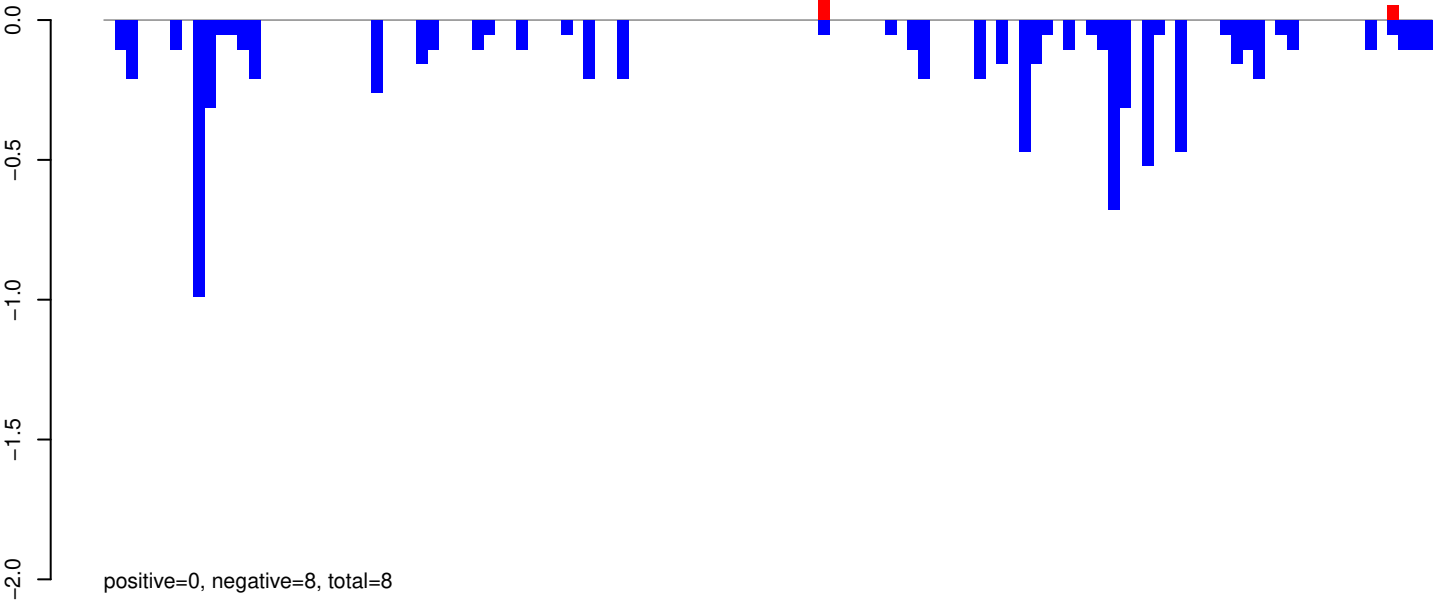
AeAeg_Whole_ZIKVdr_In2_GP.rep



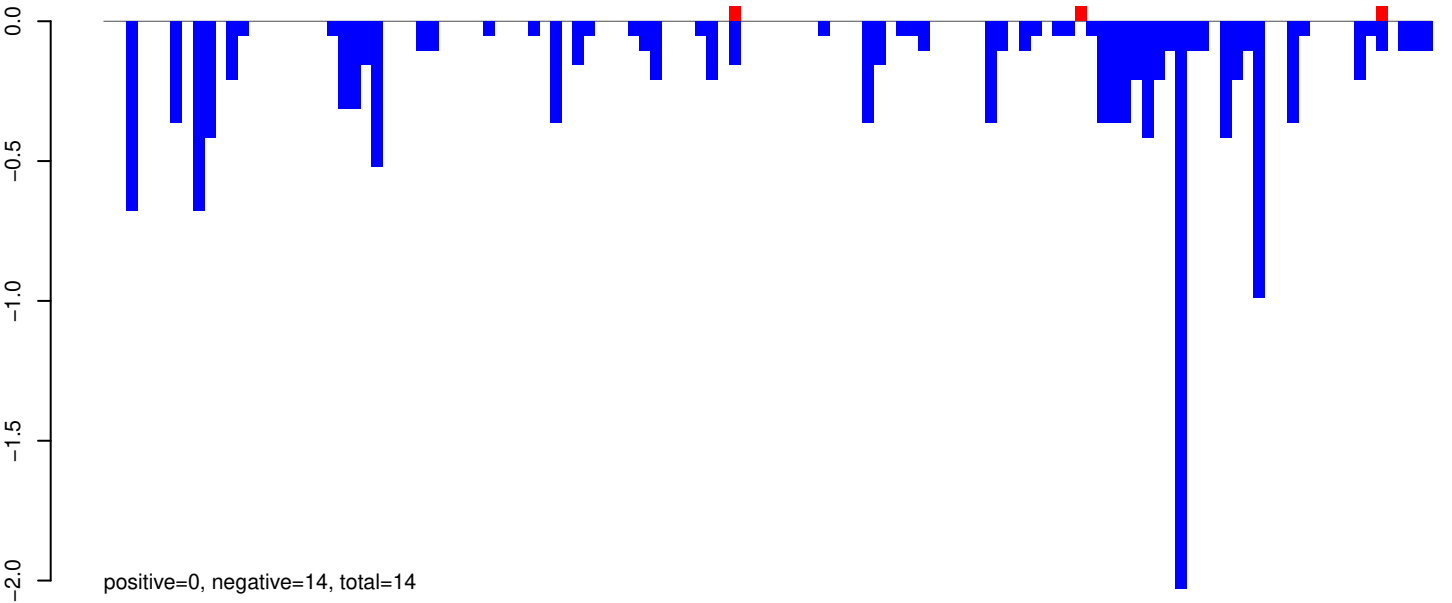
positive=1445, negative=865, total=2310, index=865, size=25,201, path=10794, virus@NC_012532.1-Zika_virus_isolate_ZIKV_Monkey_Uganda_MR766_1947:1-10794



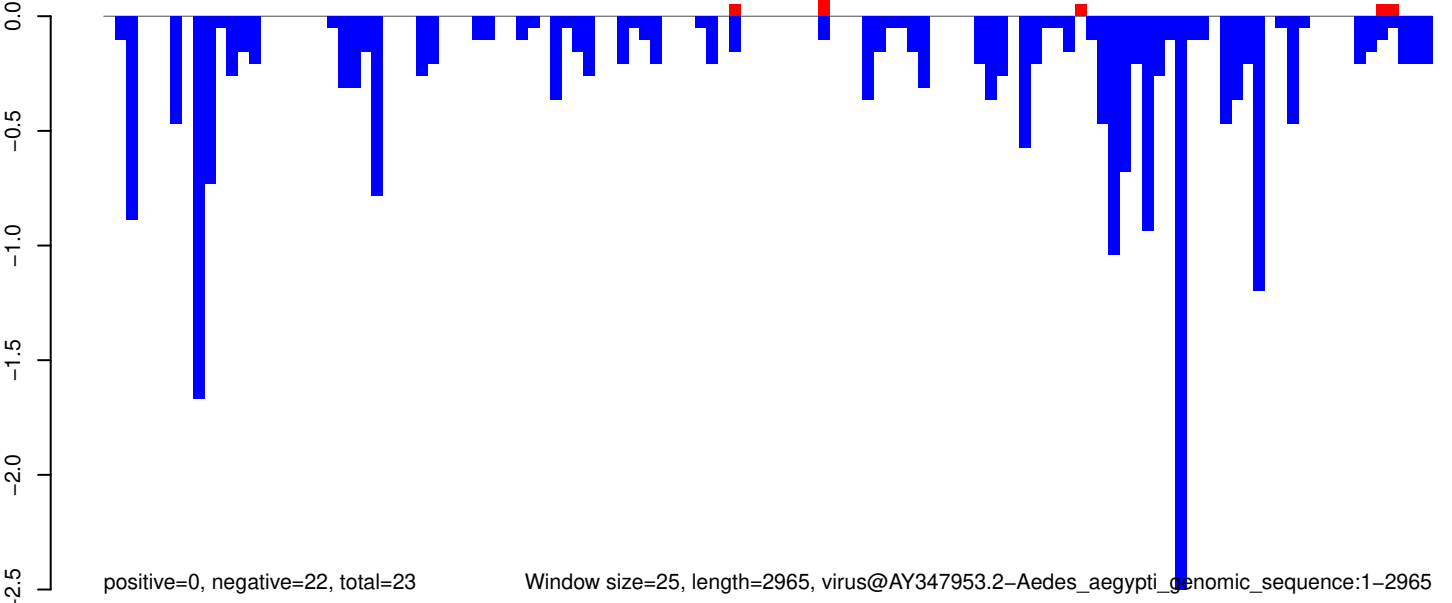
AeAeg_Whole_ZIKVdr_In2_GP.18_23.rep



AeAeg_Whole_ZIKVdr_In2_GP.24_35.rep



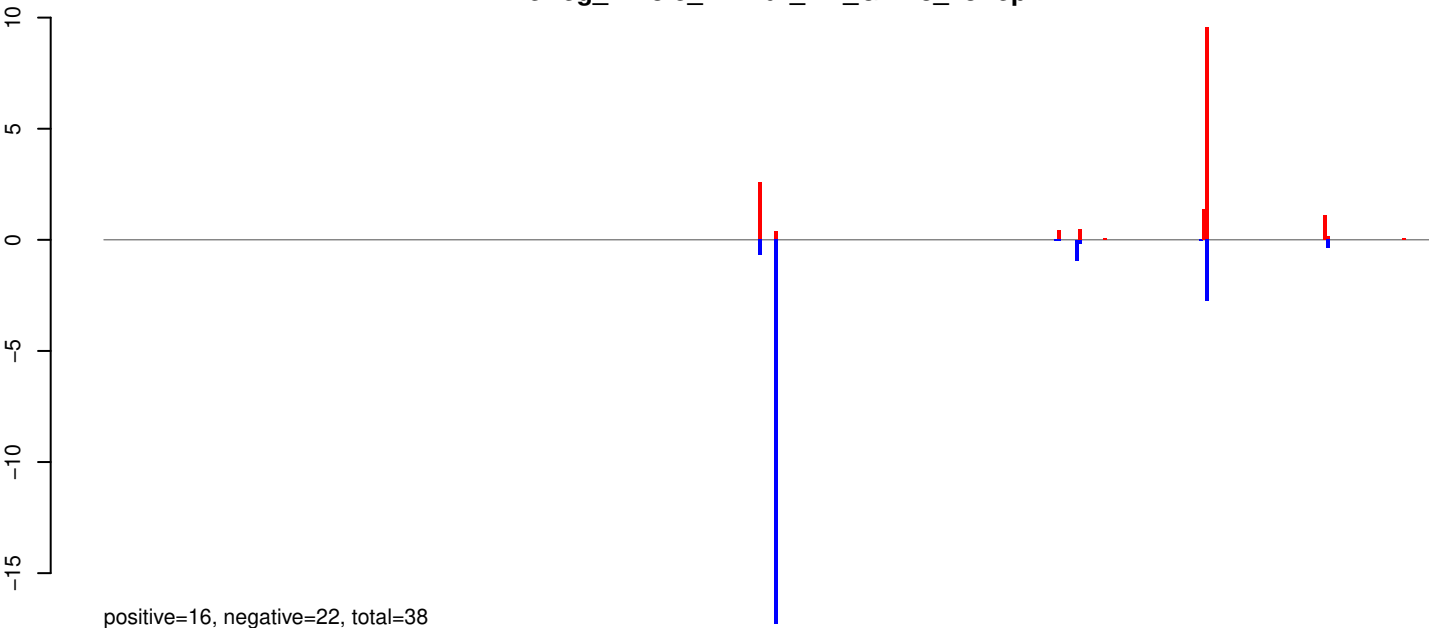
AeAeg_Whole_ZIKVdr_In2_GP.rep



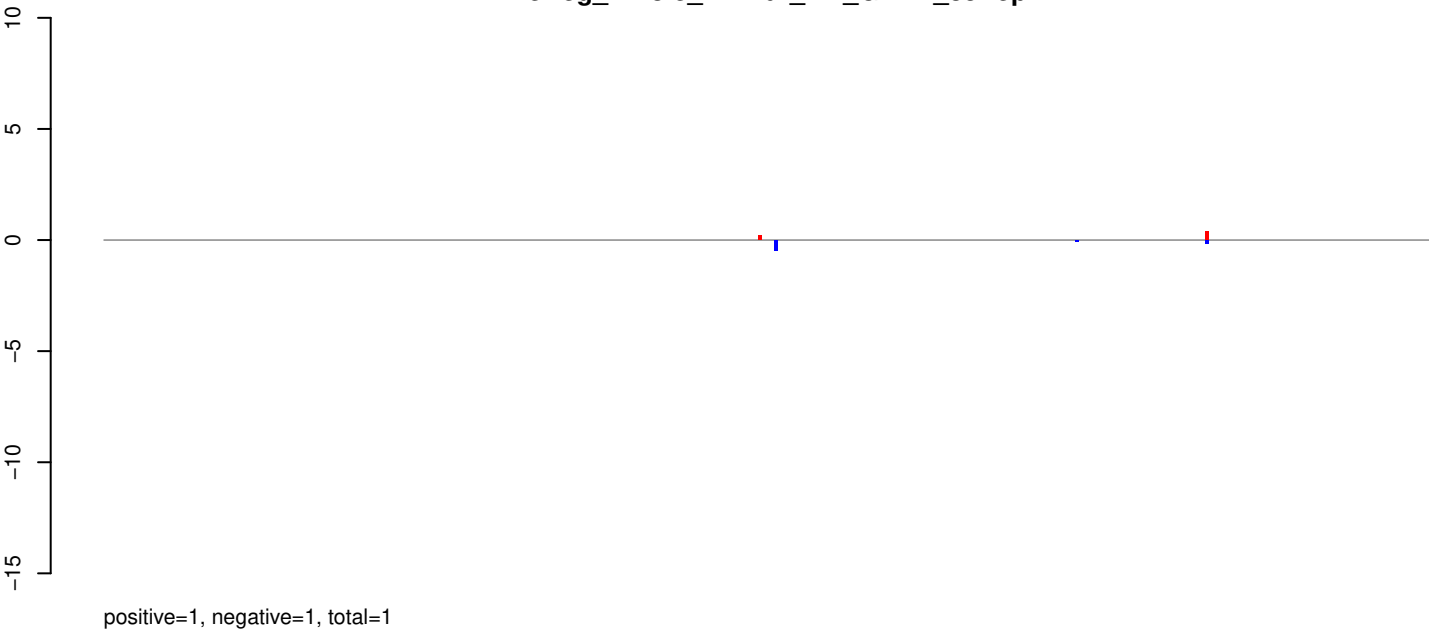
Window size=25, length=2965, virus@AY347953.2-Aedes_aegypti_genomic_sequence:1-2965

0 500 1000 1500 2000 2500 3000

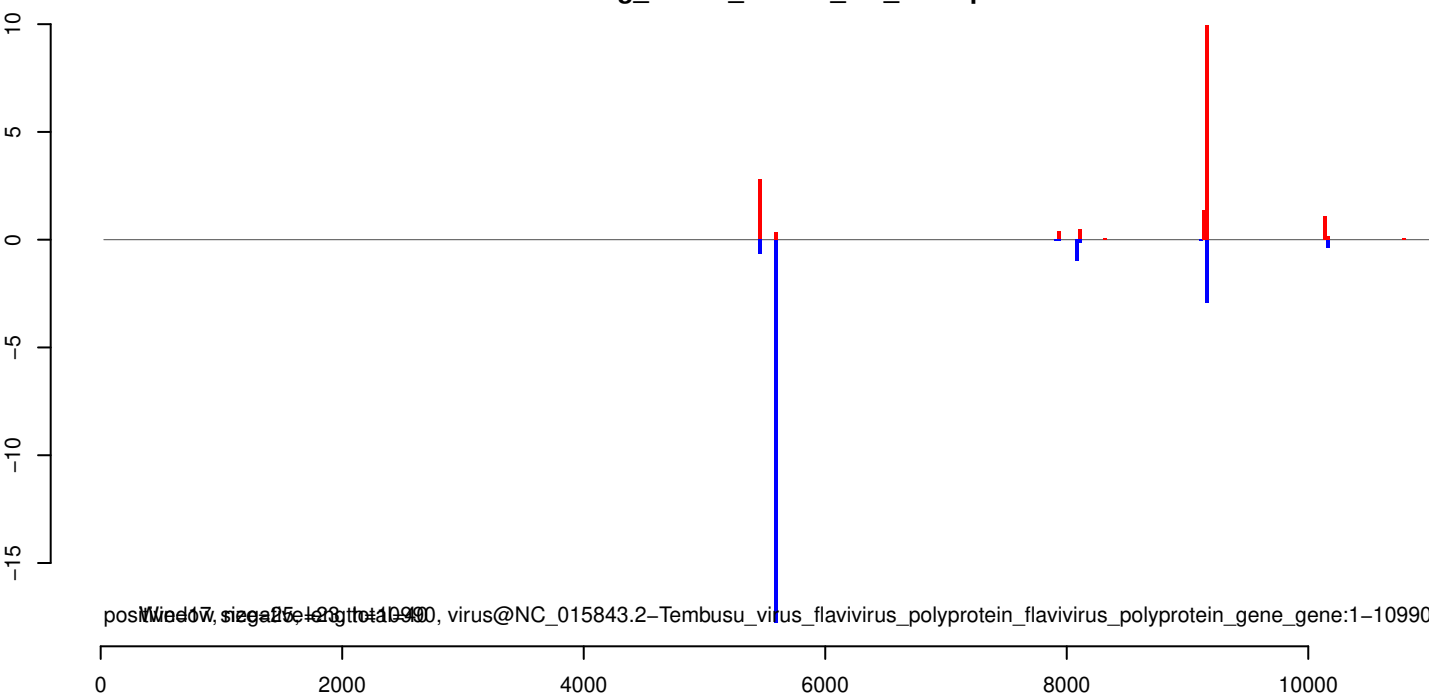
AeAeg_Whole_ZIKVdr_In2_GP.18_23.rep



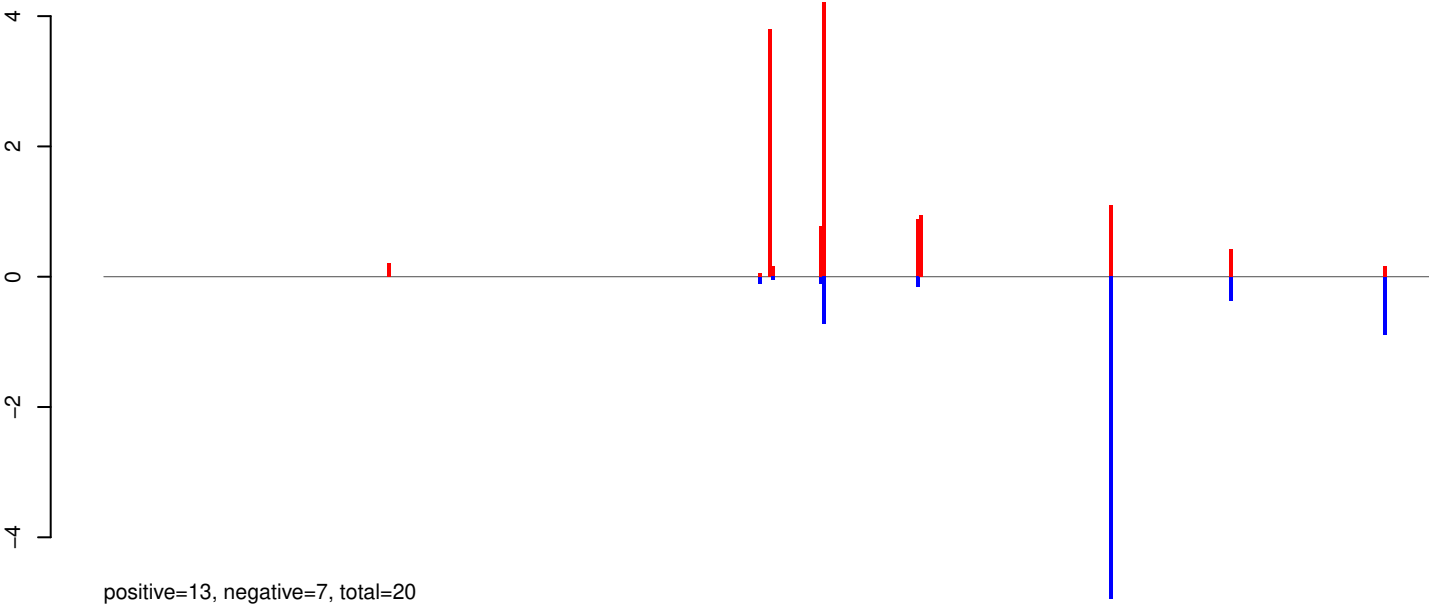
AeAeg_Whole_ZIKVdr_In2_GP.24_35.rep



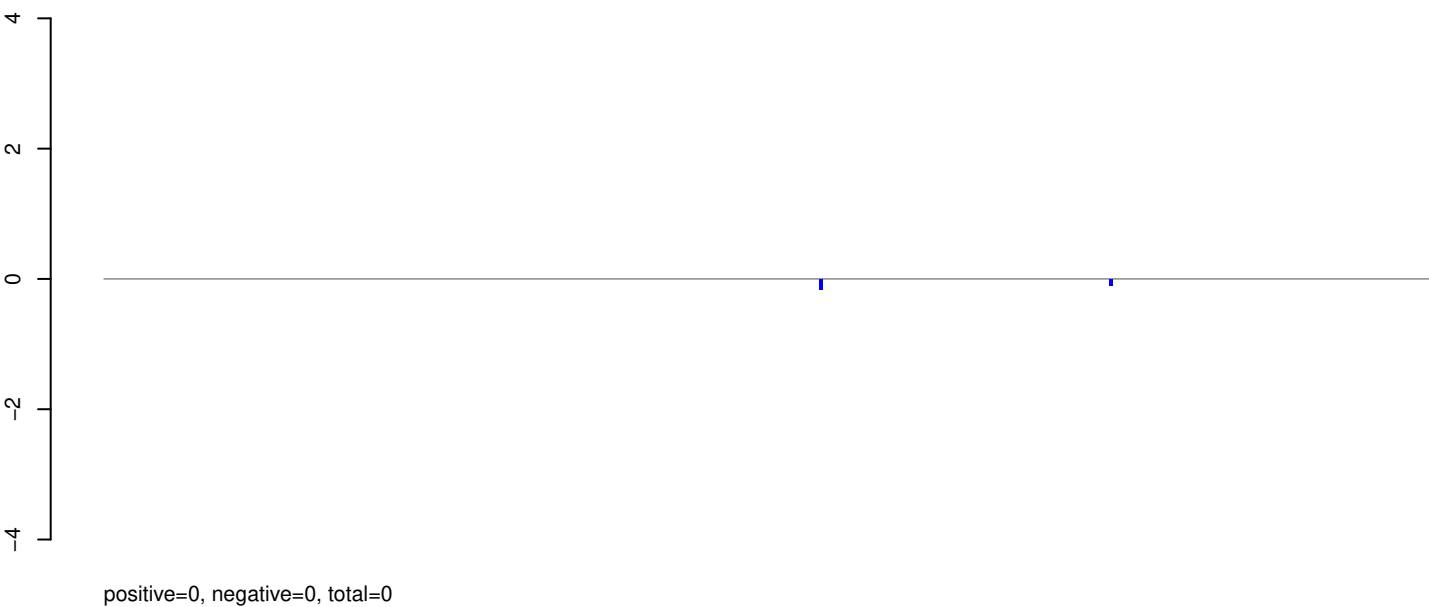
AeAeg_Whole_ZIKVdr_In2_GP.rep



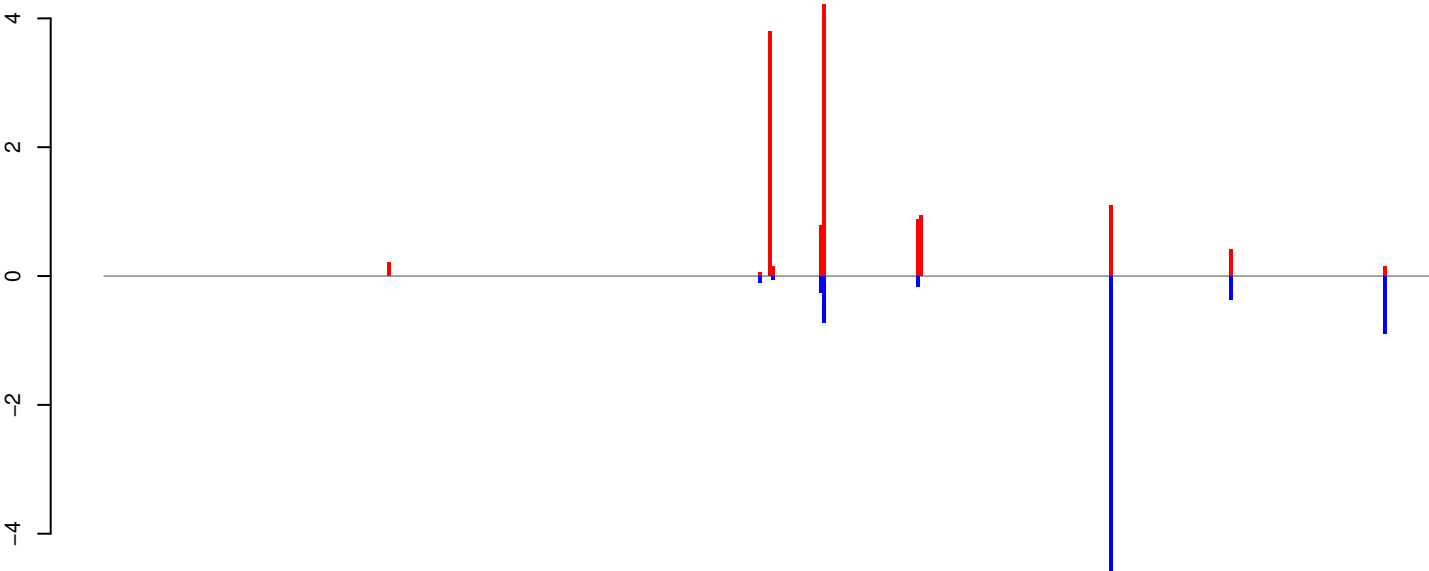
AeAeg_Whole_ZIKVdr_In2_GP.18_23.rep



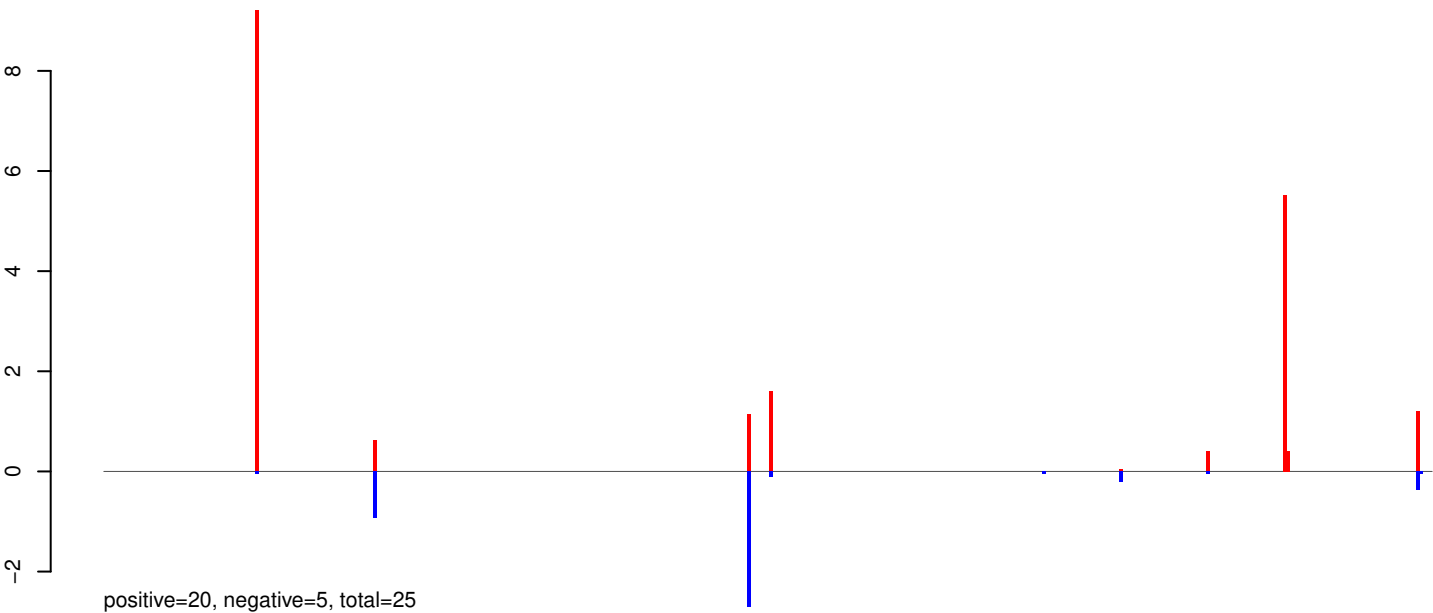
AeAeg_Whole_ZIKVdr_In2_GP.24_35.rep



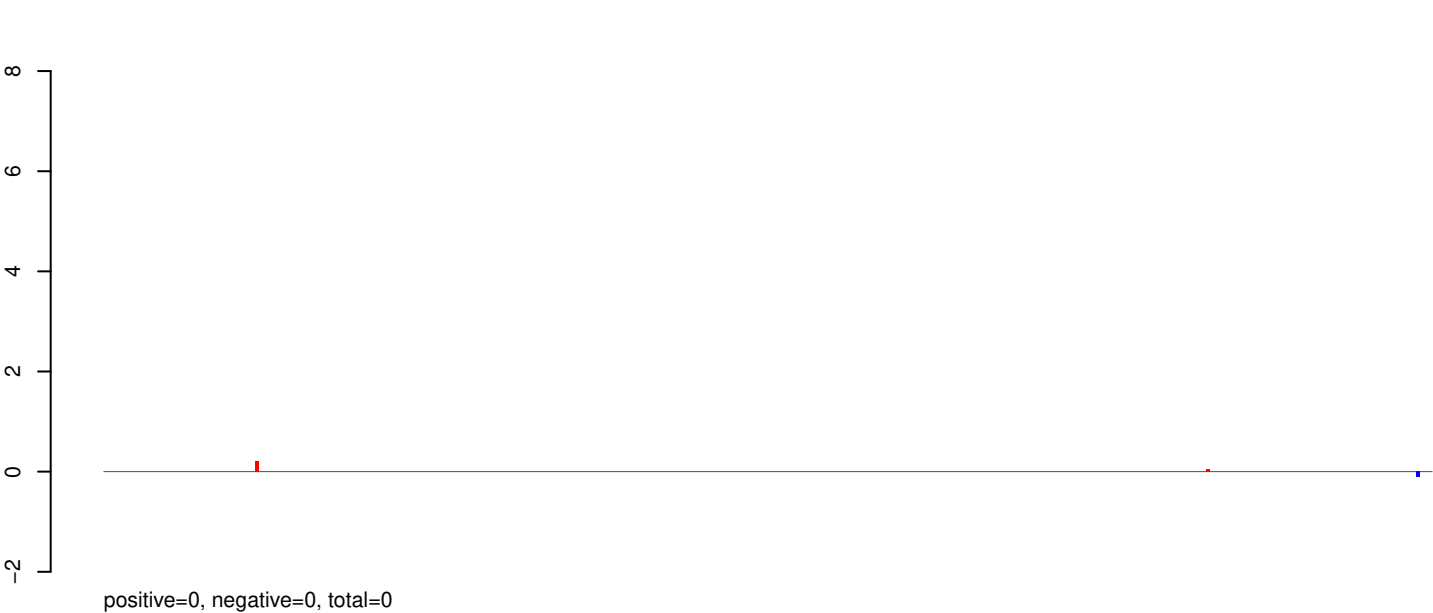
AeAeg_Whole_ZIKVdr_In2_GP.rep



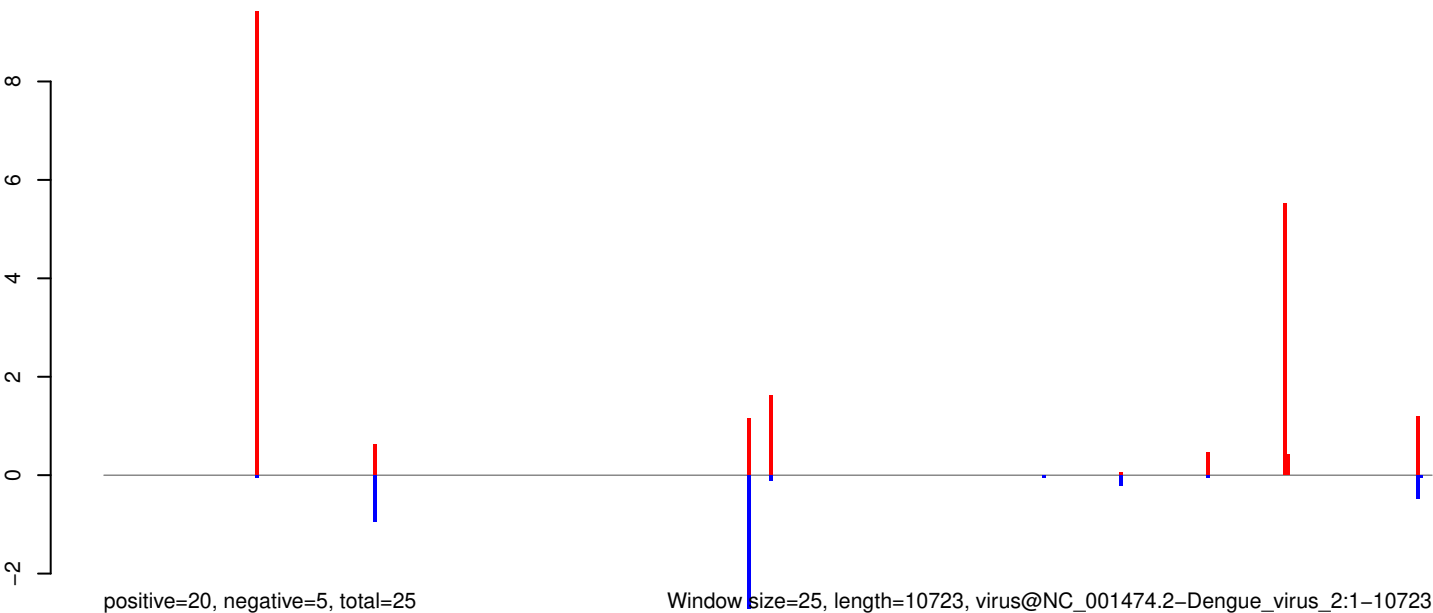
AeAeg_Whole_ZIKVdr_In2_GP.18_23.rep



AeAeg_Whole_ZIKVdr_In2_GP.24_35.rep



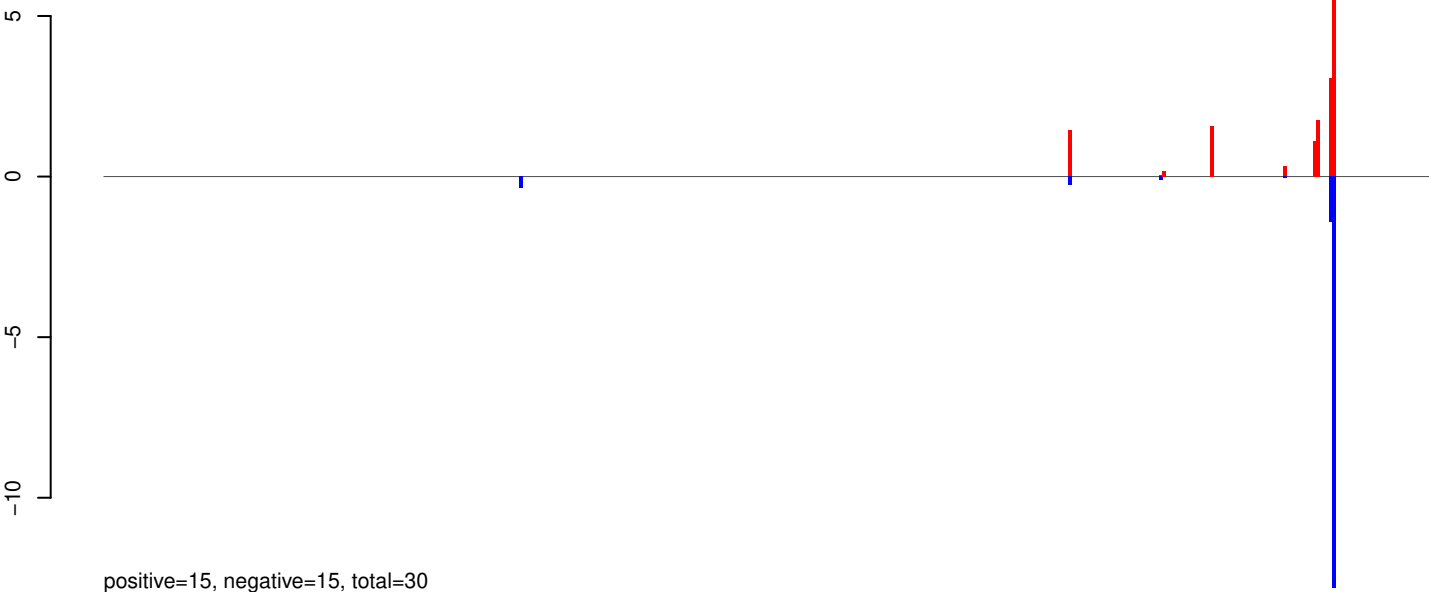
AeAeg_Whole_ZIKVdr_In2_GP.rep



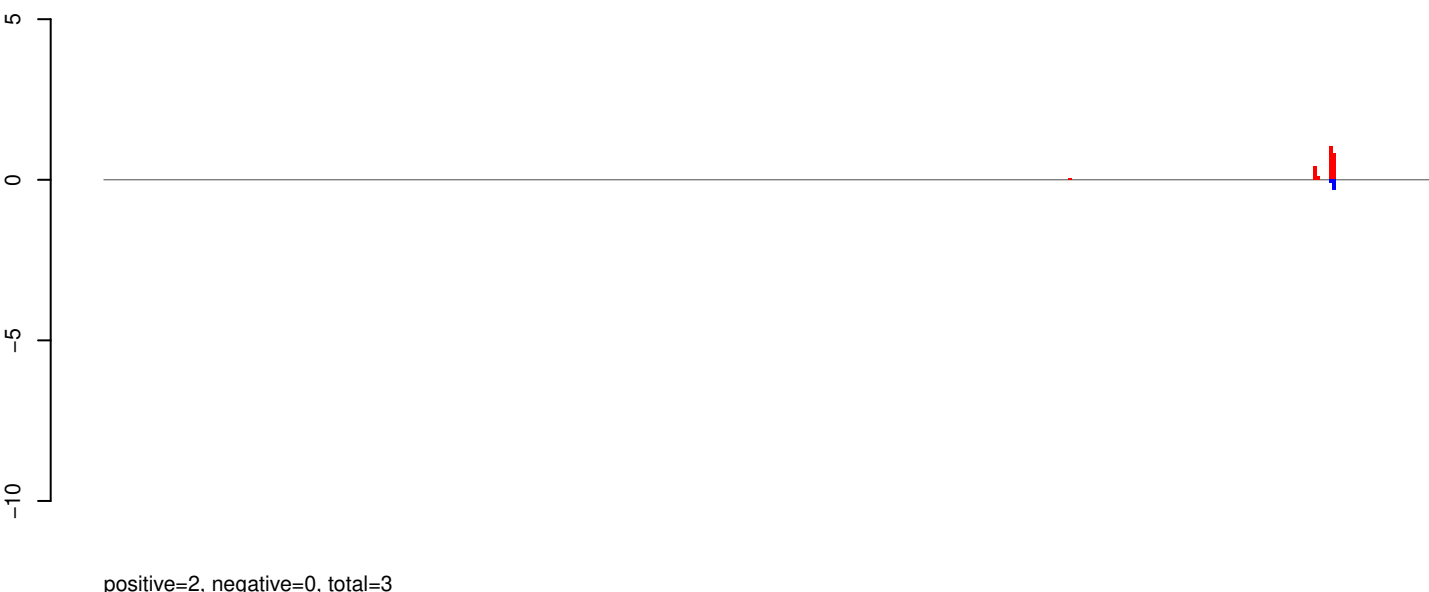
Window size=25, length=10723, virus@NC_001474.2-Dengue_virus_2:1-10723

0 2000 4000 6000 8000 10000

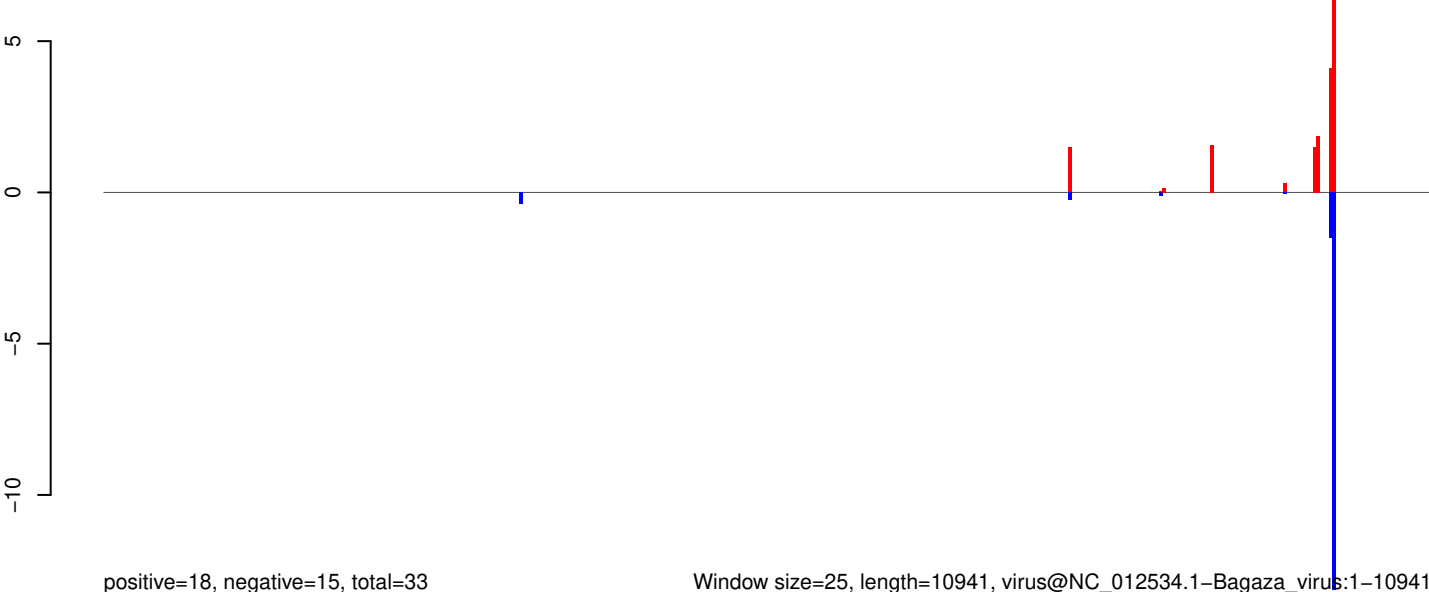
AeAeg_Whole_ZIKVdr_In2_GP.18_23.rep



AeAeg_Whole_ZIKVdr_In2_GP.24_35.rep

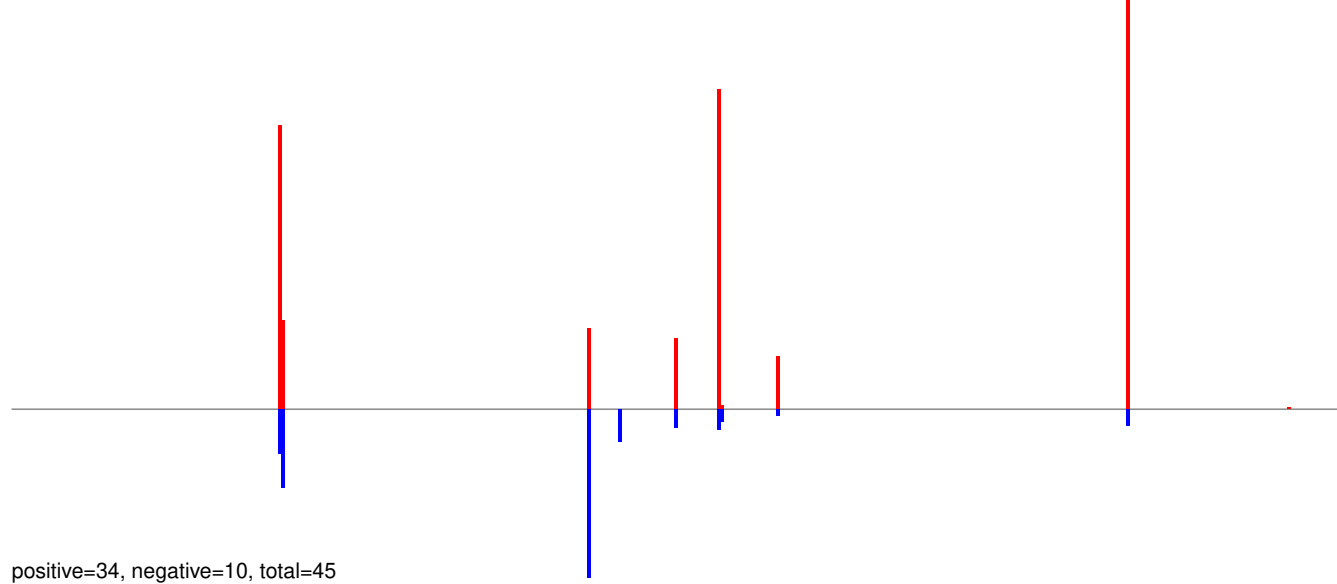


AeAeg_Whole_ZIKVdr_In2_GP.rep

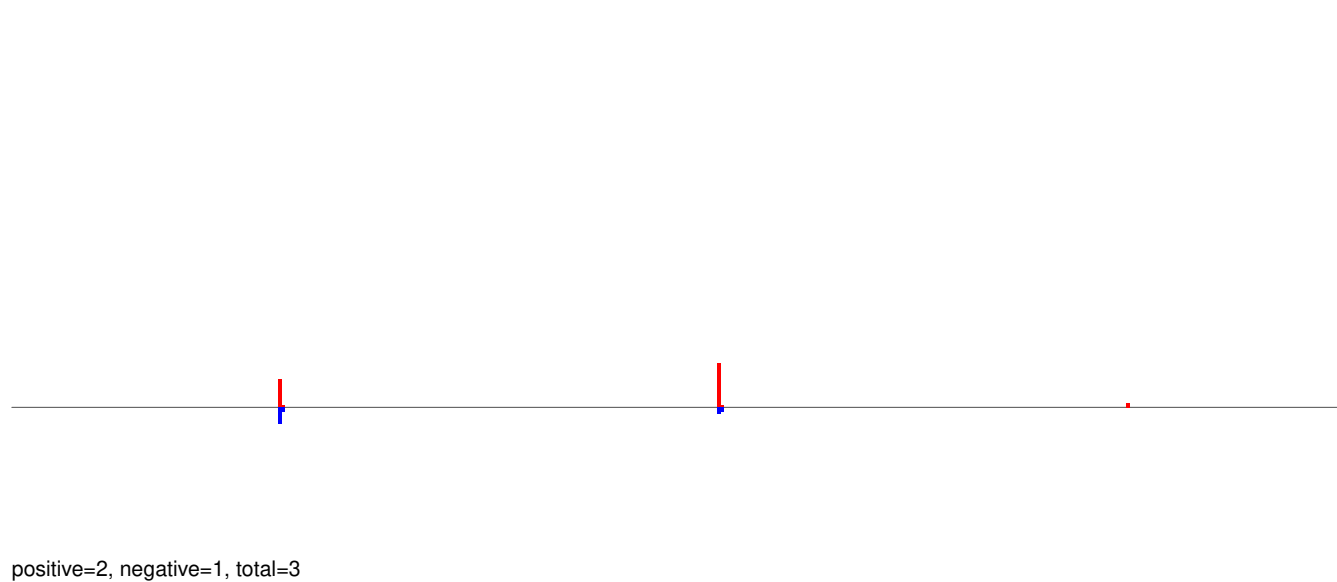


Window size=25, length=10941, virus@NC_012534.1-Bagaza_virus:1-10941

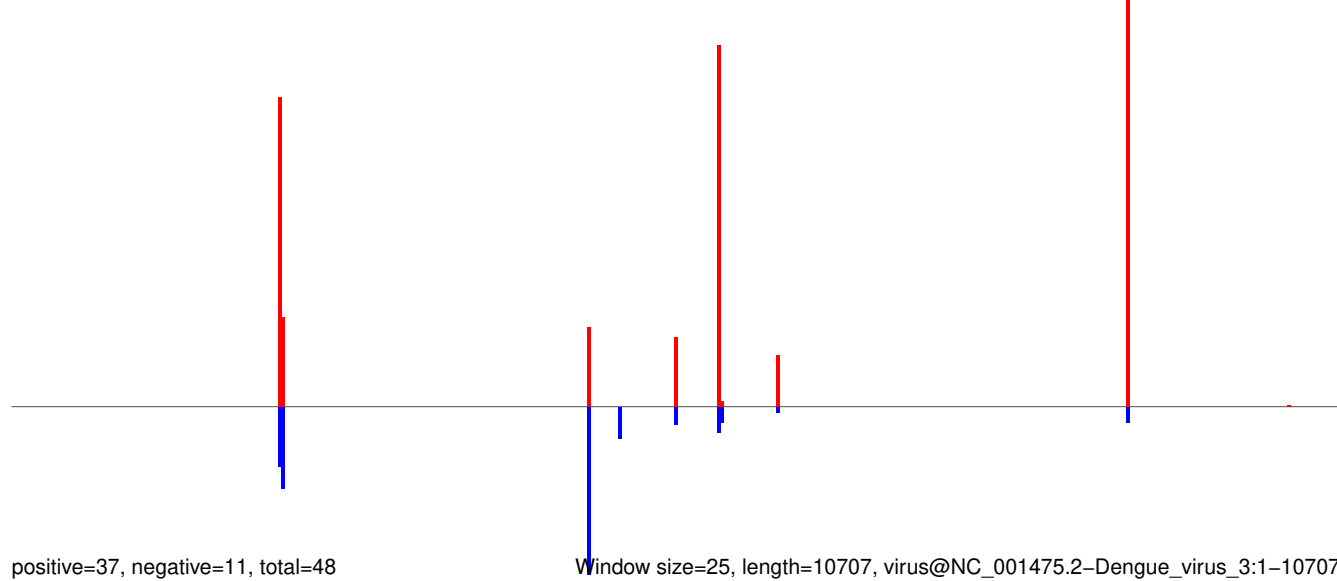
AeAeg_Whole_ZIKVdr_In2_GP.18_23.rep



AeAeg_Whole_ZIKVdr_In2_GP.24_35.rep



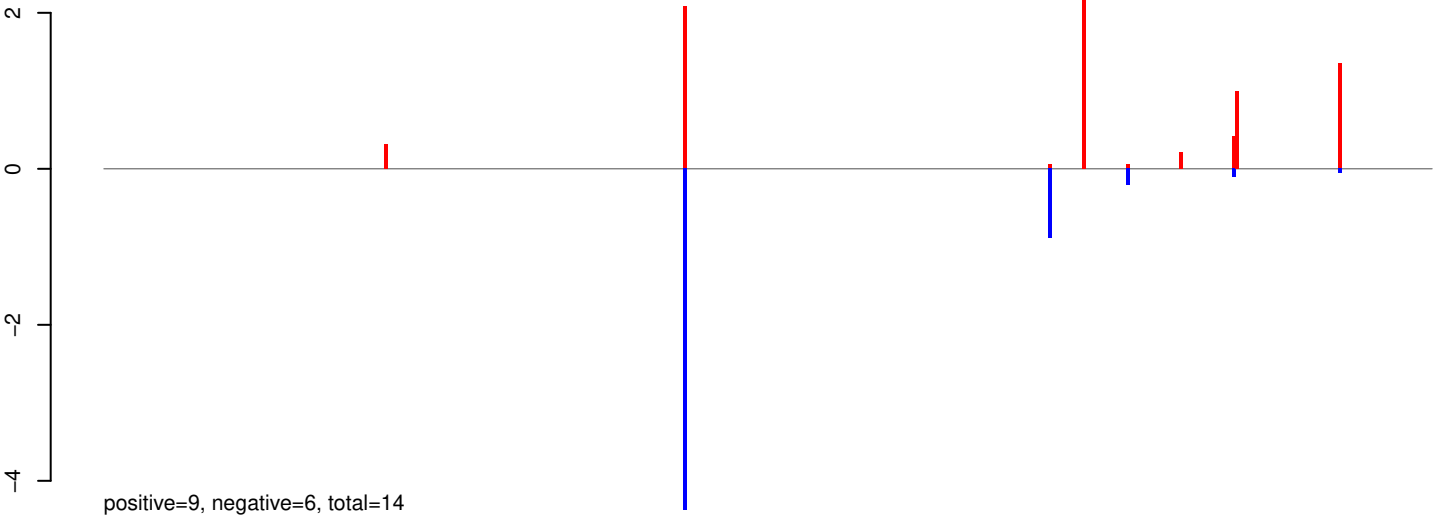
AeAeg_Whole_ZIKVdr_In2_GP.rep



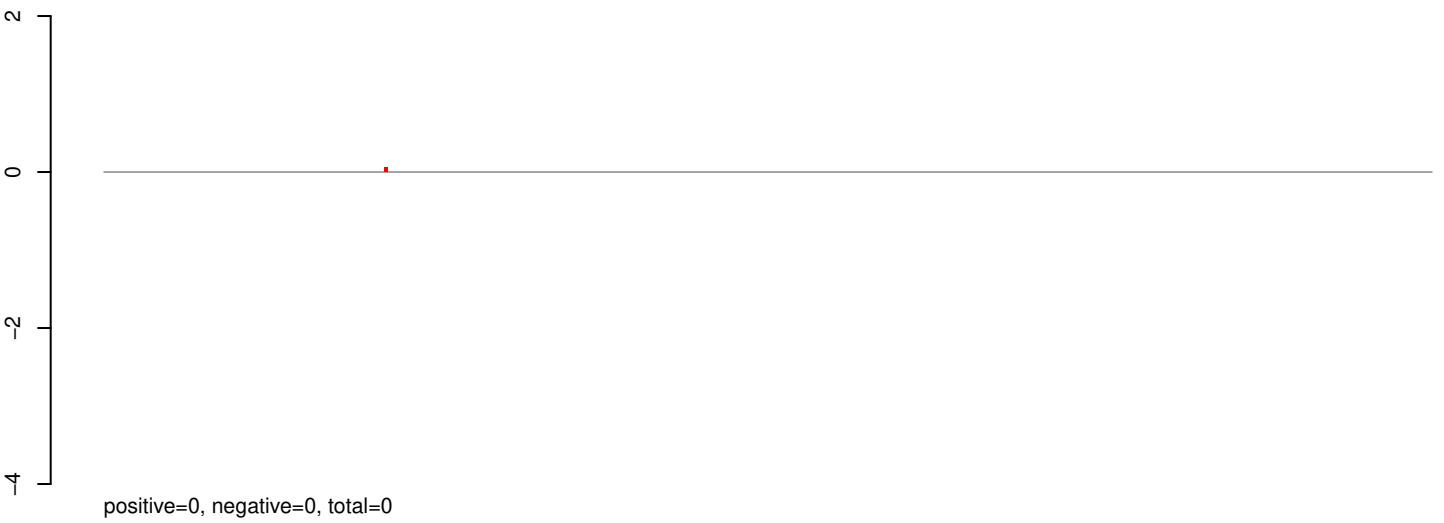
Window size=25, length=10707, virus@NC_001475.2-Dengue_virus_3:1-10707

0 2000 4000 6000 8000 10000

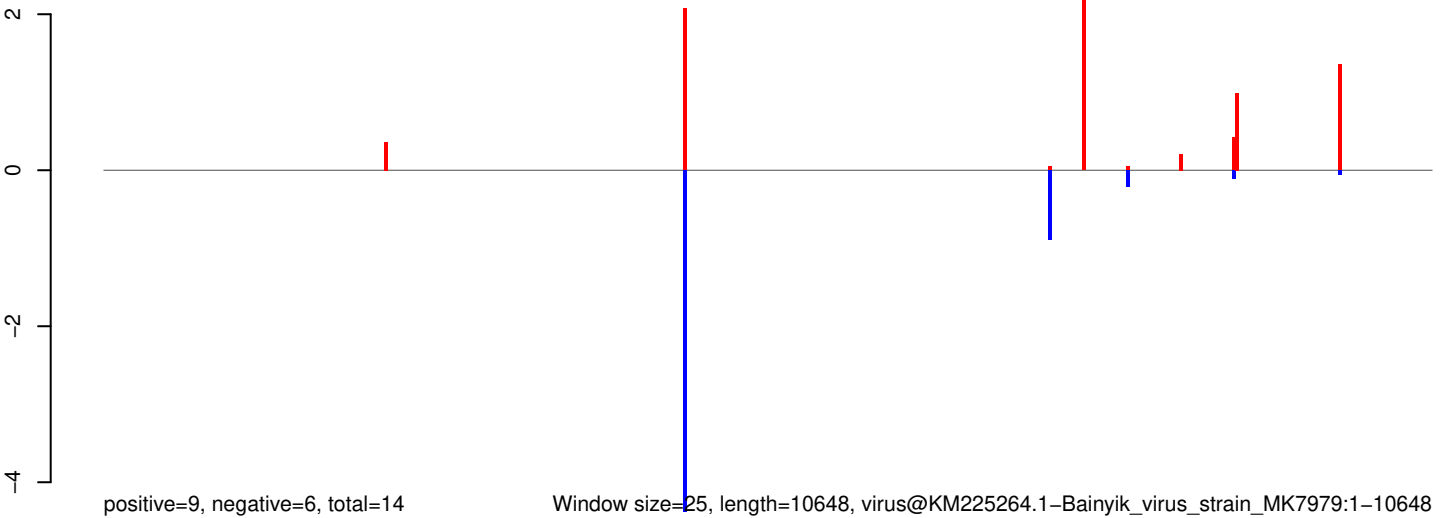
AeAeg_Whole_ZIKVdr_In2_GP.18_23.rep



AeAeg_Whole_ZIKVdr_In2_GP.24_35.rep



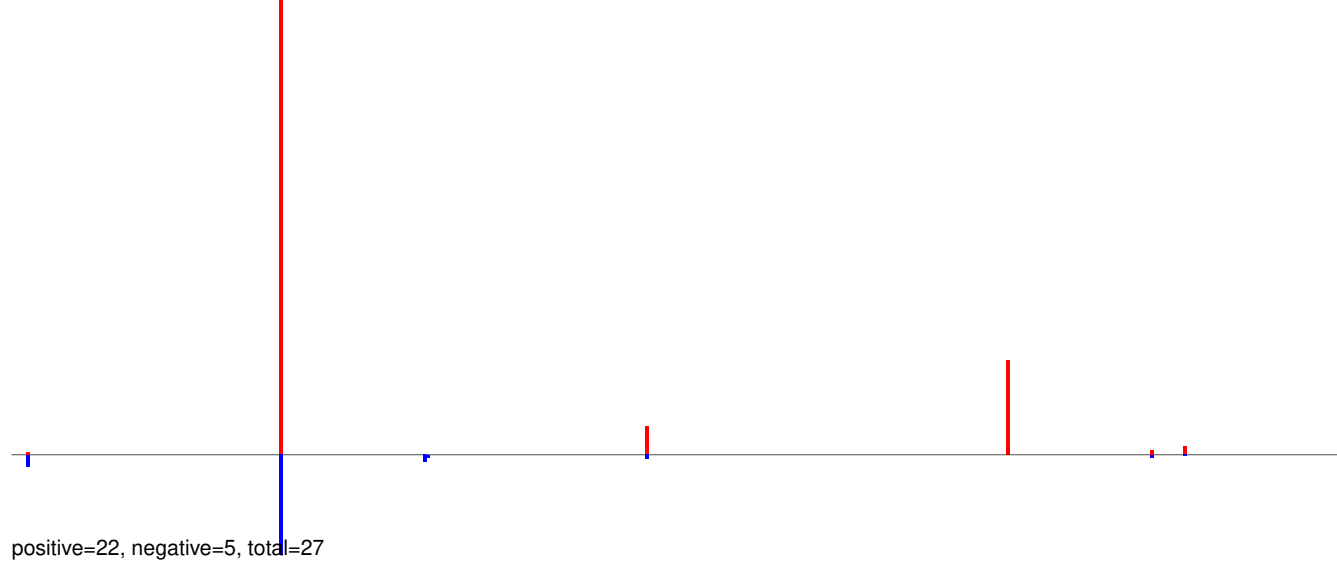
AeAeg_Whole_ZIKVdr_In2_GP.rep



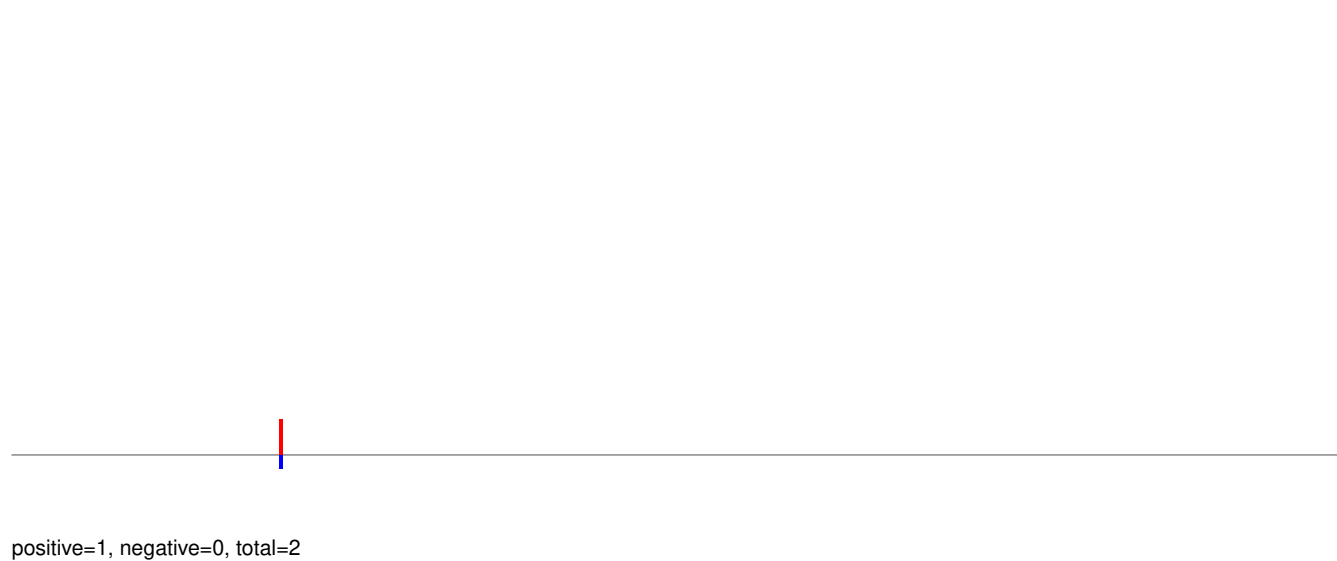
Window size=25, length=10648, virus@KM225264.1-Bainyik_virus_strain_MK7979:1-10648

0 2000 4000 6000 8000 10000

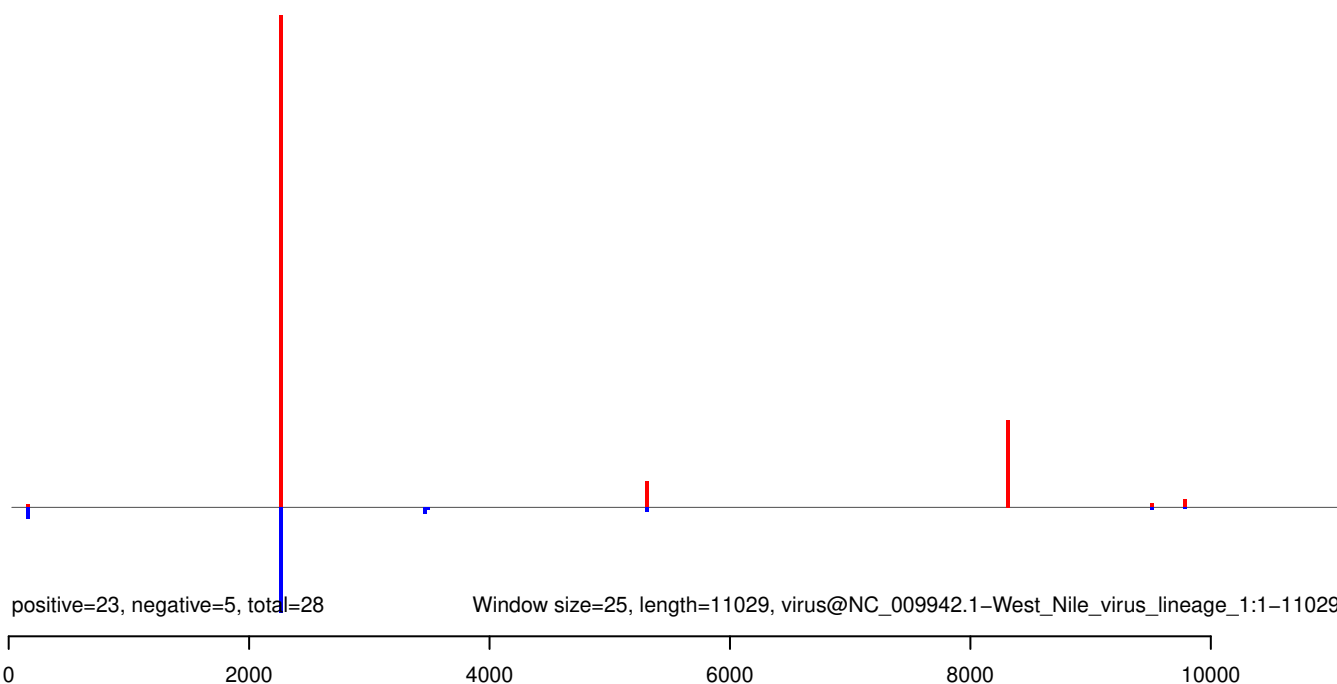
AeAeg_Whole_ZIKVdr_In2_GP.18_23.rep



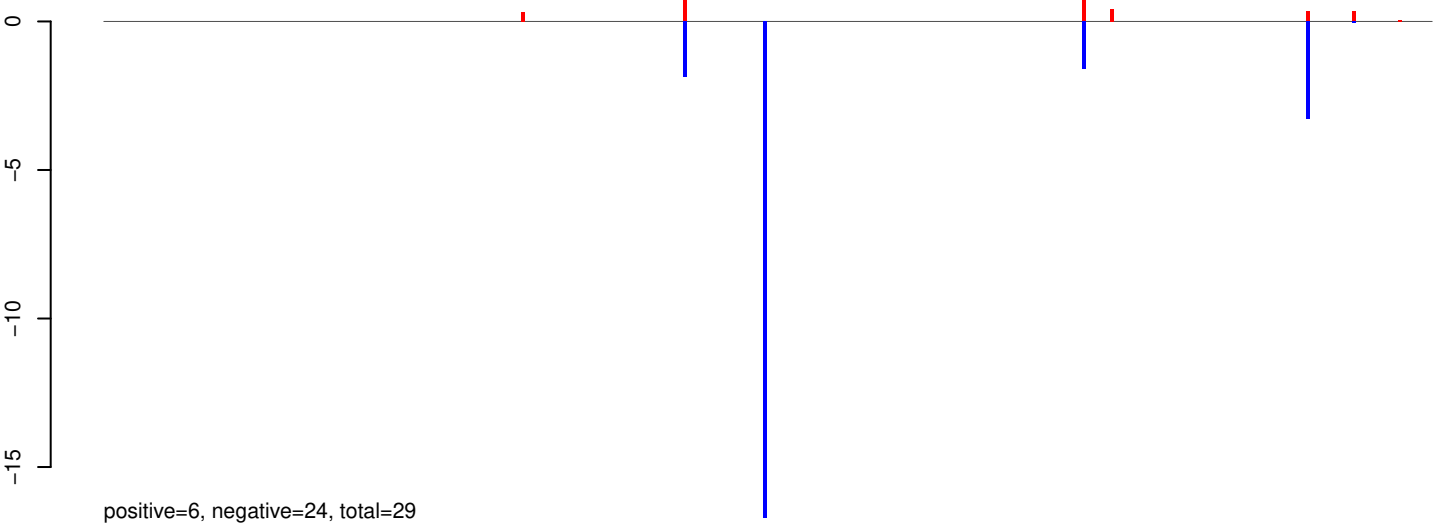
AeAeg_Whole_ZIKVdr_In2_GP.24_35.rep



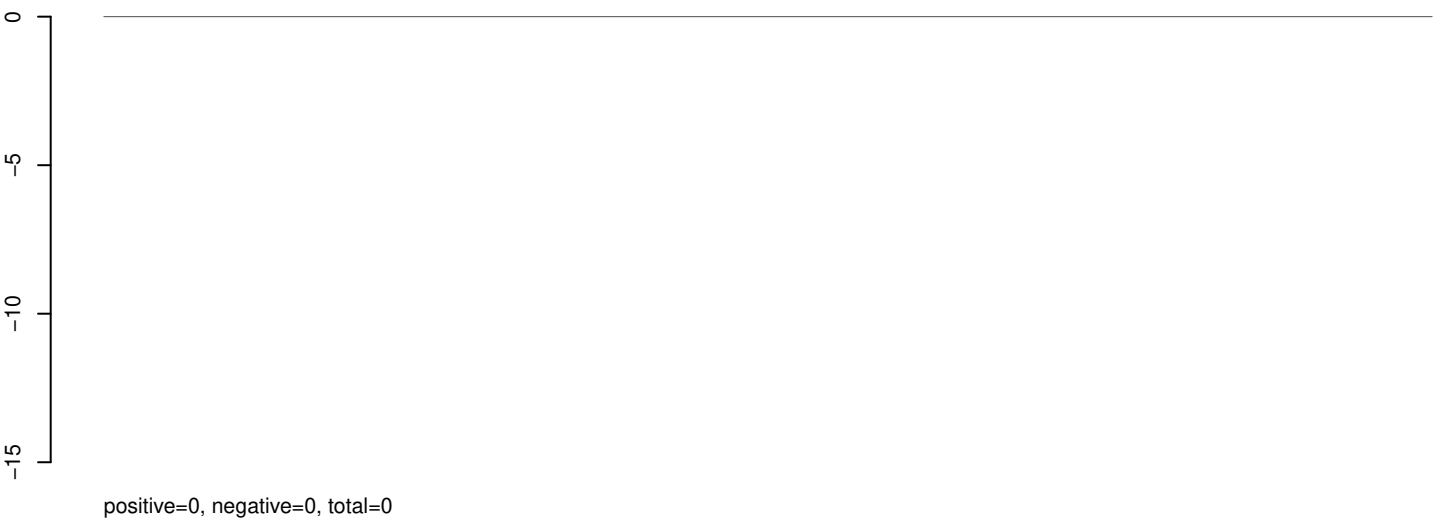
AeAeg_Whole_ZIKVdr_In2_GP.rep



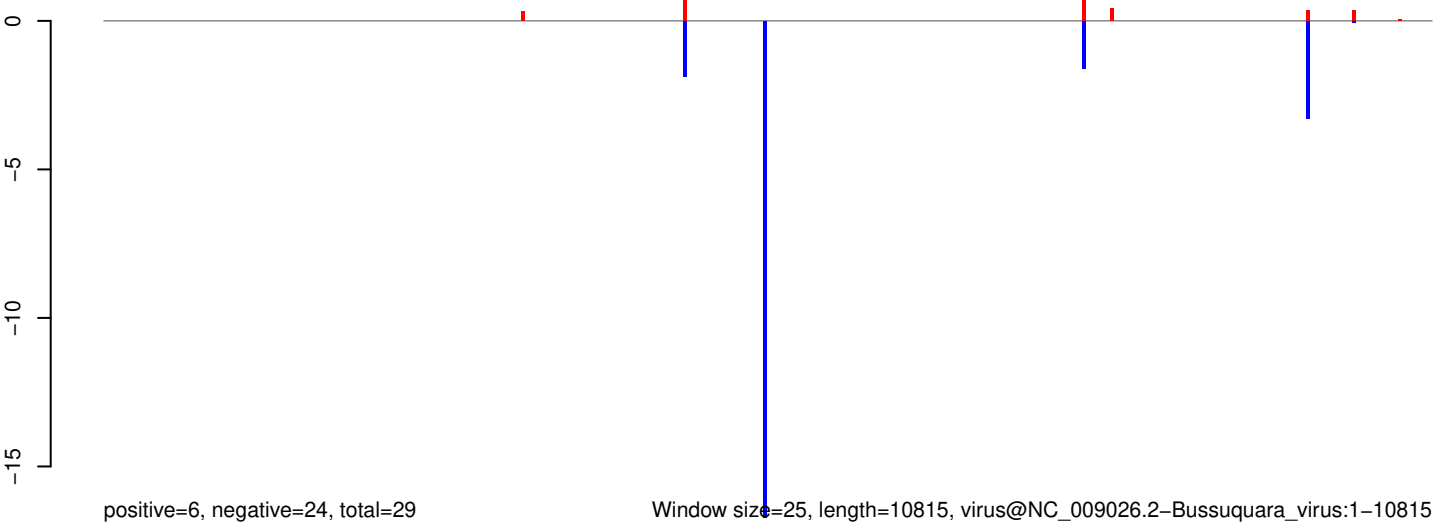
AeAeg_Whole_ZIKVdr_In2_GP.18_23.rep



AeAeg_Whole_ZIKVdr_In2_GP.24_35.rep



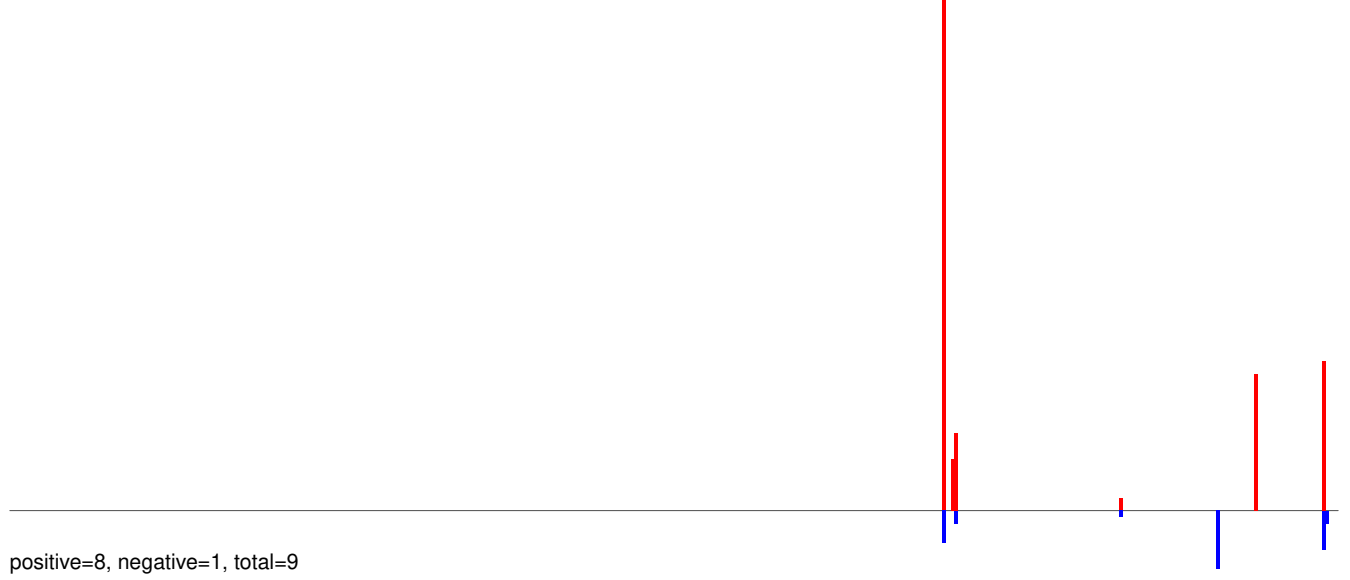
AeAeg_Whole_ZIKVdr_In2_GP.rep



Window size=25, length=10815, virus@NC_009026.2-Bussuquara_virus:1-10815

0 2000 4000 6000 8000 10000

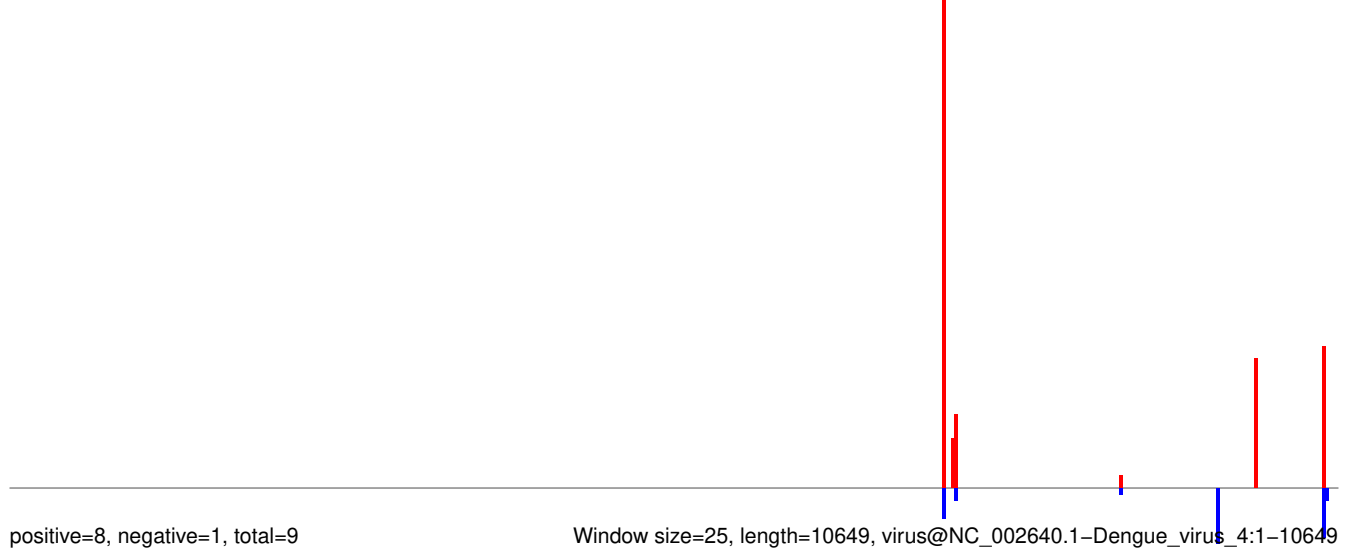
AeAeg_Whole_ZIKVdr_In2_GP.18_23.rep



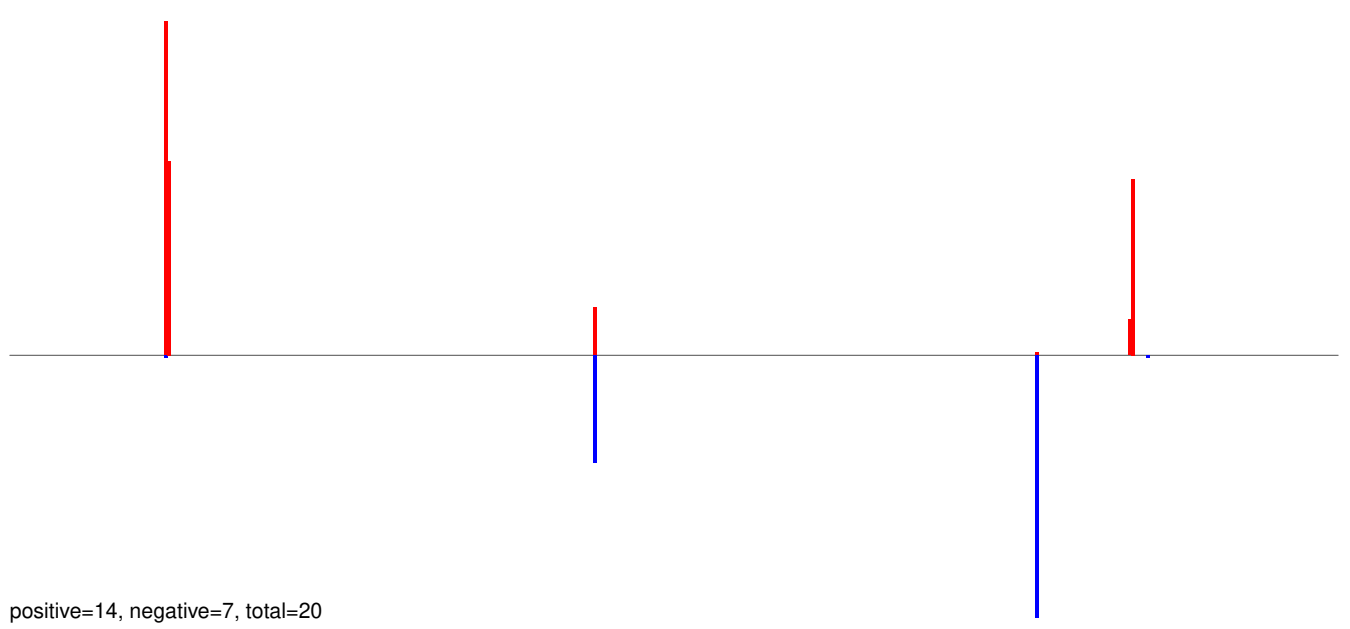
AeAeg_Whole_ZIKVdr_In2_GP.24_35.rep



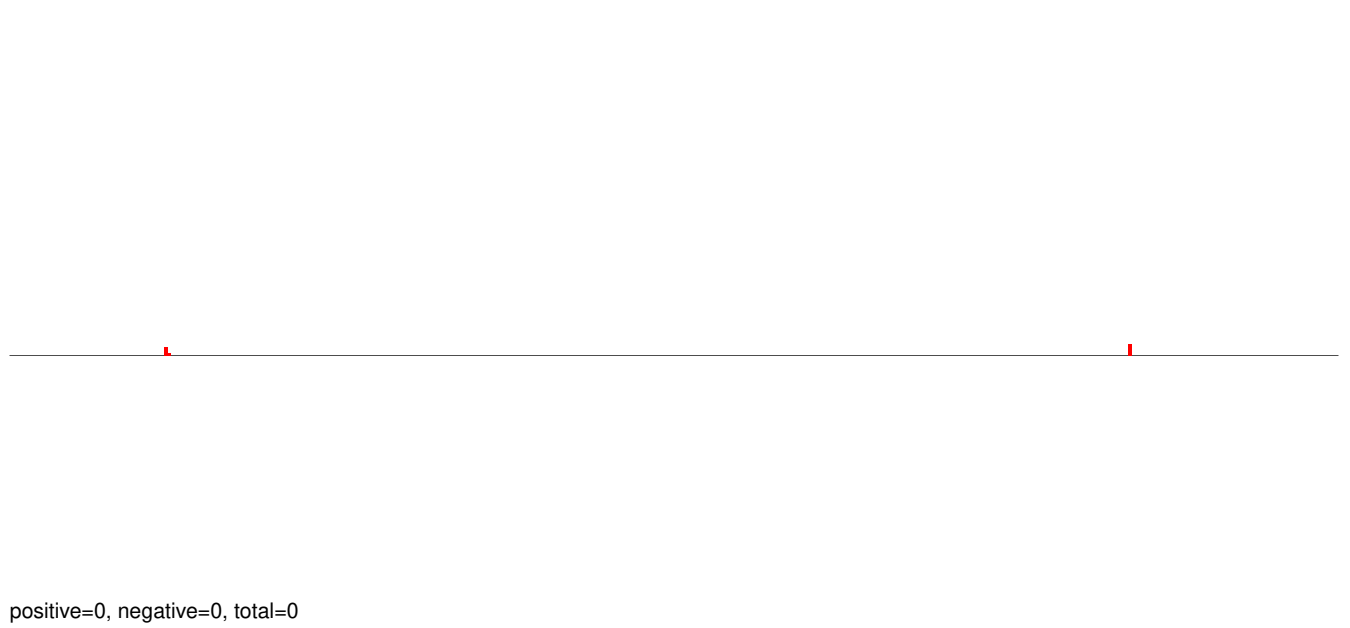
AeAeg_Whole_ZIKVdr_In2_GP.rep



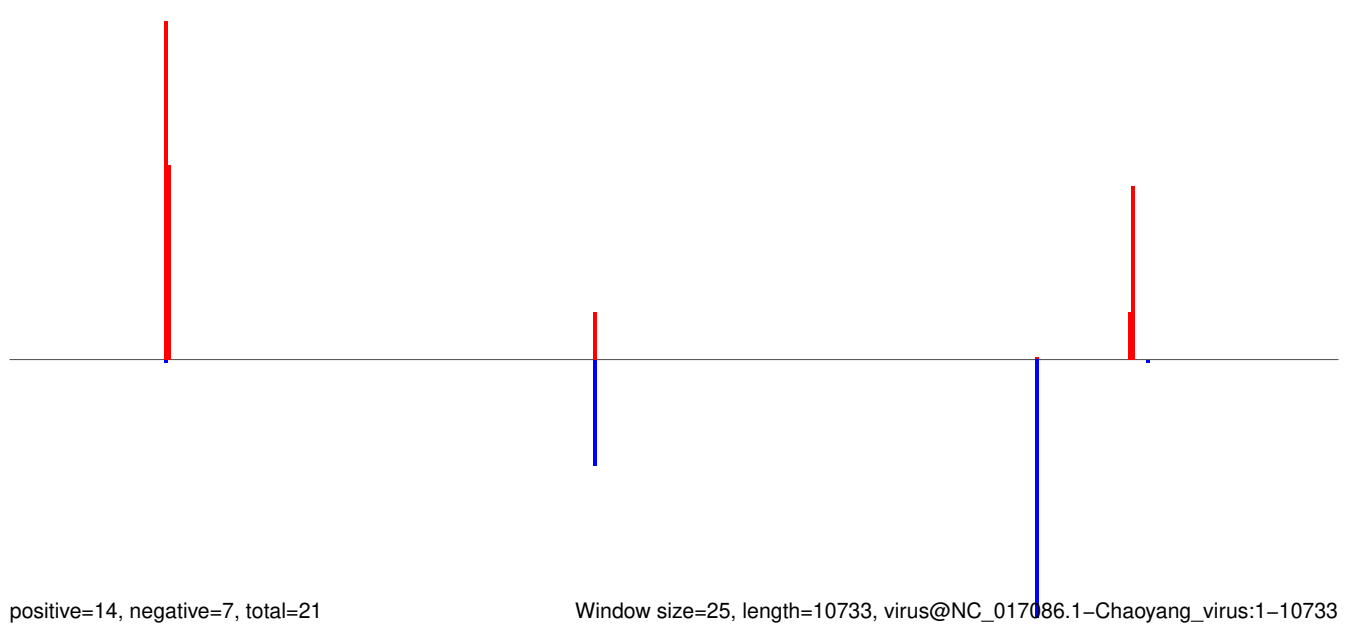
AeAeg_Whole_ZIKVdr_In2_GP.18_23.rep



AeAeg_Whole_ZIKVdr_In2_GP.24_35.rep



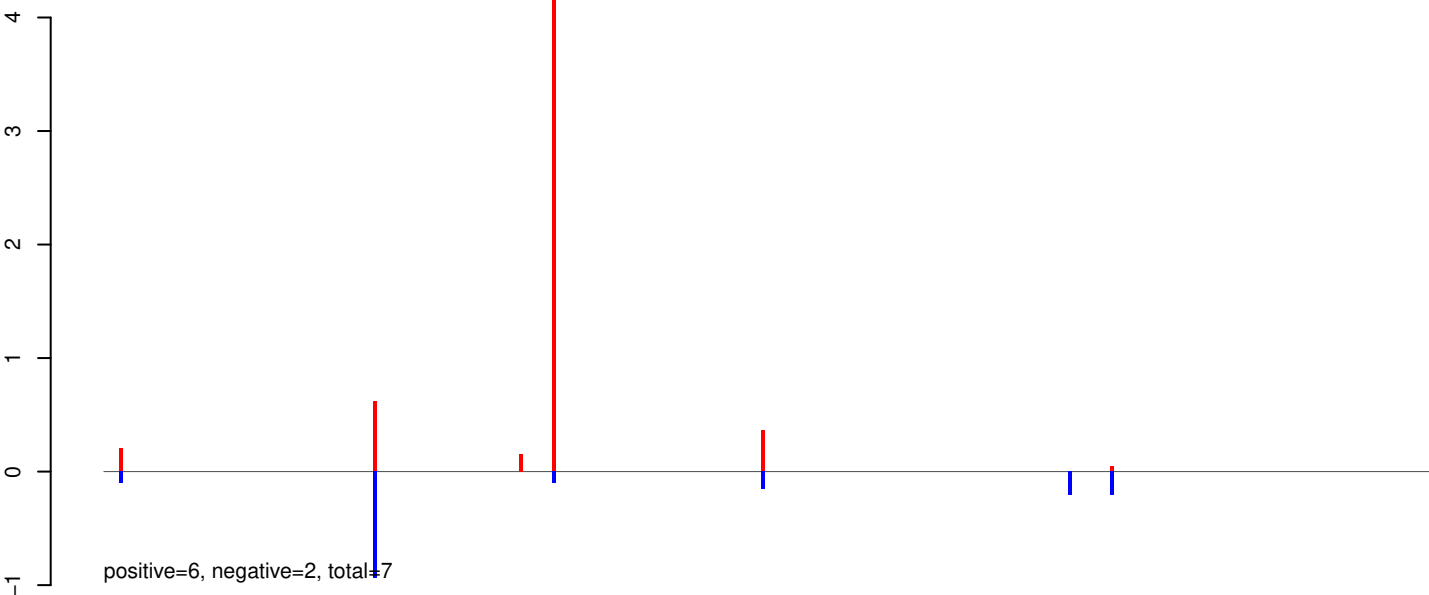
AeAeg_Whole_ZIKVdr_In2_GP.rep



Window size=25, length=10733, virus@NC_017086.1-Chaoyang_virus:1-10733

0 2000 4000 6000 8000 10000

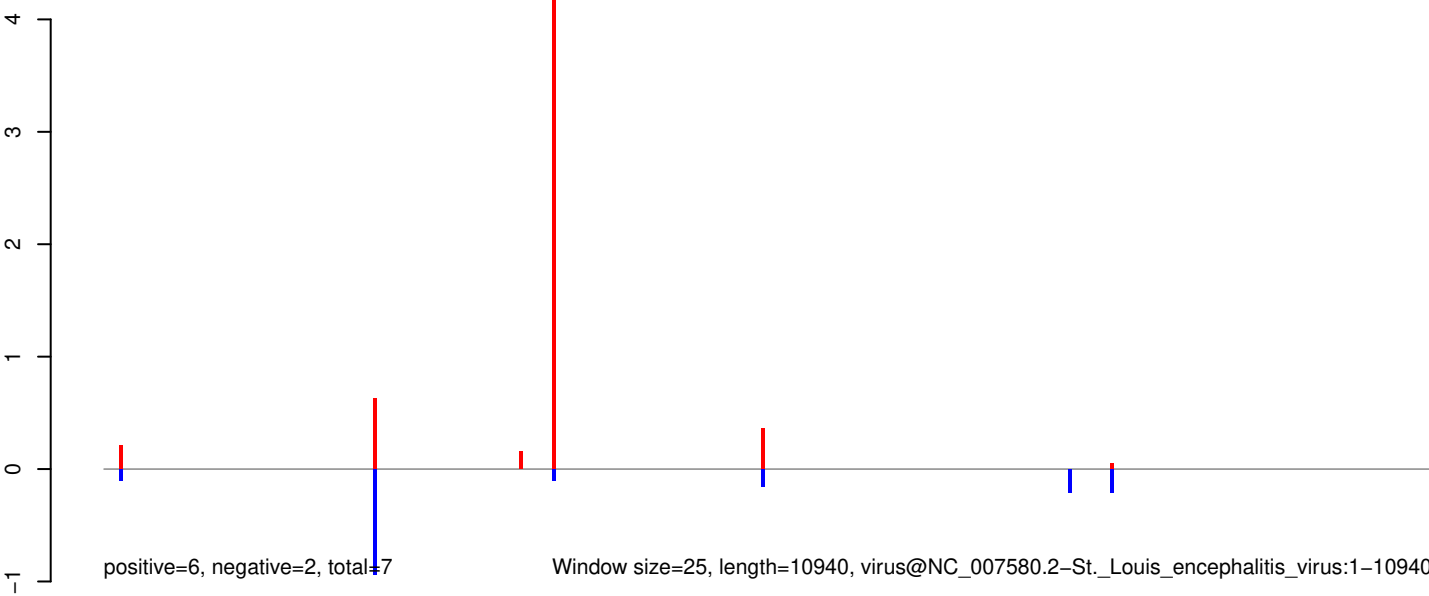
AeAeg_Whole_ZIKVdr_In2_GP.18_23.rep



AeAeg_Whole_ZIKVdr_In2_GP.24_35.rep

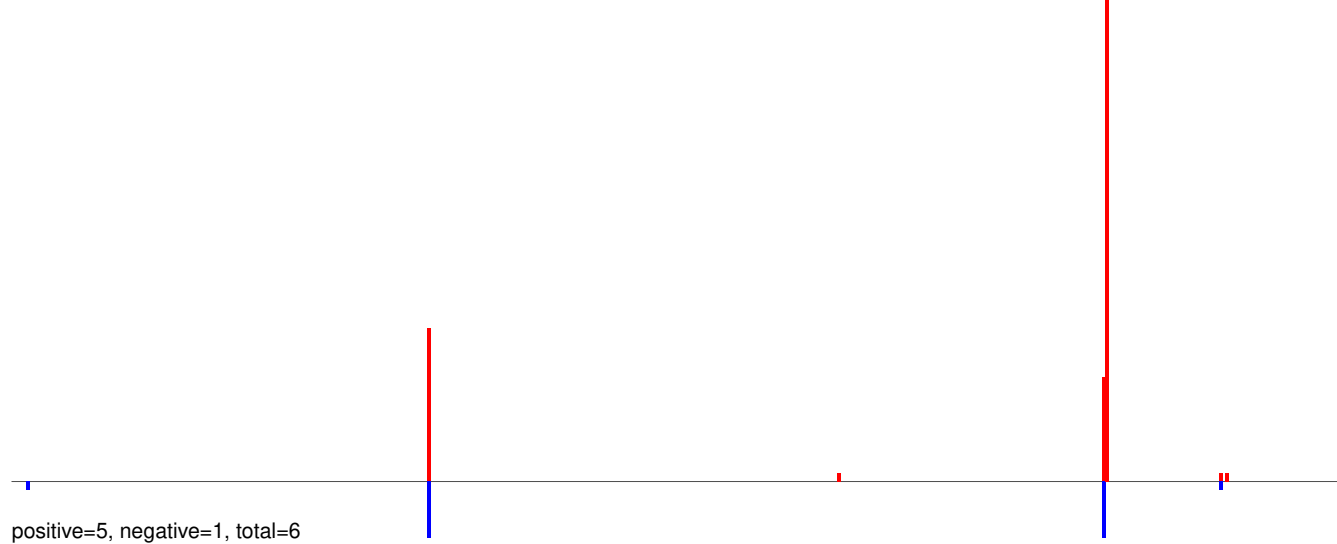


AeAeg_Whole_ZIKVdr_In2_GP.rep

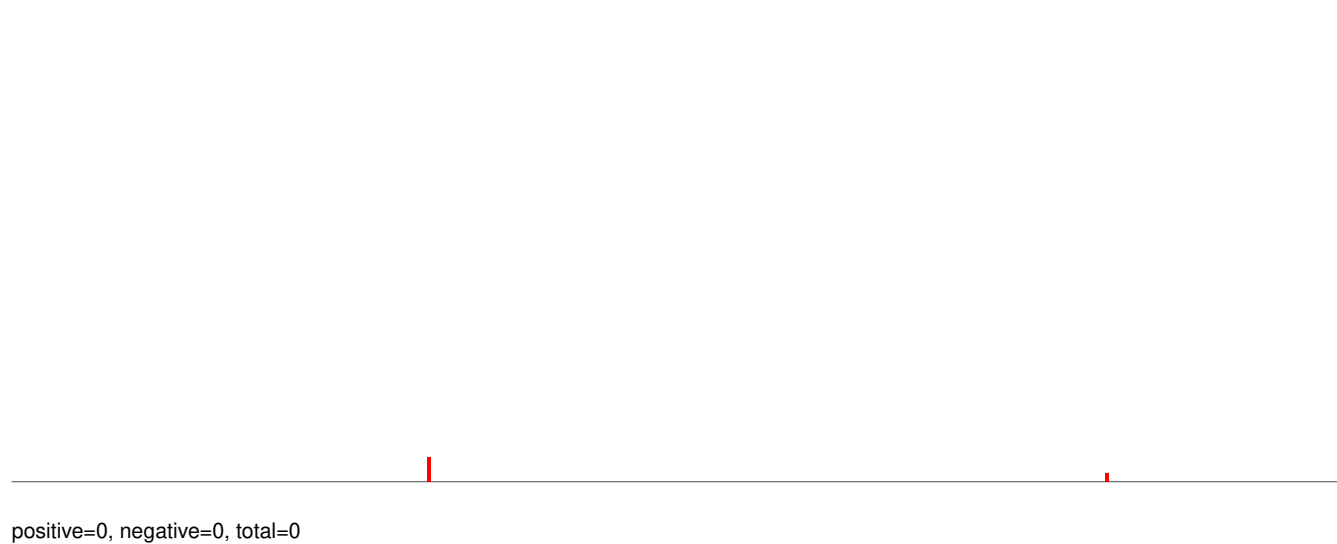


Window size=25, length=10940, virus@NC_007580.2-St._Louis_encephalitis_virus:1-10940

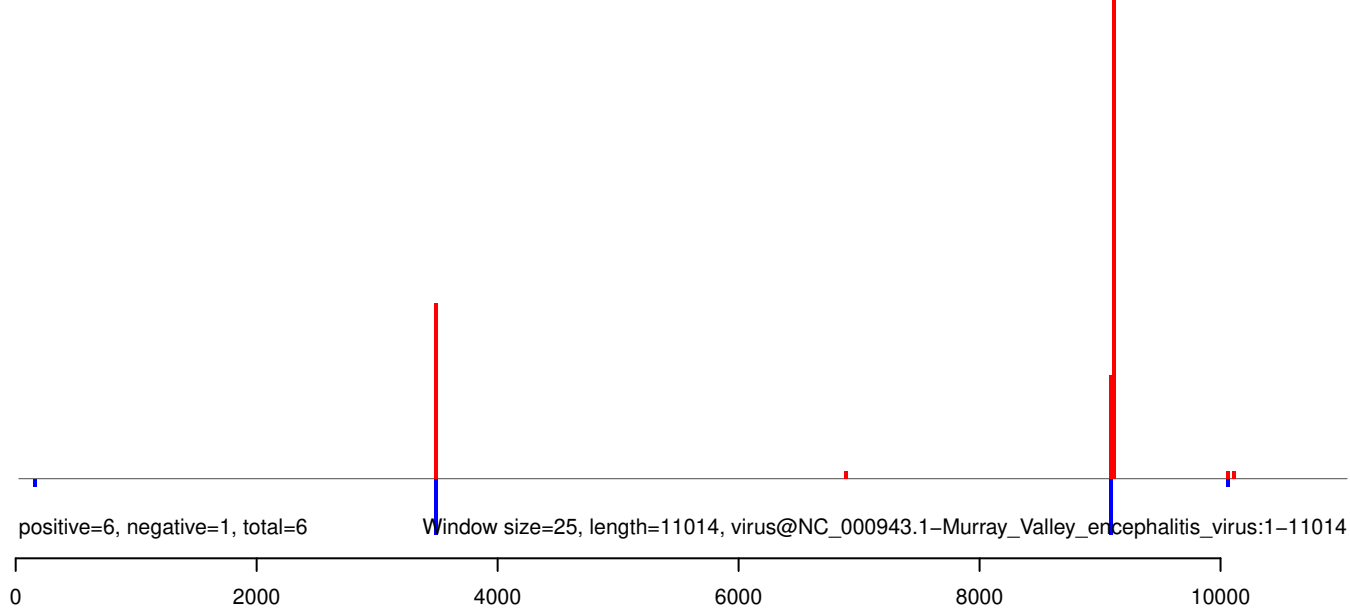
AeAeg_Whole_ZIKVdr_In2_GP.18_23.rep



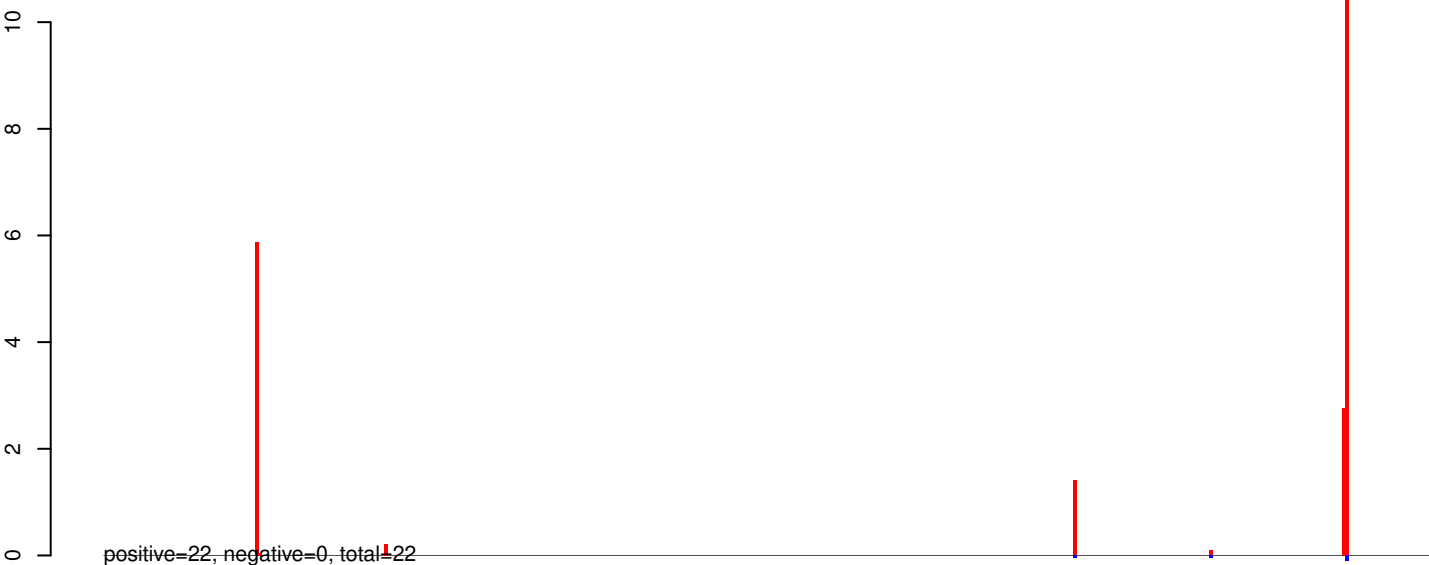
AeAeg_Whole_ZIKVdr_In2_GP.24_35.rep



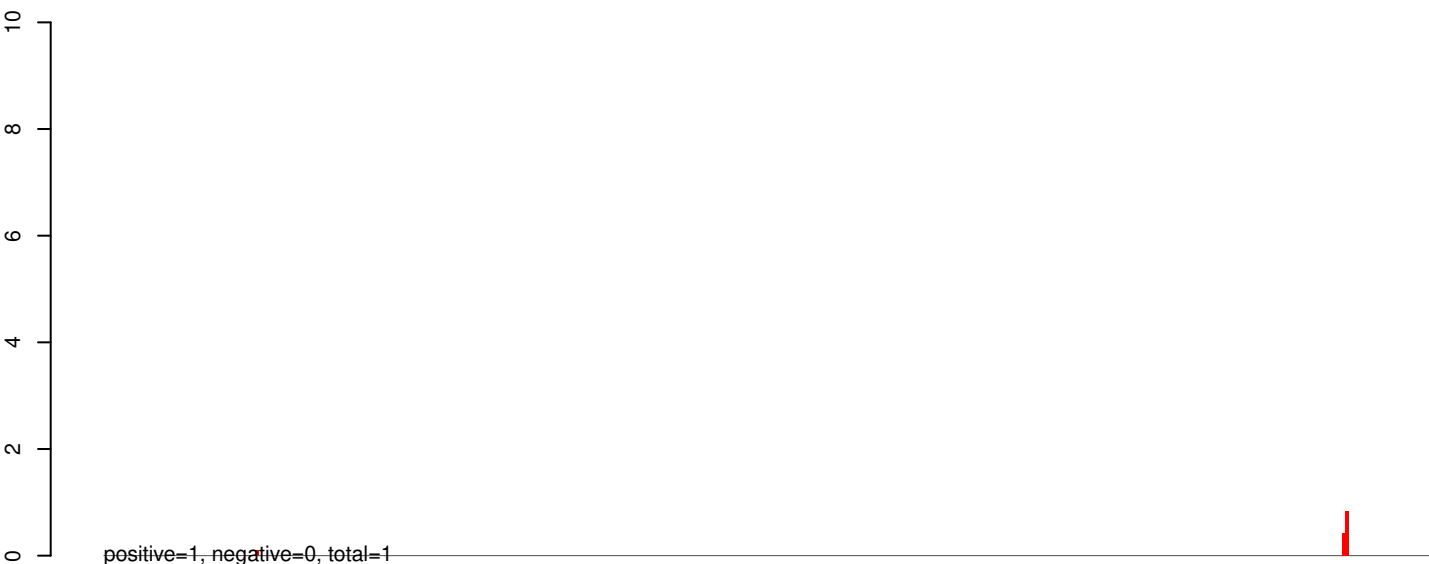
AeAeg_Whole_ZIKVdr_In2_GP.rep



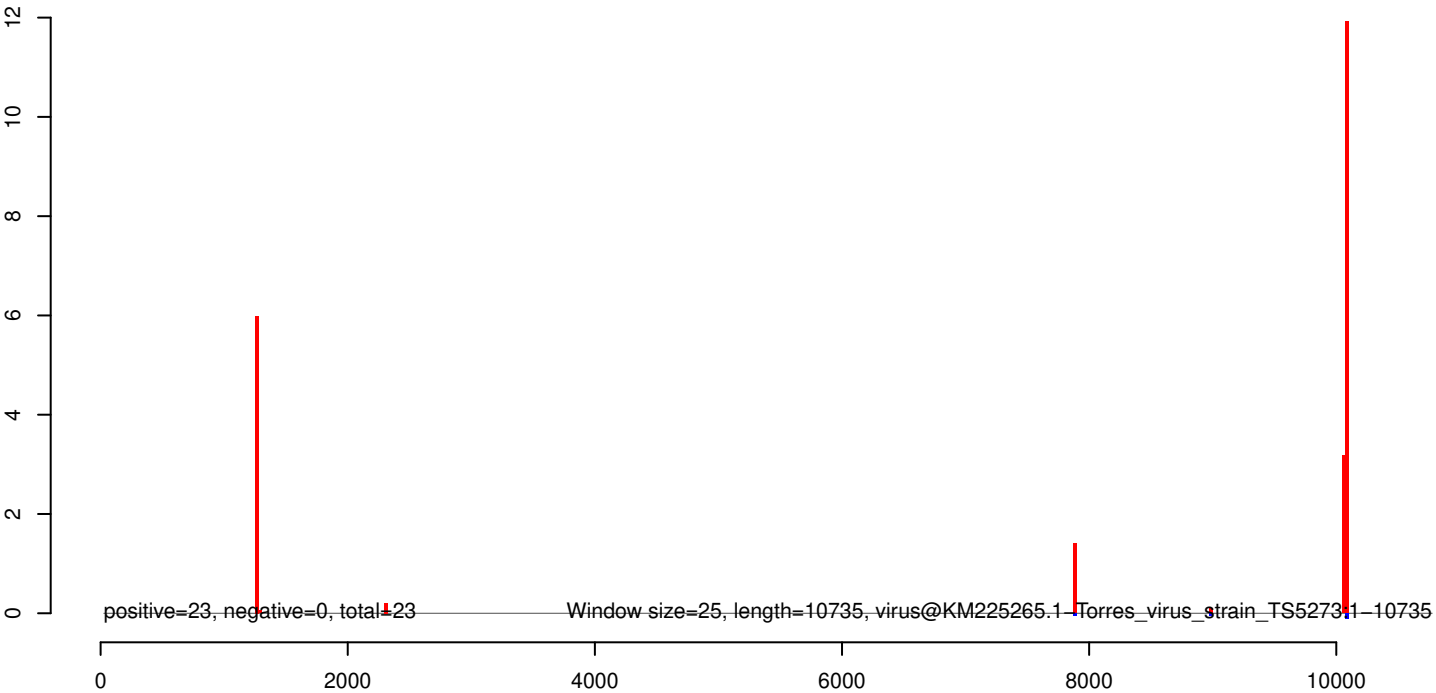
AeAeg_Whole_ZIKVdr_In2_GP.18_23.rep



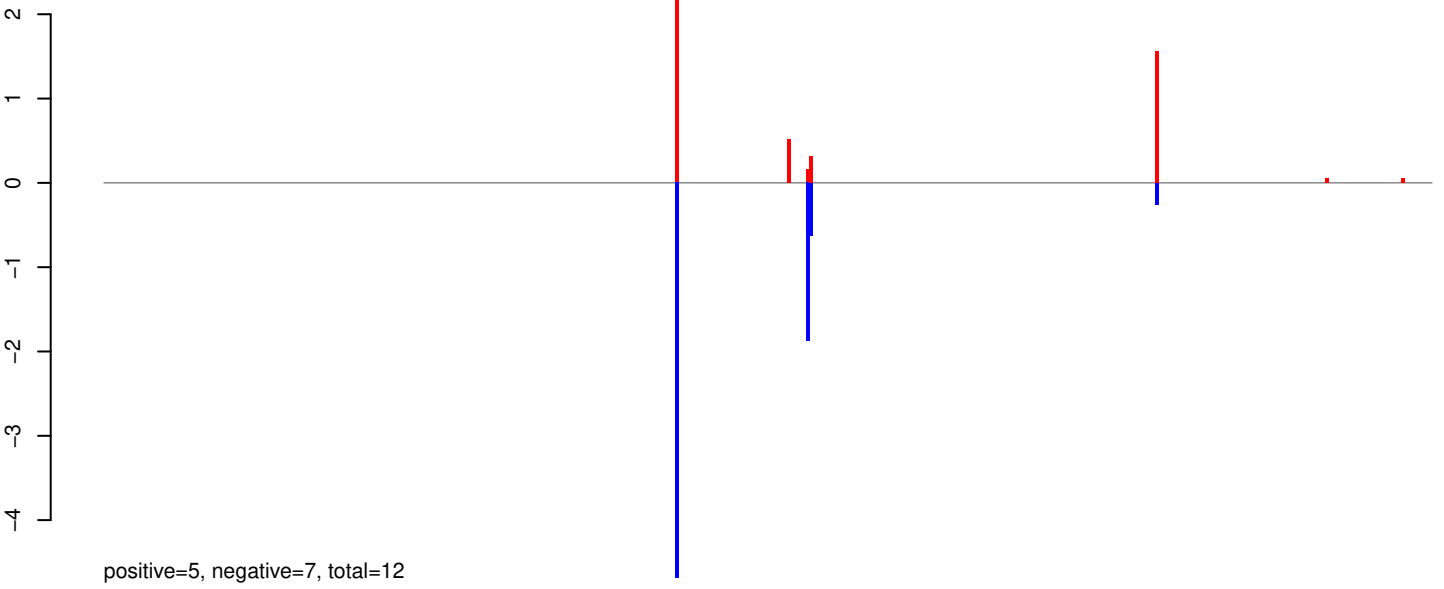
AeAeg_Whole_ZIKVdr_In2_GP.24_35.rep



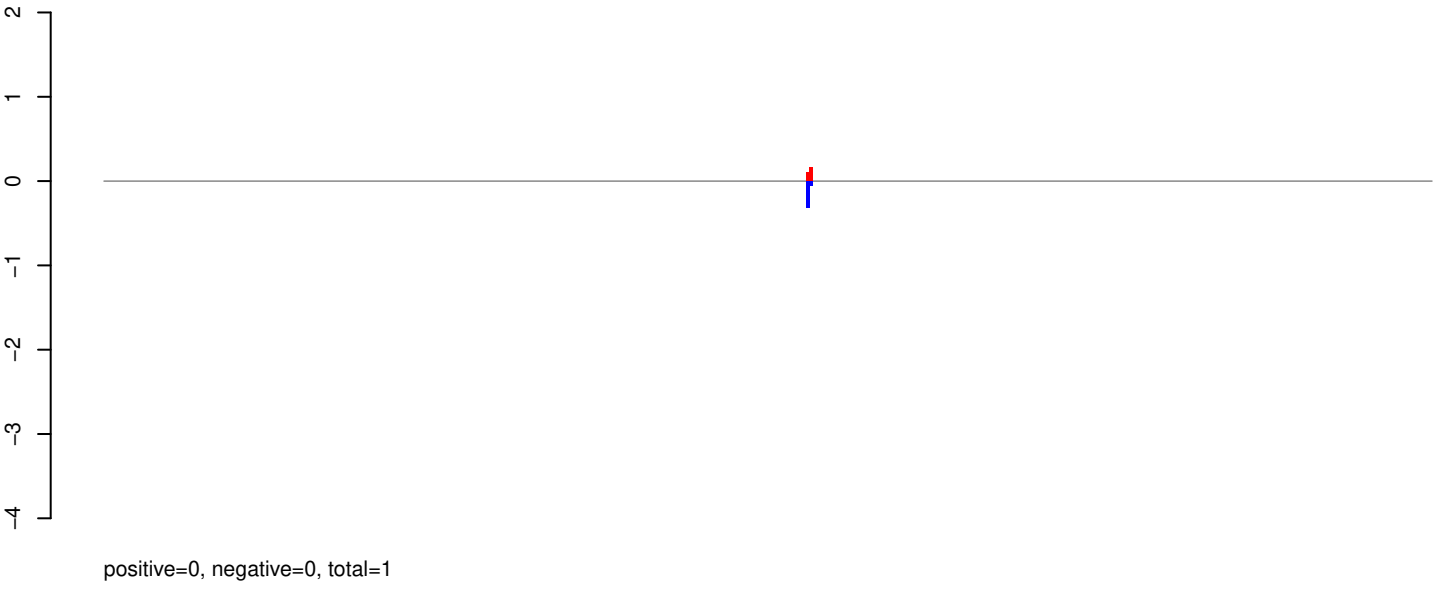
AeAeg_Whole_ZIKVdr_In2_GP.rep



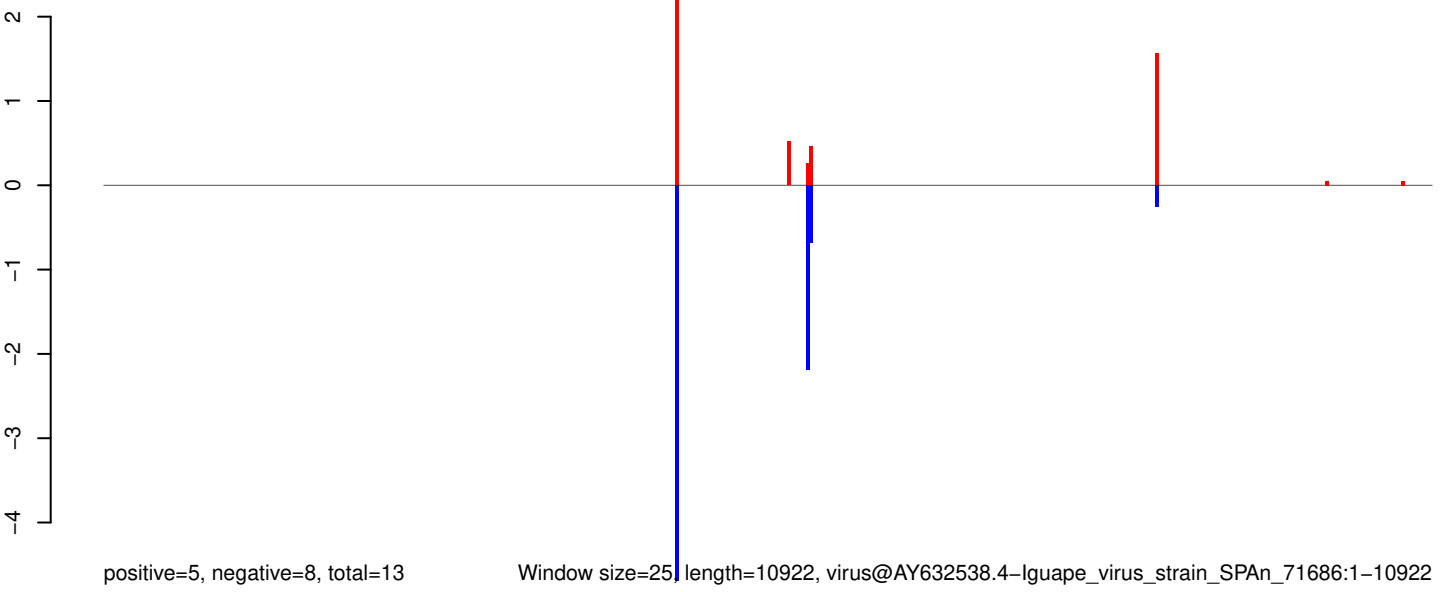
AeAeg_Whole_ZIKVdr_In2_GP.18_23.rep



AeAeg_Whole_ZIKVdr_In2_GP.24_35.rep



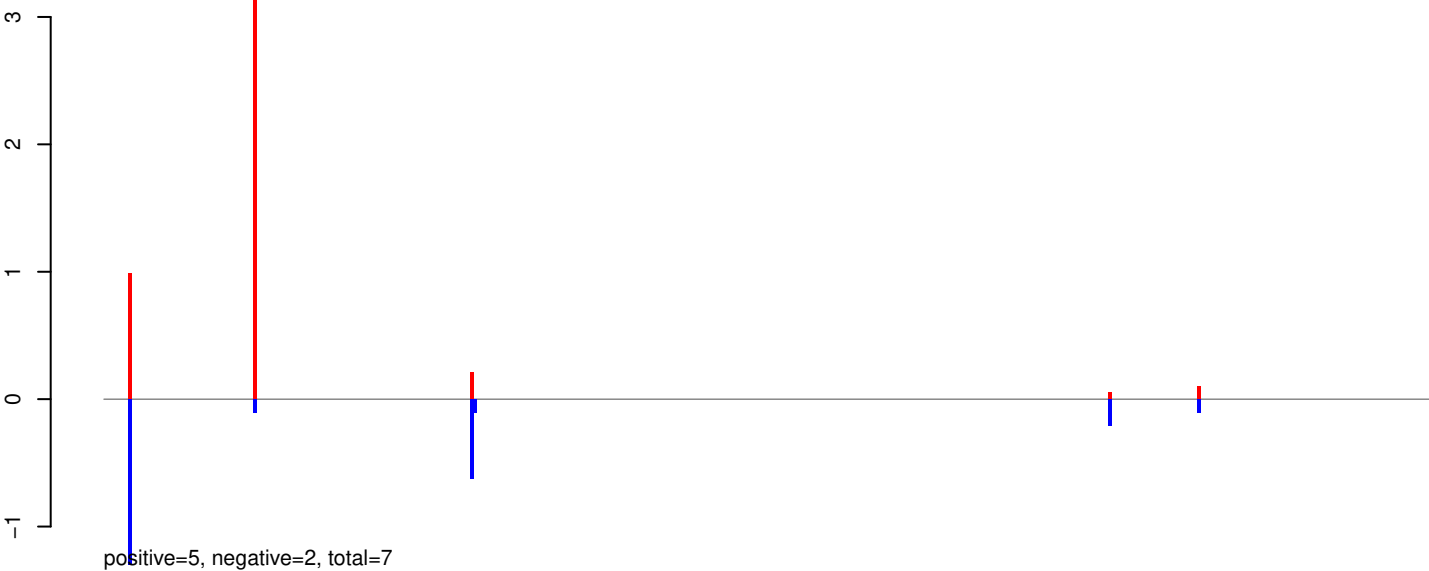
AeAeg_Whole_ZIKVdr_In2_GP.rep



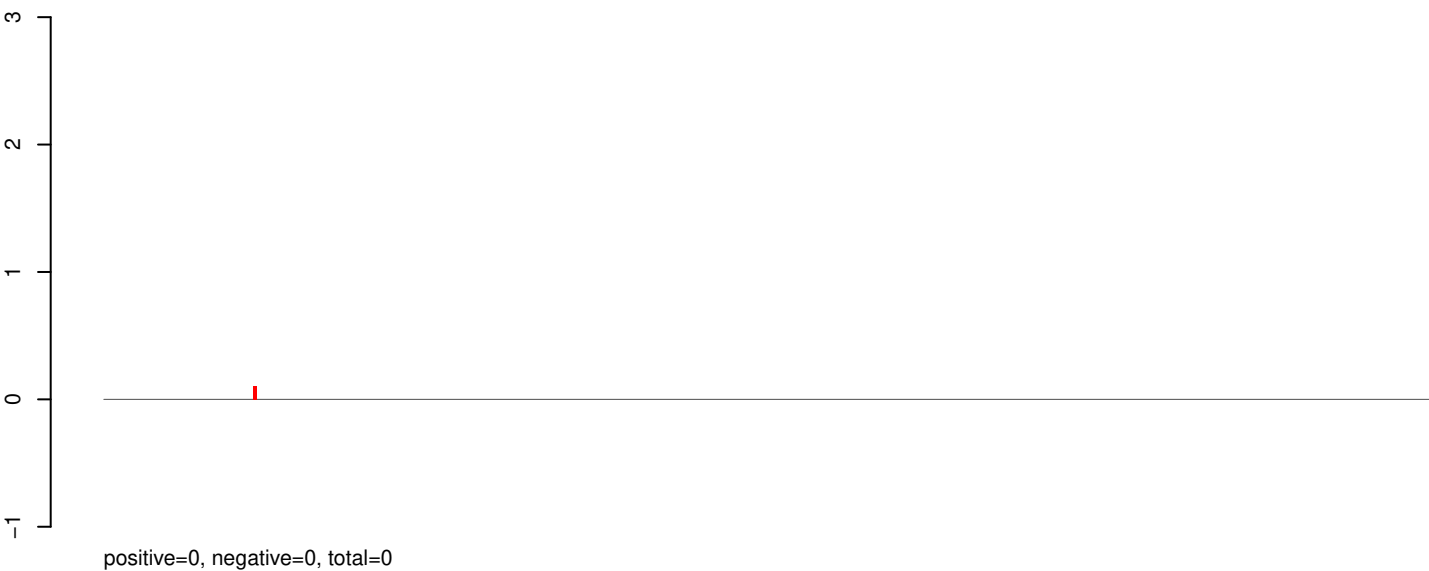
Window size=25, length=10922, virus@AY632538.4-Iguape_virus_strain_SPAn_71686:1-10922

0 2000 4000 6000 8000 10000

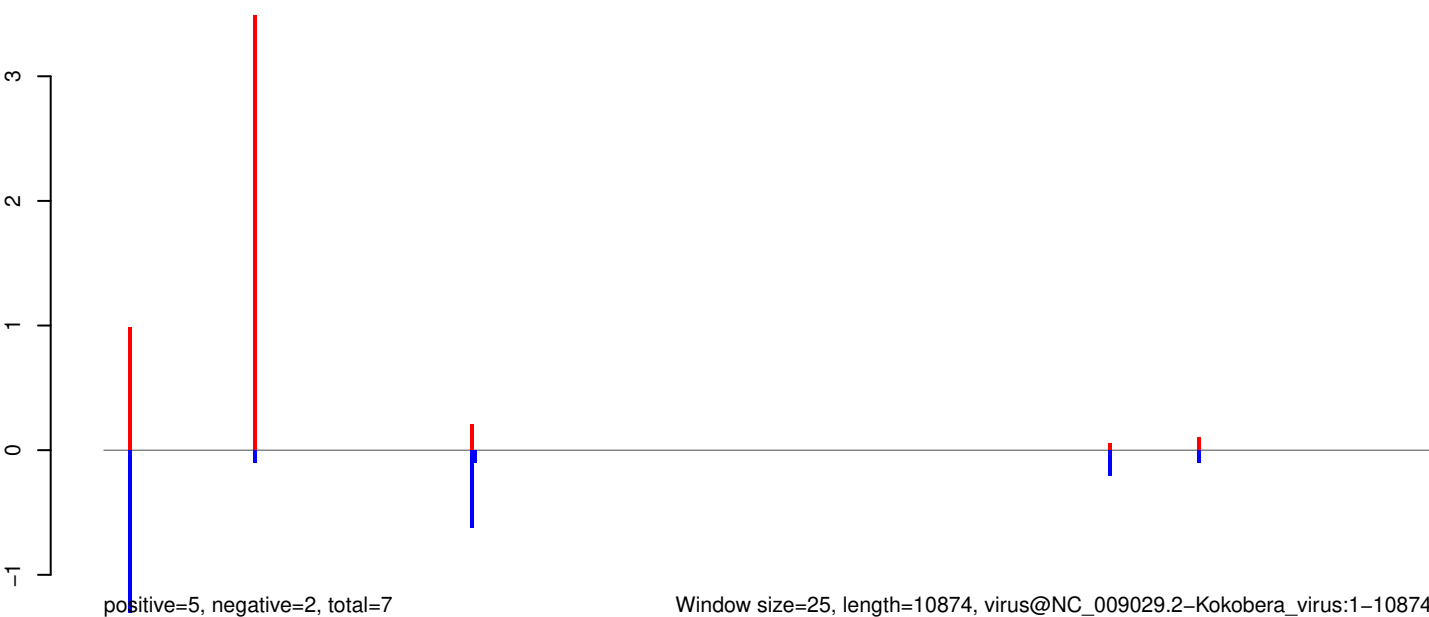
AeAeg_Whole_ZIKVdr_In2_GP.18_23.rep



AeAeg_Whole_ZIKVdr_In2_GP.24_35.rep



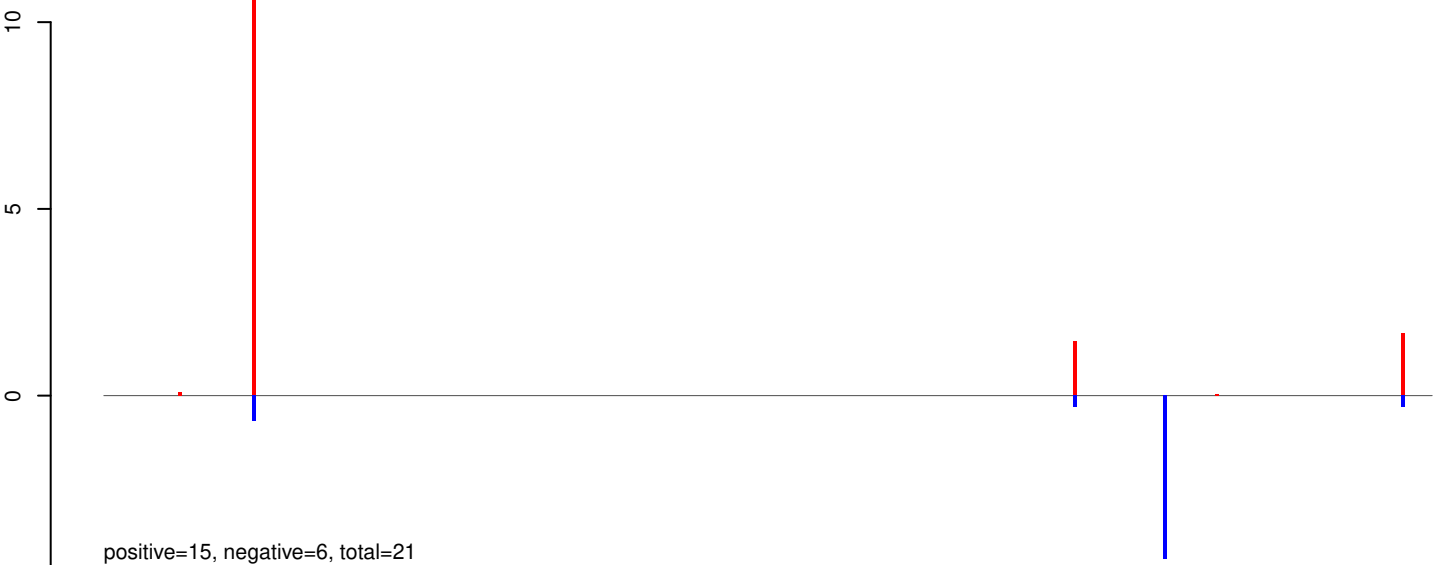
AeAeg_Whole_ZIKVdr_In2_GP.rep



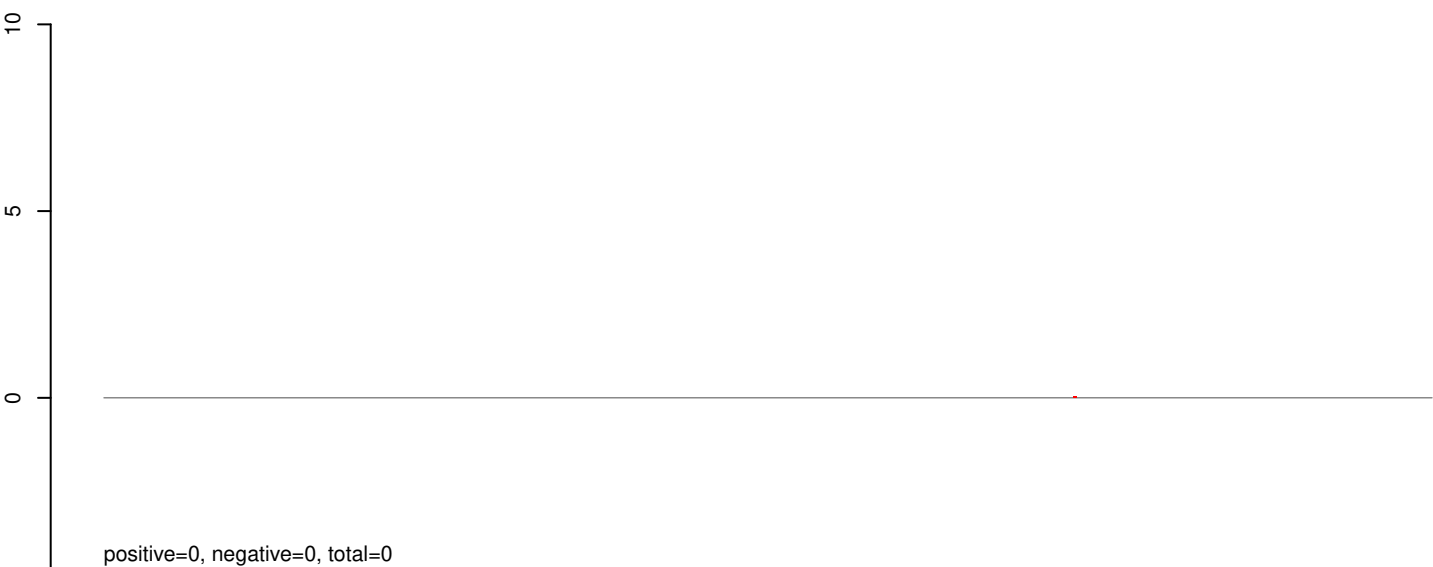
Window size=25, length=10874, virus@NC_009029.2-Kokobera_virus:1-10874

0 2000 4000 6000 8000 10000

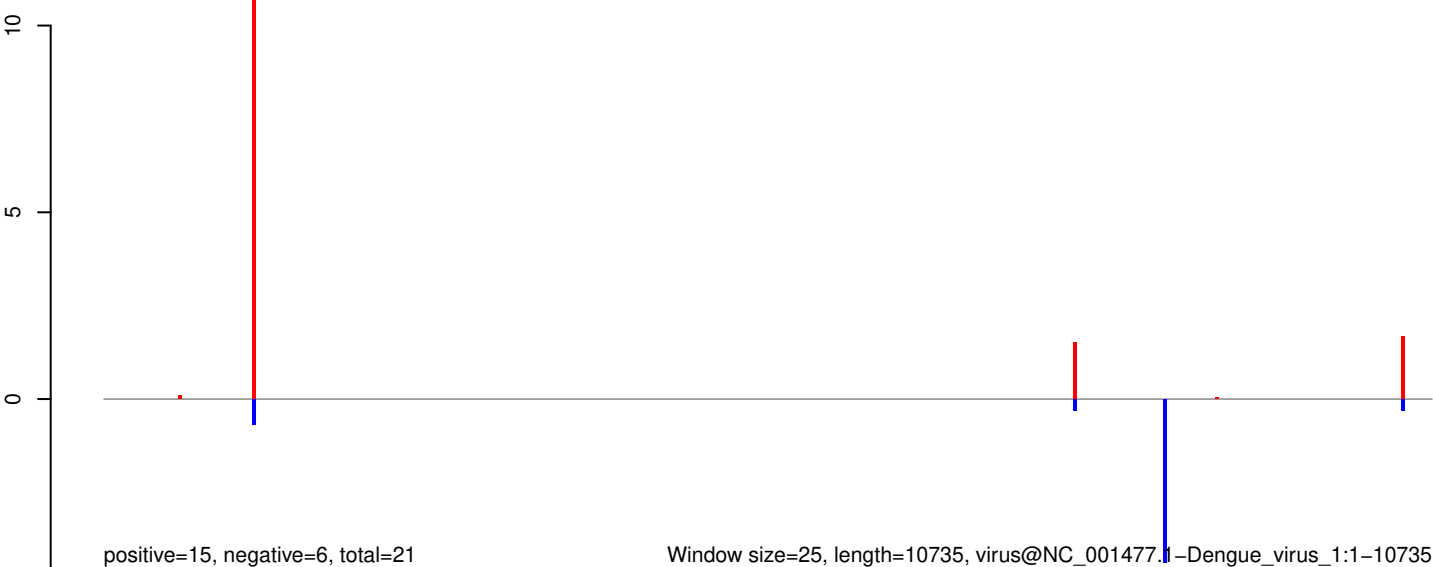
AeAeg_Whole_ZIKVdr_In2_GP.18_23.rep



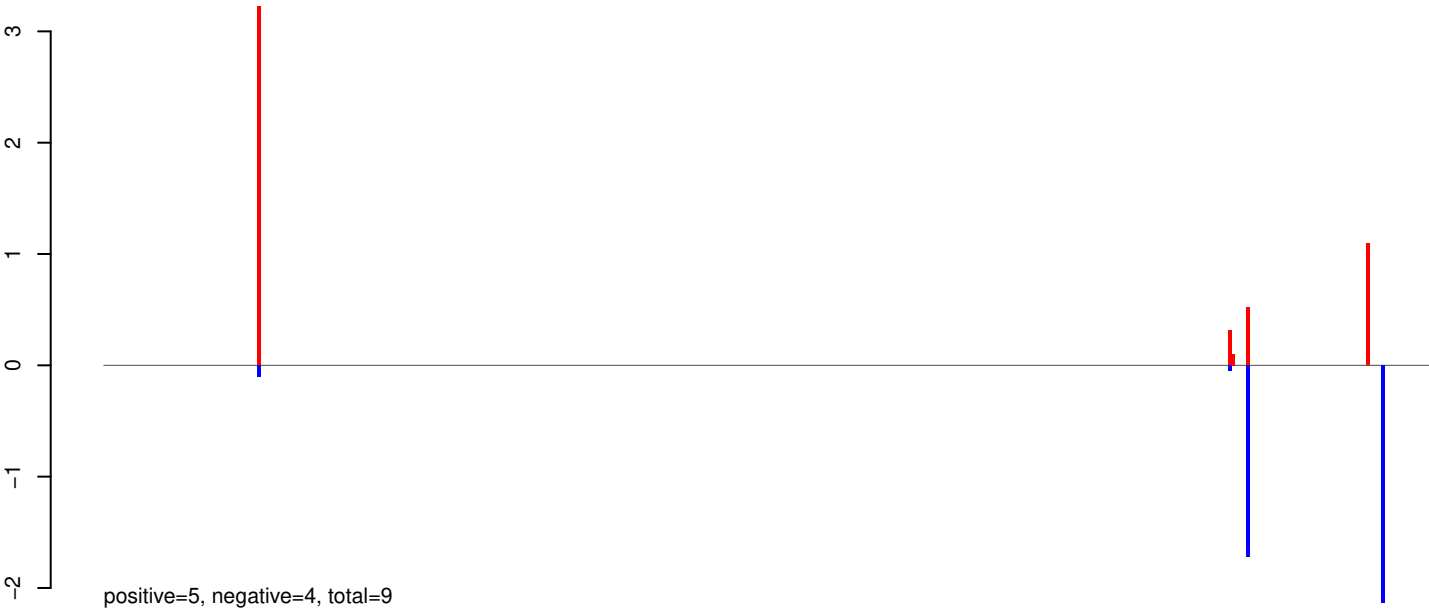
AeAeg_Whole_ZIKVdr_In2_GP.24_35.rep



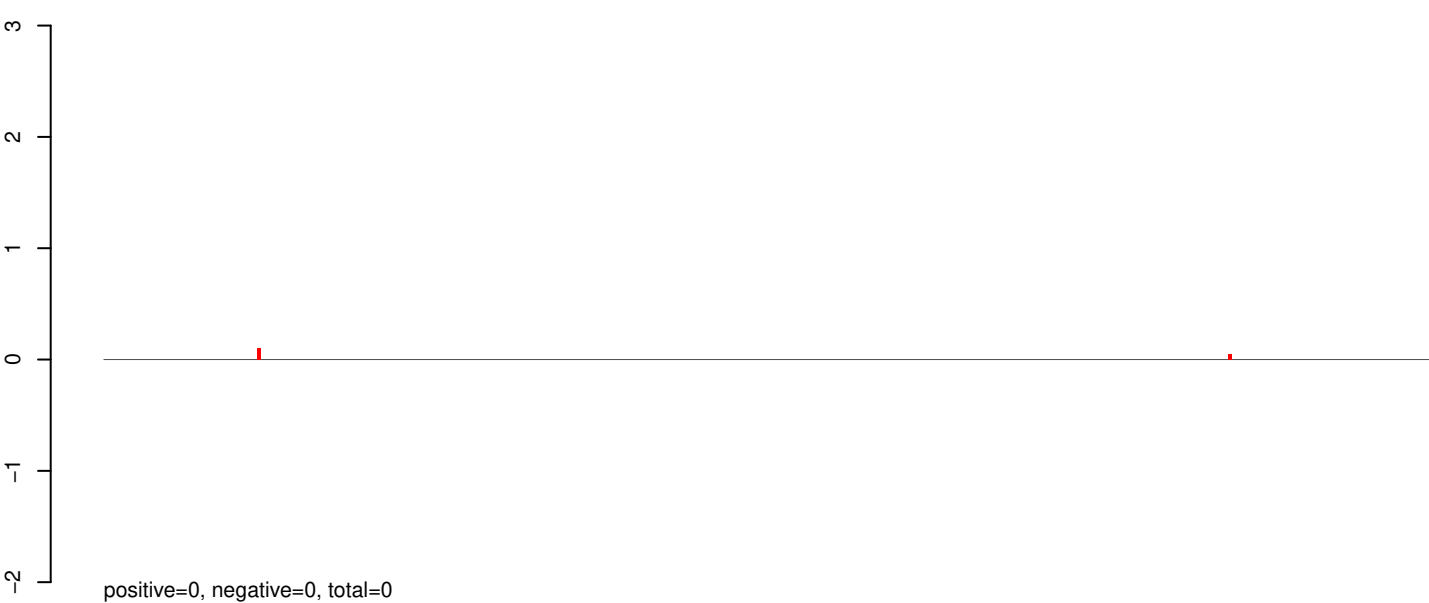
AeAeg_Whole_ZIKVdr_In2_GP.rep



AeAeg_Whole_ZIKVdr_In2_GP.18_23.rep



AeAeg_Whole_ZIKVdr_In2_GP.24_35.rep



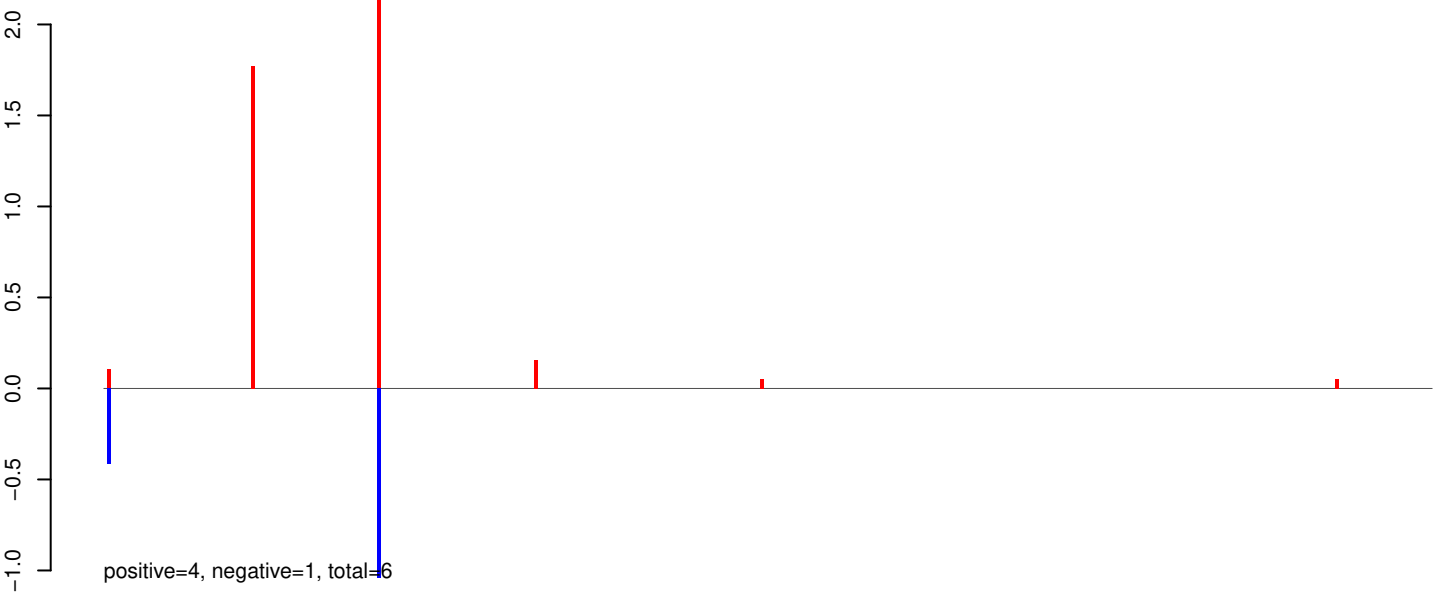
AeAeg_Whole_ZIKVdr_In2_GP.rep



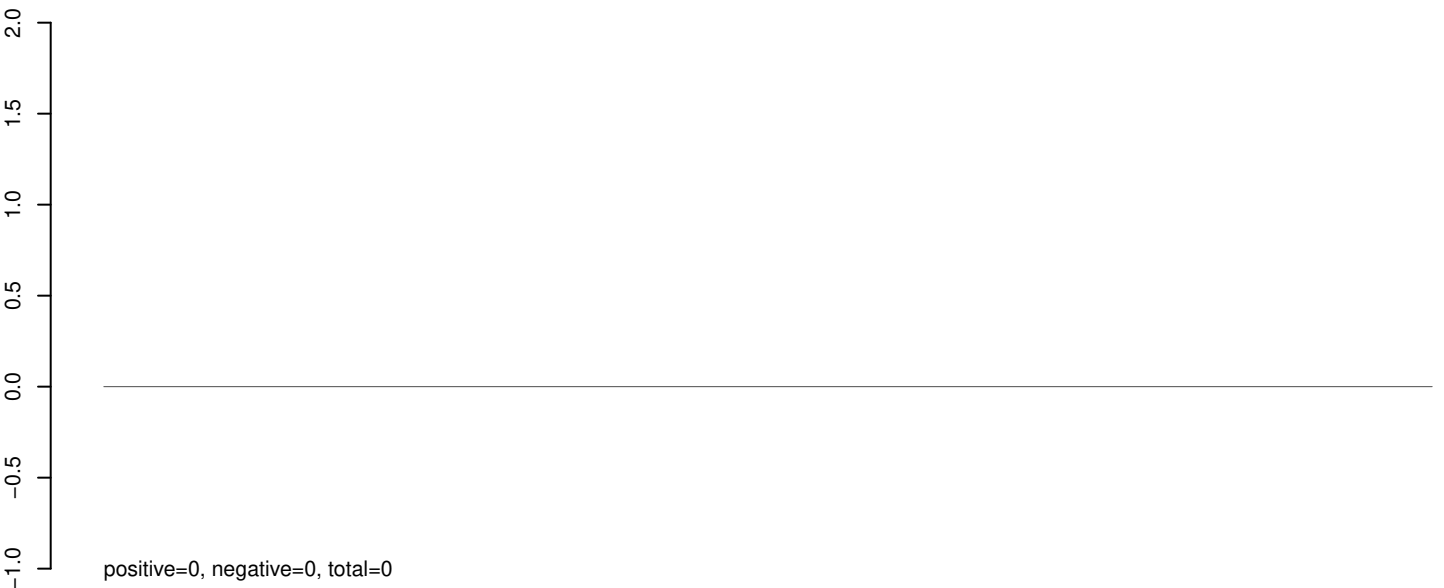
Window size=25, length=10560, virus@KM225263.1-Stratford_virus_strain_C338:1-10560

0 2000 4000 6000 8000 10000

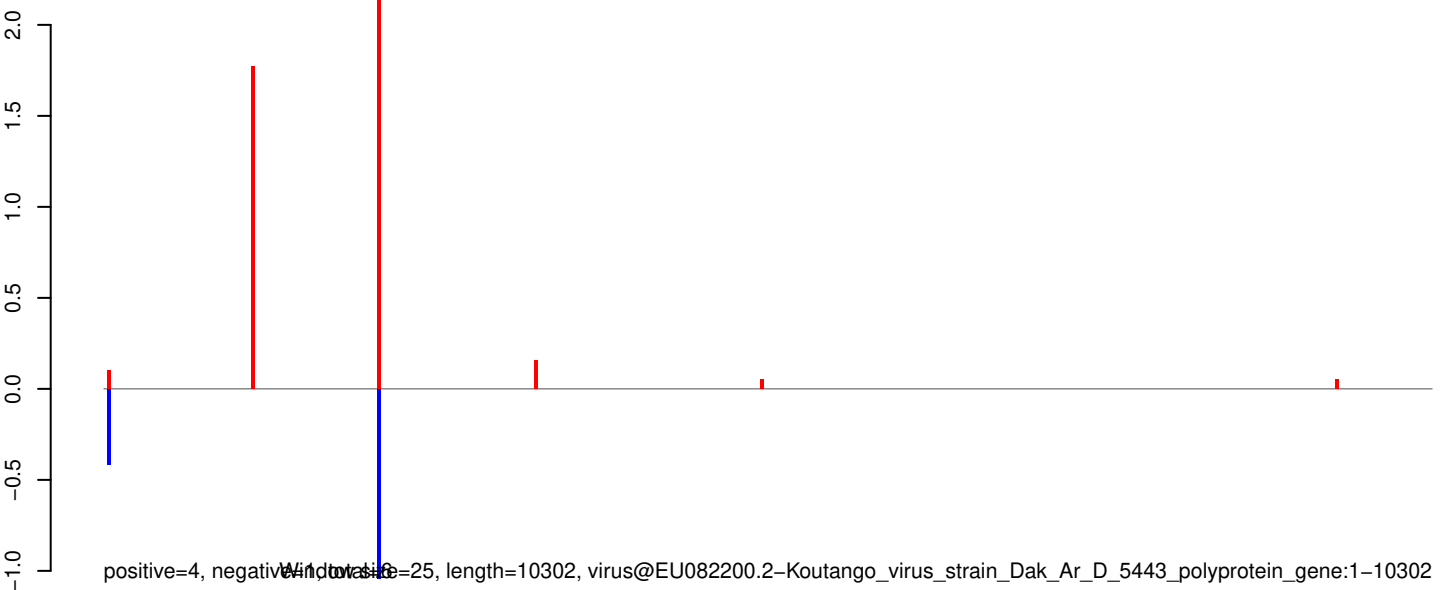
AeAeg_Whole_ZIKVdr_In2_GP.18_23.rep



AeAeg_Whole_ZIKVdr_In2_GP.24_35.rep

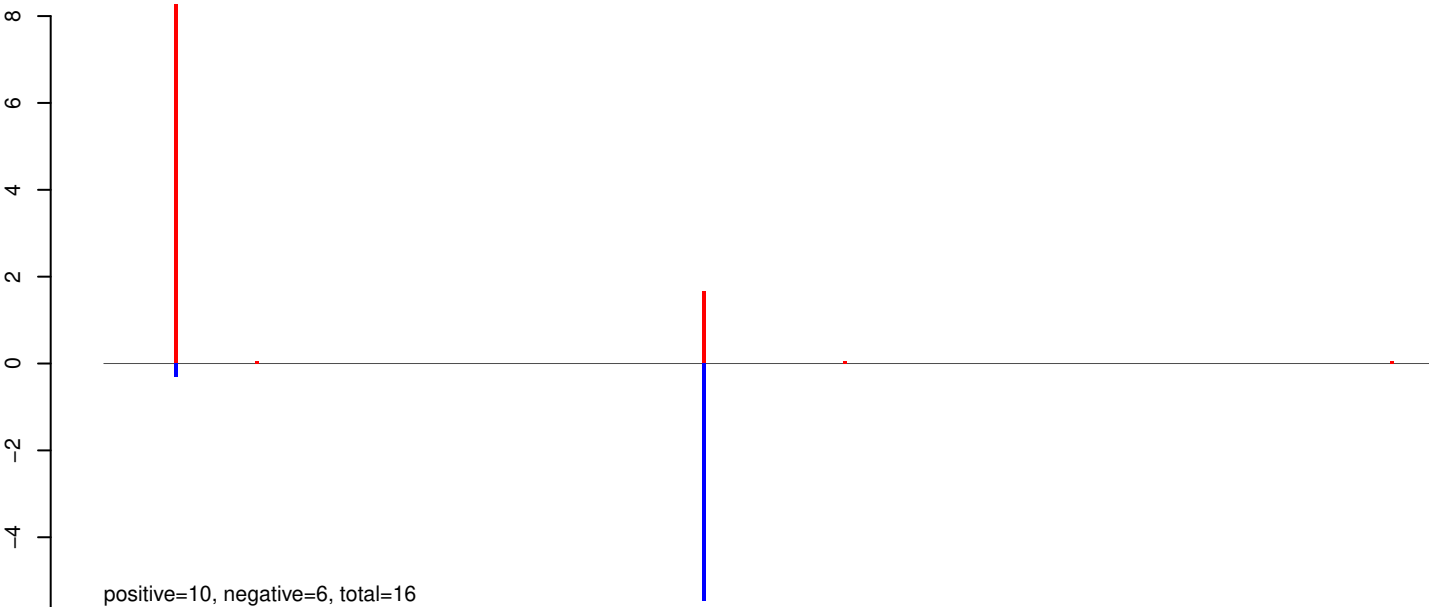


AeAeg_Whole_ZIKVdr_In2_GP.rep

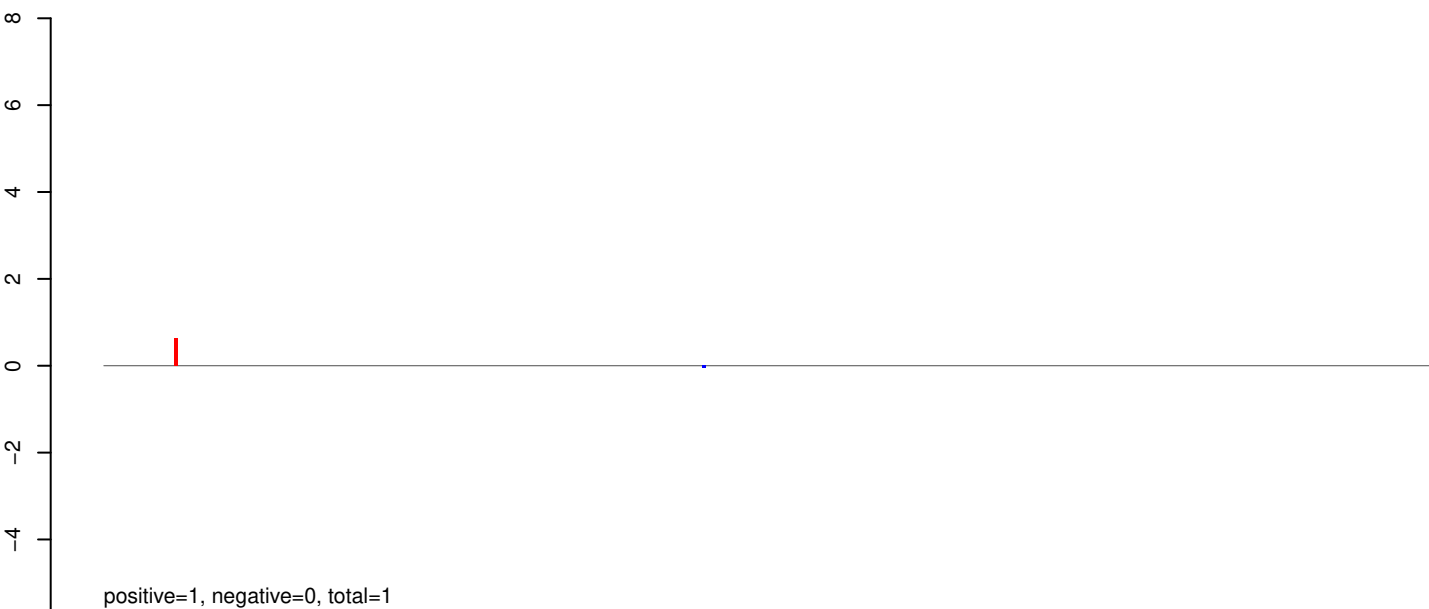


Window size=25, length=10302, virus@EU082200.2-Koutango_virus_strain_Dak_Ar_D_5443_polyprotein_gene:1-10302

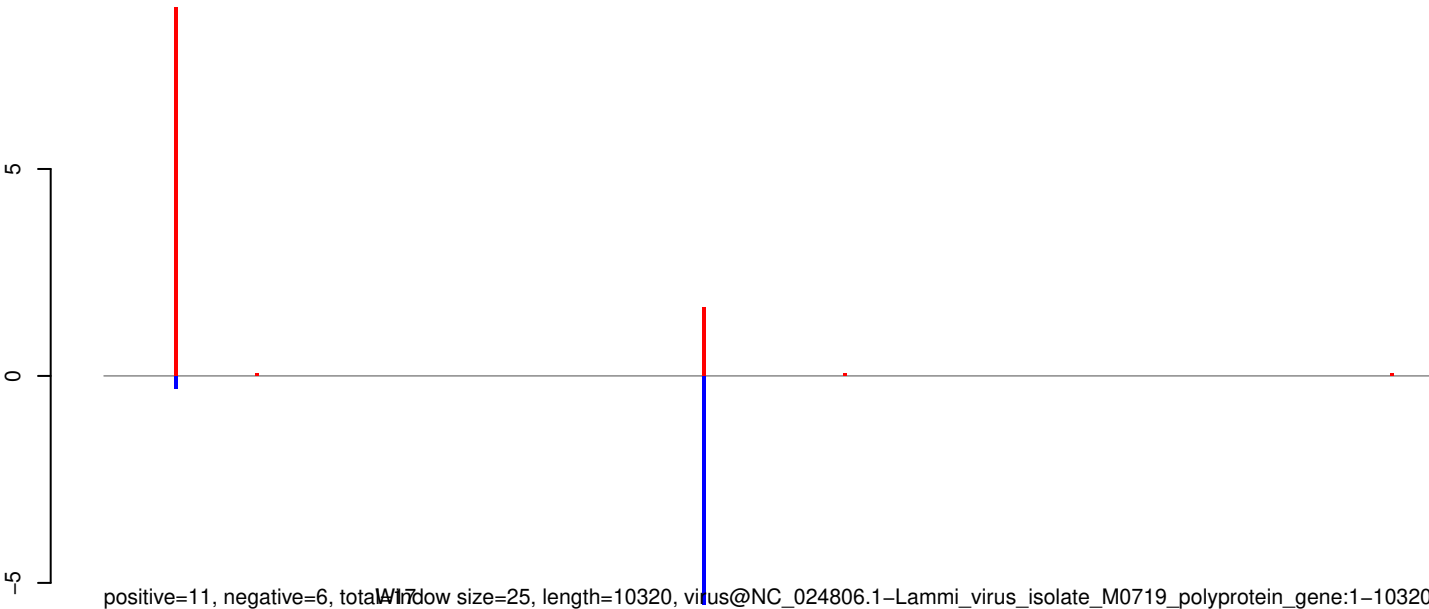
AeAeg_Whole_ZIKVdr_In2_GP.18_23.rep



AeAeg_Whole_ZIKVdr_In2_GP.24_35.rep

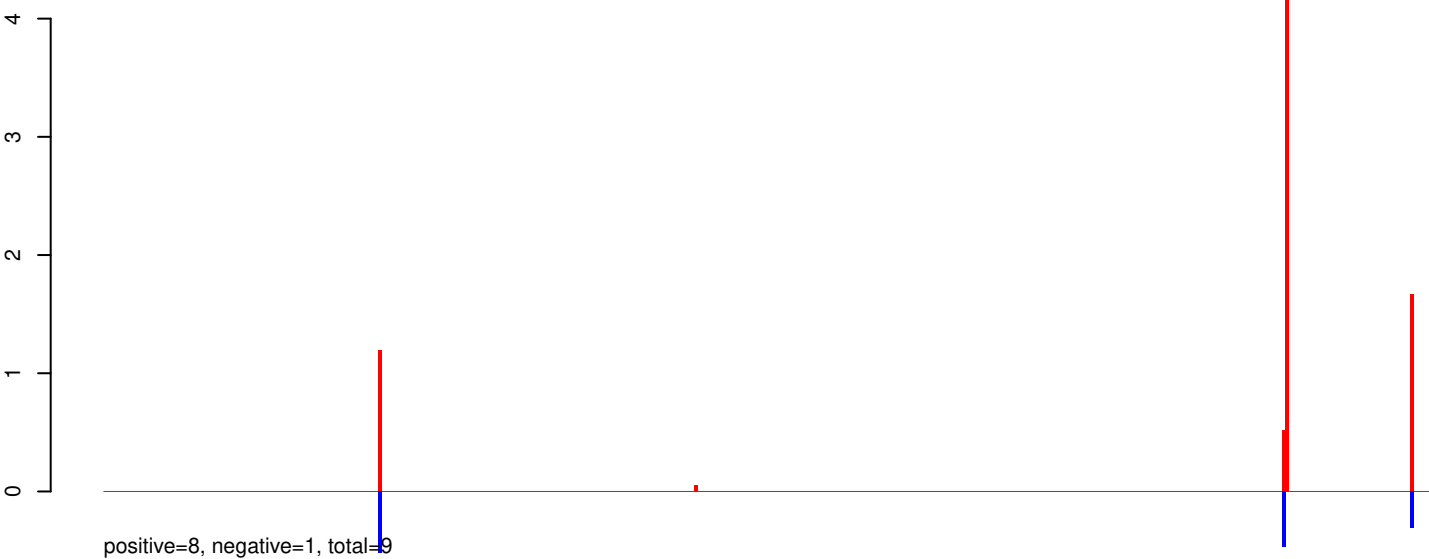


AeAeg_Whole_ZIKVdr_In2_GP.rep



Window size=25, length=10320, virus@NC_024806.1-Lammi_virus_isolate_M0719_polyprotein_gene:1-10320

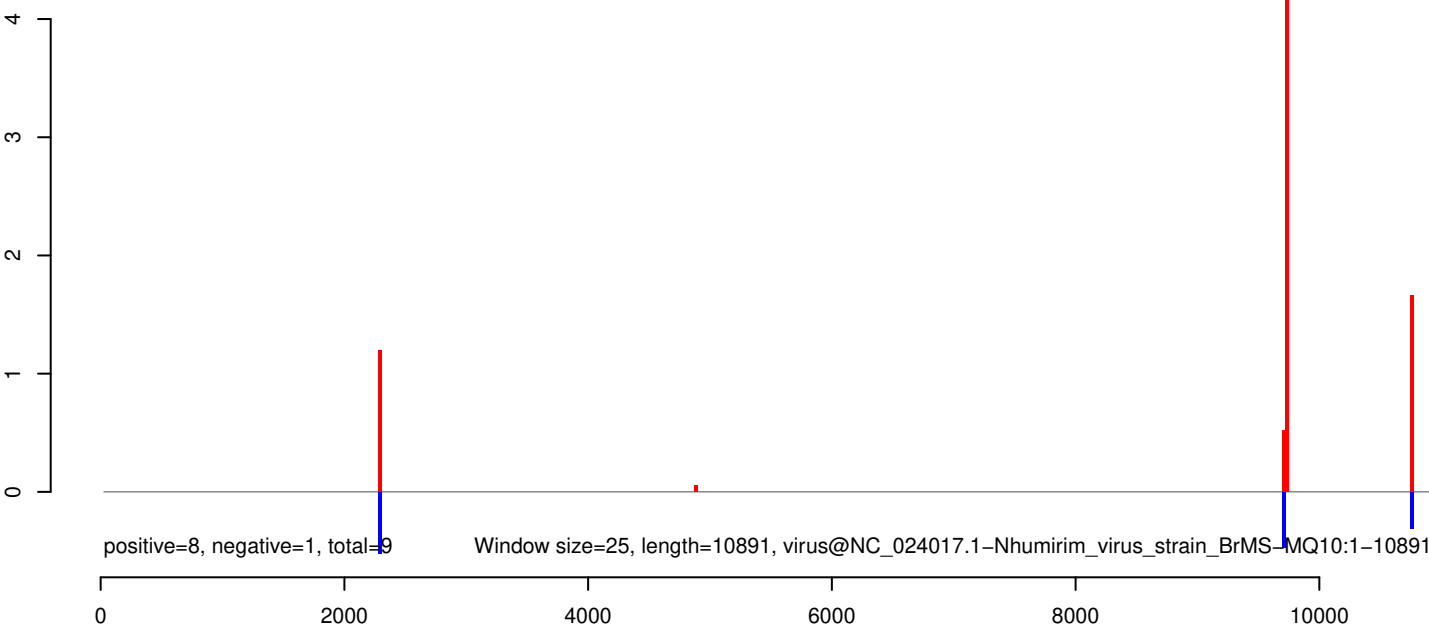
AeAeg_Whole_ZIKVdr_In2_GP.18_23.rep



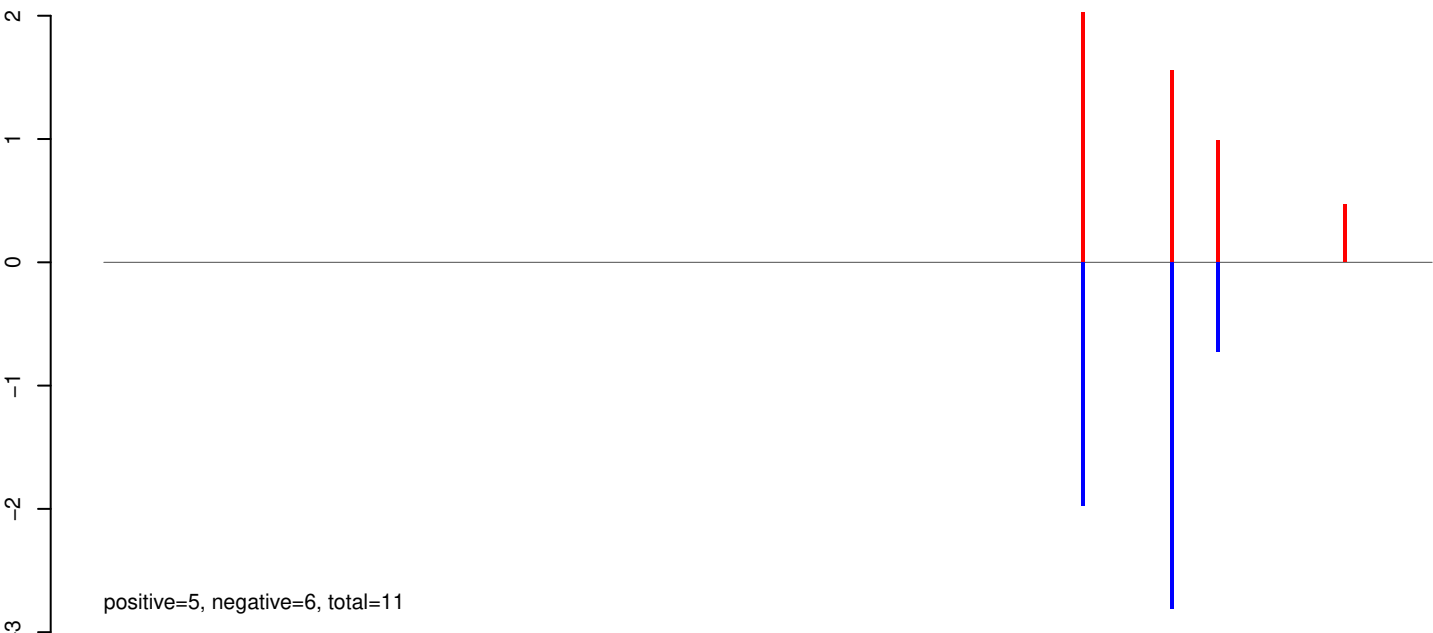
AeAeg_Whole_ZIKVdr_In2_GP.24_35.rep



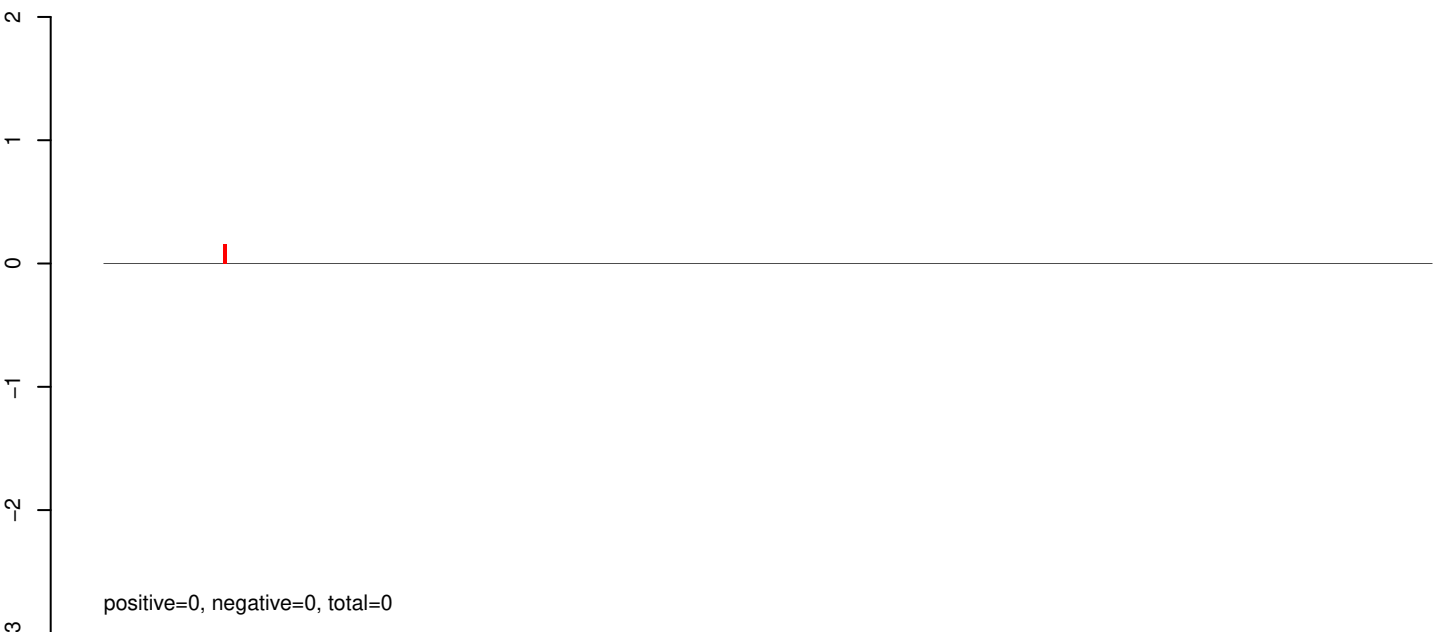
AeAeg_Whole_ZIKVdr_In2_GP.rep



AeAeg_Whole_ZIKVdr_In2_GP.18_23.rep



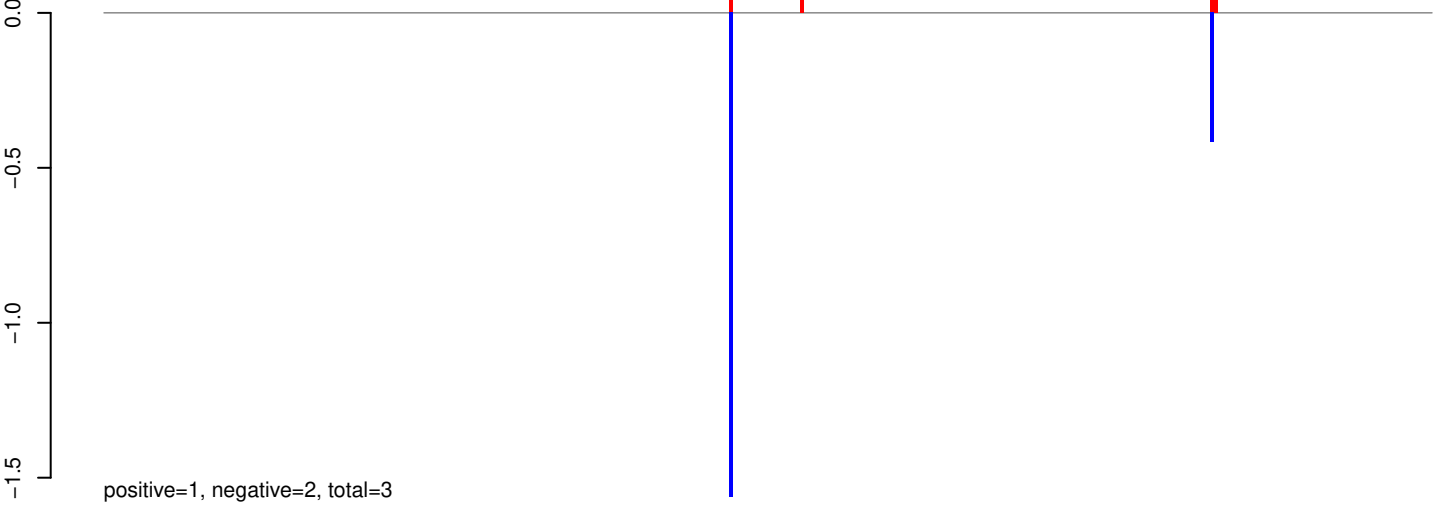
AeAeg_Whole_ZIKVdr_In2_GP.24_35.rep



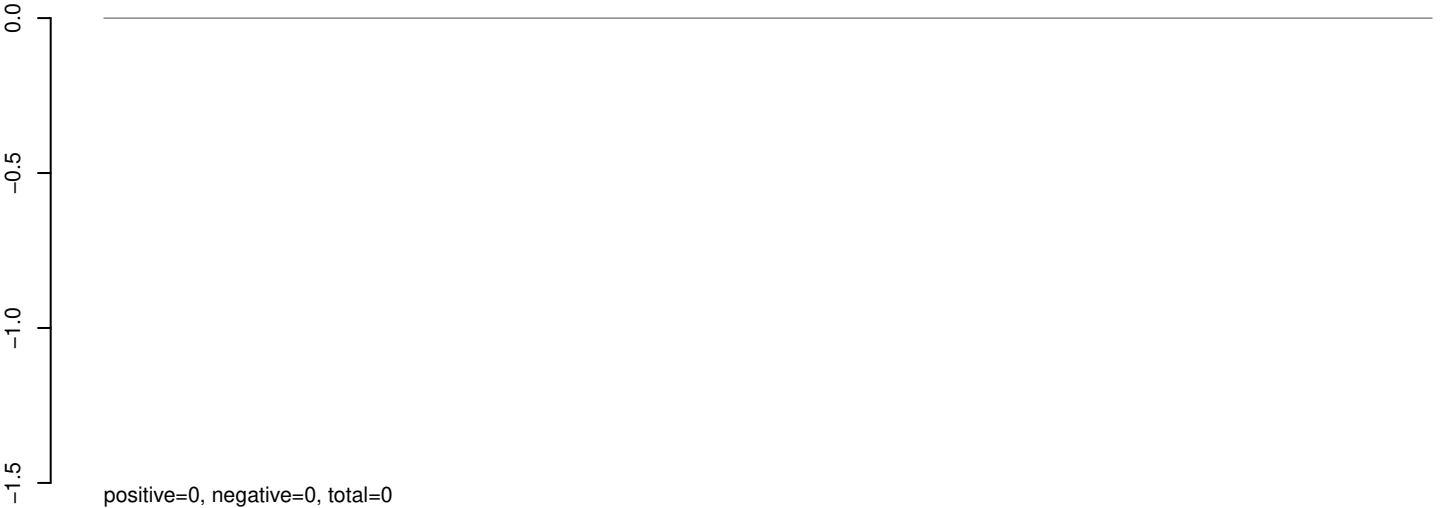
AeAeg_Whole_ZIKVdr_In2_GP.rep



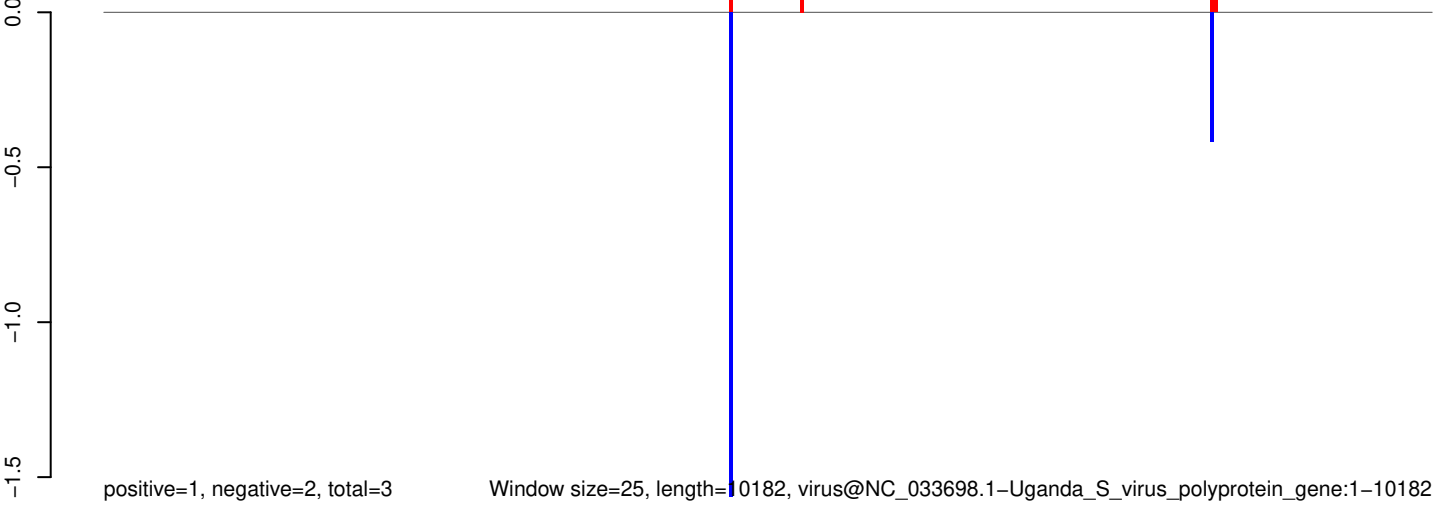
AeAeg_Whole_ZIKVdr_In2_GP.18_23.rep



AeAeg_Whole_ZIKVdr_In2_GP.24_35.rep



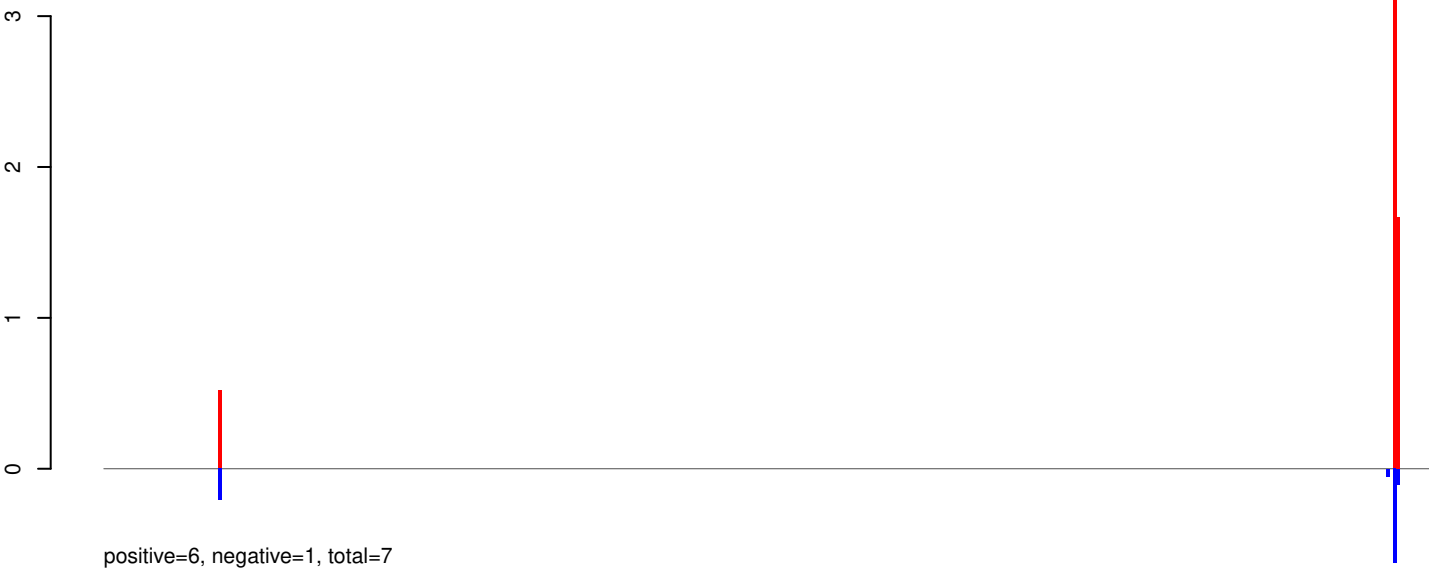
AeAeg_Whole_ZIKVdr_In2_GP.rep



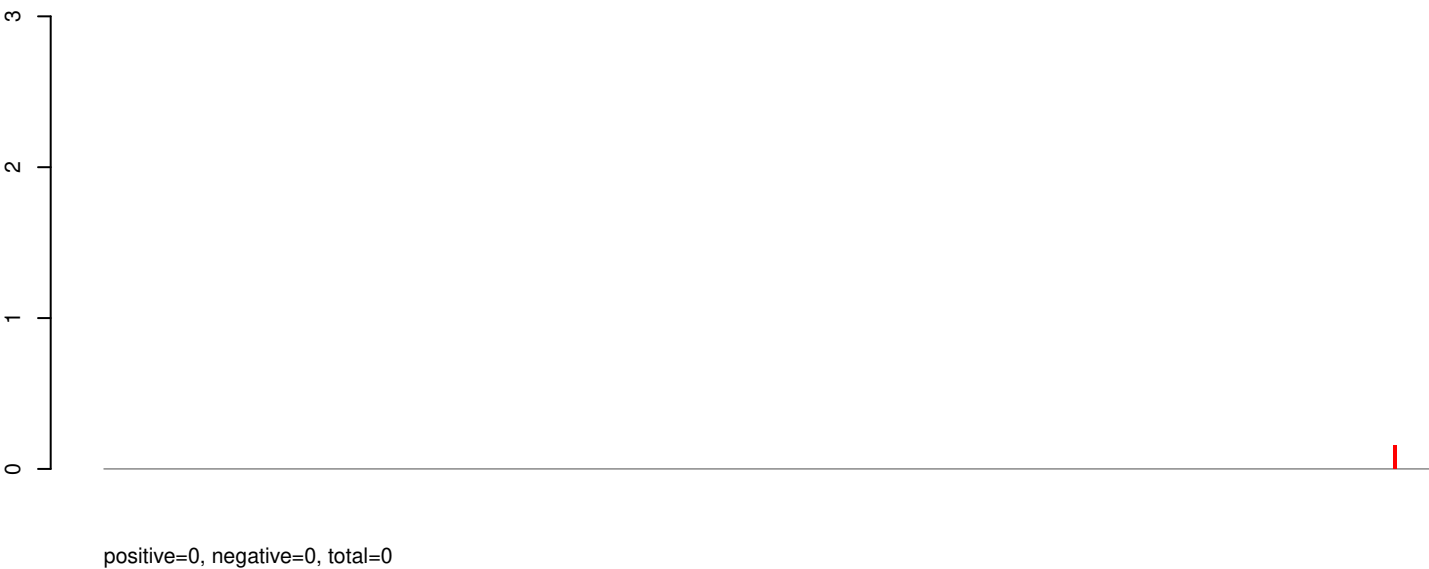
Window size=25, length=10182, virus@NC_033698.1-Uganda_S_virus_polyprotein_gene:1-10182

0 2000 4000 6000 8000 10000

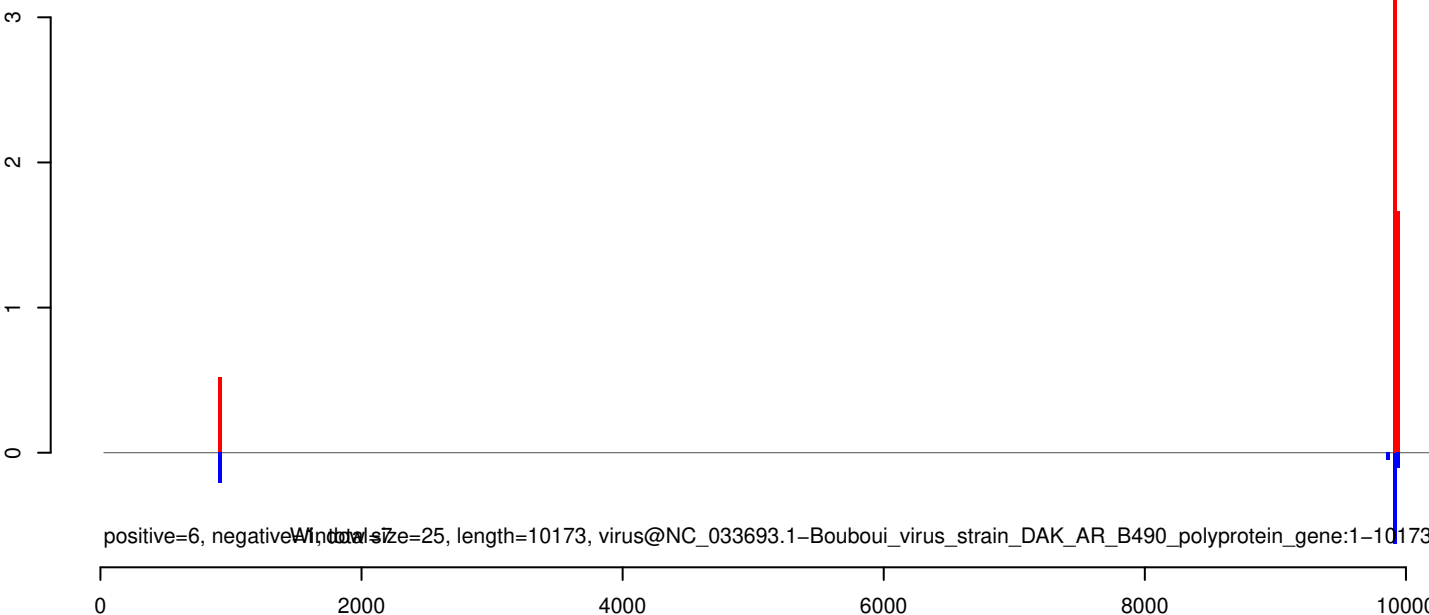
AeAeg_Whole_ZIKVdr_In2_GP.18_23.rep



AeAeg_Whole_ZIKVdr_In2_GP.24_35.rep



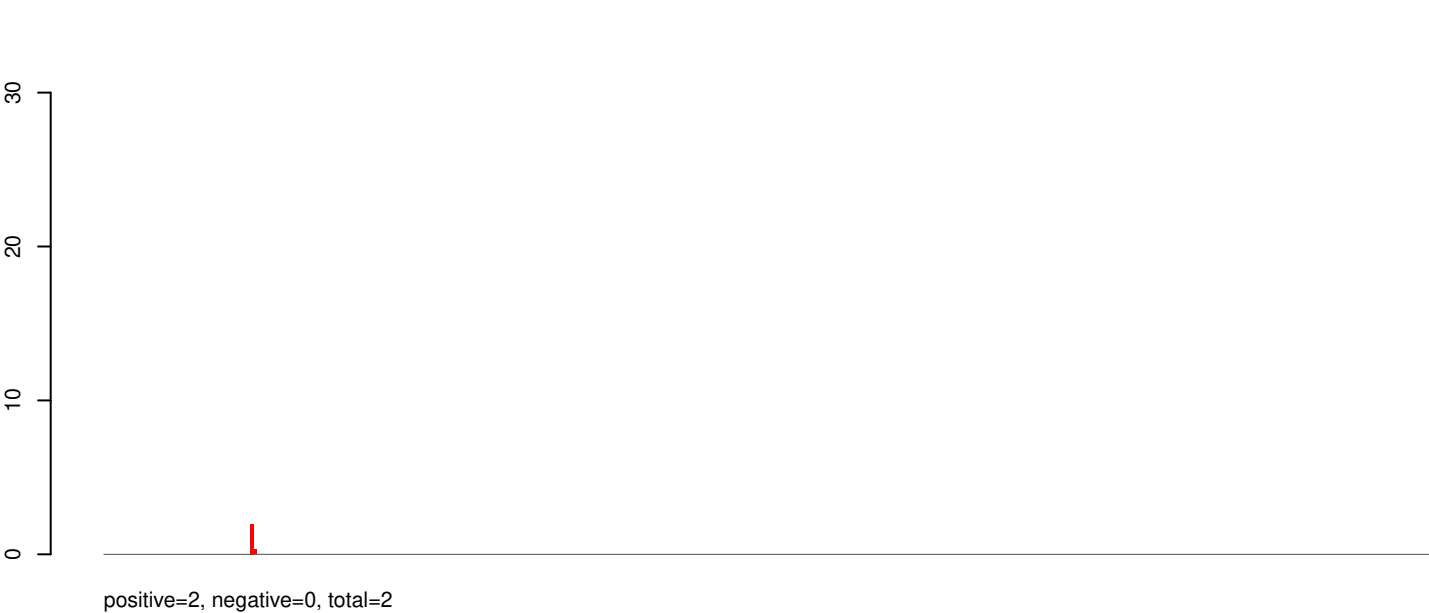
AeAeg_Whole_ZIKVdr_In2_GP.rep



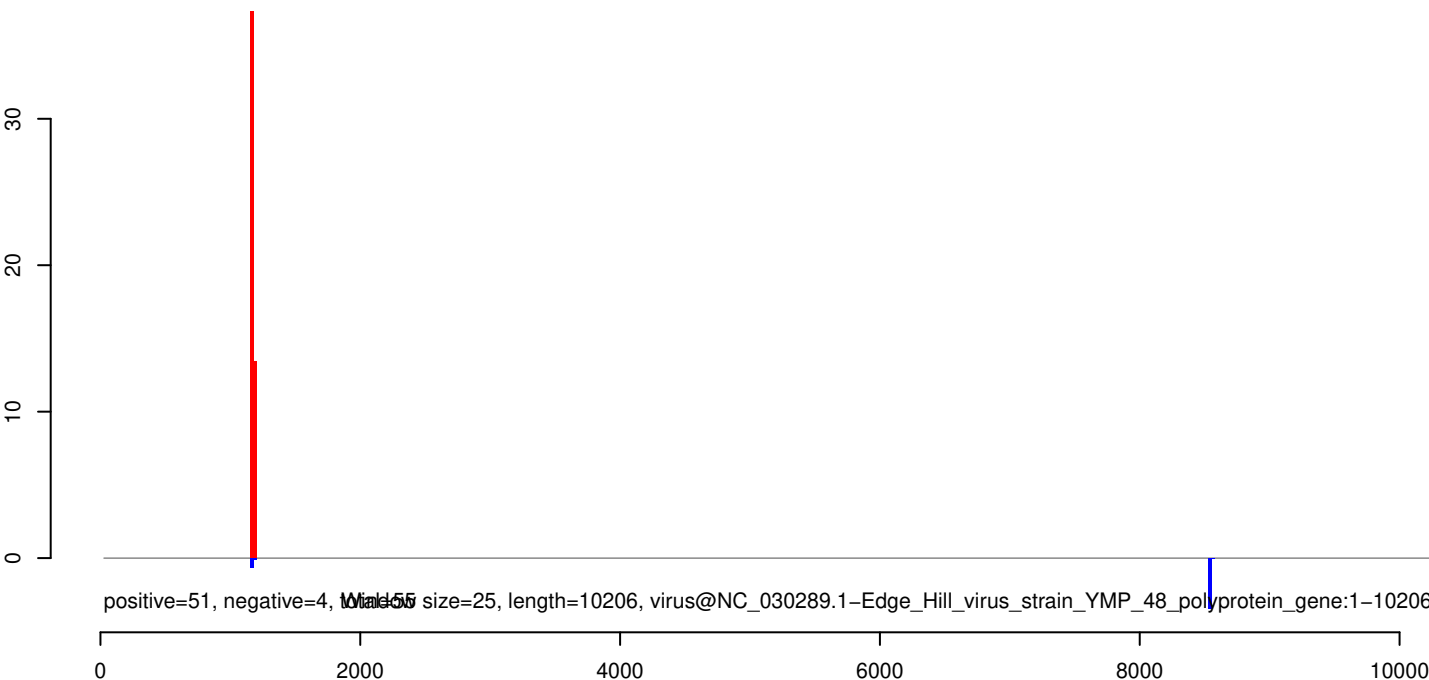
AeAeg_Whole_ZIKVdr_In2_GP.18_23.rep



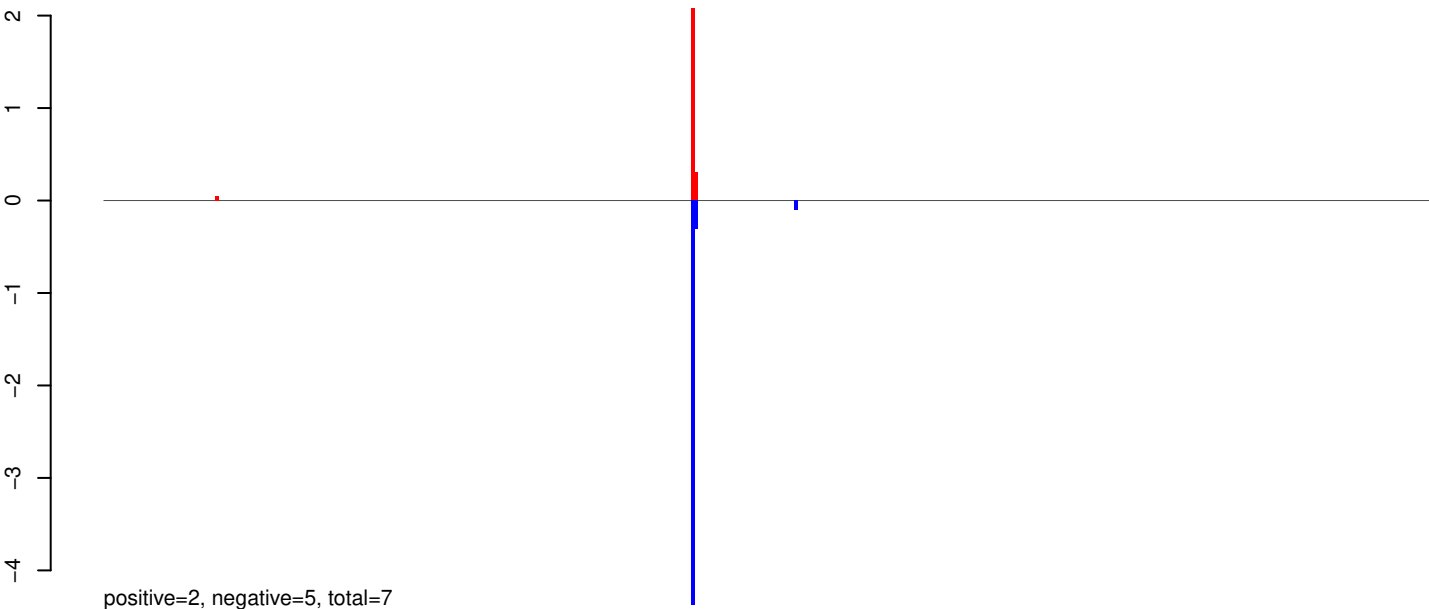
AeAeg_Whole_ZIKVdr_In2_GP.24_35.rep



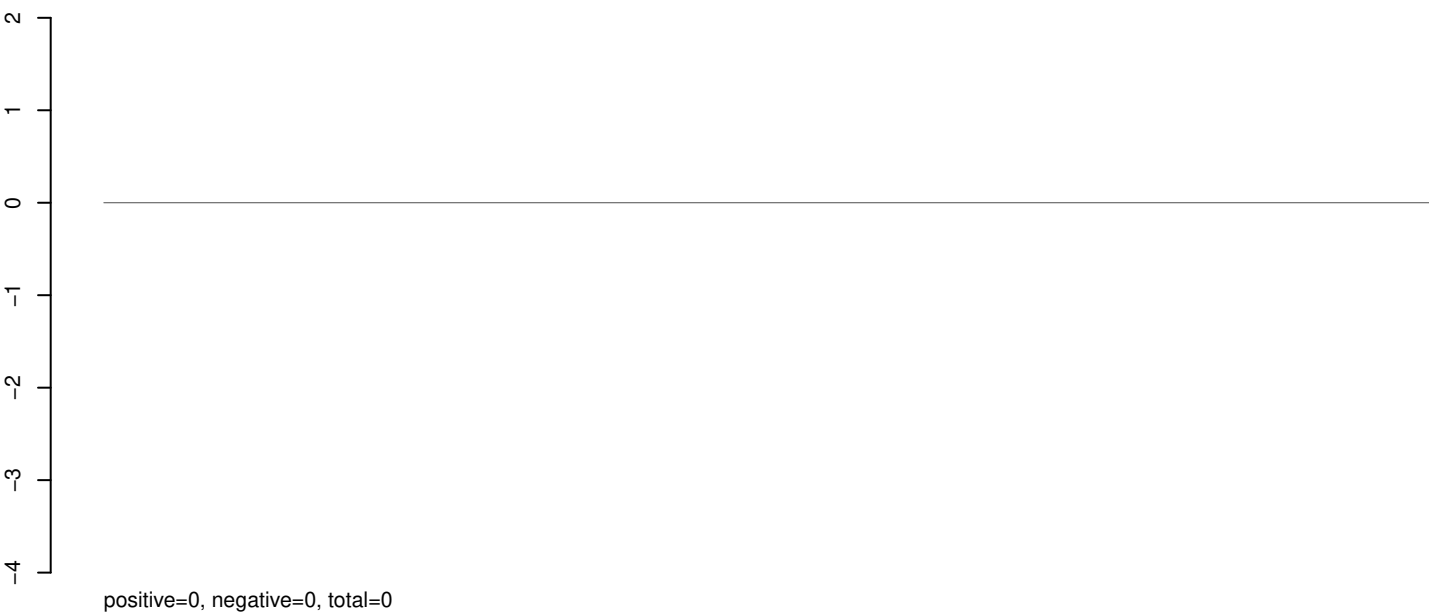
AeAeg_Whole_ZIKVdr_In2_GP.rep



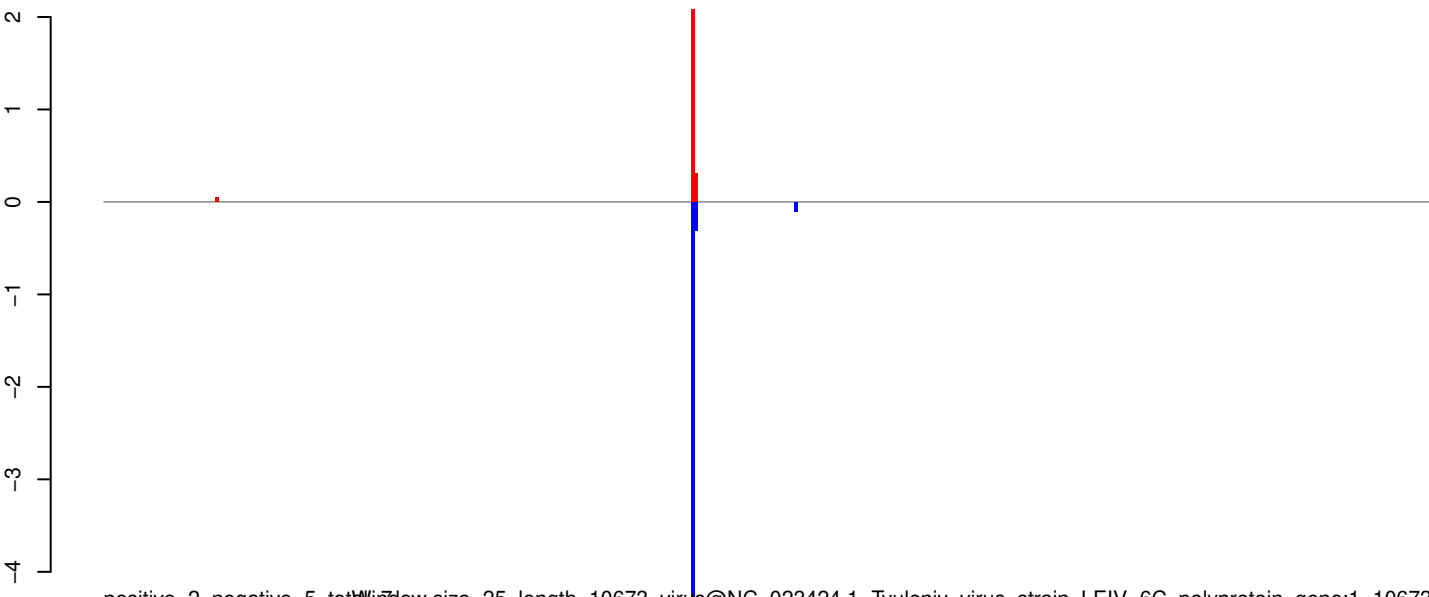
AeAeg_Whole_ZIKVdr_In2_GP.18_23.rep



AeAeg_Whole_ZIKVdr_In2_GP.24_35.rep



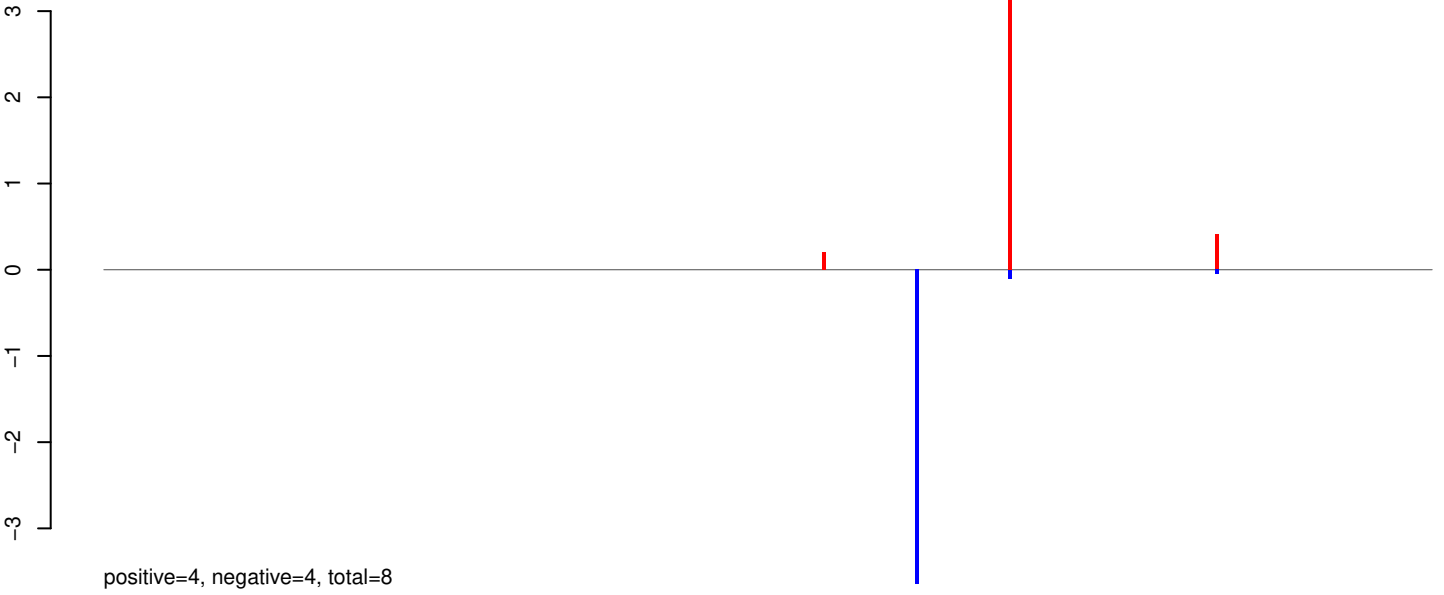
AeAeg_Whole_ZIKVdr_In2_GP.rep



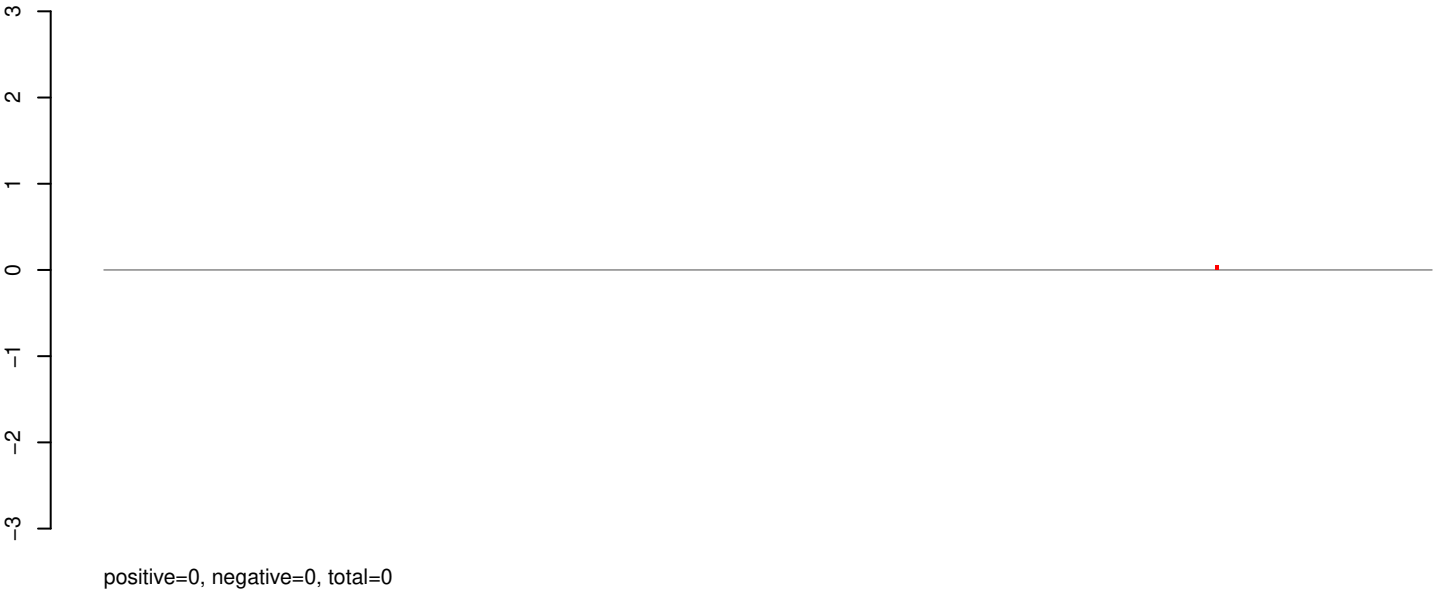
Window size=25, length=10673, virus@NC_023424.1-Tyuleniy_virus_strain_LEIV-6C_polyprotein_gene:1-10673

0 2000 4000 6000 8000 10000

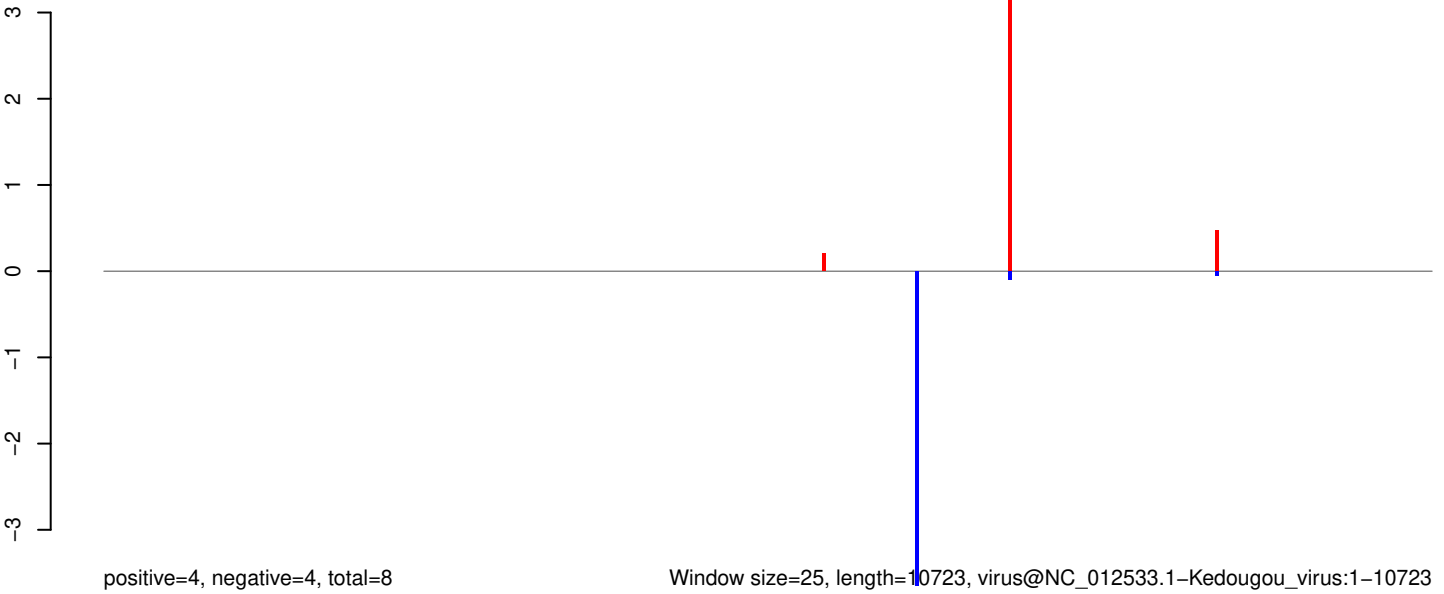
AeAeg_Whole_ZIKVdr_In2_GP.18_23.rep



AeAeg_Whole_ZIKVdr_In2_GP.24_35.rep



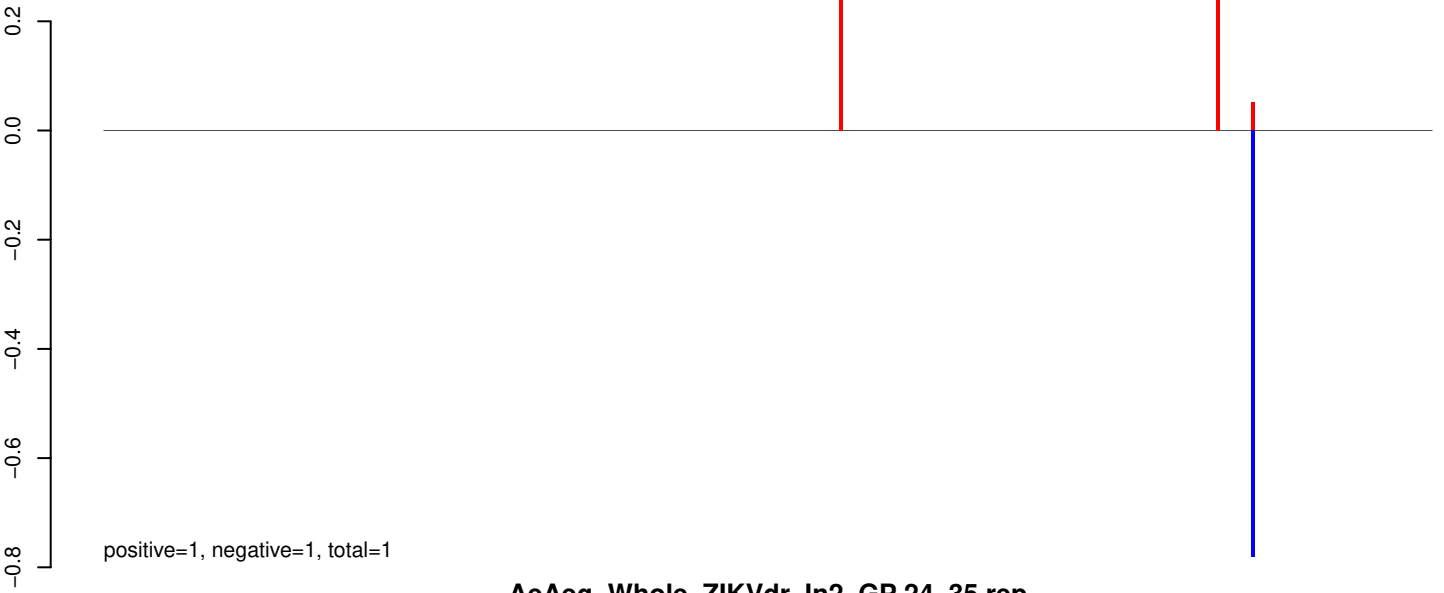
AeAeg_Whole_ZIKVdr_In2_GP.rep



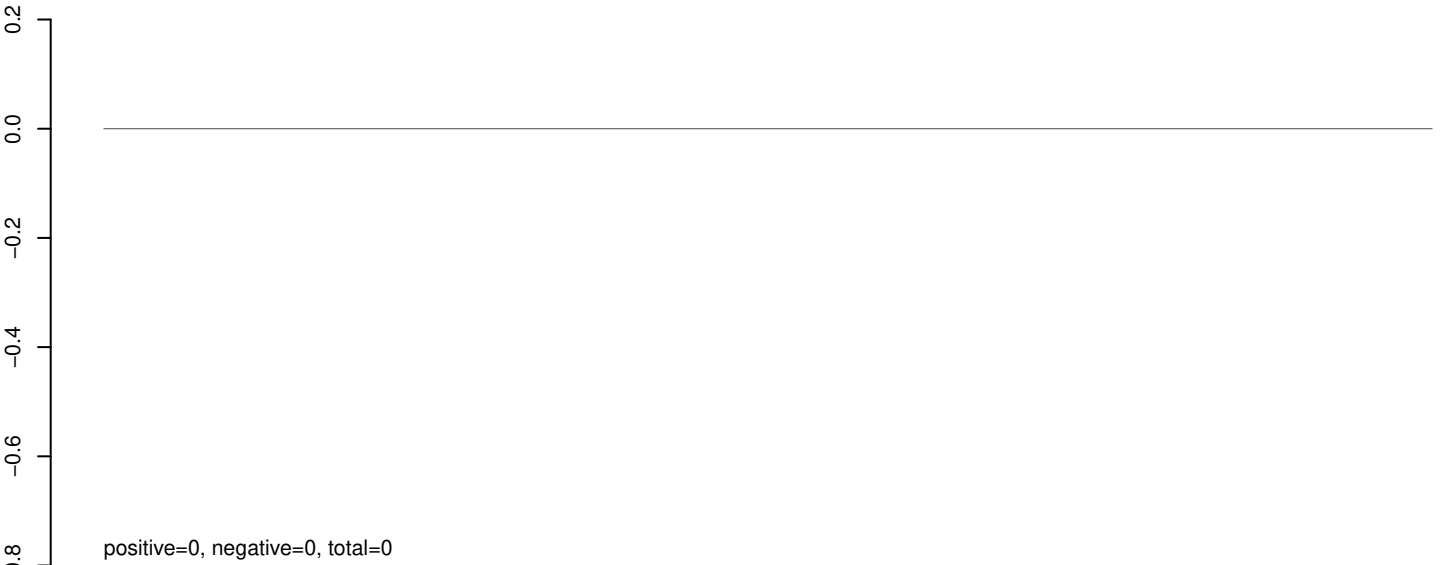
Window size=25, length=10723, virus@NC_012533.1-Kedougou_virus:1-10723

0 2000 4000 6000 8000 10000

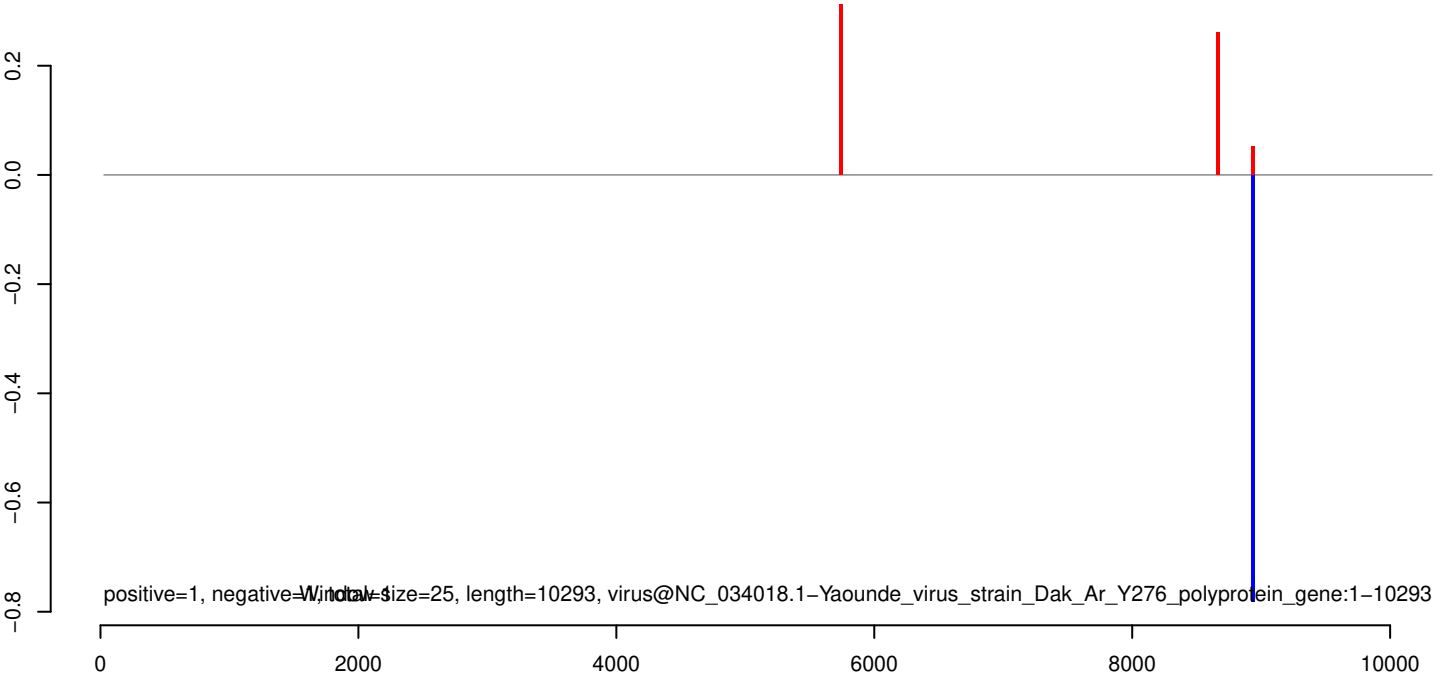
AeAeg_Whole_ZIKVdr_In2_GP.18_23.rep



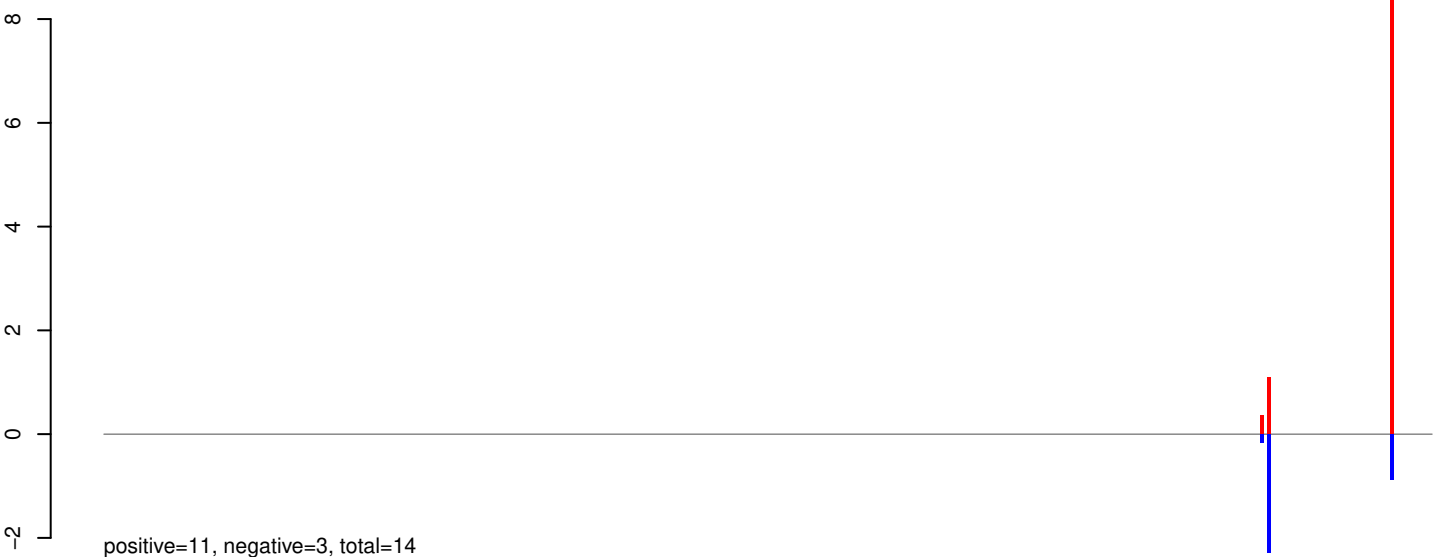
AeAeg_Whole_ZIKVdr_In2_GP.24_35.rep



AeAeg_Whole_ZIKVdr_In2_GP.rep



AeAeg_Whole_ZIKVdr_In2_GP.18_23.rep



AeAeg_Whole_ZIKVdr_In2_GP.24_35.rep



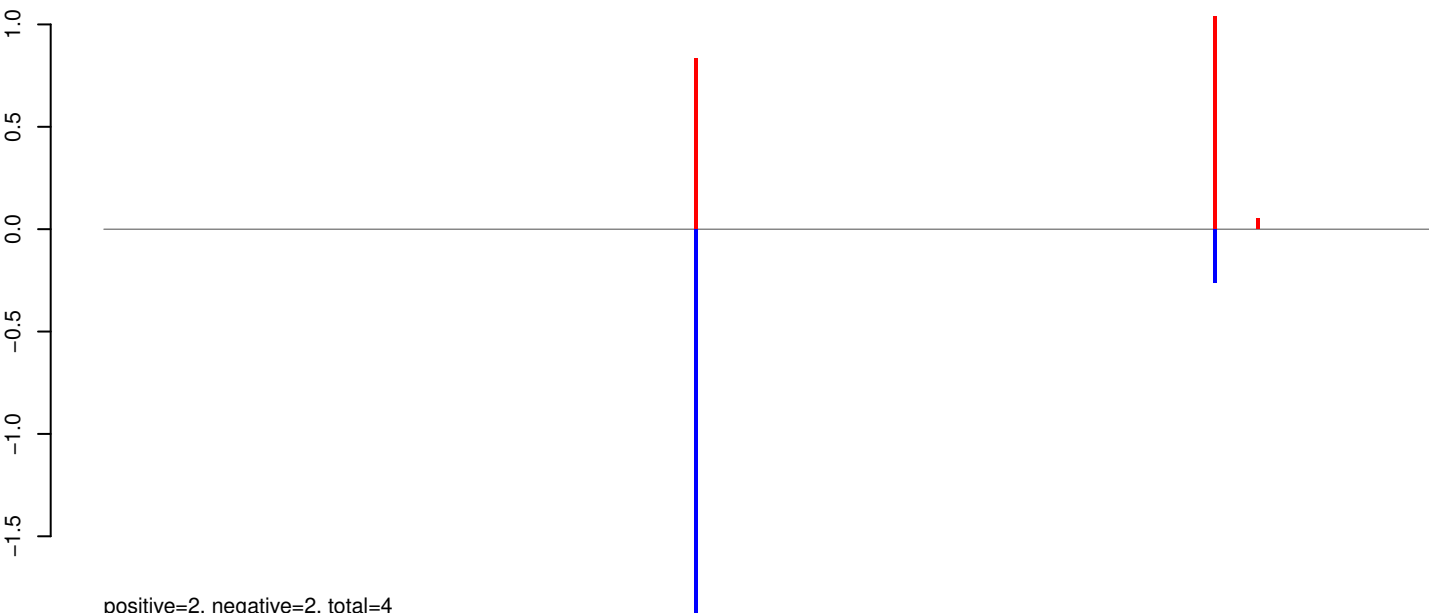
AeAeg_Whole_ZIKVdr_In2_GP.rep



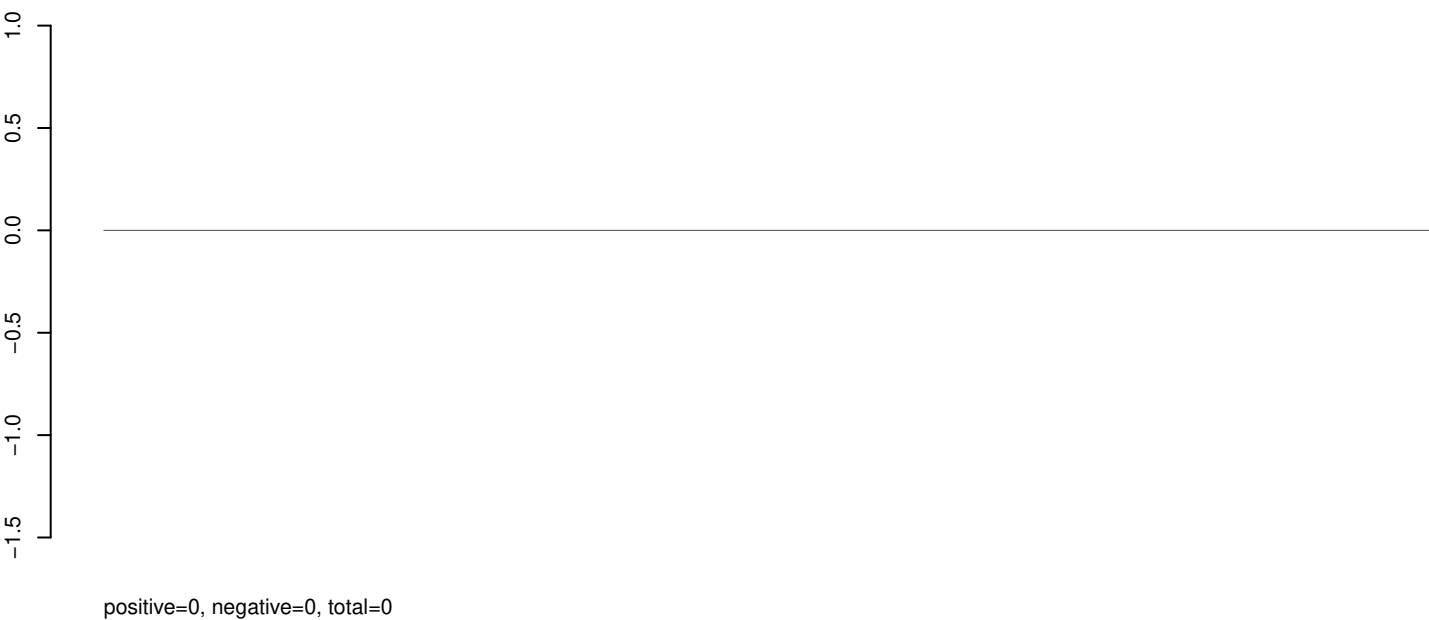
Window size=25, length=10266, virus@NC_033721.1-Meaban_virus_from_France_polyprotein_gene:1-10266

0 2000 4000 6000 8000 10000

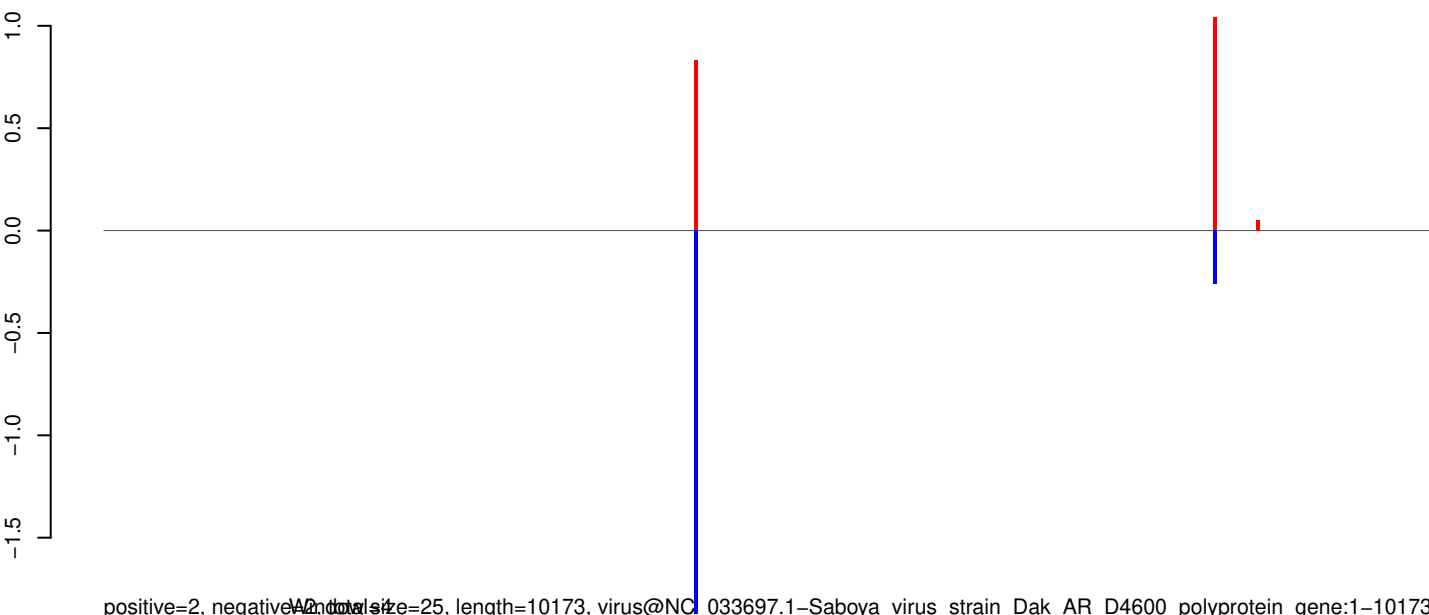
AeAeg_Whole_ZIKVdr_In2_GP.18_23.rep



AeAeg_Whole_ZIKVdr_In2_GP.24_35.rep



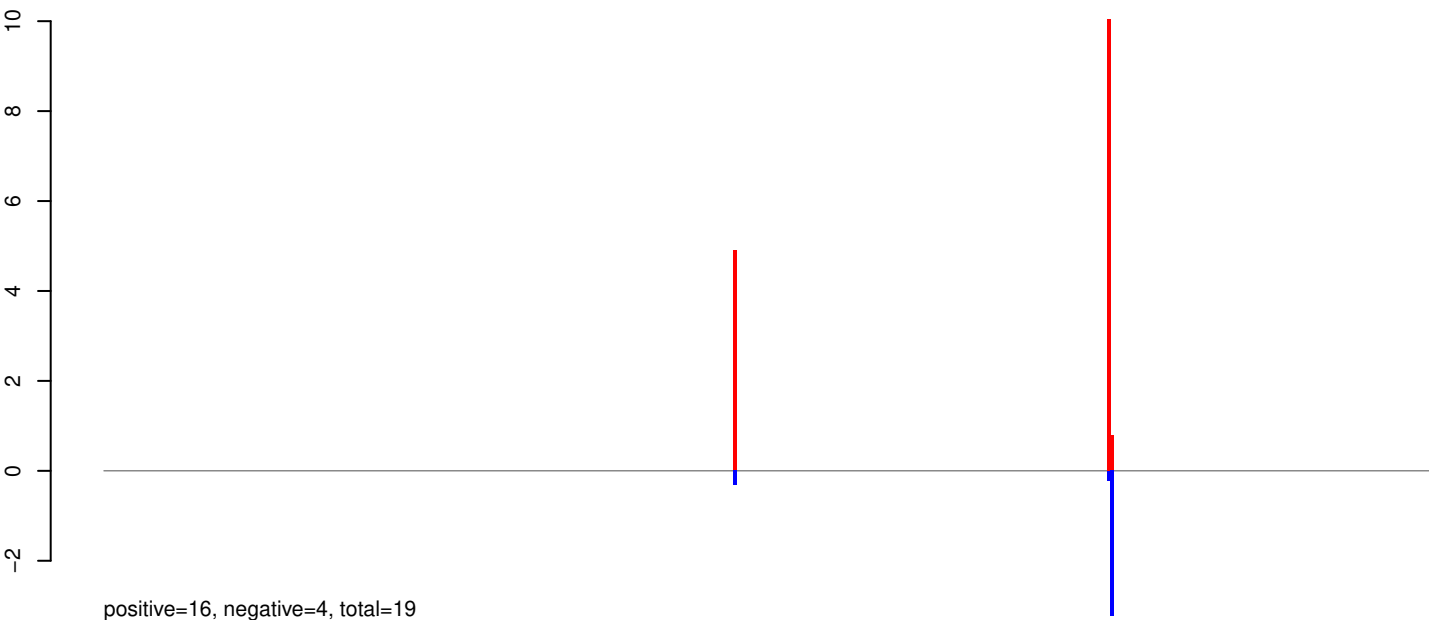
AeAeg_Whole_ZIKVdr_In2_GP.rep



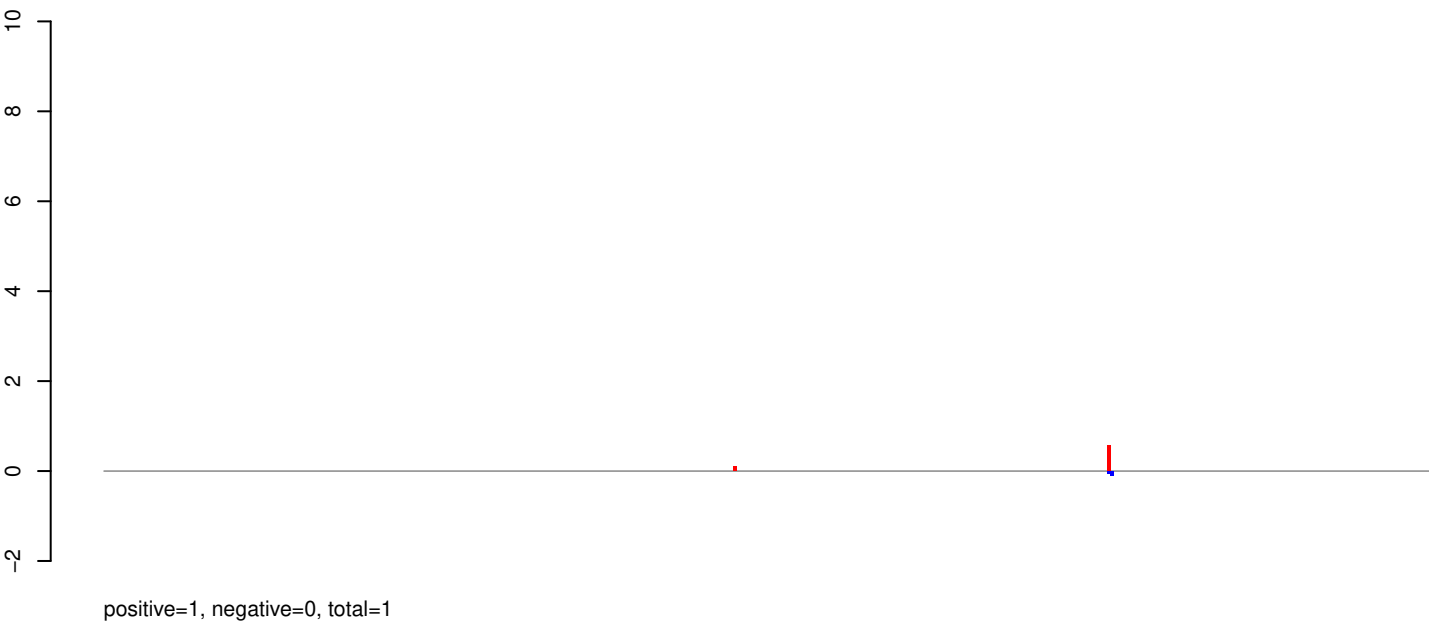
positive=2, negative=2, total=4, and size=25, length=10173, virus@NC_033697.1-Saboya_virus_strain_Dak_AR_D4600_polyprotein_gene:1-10173

0 2000 4000 6000 8000 10000

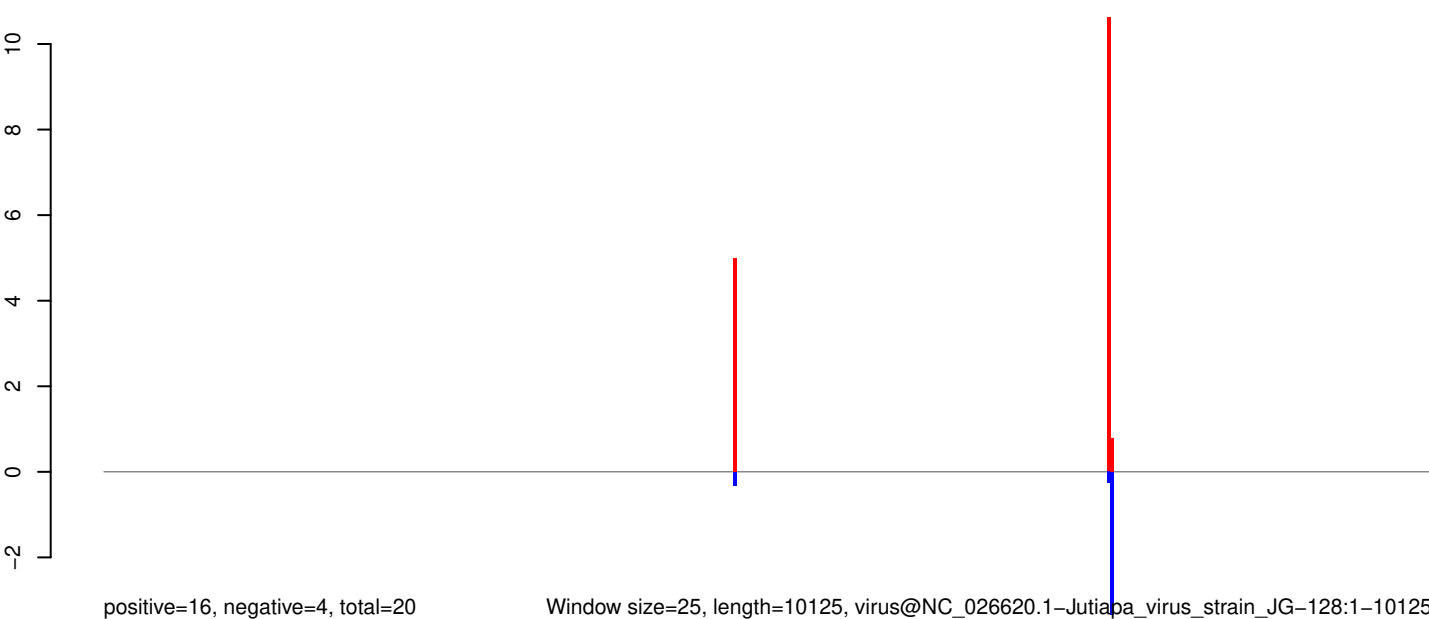
AeAeg_Whole_ZIKVdr_In2_GP.18_23.rep



AeAeg_Whole_ZIKVdr_In2_GP.24_35.rep



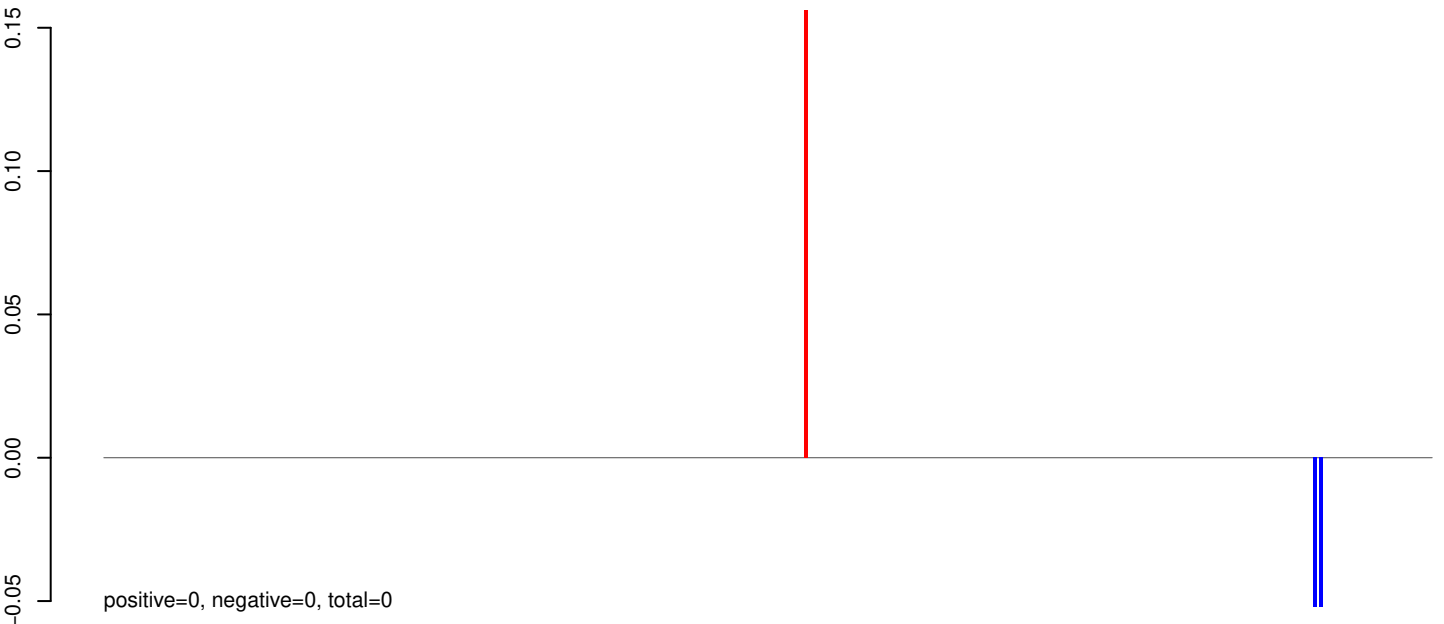
AeAeg_Whole_ZIKVdr_In2_GP.rep



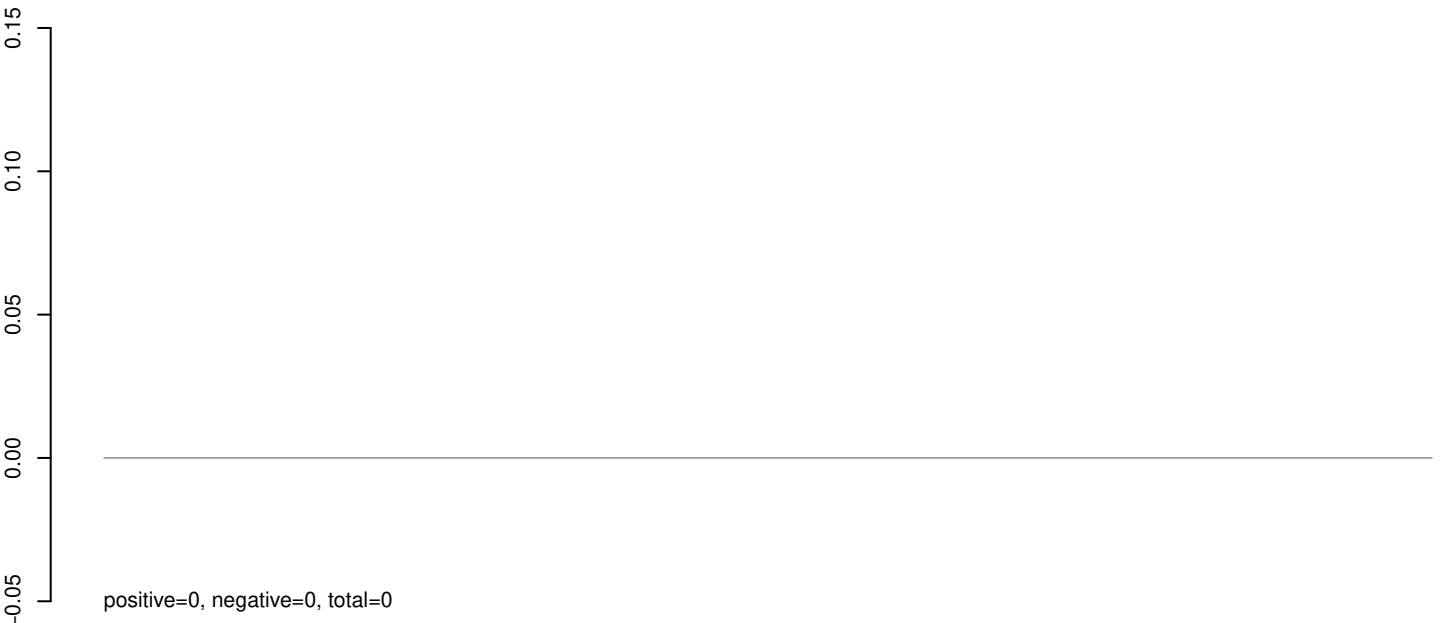
Window size=25, length=10125, virus@NC_026620.1-Jutiapa_virus_strain_JG-128:1-10125

0 2000 4000 6000 8000 10000

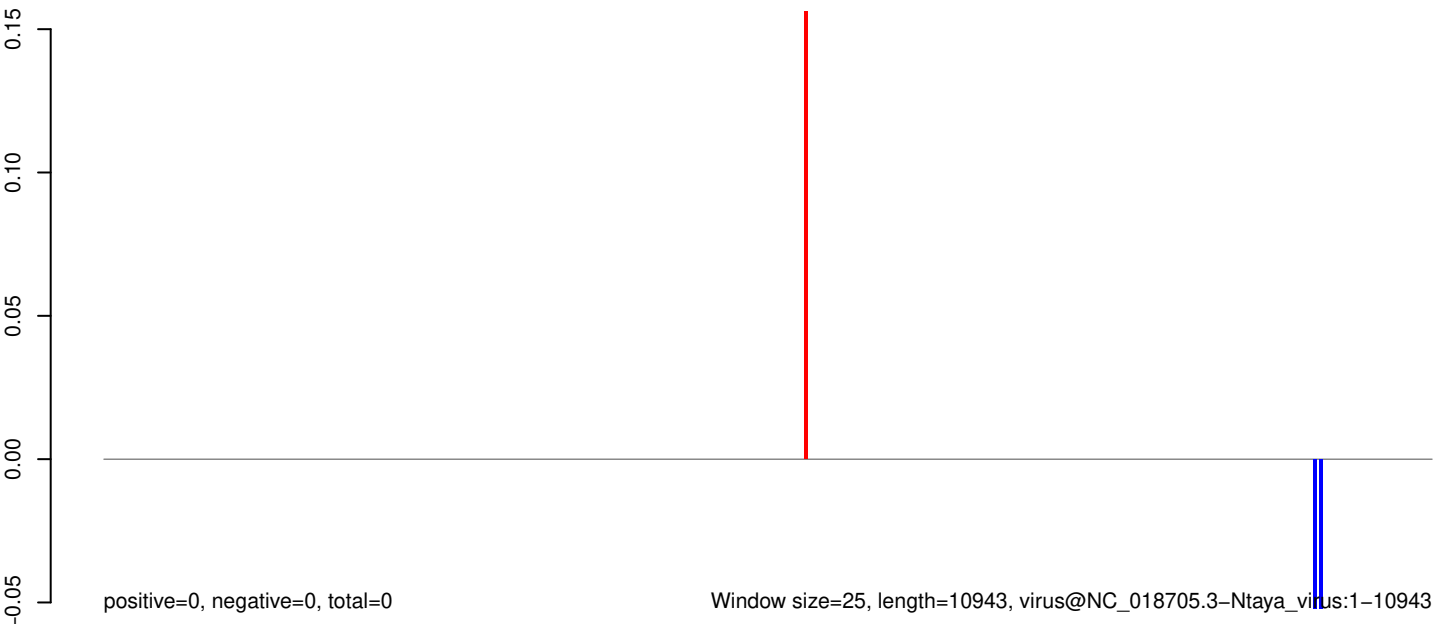
AeAeg_Whole_ZIKVdr_In2_GP.18_23.rep



AeAeg_Whole_ZIKVdr_In2_GP.24_35.rep

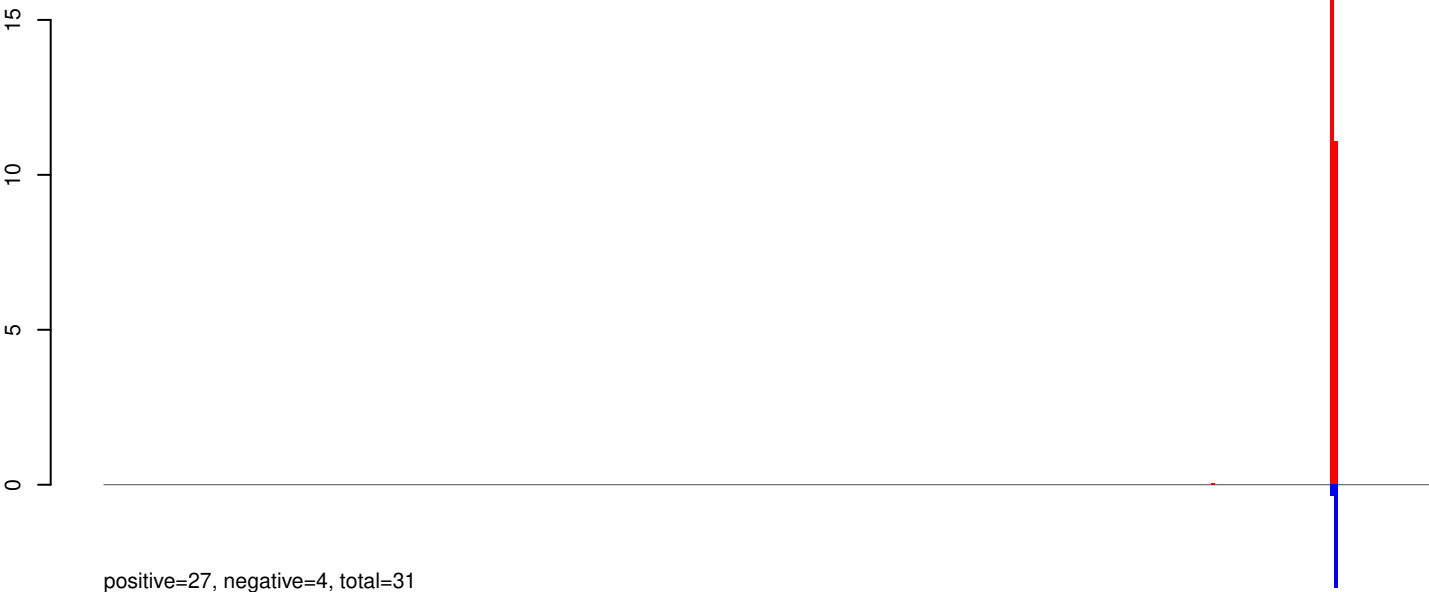


AeAeg_Whole_ZIKVdr_In2_GP.rep



0 2000 4000 6000 8000 10000

AeAeg_Whole_ZIKVdr_In2_GP.18_23.rep



AeAeg_Whole_ZIKVdr_In2_GP.24_35.rep



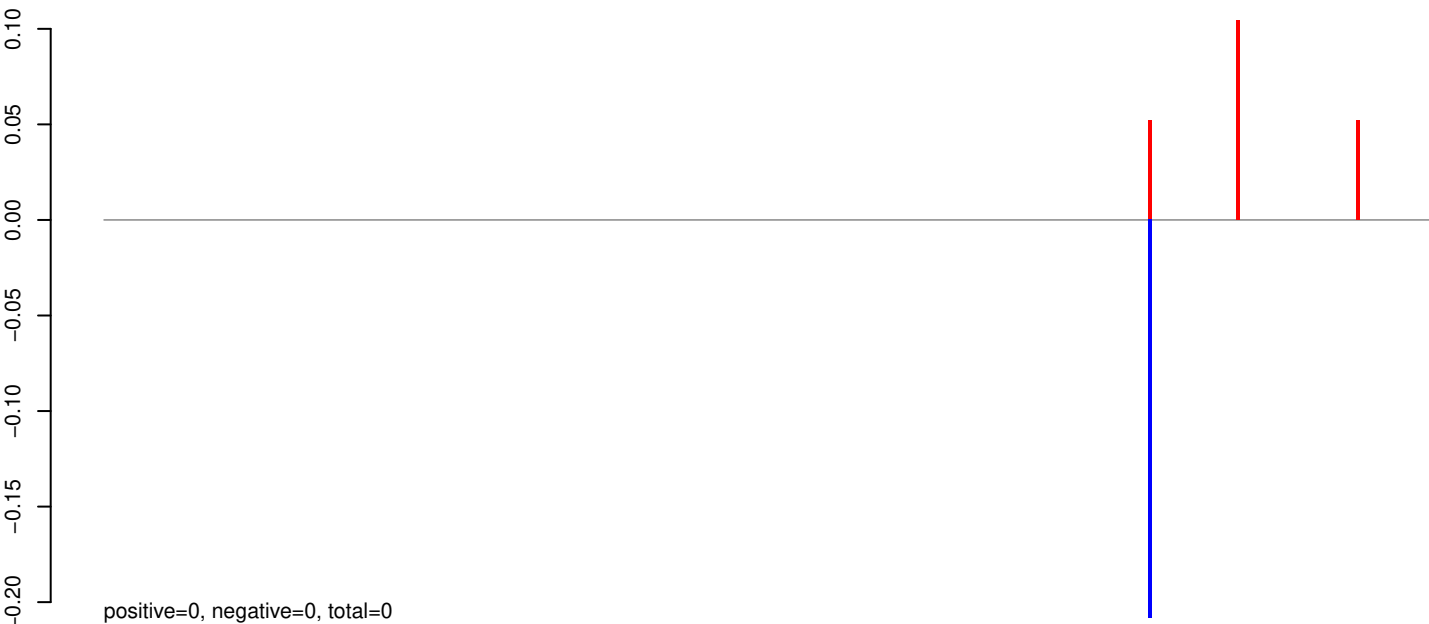
AeAeg_Whole_ZIKVdr_In2_GP.rep



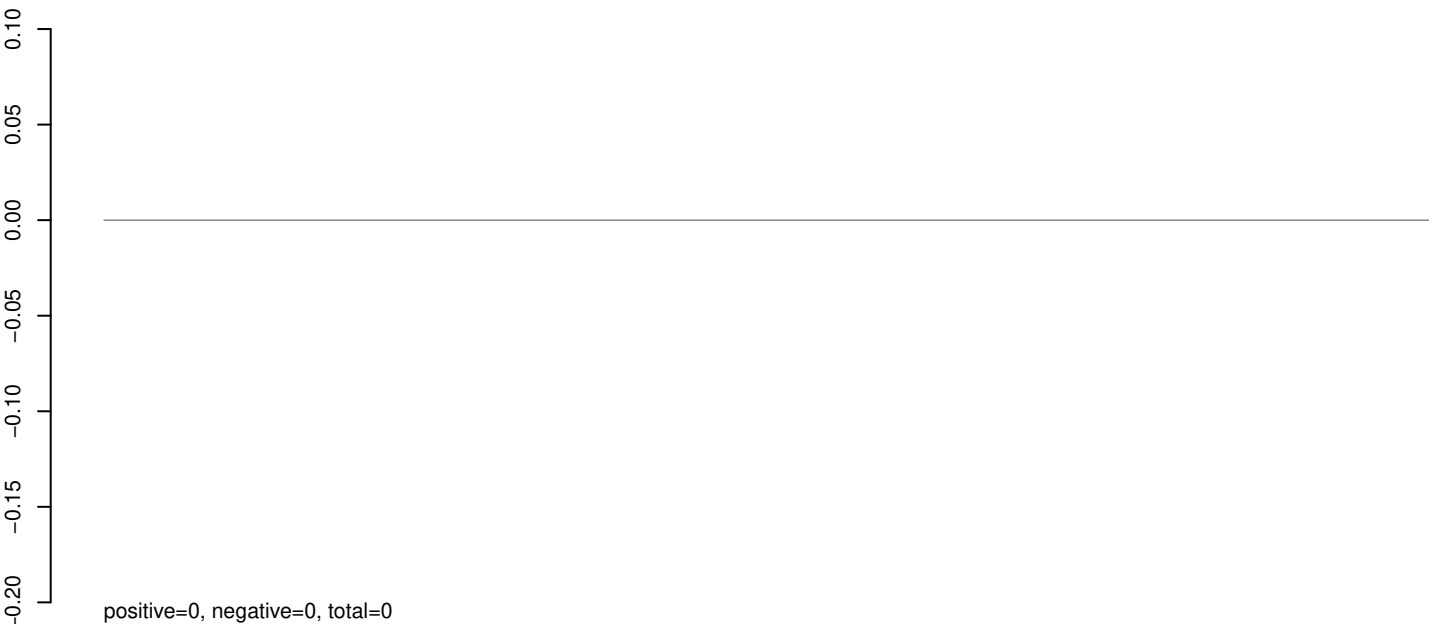
Window size=25, length=10814, virus@NC_012735.1-Wesselsbron_virus:1-10814

0 2000 4000 6000 8000 10000

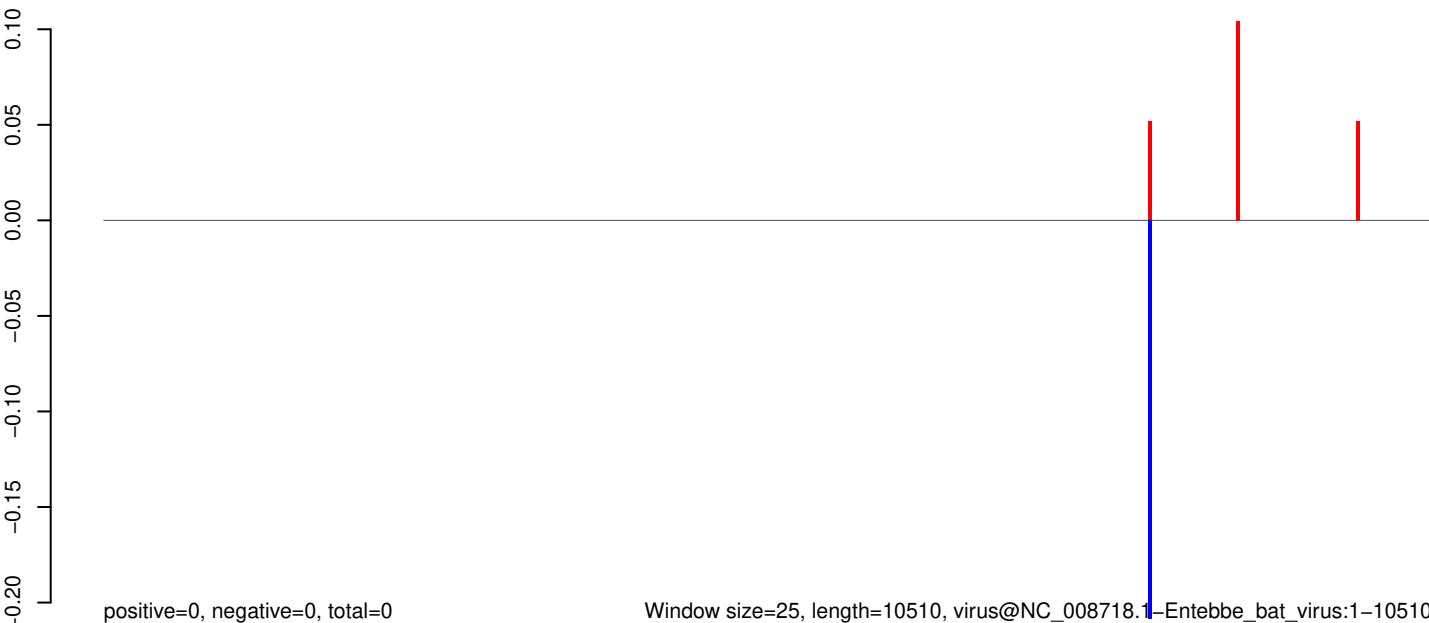
AeAeg_Whole_ZIKVdr_In2_GP.18_23.rep



AeAeg_Whole_ZIKVdr_In2_GP.24_35.rep



AeAeg_Whole_ZIKVdr_In2_GP.rep



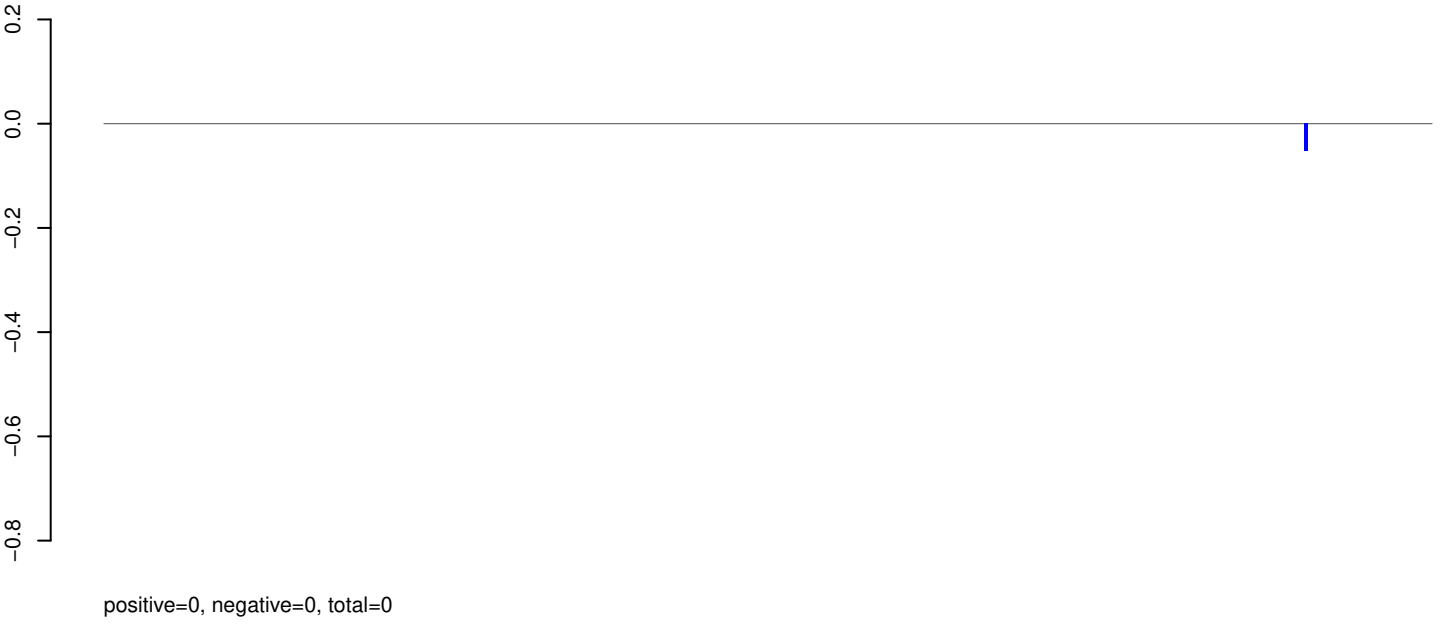
Window size=25, length=10510, virus@NC_008718.1-Entebbe_bat_virus:1-10510

0 2000 4000 6000 8000 10000

AeAeg_Whole_ZIKVdr_In2_GP.18_23.rep



AeAeg_Whole_ZIKVdr_In2_GP.24_35.rep



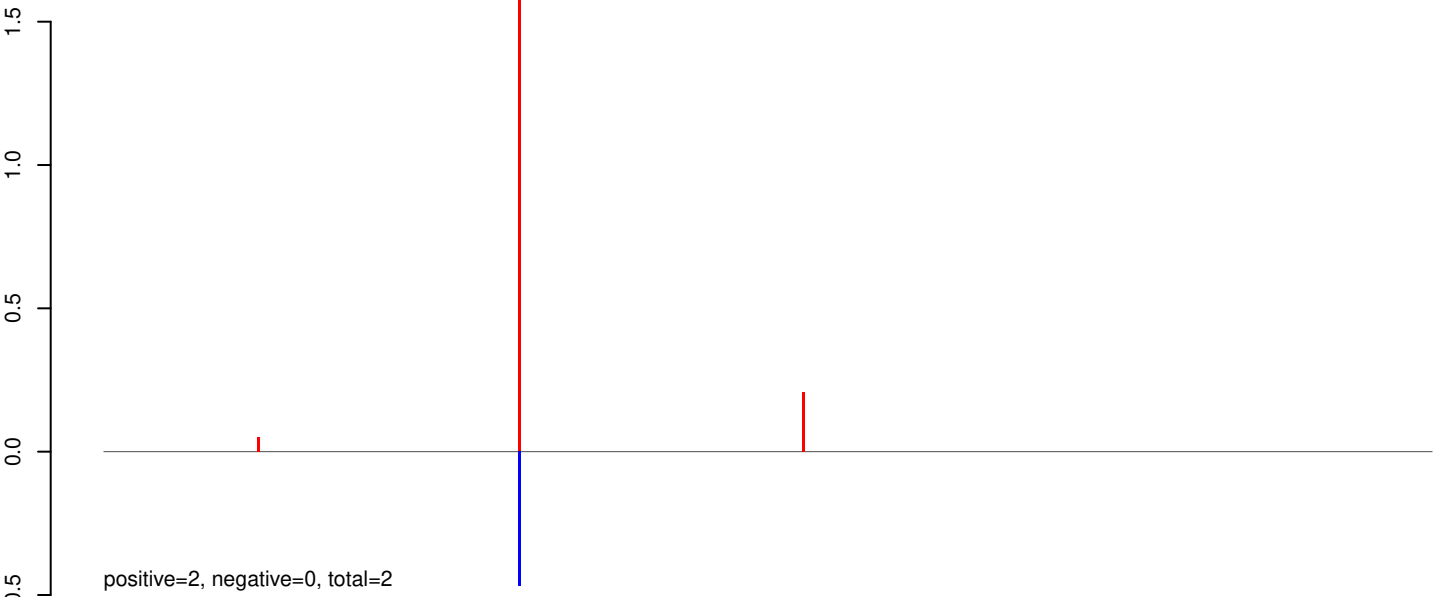
AeAeg_Whole_ZIKVdr_In2_GP.rep



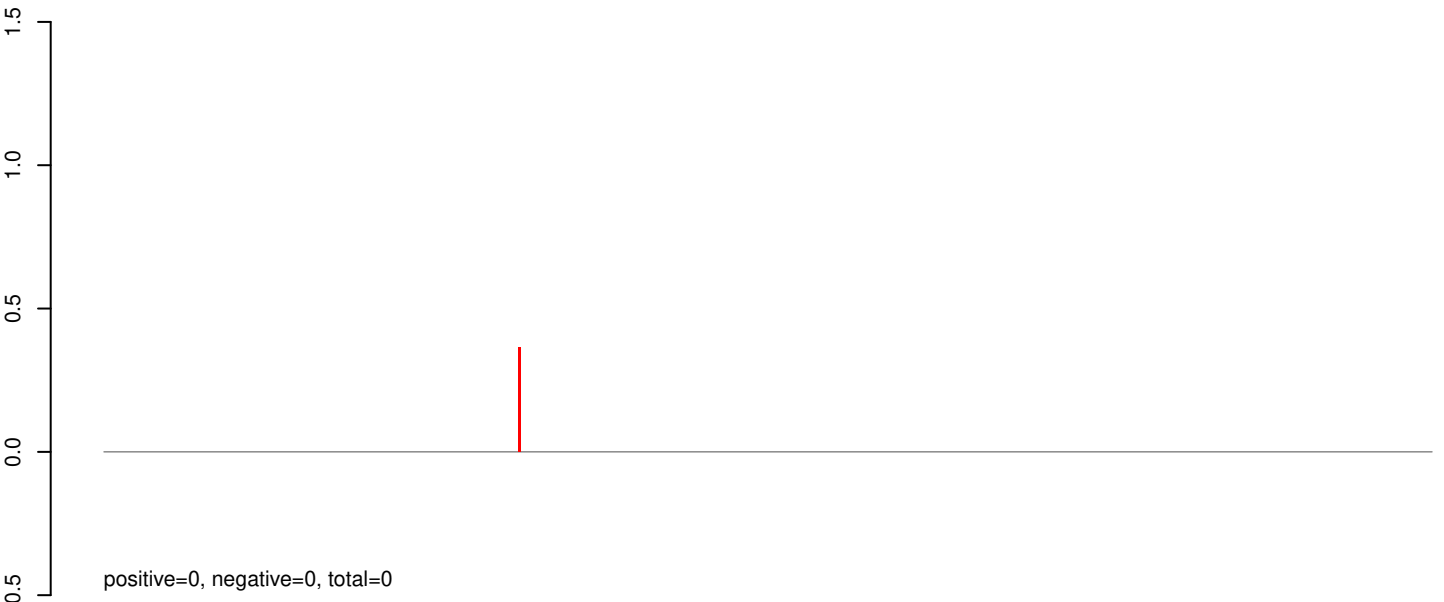
Window size=25, length=10653, virus@NC_006947.1-Karshi_virus:1-10653

0 2000 4000 6000 8000 10000

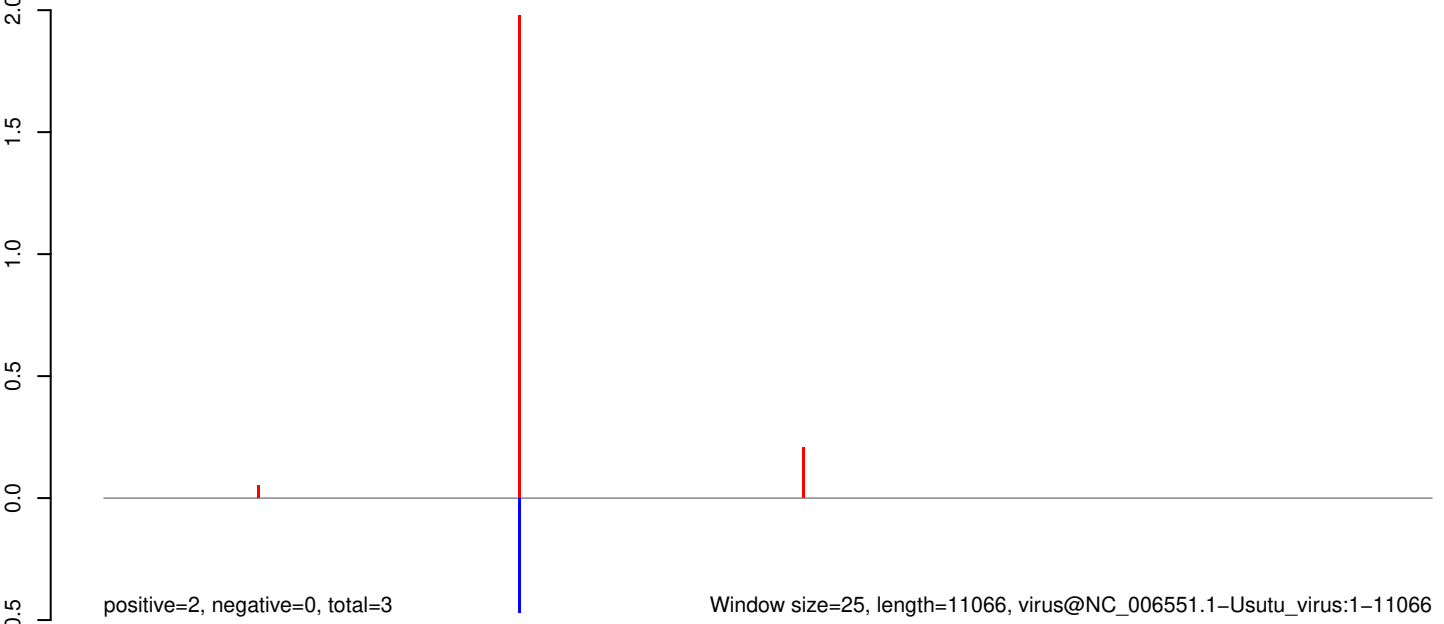
AeAeg_Whole_ZIKVdr_In2_GP.18_23.rep



AeAeg_Whole_ZIKVdr_In2_GP.24_35.rep

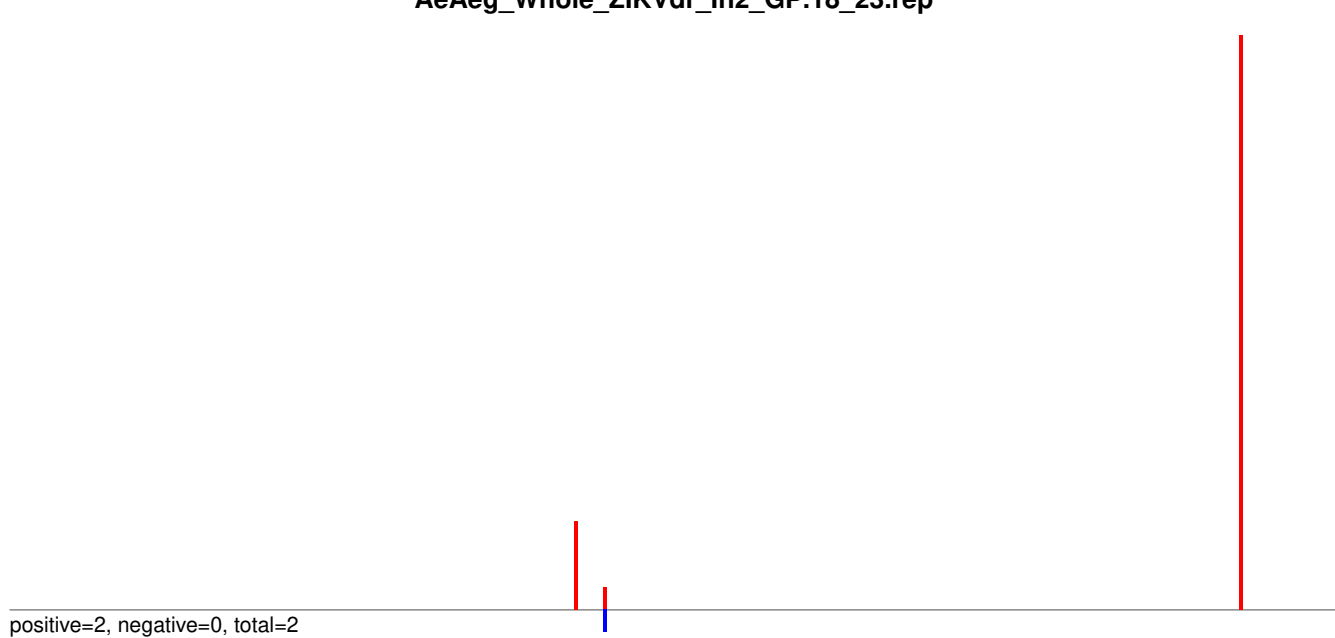


AeAeg_Whole_ZIKVdr_In2_GP.rep

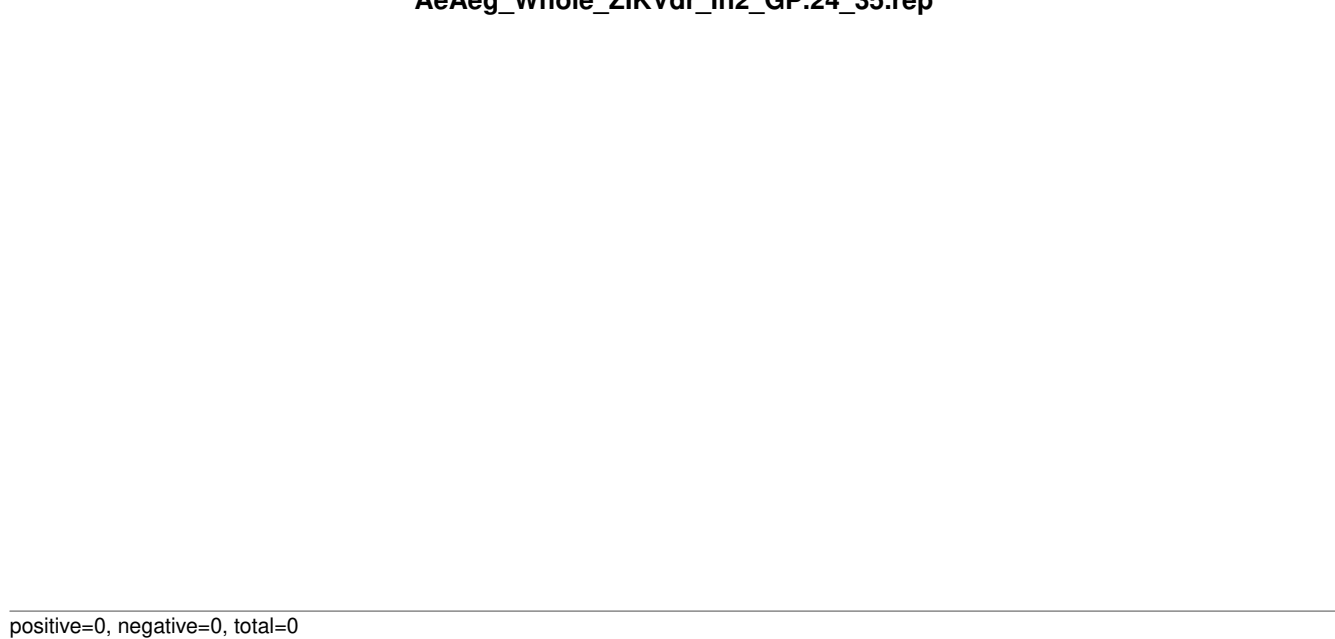


0 2000 4000 6000 8000 10000

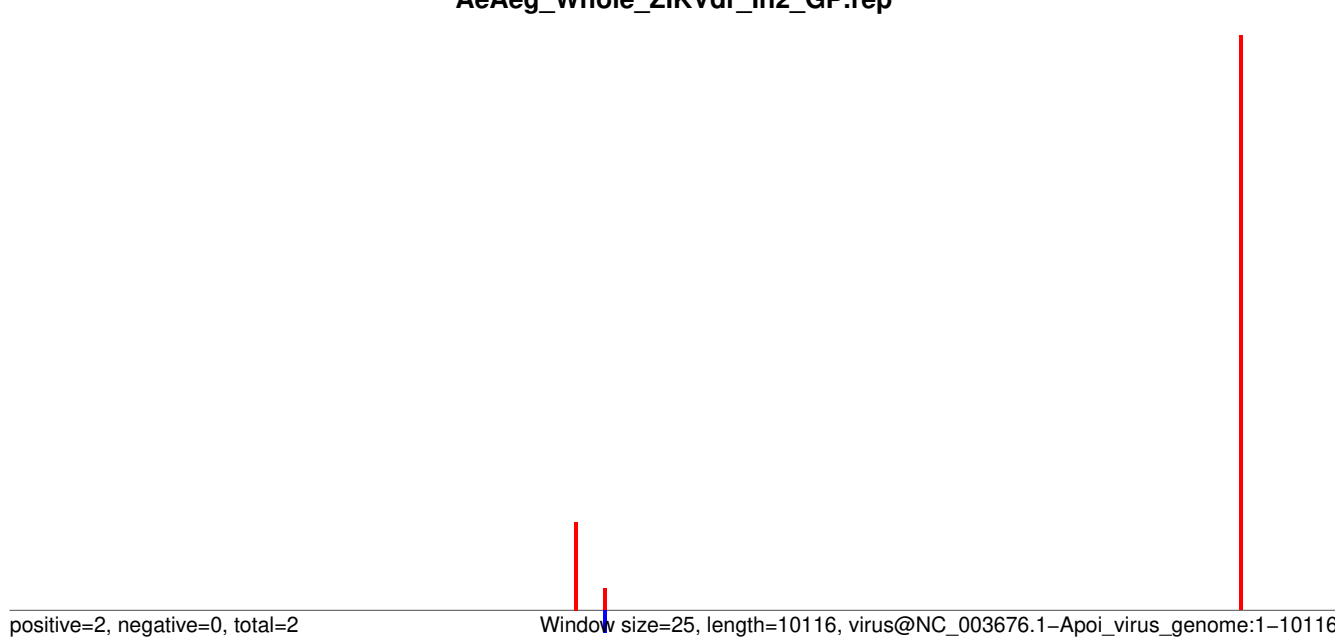
AeAeg_Whole_ZIKVdr_In2_GP.18_23.rep



AeAeg_Whole_ZIKVdr_In2_GP.24_35.rep

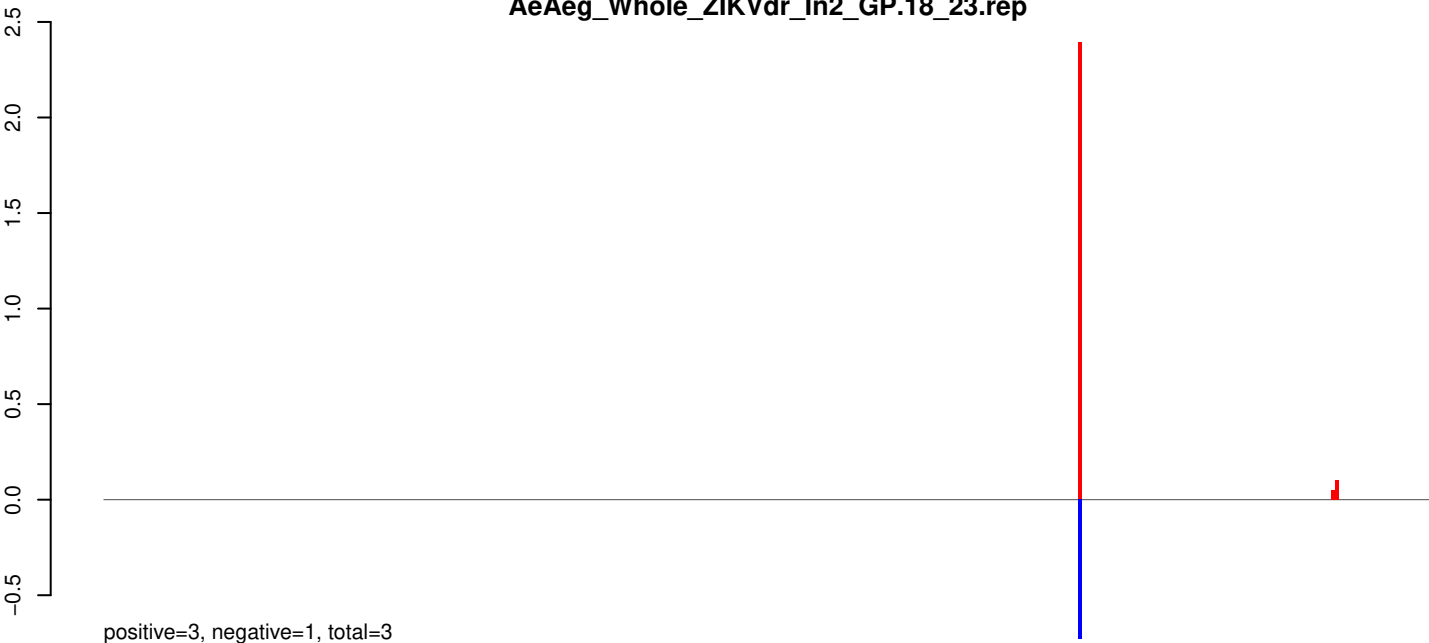


AeAeg_Whole_ZIKVdr_In2_GP.rep

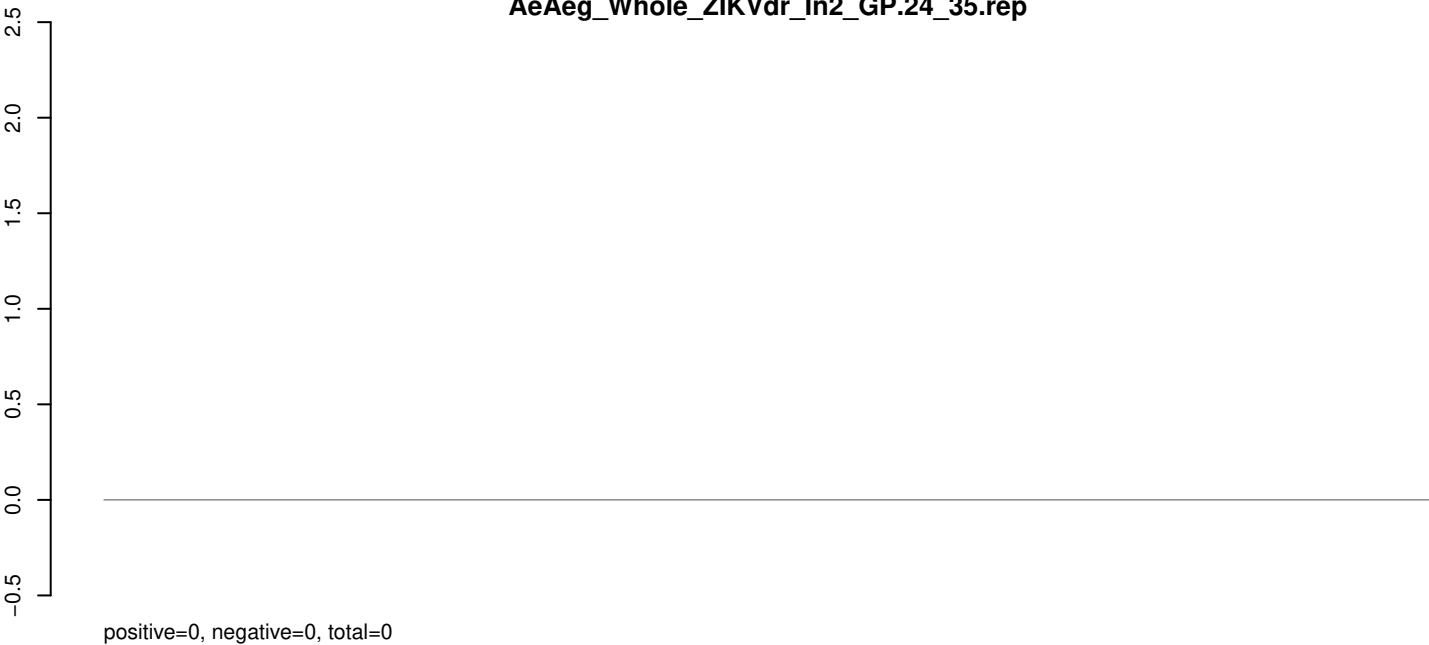


Window size=25, length=10116, virus@NC_003676.1-Apoi_virus_genome:1-10116

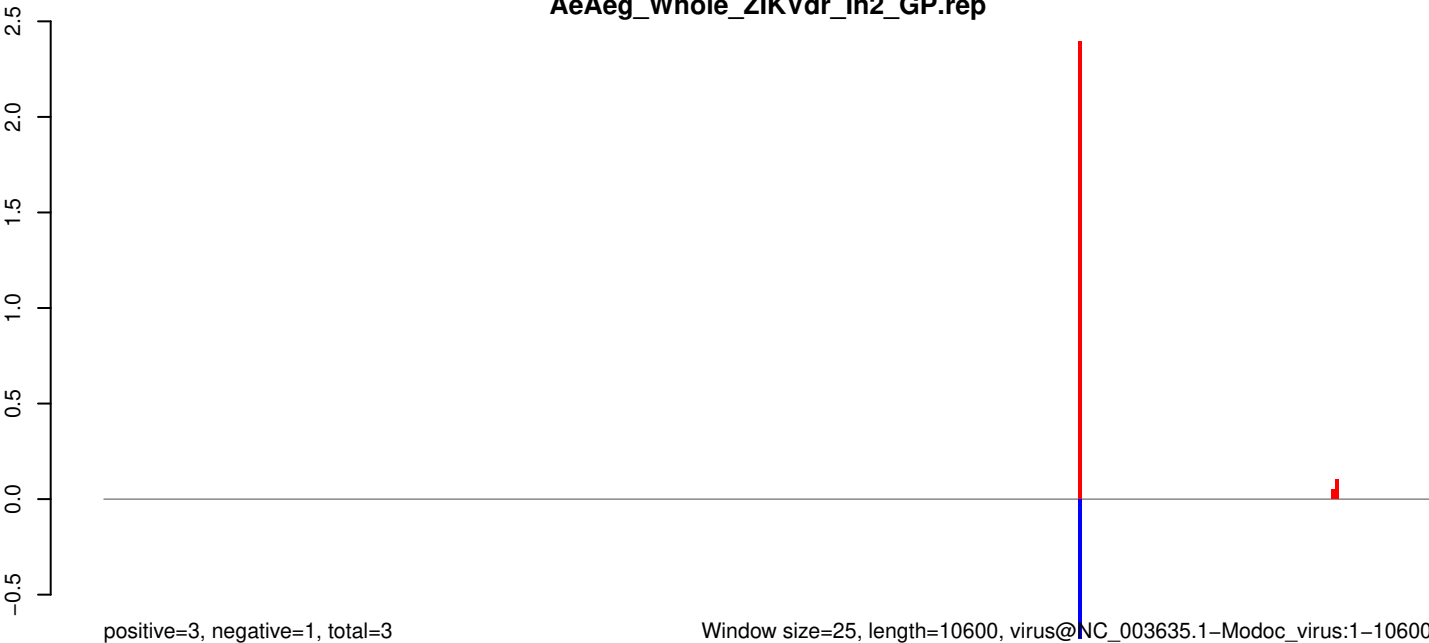
AeAeg_Whole_ZIKVdr_In2_GP.18_23.rep



AeAeg_Whole_ZIKVdr_In2_GP.24_35.rep



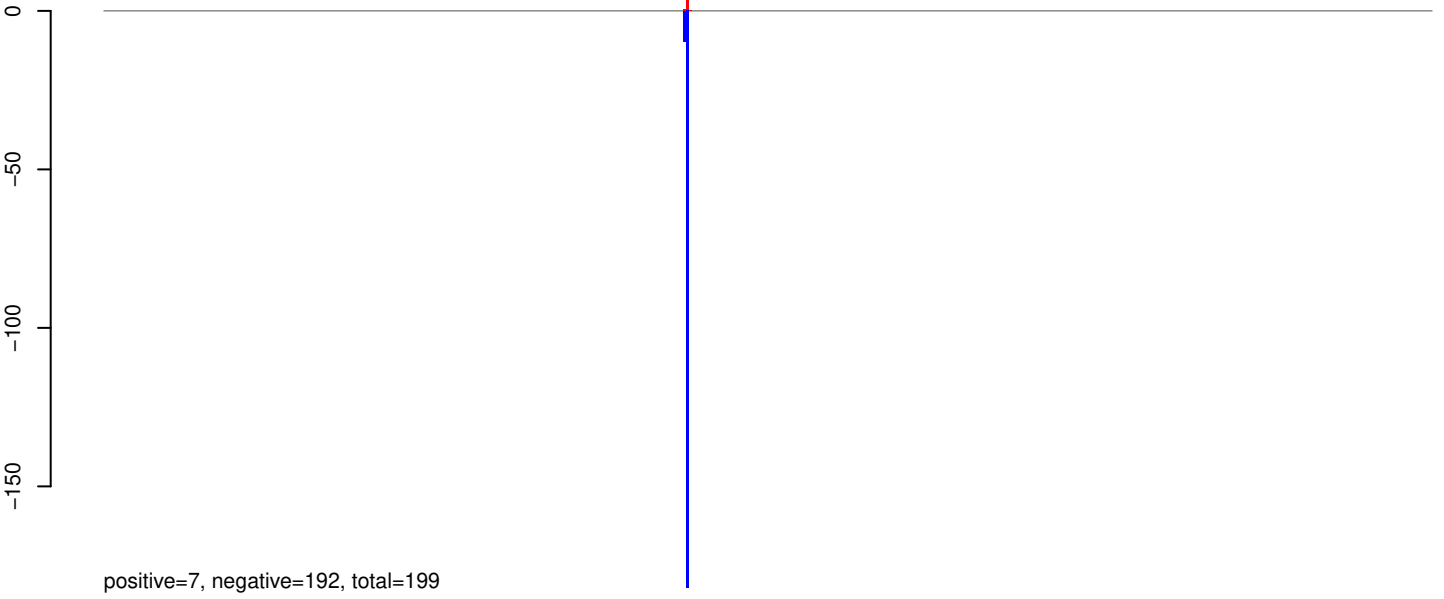
AeAeg_Whole_ZIKVdr_In2_GP.rep



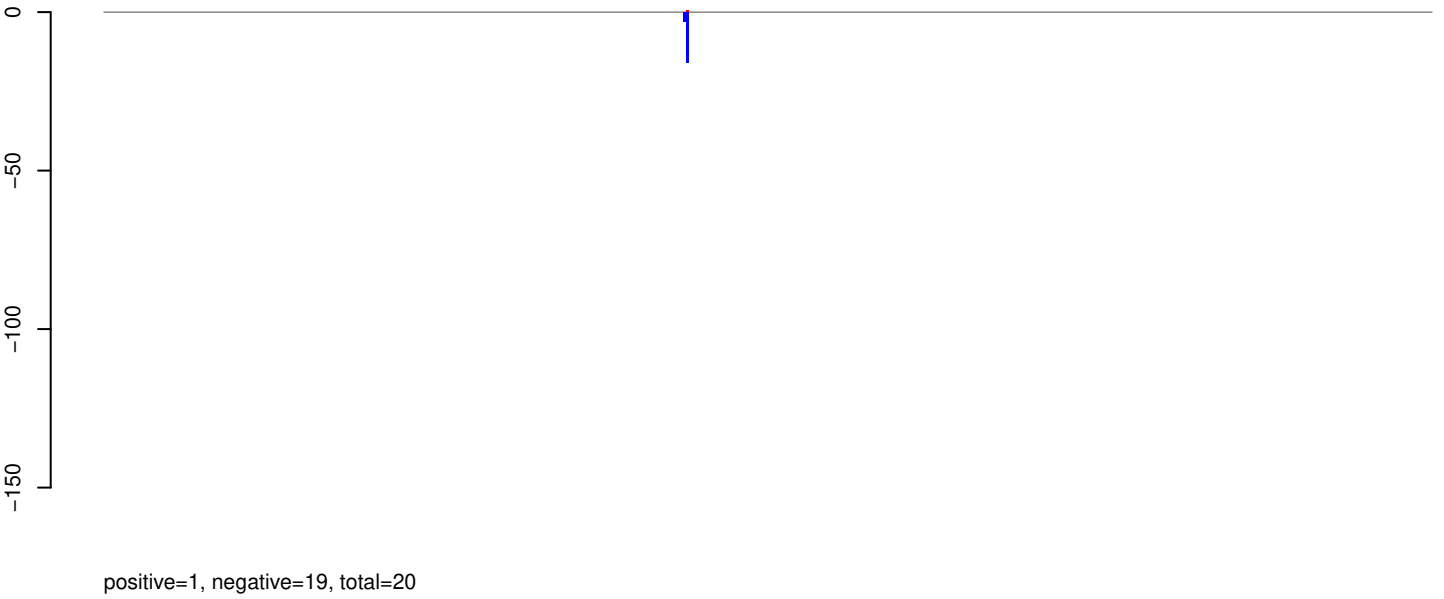
Window size=25, length=10600, virus@NC_003635.1-Modoc_virus:1-10600

0 2000 4000 6000 8000 10000

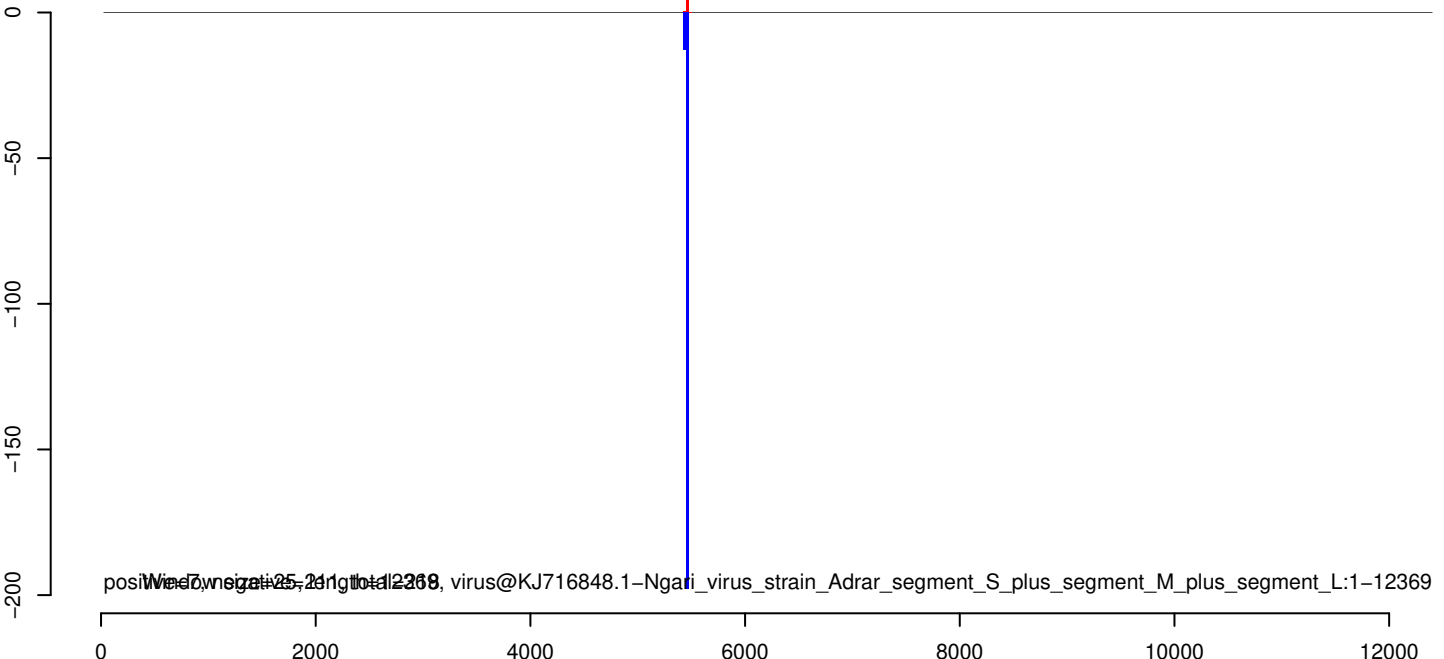
AeAeg_Whole_ZIKVdr_In2_GP.18_23.rep



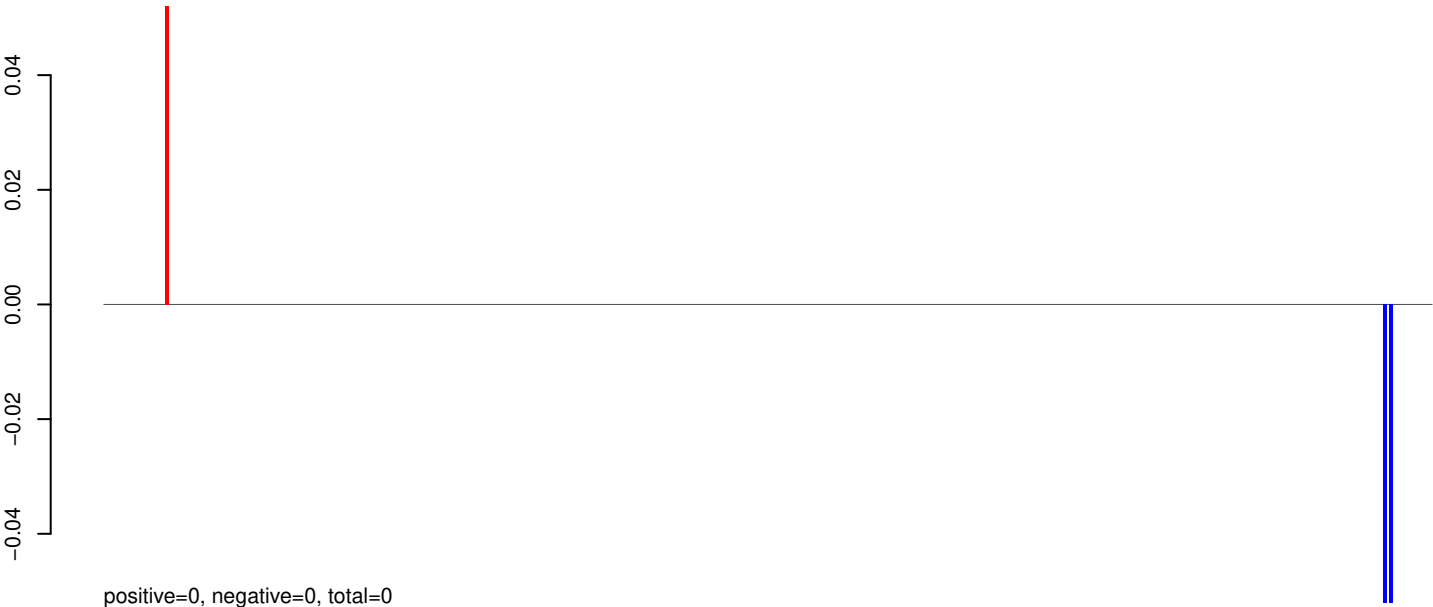
AeAeg_Whole_ZIKVdr_In2_GP.24_35.rep



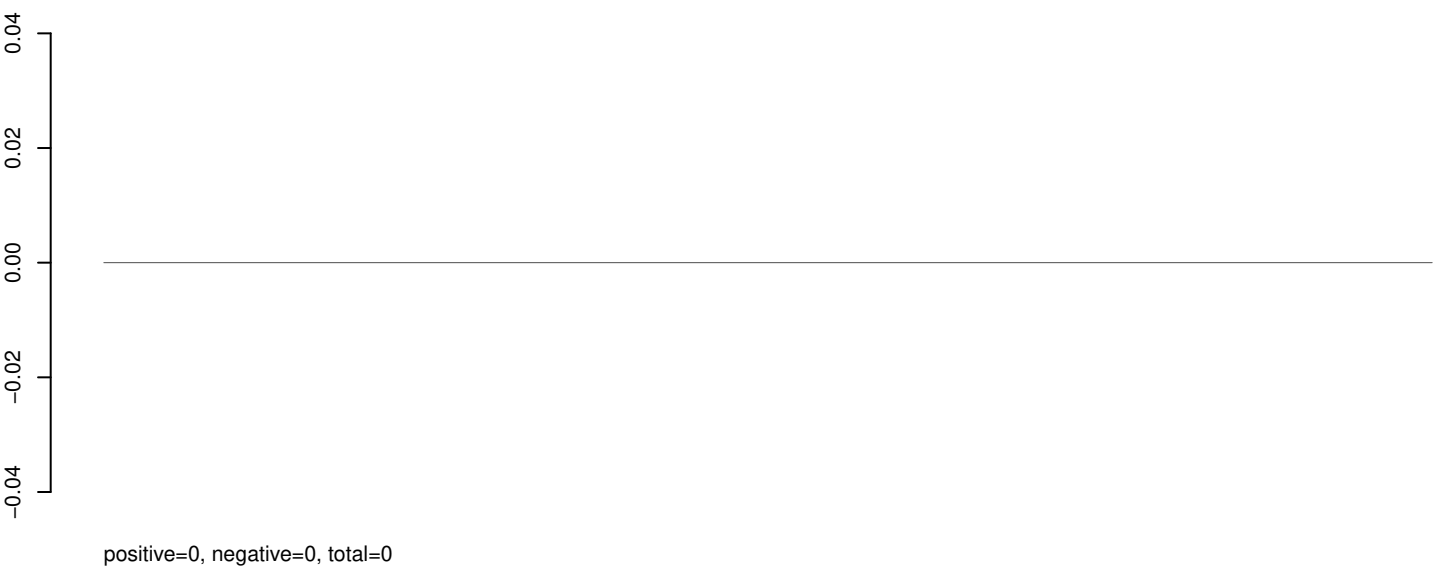
AeAeg_Whole_ZIKVdr_In2_GP.rep



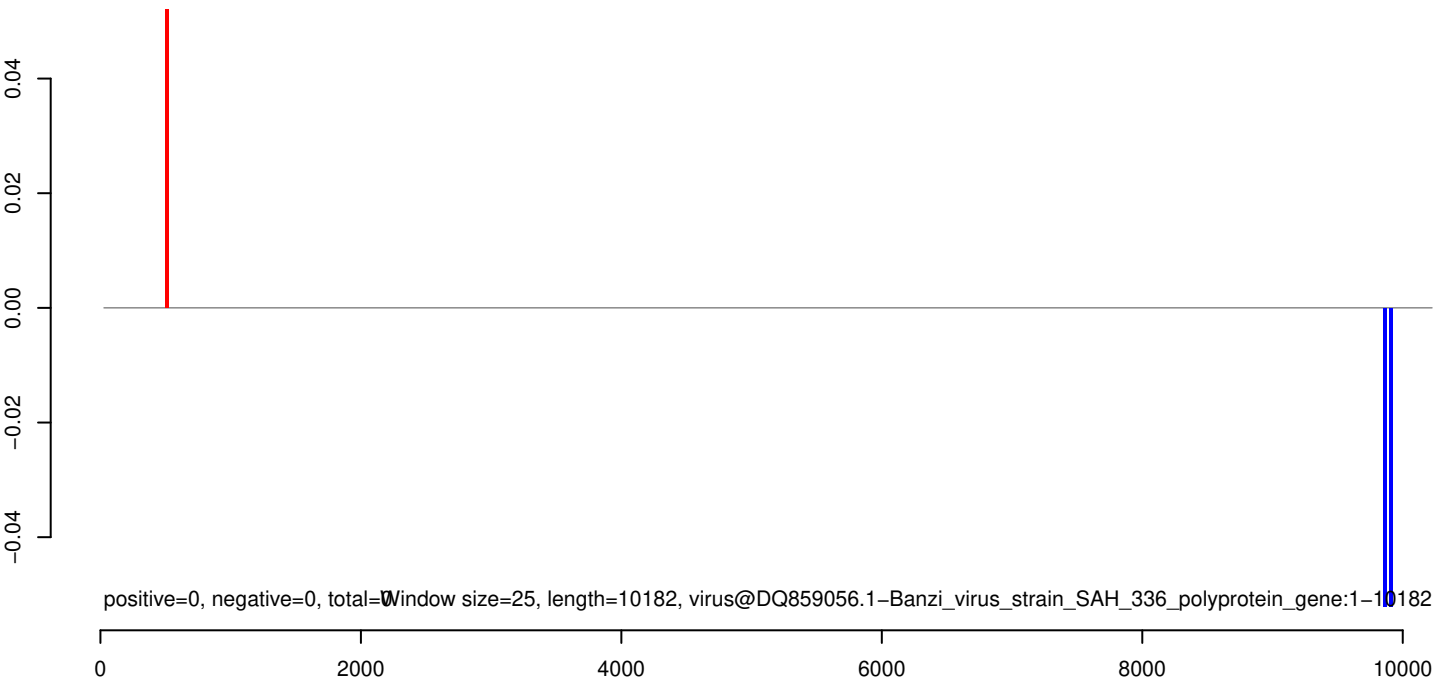
AeAeg_Whole_ZIKVdr_In2_GP.18_23.rep



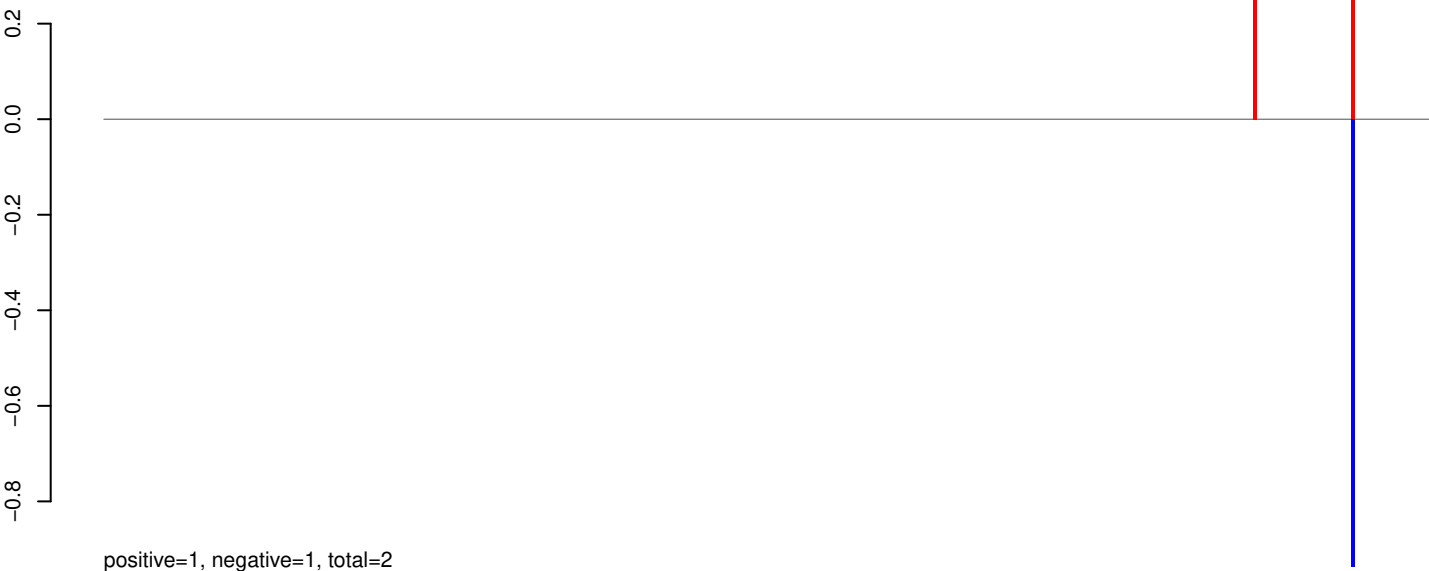
AeAeg_Whole_ZIKVdr_In2_GP.24_35.rep



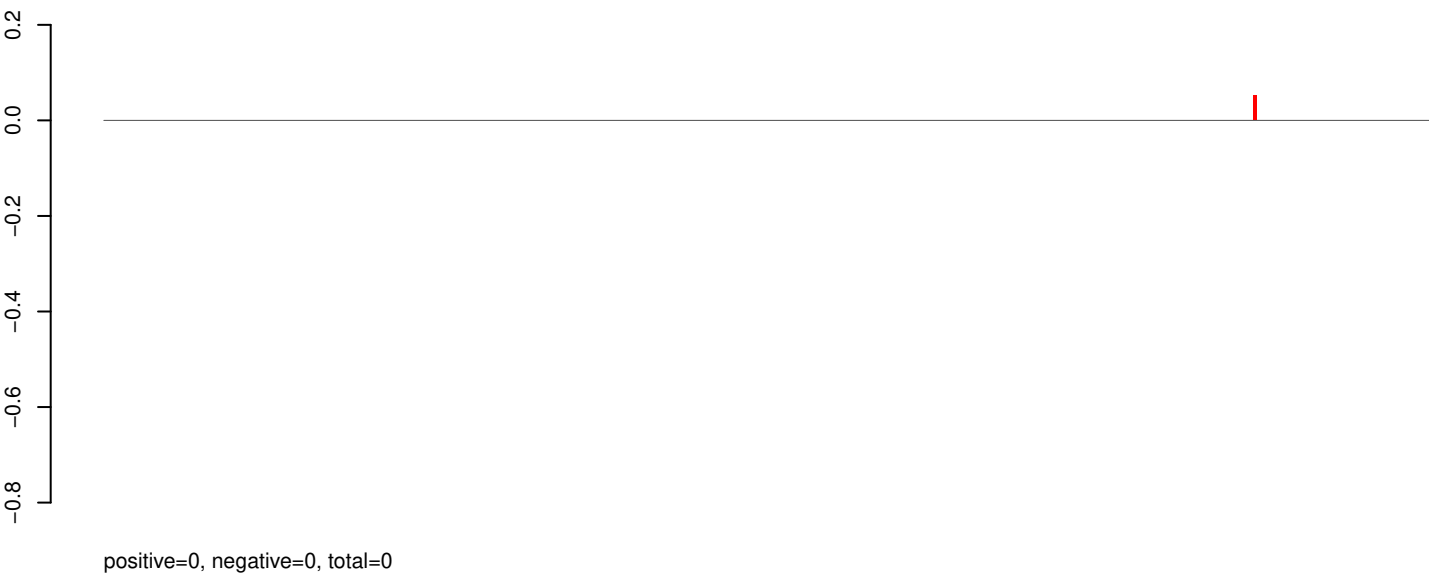
AeAeg_Whole_ZIKVdr_In2_GP.rep



AeAeg_Whole_ZIKVdr_In2_GP.18_23.rep



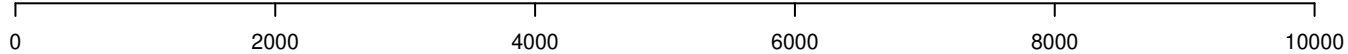
AeAeg_Whole_ZIKVdr_In2_GP.24_35.rep



AeAeg_Whole_ZIKVdr_In2_GP.rep



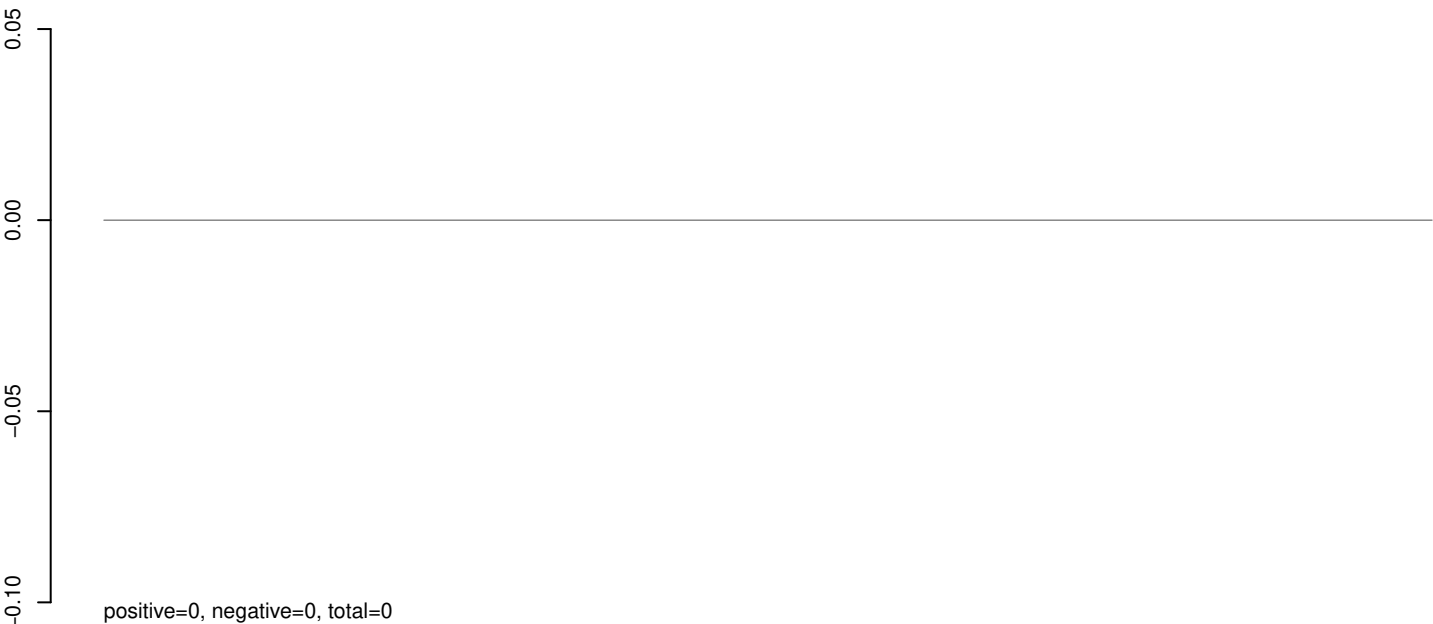
Window size=25, length=10215, virus@NC_033724.1-Kadam_virus_from_Uganda_polyprotein_gene:1-10215



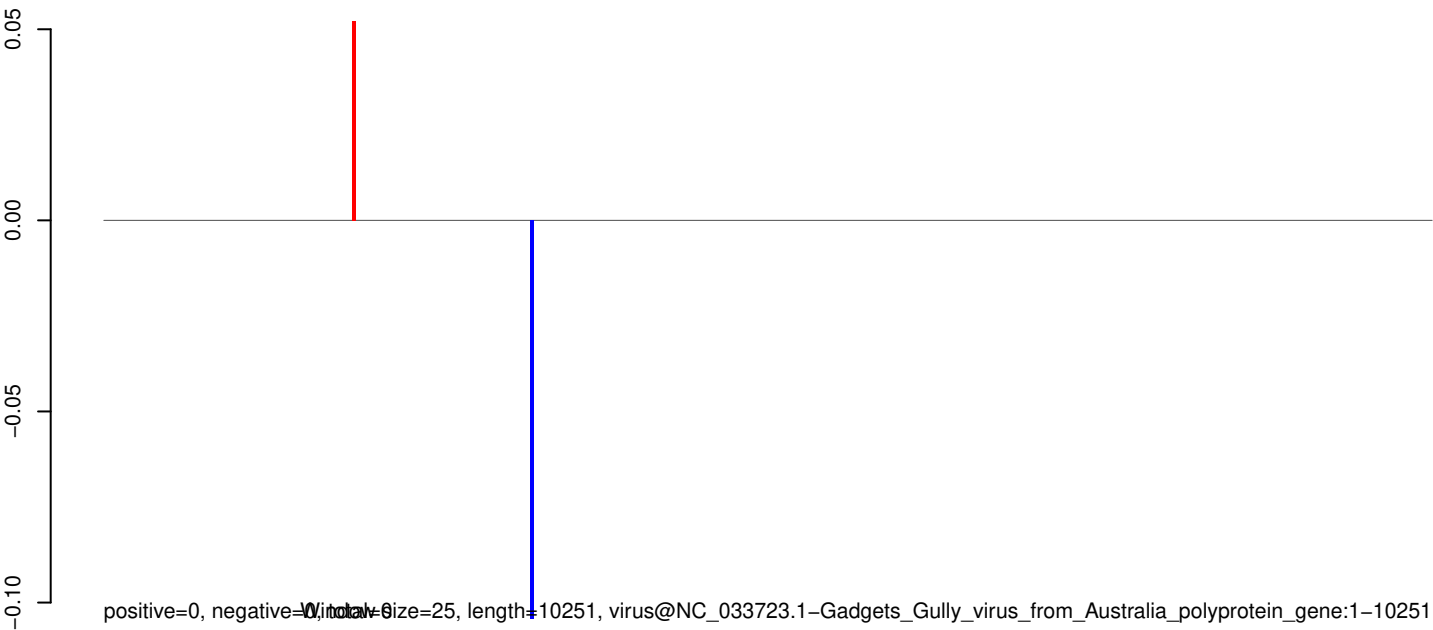
AeAeg_Whole_ZIKVdr_In2_GP.18_23.rep



AeAeg_Whole_ZIKVdr_In2_GP.24_35.rep



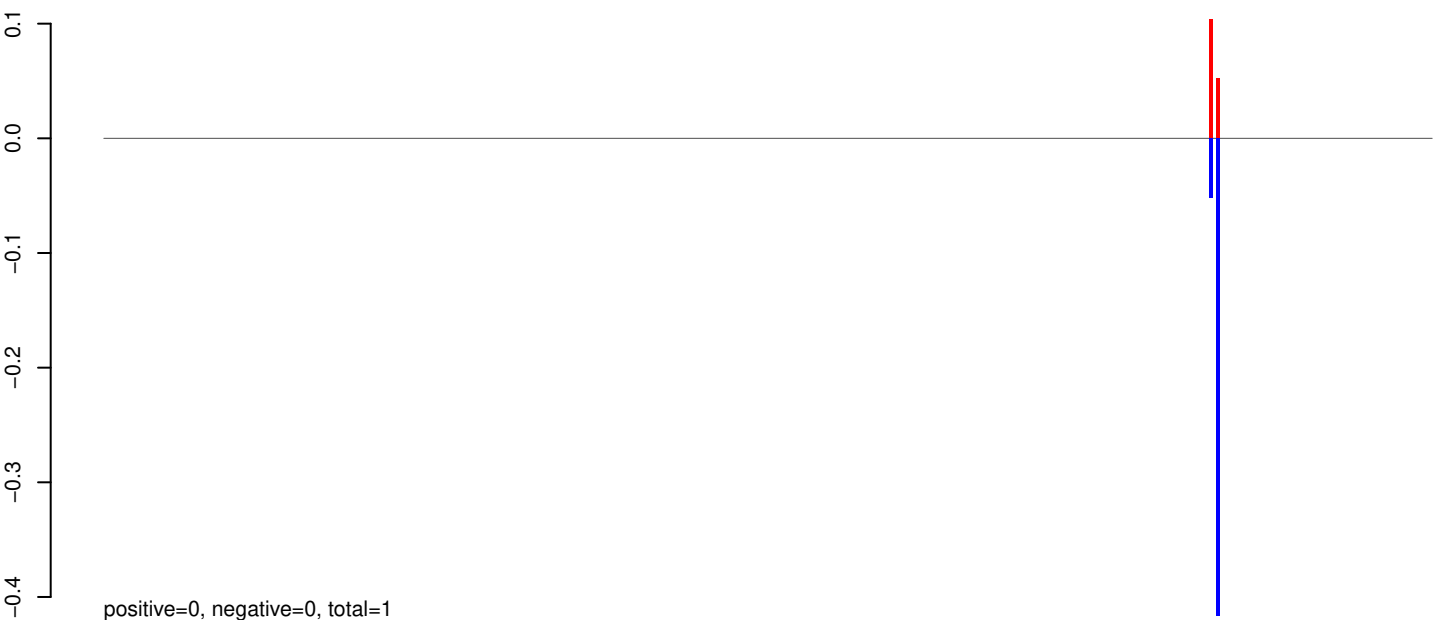
AeAeg_Whole_ZIKVdr_In2_GP.rep



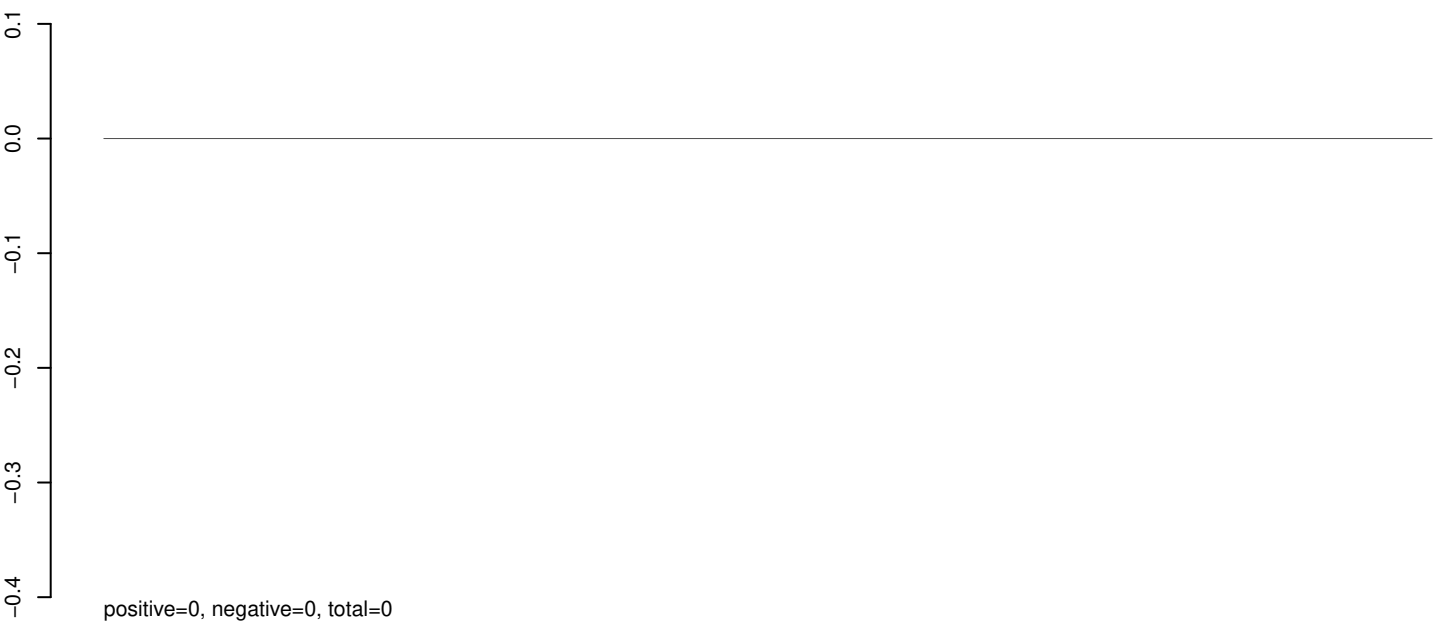
positive=0, negative=0, total=0, window-size=25, length=10251, virus@NC_033723.1-Gadgets_Gully_virus_from_Australia_polyprotein_gene:1-10251

0 2000 4000 6000 8000 10000

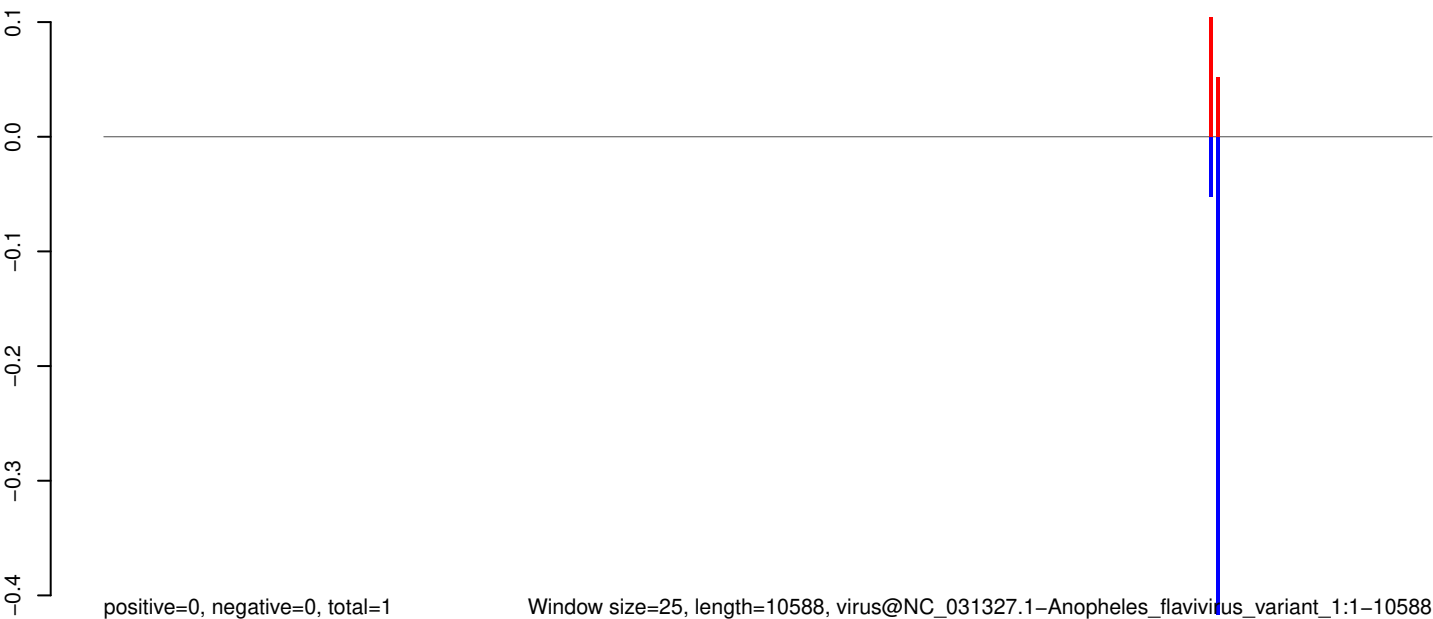
AeAeg_Whole_ZIKVdr_In2_GP.18_23.rep



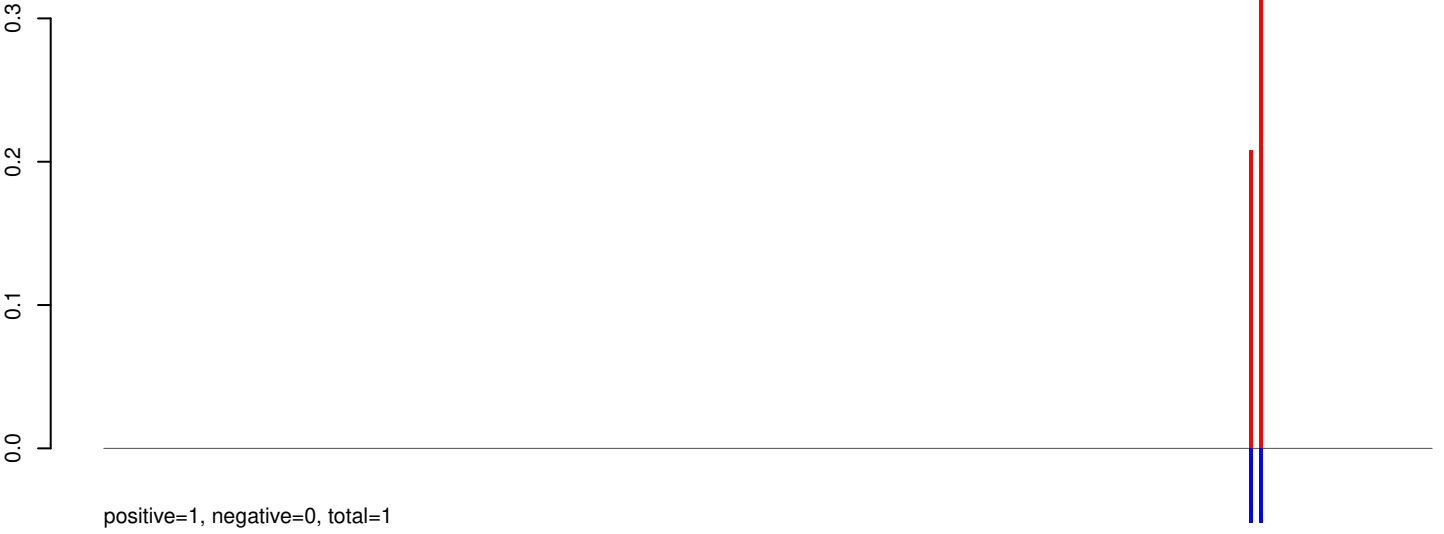
AeAeg_Whole_ZIKVdr_In2_GP.24_35.rep



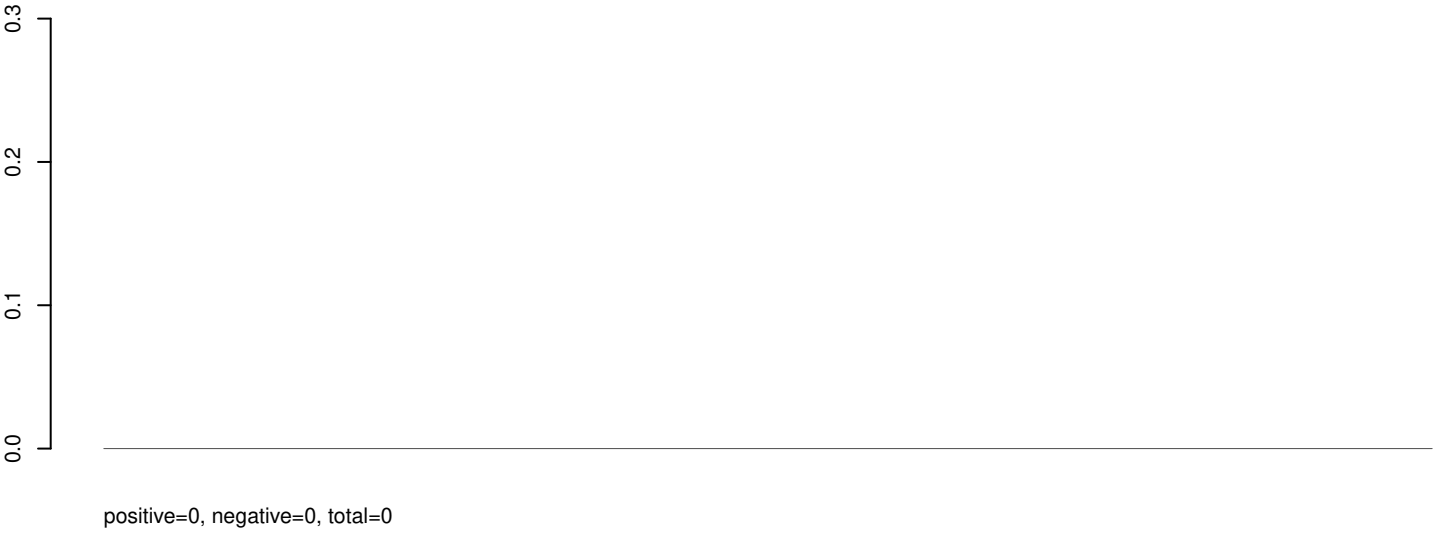
AeAeg_Whole_ZIKVdr_In2_GP.rep



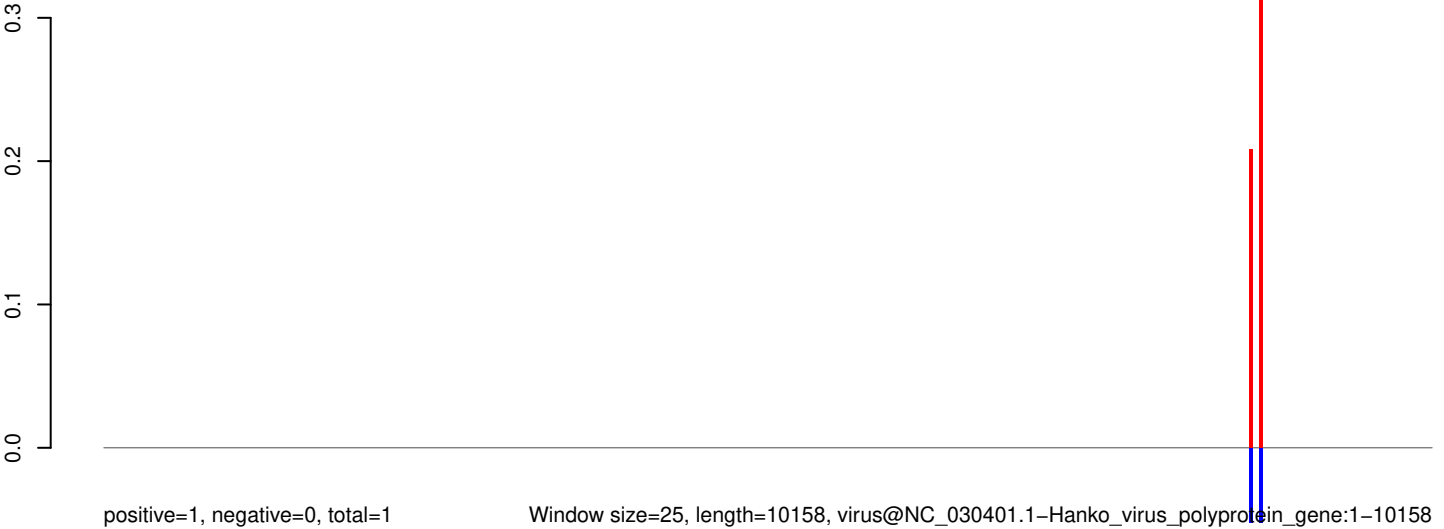
AeAeg_Whole_ZIKVdr_In2_GP.18_23.rep



AeAeg_Whole_ZIKVdr_In2_GP.24_35.rep



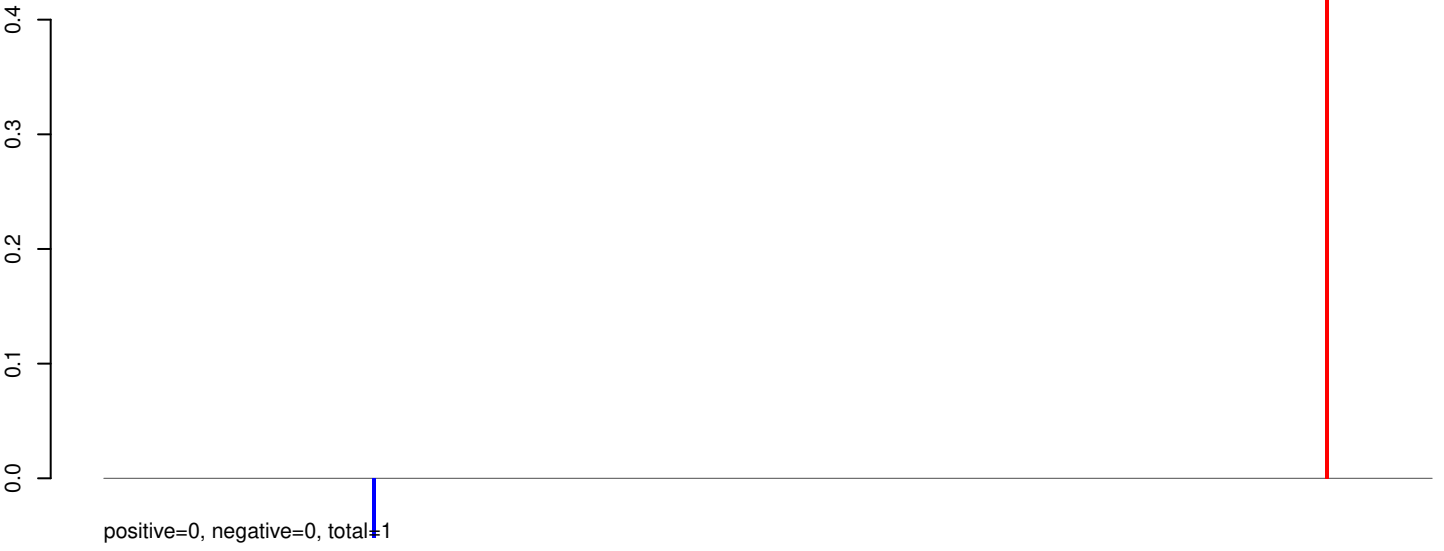
AeAeg_Whole_ZIKVdr_In2_GP.rep



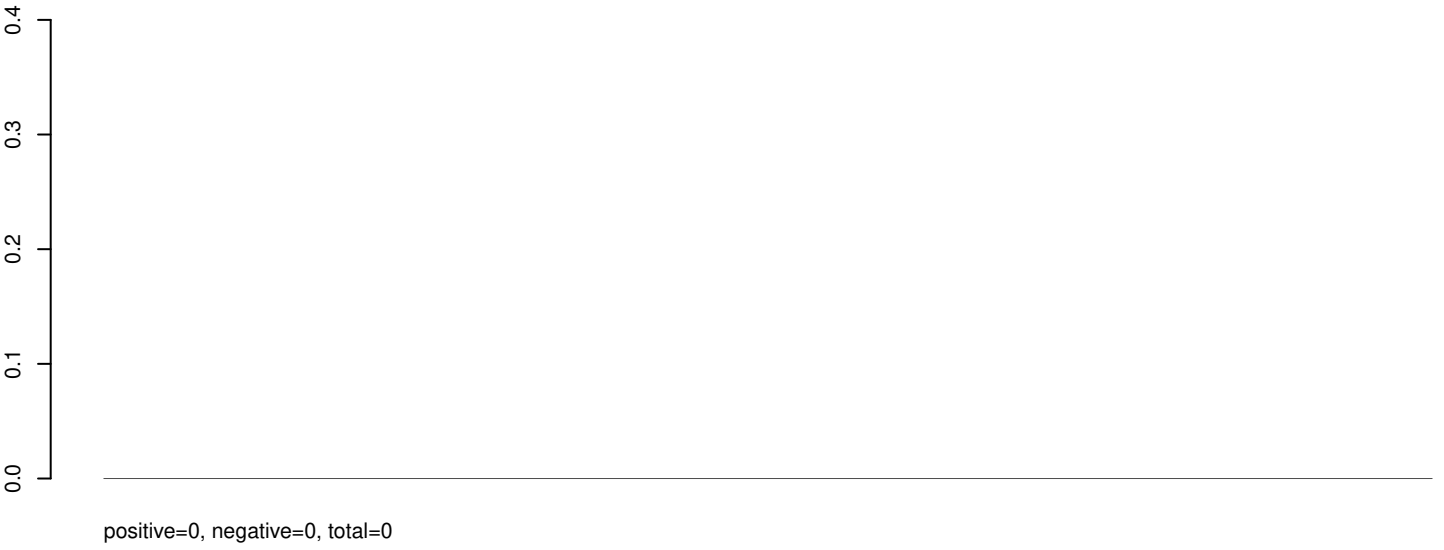
Window size=25, length=10158, virus@NC_030401.1-Hanko_virus_polyprotein_gene:1-10158

0 2000 4000 6000 8000 10000

AeAeg_Whole_ZIKVdr_In2_GP.18_23.rep



AeAeg_Whole_ZIKVdr_In2_GP.24_35.rep



AeAeg_Whole_ZIKVdr_In2_GP.rep

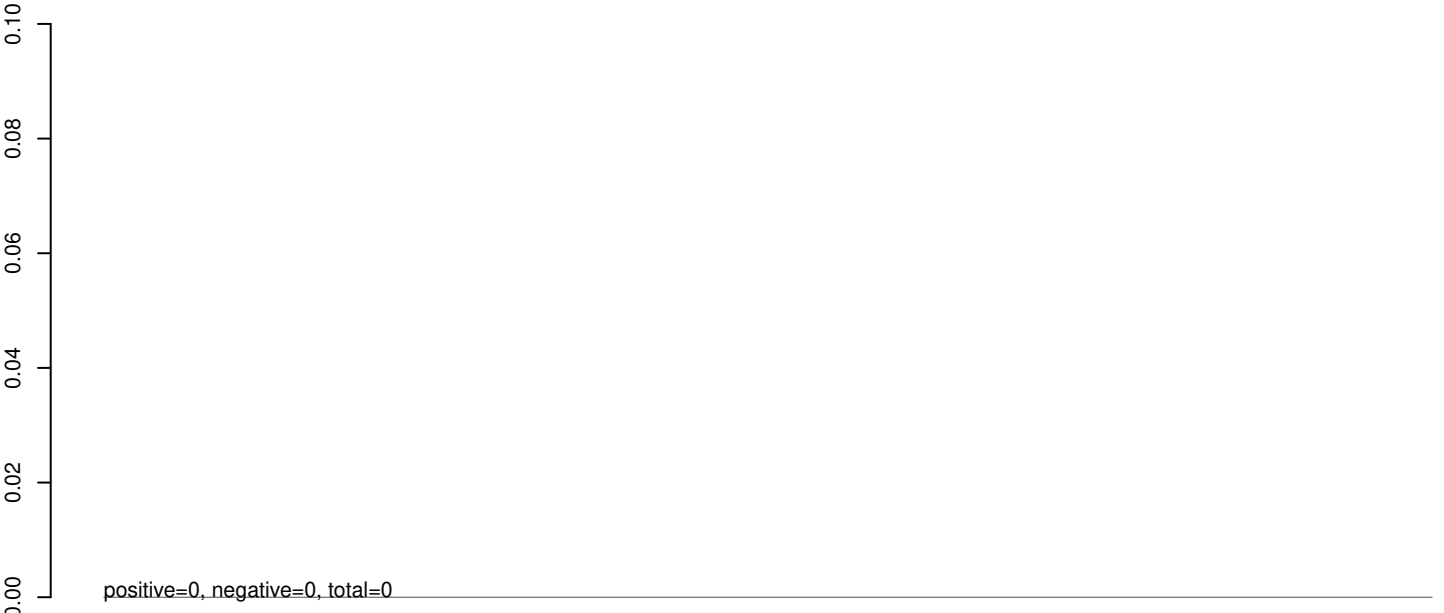


0 2000 4000 6000 8000 10000

AeAeg_Whole_ZIKVdr_In2_GP.18_23.rep



AeAeg_Whole_ZIKVdr_In2_GP.24_35.rep

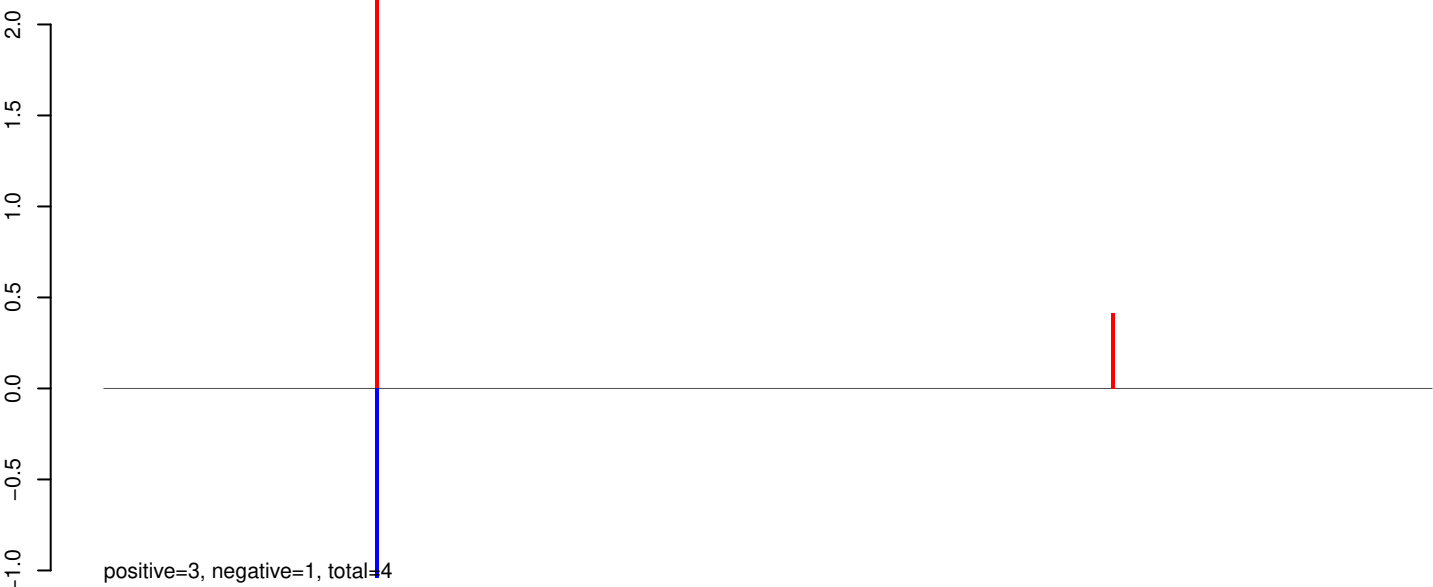


AeAeg_Whole_ZIKVdr_In2_GP.rep

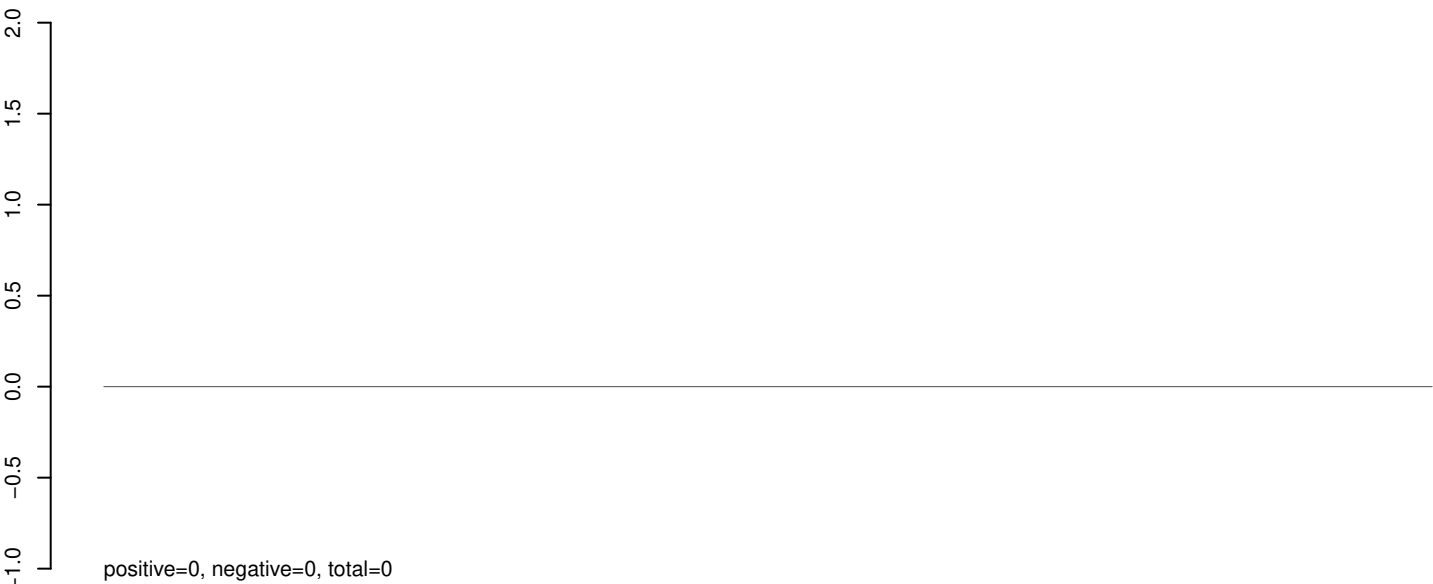


0 2000 4000 6000 8000 10000

AeAeg_Whole_ZIKVdr_In2_GP.18_23.rep



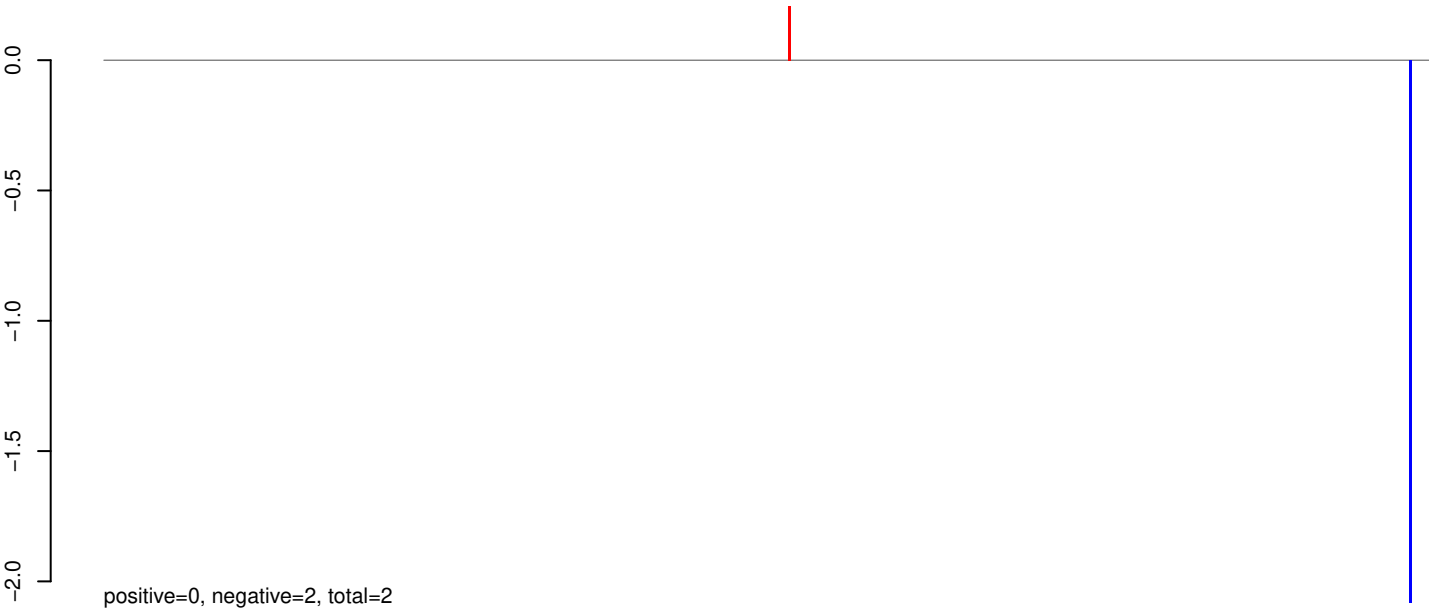
AeAeg_Whole_ZIKVdr_In2_GP.24_35.rep



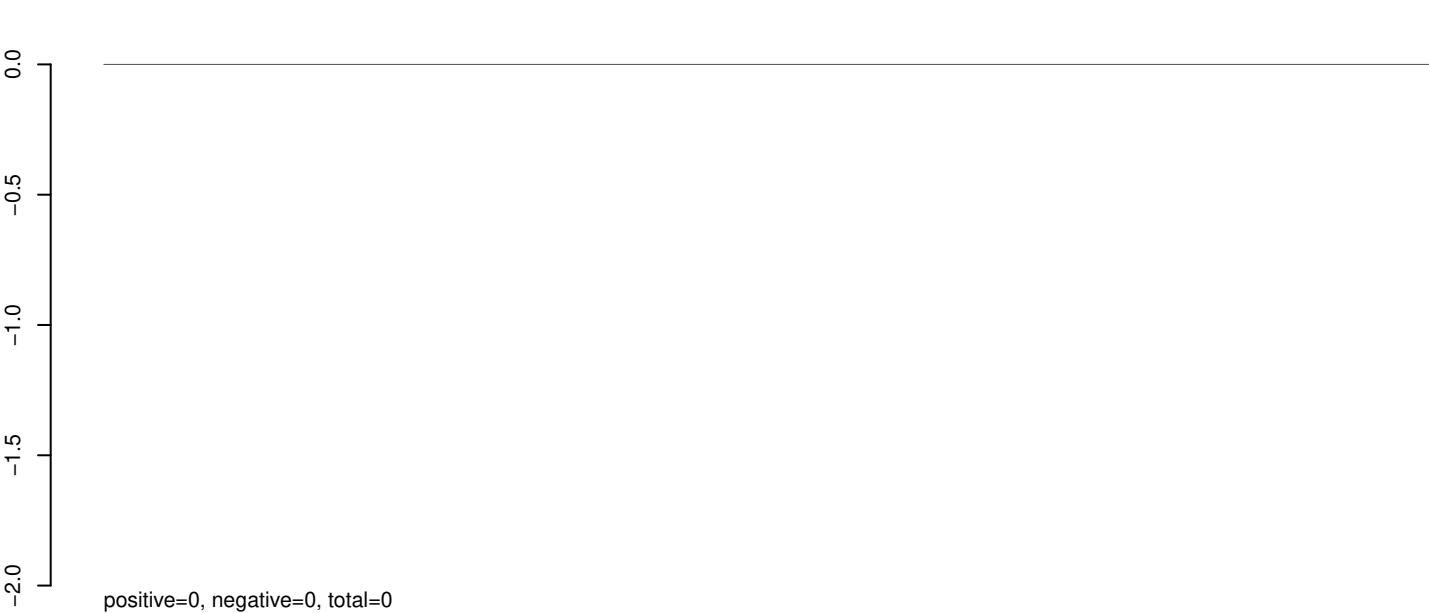
AeAeg_Whole_ZIKVdr_In2_GP.rep



AeAeg_Whole_ZIKVdr_In2_GP.18_23.rep



AeAeg_Whole_ZIKVdr_In2_GP.24_35.rep



AeAeg_Whole_ZIKVdr_In2_GP.rep



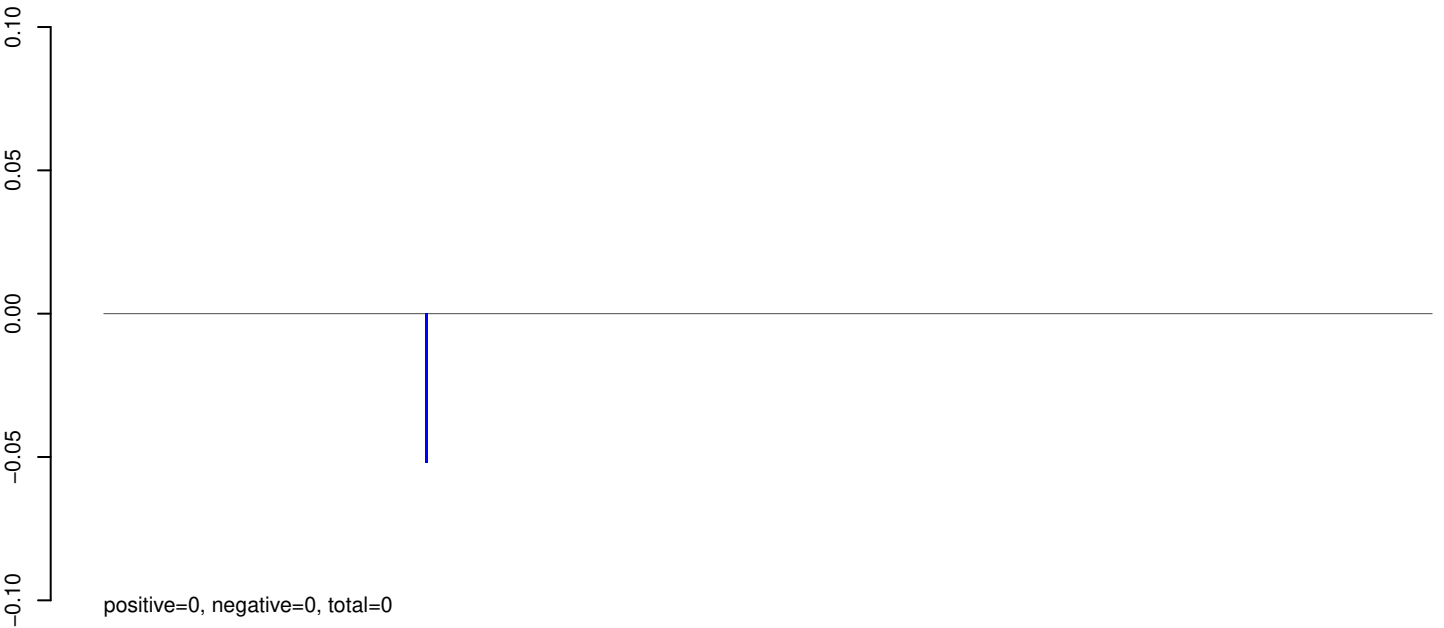
Window size=25, length=11597, virus@NC_006558.1-Getah_virus:1-11597

0 2000 4000 6000 8000 10000 12000

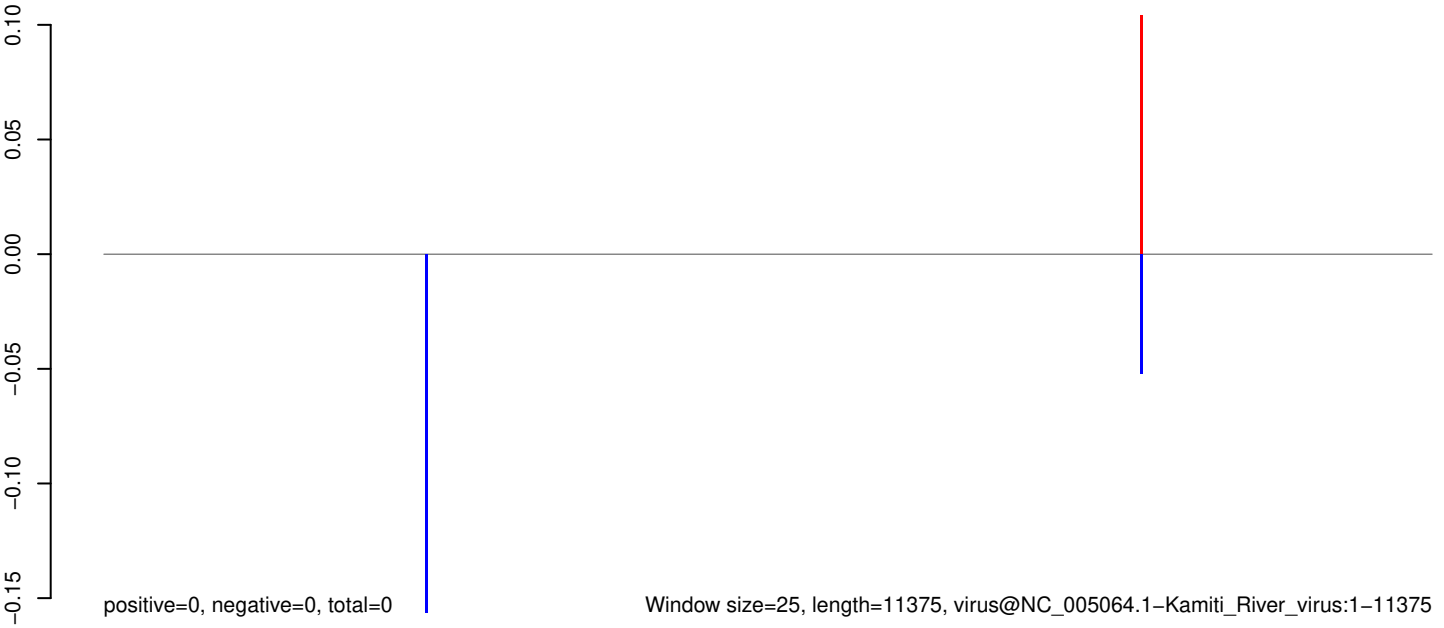
AeAeg_Whole_ZIKVdr_In2_GP.18_23.rep



AeAeg_Whole_ZIKVdr_In2_GP.24_35.rep

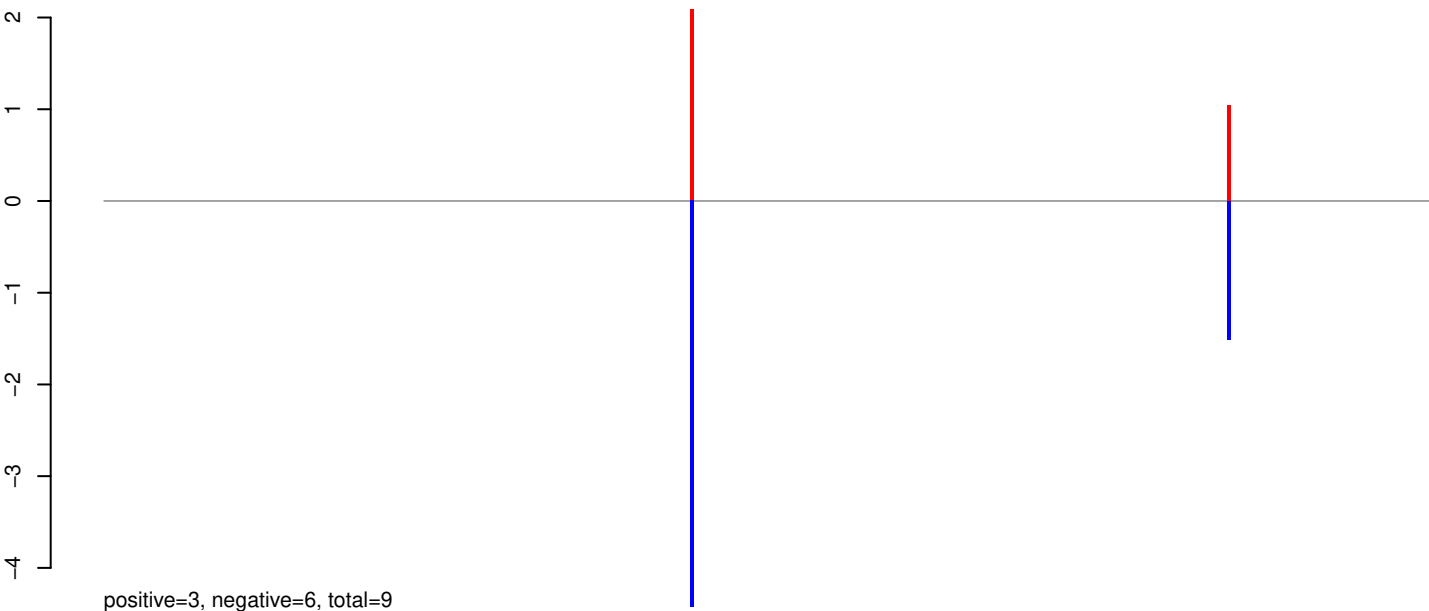


AeAeg_Whole_ZIKVdr_In2_GP.rep

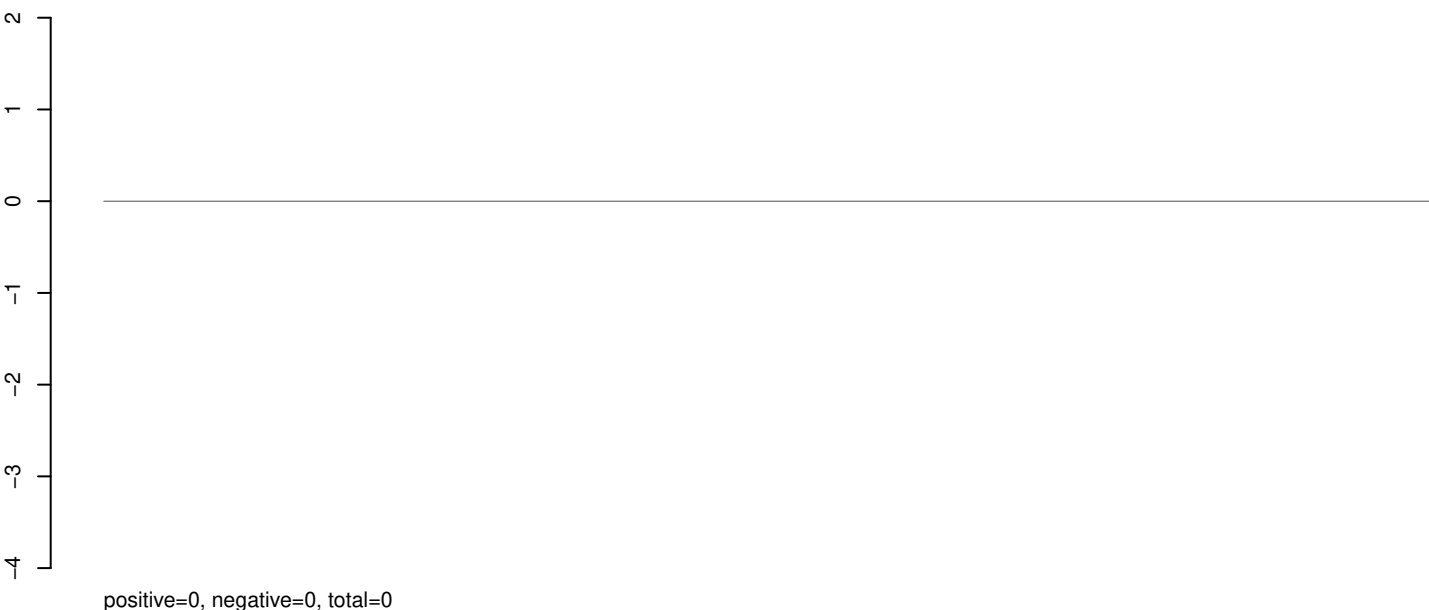


0 2000 4000 6000 8000 10000

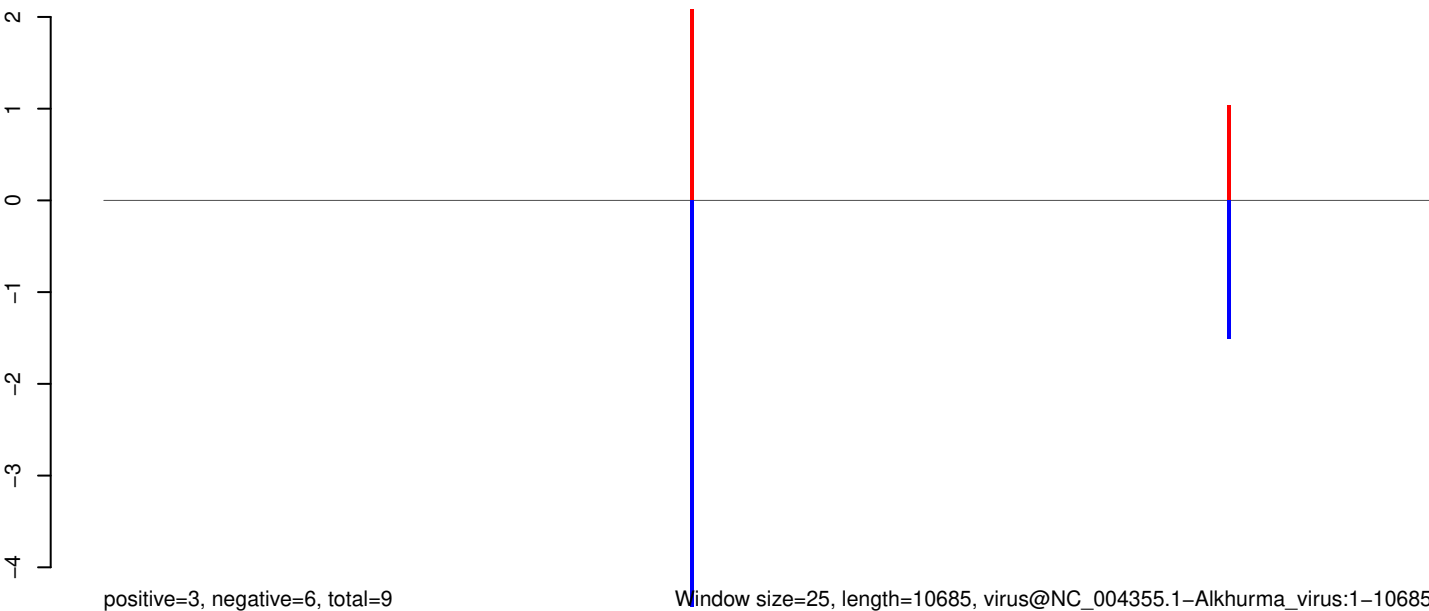
AeAeg_Whole_ZIKVdr_In2_GP.18_23.rep



AeAeg_Whole_ZIKVdr_In2_GP.24_35.rep



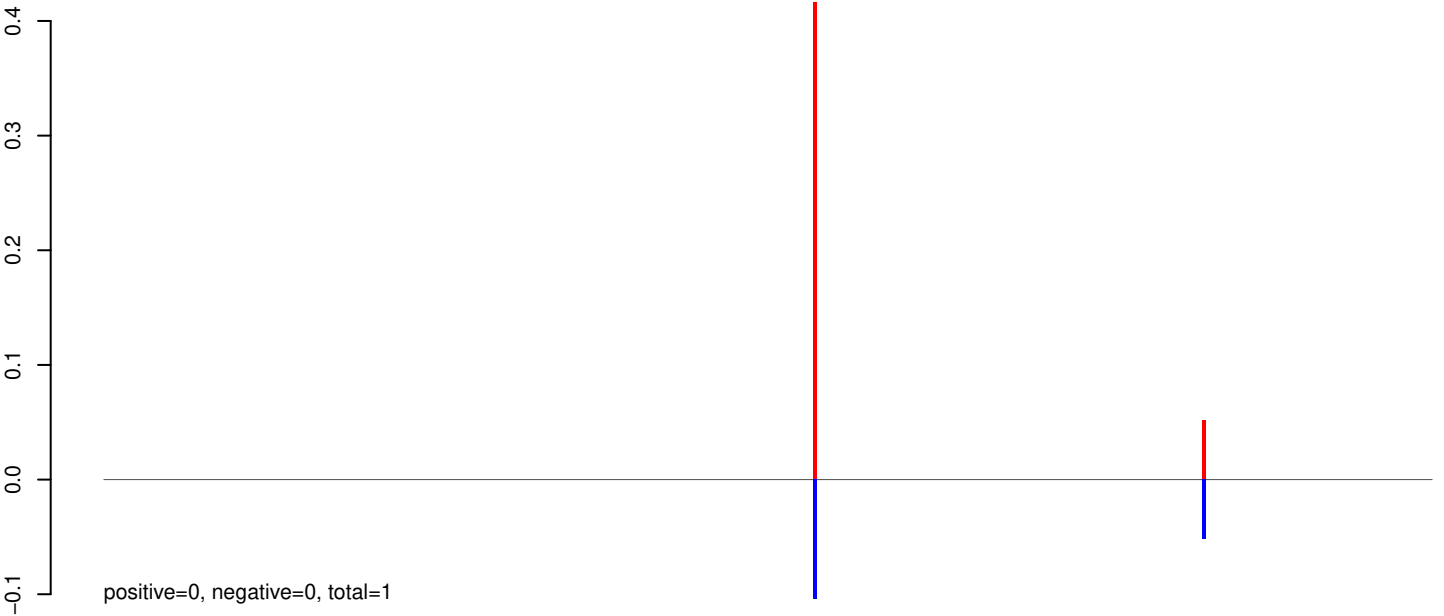
AeAeg_Whole_ZIKVdr_In2_GP.rep



Window size=25, length=10685, virus@NC_004355.1-Alkhurma_virus:1-10685

0 2000 4000 6000 8000 10000

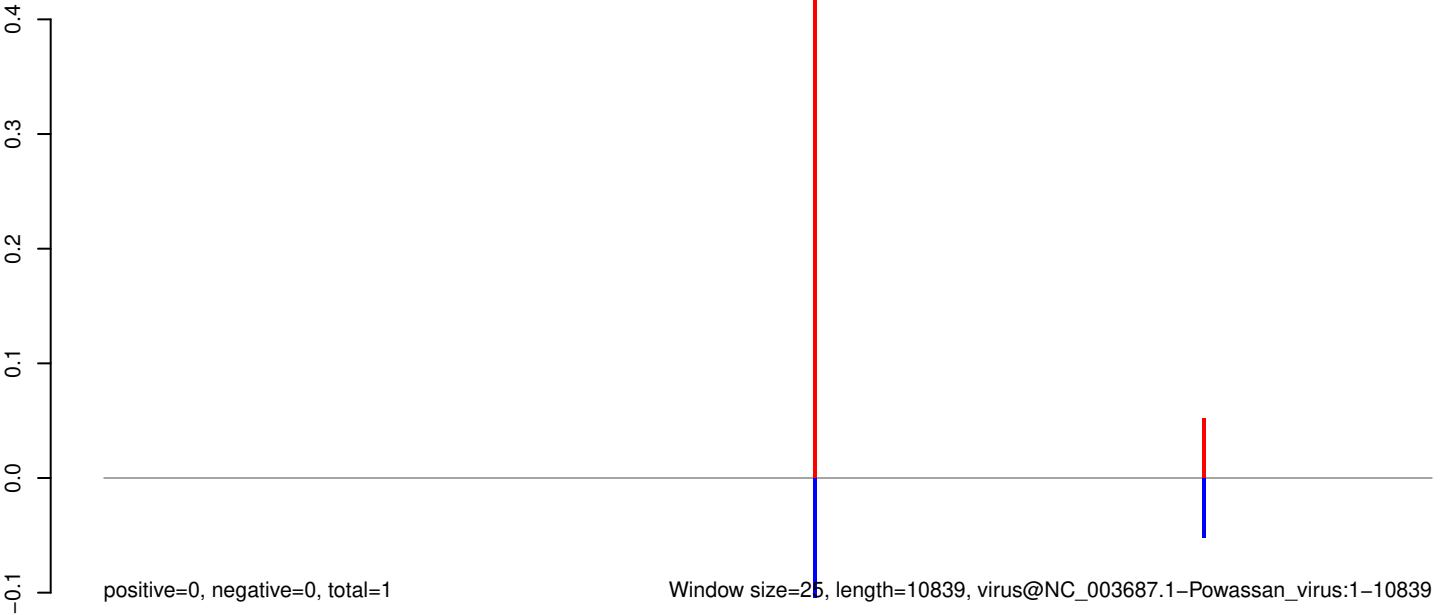
AeAeg_Whole_ZIKVdr_In2_GP.18_23.rep



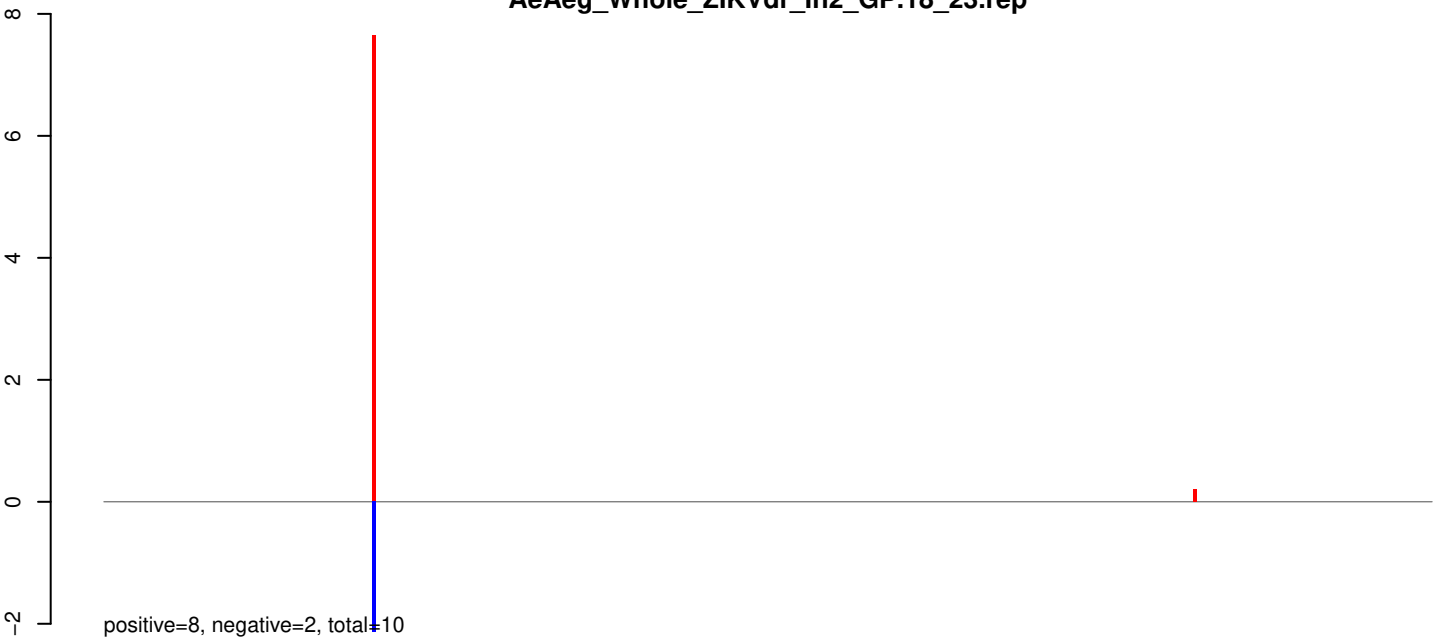
AeAeg_Whole_ZIKVdr_In2_GP.24_35.rep



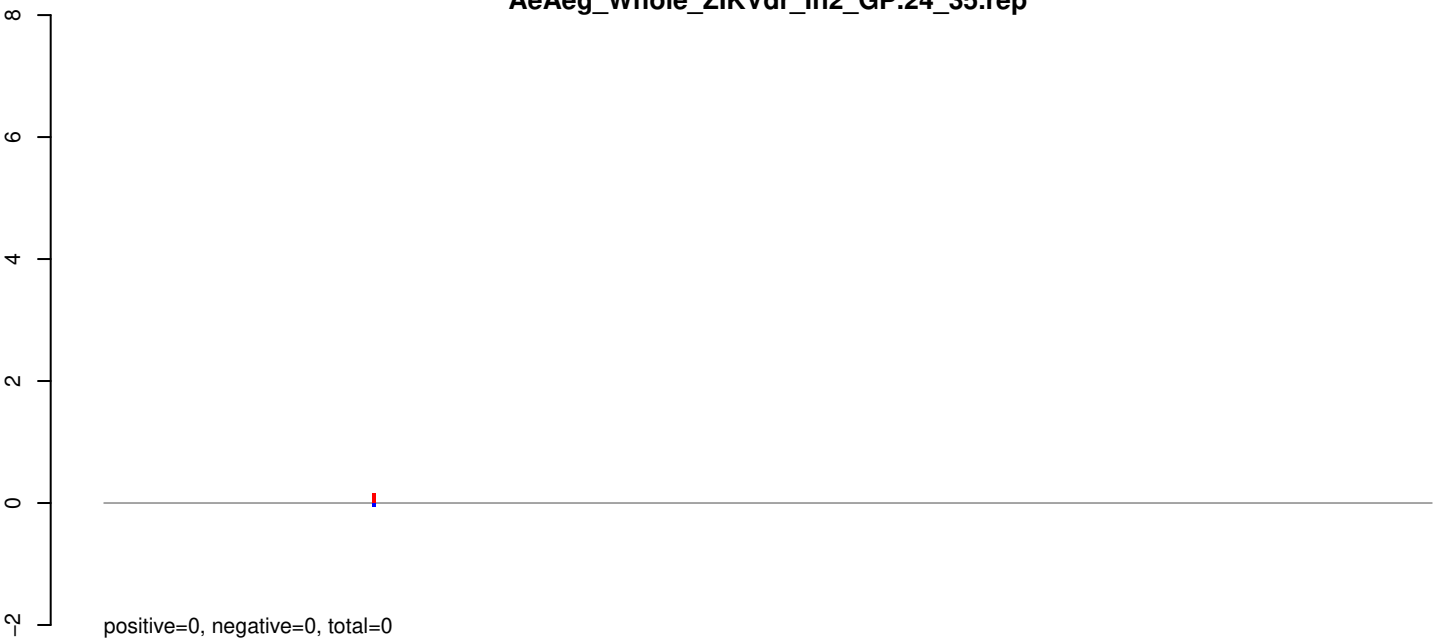
AeAeg_Whole_ZIKVdr_In2_GP.rep



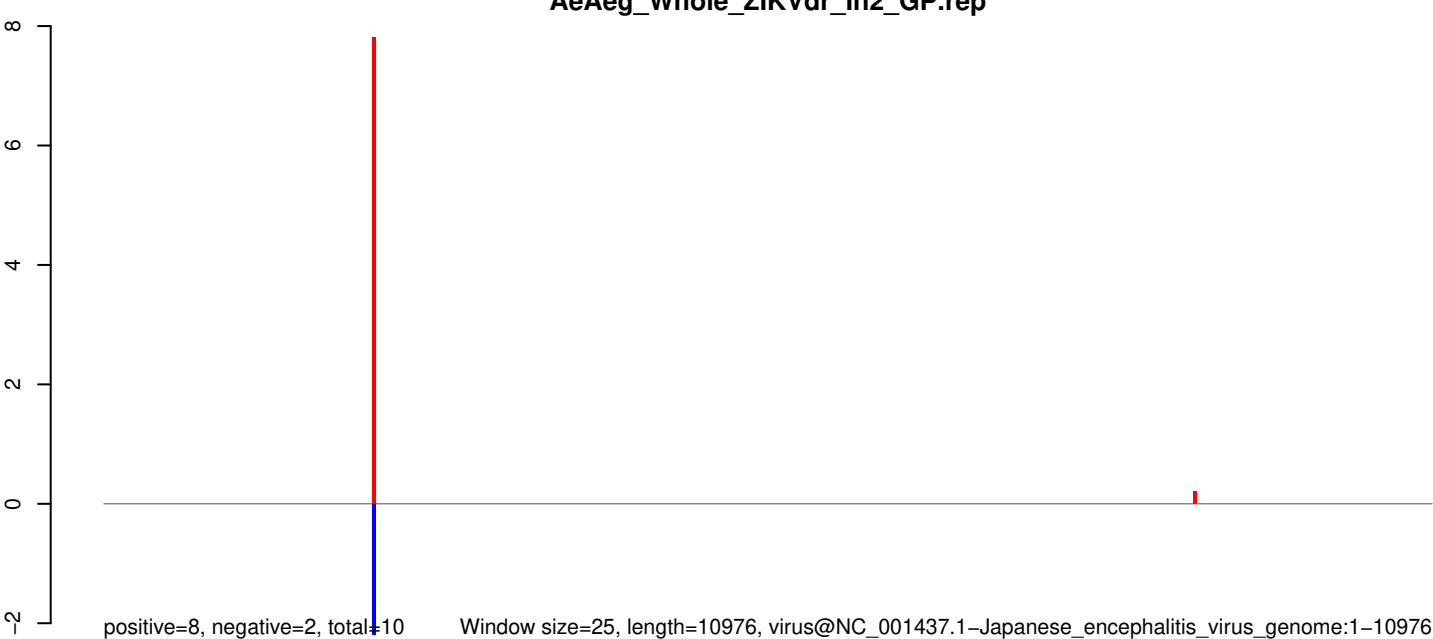
AeAeg_Whole_ZIKVdr_In2_GP.18_23.rep



AeAeg_Whole_ZIKVdr_In2_GP.24_35.rep



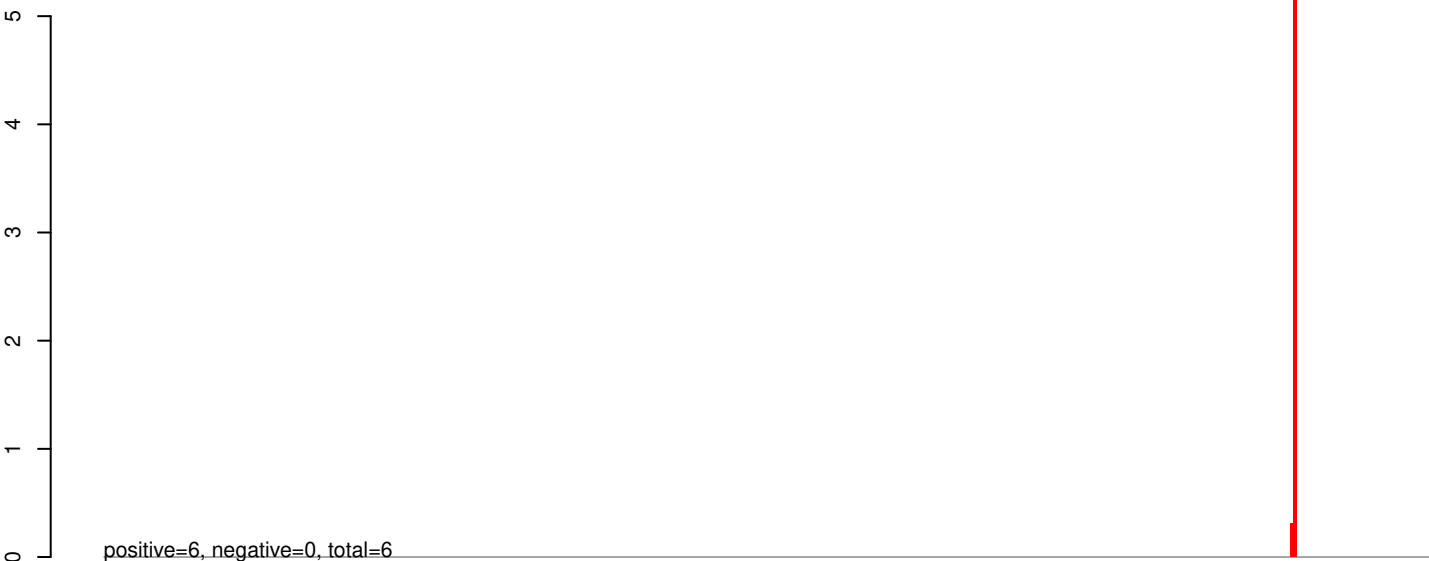
AeAeg_Whole_ZIKVdr_In2_GP.rep



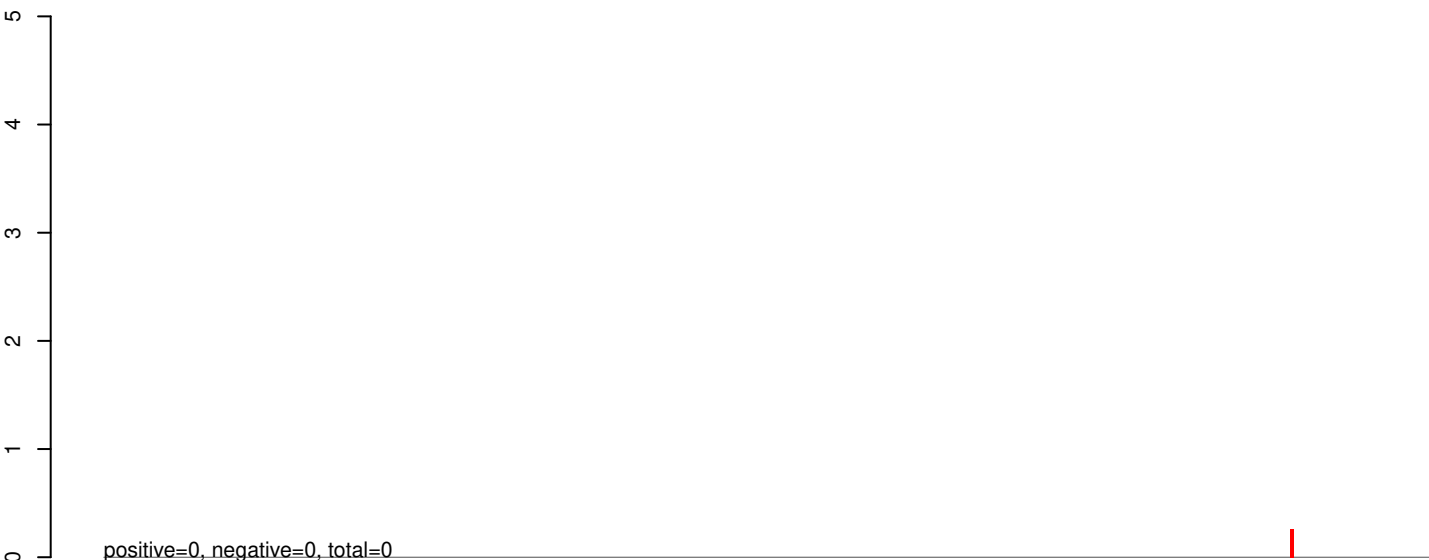
Window size=25, length=10976, virus@NC_001437.1-Japanese_encephalitis_virus_genome:1-10976

0 2000 4000 6000 8000 10000

AeAeg_Whole_ZIKVdr_In2_GP.18_23.rep



AeAeg_Whole_ZIKVdr_In2_GP.24_35.rep

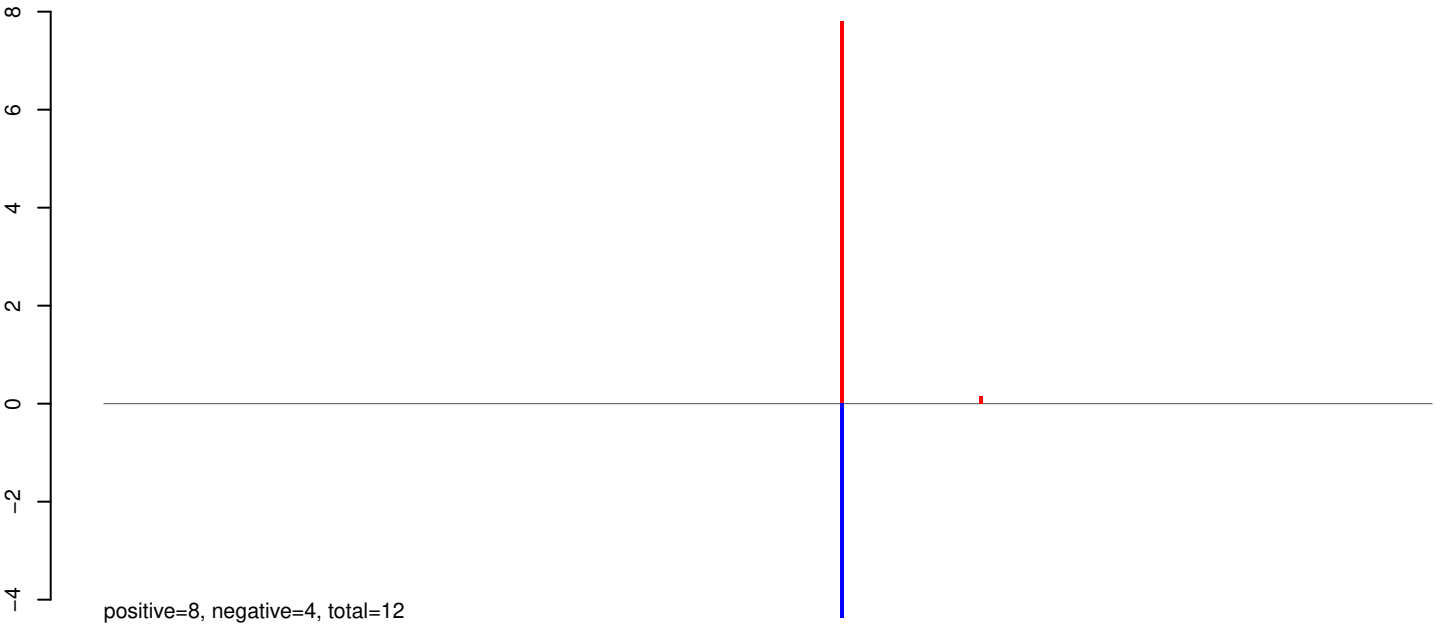


AeAeg_Whole_ZIKVdr_In2_GP.rep

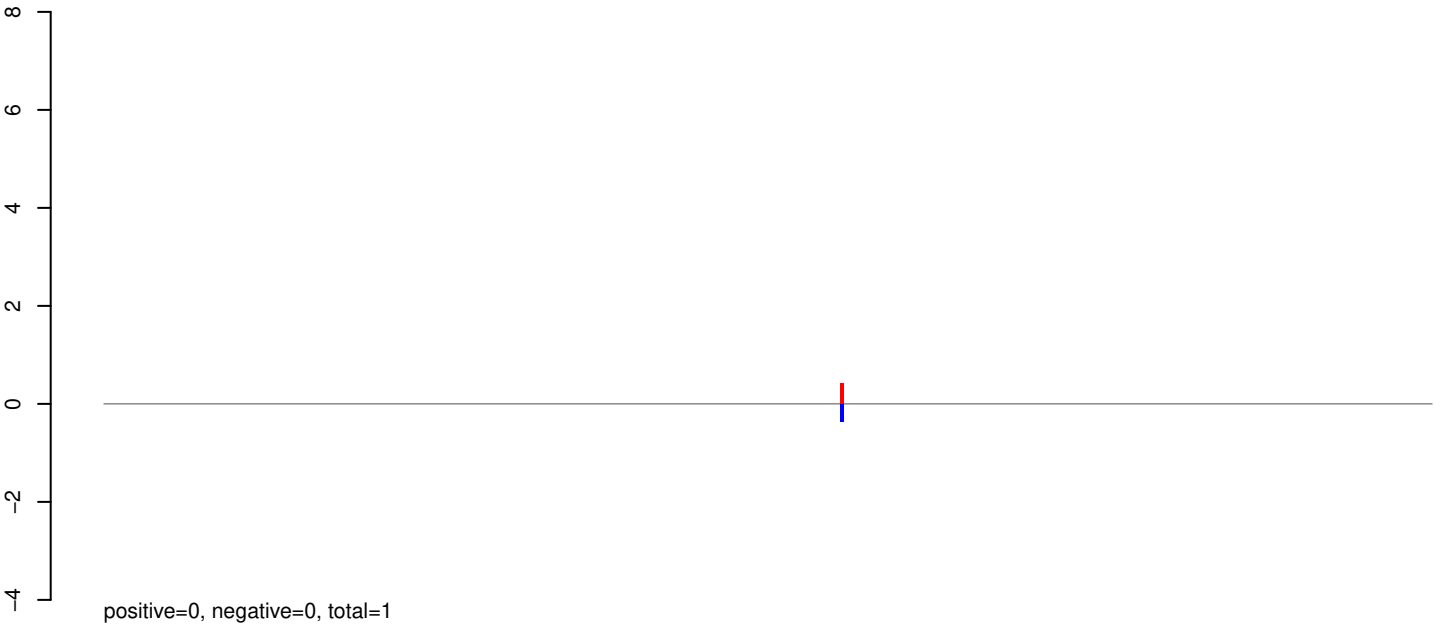


0 2000 4000 6000 8000 10000

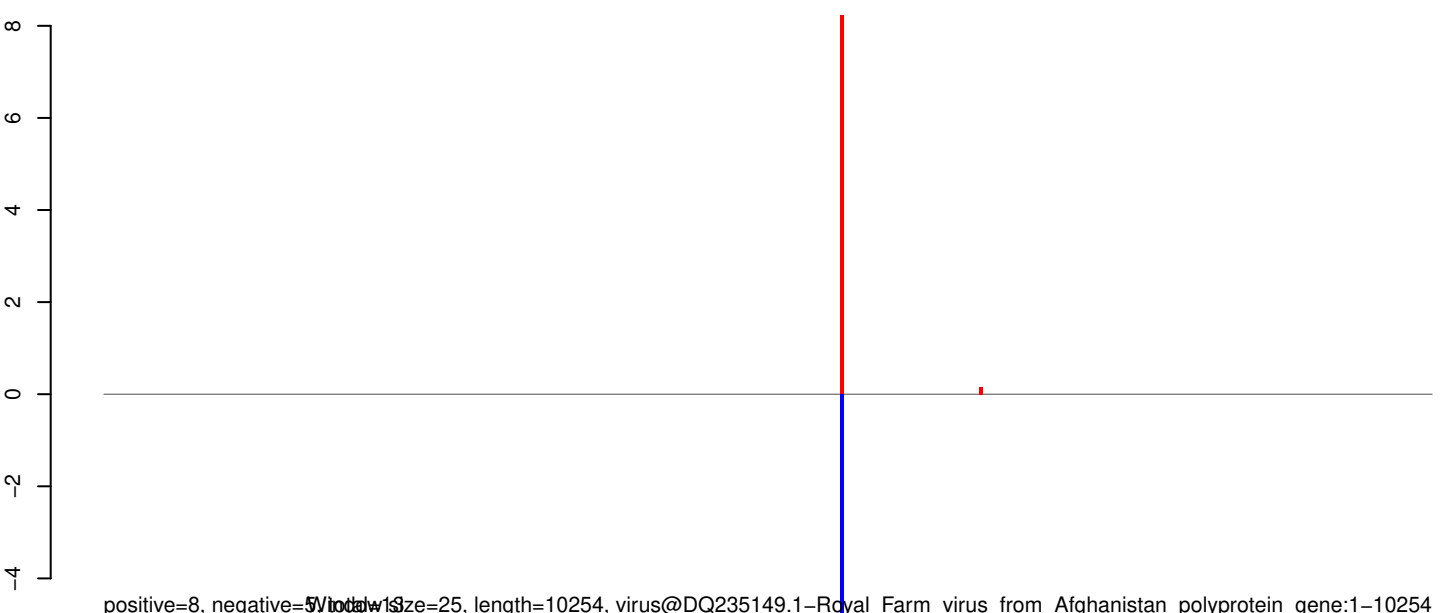
AeAeg_Whole_ZIKVdr_In2_GP.18_23.rep



AeAeg_Whole_ZIKVdr_In2_GP.24_35.rep



AeAeg_Whole_ZIKVdr_In2_GP.rep



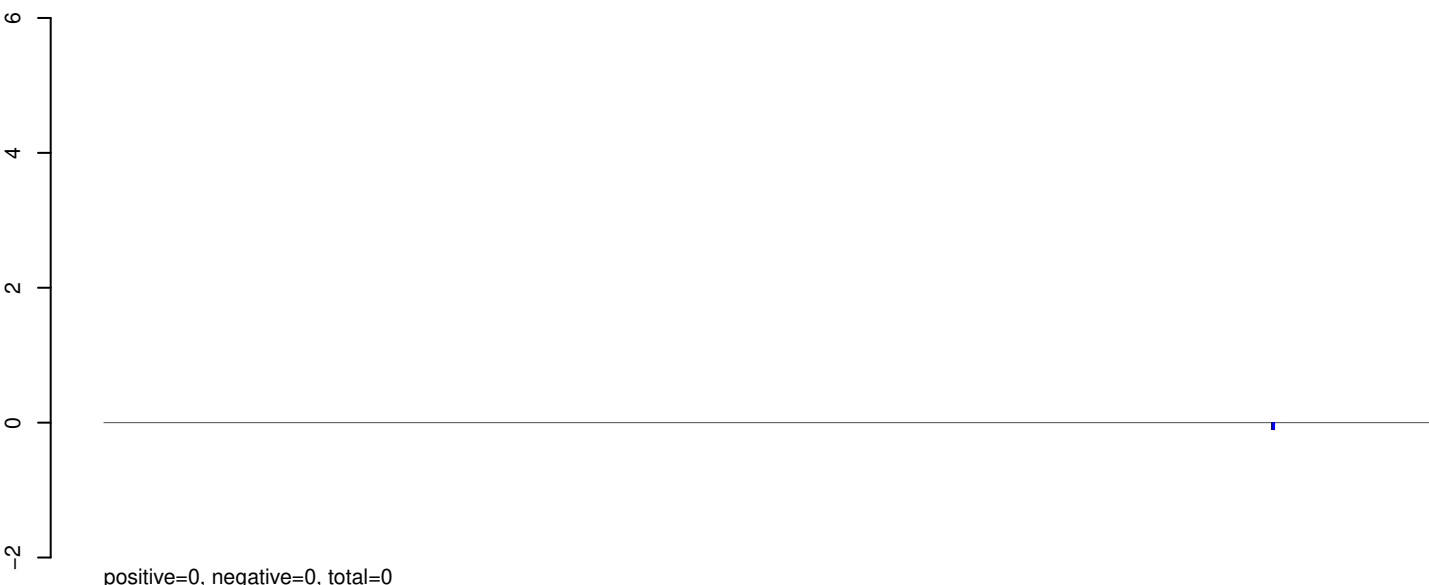
Window size=25, length=10254, virus@DQ235149.1-Royal_Farm_virus_from_Afghanistan_polyprotein_gene:1-10254

0 2000 4000 6000 8000 10000

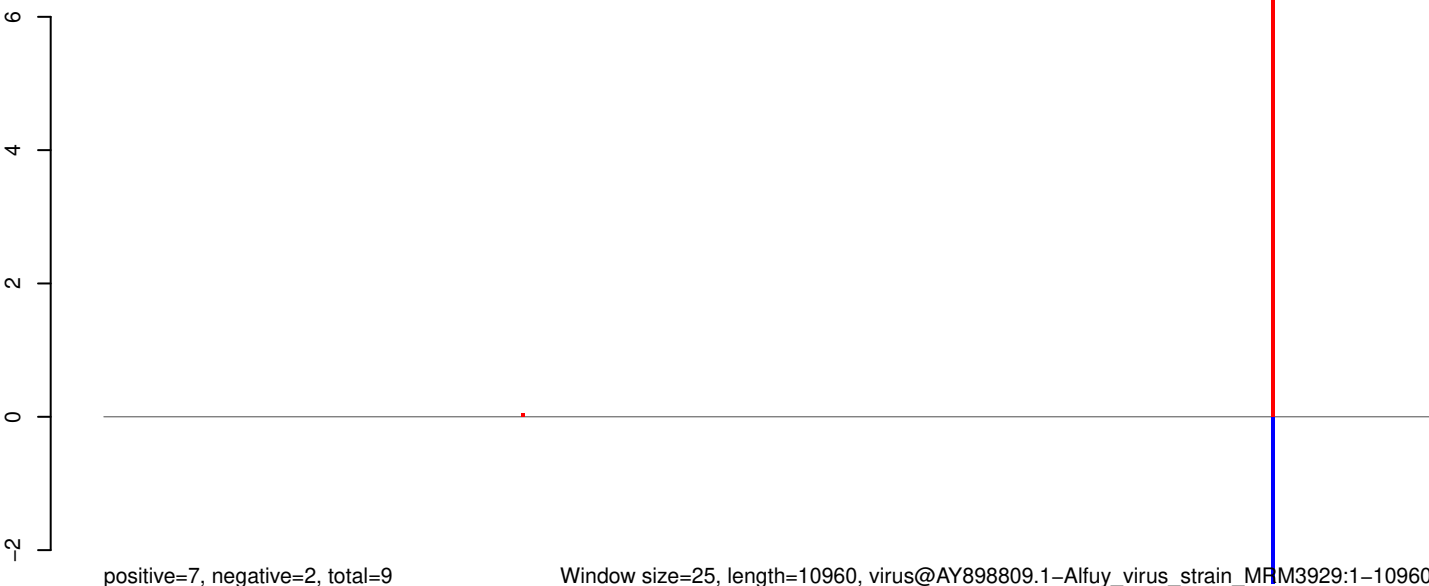
AeAeg_Whole_ZIKVdr_In2_GP.18_23.rep



AeAeg_Whole_ZIKVdr_In2_GP.24_35.rep



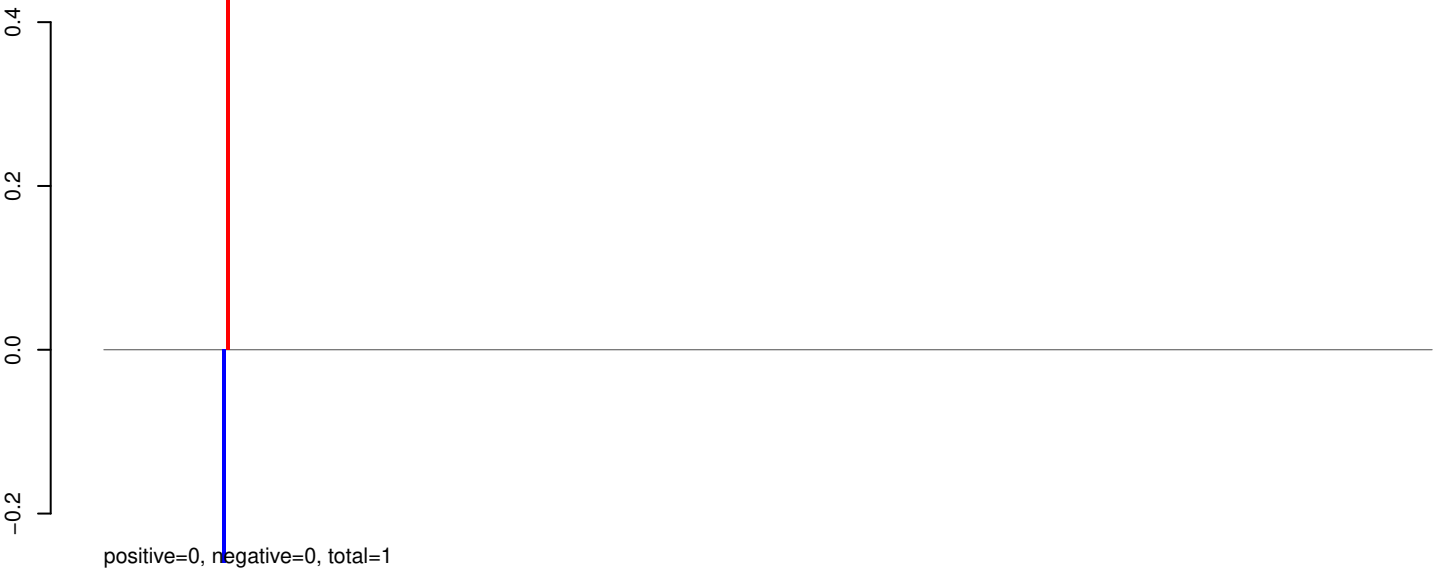
AeAeg_Whole_ZIKVdr_In2_GP.rep



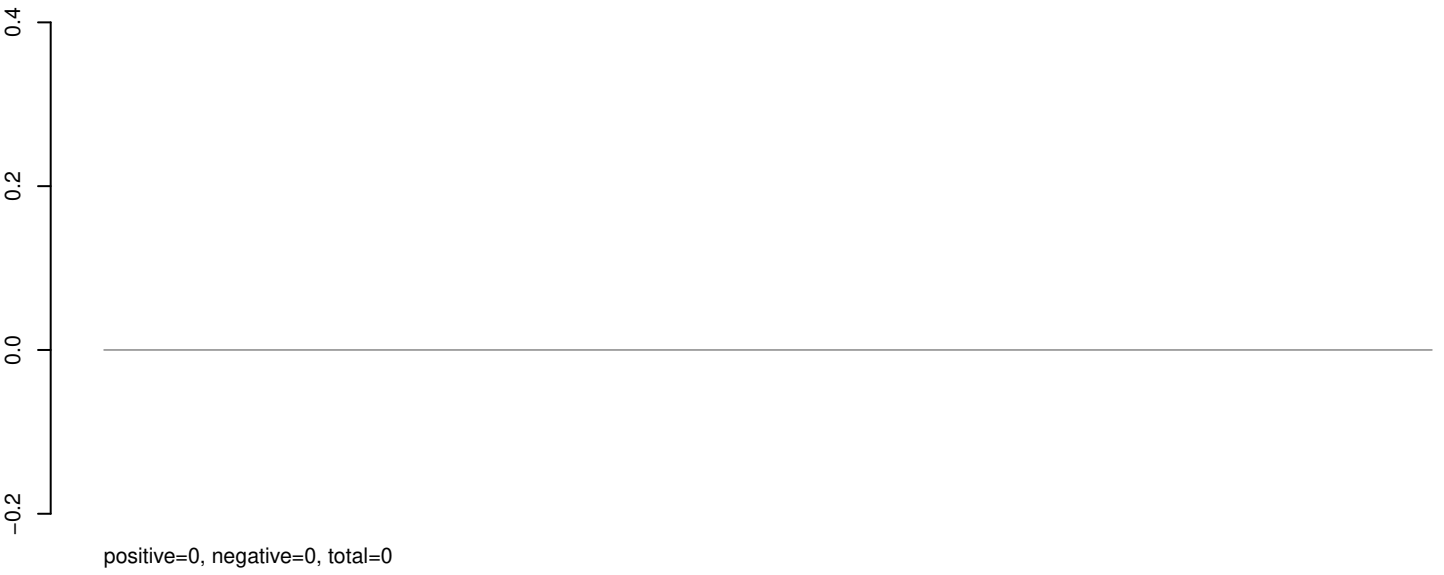
Window size=25, length=10960, virus@AY898809.1-Alfuy_virus_strain_MRM3929:1-10960

0 2000 4000 6000 8000 10000

AeAeg_Whole_ZIKVdr_In2_GP.18_23.rep



AeAeg_Whole_ZIKVdr_In2_GP.24_35.rep

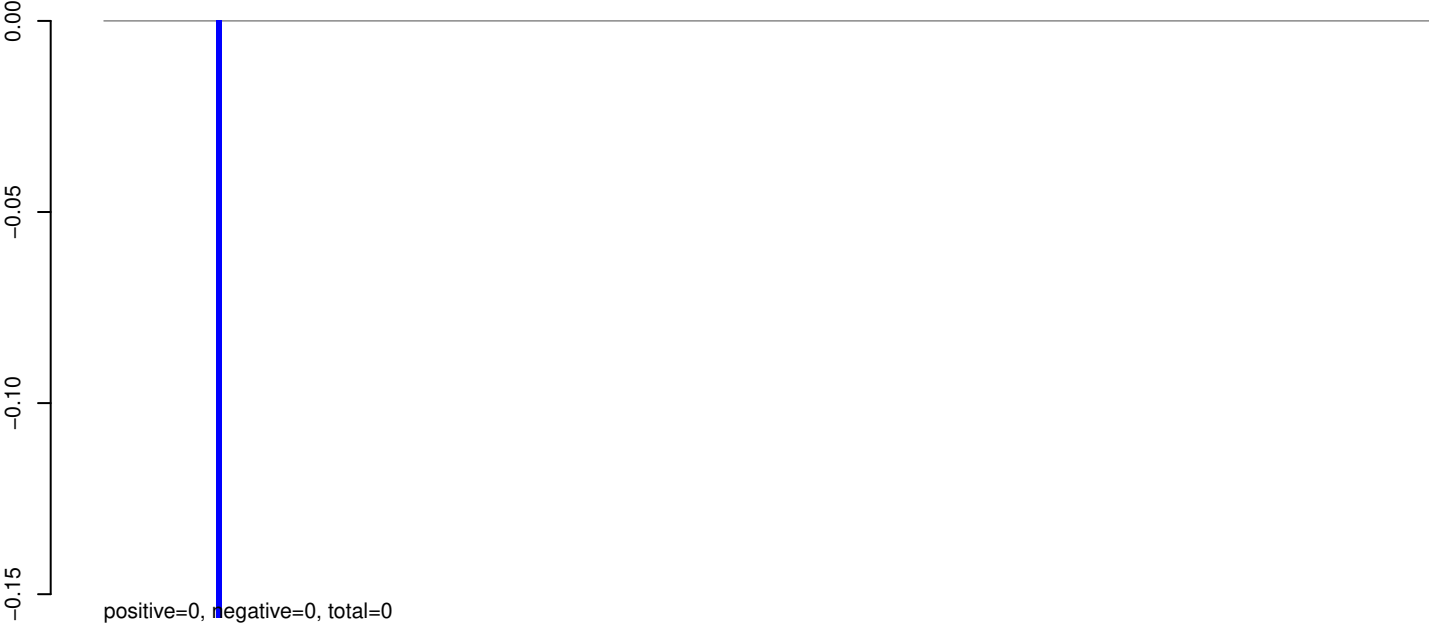


AeAeg_Whole_ZIKVdr_In2_GP.rep

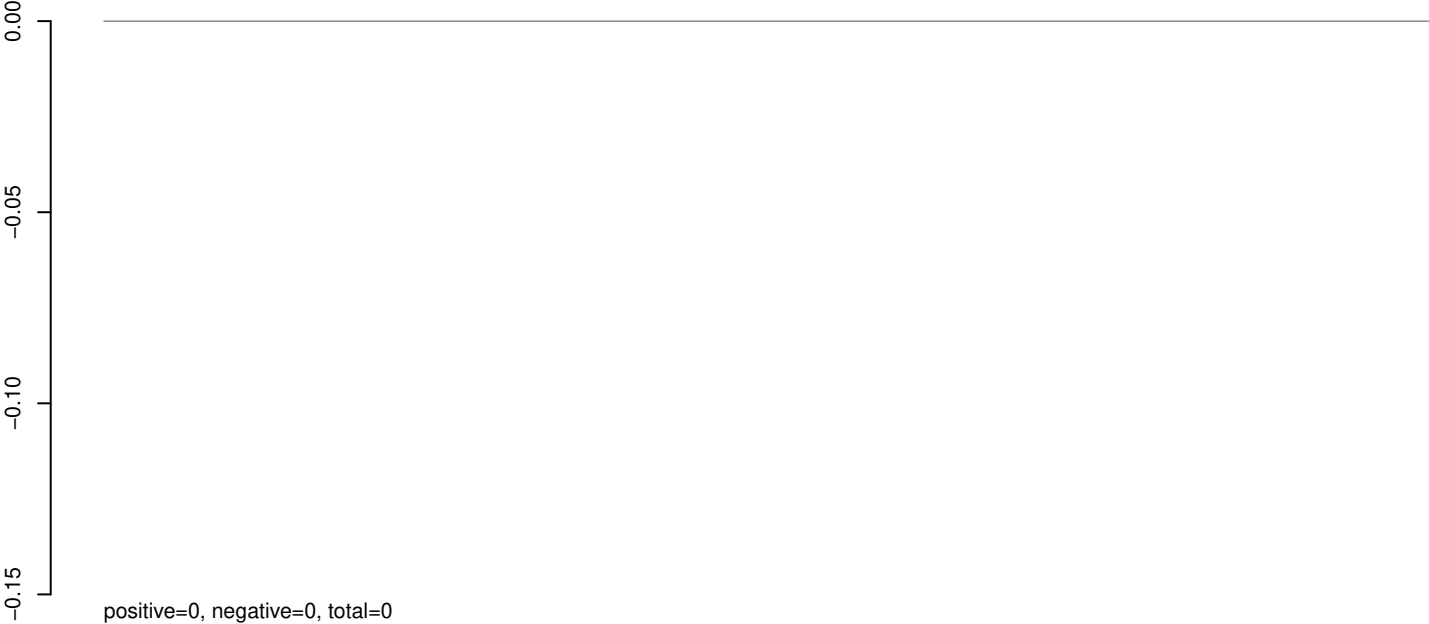


0 2000 4000 6000 8000 10000

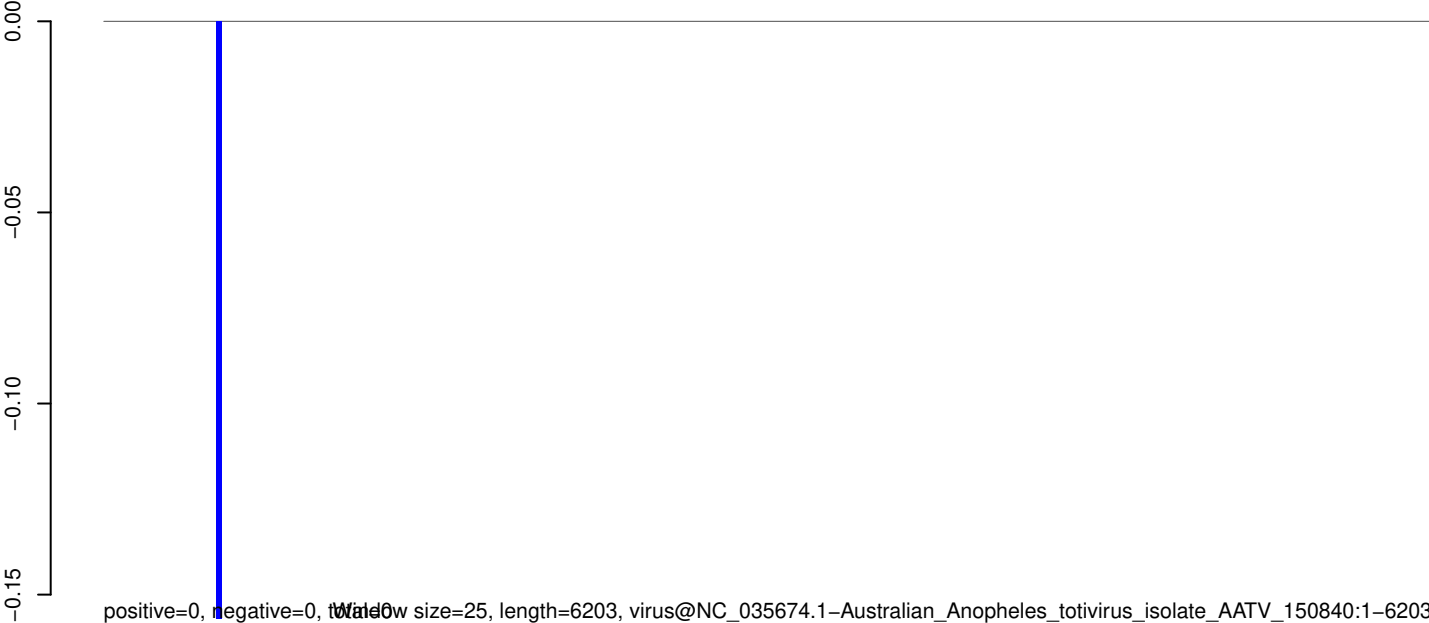
AeAeg_Whole_ZIKVdr_In2_GP.18_23.rep



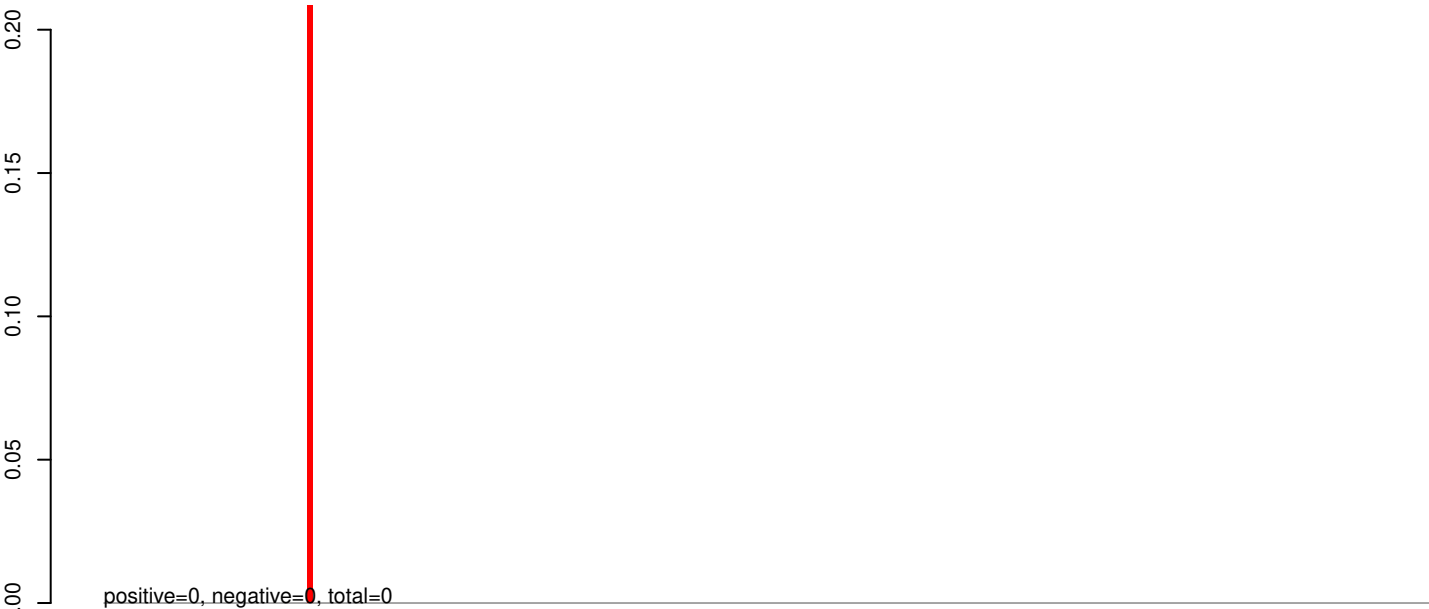
AeAeg_Whole_ZIKVdr_In2_GP.24_35.rep



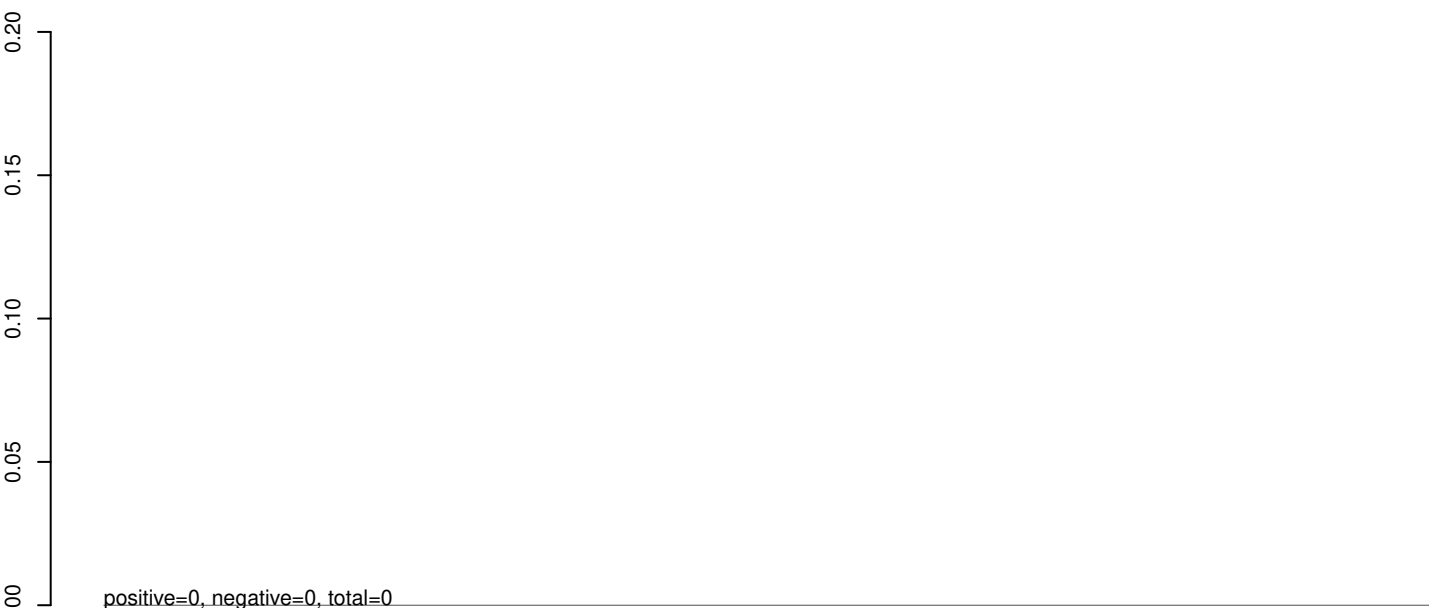
AeAeg_Whole_ZIKVdr_In2_GP.rep



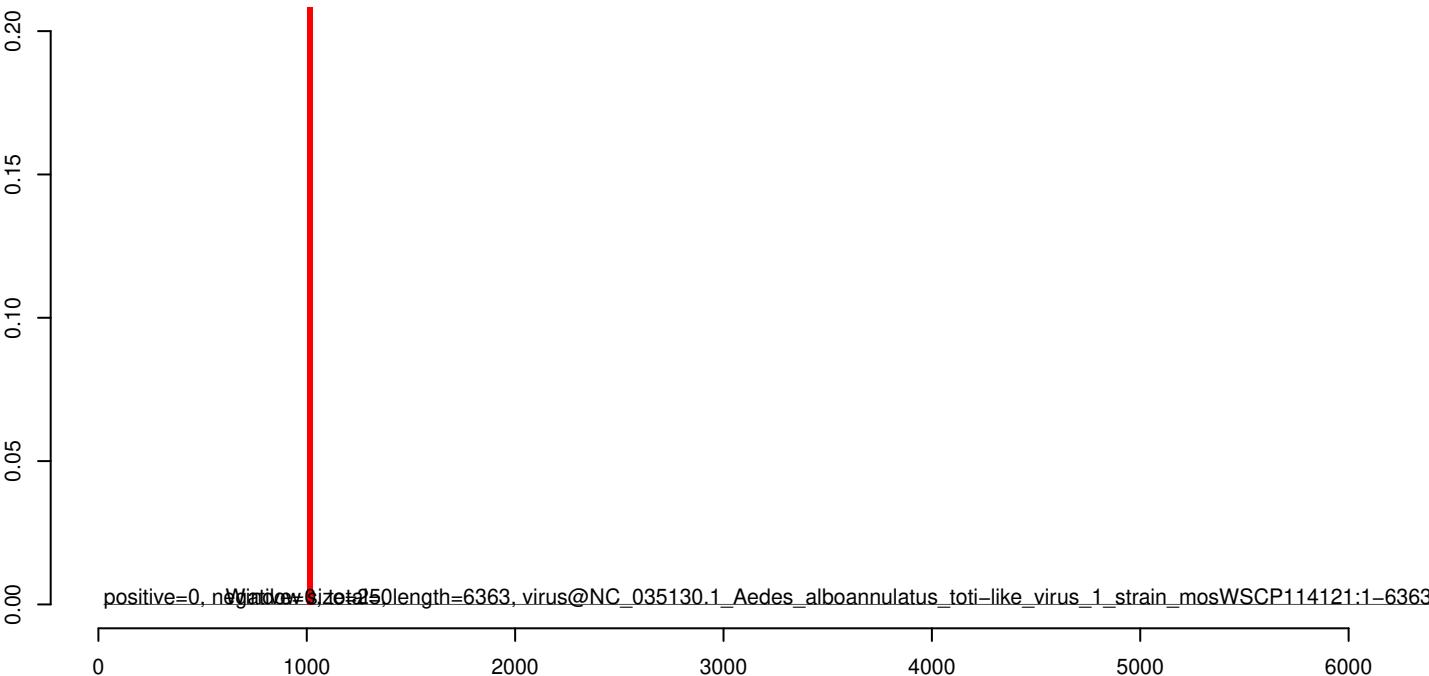
AeAeg_Whole_ZIKVdr_In2_GP.18_23.rep



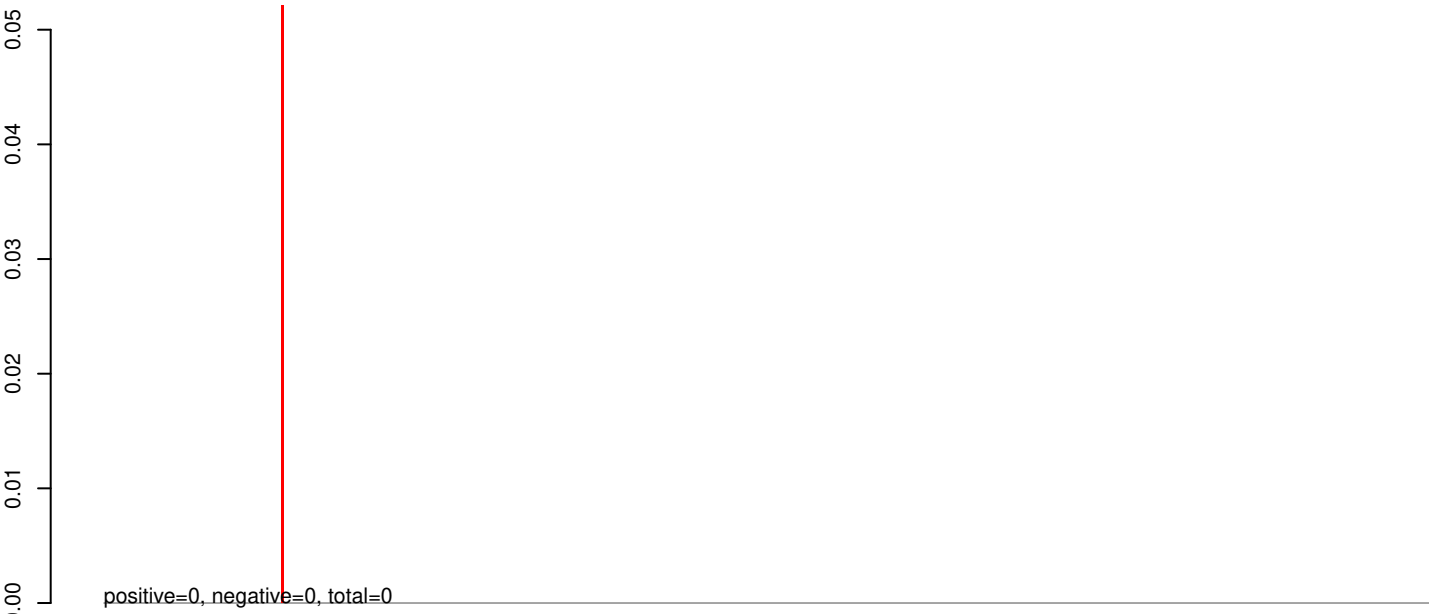
AeAeg_Whole_ZIKVdr_In2_GP.24_35.rep



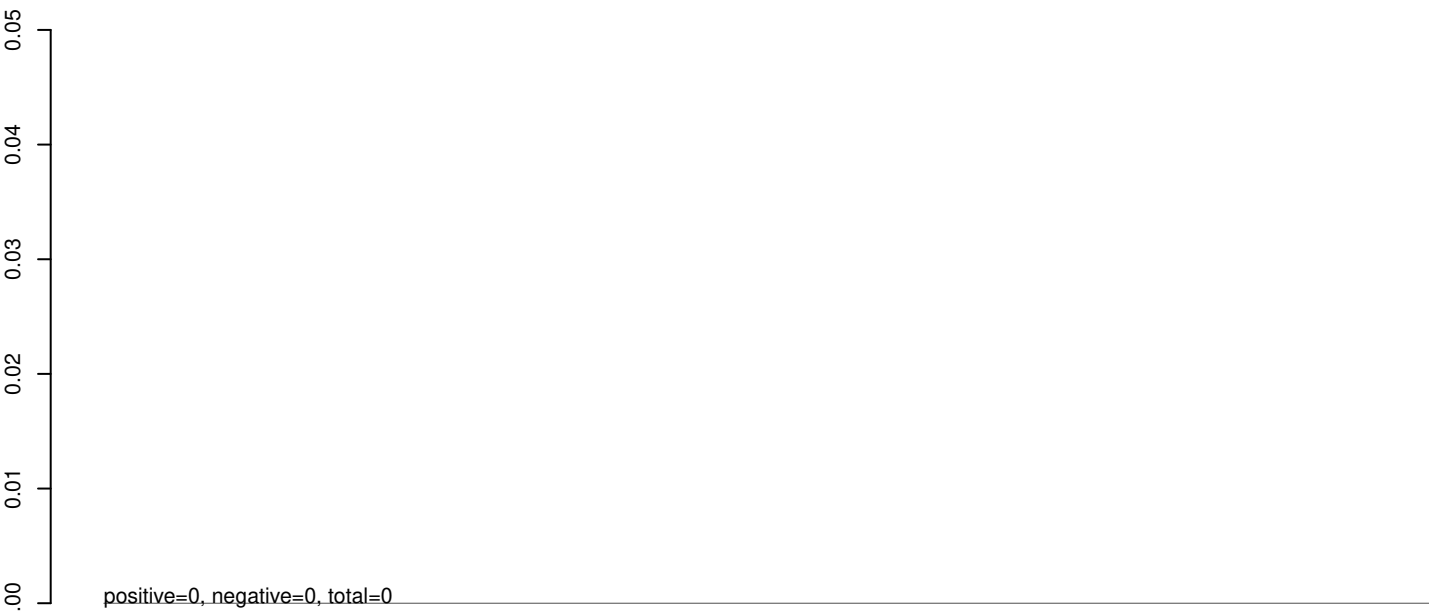
AeAeg_Whole_ZIKVdr_In2_GP.rep



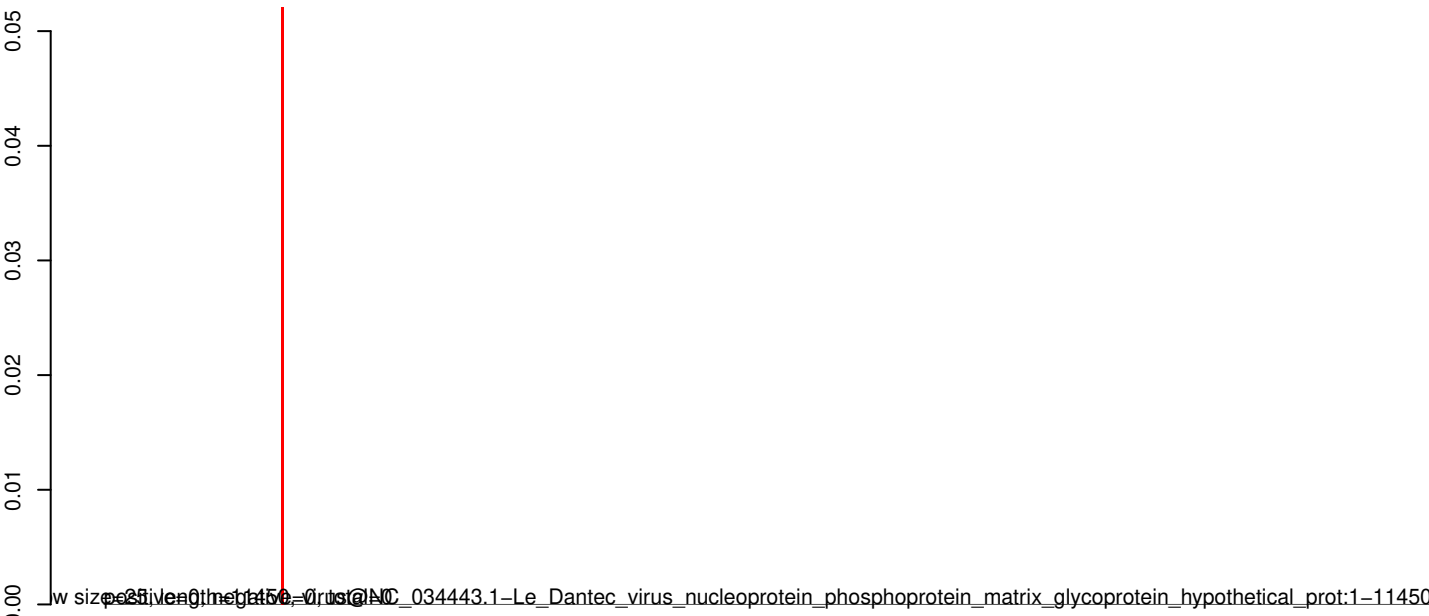
AeAeg_Whole_ZIKVdr_In2_GP.18_23.rep



AeAeg_Whole_ZIKVdr_In2_GP.24_35.rep

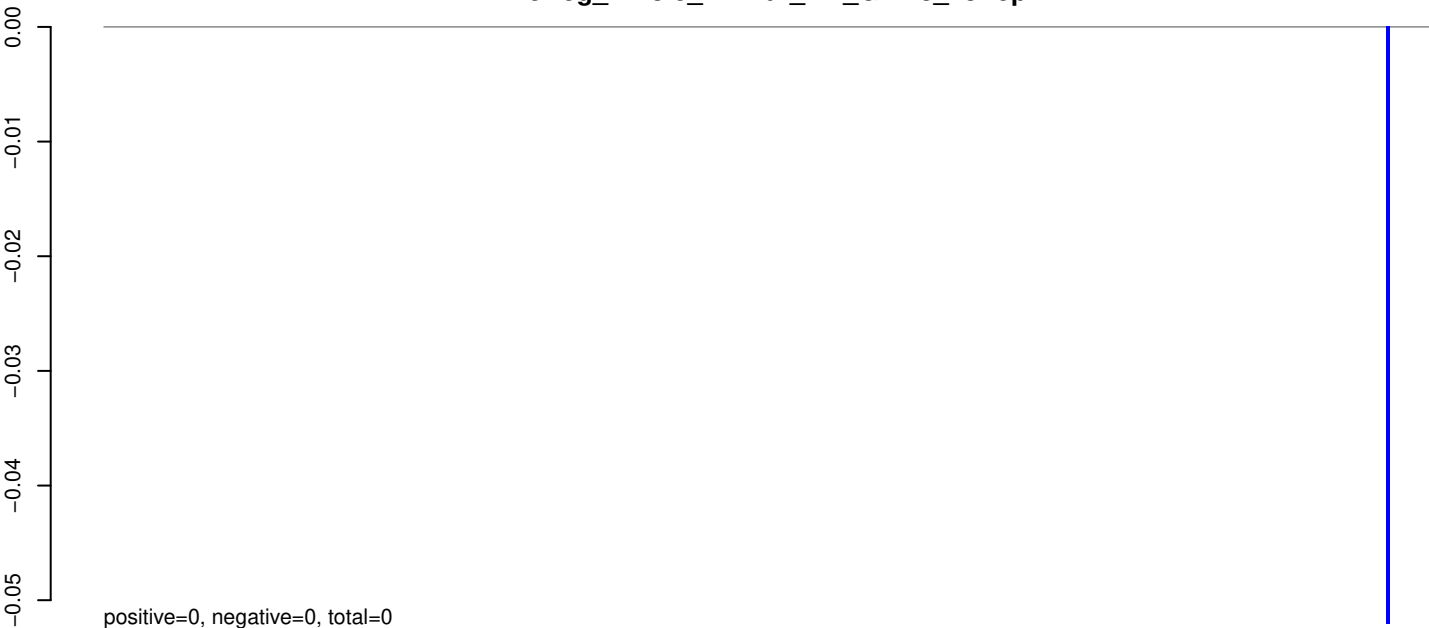


AeAeg_Whole_ZIKVdr_In2_GP.rep



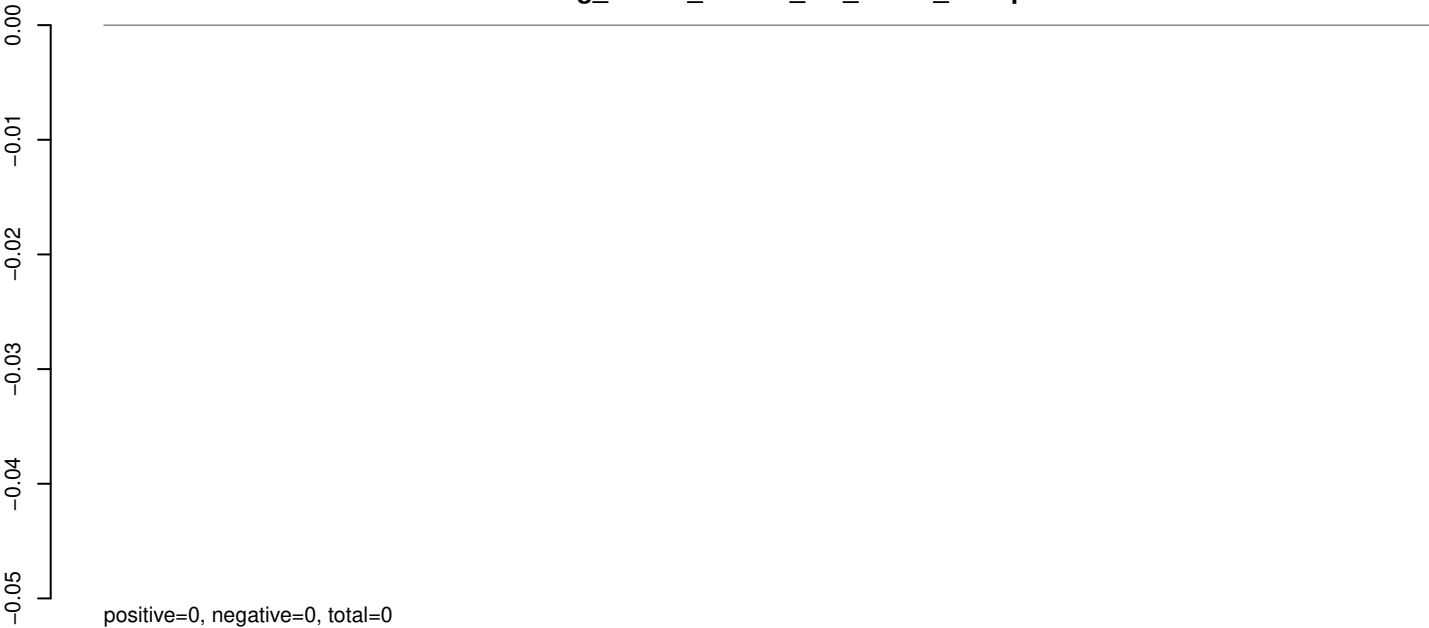
ncbi:11450|Le_Dantec_virus_nucleoprotein_phosphoprotein_matrix_glycoprotein_hypothetical_prot:1-11450

AeAeg_Whole_ZIKVdr_In2_GP.18_23.rep



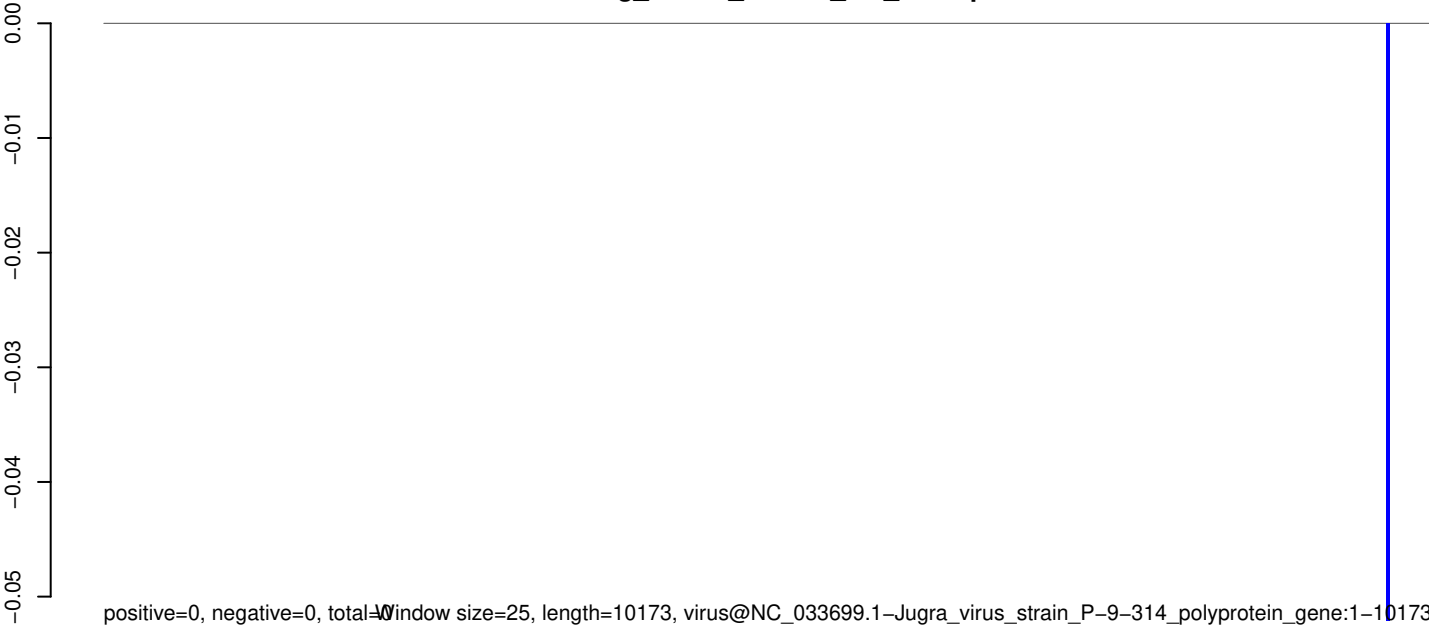
positive=0, negative=0, total=0

AeAeg_Whole_ZIKVdr_In2_GP.24_35.rep



positive=0, negative=0, total=0

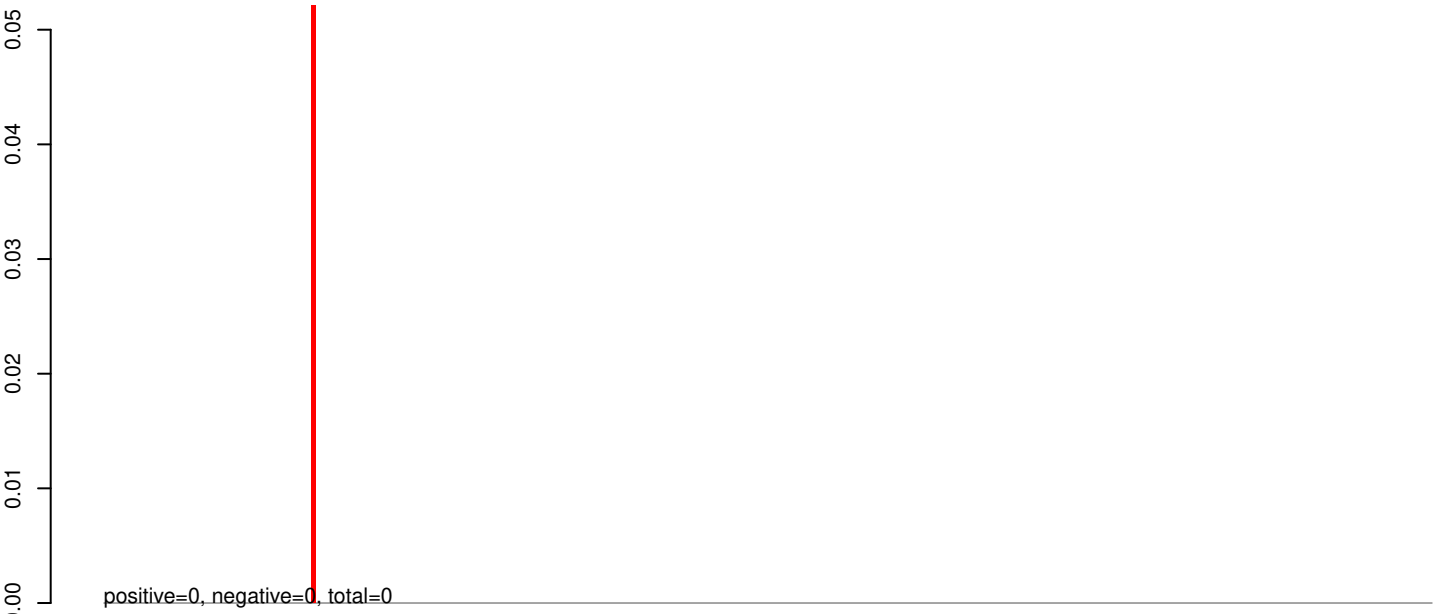
AeAeg_Whole_ZIKVdr_In2_GP.rep



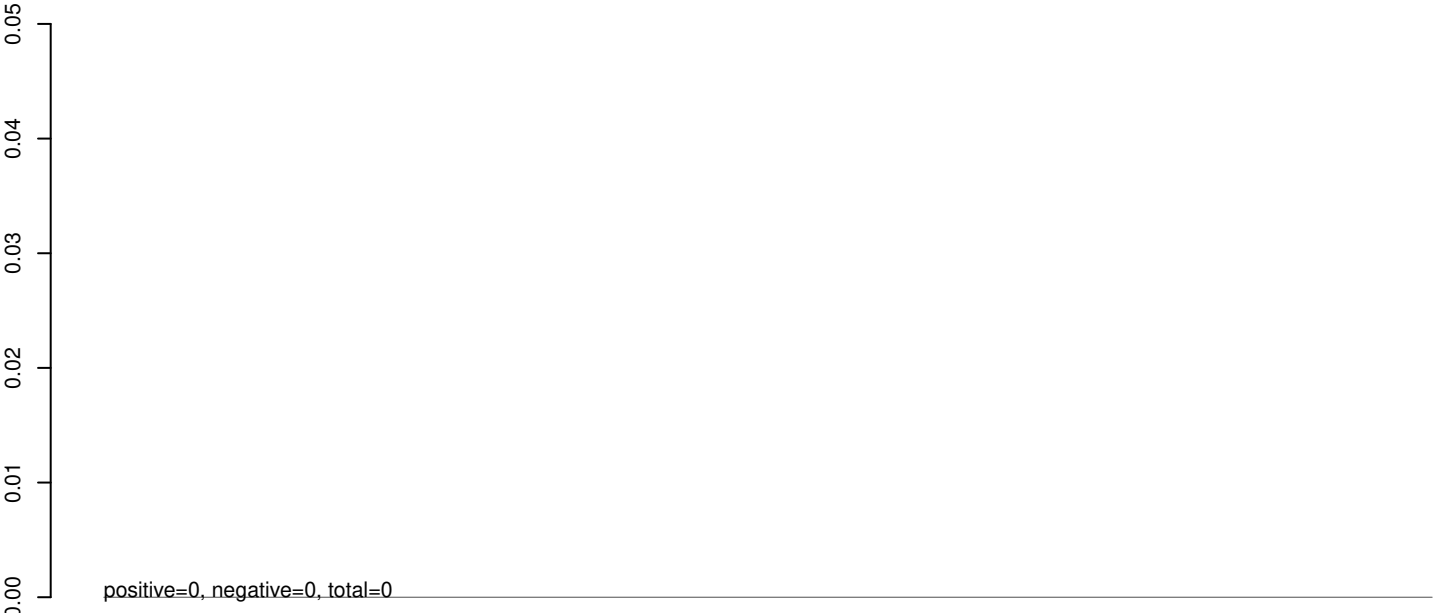
positive=0, negative=0, total=0 window size=25, length=10173, virus@NC_033699.1-Jugra_virus_strain_P-9-314_polyprotein_gene:1-10173

0 2000 4000 6000 8000 10000

AeAeg_Whole_ZIKVdr_In2_GP.18_23.rep



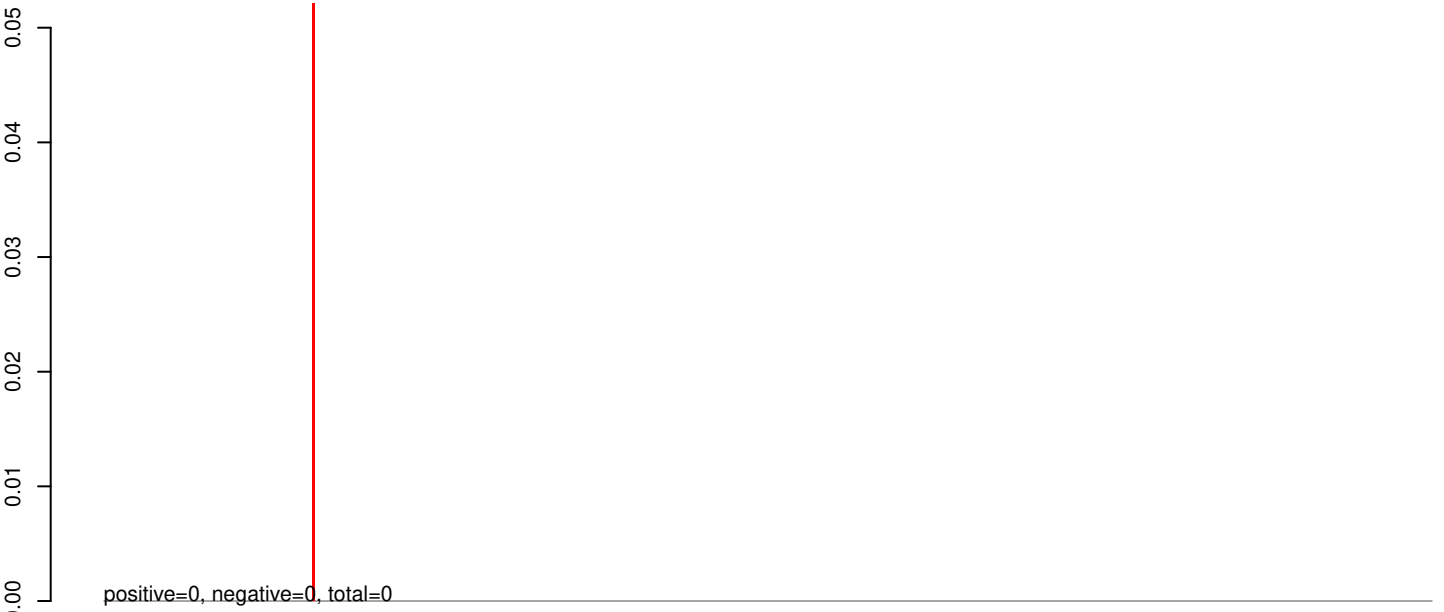
AeAeg_Whole_ZIKVdr_In2_GP.24_35.rep



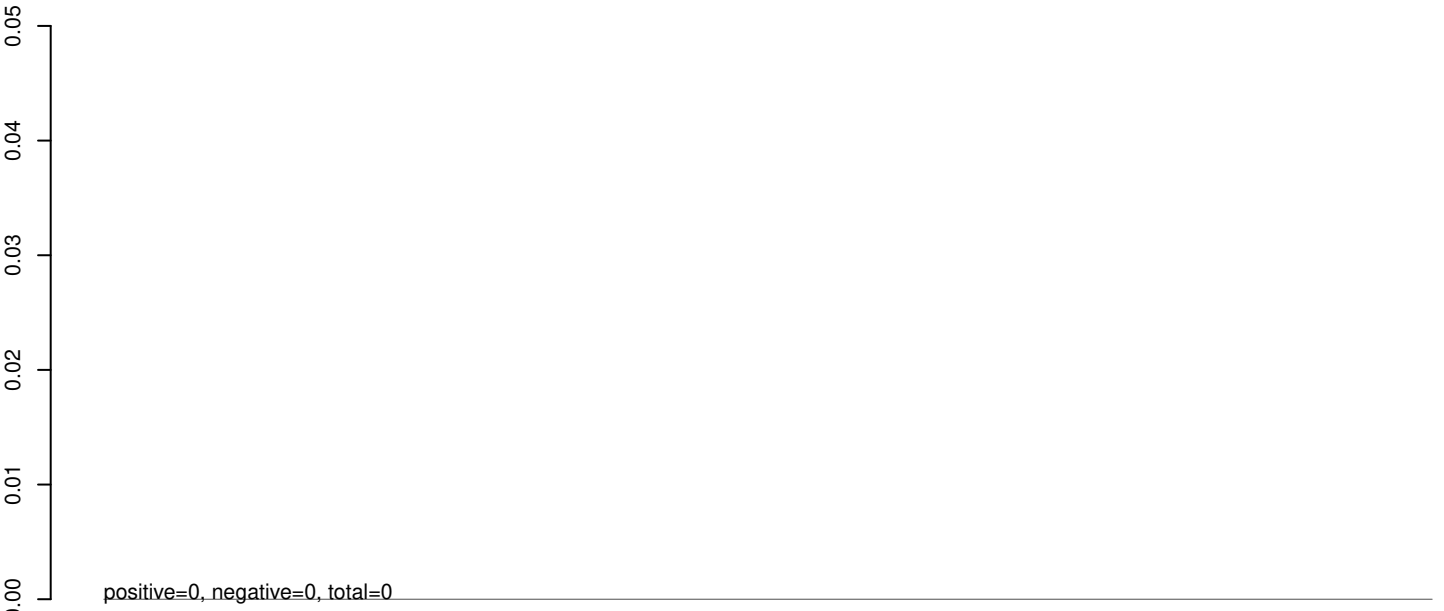
AeAeg_Whole_ZIKVdr_In2_GP.rep



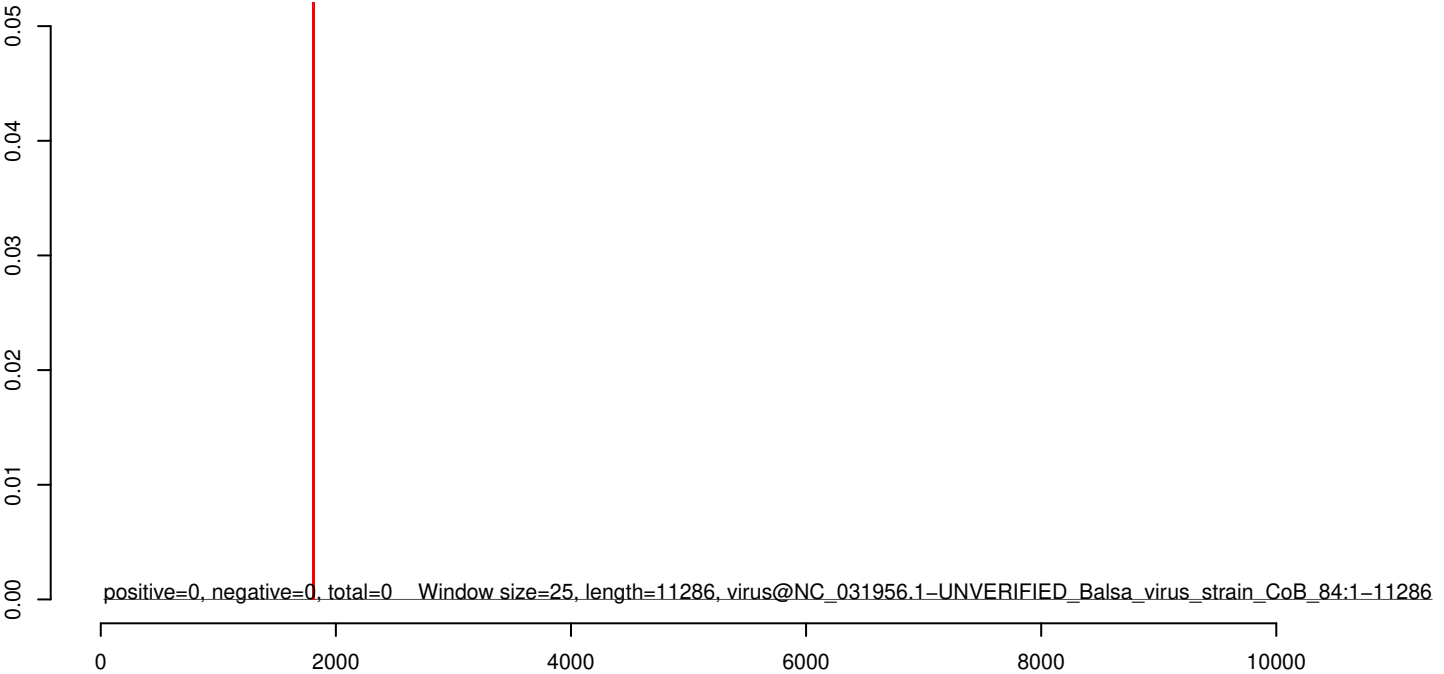
AeAeg_Whole_ZIKVdr_In2_GP.18_23.rep



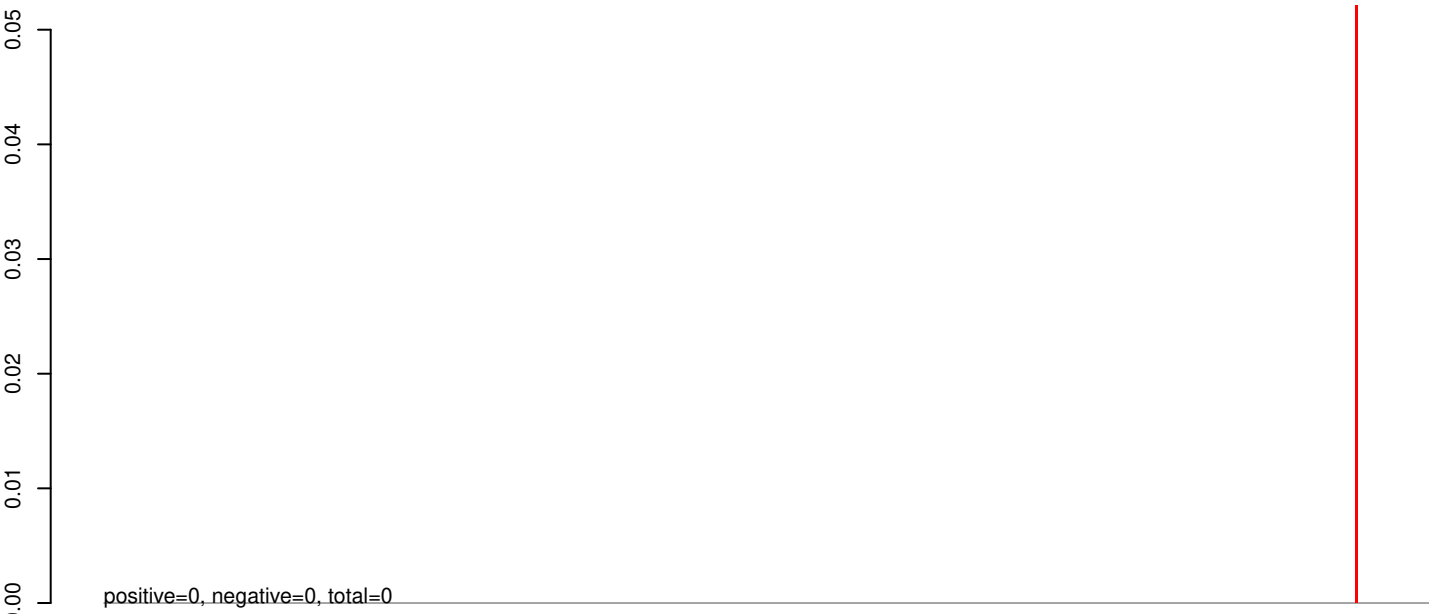
AeAeg_Whole_ZIKVdr_In2_GP.24_35.rep



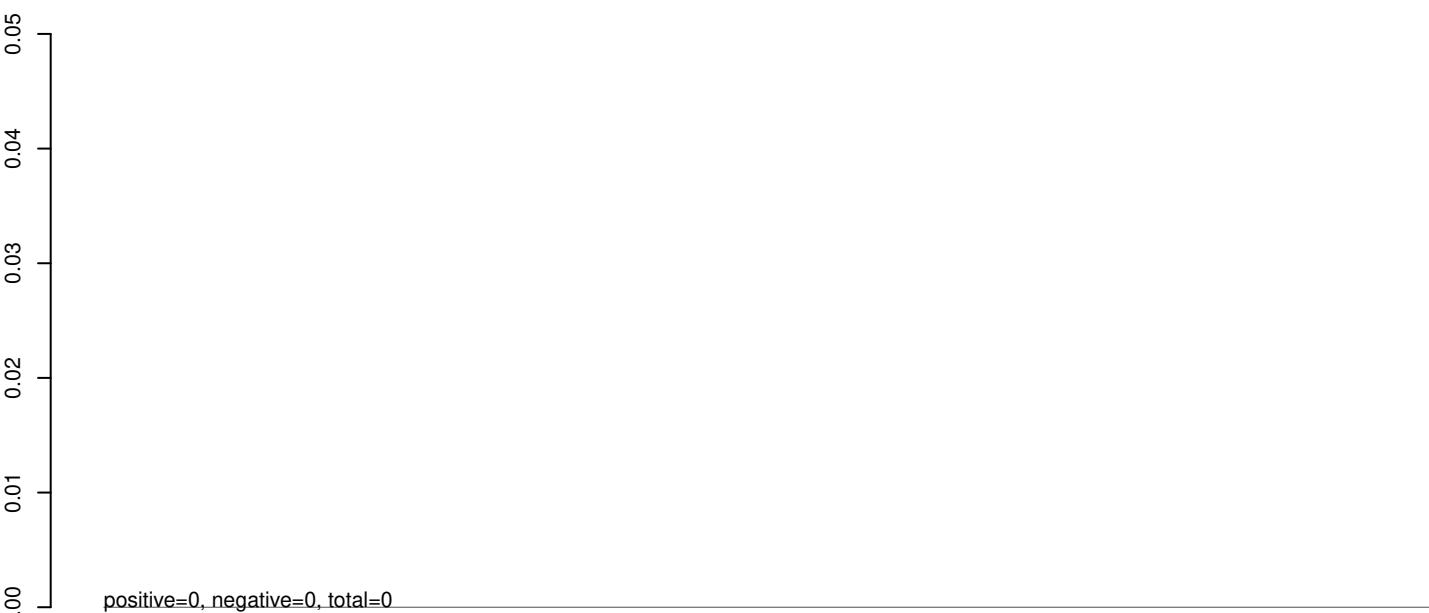
AeAeg_Whole_ZIKVdr_In2_GP.rep



AeAeg_Whole_ZIKVdr_In2_GP.18_23.rep



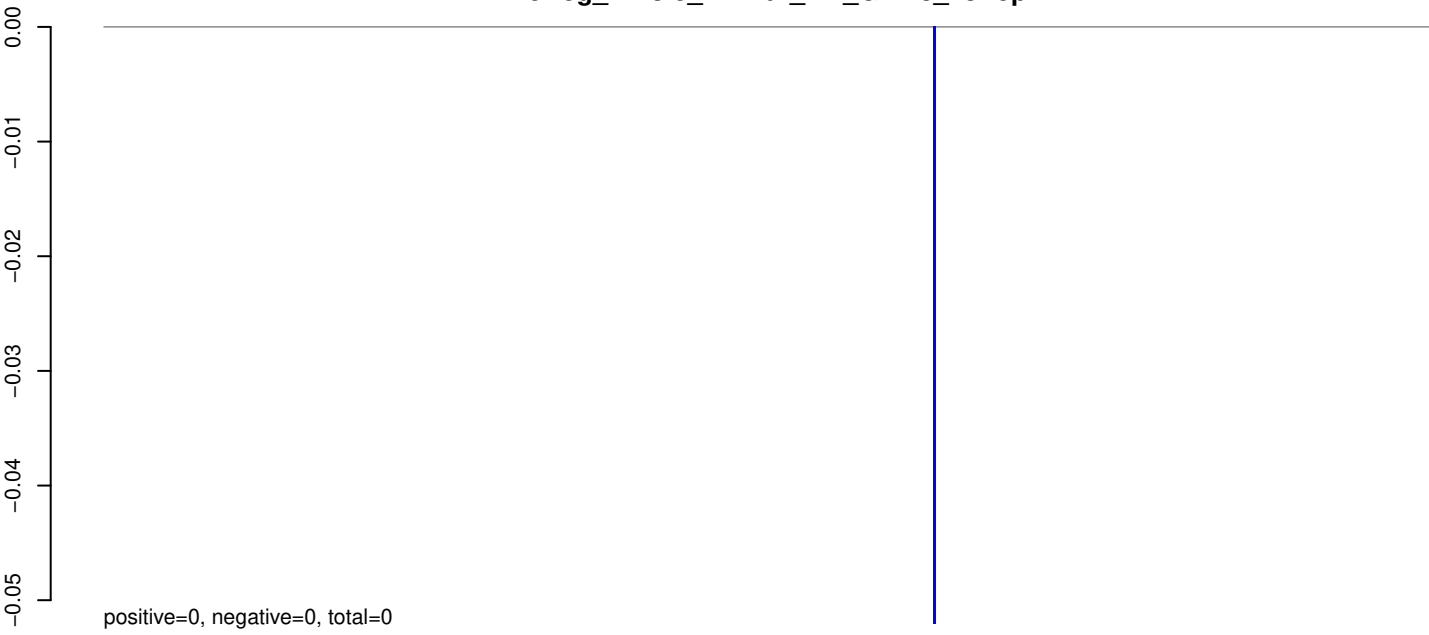
AeAeg_Whole_ZIKVdr_In2_GP.24_35.rep



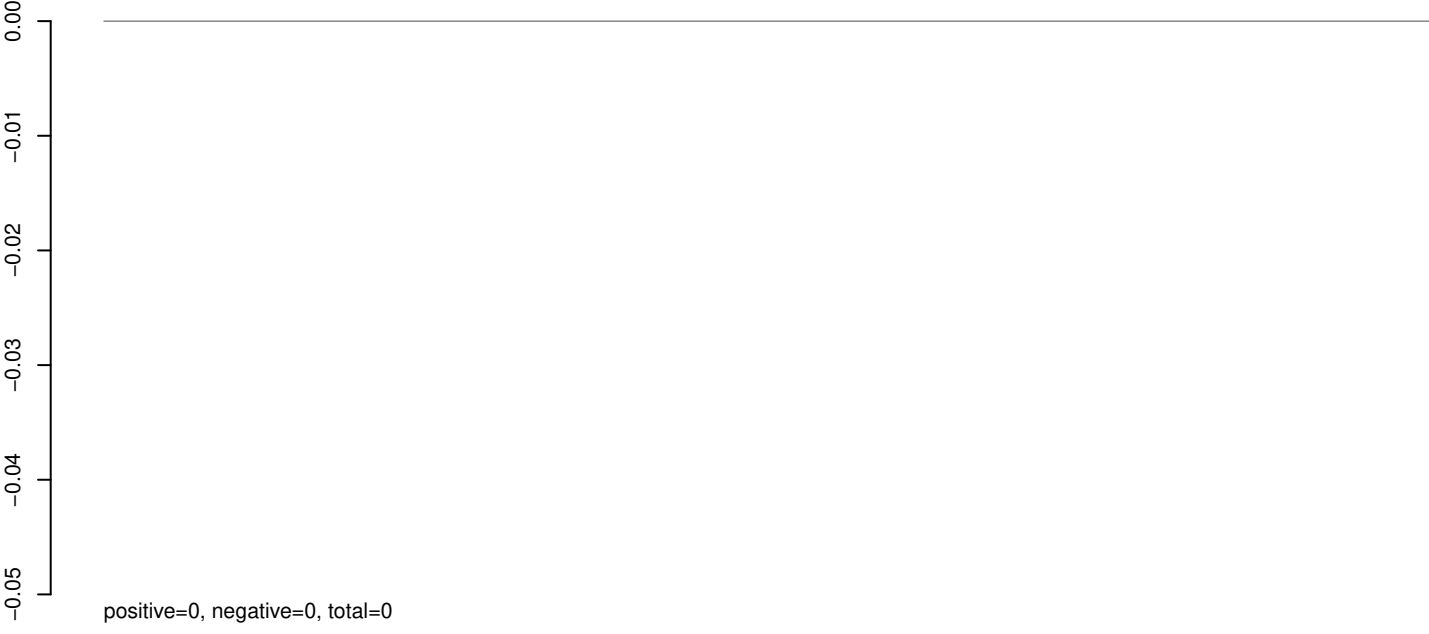
AeAeg_Whole_ZIKVdr_In2_GP.rep



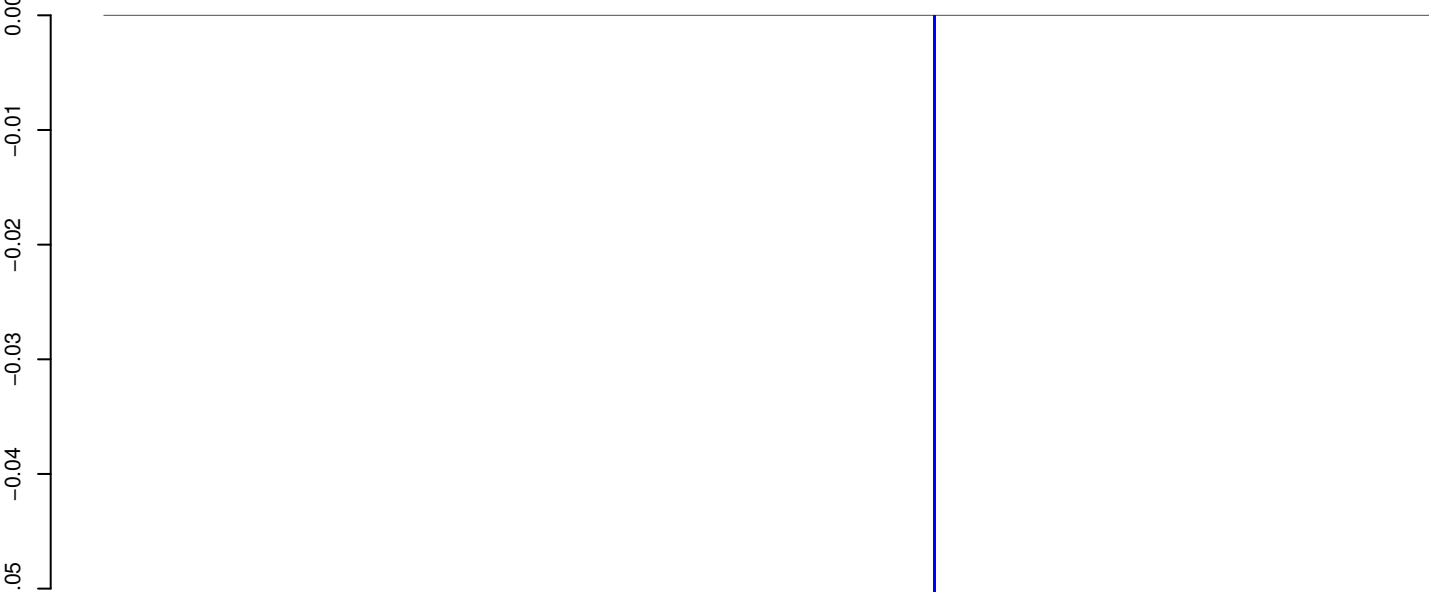
AeAeg_Whole_ZIKVdr_In2_GP.18_23.rep



AeAeg_Whole_ZIKVdr_In2_GP.24_35.rep



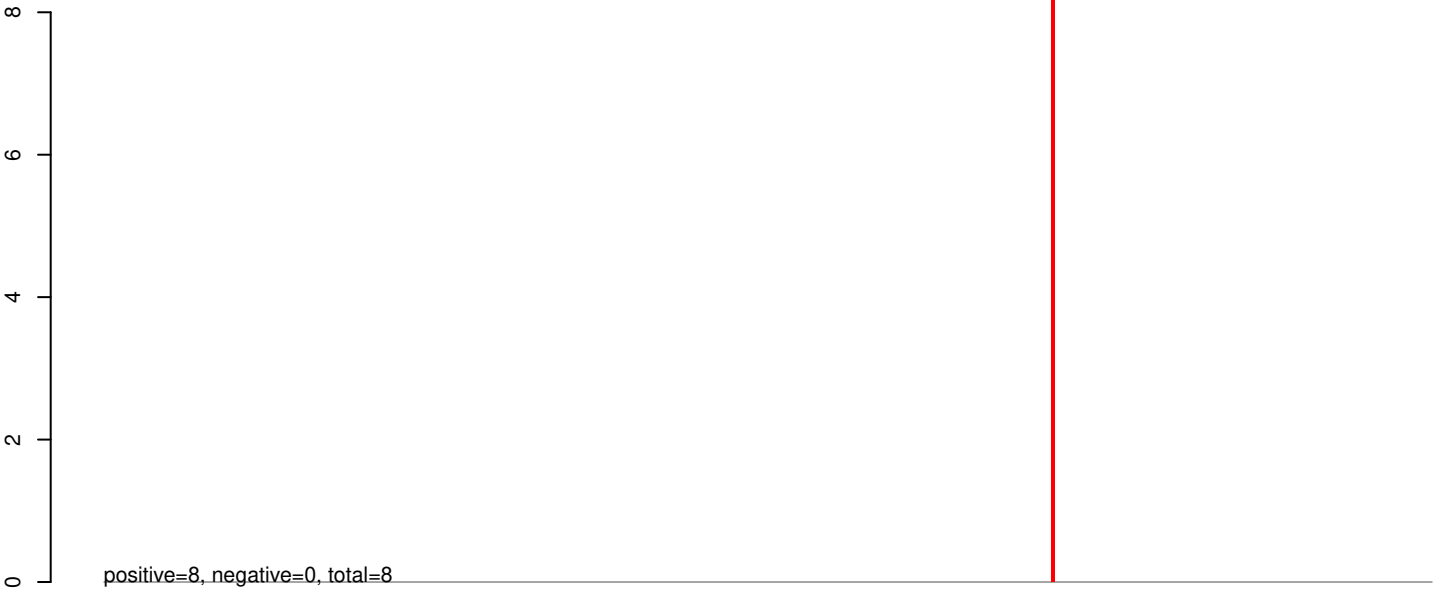
AeAeg_Whole_ZIKVdr_In2_GP.rep



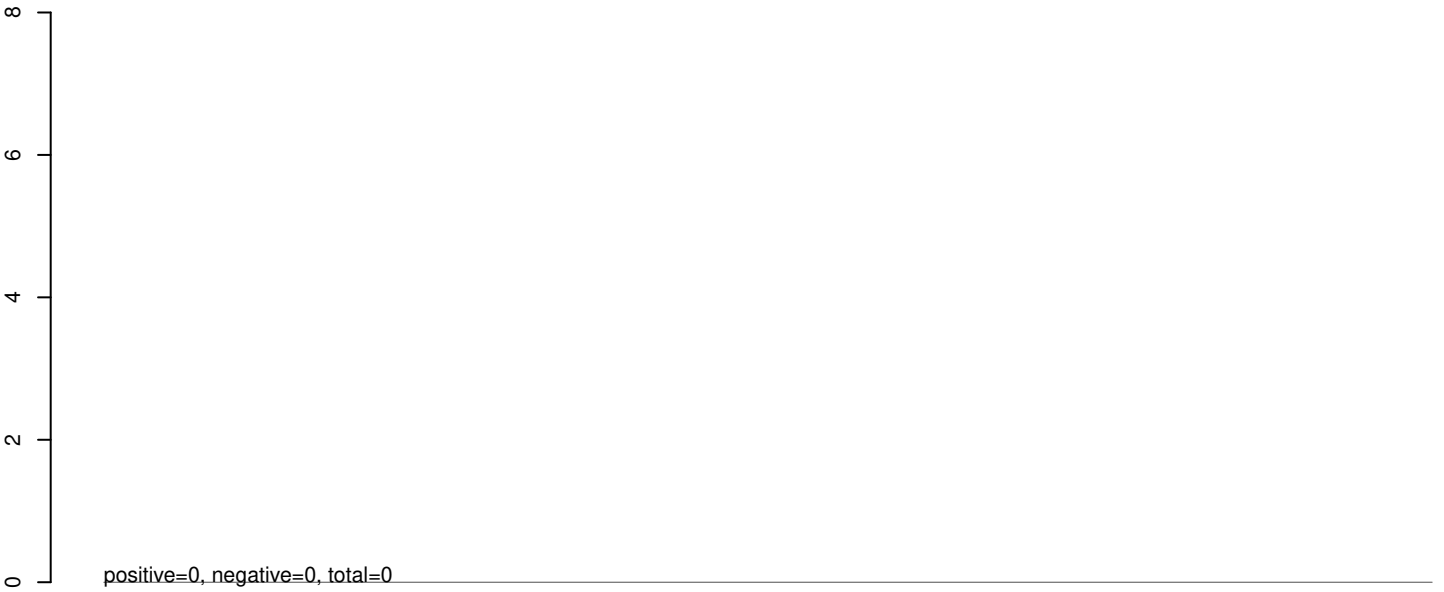
Xincheng_Mosquito_Virus_strain_XC1-6_ORF1_ORF1_ORF2_ORF2_glycoprotein_G_and_RNA-de:1-12774

0 2000 4000 6000 8000 10000 12000

AeAeg_Whole_ZIKVdr_In2_GP.18_23.rep



AeAeg_Whole_ZIKVdr_In2_GP.24_35.rep

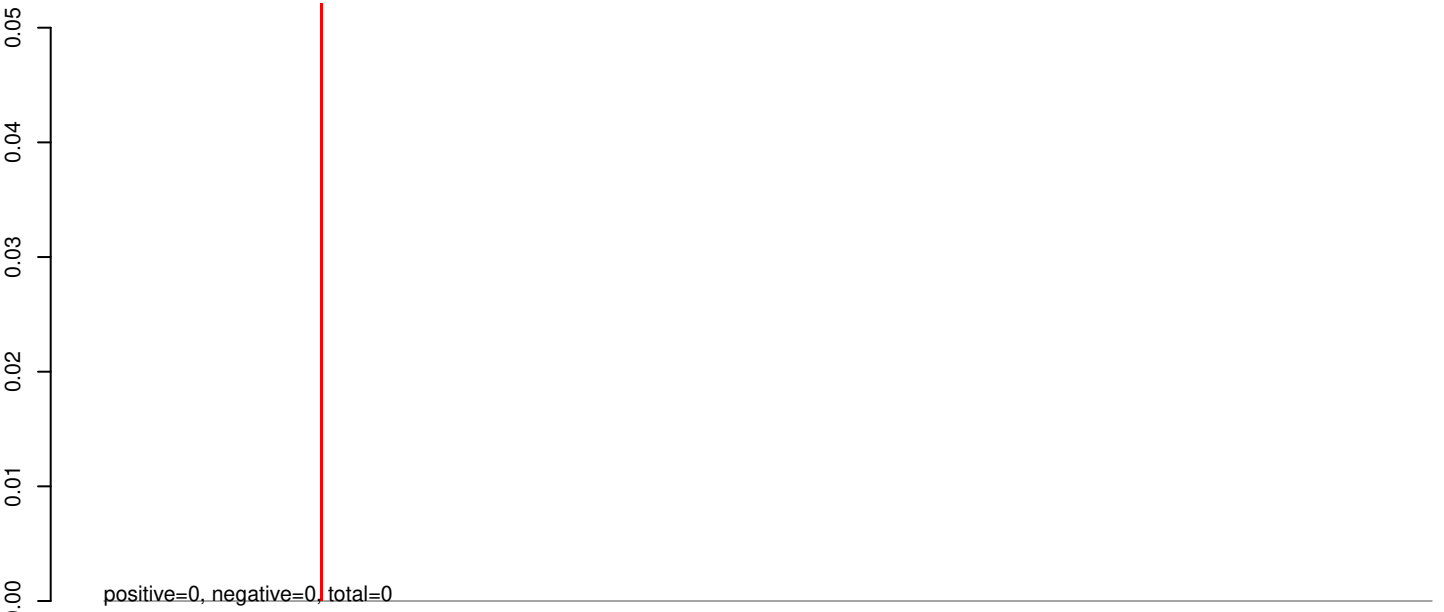


AeAeg_Whole_ZIKVdr_In2_GP.rep

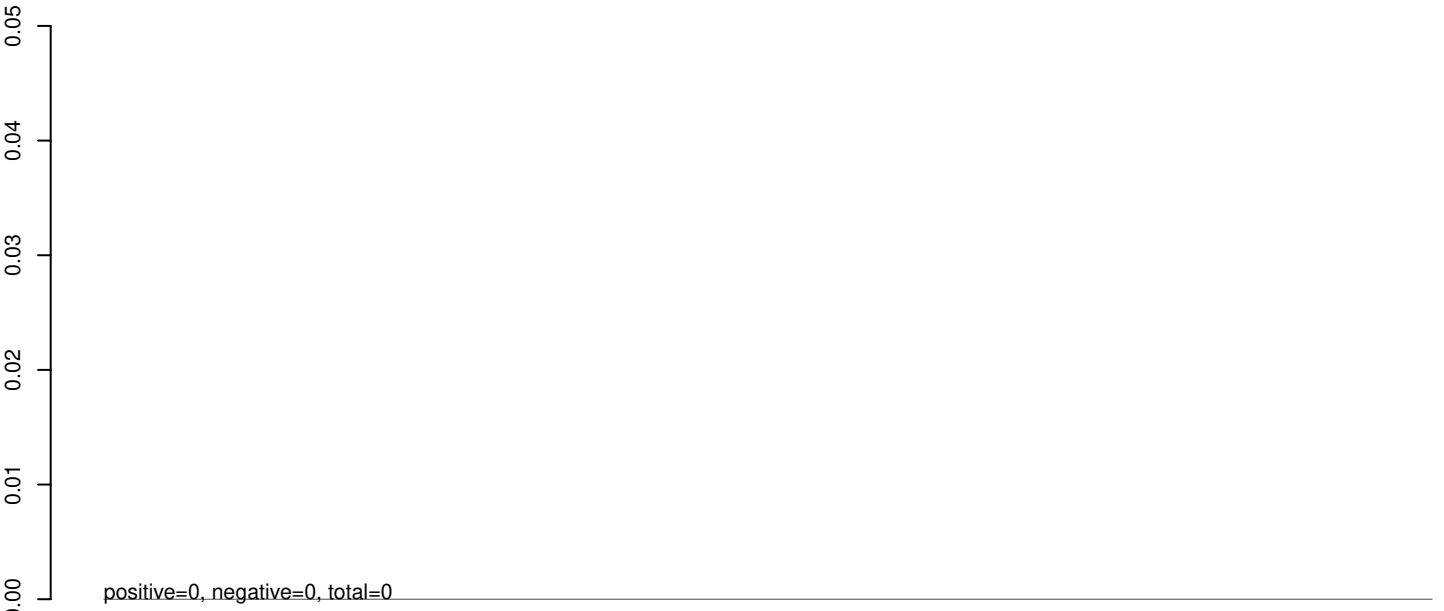


Window size=25, length=10893, virus@NC_027817.1-Parramatta_River_virus_isolate_92-B115745:1-10893

AeAeg_Whole_ZIKVdr_In2_GP.18_23.rep



AeAeg_Whole_ZIKVdr_In2_GP.24_35.rep

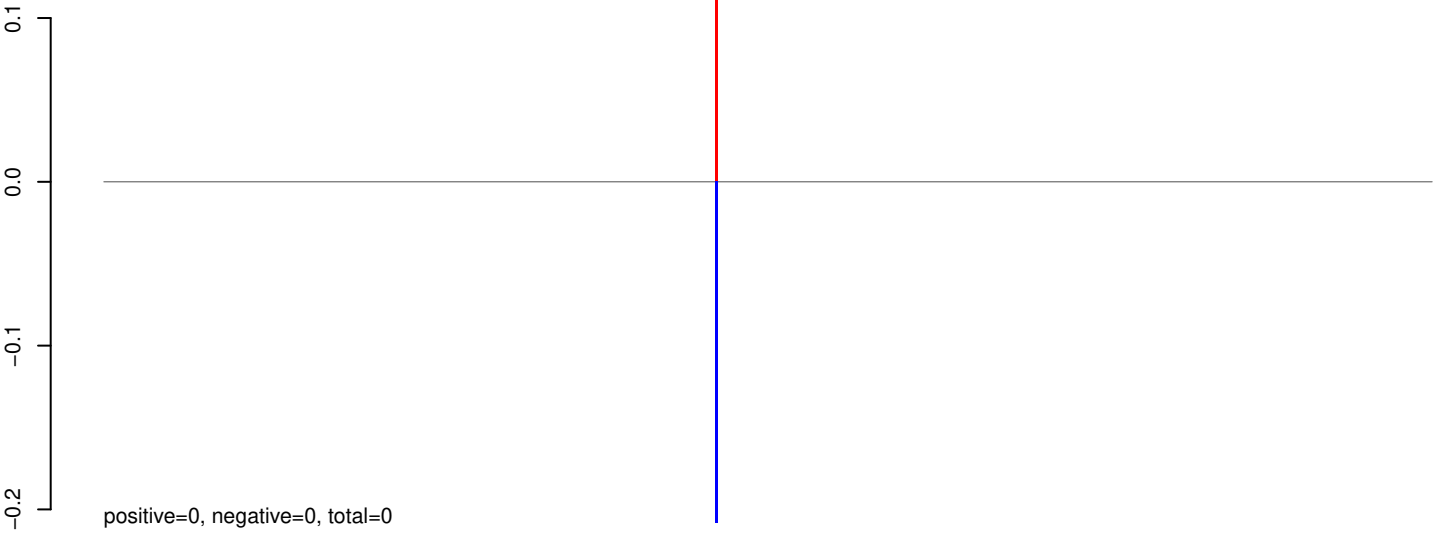


AeAeg_Whole_ZIKVdr_In2_GP.rep

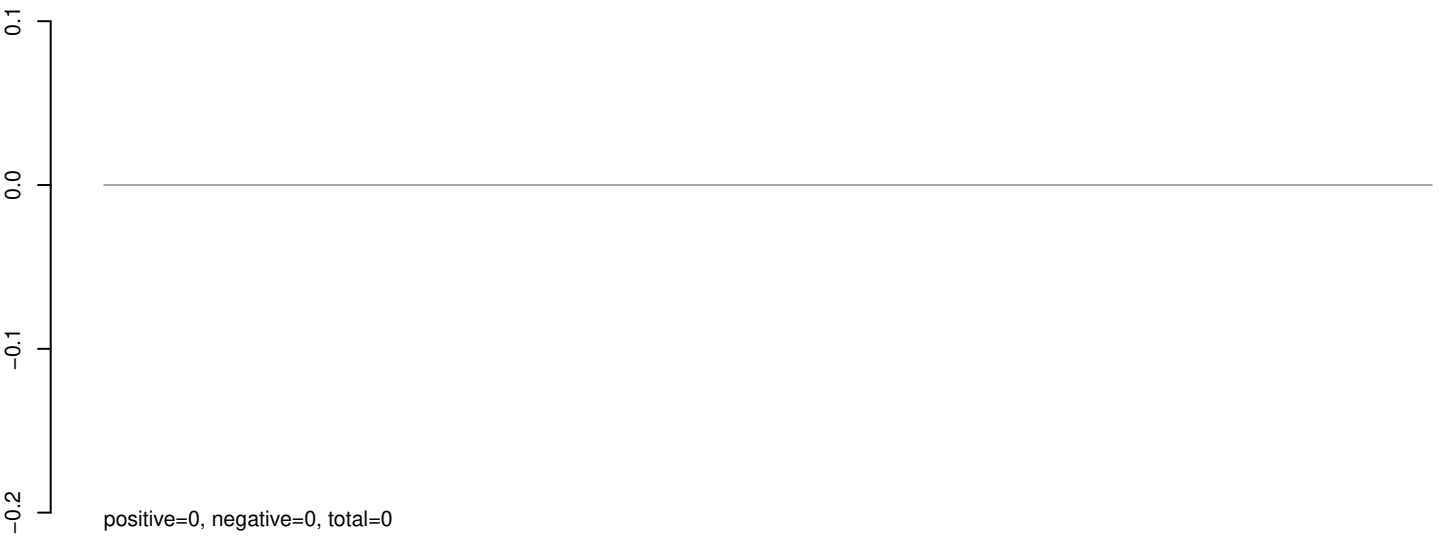


0 5000 10000 15000

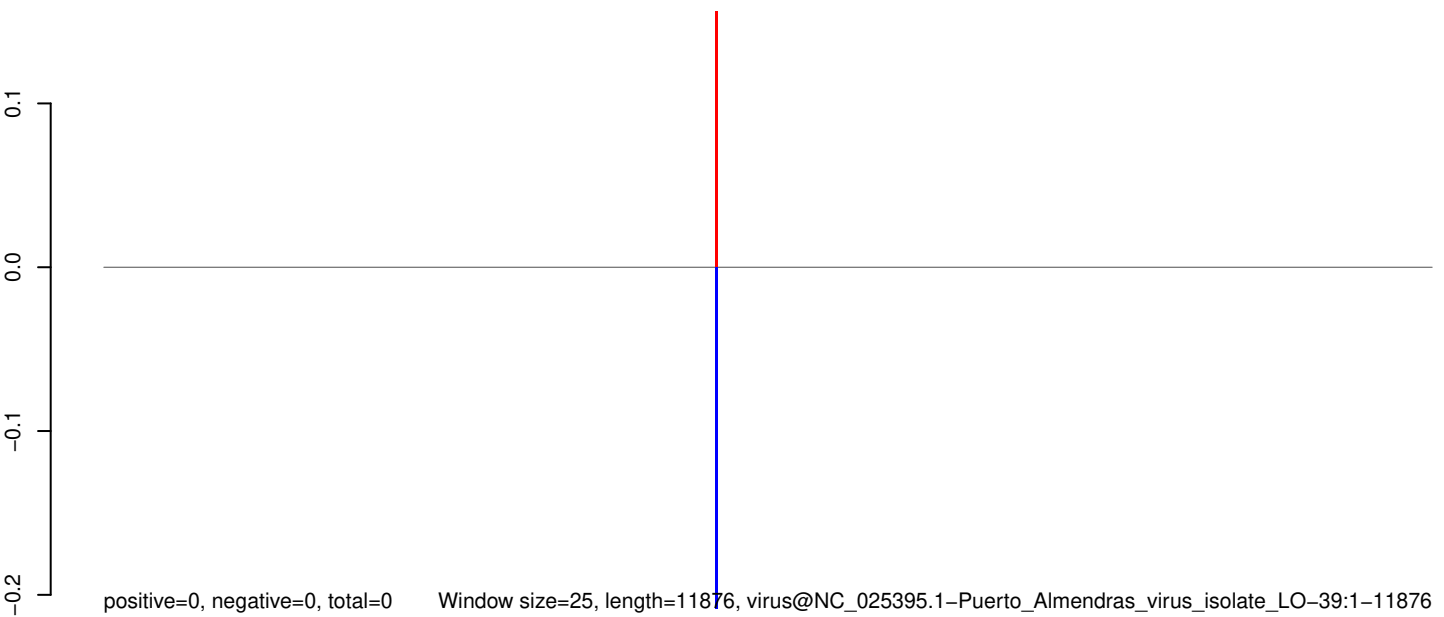
AeAeg_Whole_ZIKVdr_In2_GP.18_23.rep



AeAeg_Whole_ZIKVdr_In2_GP.24_35.rep

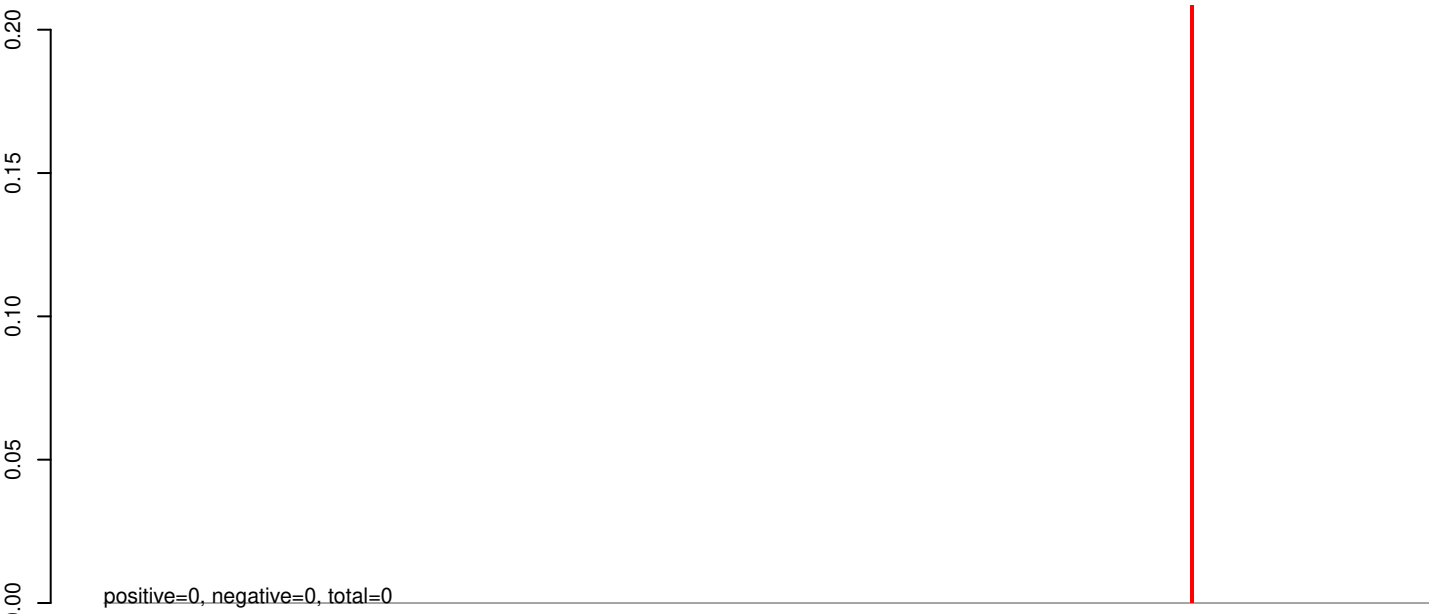


AeAeg_Whole_ZIKVdr_In2_GP.rep

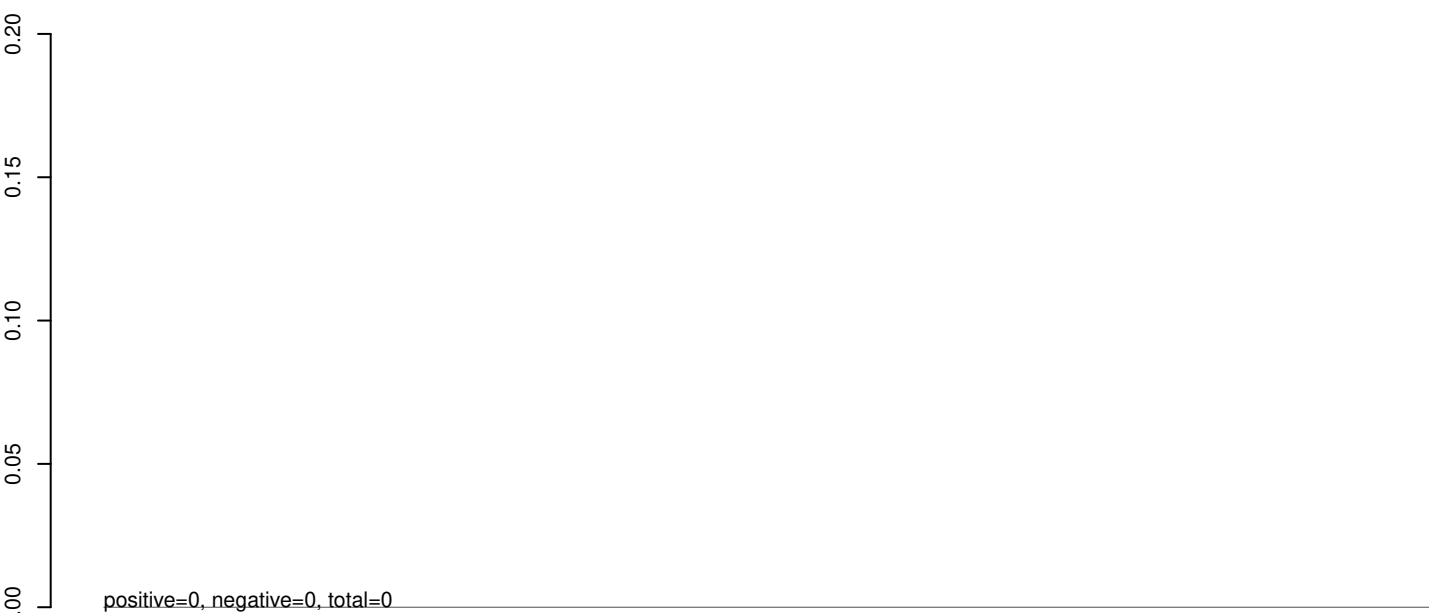


0 2000 4000 6000 8000 10000 12000

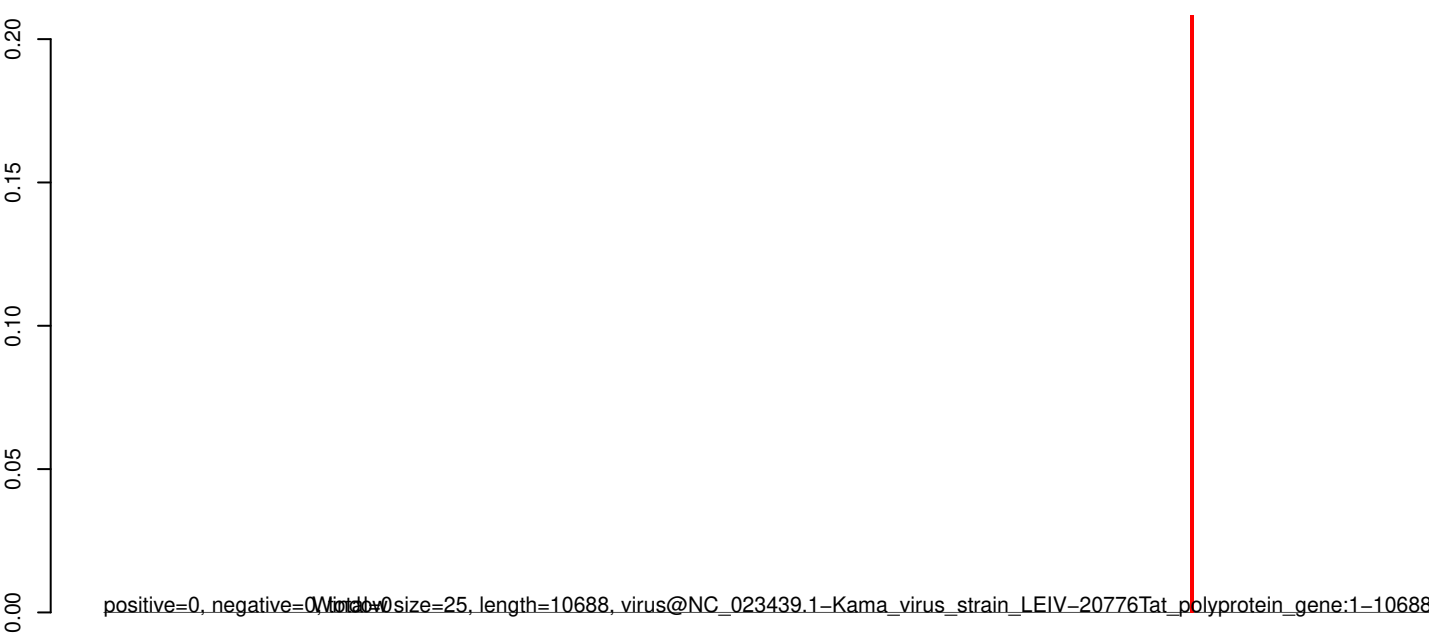
AeAeg_Whole_ZIKVdr_In2_GP.18_23.rep



AeAeg_Whole_ZIKVdr_In2_GP.24_35.rep



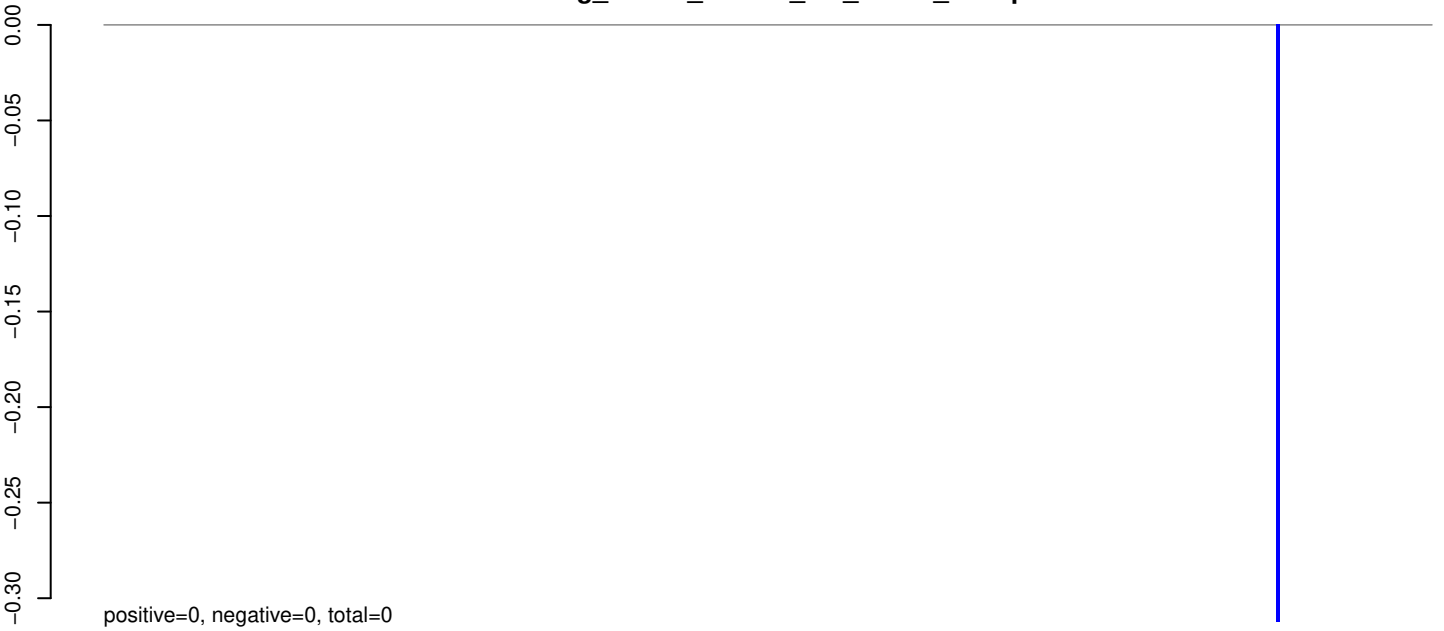
AeAeg_Whole_ZIKVdr_In2_GP.rep



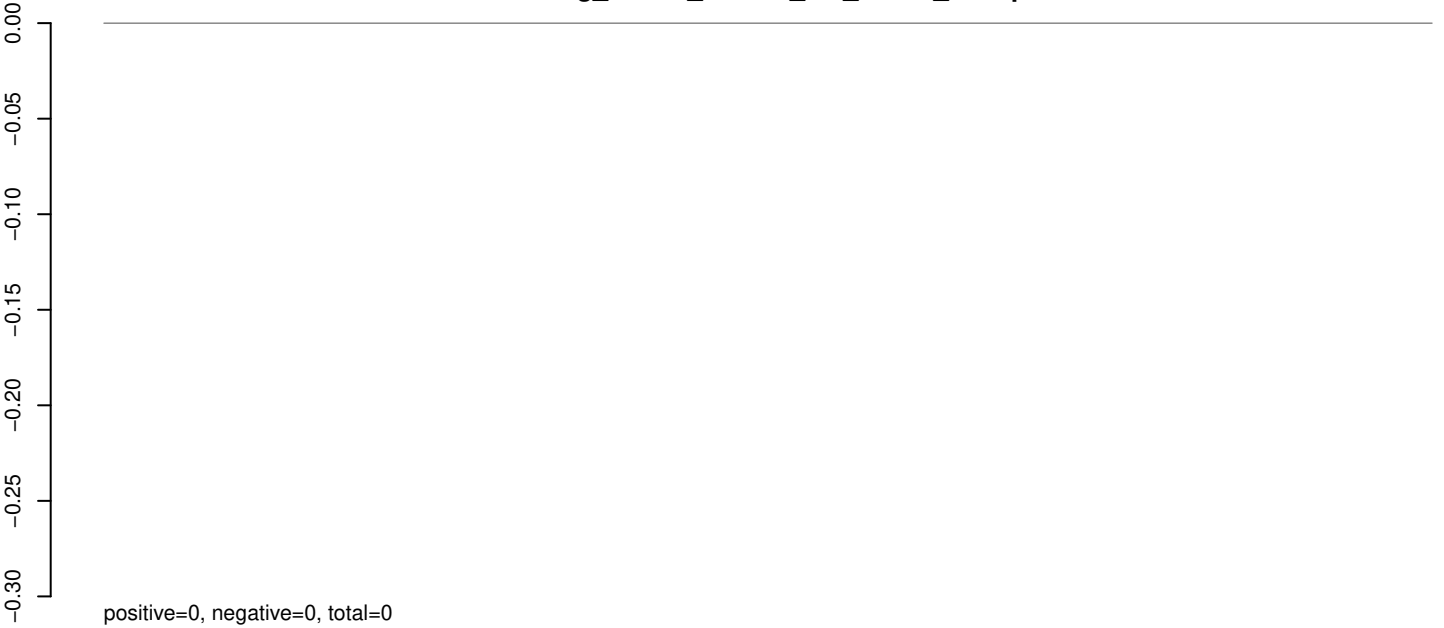
Window size=25, length=10688, virus@NC_023439.1-Kama_virus_strain_LEIV-20776Tat_polyprotein_gene:1-10688

0 2000 4000 6000 8000 10000

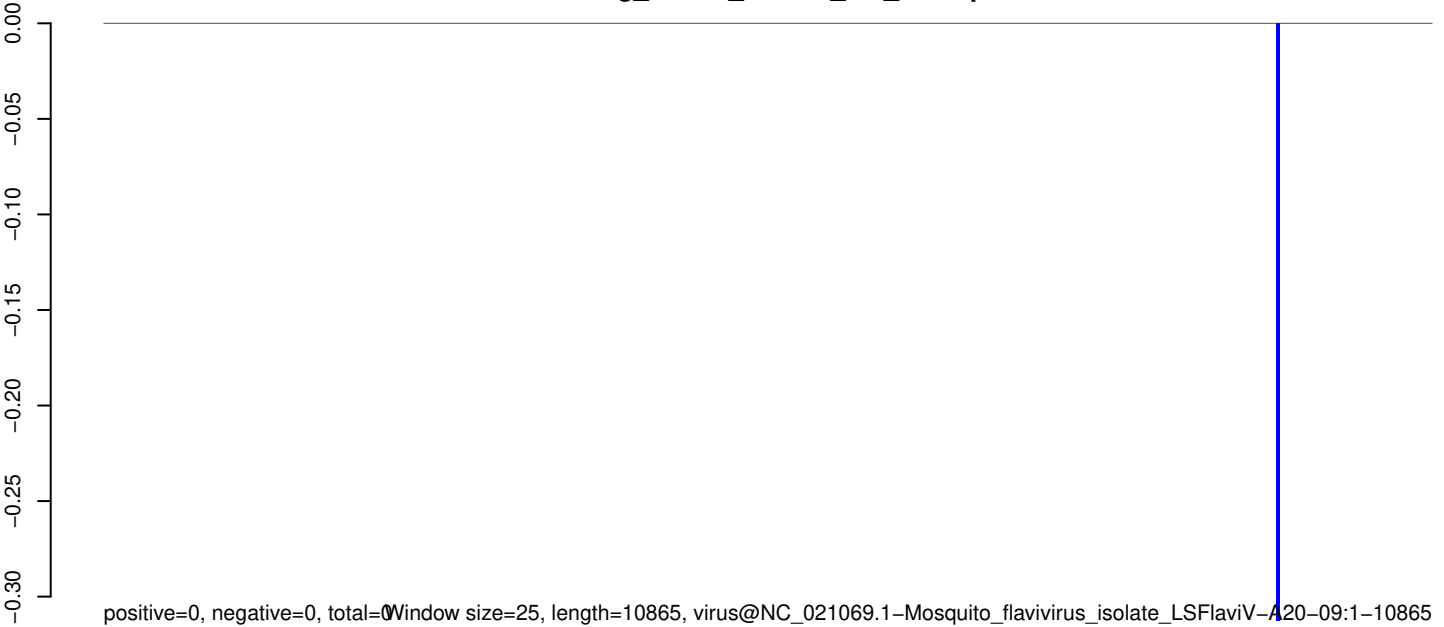
AeAeg_Whole_ZIKVdr_In2_GP.18_23.rep



AeAeg_Whole_ZIKVdr_In2_GP.24_35.rep



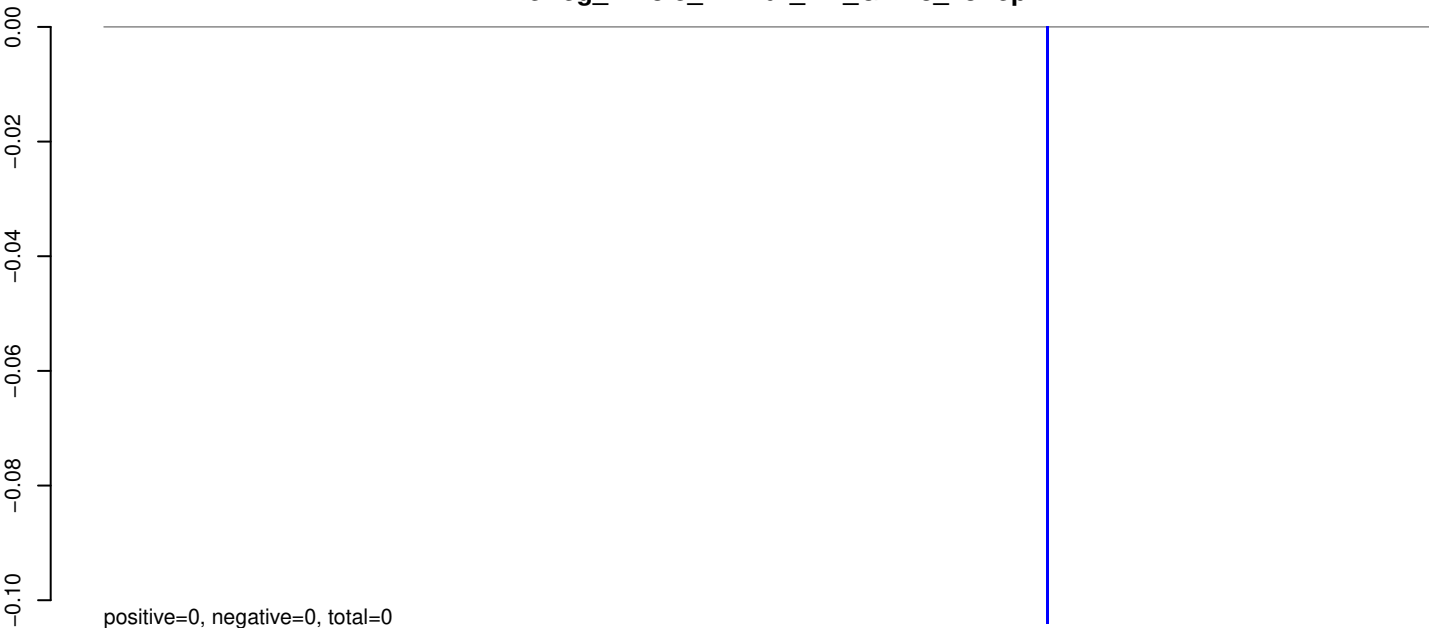
AeAeg_Whole_ZIKVdr_In2_GP.rep



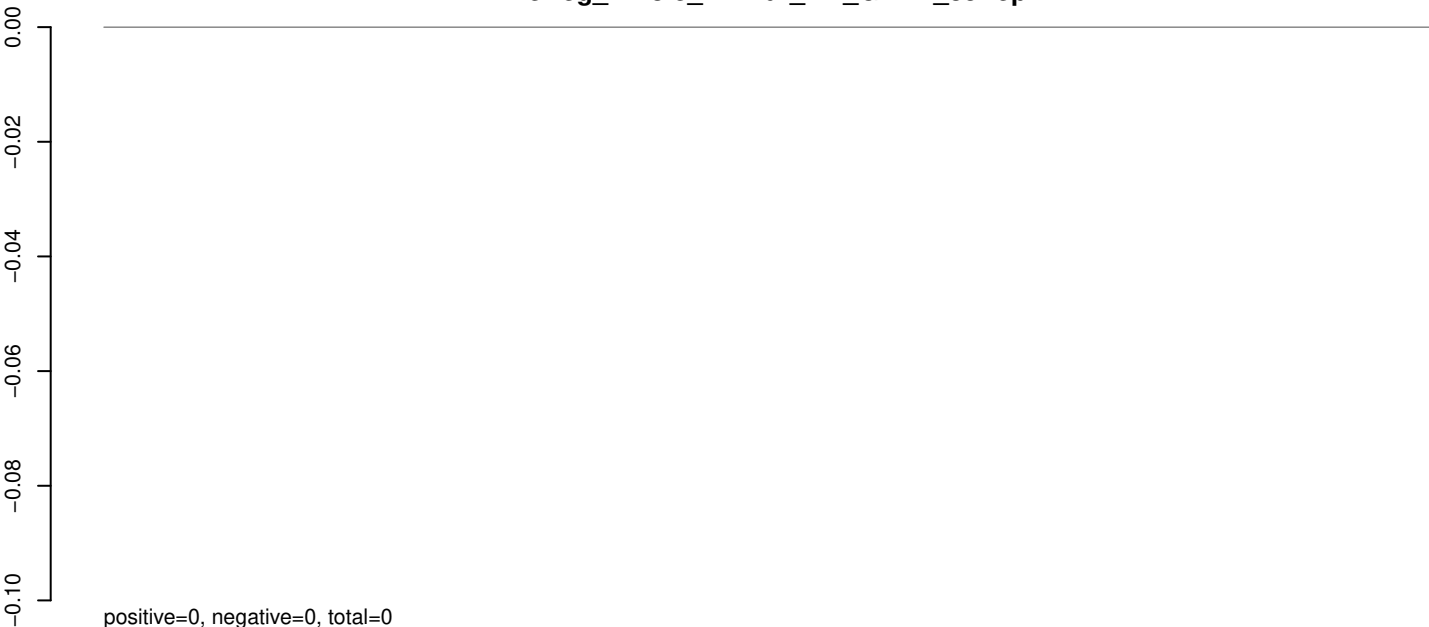
Window size=25, length=10865, virus@NC_021069.1-Mosquito_flavivirus_isolate_LSF1aviV-420-09:1-10865

0 2000 4000 6000 8000 10000

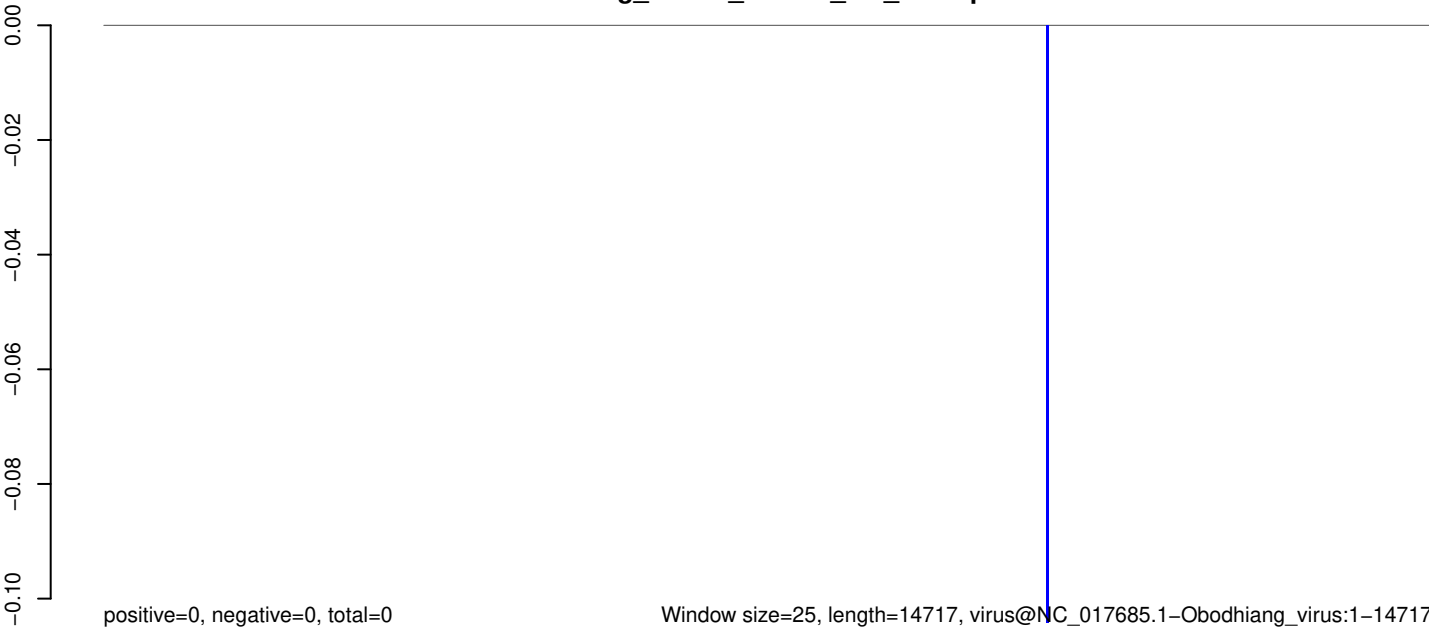
AeAeg_Whole_ZIKVdr_In2_GP.18_23.rep



AeAeg_Whole_ZIKVdr_In2_GP.24_35.rep

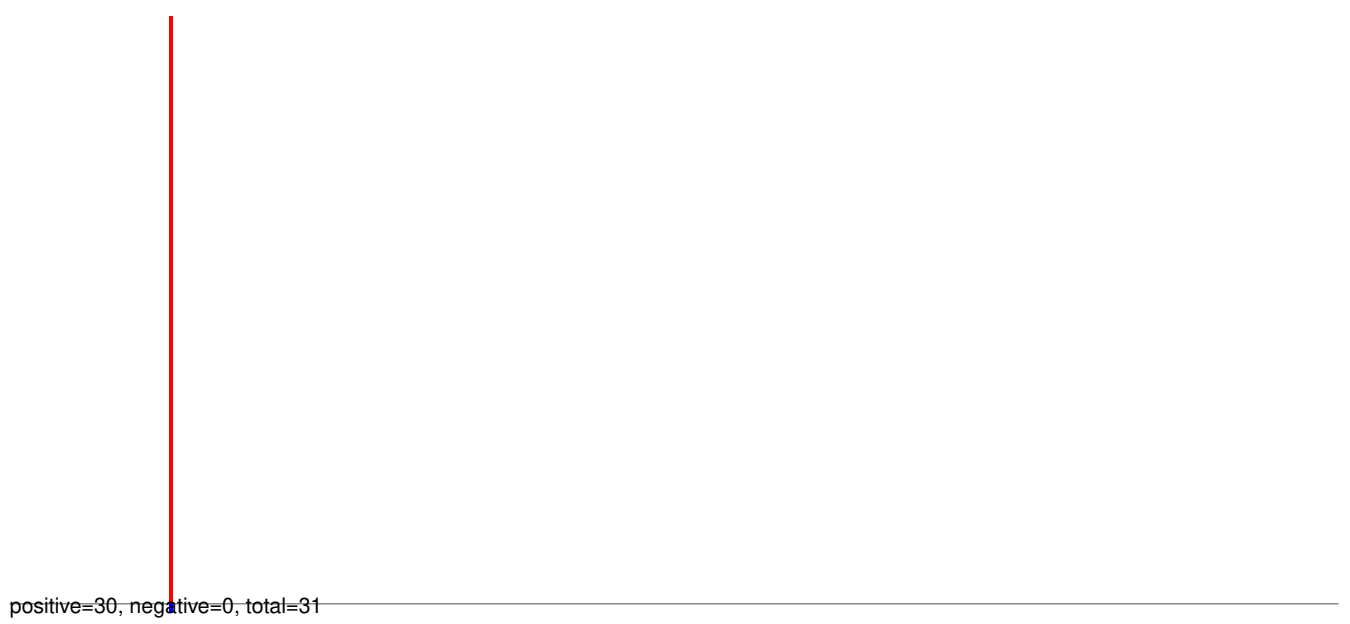


AeAeg_Whole_ZIKVdr_In2_GP.rep

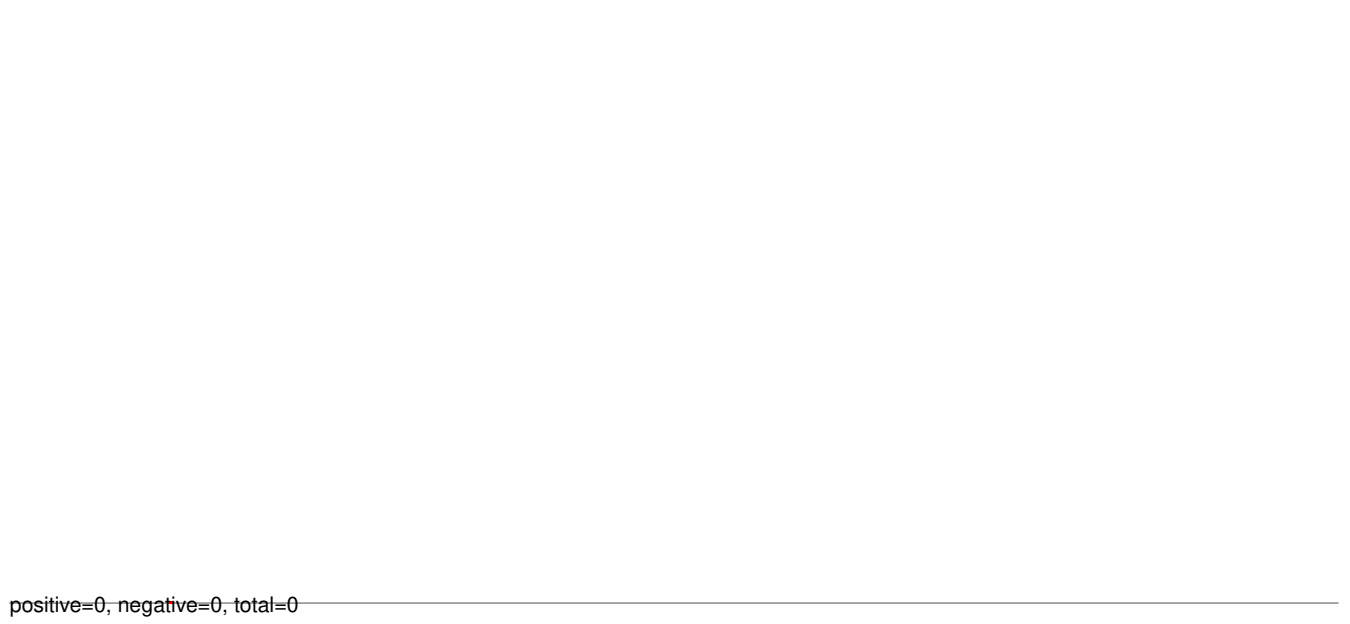


0 5000 10000 15000

AeAeg_Whole_ZIKVdr_In2_GP.18_23.rep



AeAeg_Whole_ZIKVdr_In2_GP.24_35.rep

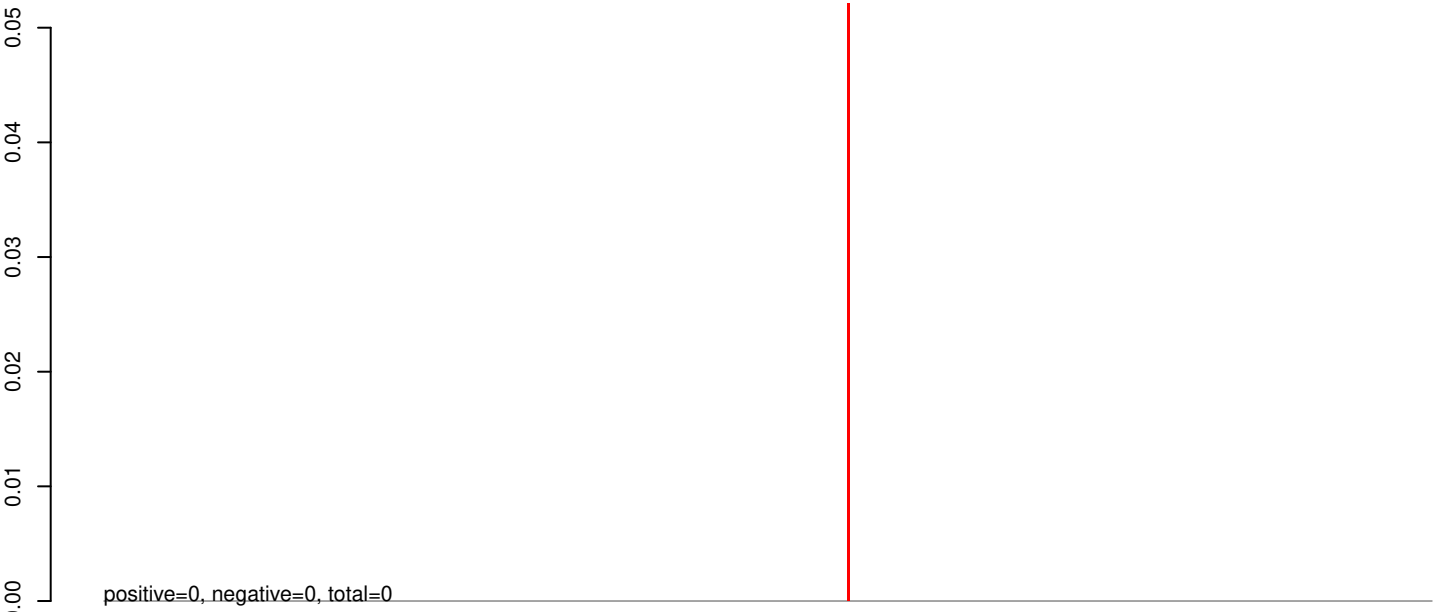


AeAeg_Whole_ZIKVdr_In2_GP.rep

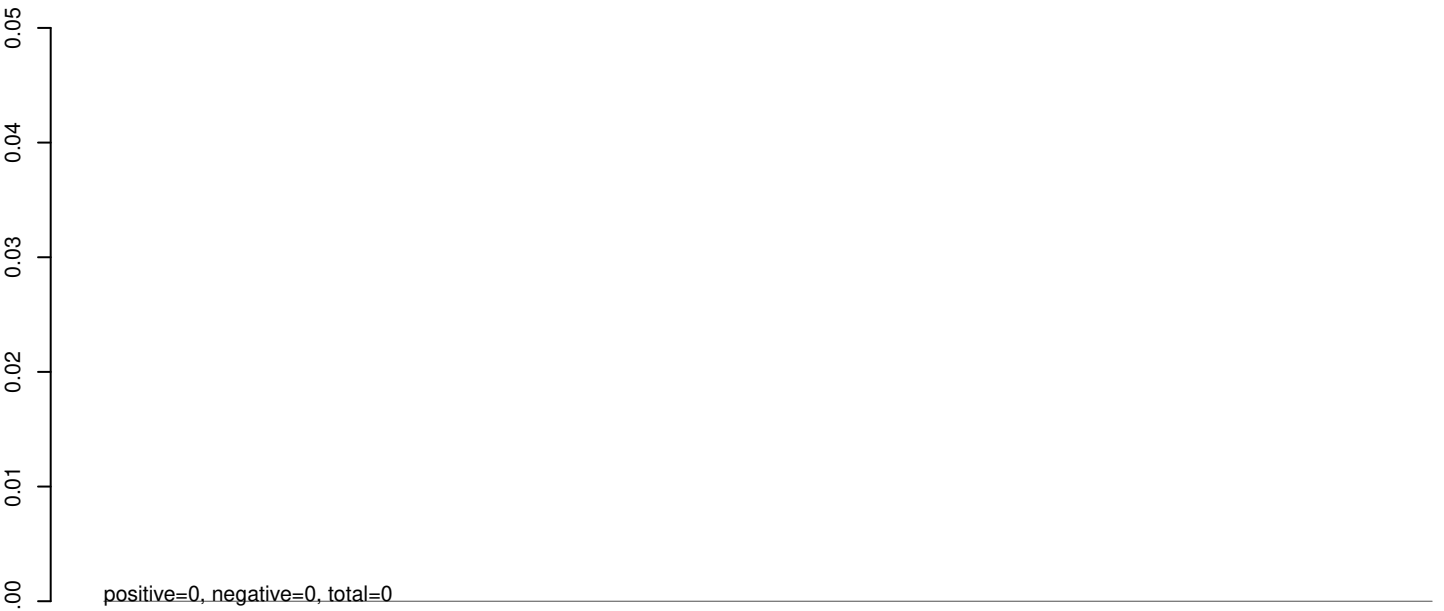


0 2000 4000 6000 8000 10000

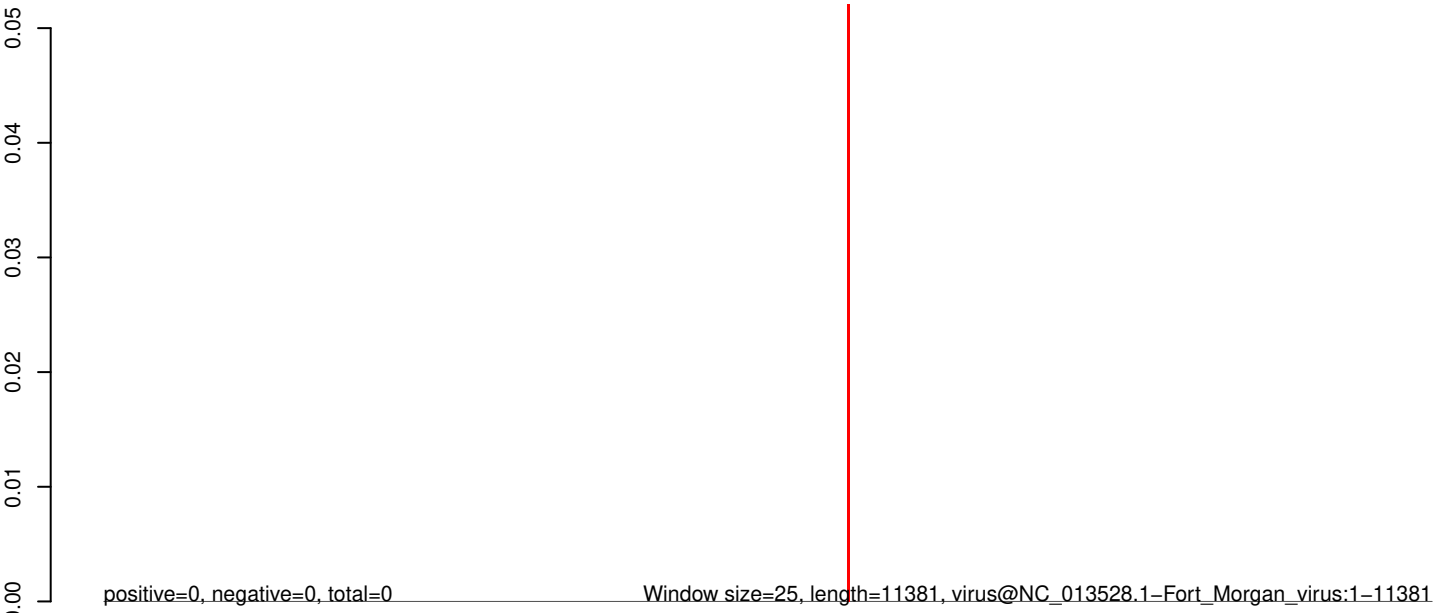
AeAeg_Whole_ZIKVdr_In2_GP.18_23.rep



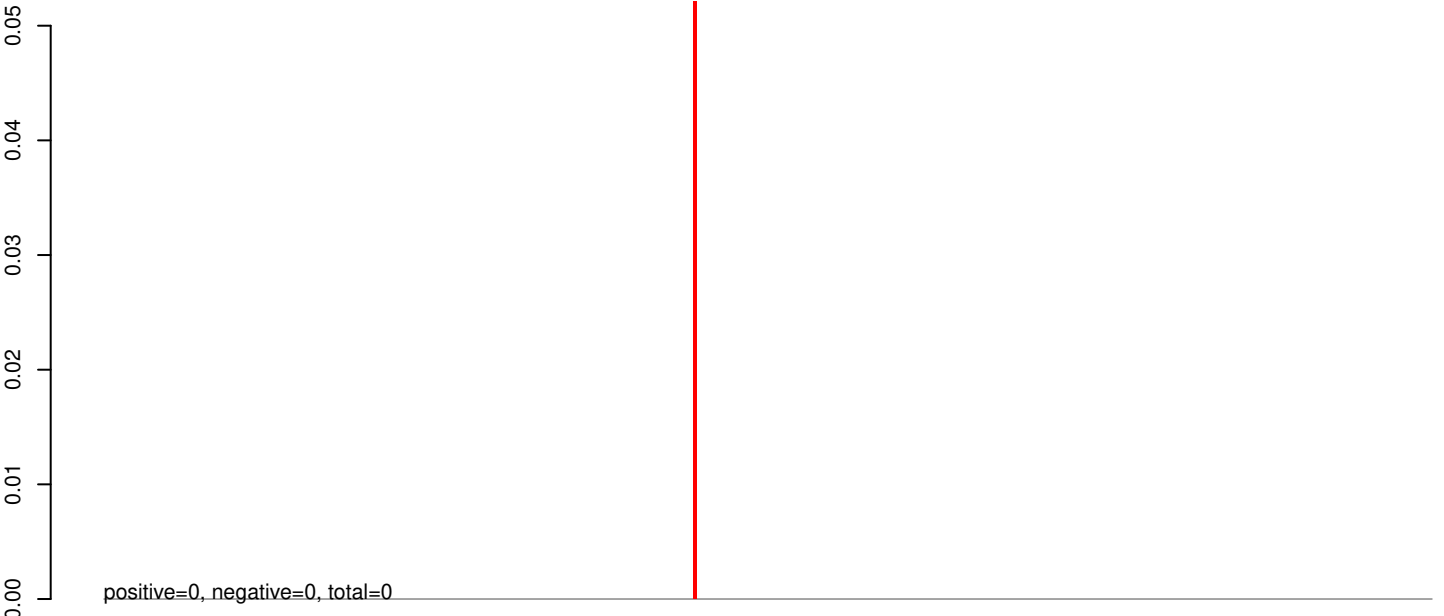
AeAeg_Whole_ZIKVdr_In2_GP.24_35.rep



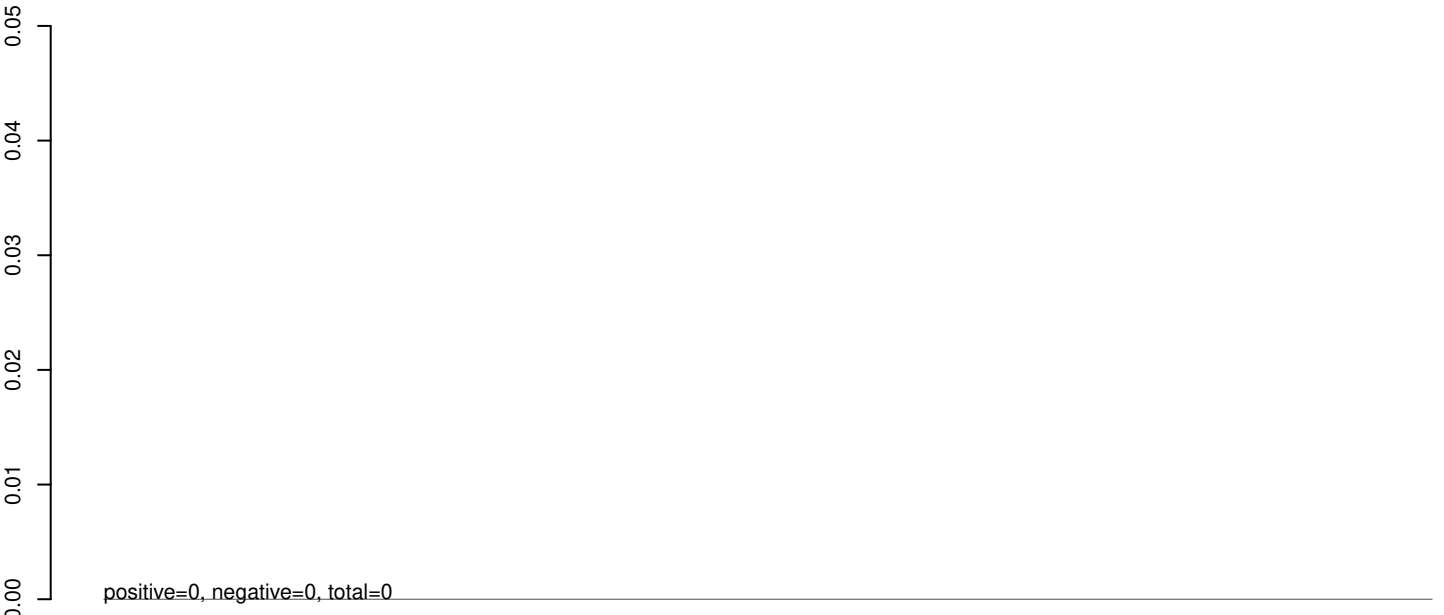
AeAeg_Whole_ZIKVdr_In2_GP.rep



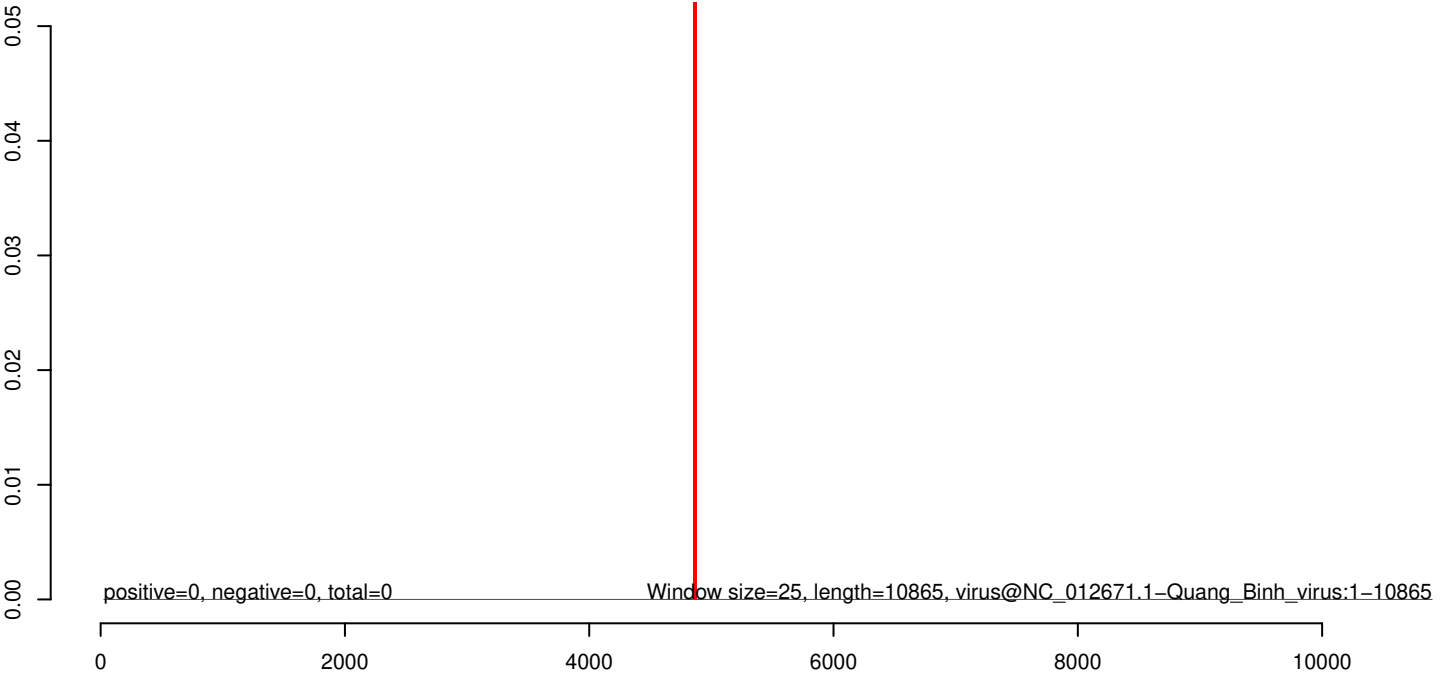
AeAeg_Whole_ZIKVdr_In2_GP.18_23.rep



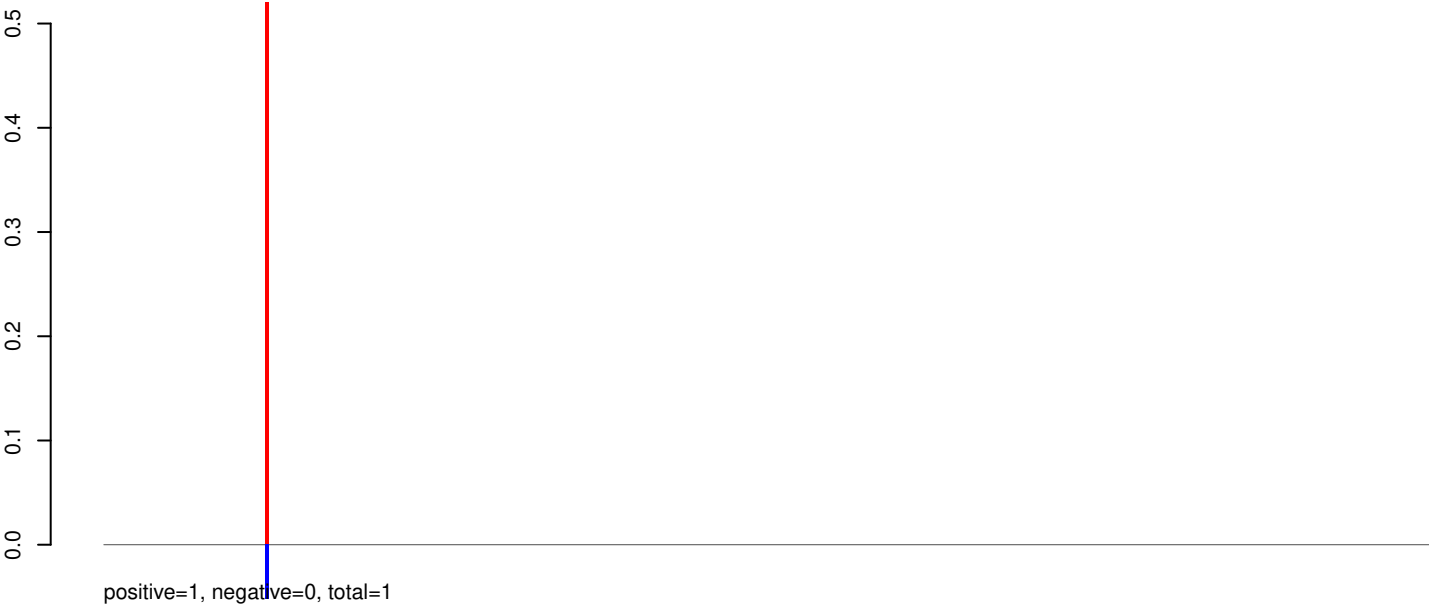
AeAeg_Whole_ZIKVdr_In2_GP.24_35.rep



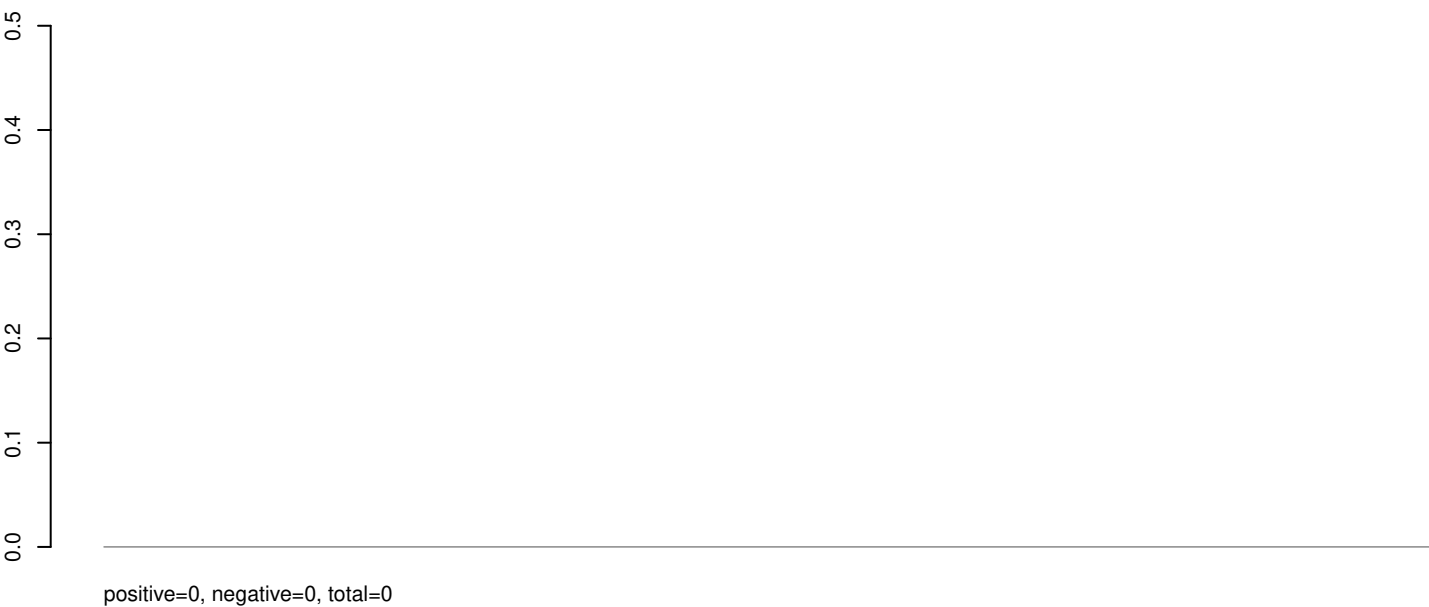
AeAeg_Whole_ZIKVdr_In2_GP.rep



AeAeg_Whole_ZIKVdr_In2_GP.18_23.rep



AeAeg_Whole_ZIKVdr_In2_GP.24_35.rep



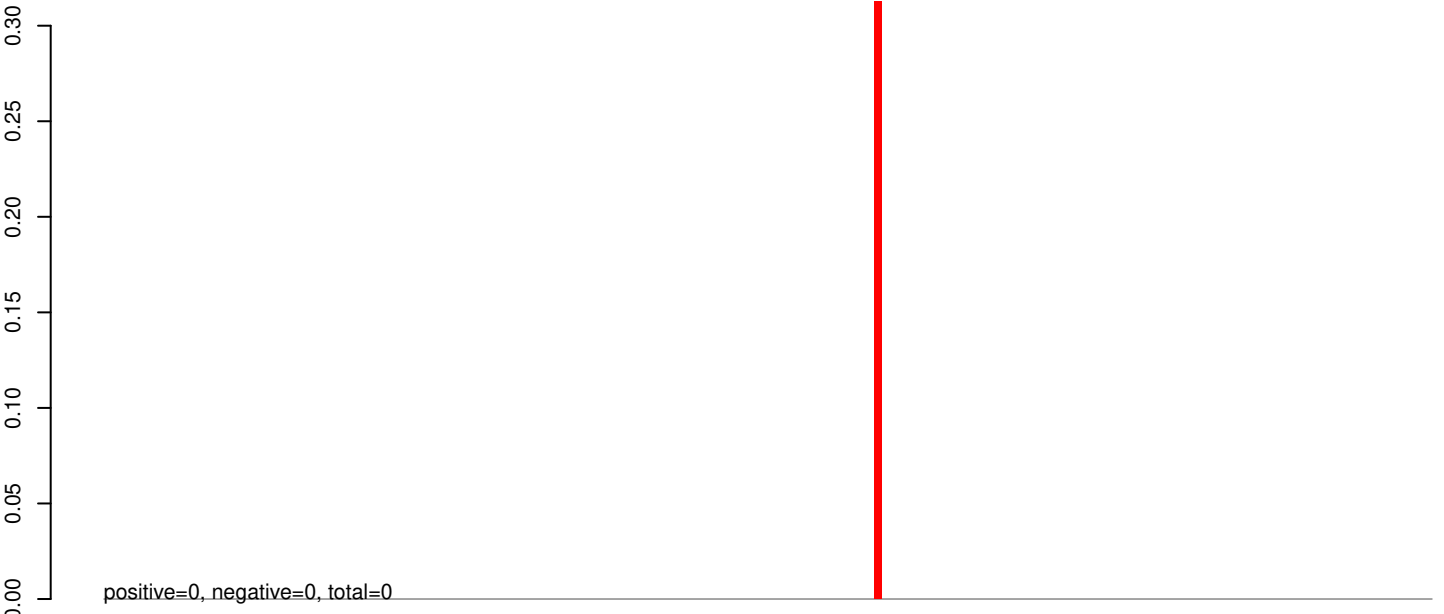
AeAeg_Whole_ZIKVdr_In2_GP.rep



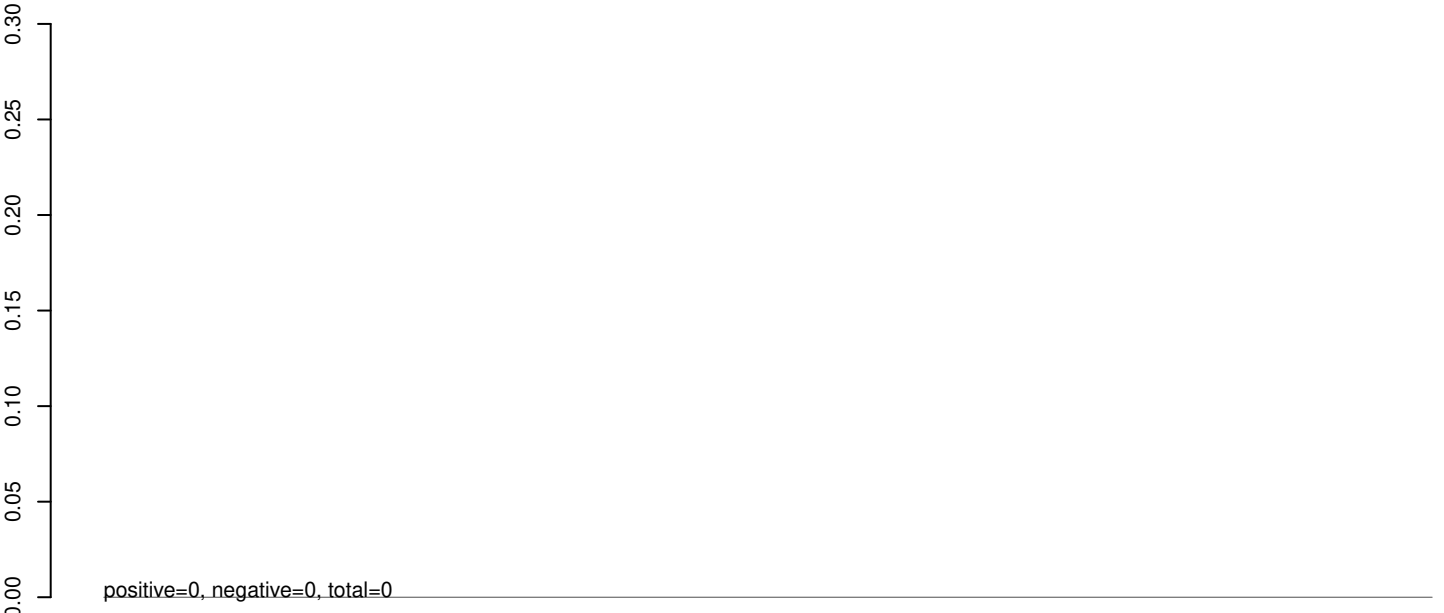
Window size=25, length=10857, virus@NC_005039.1-Yokose_virus:1-10857

0 2000 4000 6000 8000 10000

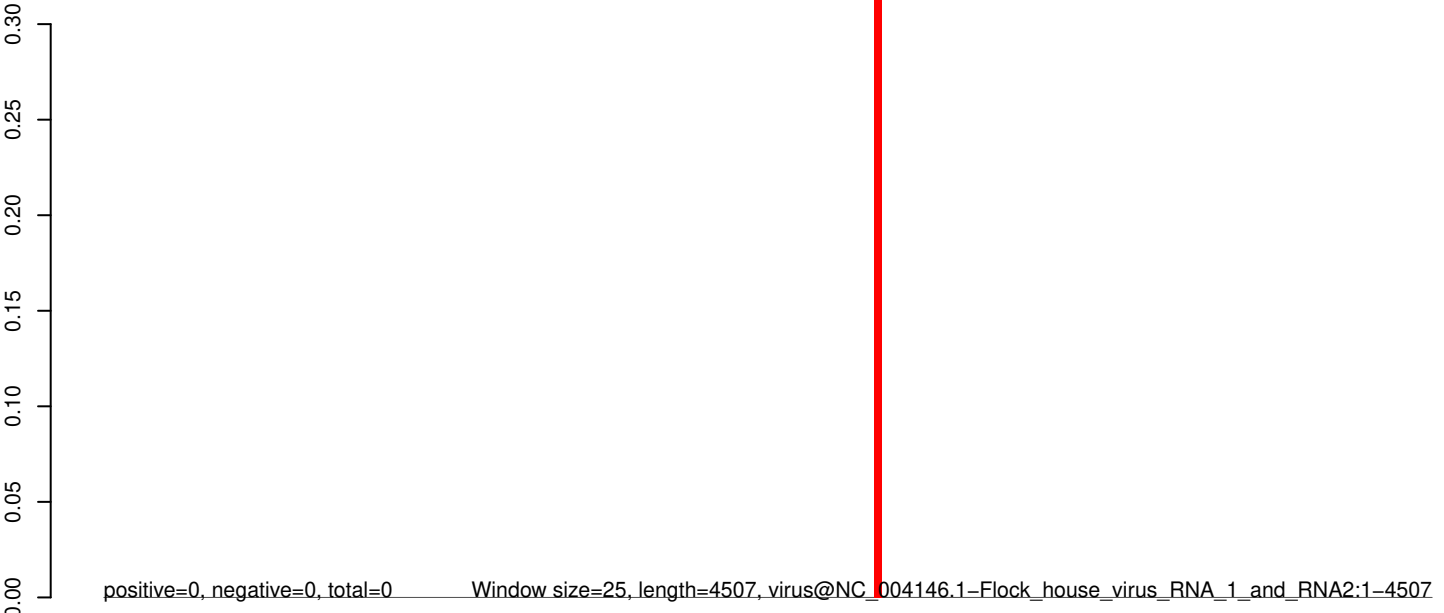
AeAeg_Whole_ZIKVdr_In2_GP.18_23.rep



AeAeg_Whole_ZIKVdr_In2_GP.24_35.rep



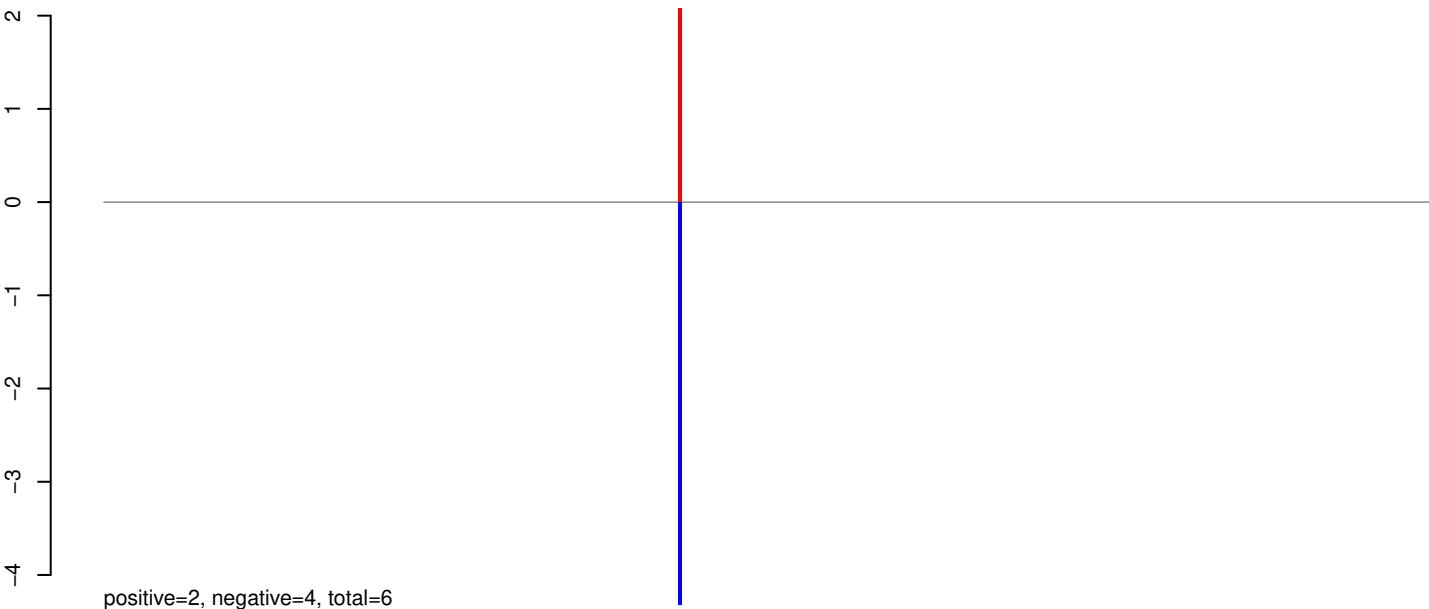
AeAeg_Whole_ZIKVdr_In2_GP.rep



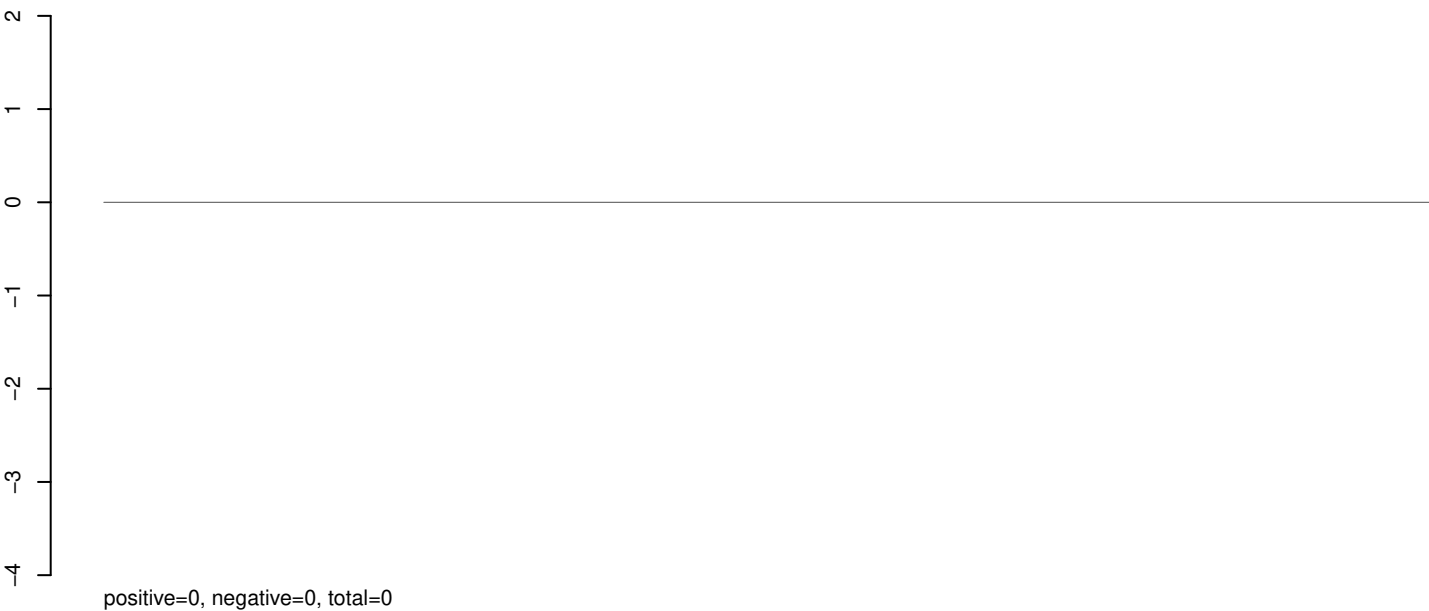
Window size=25, length=4507, virus@NC_004146.1-Flock_house_virus_RNA_1_and_RNA2:1-4507

0 1000 2000 3000 4000

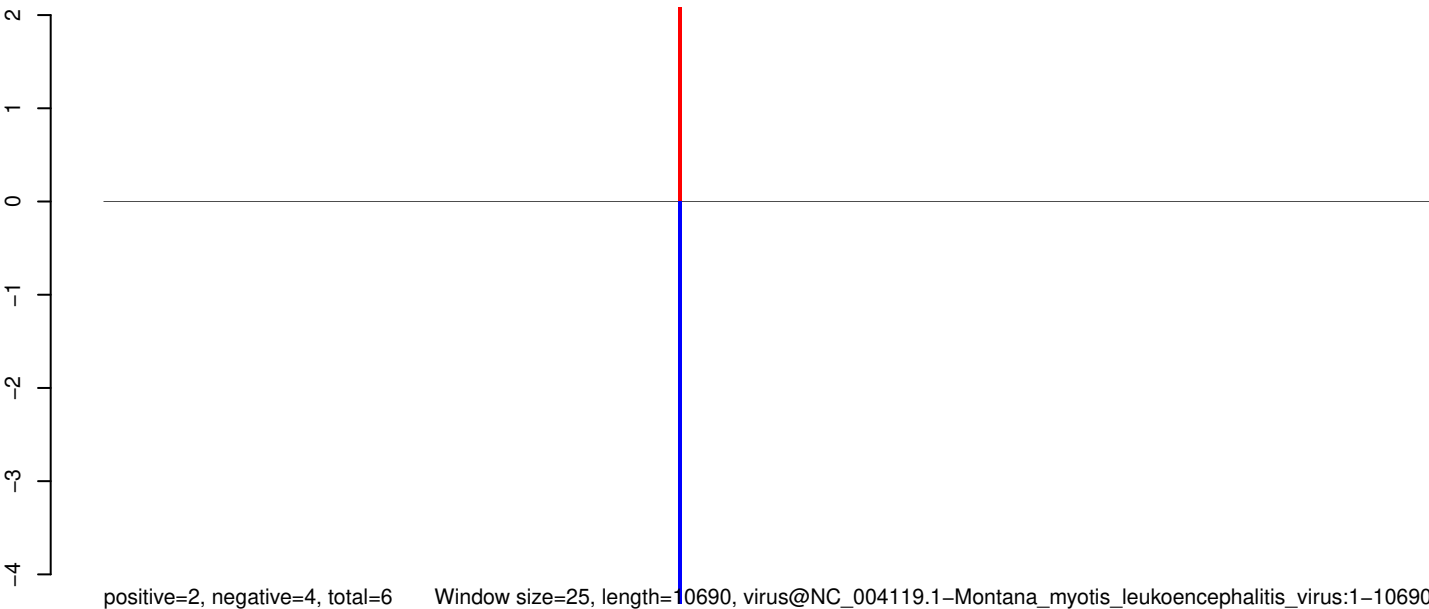
AeAeg_Whole_ZIKVdr_In2_GP.18_23.rep



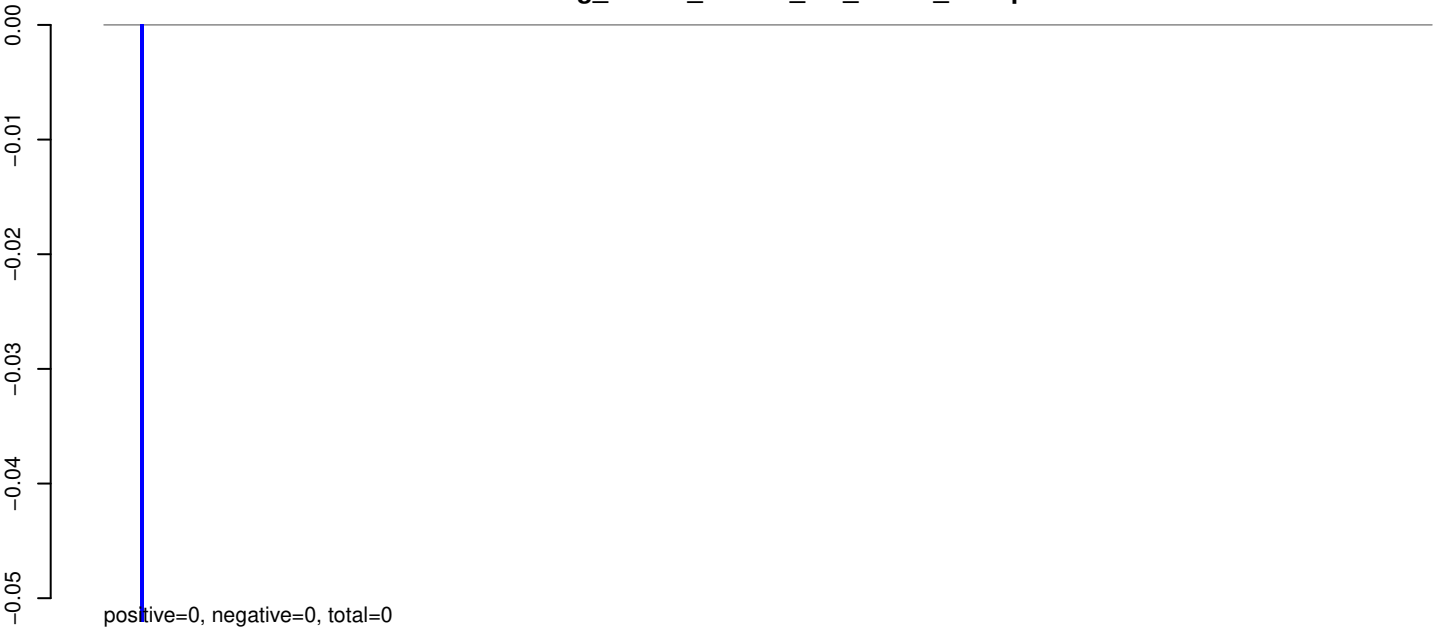
AeAeg_Whole_ZIKVdr_In2_GP.24_35.rep



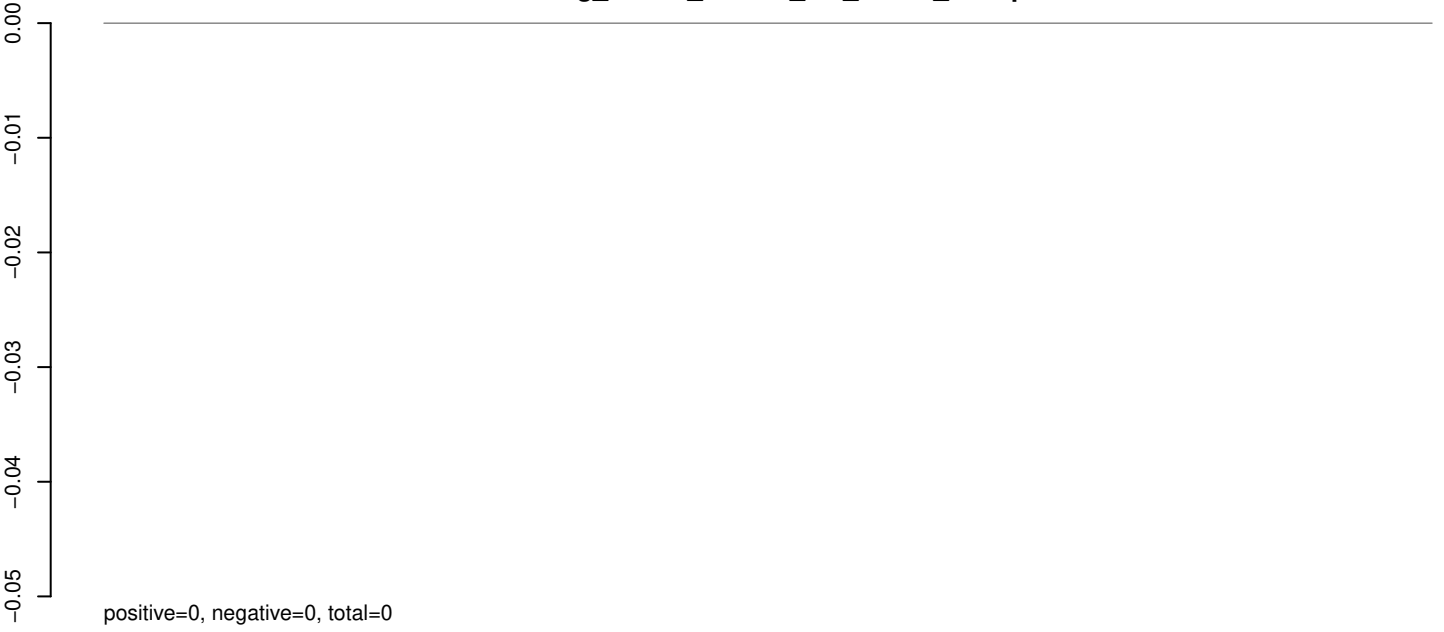
AeAeg_Whole_ZIKVdr_In2_GP.rep



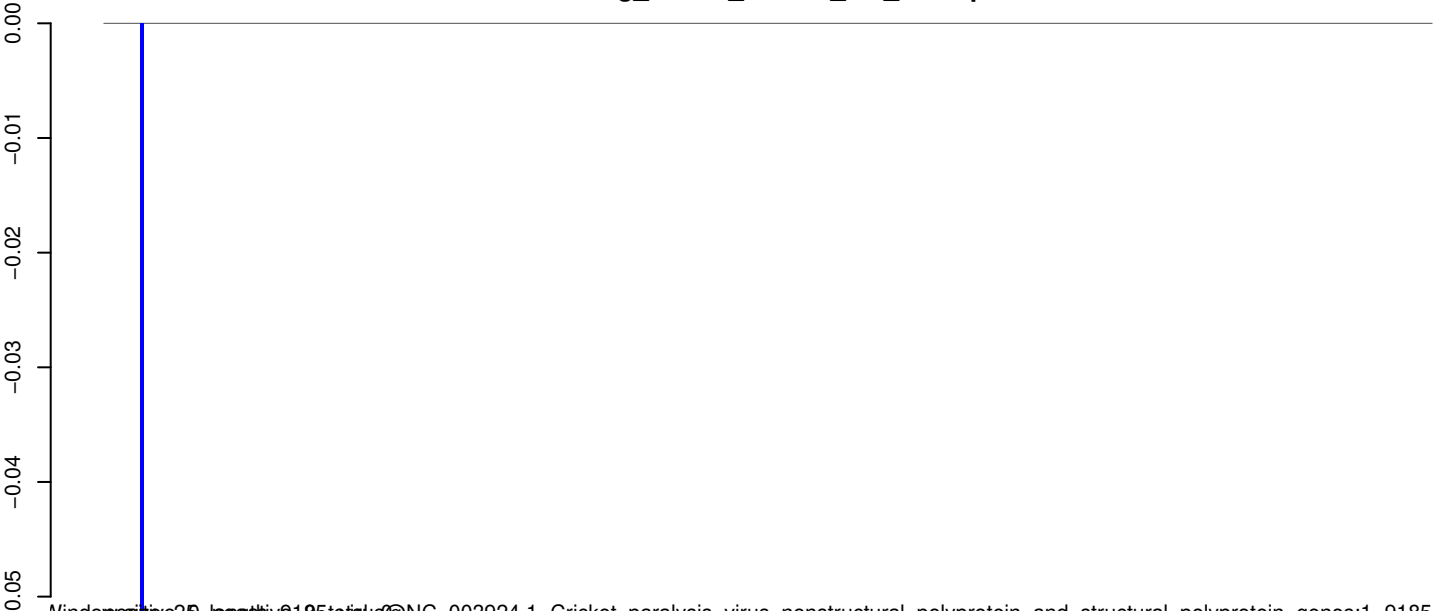
AeAeg_Whole_ZIKVdr_In2_GP.18_23.rep



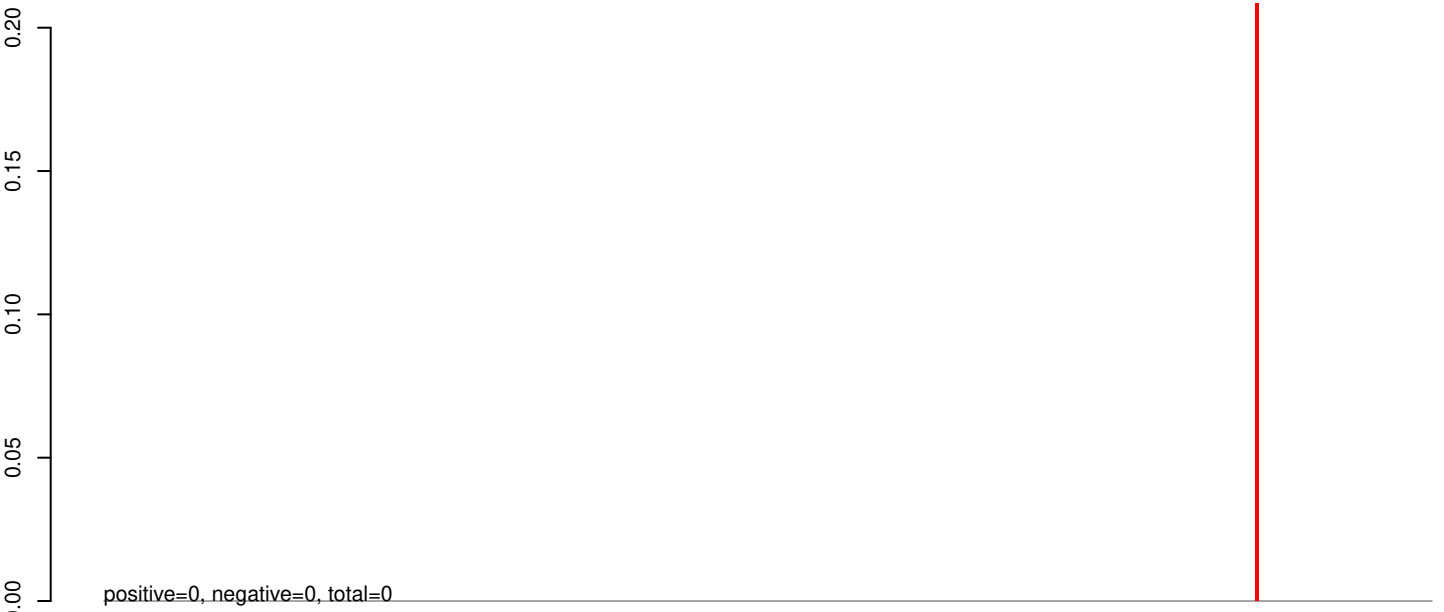
AeAeg_Whole_ZIKVdr_In2_GP.24_35.rep



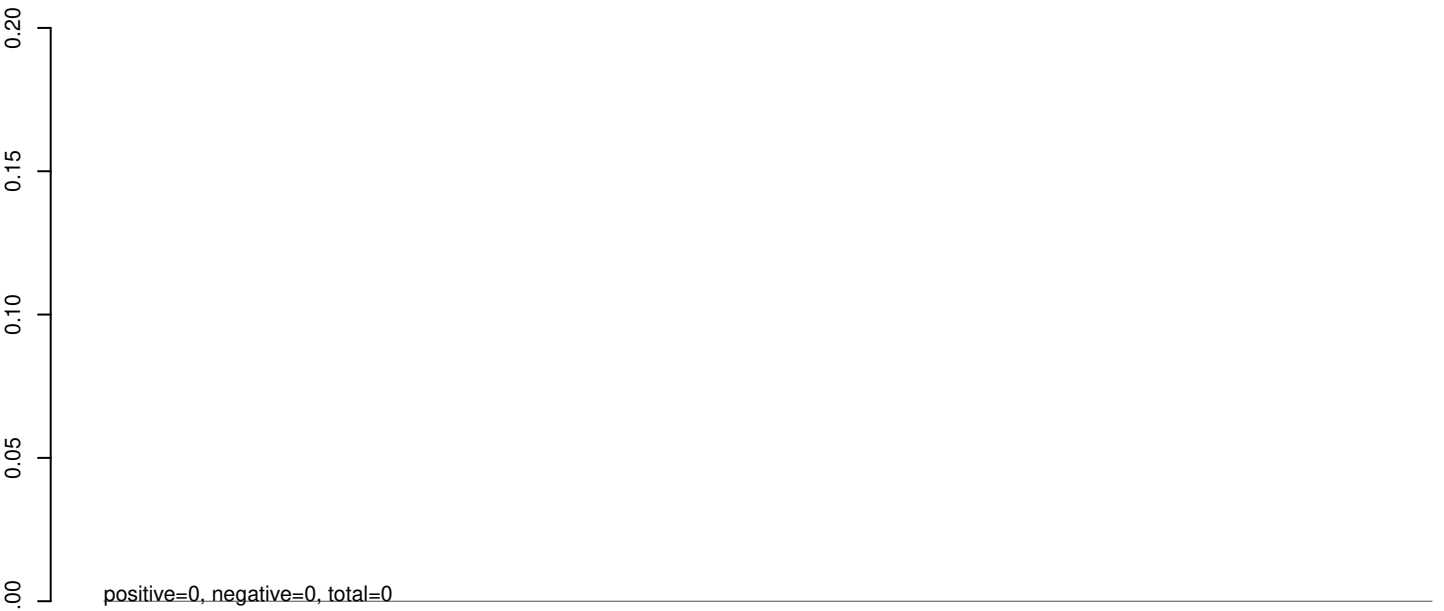
AeAeg_Whole_ZIKVdr_In2_GP.rep



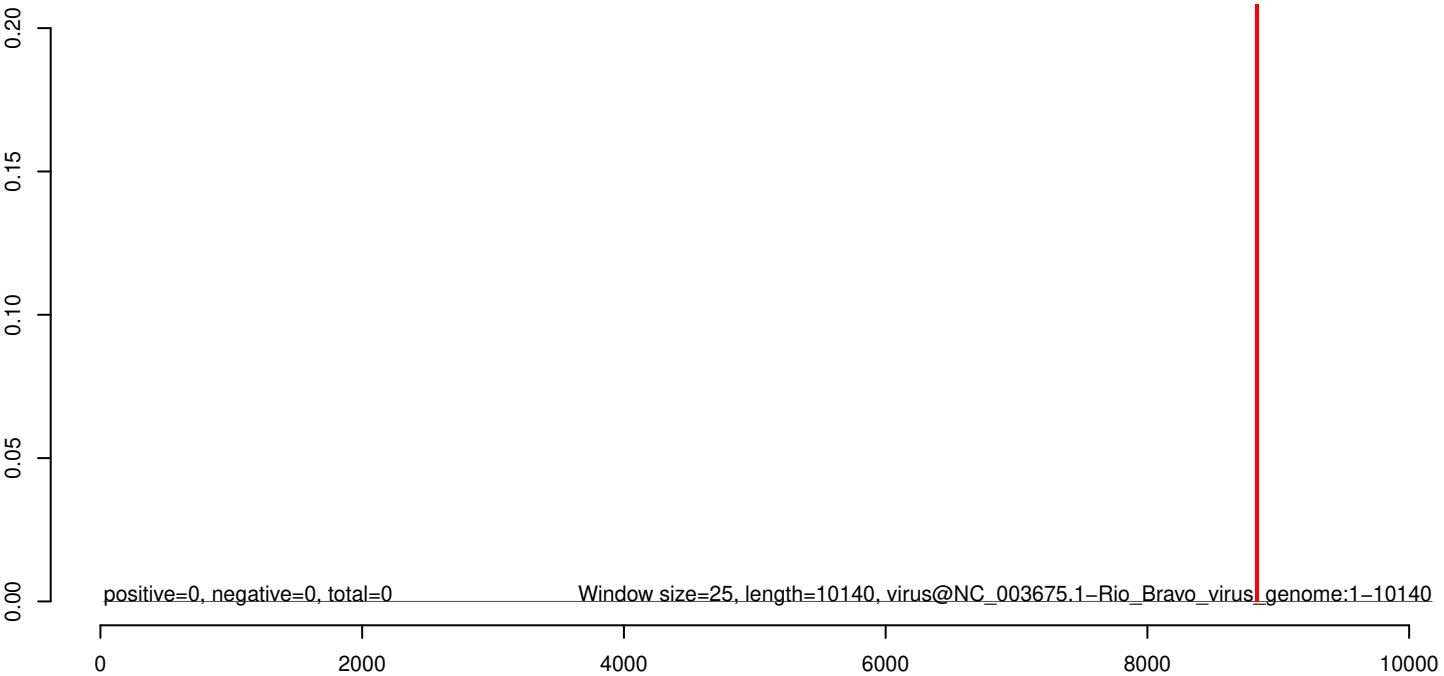
AeAeg_Whole_ZIKVdr_In2_GP.18_23.rep



AeAeg_Whole_ZIKVdr_In2_GP.24_35.rep



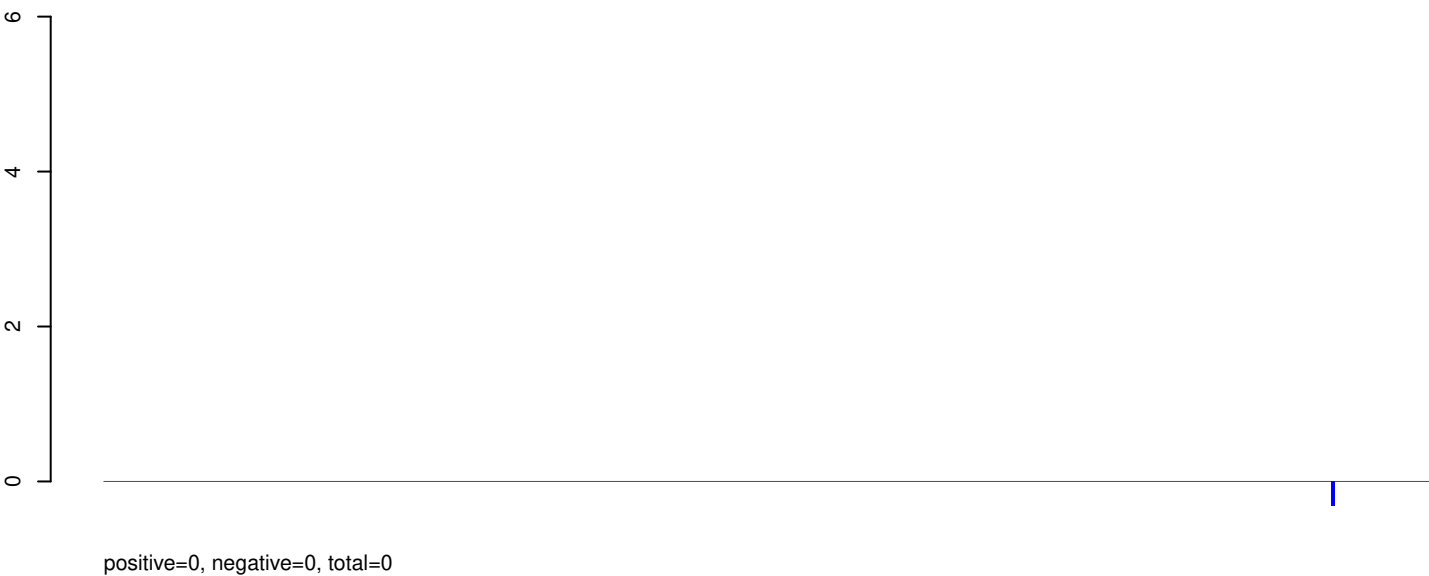
AeAeg_Whole_ZIKVdr_In2_GP.rep



AeAeg_Whole_ZIKVdr_In2_GP.18_23.rep



AeAeg_Whole_ZIKVdr_In2_GP.24_35.rep



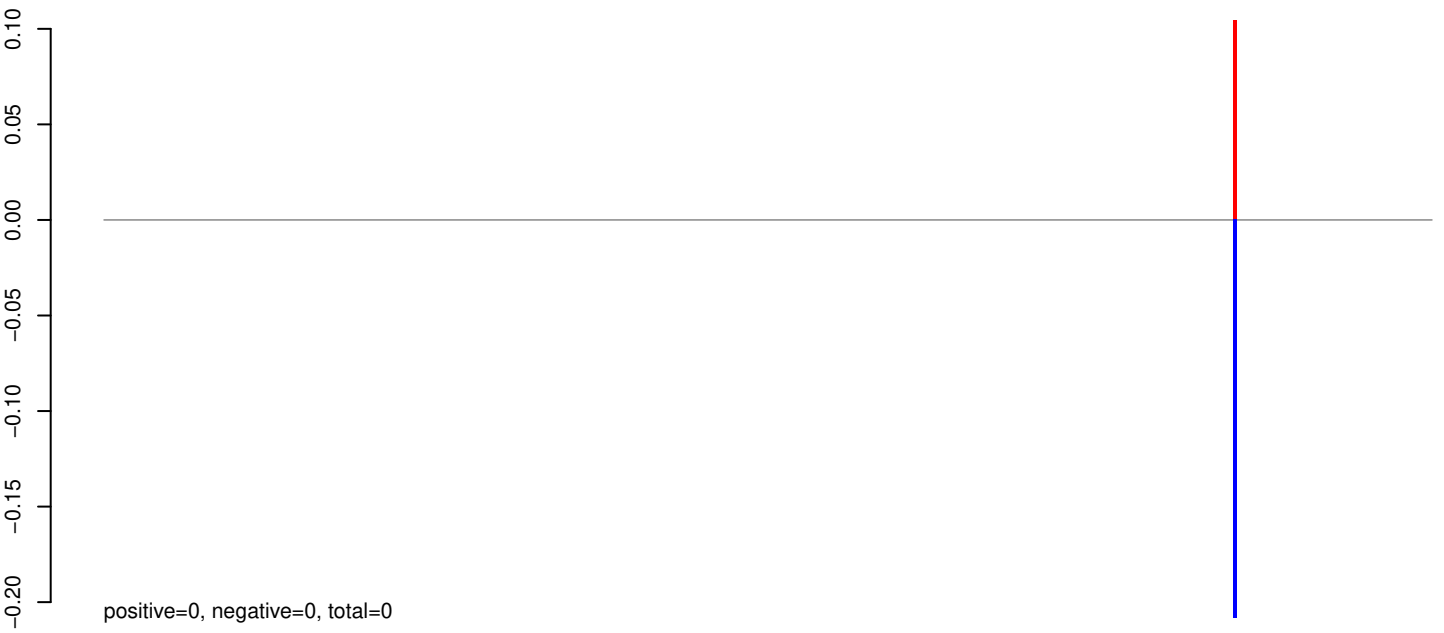
AeAeg_Whole_ZIKVdr_In2_GP.rep



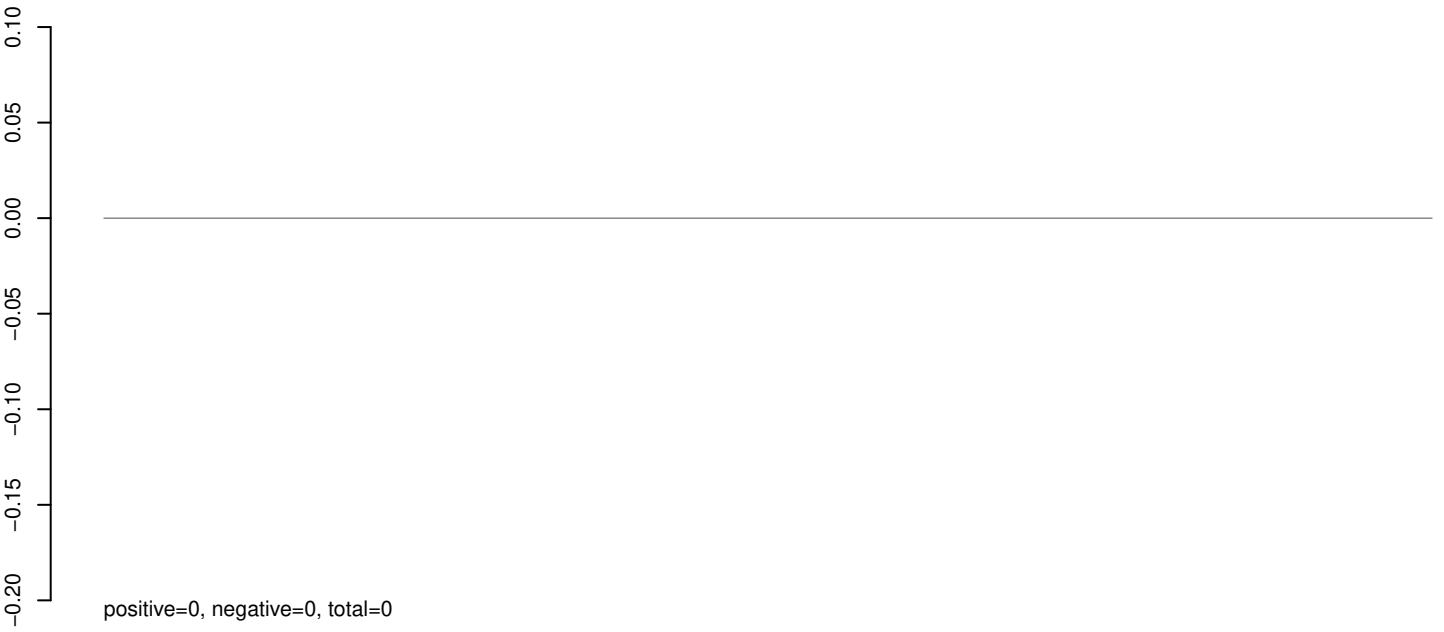
Window size=25, length=10862, virus@NC_002031.1-Yellow_fever_virus:1-10862

0 2000 4000 6000 8000 10000

AeAeg_Whole_ZIKVdr_In2_GP.18_23.rep



AeAeg_Whole_ZIKVdr_In2_GP.24_35.rep

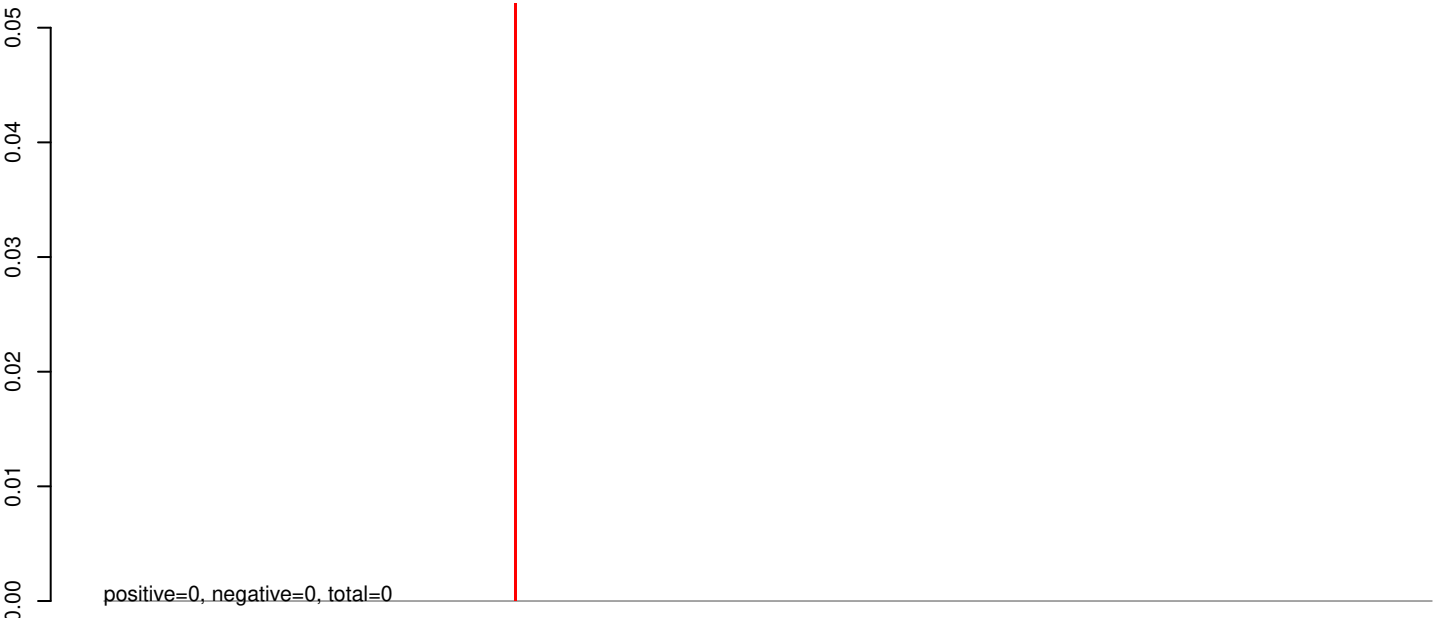


AeAeg_Whole_ZIKVdr_In2_GP.rep

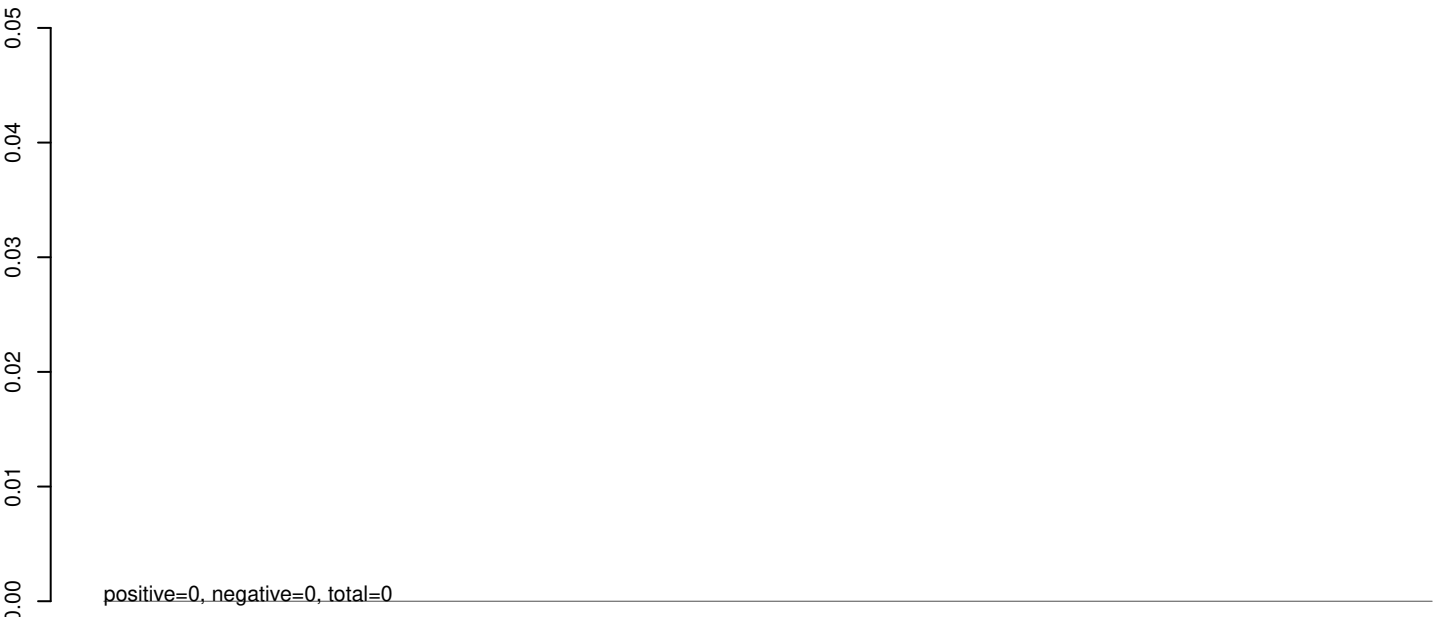


Window size=25, length=10871, virus@NC_001809.1-Louping_ill_virus:1-10871

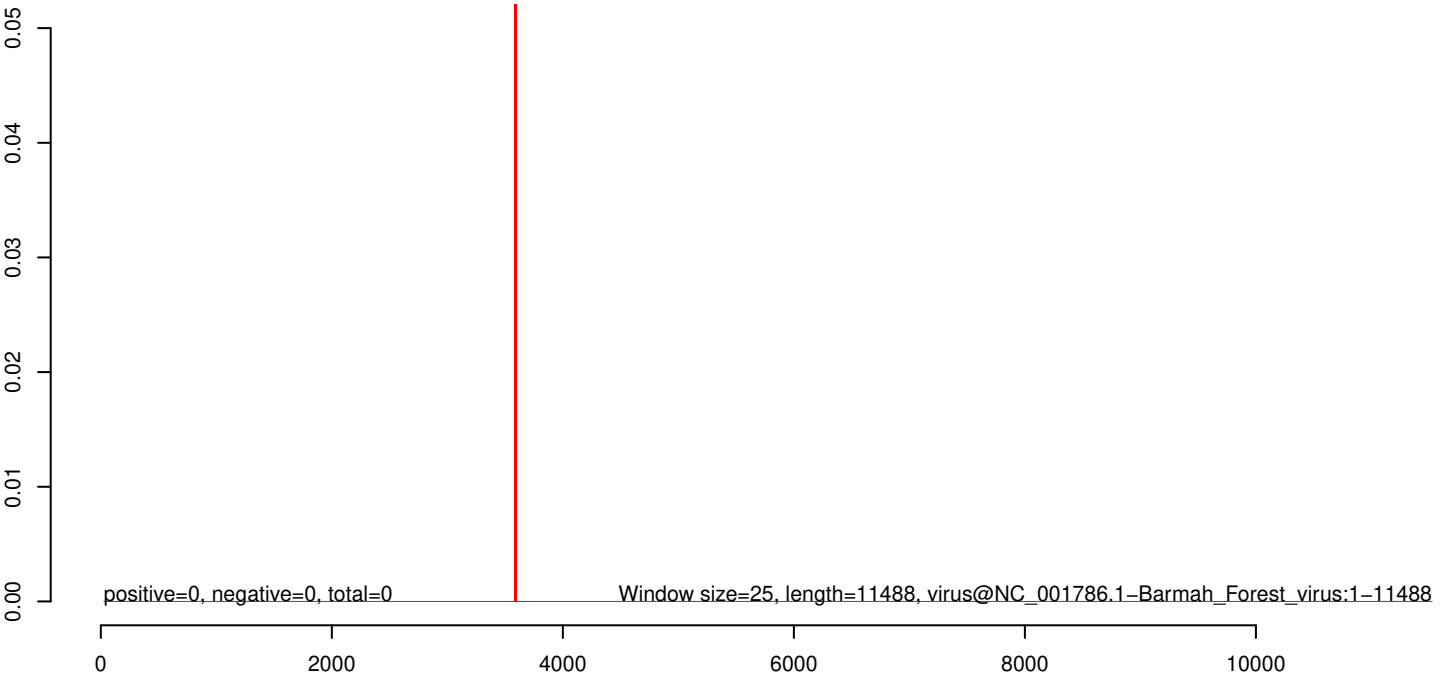
AeAeg_Whole_ZIKVdr_In2_GP.18_23.rep



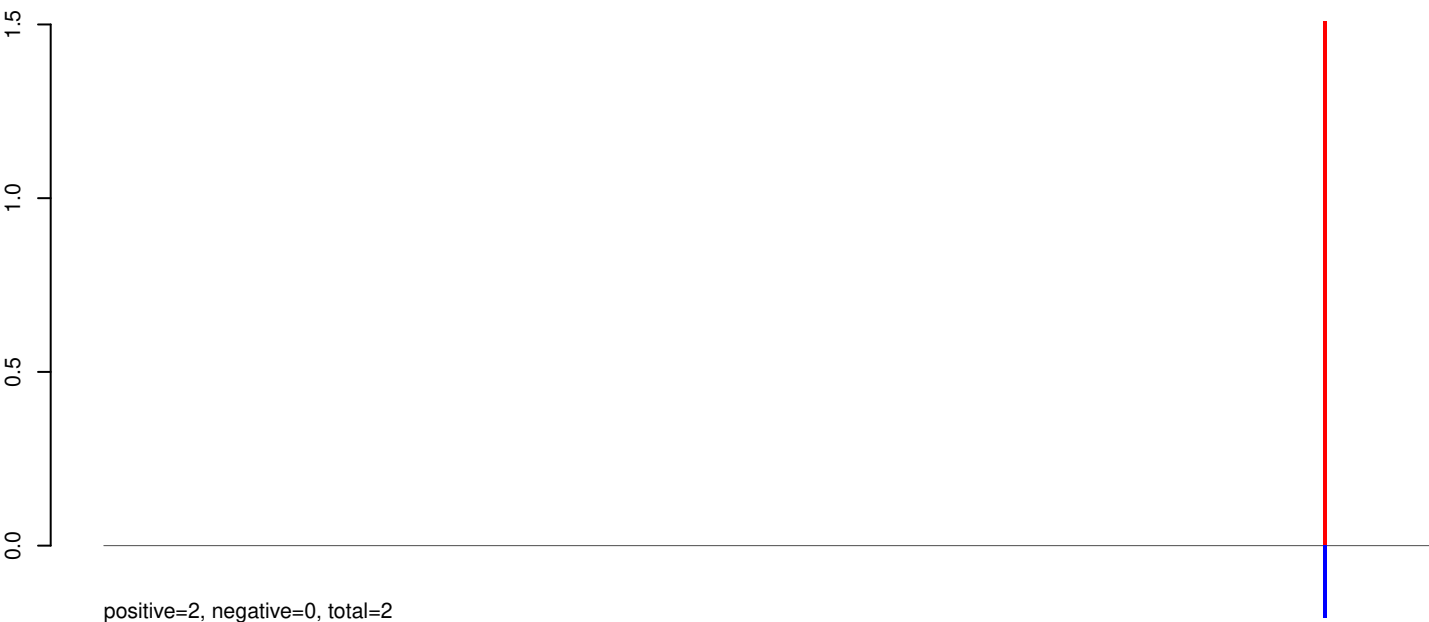
AeAeg_Whole_ZIKVdr_In2_GP.24_35.rep



AeAeg_Whole_ZIKVdr_In2_GP.rep



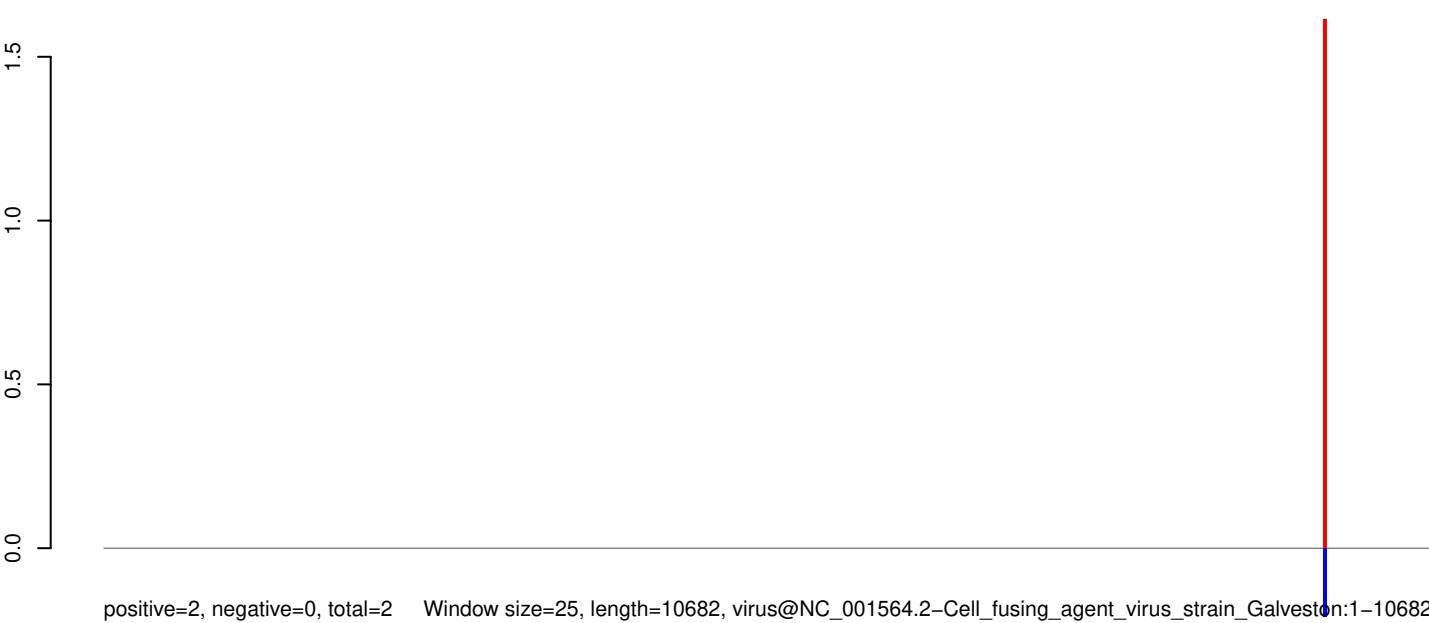
AeAeg_Whole_ZIKVdr_In2_GP.18_23.rep



AeAeg_Whole_ZIKVdr_In2_GP.24_35.rep



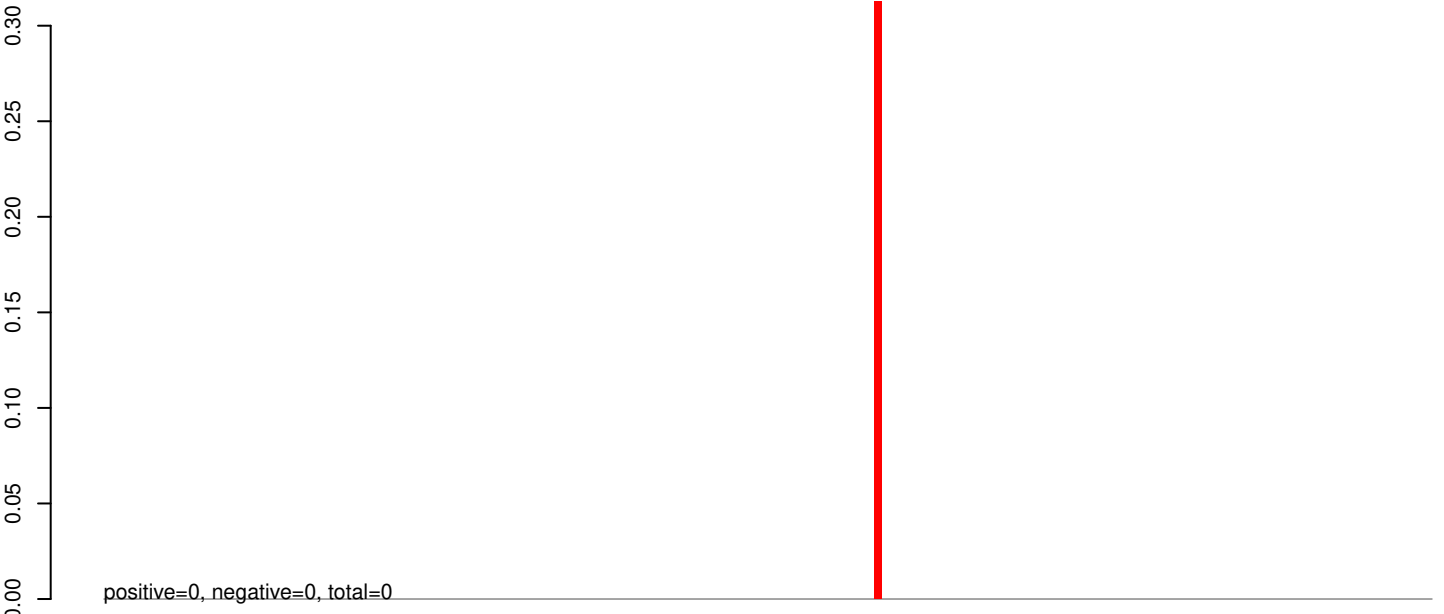
AeAeg_Whole_ZIKVdr_In2_GP.rep



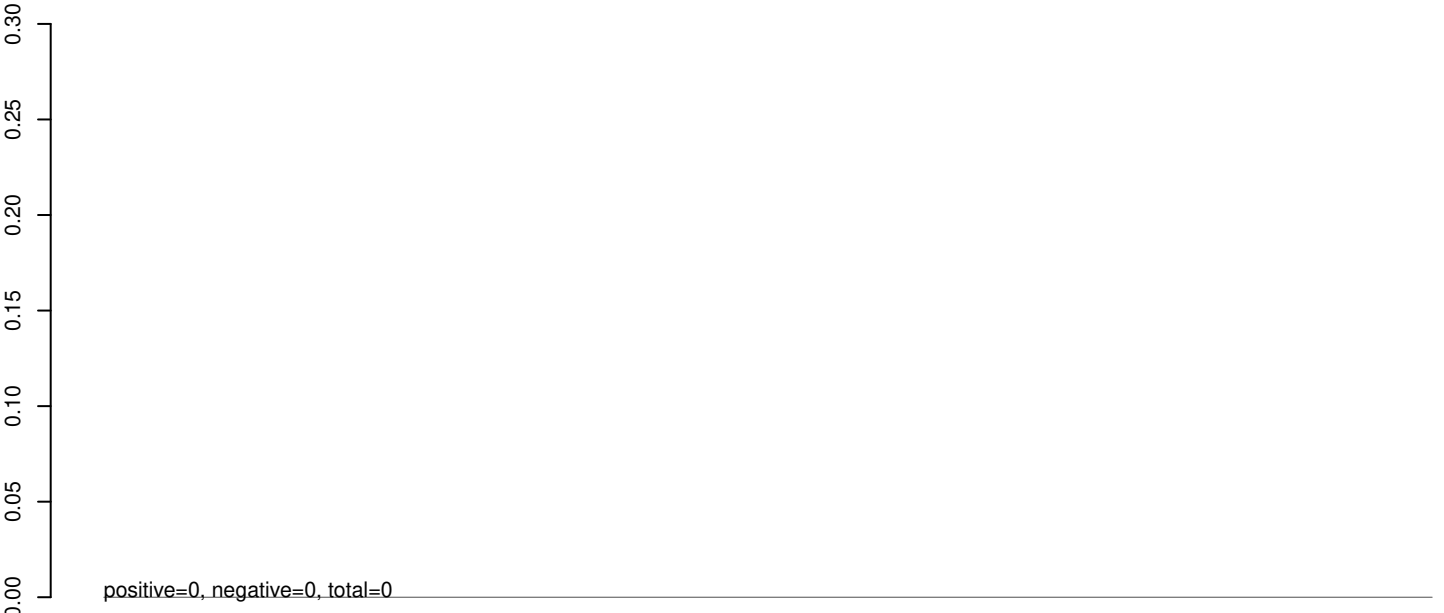
Window size=25, length=10682, virus@NC_001564.2-Cell_fusing_agent_virus_strain_Galveston:1-10682

0 2000 4000 6000 8000 10000

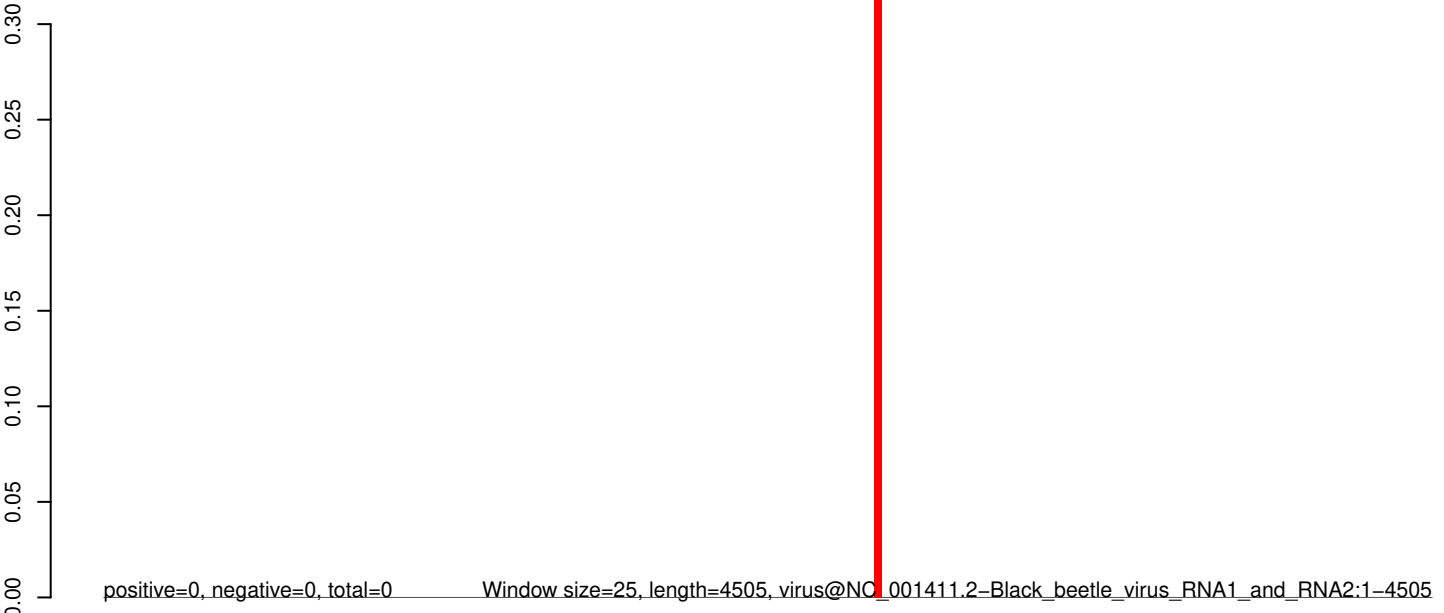
AeAeg_Whole_ZIKVdr_In2_GP.18_23.rep



AeAeg_Whole_ZIKVdr_In2_GP.24_35.rep

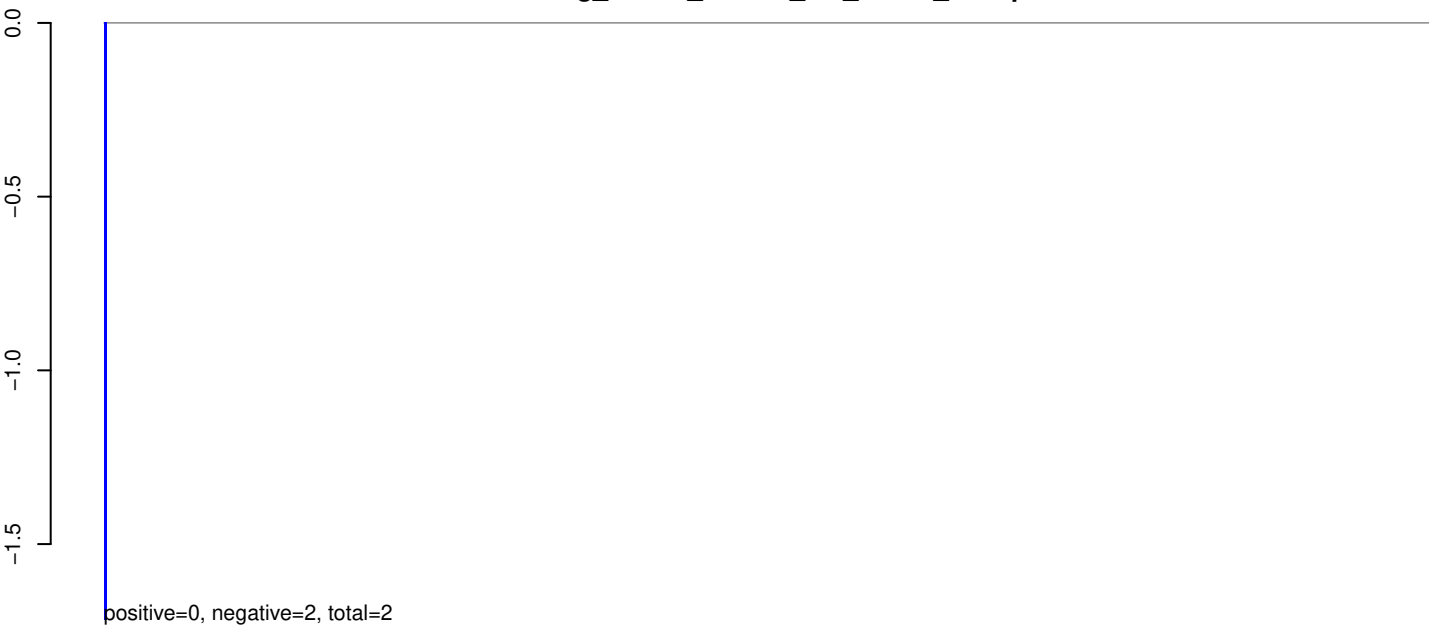


AeAeg_Whole_ZIKVdr_In2_GP.rep

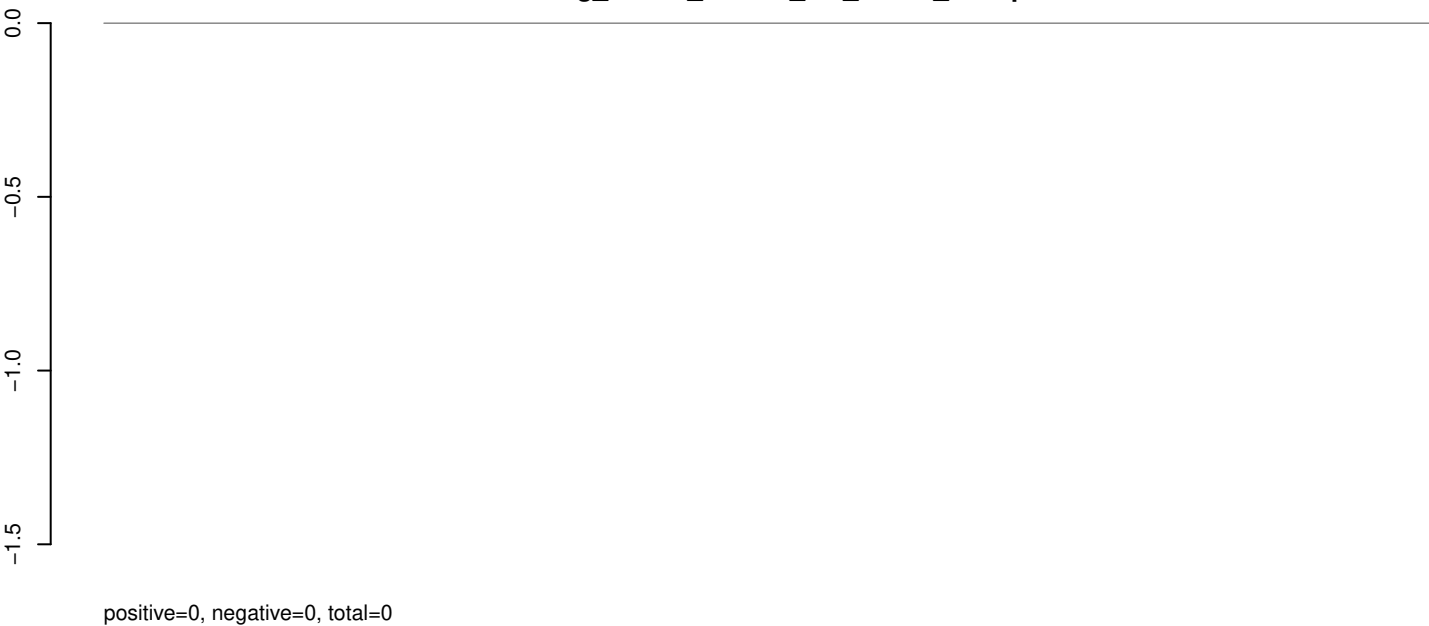


0 1000 2000 3000 4000

AeAeg_Whole_ZIKVdr_In2_GP.18_23.rep



AeAeg_Whole_ZIKVdr_In2_GP.24_35.rep



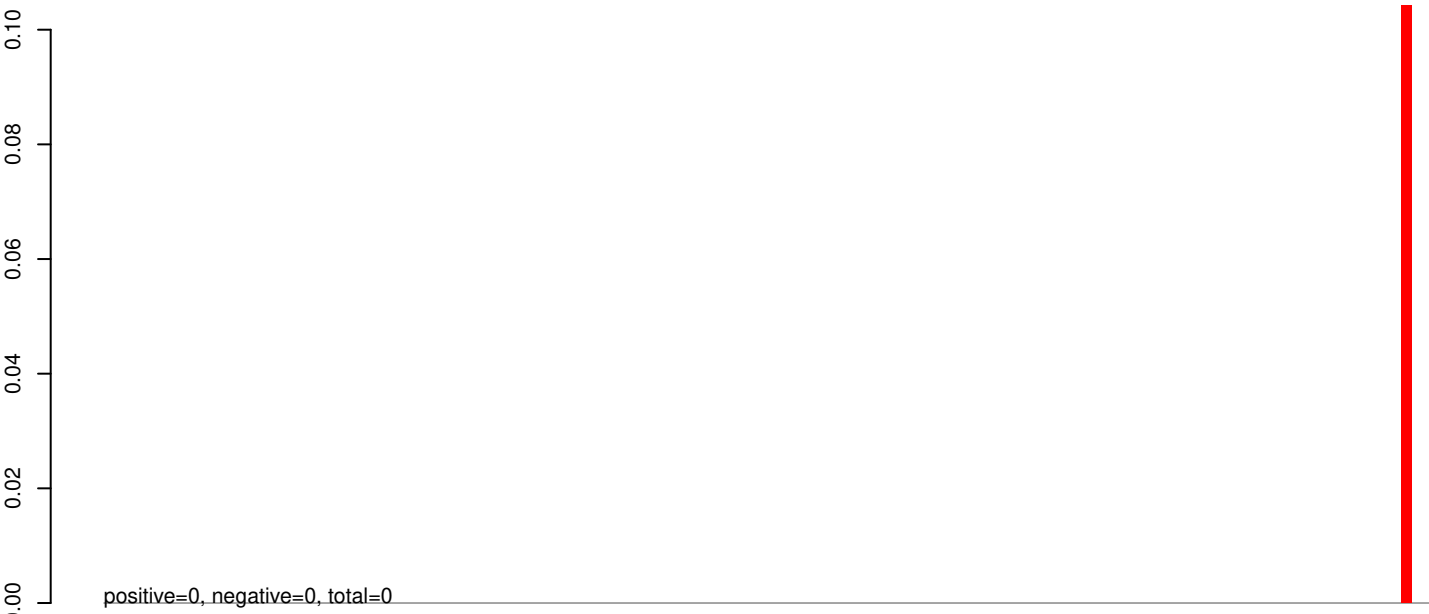
AeAeg_Whole_ZIKVdr_In2_GP.rep



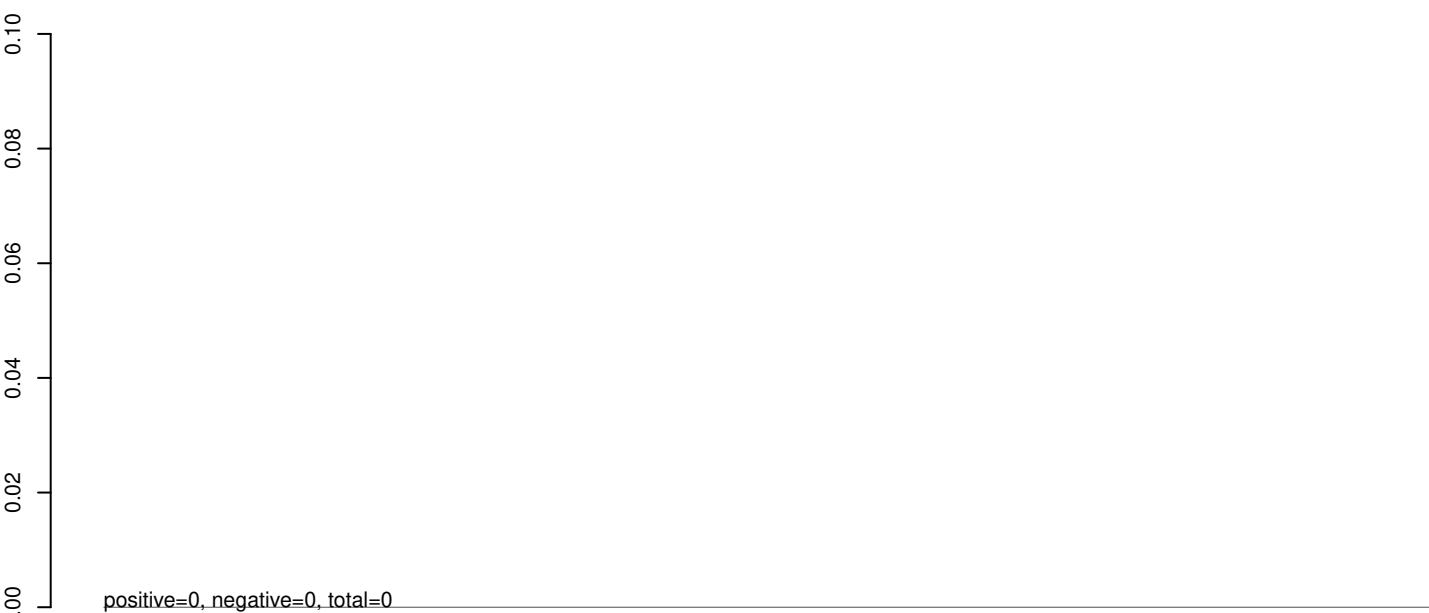
Window size=25, length=12916, virus@MH237595.1-Aedes_aegypti_anphevirus_strain_1a:1-12916

0 2000 4000 6000 8000 10000 12000

AeAeg_Whole_ZIKVdr_In2_GP.18_23.rep



AeAeg_Whole_ZIKVdr_In2_GP.24_35.rep

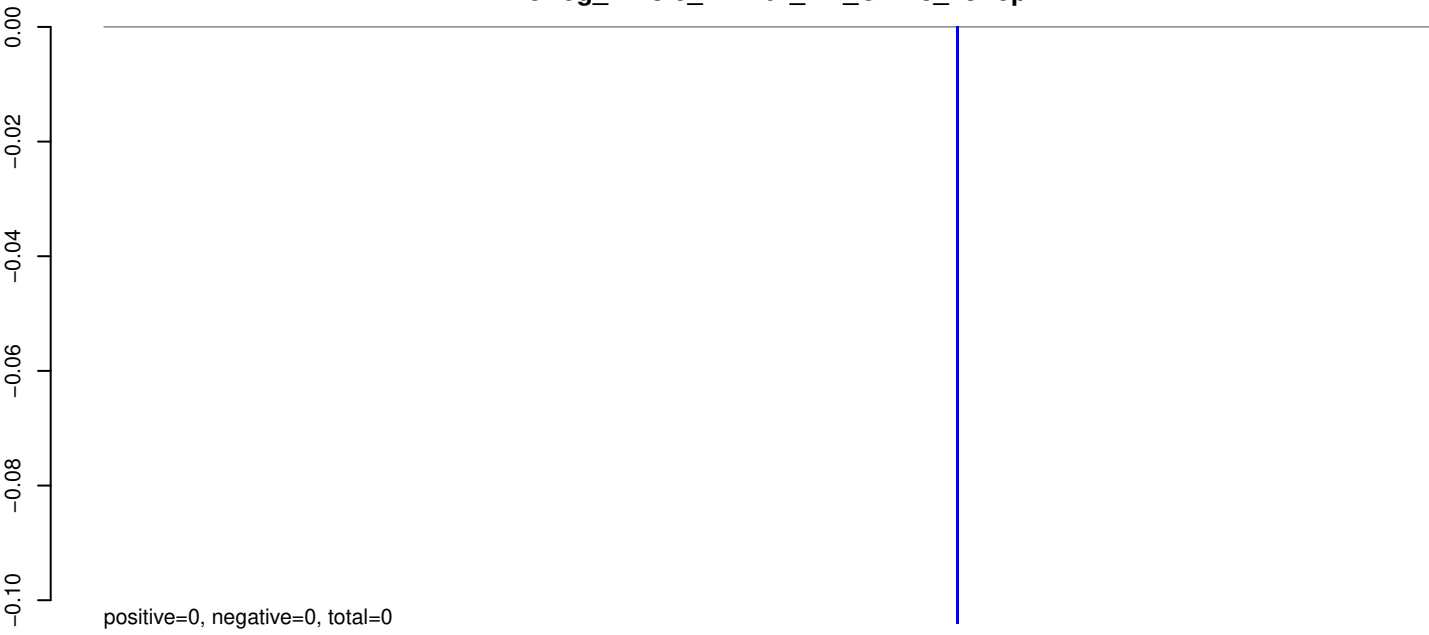


AeAeg_Whole_ZIKVdr_In2_GP.rep

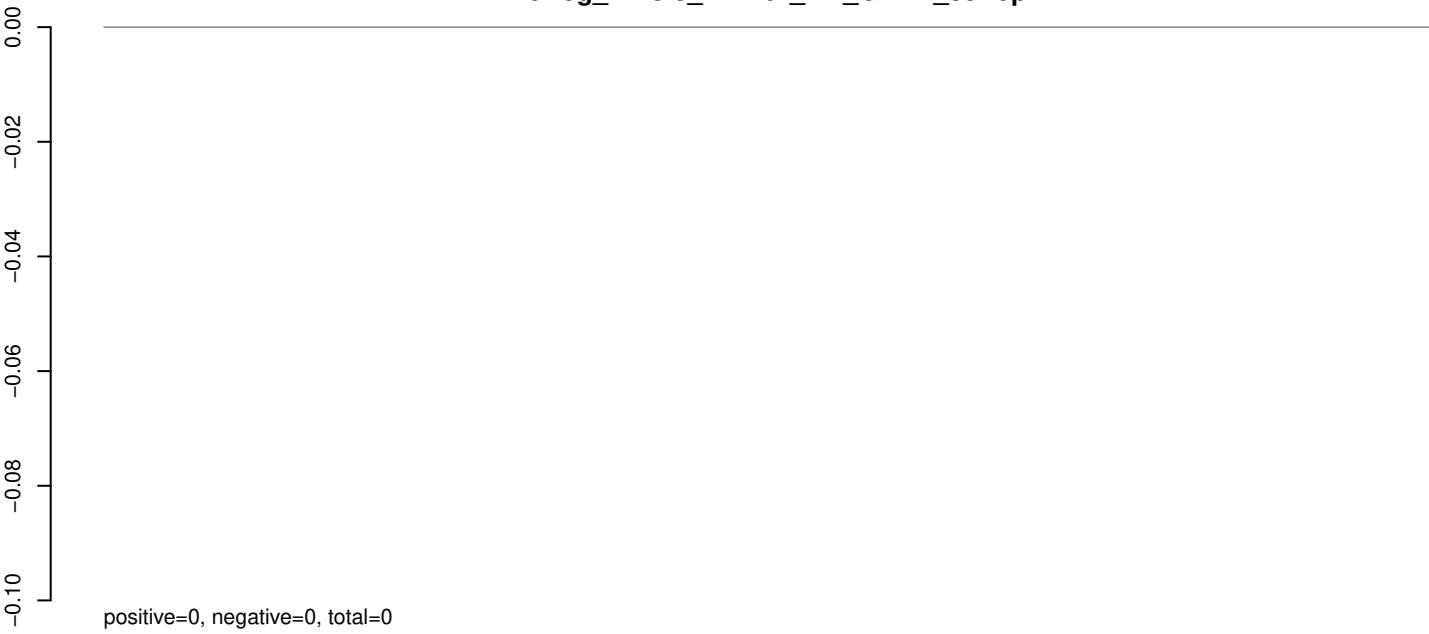


0 500 1000 1500 2000 2500 3000

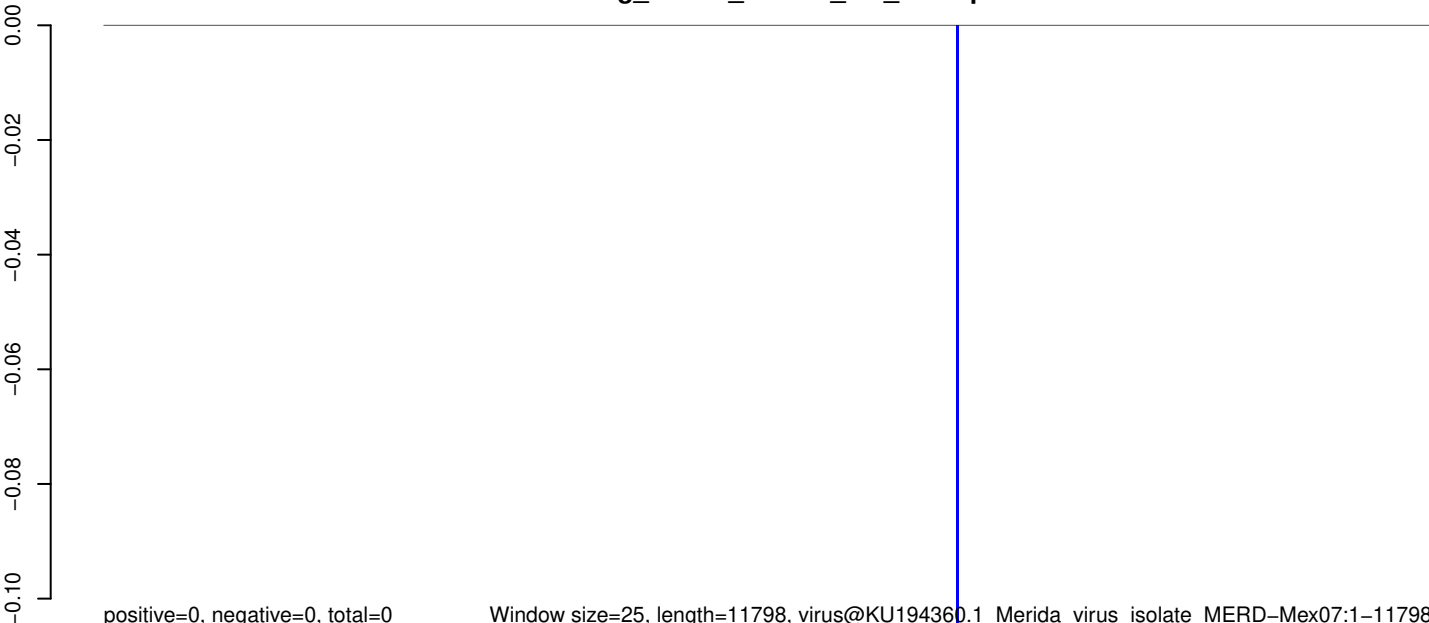
AeAeg_Whole_ZIKVdr_In2_GP.18_23.rep



AeAeg_Whole_ZIKVdr_In2_GP.24_35.rep



AeAeg_Whole_ZIKVdr_In2_GP.rep

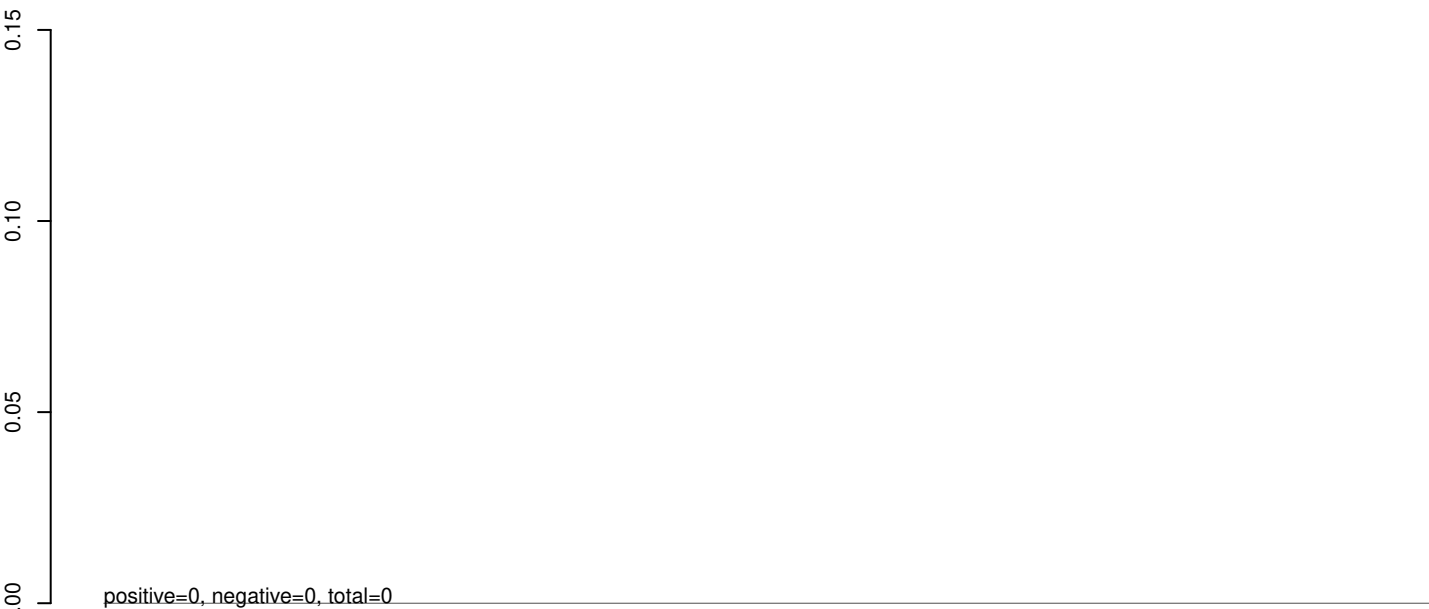


0 2000 4000 6000 8000 10000 12000

AeAeg_Whole_ZIKVdr_In2_GP.18_23.rep



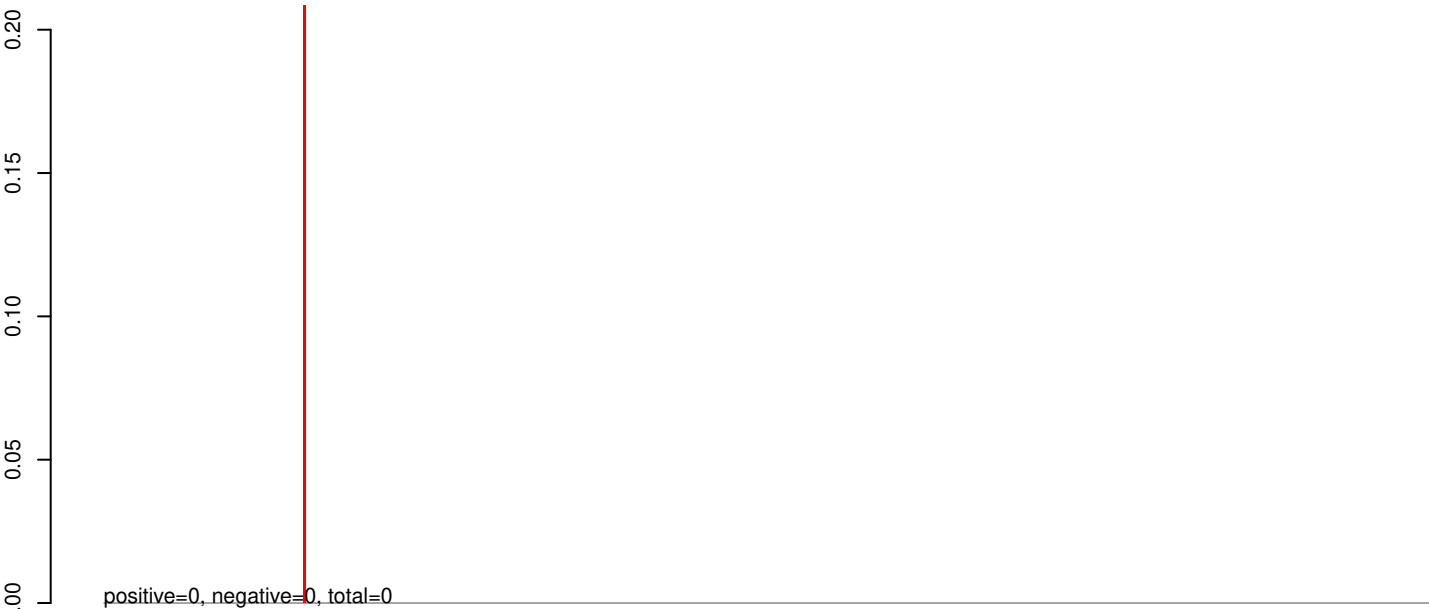
AeAeg_Whole_ZIKVdr_In2_GP.24_35.rep



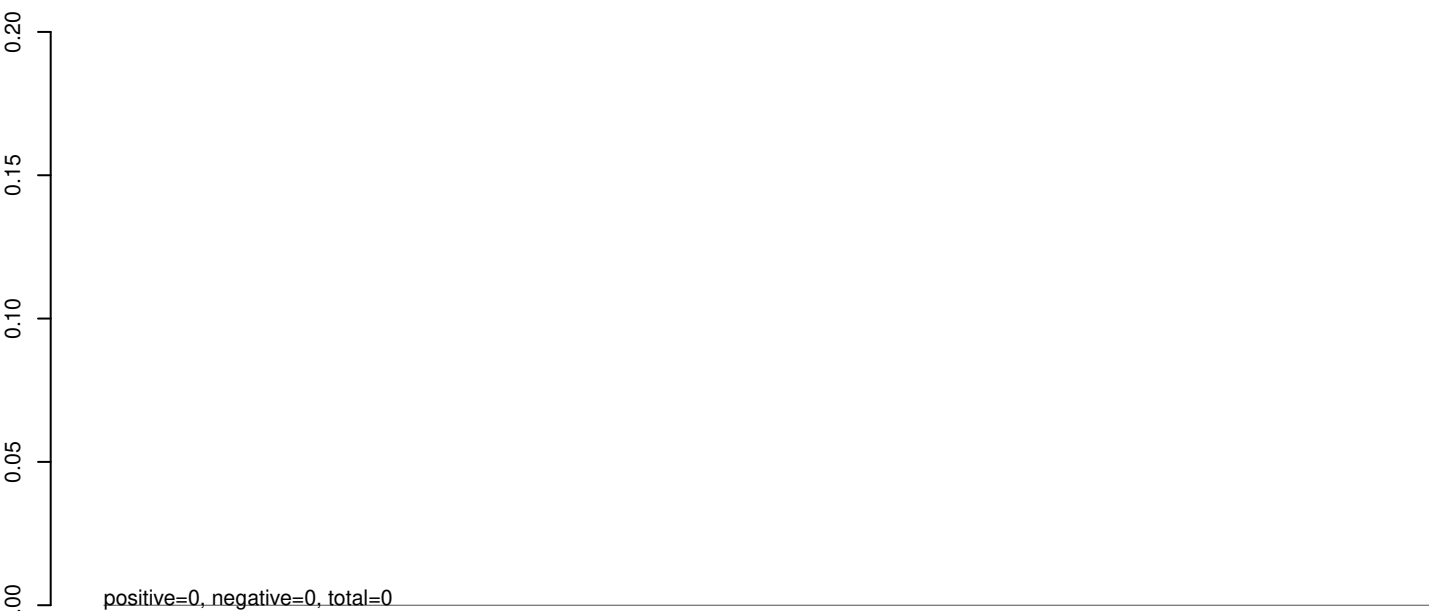
AeAeg_Whole_ZIKVdr_In2_GP.rep



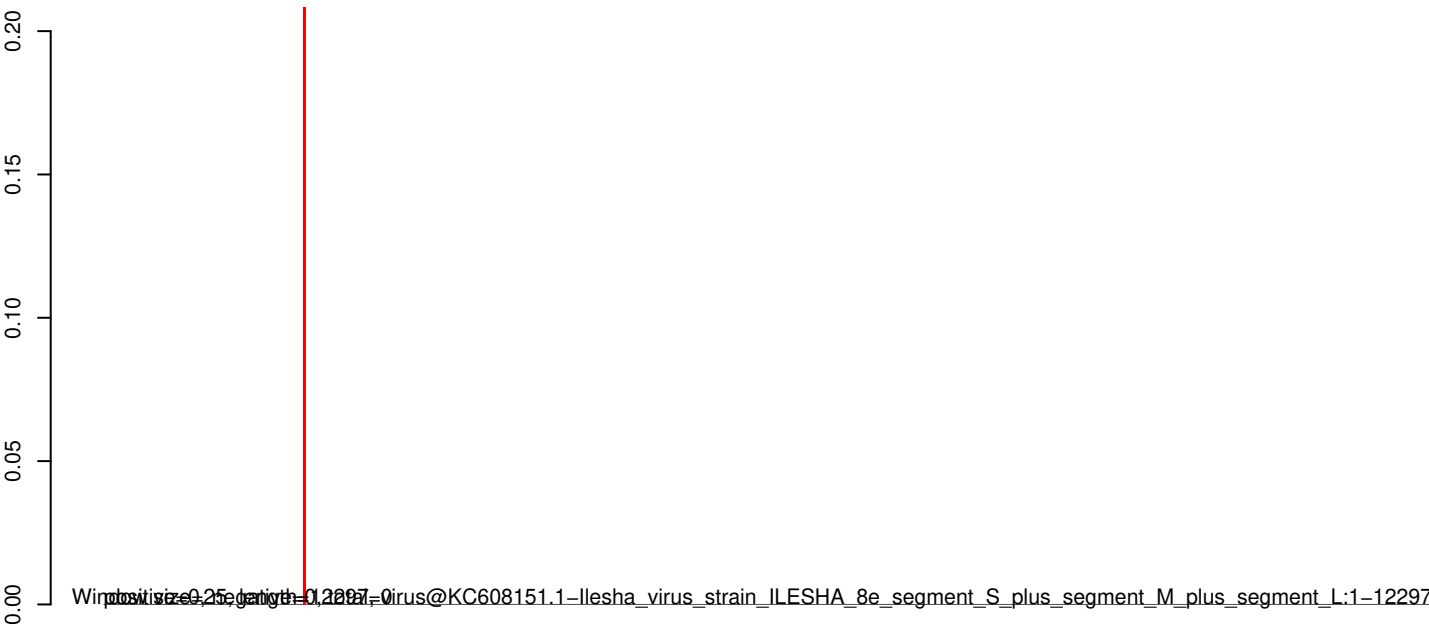
AeAeg_Whole_ZIKVdr_In2_GP.18_23.rep



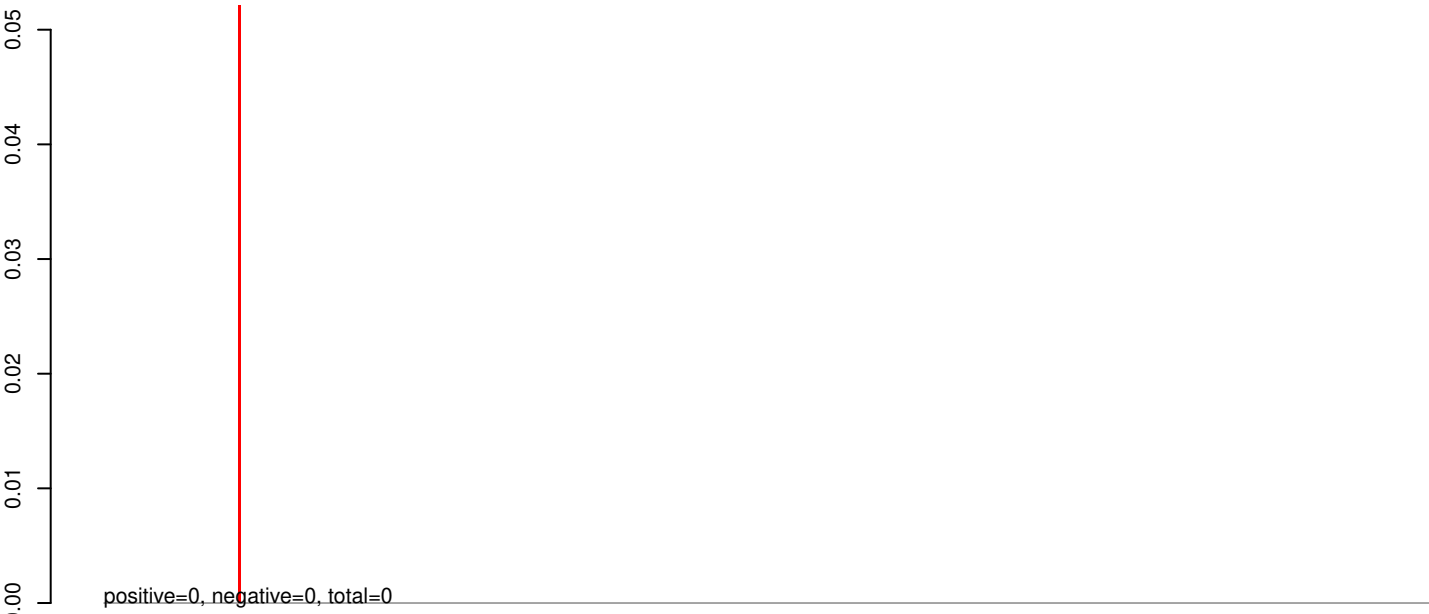
AeAeg_Whole_ZIKVdr_In2_GP.24_35.rep



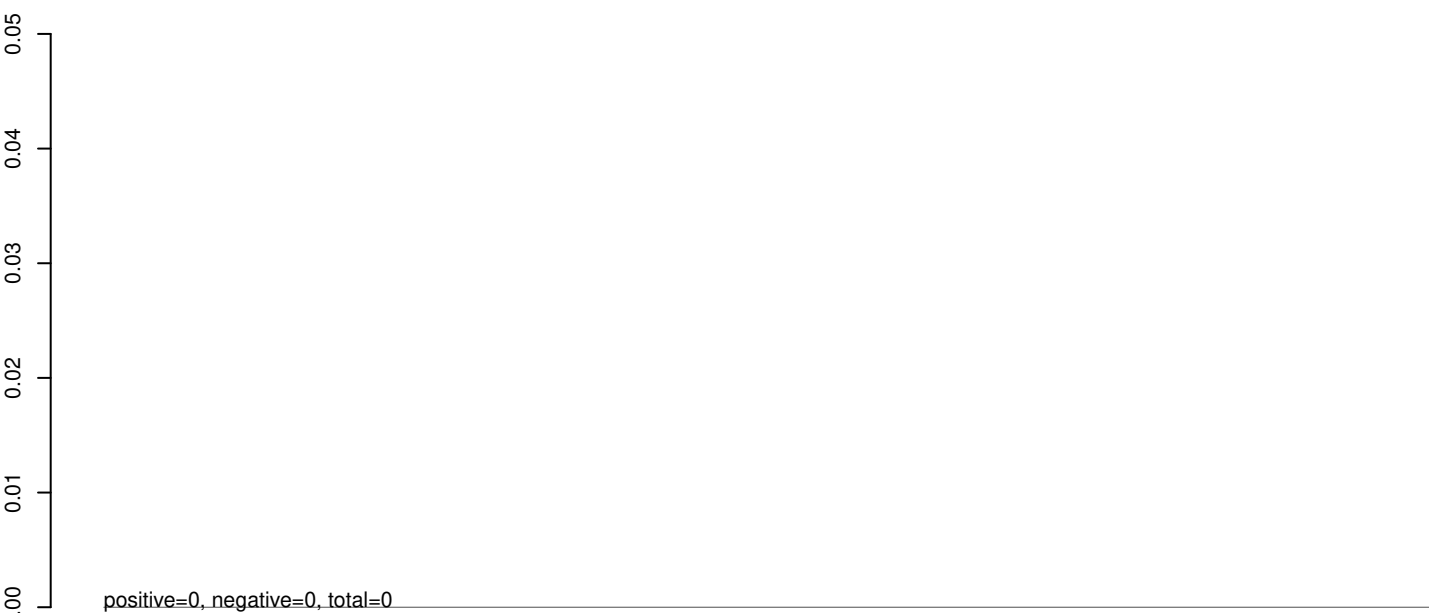
AeAeg_Whole_ZIKVdr_In2_GP.rep



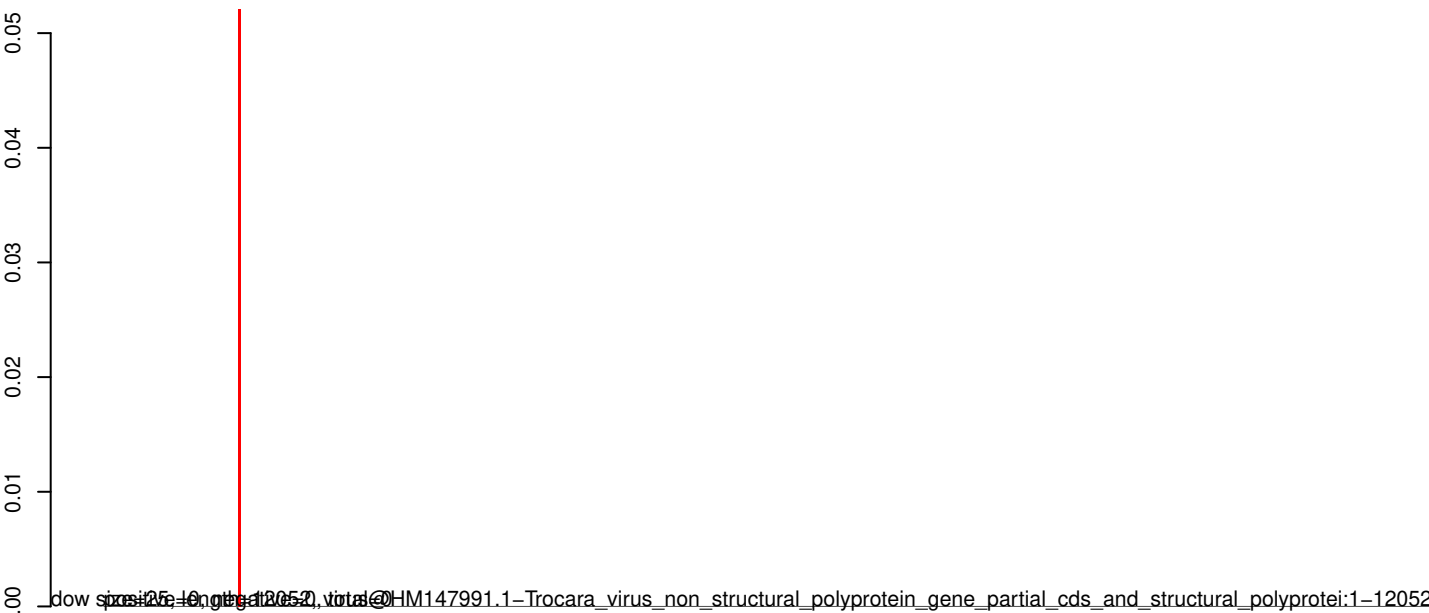
AeAeg_Whole_ZIKVdr_In2_GP.18_23.rep



AeAeg_Whole_ZIKVdr_In2_GP.24_35.rep



AeAeg_Whole_ZIKVdr_In2_GP.rep



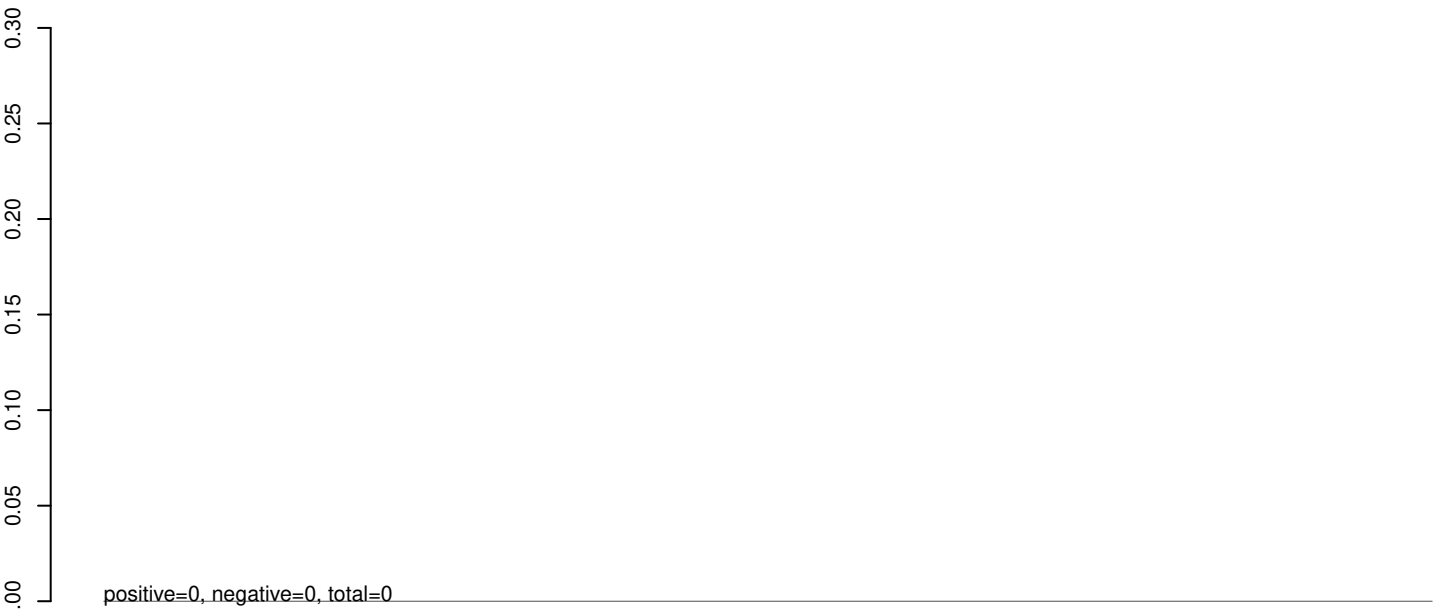
downloaded from <https://www.ncbi.nlm.nih.gov/nuccore/1250> on 12/10/2025, virus@HM147991.1-Trocaravirus_non_structural_polyprotein_gene_partial_cds_and_structural_polyprotei:1-12052

0 2000 4000 6000 8000 10000 12000

AeAeg_Whole_ZIKVdr_In2_GP.18_23.rep



AeAeg_Whole_ZIKVdr_In2_GP.24_35.rep



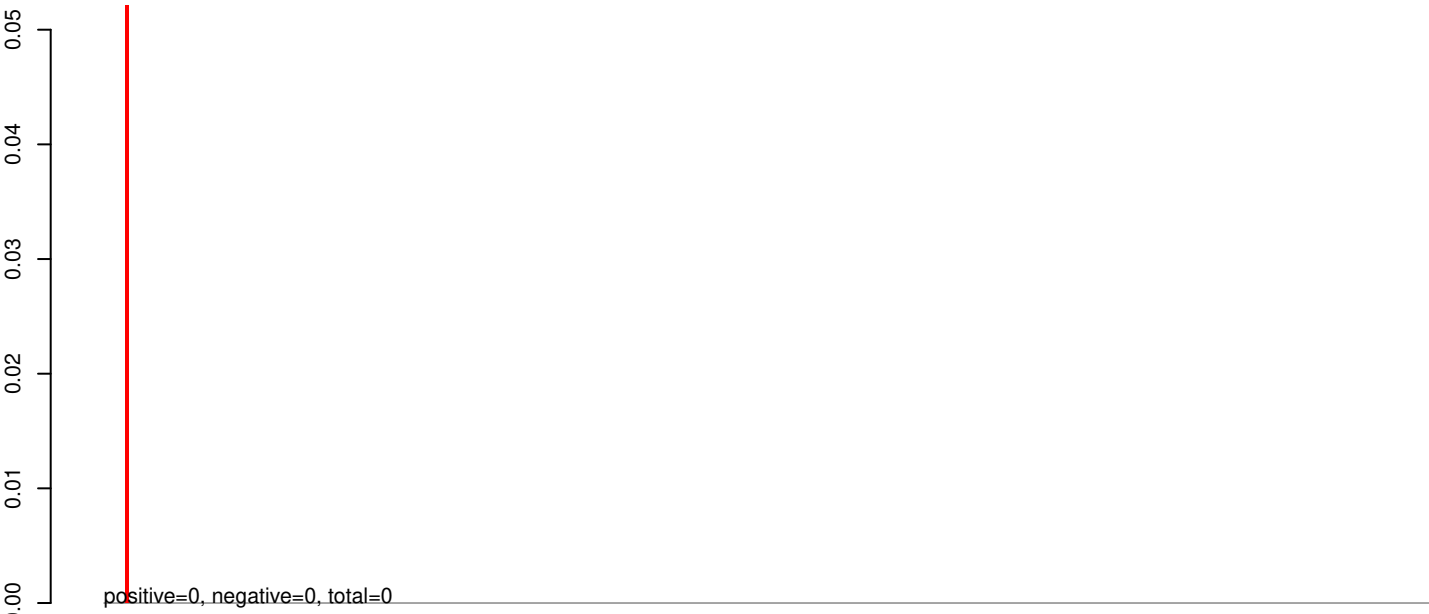
AeAeg_Whole_ZIKVdr_In2_GP.rep



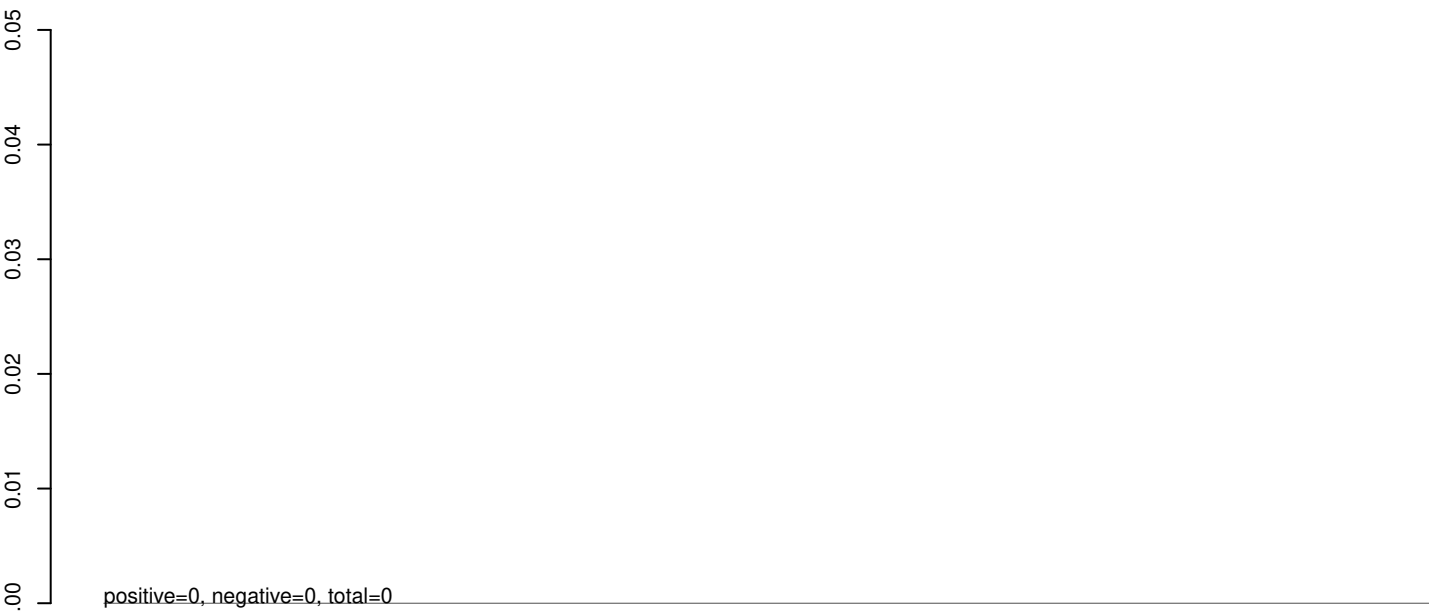
z=25 positive=4528 negative=0 total=4528 65.1-Drosophila_melanogaster_American_nodavirus_ANV_SW-2009a_segment_RNA1_and_RNA2:1-4523

0 1000 2000 3000 4000

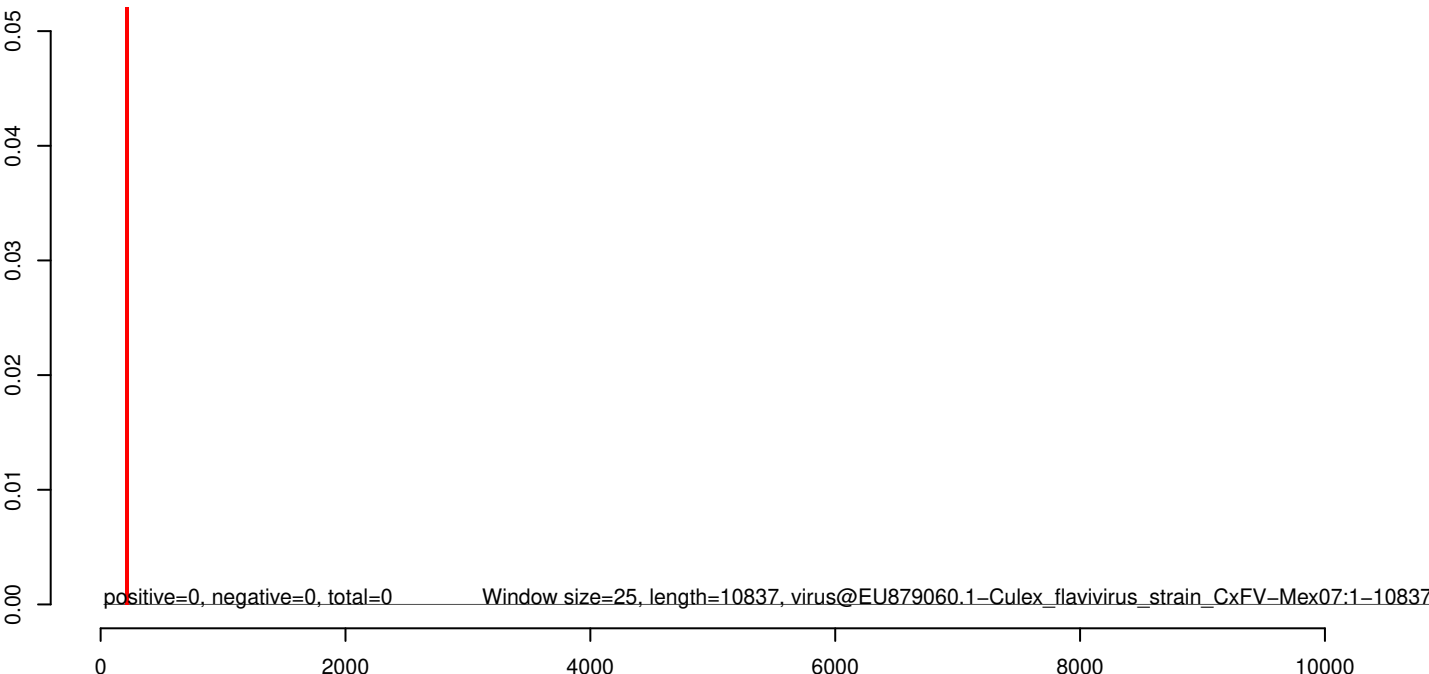
AeAeg_Whole_ZIKVdr_In2_GP.18_23.rep



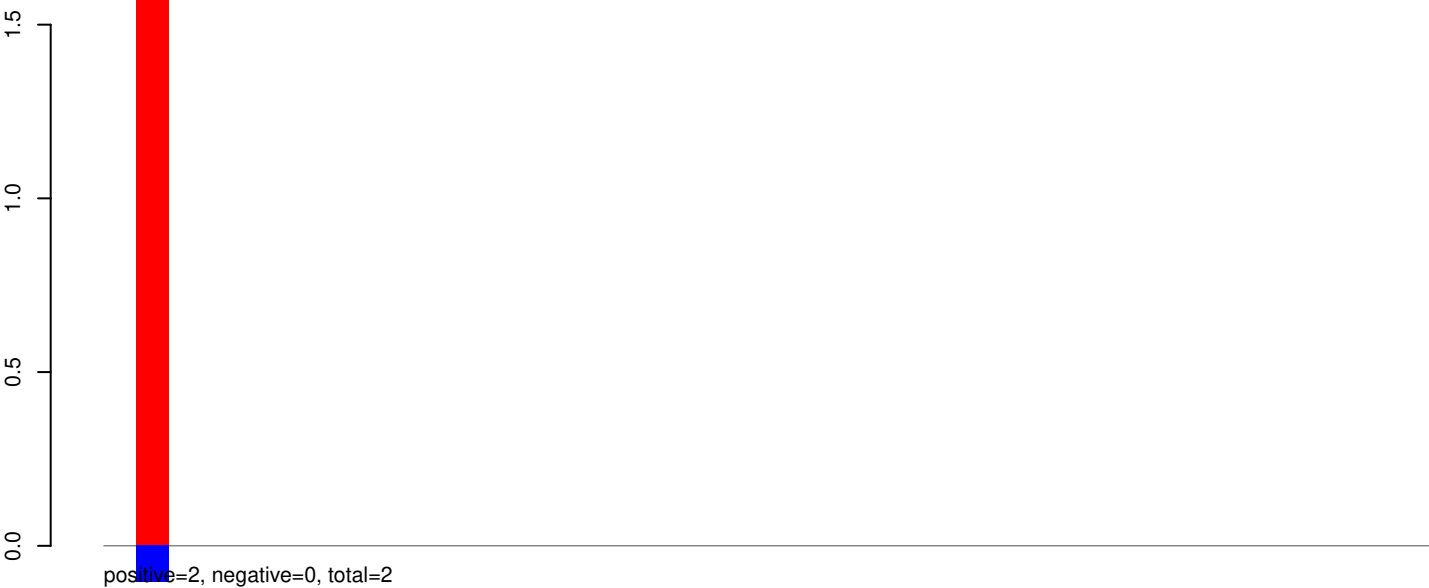
AeAeg_Whole_ZIKVdr_In2_GP.24_35.rep



AeAeg_Whole_ZIKVdr_In2_GP.rep



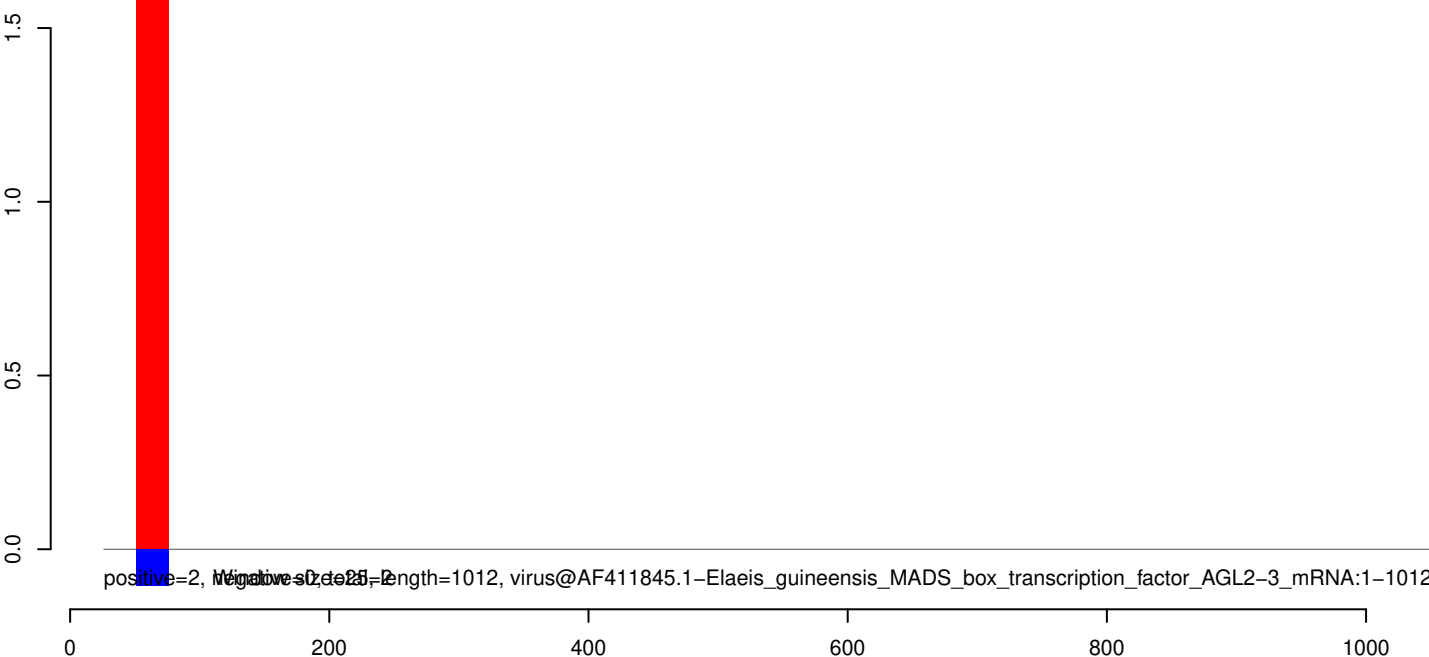
AeAeg_Whole_ZIKVdr_In2_GP.18_23.rep



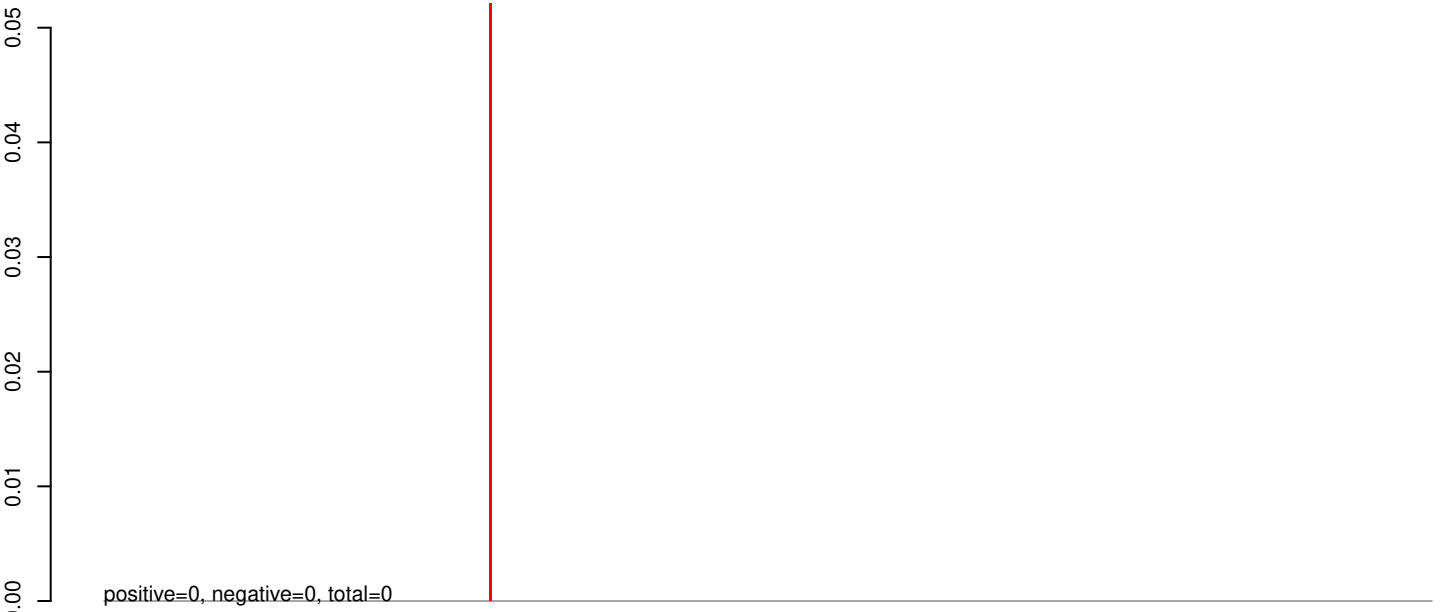
AeAeg_Whole_ZIKVdr_In2_GP.24_35.rep



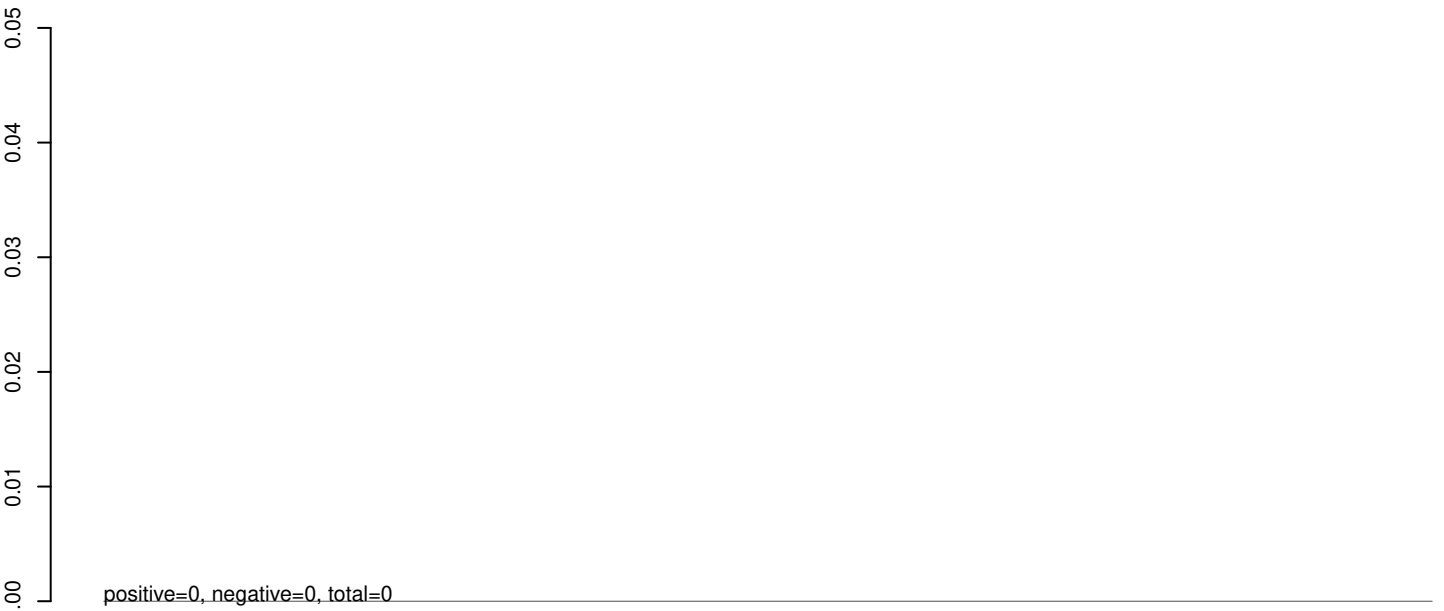
AeAeg_Whole_ZIKVdr_In2_GP.rep



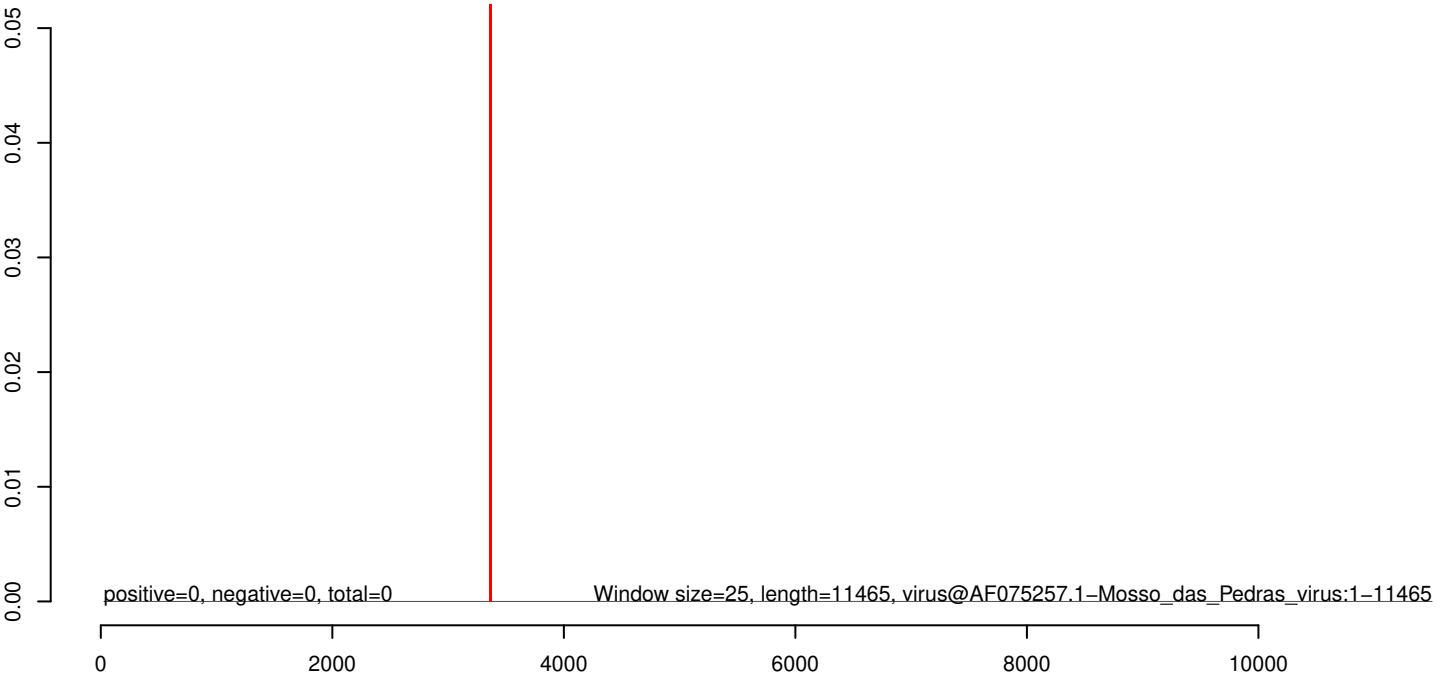
AeAeg_Whole_ZIKVdr_In2_GP.18_23.rep



AeAeg_Whole_ZIKVdr_In2_GP.24_35.rep



AeAeg_Whole_ZIKVdr_In2_GP.rep



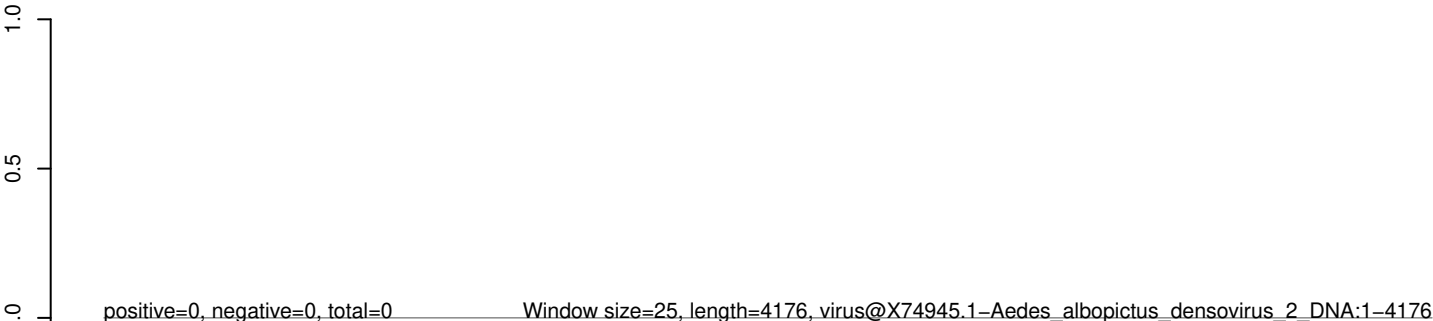
AeAeg_Whole_ZIKVdr_In2_GP.18_23.rep



AeAeg_Whole_ZIKVdr_In2_GP.24_35.rep



AeAeg_Whole_ZIKVdr_In2_GP.rep



0 1000 2000 3000 4000

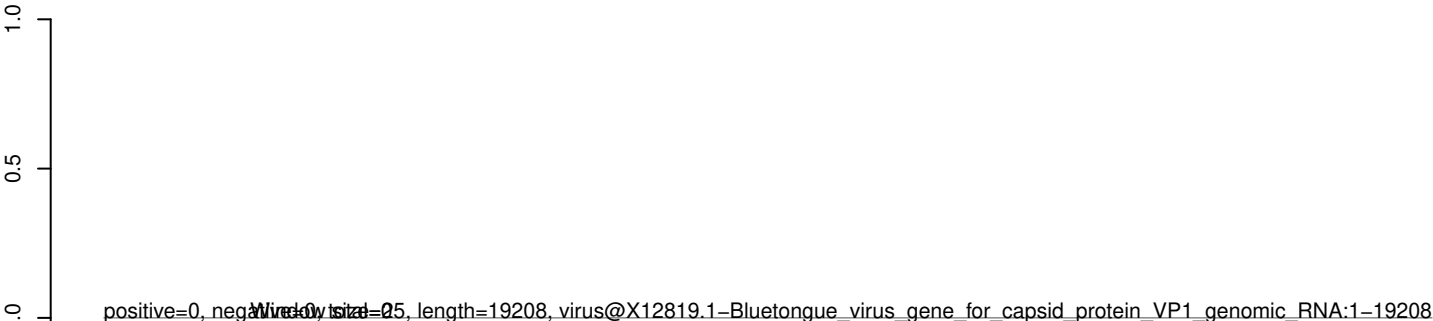
AeAeg_Whole_ZIKVdr_In2_GP.18_23.rep



AeAeg_Whole_ZIKVdr_In2_GP.24_35.rep



AeAeg_Whole_ZIKVdr_In2_GP.rep



0 5000 10000 15000 20000

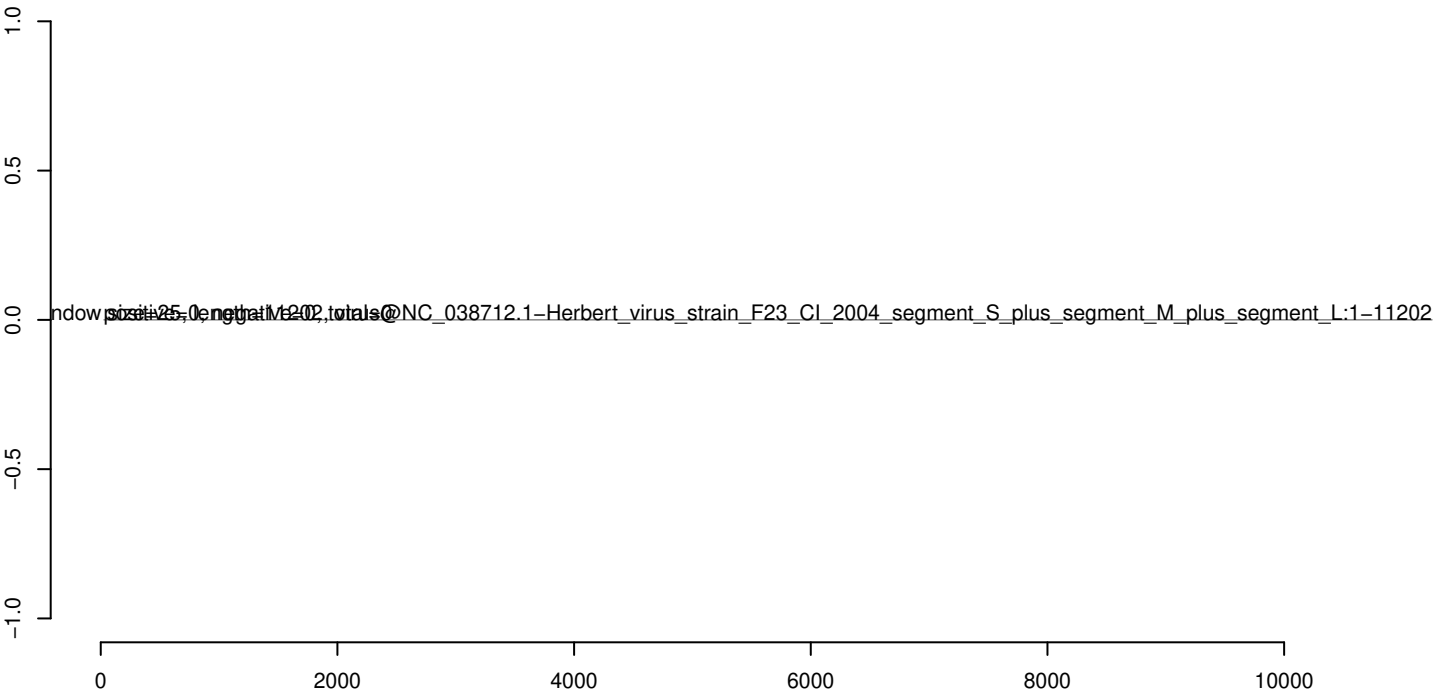
AeAeg_Whole_ZIKVdr_In2_GP.18_23.rep



AeAeg_Whole_ZIKVdr_In2_GP.24_35.rep



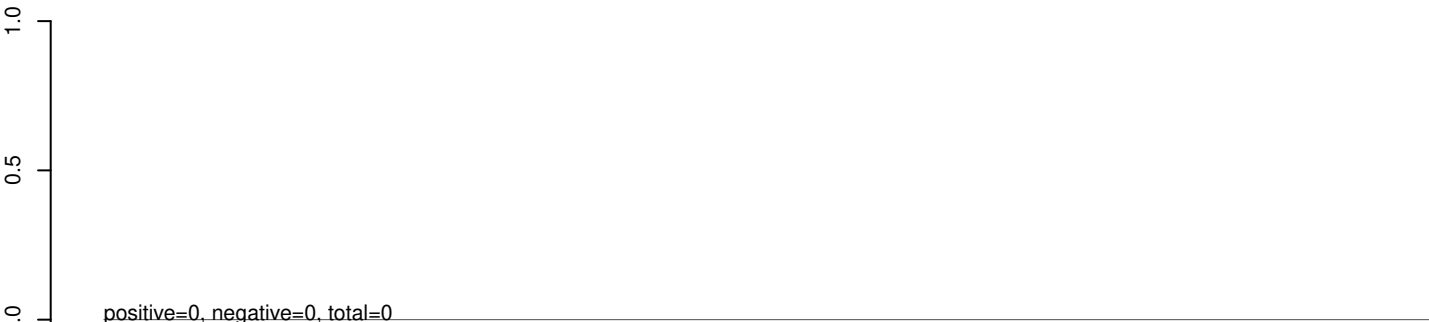
AeAeg_Whole_ZIKVdr_In2_GP.rep



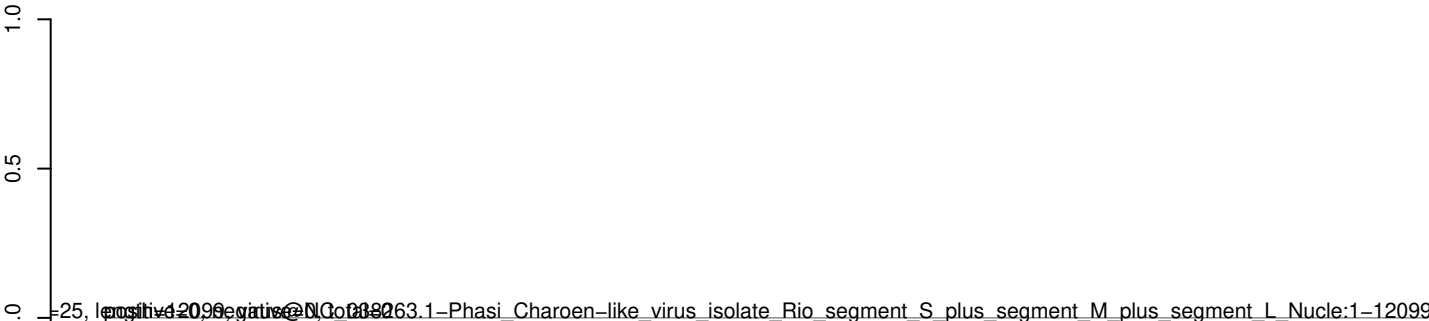
AeAeg_Whole_ZIKVdr_In2_GP.18_23.rep



AeAeg_Whole_ZIKVdr_In2_GP.24_35.rep



AeAeg_Whole_ZIKVdr_In2_GP.rep



0 2000 4000 6000 8000 10000 12000

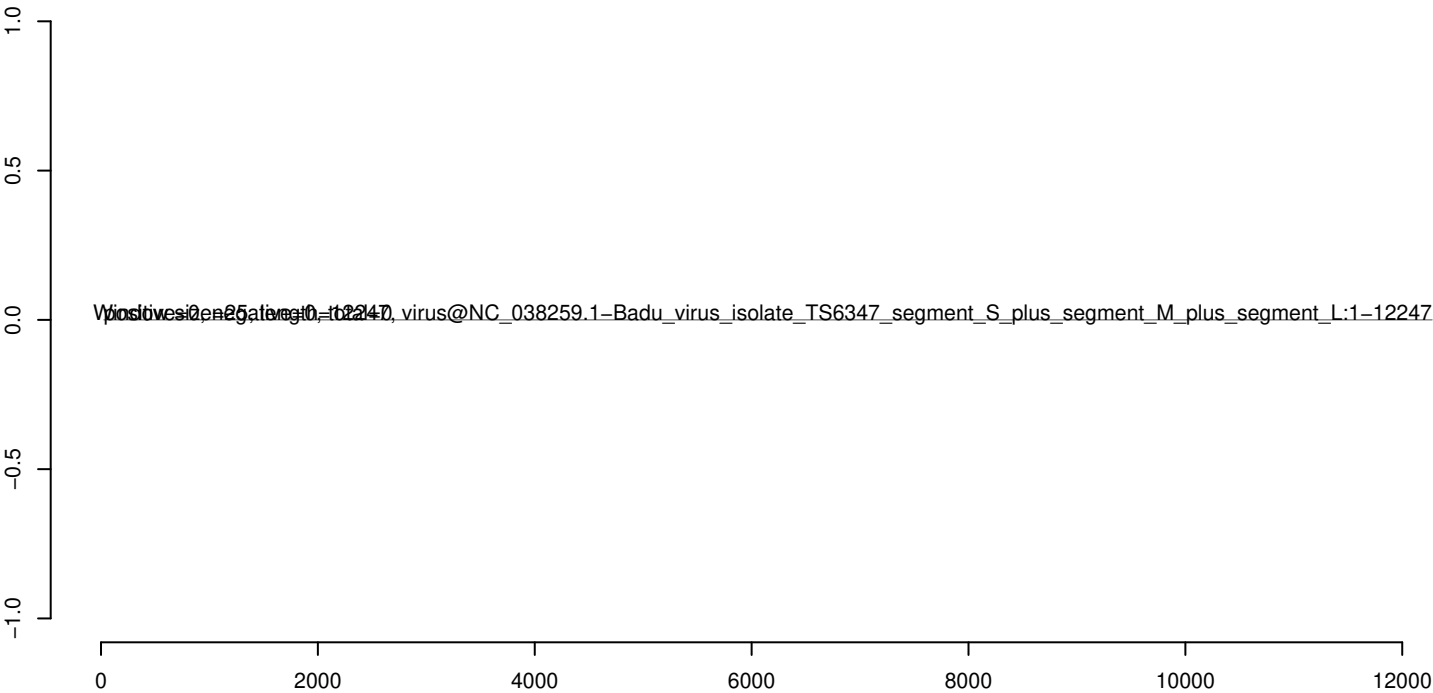
AeAeg_Whole_ZIKVdr_In2_GP.18_23.rep



AeAeg_Whole_ZIKVdr_In2_GP.24_35.rep



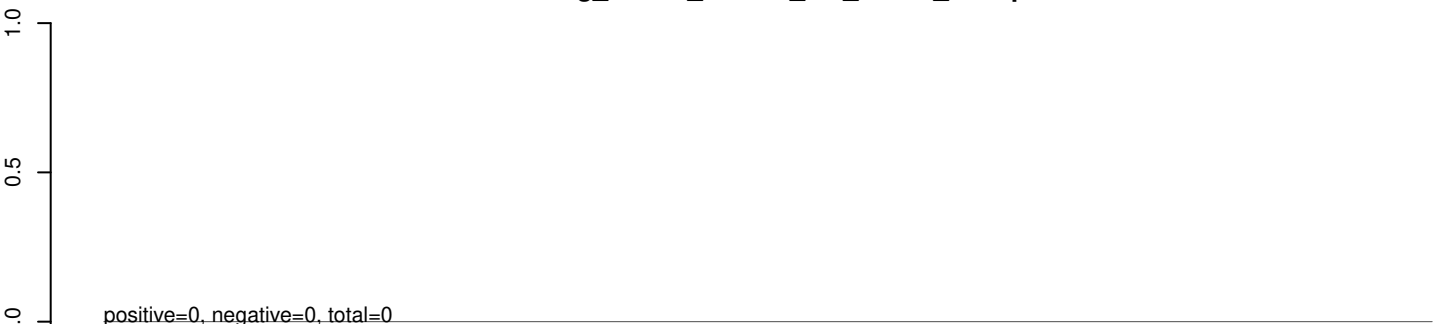
AeAeg_Whole_ZIKVdr_In2_GP.rep



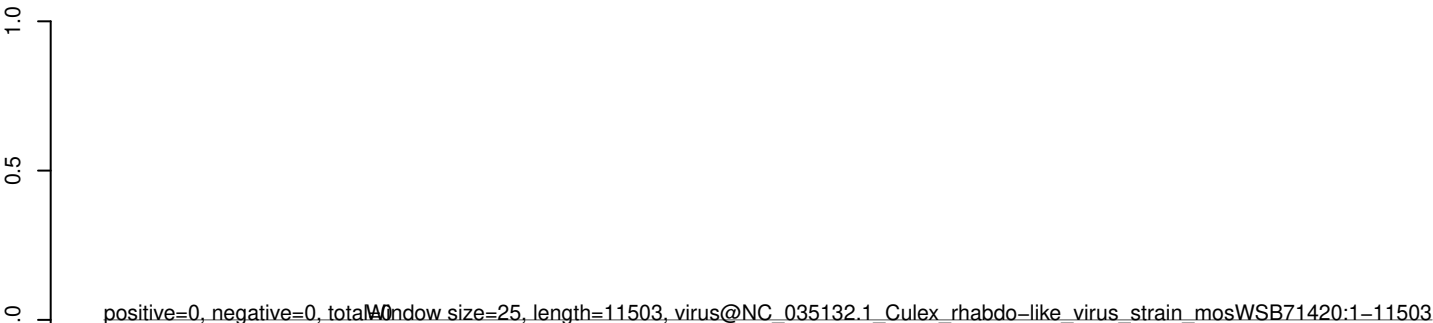
AeAeg_Whole_ZIKVdr_In2_GP.18_23.rep



AeAeg_Whole_ZIKVdr_In2_GP.24_35.rep



AeAeg_Whole_ZIKVdr_In2_GP.rep



0 2000 4000 6000 8000 10000 12000

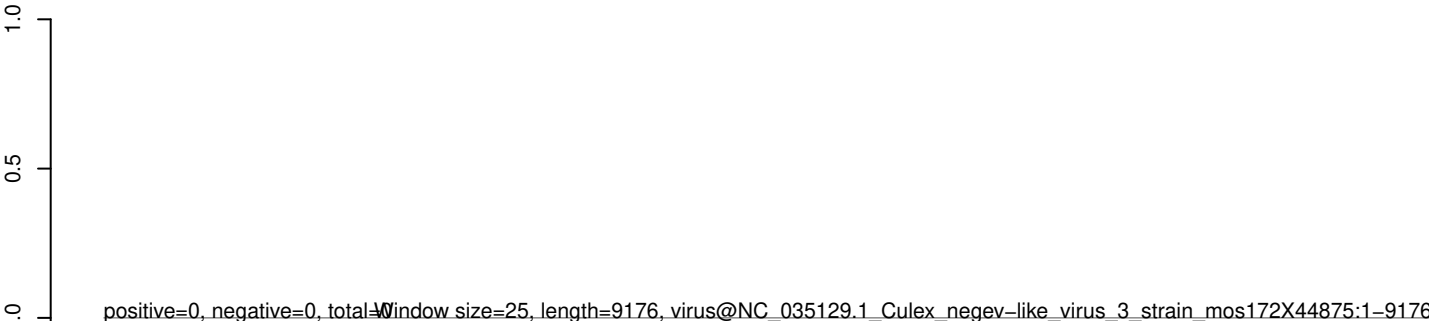
AeAeg_Whole_ZIKVdr_In2_GP.18_23.rep



AeAeg_Whole_ZIKVdr_In2_GP.24_35.rep



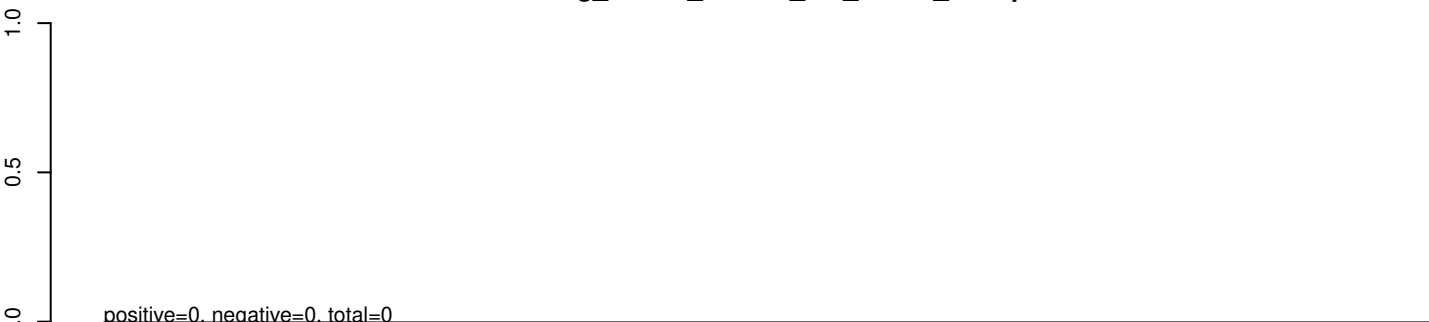
AeAeg_Whole_ZIKVdr_In2_GP.rep



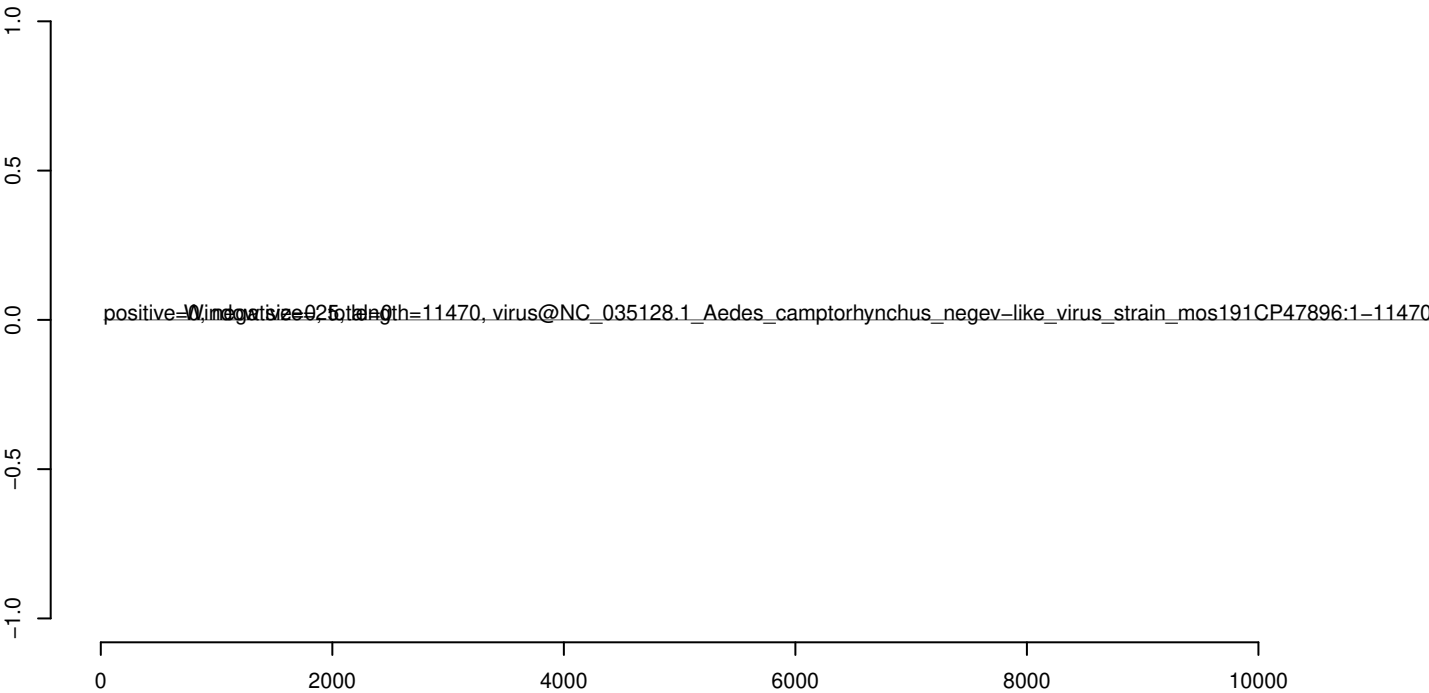
AeAeg_Whole_ZIKVdr_In2_GP.18_23.rep



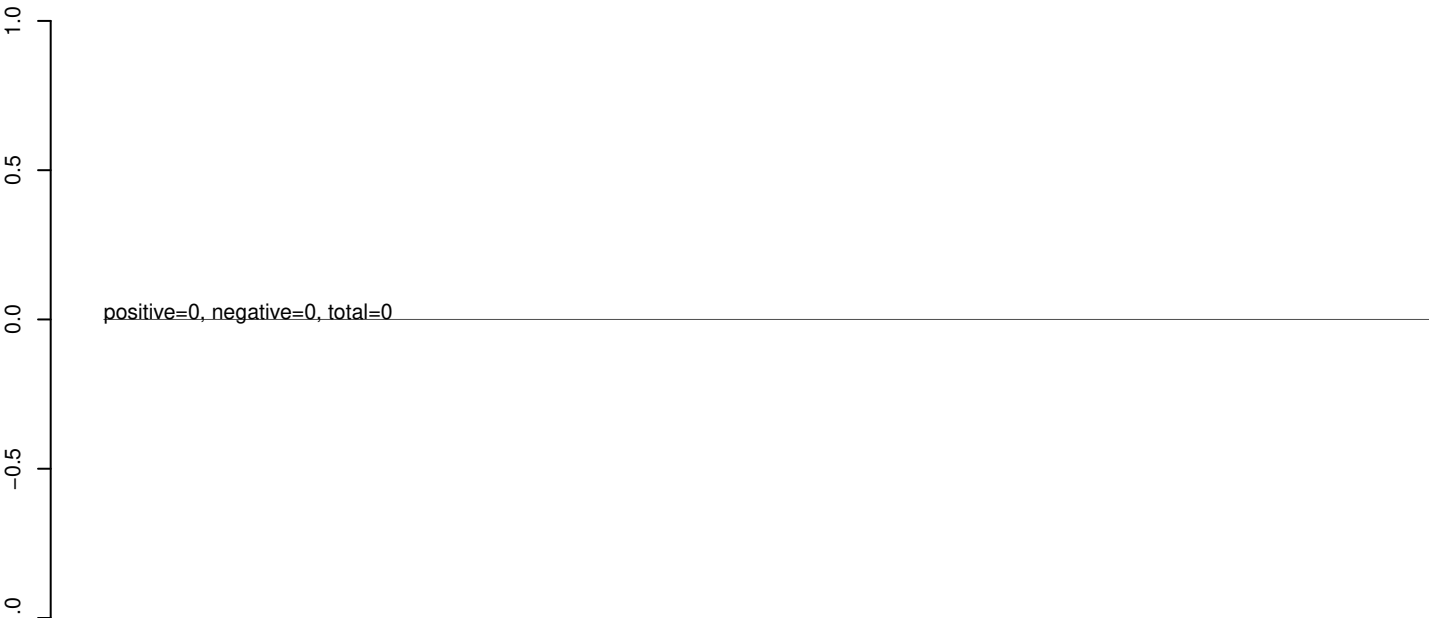
AeAeg_Whole_ZIKVdr_In2_GP.24_35.rep



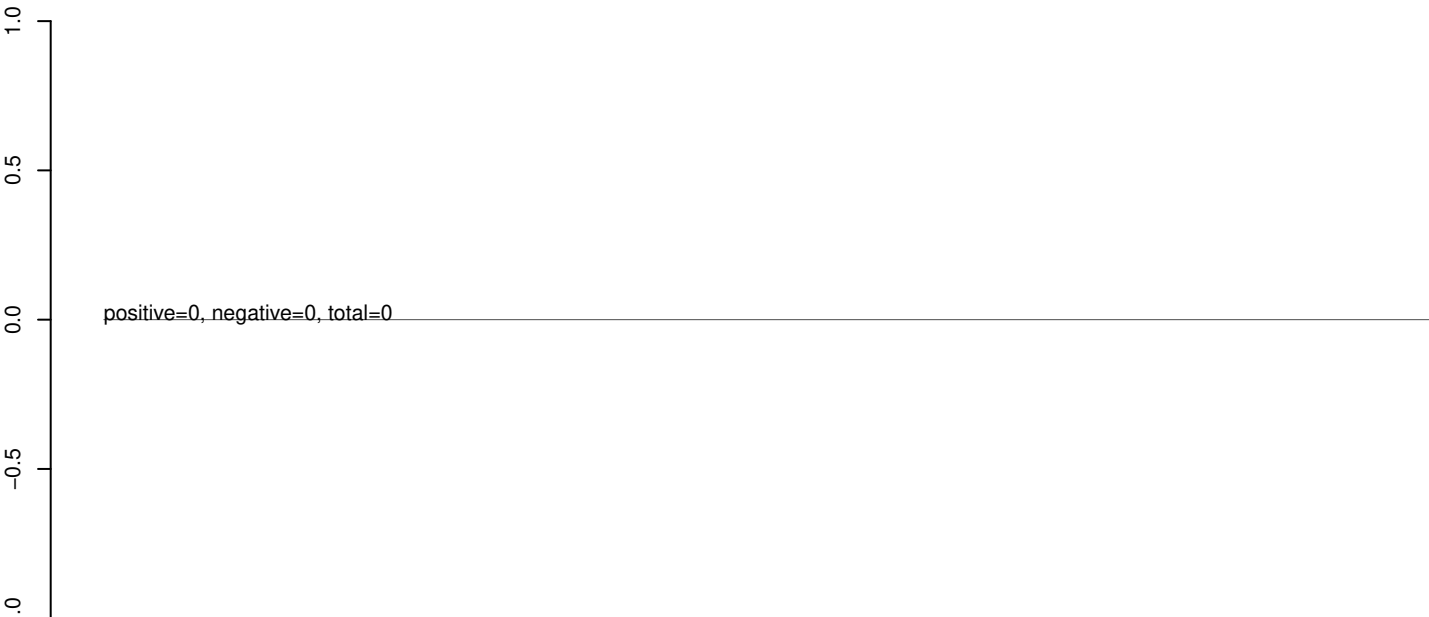
AeAeg_Whole_ZIKVdr_In2_GP.rep



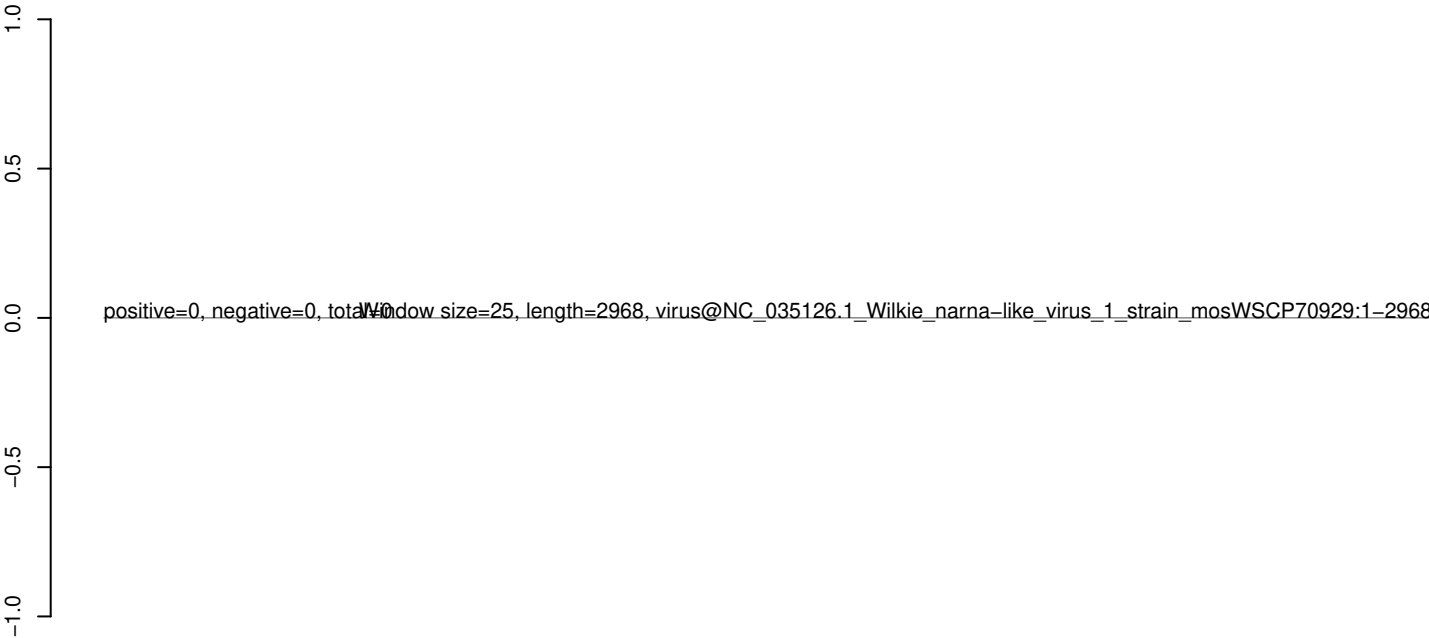
AeAeg_Whole_ZIKVdr_In2_GP.18_23.rep



AeAeg_Whole_ZIKVdr_In2_GP.24_35.rep



AeAeg_Whole_ZIKVdr_In2_GP.rep



0 500 1000 1500 2000 2500 3000

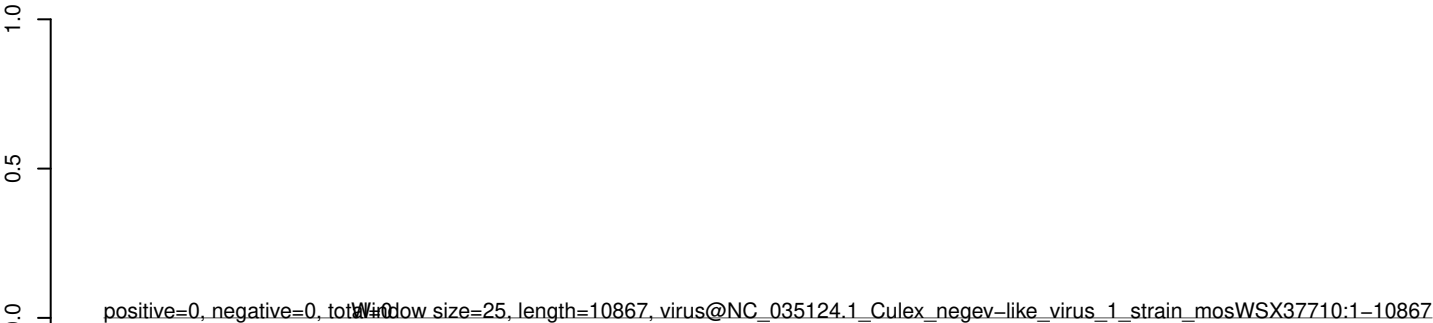
AeAeg_Whole_ZIKVdr_In2_GP.18_23.rep



AeAeg_Whole_ZIKVdr_In2_GP.24_35.rep



AeAeg_Whole_ZIKVdr_In2_GP.rep



0 2000 4000 6000 8000 10000

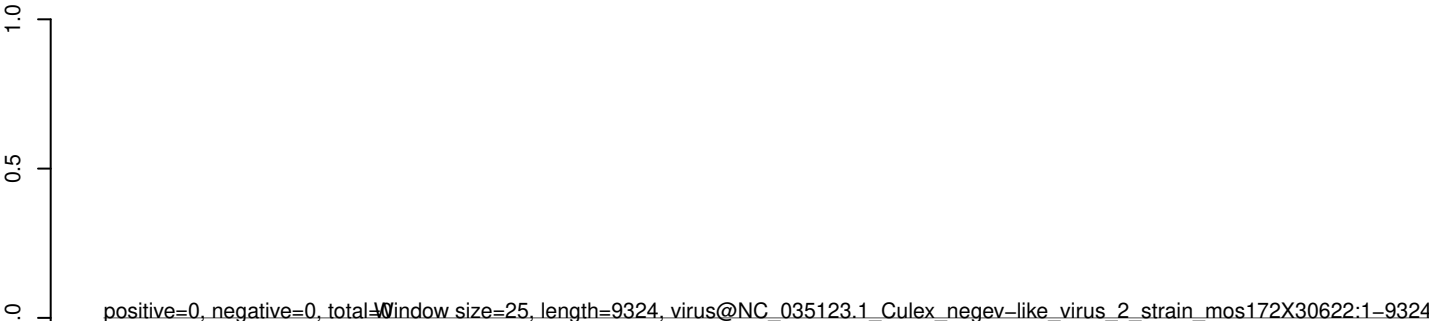
AeAeg_Whole_ZIKVdr_In2_GP.18_23.rep



AeAeg_Whole_ZIKVdr_In2_GP.24_35.rep



AeAeg_Whole_ZIKVdr_In2_GP.rep

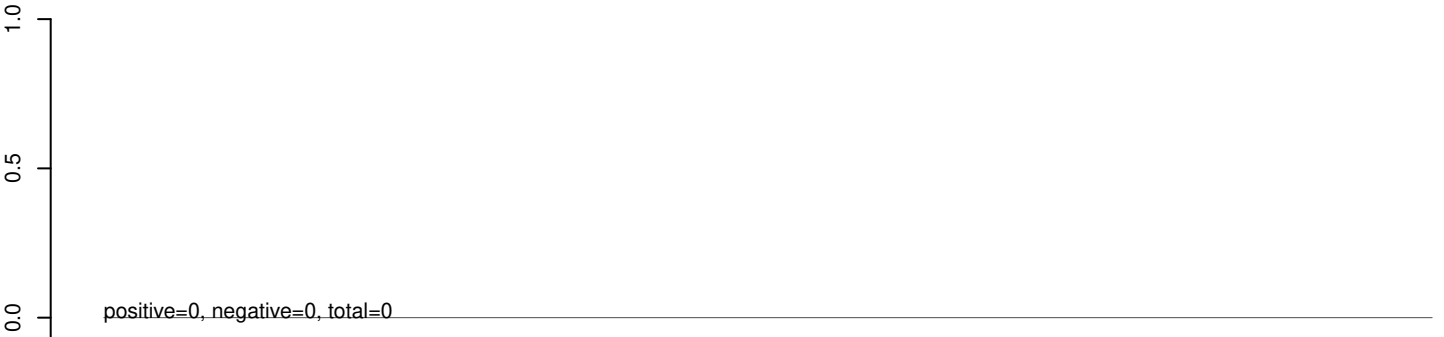


0 2000 4000 6000 8000

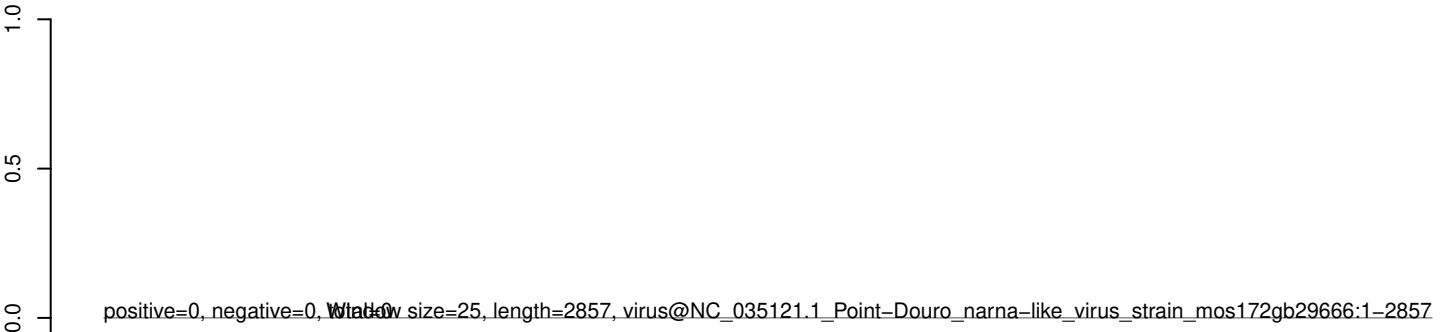
AeAeg_Whole_ZIKVdr_In2_GP.18_23.rep



AeAeg_Whole_ZIKVdr_In2_GP.24_35.rep



AeAeg_Whole_ZIKVdr_In2_GP.rep



0 500 1000 1500 2000 2500 3000

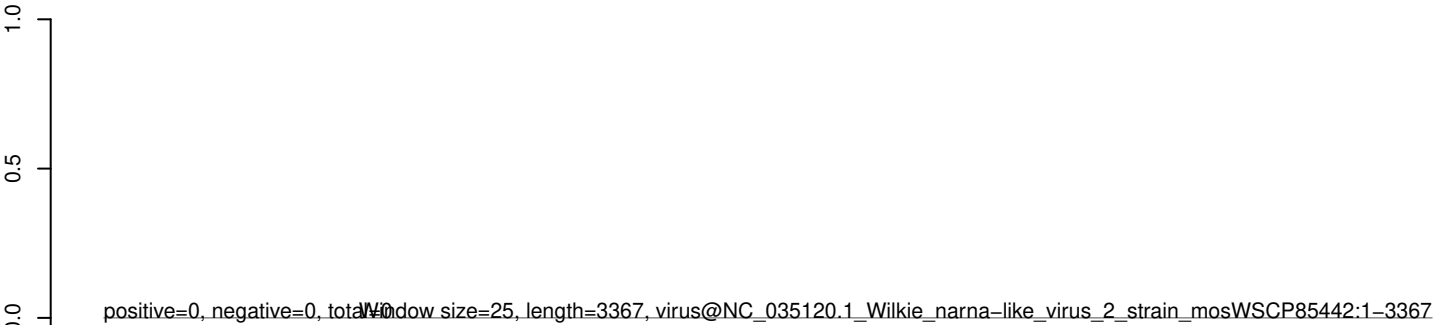
AeAeg_Whole_ZIKVdr_In2_GP.18_23.rep



AeAeg_Whole_ZIKVdr_In2_GP.24_35.rep



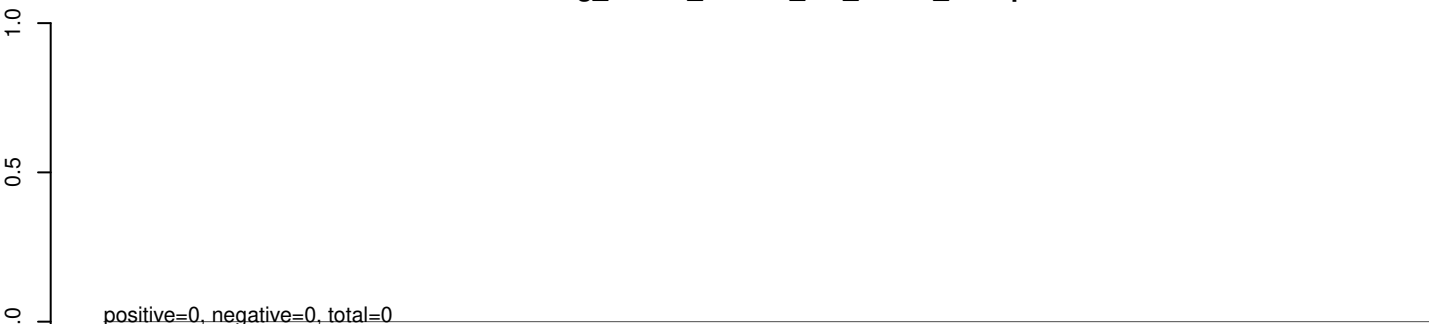
AeAeg_Whole_ZIKVdr_In2_GP.rep



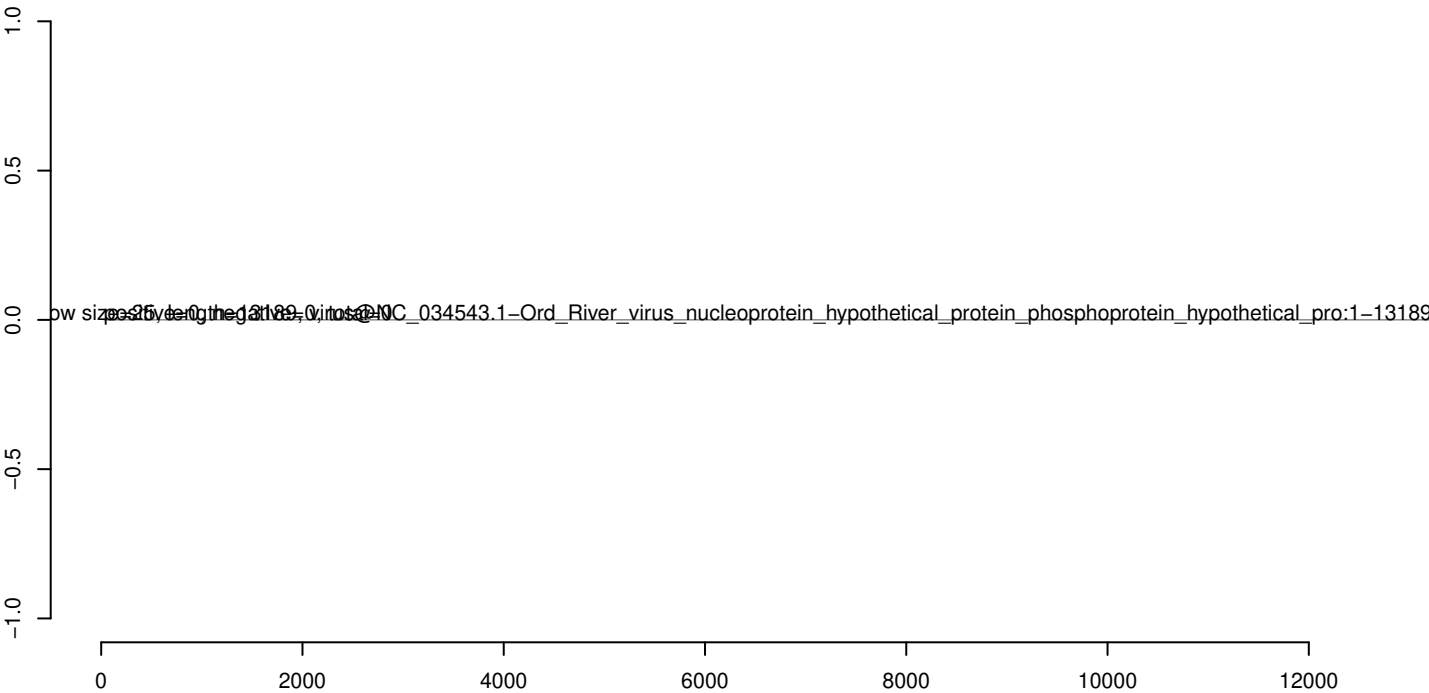
AeAeg_Whole_ZIKVdr_In2_GP.18_23.rep



AeAeg_Whole_ZIKVdr_In2_GP.24_35.rep



AeAeg_Whole_ZIKVdr_In2_GP.rep



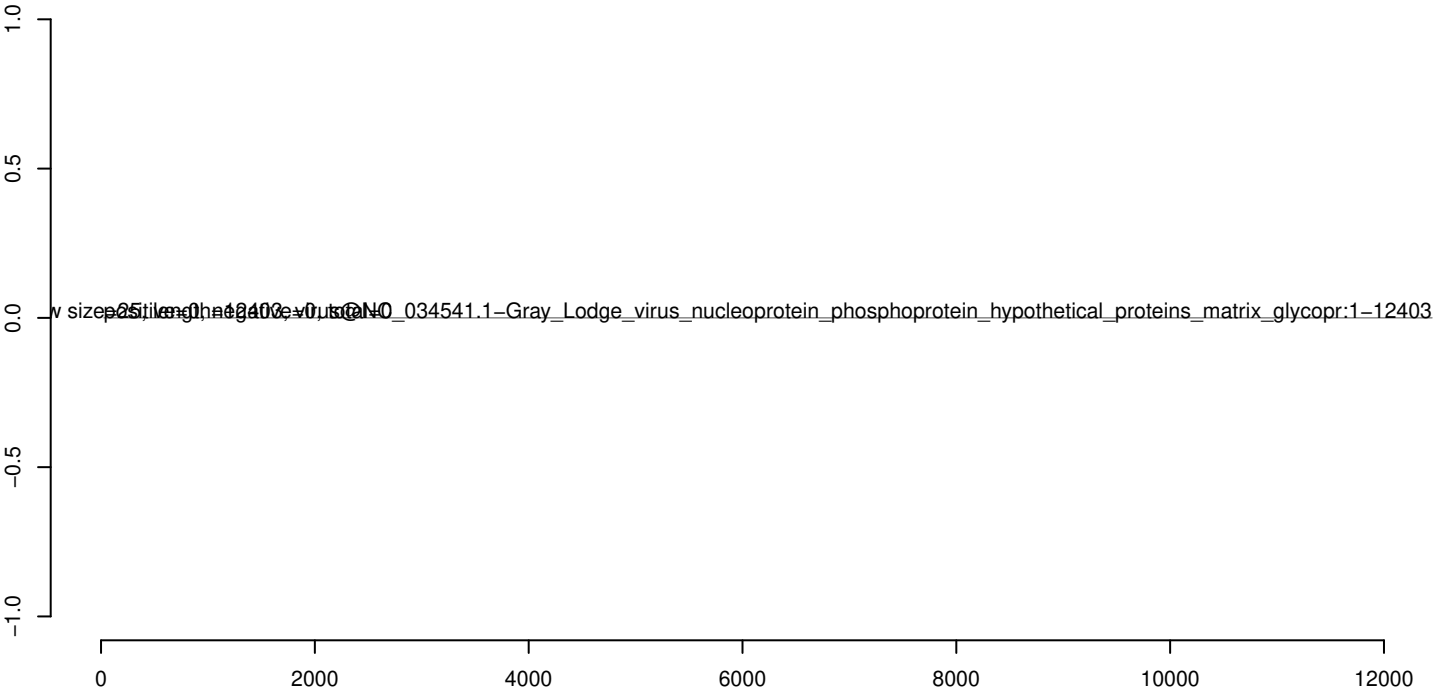
AeAeg_Whole_ZIKVdr_In2_GP.18_23.rep



AeAeg_Whole_ZIKVdr_In2_GP.24_35.rep



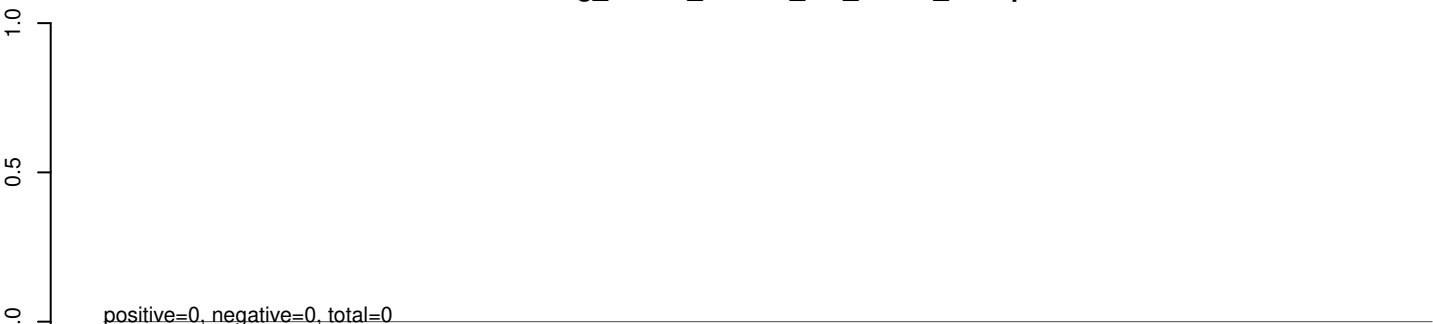
AeAeg_Whole_ZIKVdr_In2_GP.rep



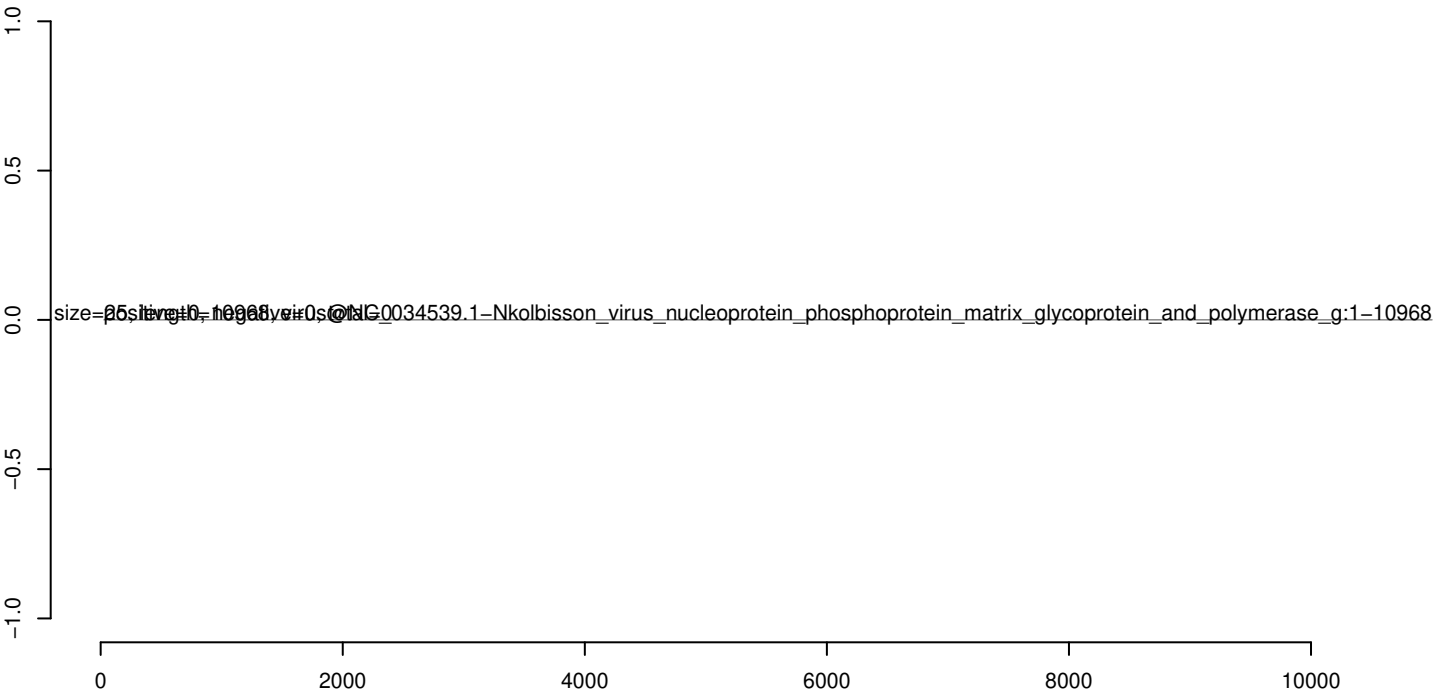
AeAeg_Whole_ZIKVdr_In2_GP.18_23.rep



AeAeg_Whole_ZIKVdr_In2_GP.24_35.rep



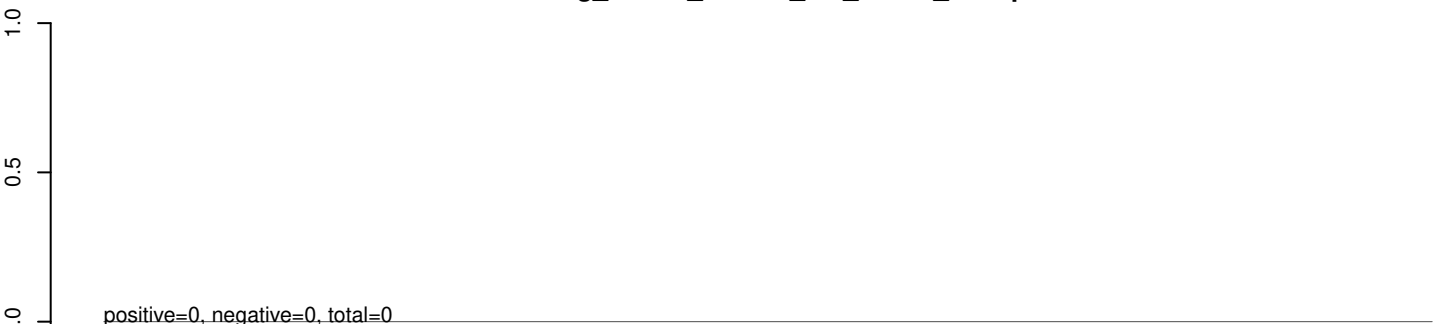
AeAeg_Whole_ZIKVdr_In2_GP.rep



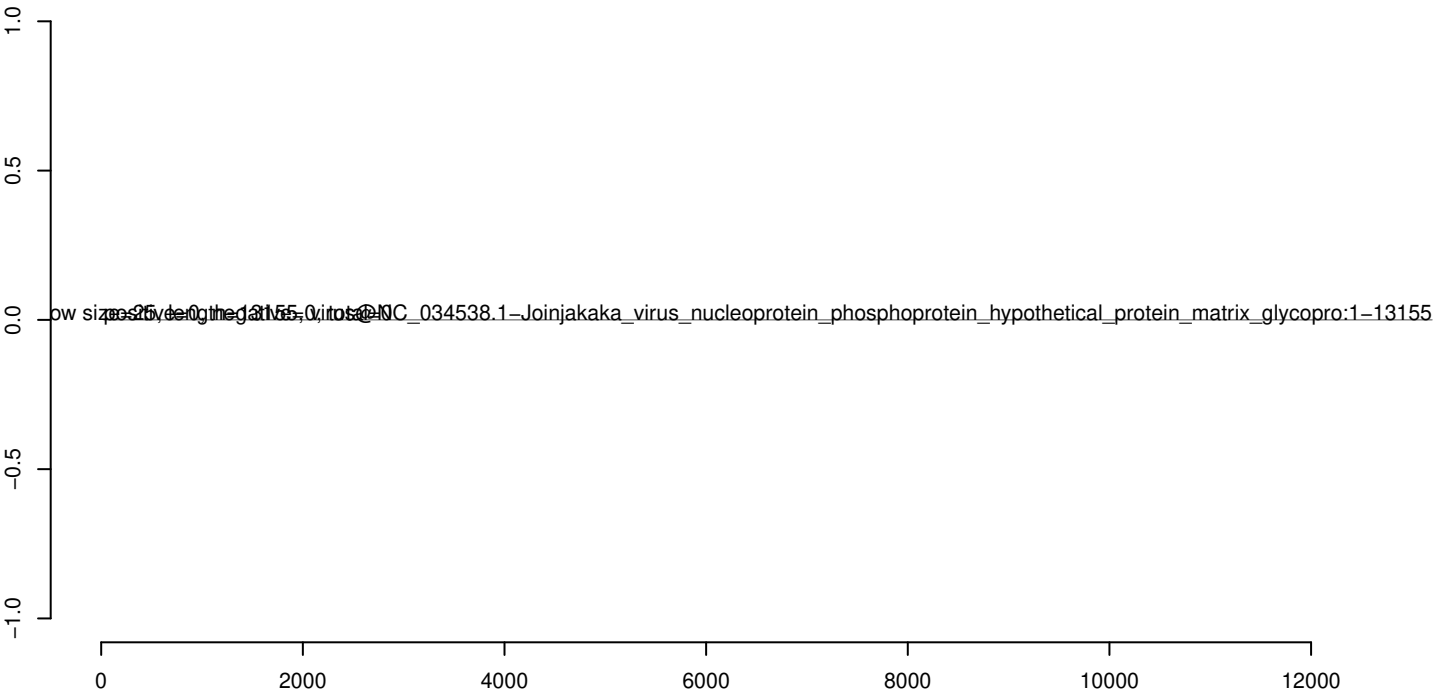
AeAeg_Whole_ZIKVdr_In2_GP.18_23.rep



AeAeg_Whole_ZIKVdr_In2_GP.24_35.rep



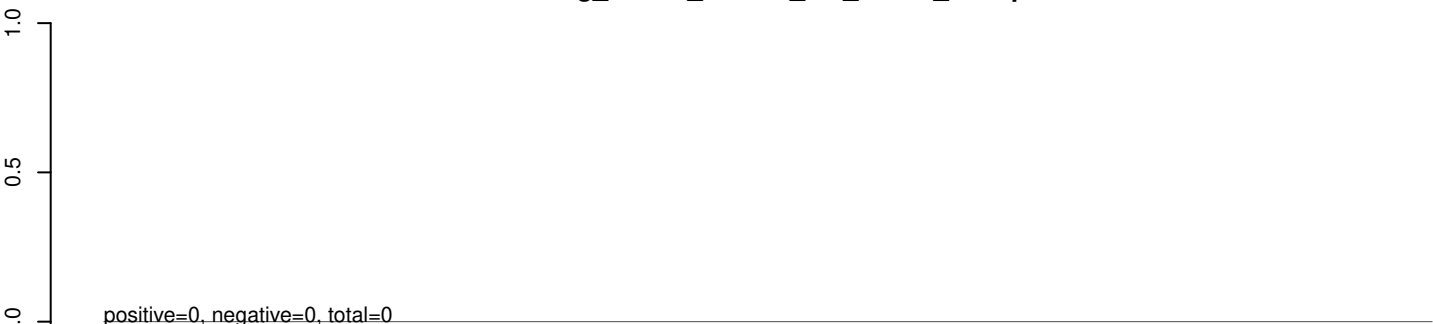
AeAeg_Whole_ZIKVdr_In2_GP.rep



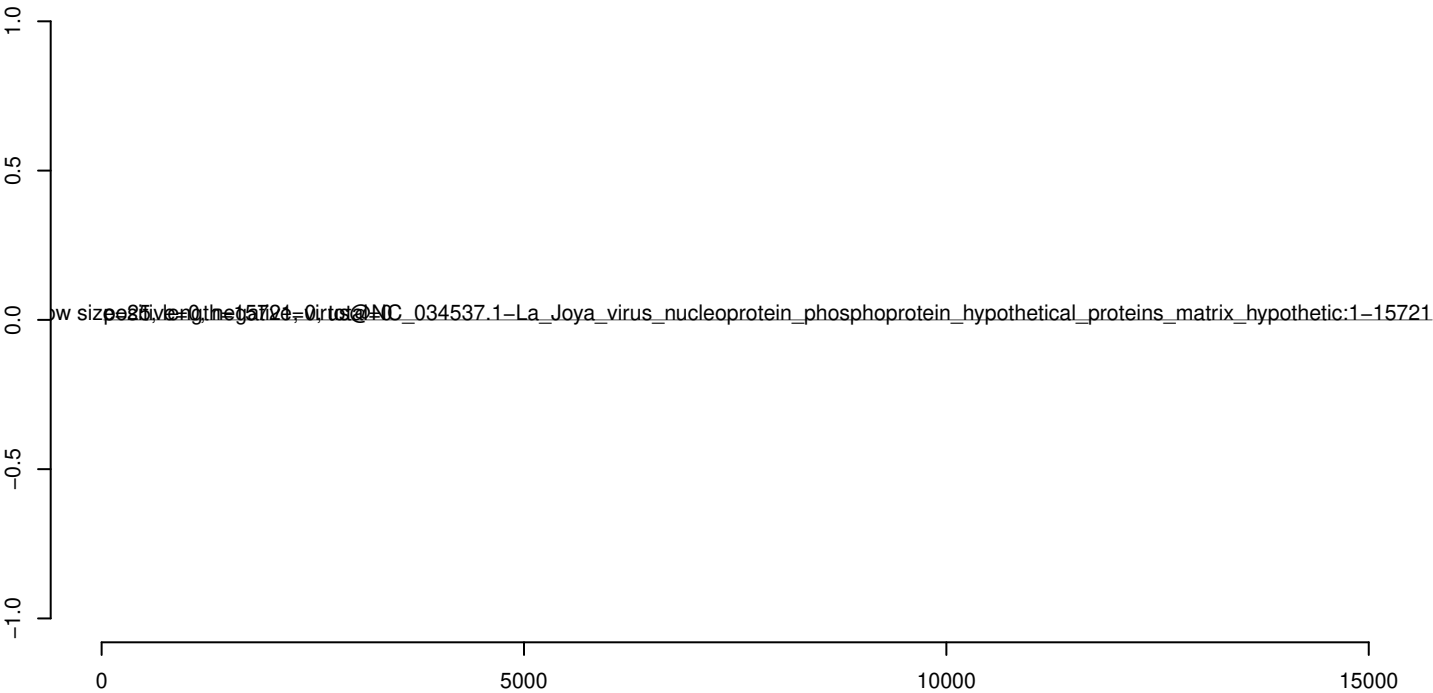
AeAeg_Whole_ZIKVdr_In2_GP.18_23.rep



AeAeg_Whole_ZIKVdr_In2_GP.24_35.rep



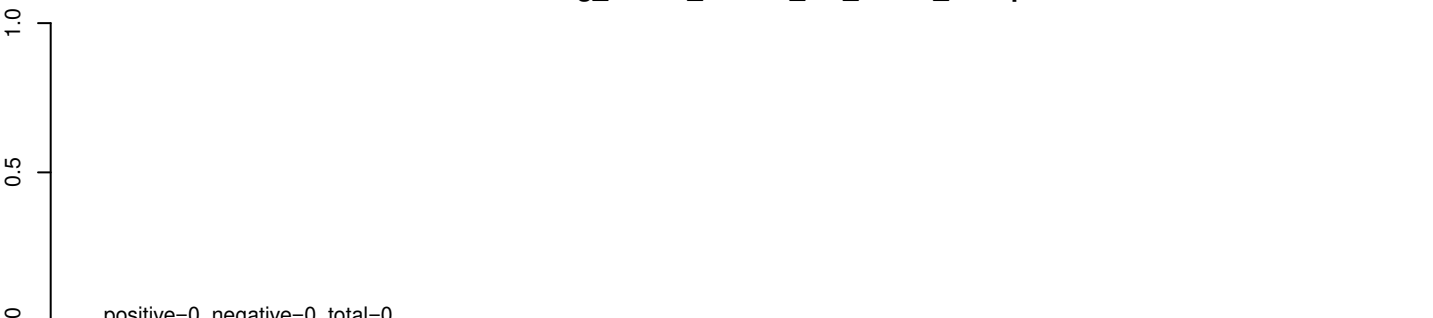
AeAeg_Whole_ZIKVdr_In2_GP.rep



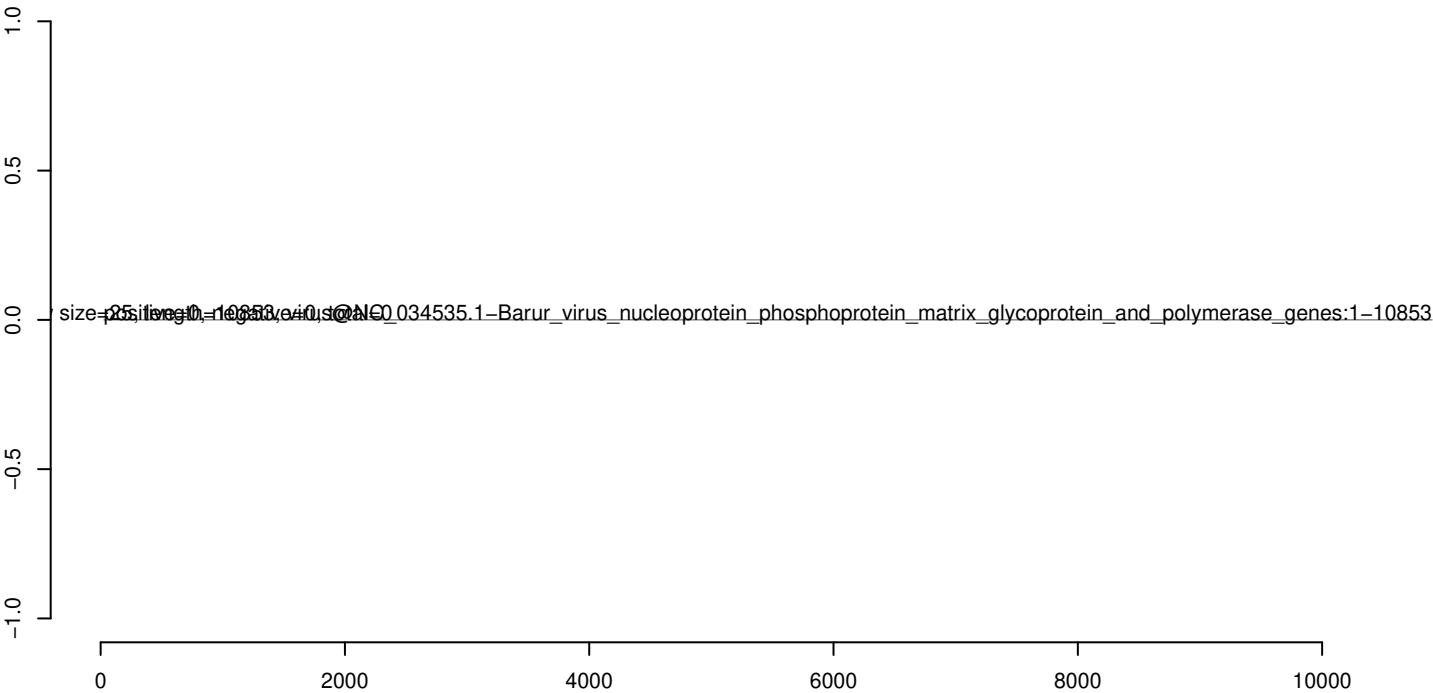
AeAeg_Whole_ZIKVdr_In2_GP.18_23.rep



AeAeg_Whole_ZIKVdr_In2_GP.24_35.rep



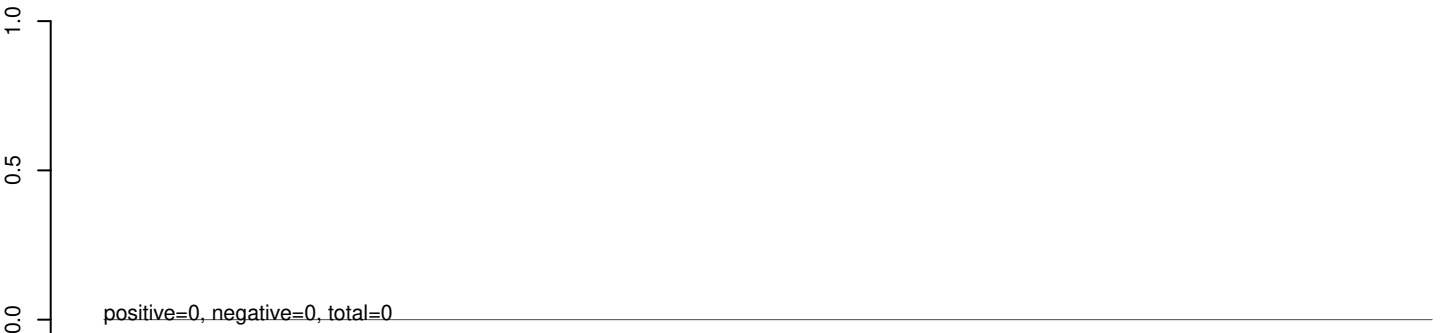
AeAeg_Whole_ZIKVdr_In2_GP.rep



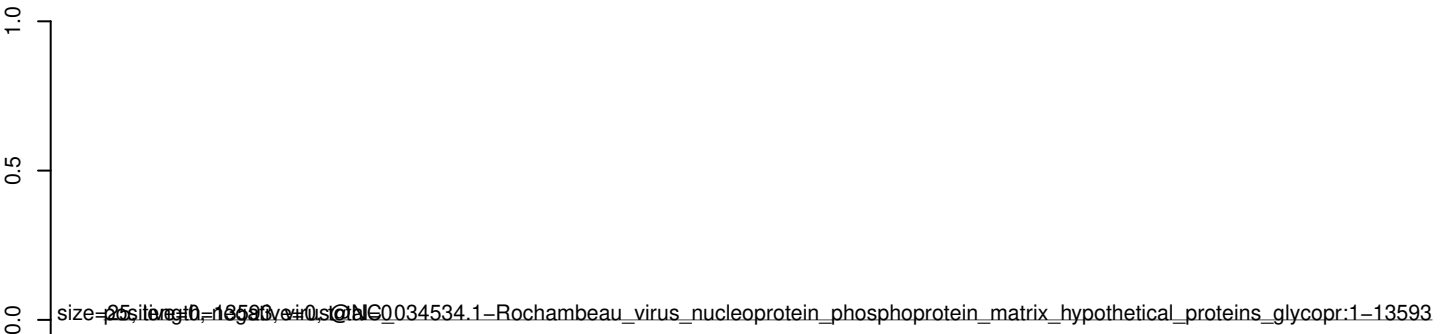
AeAeg_Whole_ZIKVdr_In2_GP.18_23.rep



AeAeg_Whole_ZIKVdr_In2_GP.24_35.rep



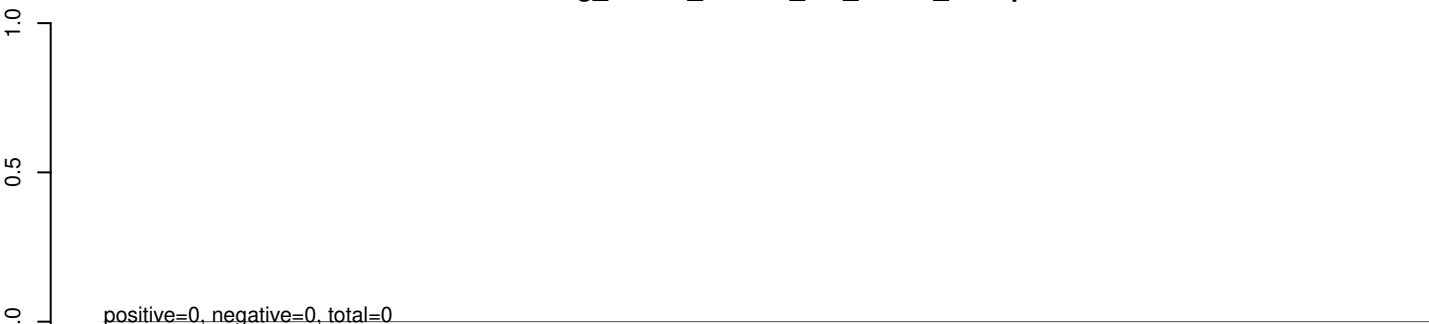
AeAeg_Whole_ZIKVdr_In2_GP.rep



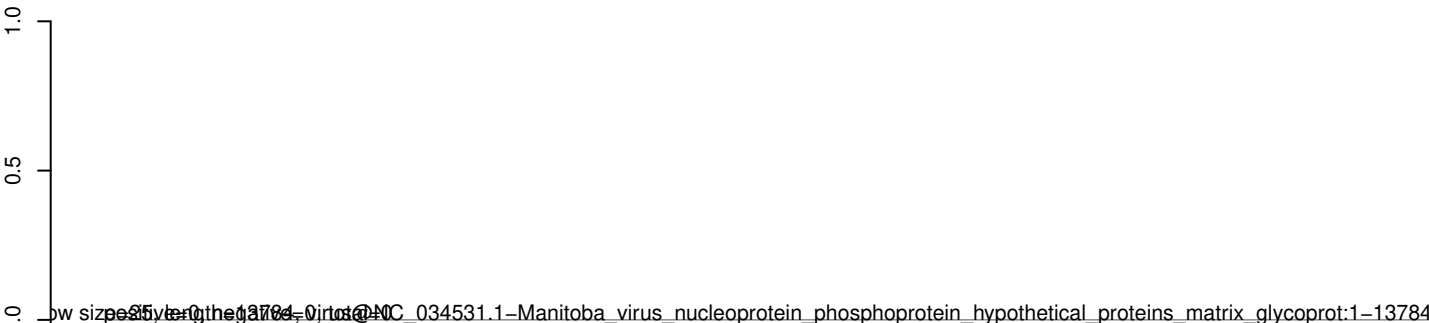
AeAeg_Whole_ZIKVdr_In2_GP.18_23.rep



AeAeg_Whole_ZIKVdr_In2_GP.24_35.rep



AeAeg_Whole_ZIKVdr_In2_GP.rep



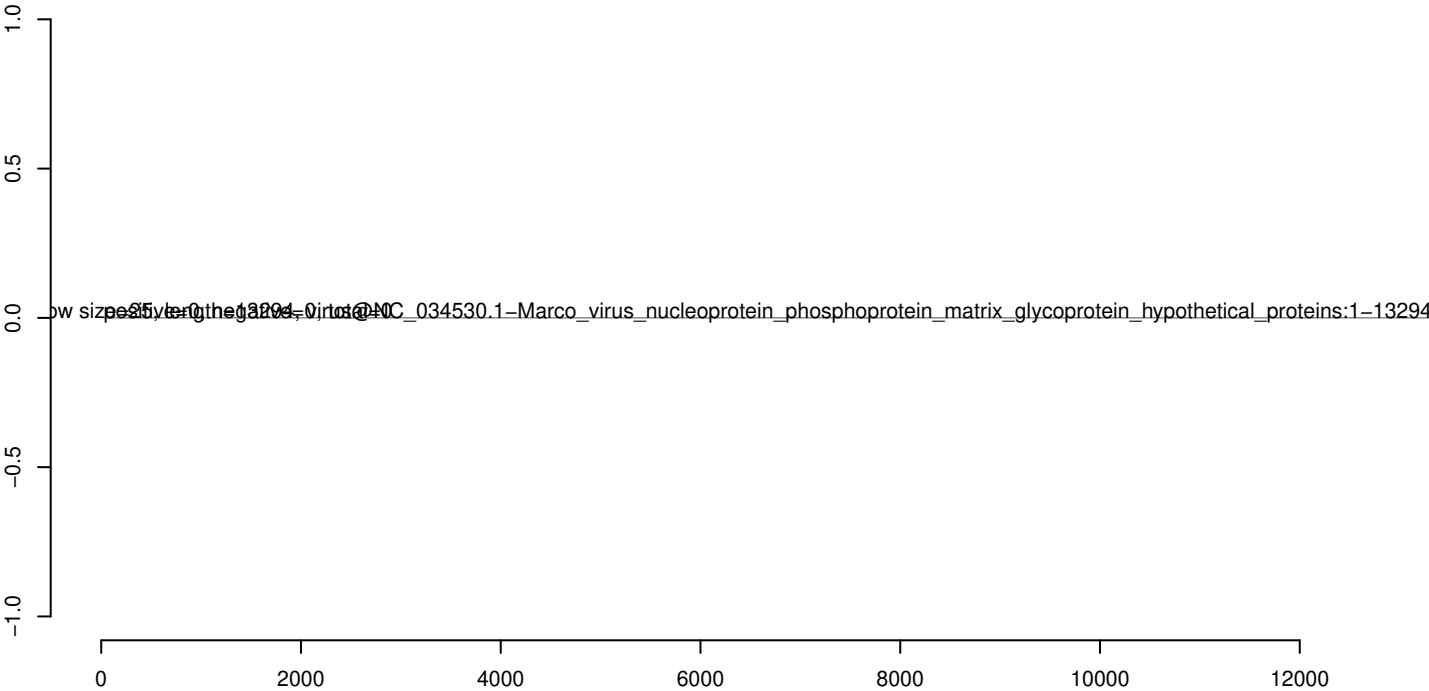
AeAeg_Whole_ZIKVdr_In2_GP.18_23.rep



AeAeg_Whole_ZIKVdr_In2_GP.24_35.rep



AeAeg_Whole_ZIKVdr_In2_GP.rep



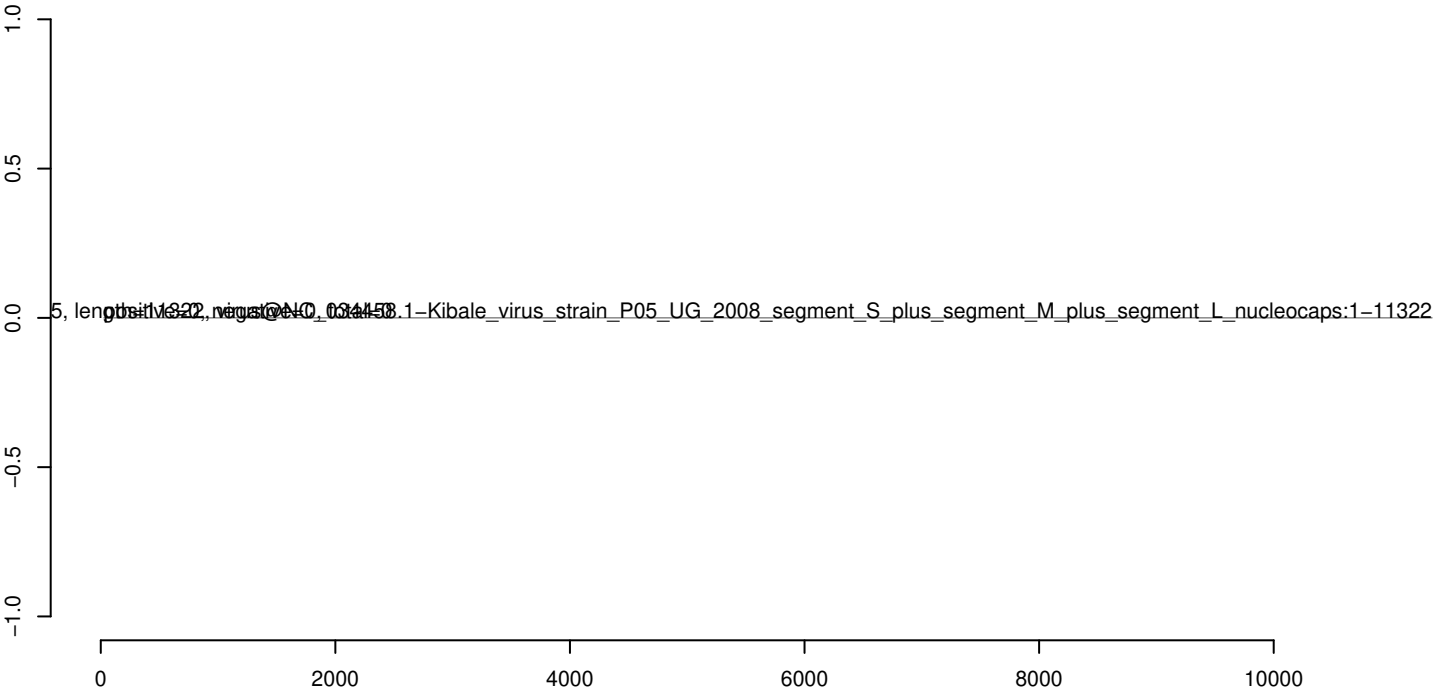
AeAeg_Whole_ZIKVdr_In2_GP.18_23.rep



AeAeg_Whole_ZIKVdr_In2_GP.24_35.rep



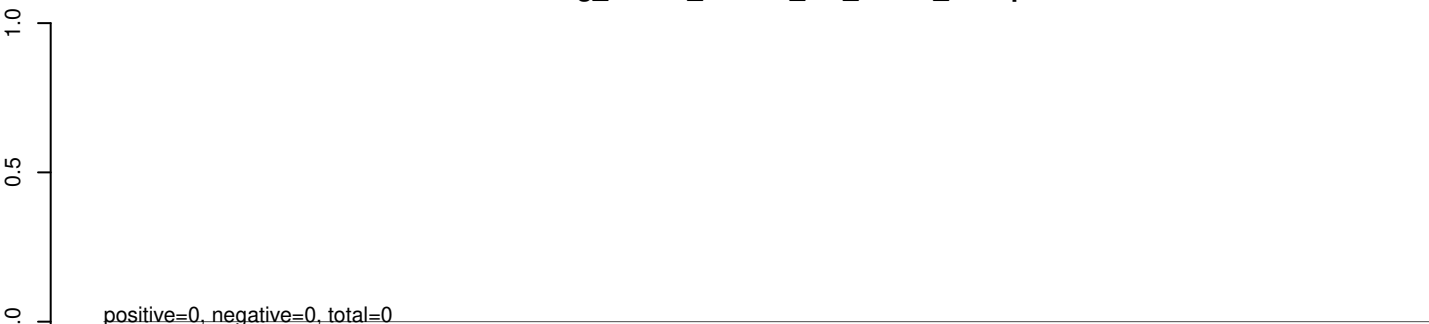
AeAeg_Whole_ZIKVdr_In2_GP.rep



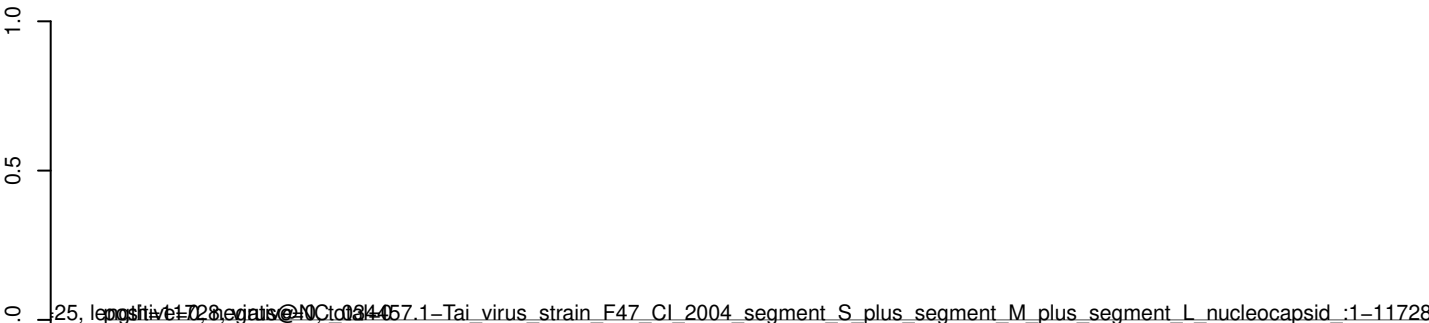
AeAeg_Whole_ZIKVdr_In2_GP.18_23.rep



AeAeg_Whole_ZIKVdr_In2_GP.24_35.rep



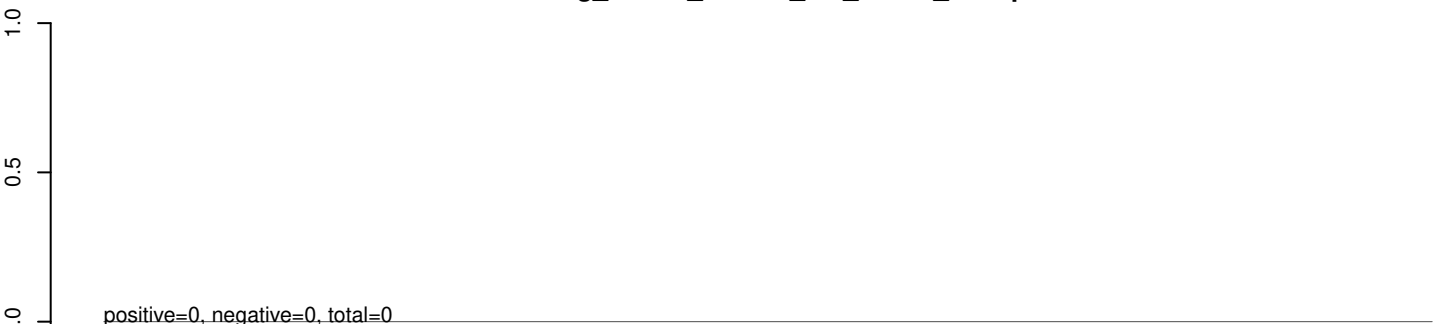
AeAeg_Whole_ZIKVdr_In2_GP.rep



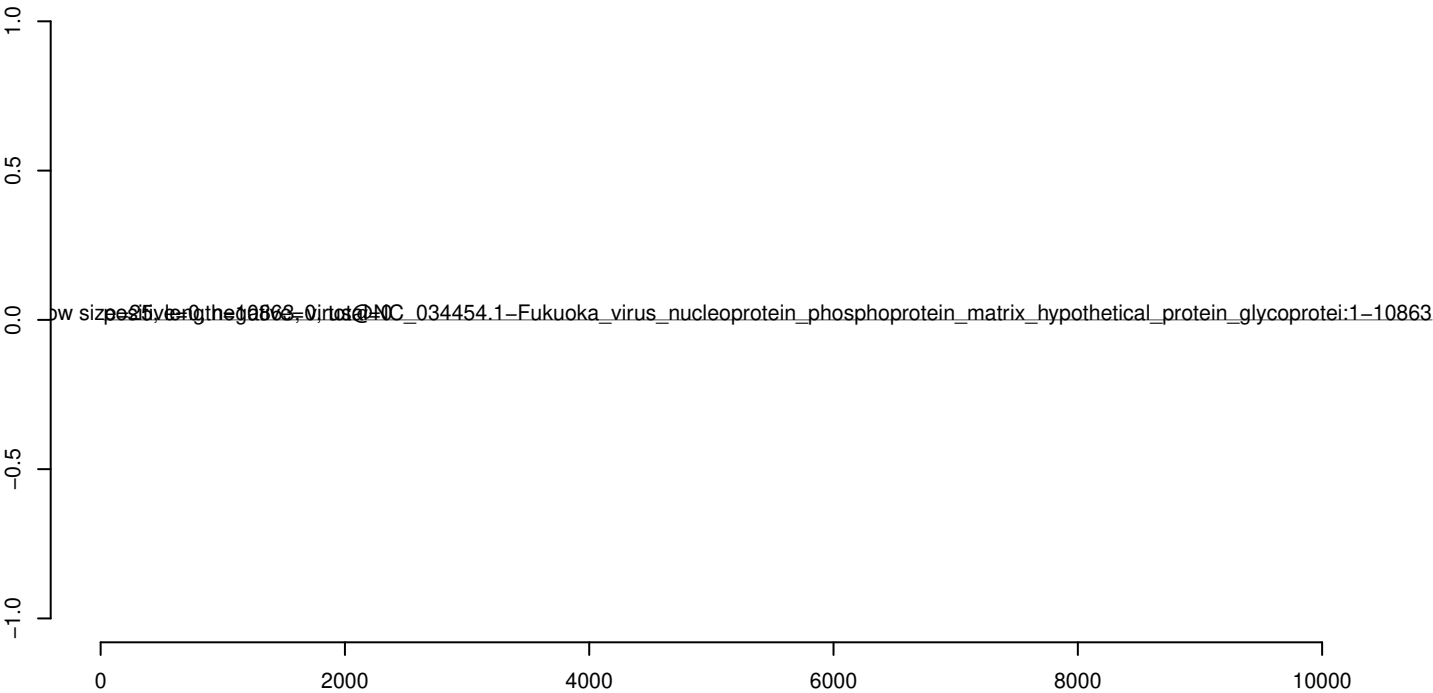
AeAeg_Whole_ZIKVdr_In2_GP.18_23.rep



AeAeg_Whole_ZIKVdr_In2_GP.24_35.rep



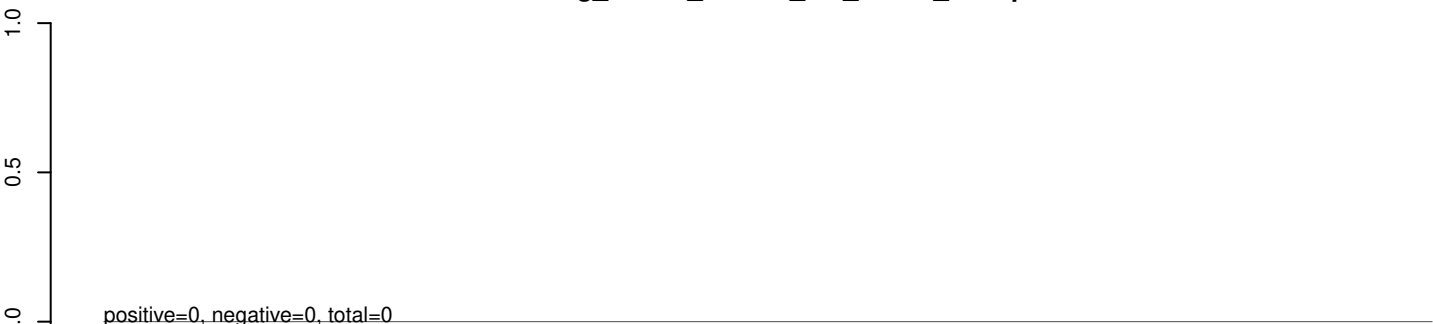
AeAeg_Whole_ZIKVdr_In2_GP.rep



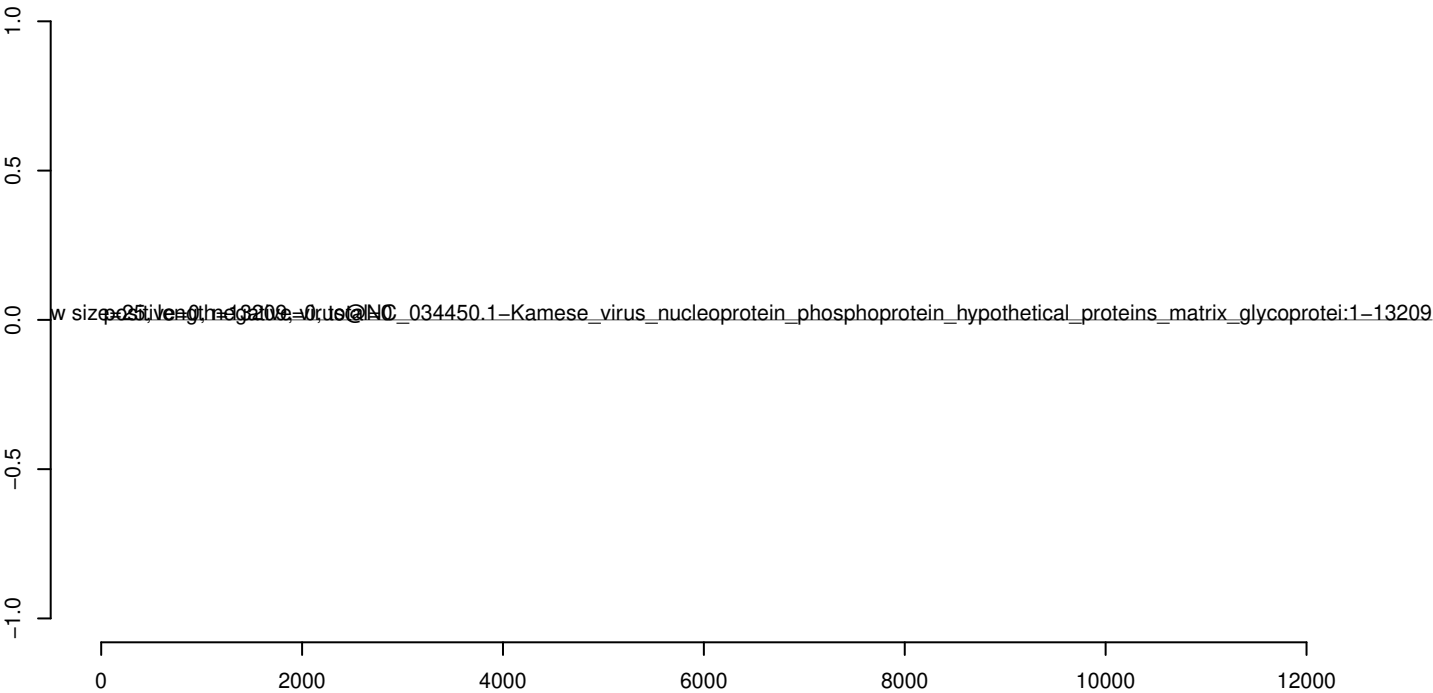
AeAeg_Whole_ZIKVdr_In2_GP.18_23.rep



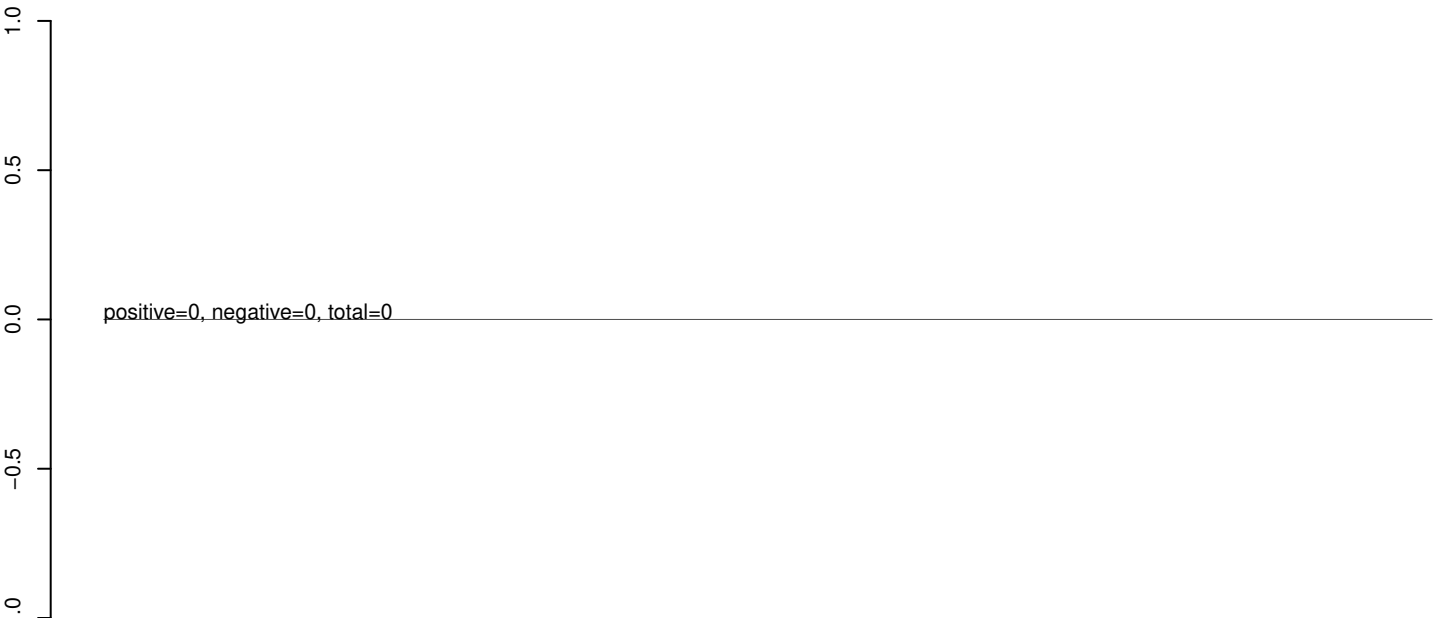
AeAeg_Whole_ZIKVdr_In2_GP.24_35.rep



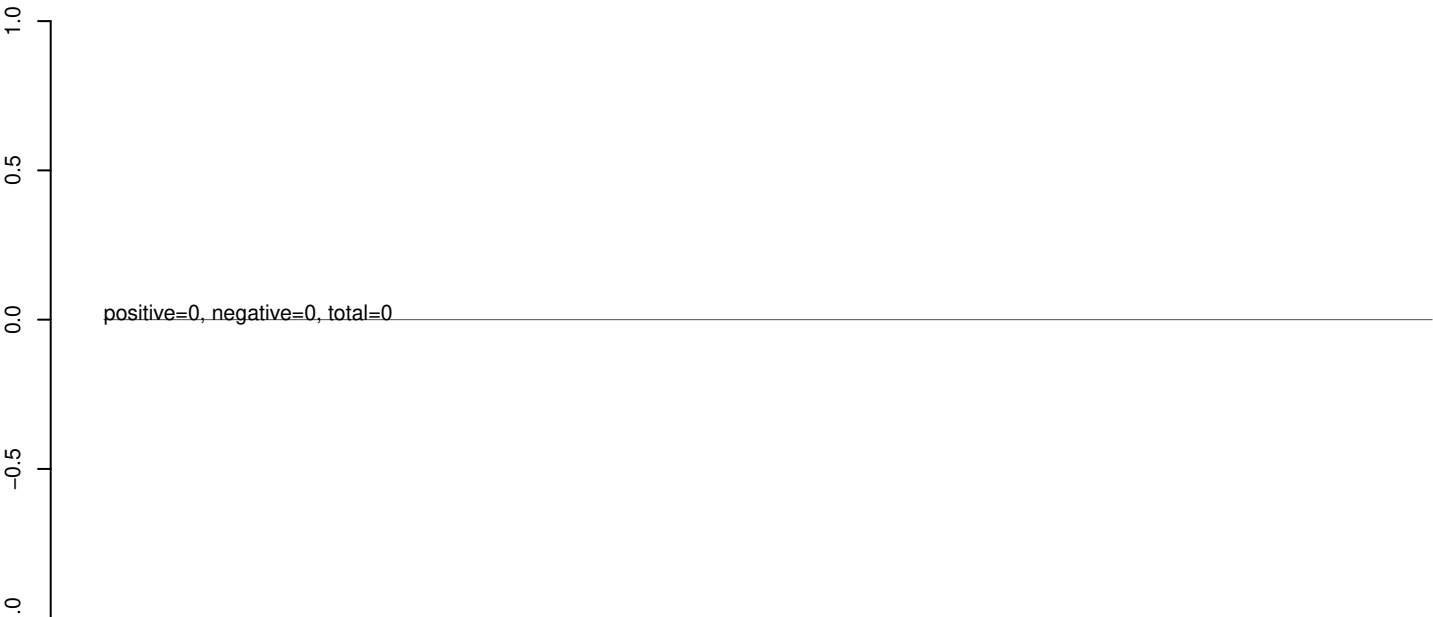
AeAeg_Whole_ZIKVdr_In2_GP.rep



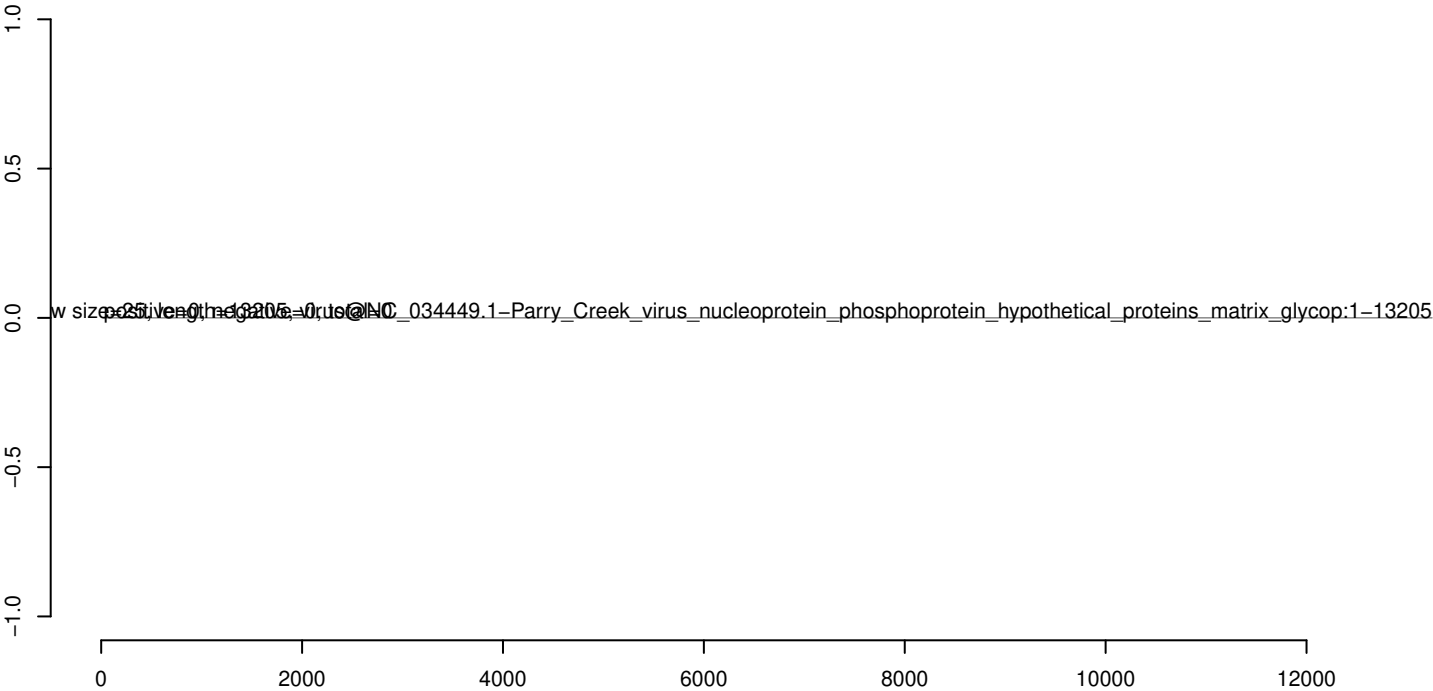
AeAeg_Whole_ZIKVdr_In2_GP.18_23.rep



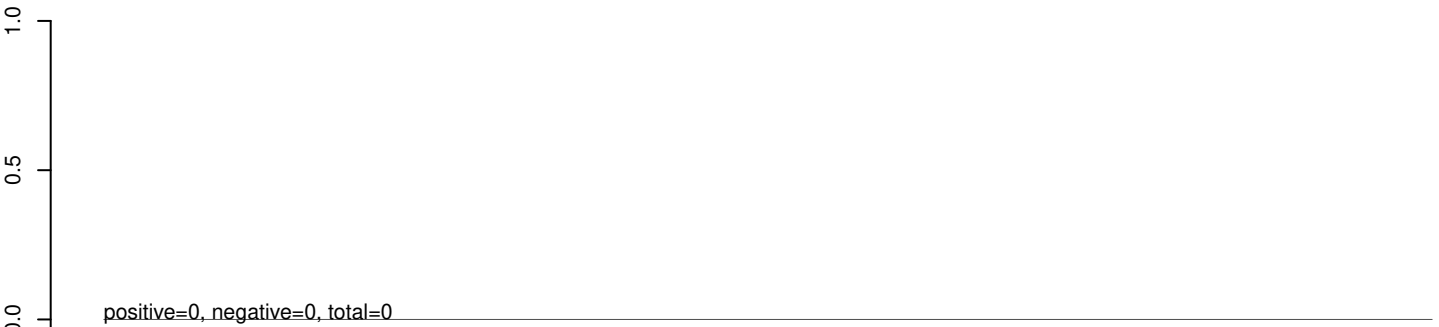
AeAeg_Whole_ZIKVdr_In2_GP.24_35.rep



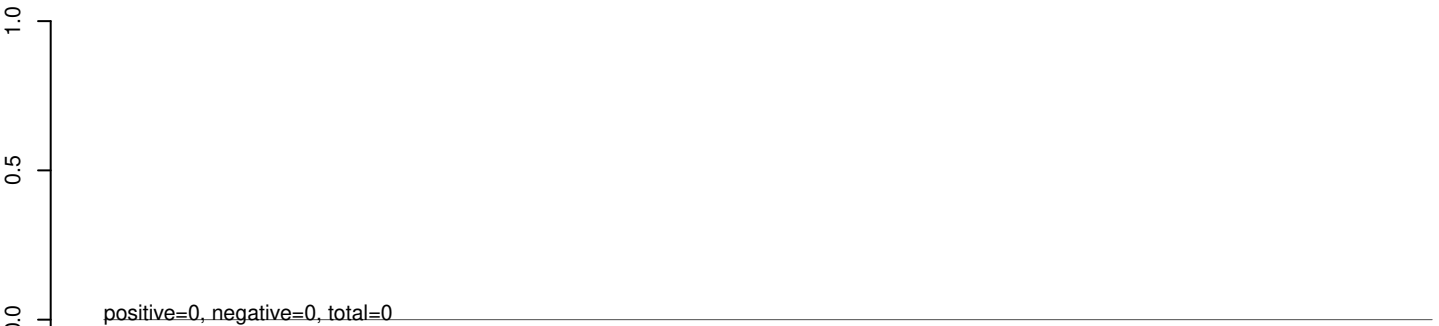
AeAeg_Whole_ZIKVdr_In2_GP.rep



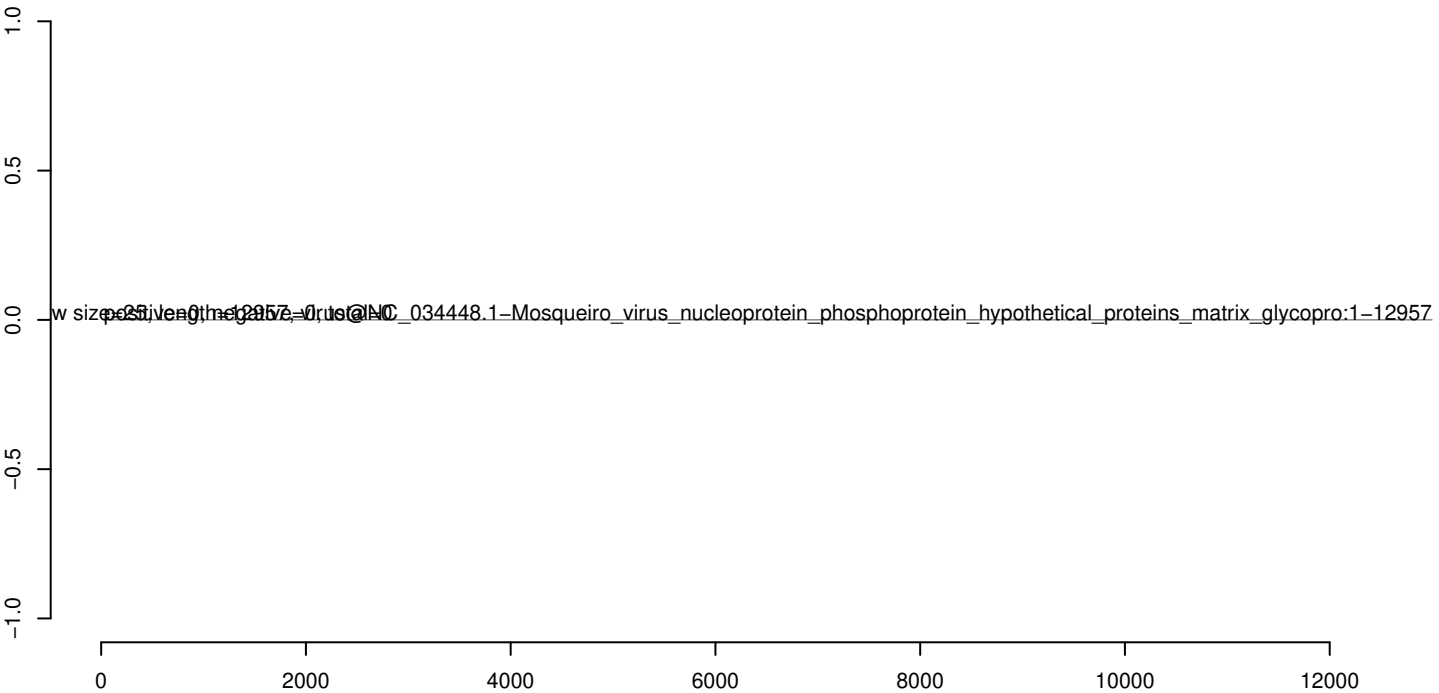
AeAeg_Whole_ZIKVdr_In2_GP.18_23.rep



AeAeg_Whole_ZIKVdr_In2_GP.24_35.rep



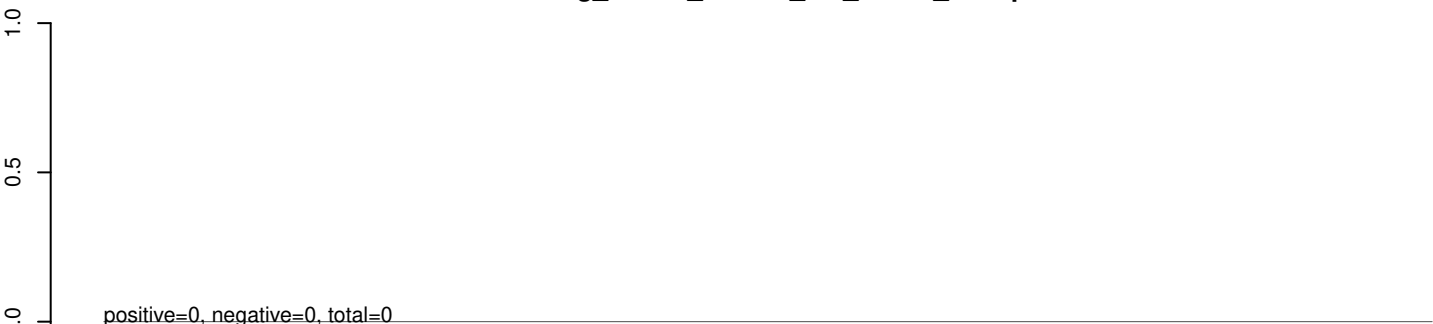
AeAeg_Whole_ZIKVdr_In2_GP.rep



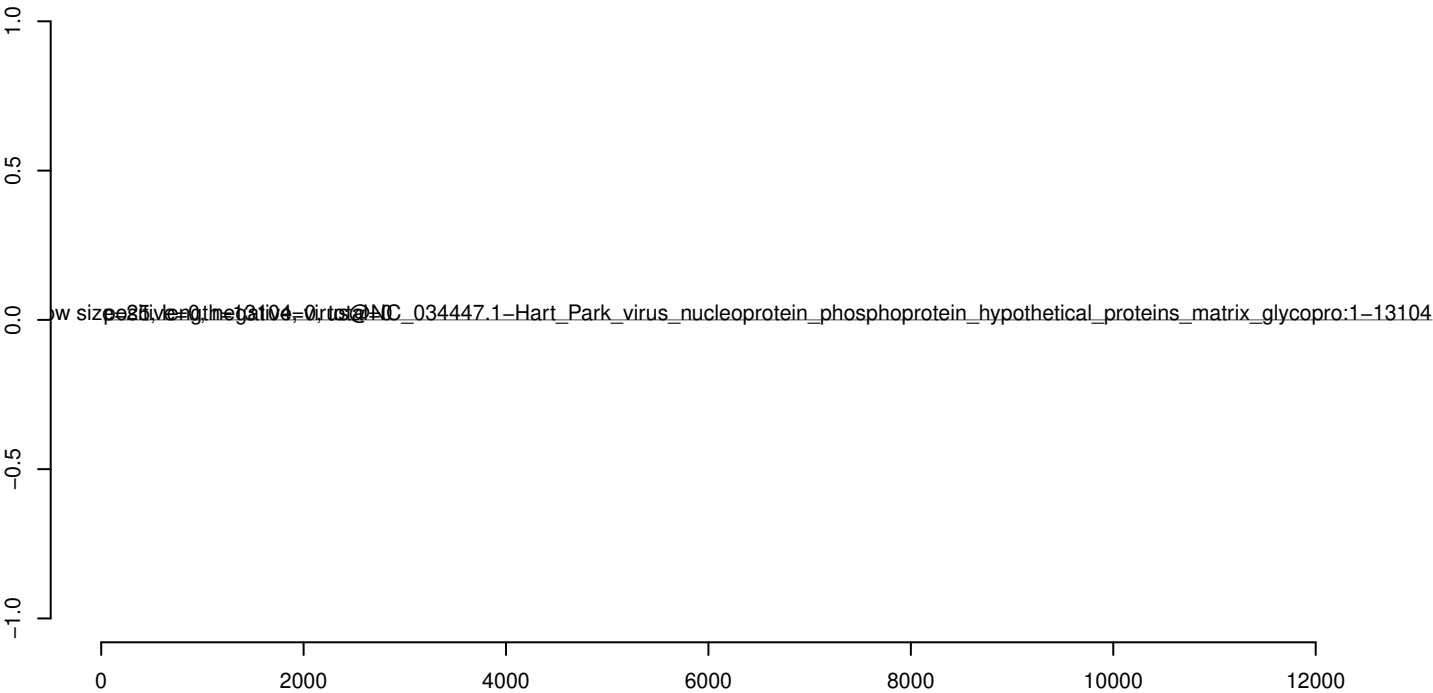
AeAeg_Whole_ZIKVdr_In2_GP.18_23.rep



AeAeg_Whole_ZIKVdr_In2_GP.24_35.rep



AeAeg_Whole_ZIKVdr_In2_GP.rep



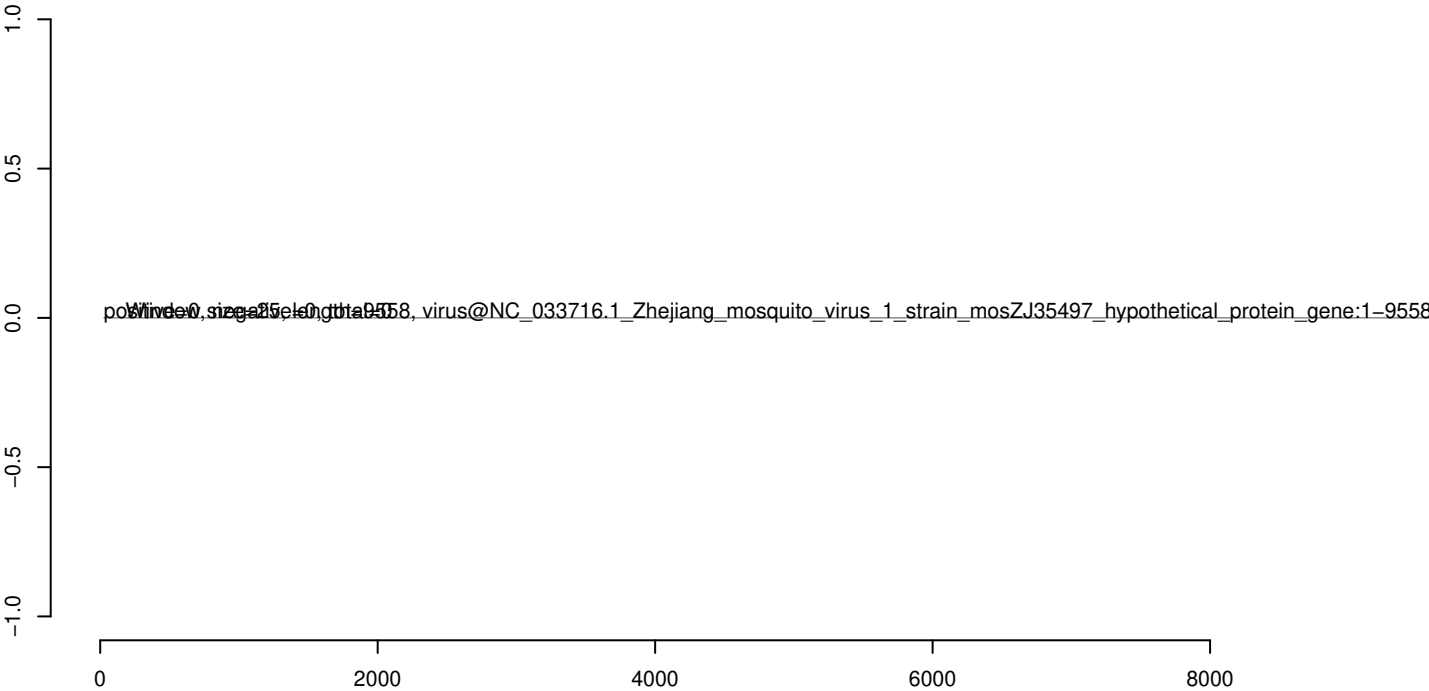
AeAeg_Whole_ZIKVdr_In2_GP.18_23.rep



AeAeg_Whole_ZIKVdr_In2_GP.24_35.rep



AeAeg_Whole_ZIKVdr_In2_GP.rep



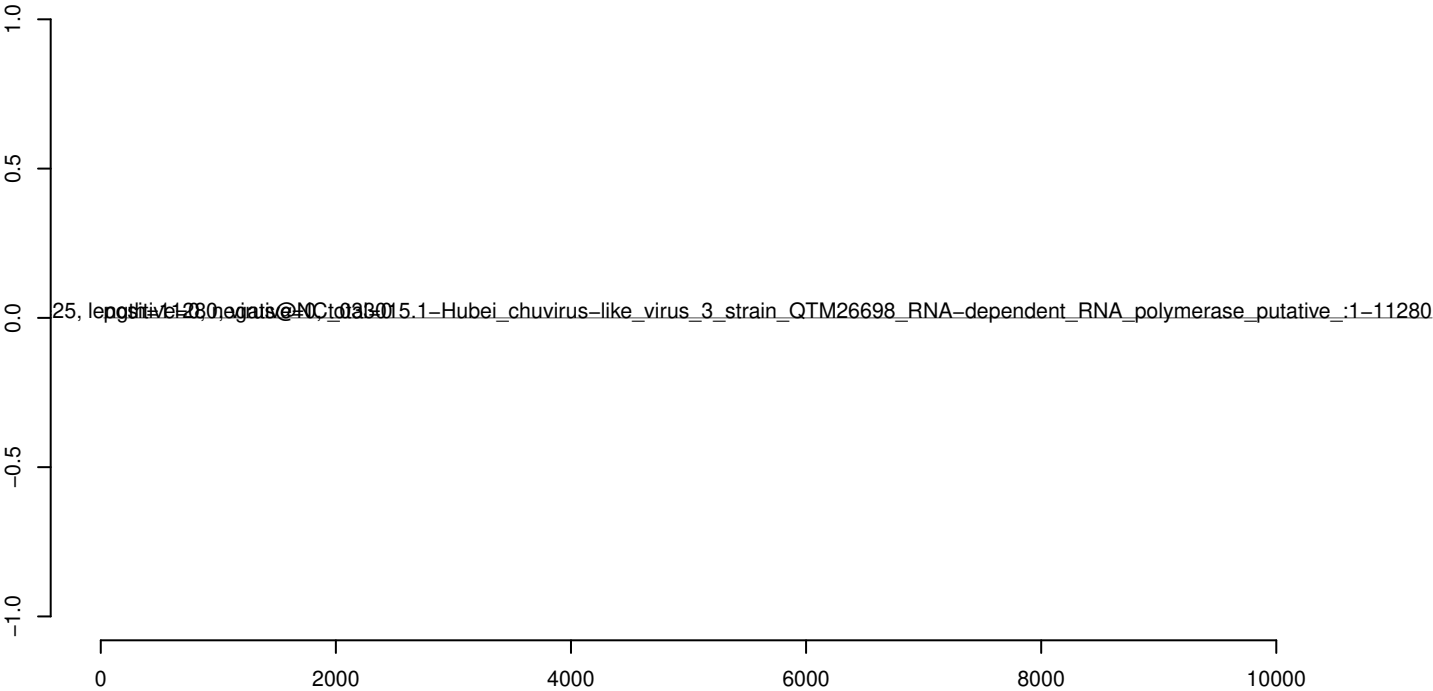
AeAeg_Whole_ZIKVdr_In2_GP.18_23.rep



AeAeg_Whole_ZIKVdr_In2_GP.24_35.rep



AeAeg_Whole_ZIKVdr_In2_GP.rep



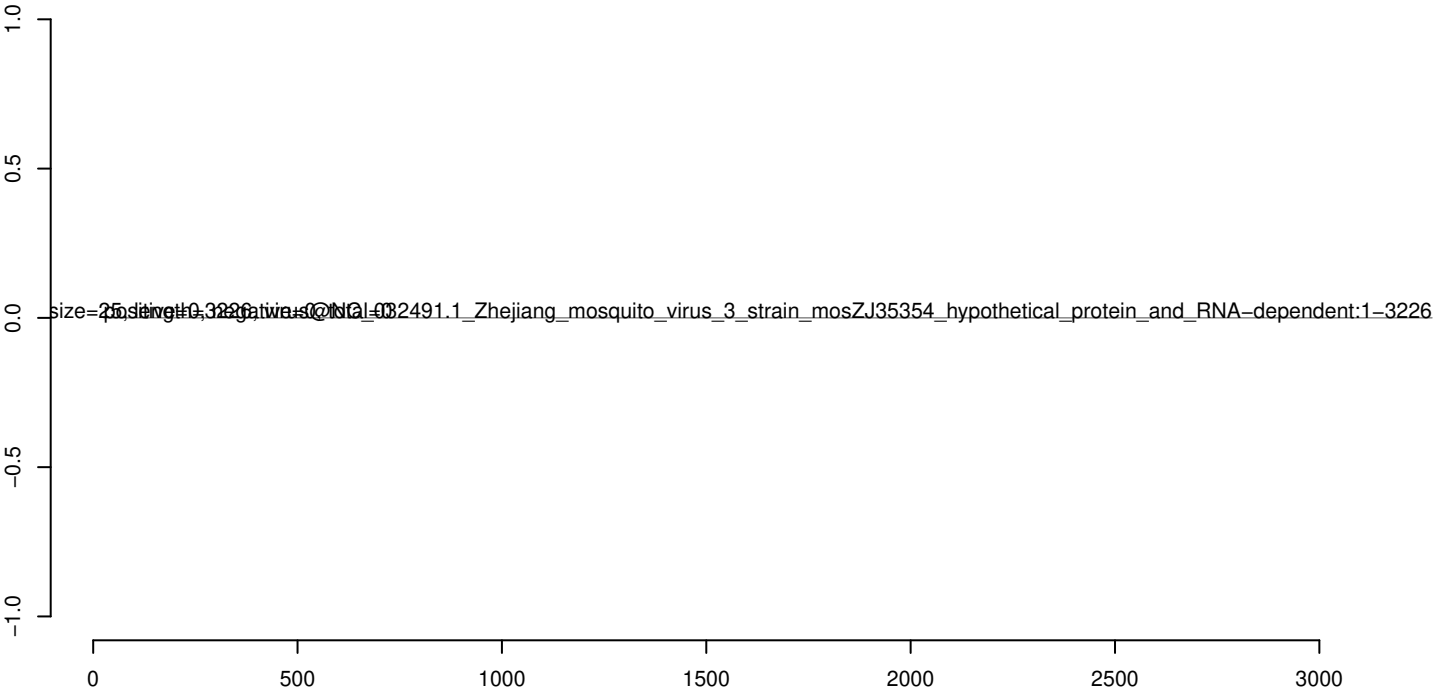
AeAeg_Whole_ZIKVdr_In2_GP.18_23.rep



AeAeg_Whole_ZIKVdr_In2_GP.24_35.rep



AeAeg_Whole_ZIKVdr_In2_GP.rep



AeAeg_Whole_ZIKVdr_In2_GP.18_23.rep



AeAeg_Whole_ZIKVdr_In2_GP.24_35.rep



AeAeg_Whole_ZIKVdr_In2_GP.rep

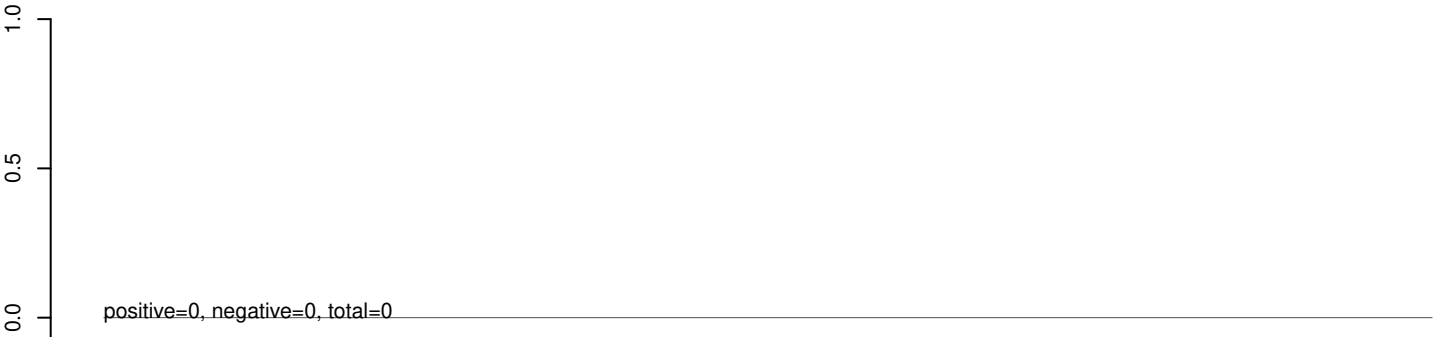


0 2000 4000 6000 8000 10000

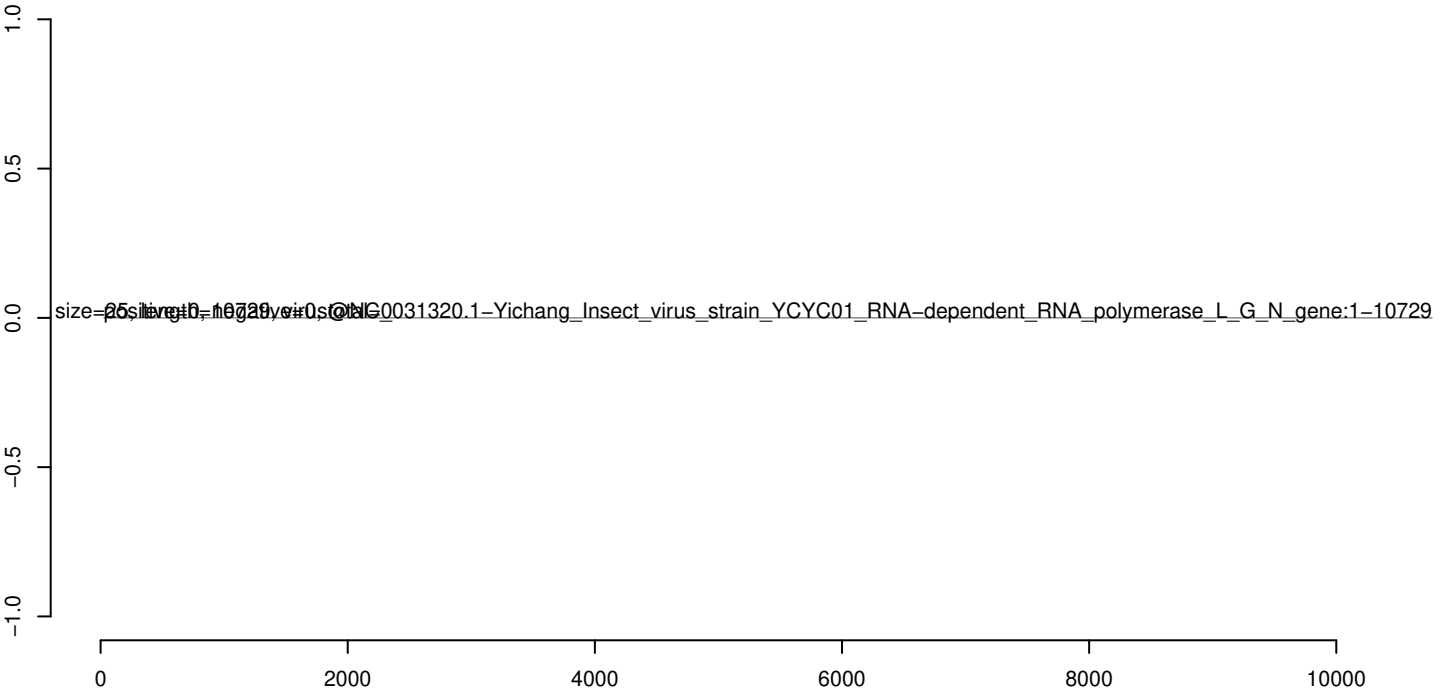
AeAeg_Whole_ZIKVdr_In2_GP.18_23.rep



AeAeg_Whole_ZIKVdr_In2_GP.24_35.rep



AeAeg_Whole_ZIKVdr_In2_GP.rep



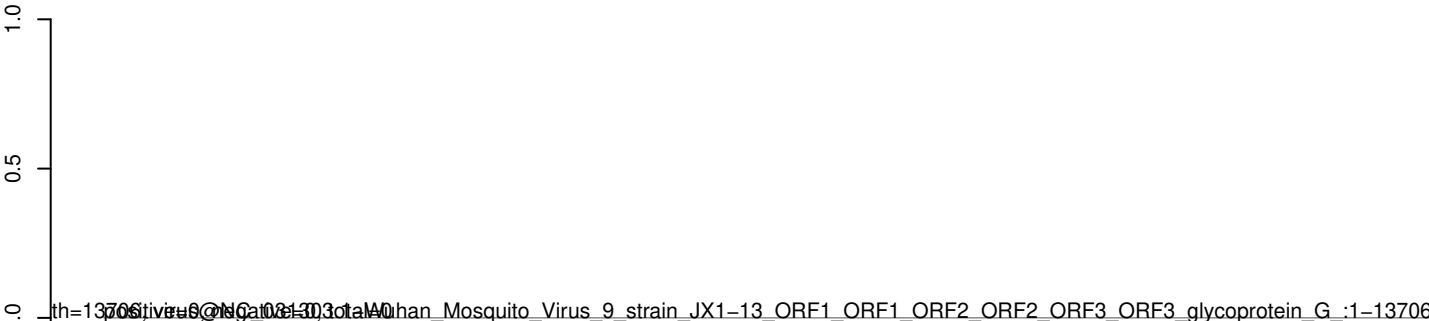
AeAeg_Whole_ZIKVdr_In2_GP.18_23.rep



AeAeg_Whole_ZIKVdr_In2_GP.24_35.rep



AeAeg_Whole_ZIKVdr_In2_GP.rep



0 2000 4000 6000 8000 10000 12000 14000

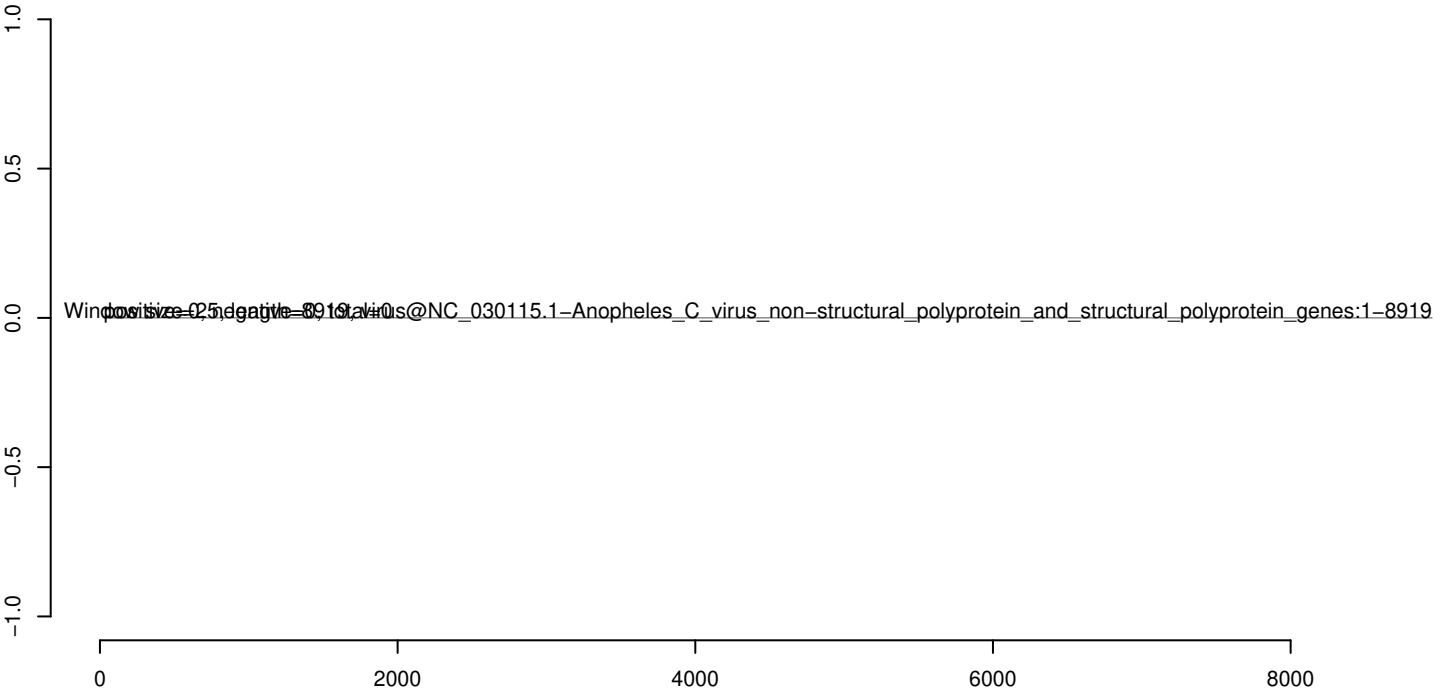
AeAeg_Whole_ZIKVdr_In2_GP.18_23.rep



AeAeg_Whole_ZIKVdr_In2_GP.24_35.rep



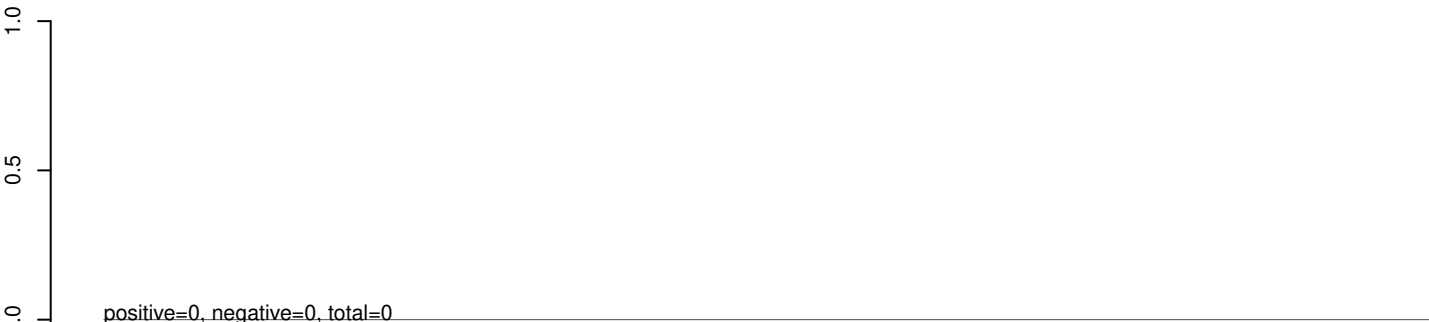
AeAeg_Whole_ZIKVdr_In2_GP.rep



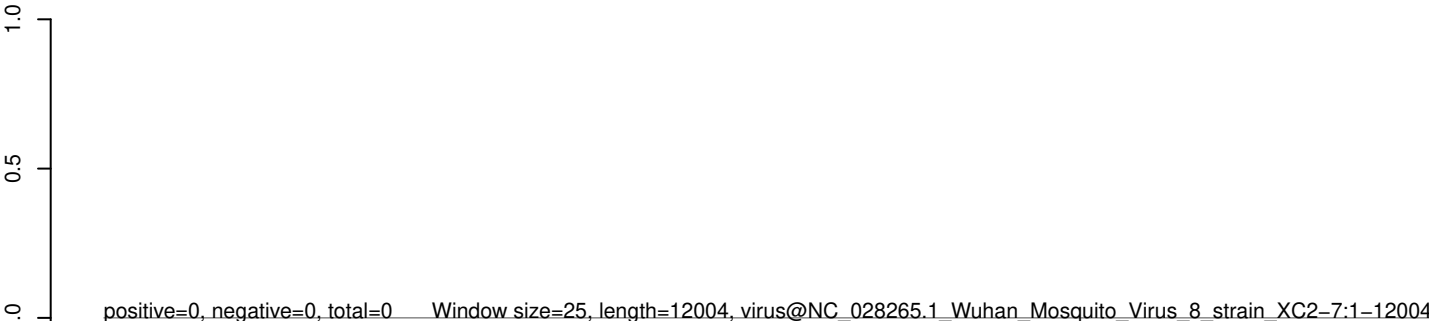
AeAeg_Whole_ZIKVdr_In2_GP.18_23.rep



AeAeg_Whole_ZIKVdr_In2_GP.24_35.rep



AeAeg_Whole_ZIKVdr_In2_GP.rep



0 2000 4000 6000 8000 10000 12000

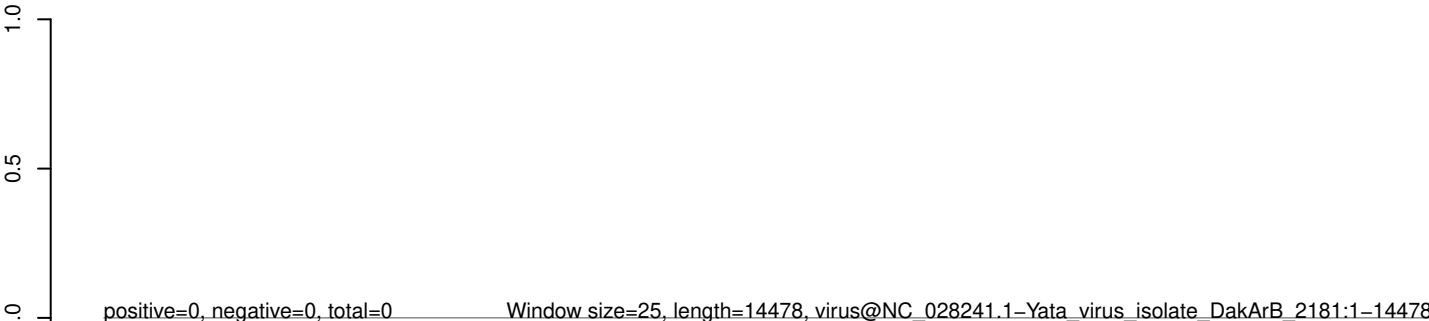
AeAeg_Whole_ZIKVdr_In2_GP.18_23.rep



AeAeg_Whole_ZIKVdr_In2_GP.24_35.rep



AeAeg_Whole_ZIKVdr_In2_GP.rep



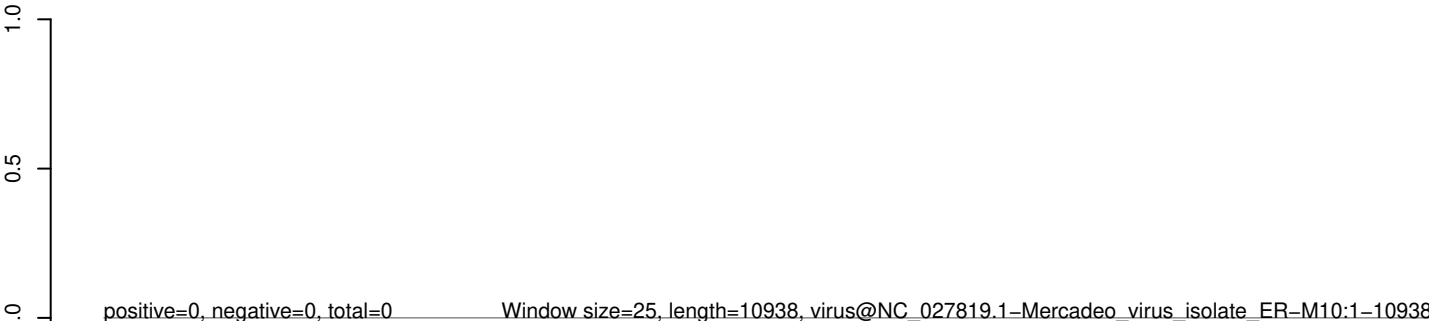
AeAeg_Whole_ZIKVdr_In2_GP.18_23.rep



AeAeg_Whole_ZIKVdr_In2_GP.24_35.rep



AeAeg_Whole_ZIKVdr_In2_GP.rep



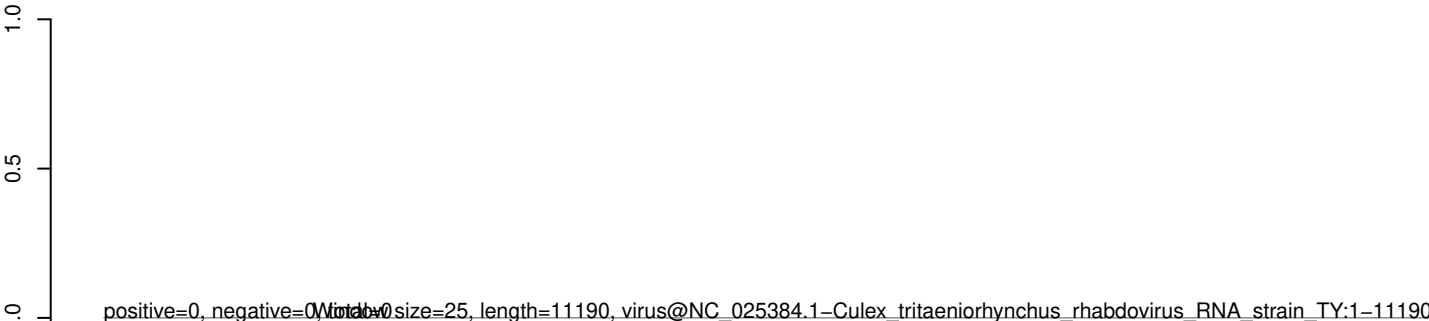
AeAeg_Whole_ZIKVdr_In2_GP.18_23.rep



AeAeg_Whole_ZIKVdr_In2_GP.24_35.rep



AeAeg_Whole_ZIKVdr_In2_GP.rep



0 2000 4000 6000 8000 10000

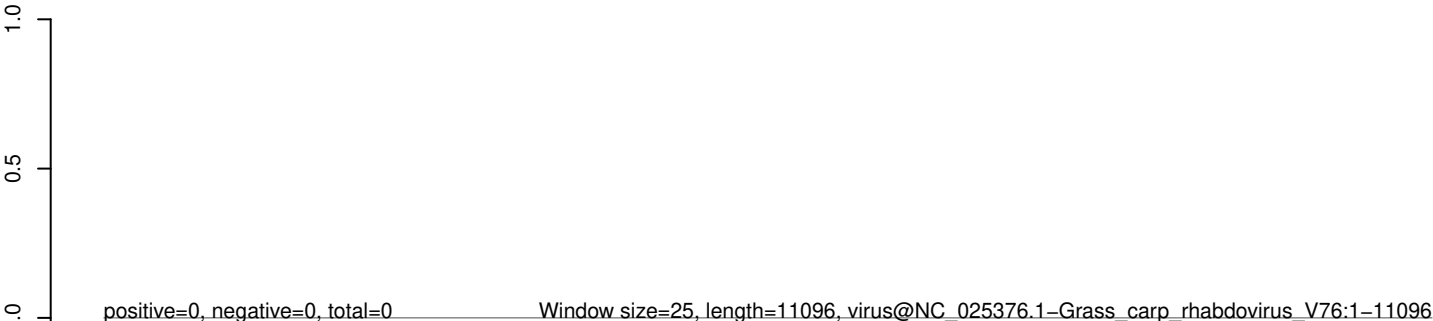
AeAeg_Whole_ZIKVdr_In2_GP.18_23.rep



AeAeg_Whole_ZIKVdr_In2_GP.24_35.rep



AeAeg_Whole_ZIKVdr_In2_GP.rep

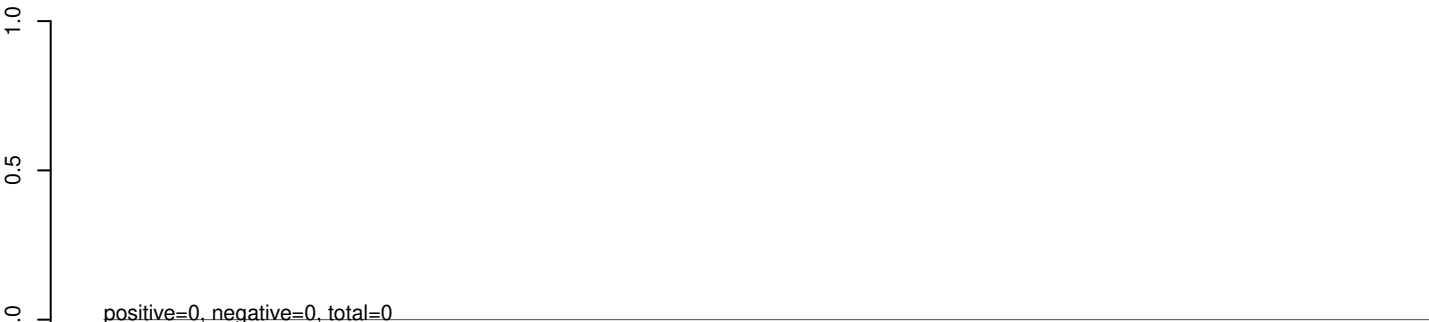


0 2000 4000 6000 8000 10000

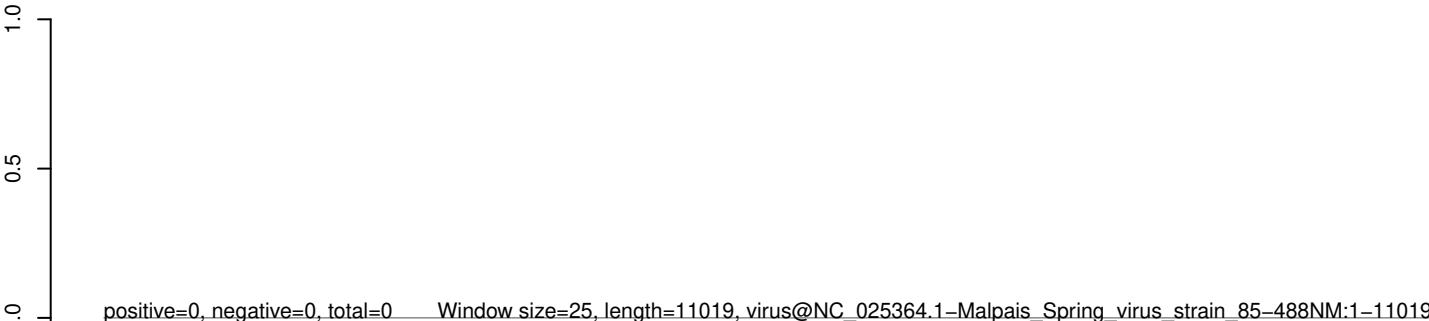
AeAeg_Whole_ZIKVdr_In2_GP.18_23.rep



AeAeg_Whole_ZIKVdr_In2_GP.24_35.rep



AeAeg_Whole_ZIKVdr_In2_GP.rep



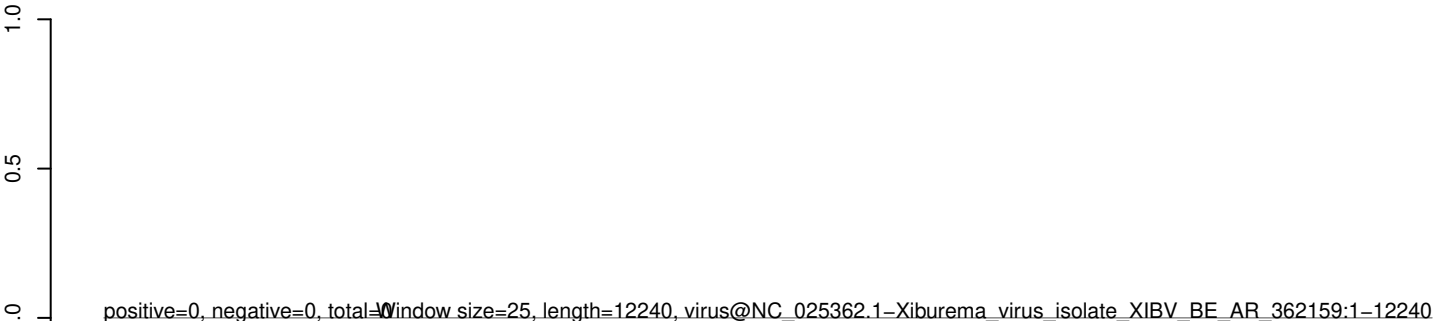
AeAeg_Whole_ZIKVdr_In2_GP.18_23.rep



AeAeg_Whole_ZIKVdr_In2_GP.24_35.rep



AeAeg_Whole_ZIKVdr_In2_GP.rep



0 2000 4000 6000 8000 10000 12000

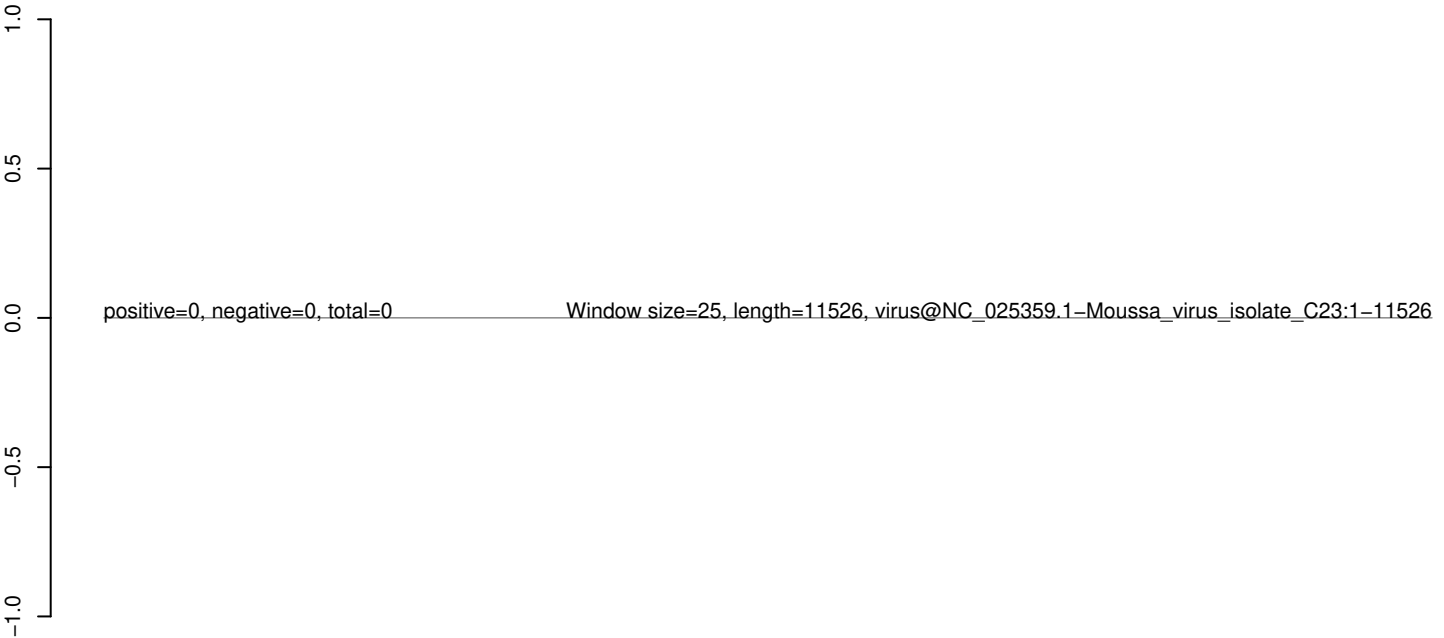
AeAeg_Whole_ZIKVdr_In2_GP.18_23.rep



AeAeg_Whole_ZIKVdr_In2_GP.24_35.rep



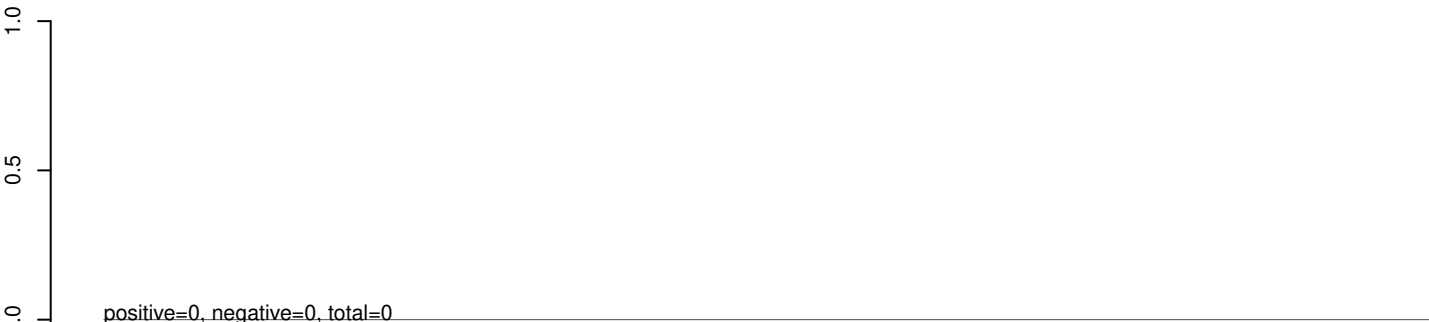
AeAeg_Whole_ZIKVdr_In2_GP.rep



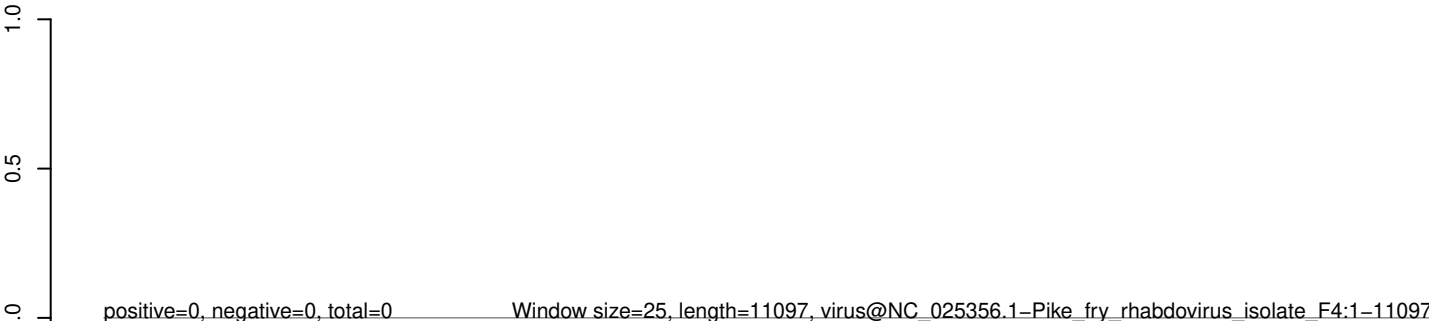
AeAeg_Whole_ZIKVdr_In2_GP.18_23.rep



AeAeg_Whole_ZIKVdr_In2_GP.24_35.rep



AeAeg_Whole_ZIKVdr_In2_GP.rep

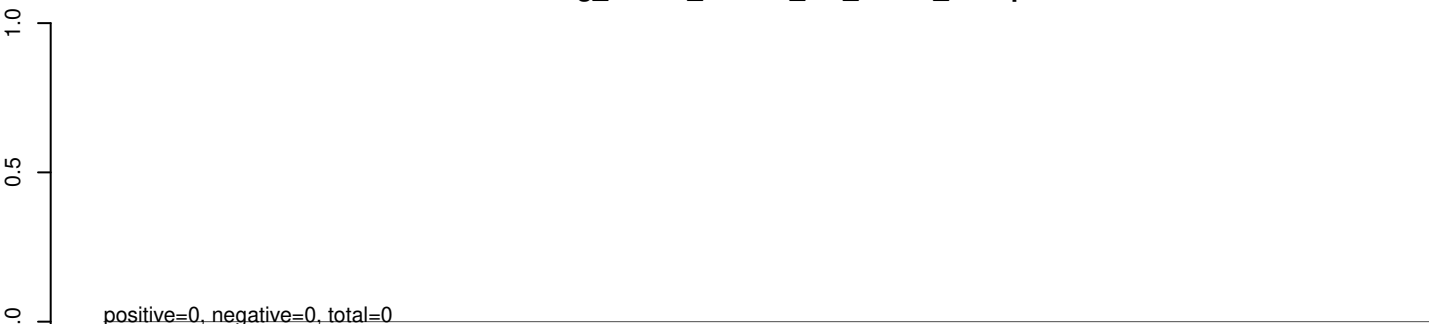


0 2000 4000 6000 8000 10000

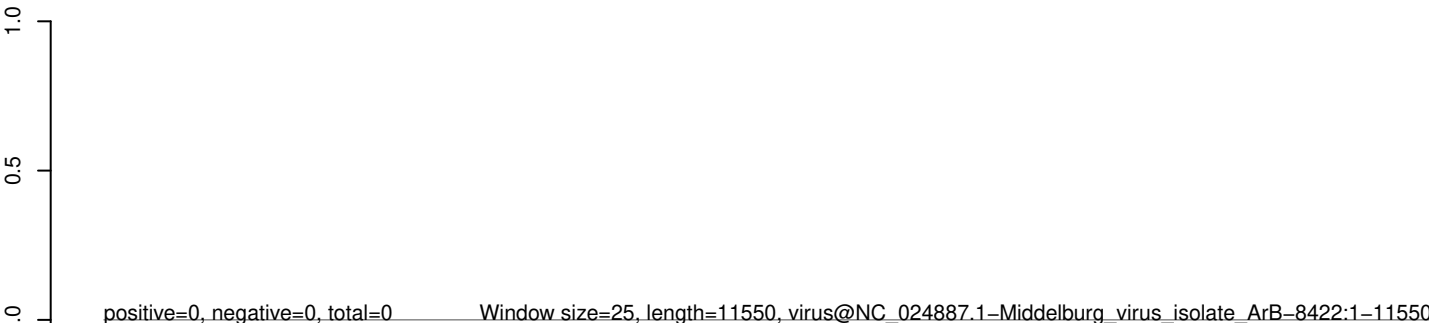
AeAeg_Whole_ZIKVdr_In2_GP.18_23.rep



AeAeg_Whole_ZIKVdr_In2_GP.24_35.rep



AeAeg_Whole_ZIKVdr_In2_GP.rep



0 2000 4000 6000 8000 10000 12000

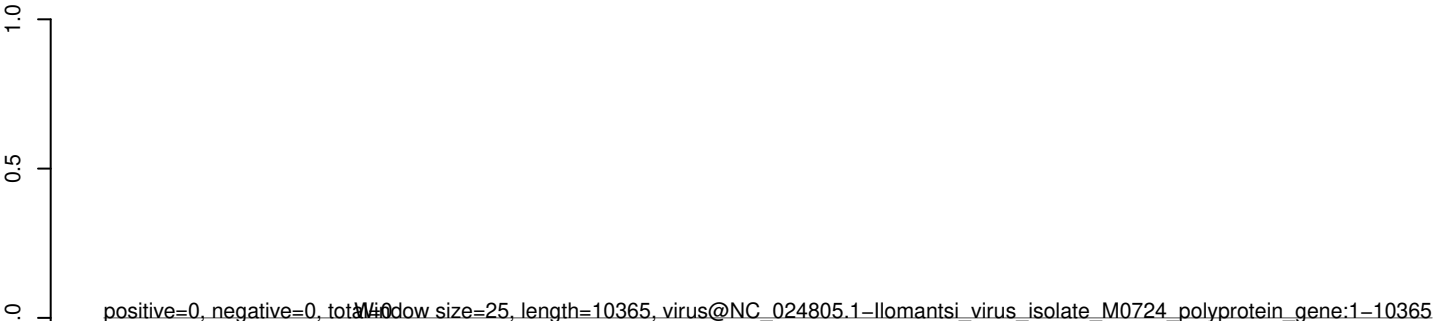
AeAeg_Whole_ZIKVdr_In2_GP.18_23.rep



AeAeg_Whole_ZIKVdr_In2_GP.24_35.rep



AeAeg_Whole_ZIKVdr_In2_GP.rep



0 2000 4000 6000 8000 10000

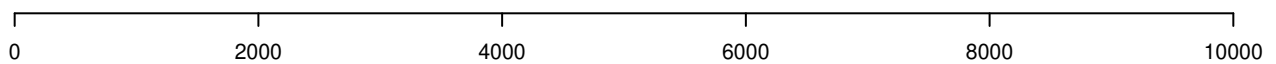
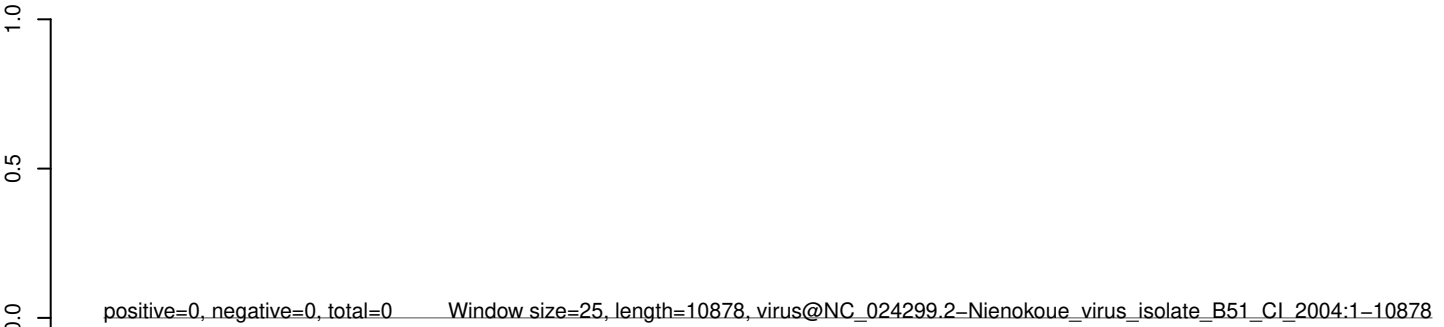
AeAeg_Whole_ZIKVdr_In2_GP.18_23.rep



AeAeg_Whole_ZIKVdr_In2_GP.24_35.rep



AeAeg_Whole_ZIKVdr_In2_GP.rep



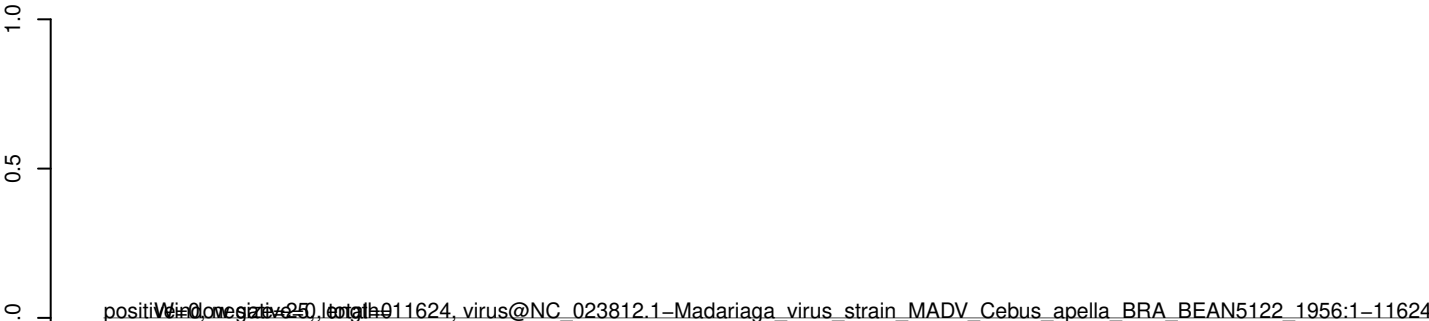
AeAeg_Whole_ZIKVdr_In2_GP.18_23.rep



AeAeg_Whole_ZIKVdr_In2_GP.24_35.rep



AeAeg_Whole_ZIKVdr_In2_GP.rep



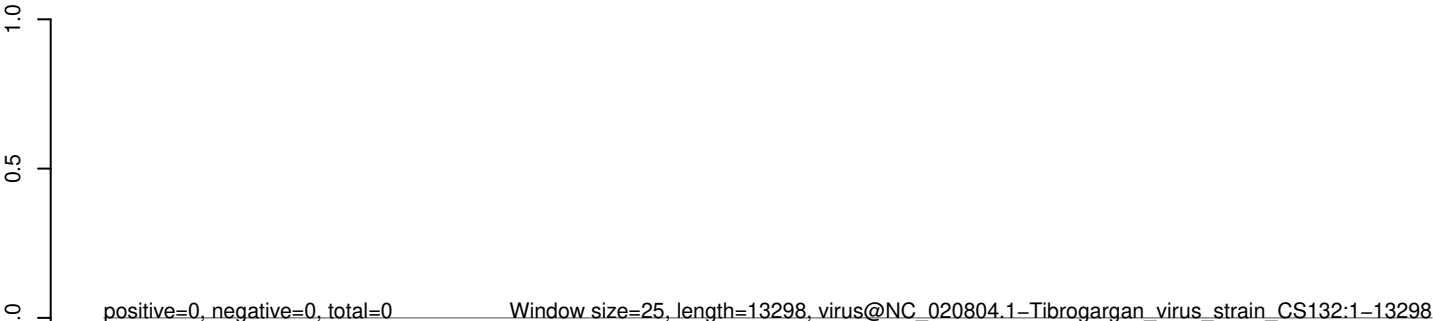
AeAeg_Whole_ZIKVdr_In2_GP.18_23.rep



AeAeg_Whole_ZIKVdr_In2_GP.24_35.rep



AeAeg_Whole_ZIKVdr_In2_GP.rep



0 2000 4000 6000 8000 10000 12000

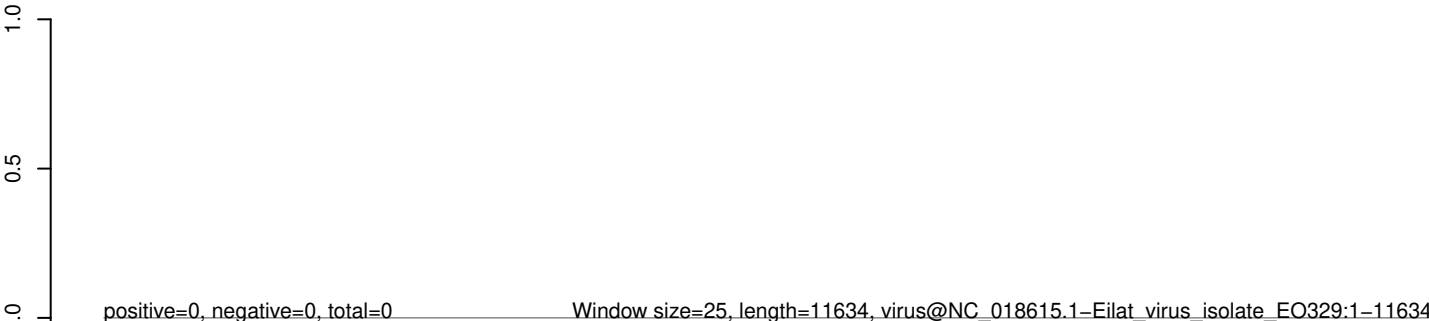
AeAeg_Whole_ZIKVdr_In2_GP.18_23.rep



AeAeg_Whole_ZIKVdr_In2_GP.24_35.rep



AeAeg_Whole_ZIKVdr_In2_GP.rep



0 2000 4000 6000 8000 10000 12000

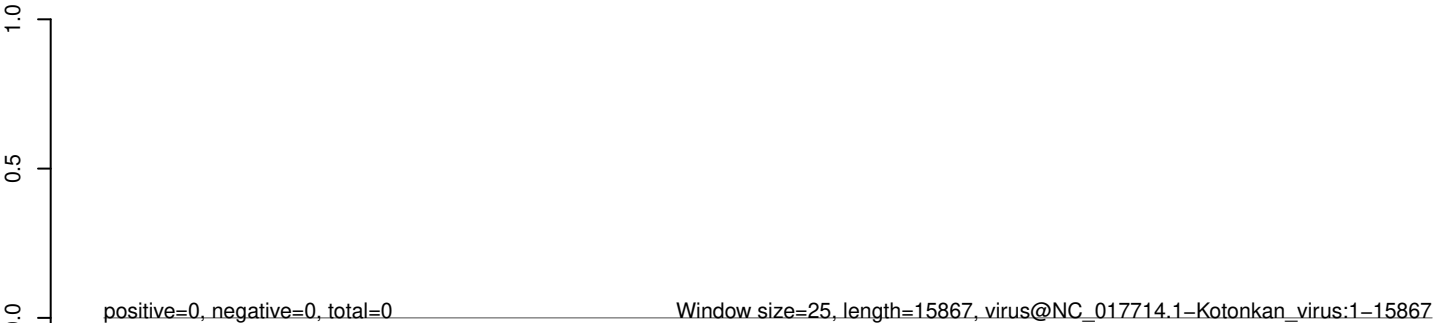
AeAeg_Whole_ZIKVdr_In2_GP.18_23.rep



AeAeg_Whole_ZIKVdr_In2_GP.24_35.rep



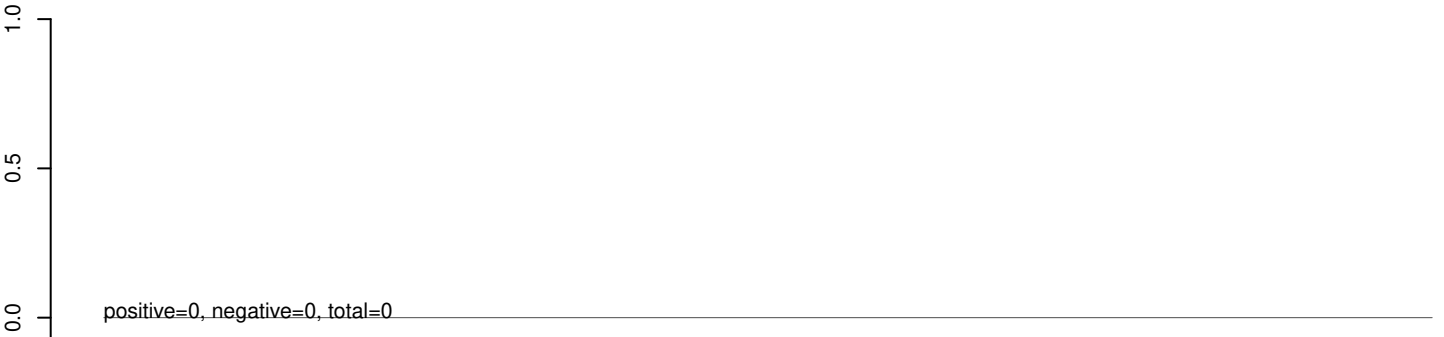
AeAeg_Whole_ZIKVdr_In2_GP.rep



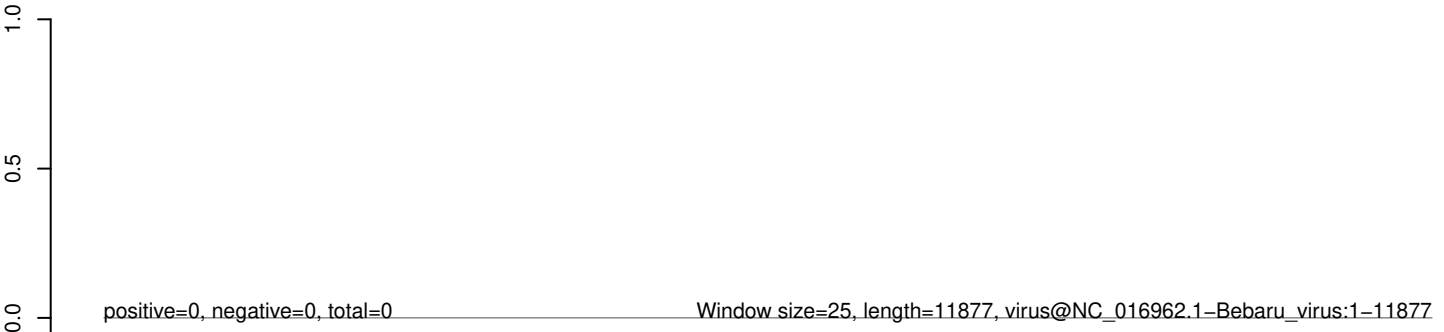
AeAeg_Whole_ZIKVdr_In2_GP.18_23.rep



AeAeg_Whole_ZIKVdr_In2_GP.24_35.rep



AeAeg_Whole_ZIKVdr_In2_GP.rep



0 2000 4000 6000 8000 10000 12000

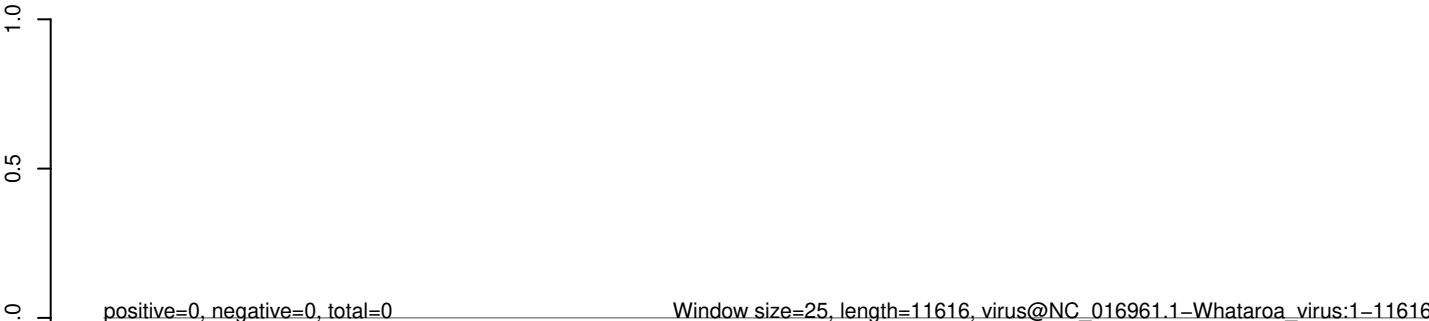
AeAeg_Whole_ZIKVdr_In2_GP.18_23.rep



AeAeg_Whole_ZIKVdr_In2_GP.24_35.rep



AeAeg_Whole_ZIKVdr_In2_GP.rep



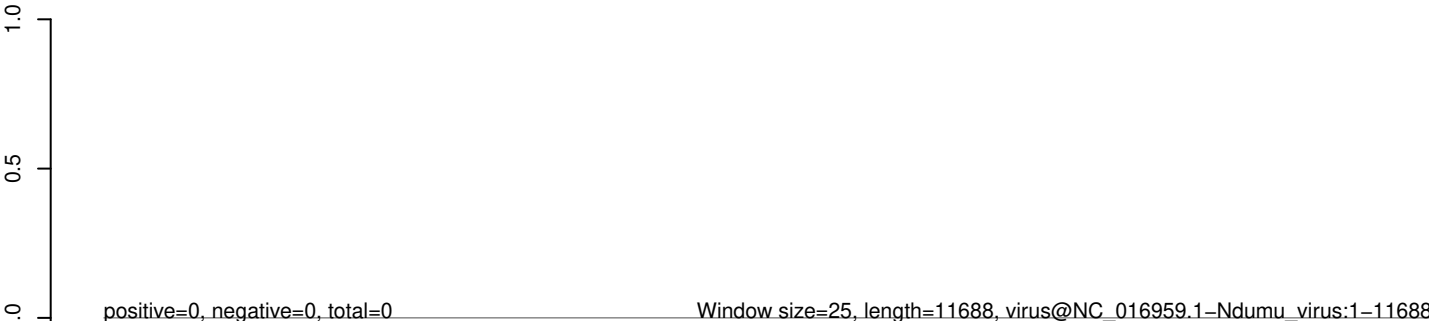
AeAeg_Whole_ZIKVdr_In2_GP.18_23.rep



AeAeg_Whole_ZIKVdr_In2_GP.24_35.rep



AeAeg_Whole_ZIKVdr_In2_GP.rep



0 2000 4000 6000 8000 10000 12000

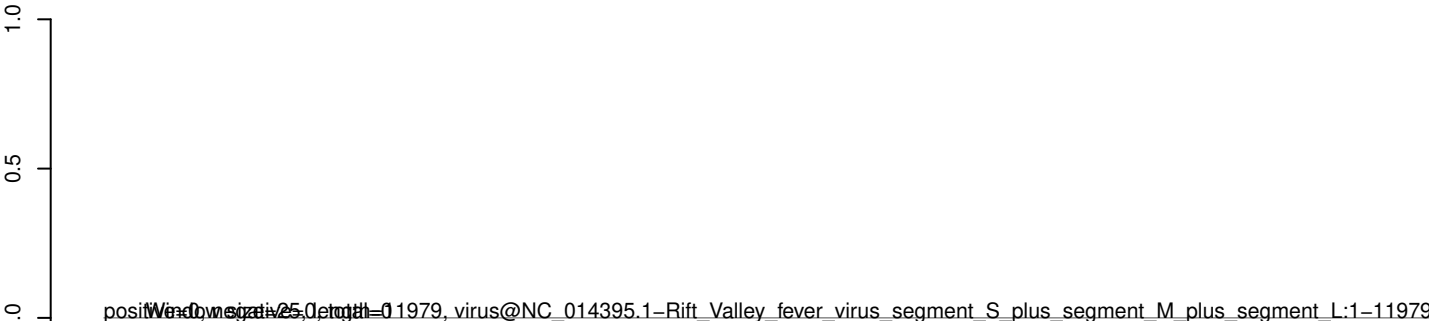
AeAeg_Whole_ZIKVdr_In2_GP.18_23.rep



AeAeg_Whole_ZIKVdr_In2_GP.24_35.rep



AeAeg_Whole_ZIKVdr_In2_GP.rep



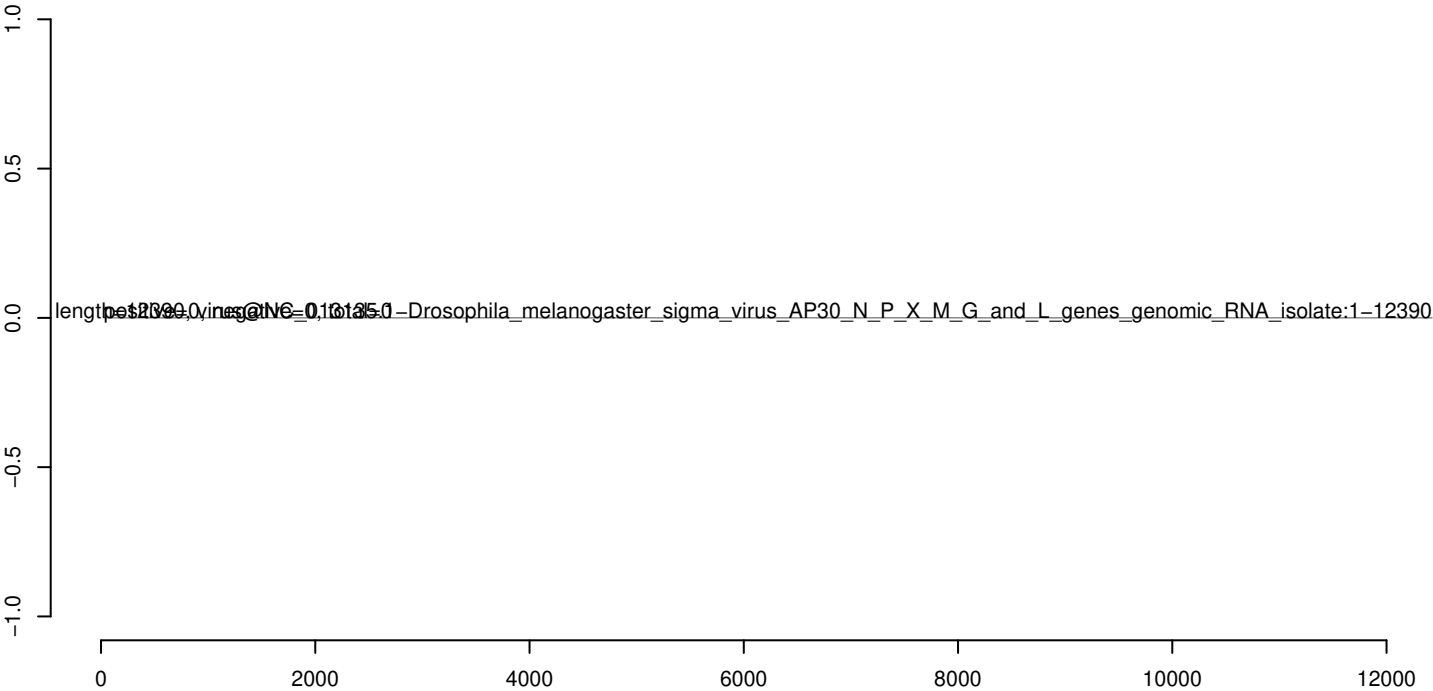
AeAeg_Whole_ZIKVdr_In2_GP.18_23.rep



AeAeg_Whole_ZIKVdr_In2_GP.24_35.rep



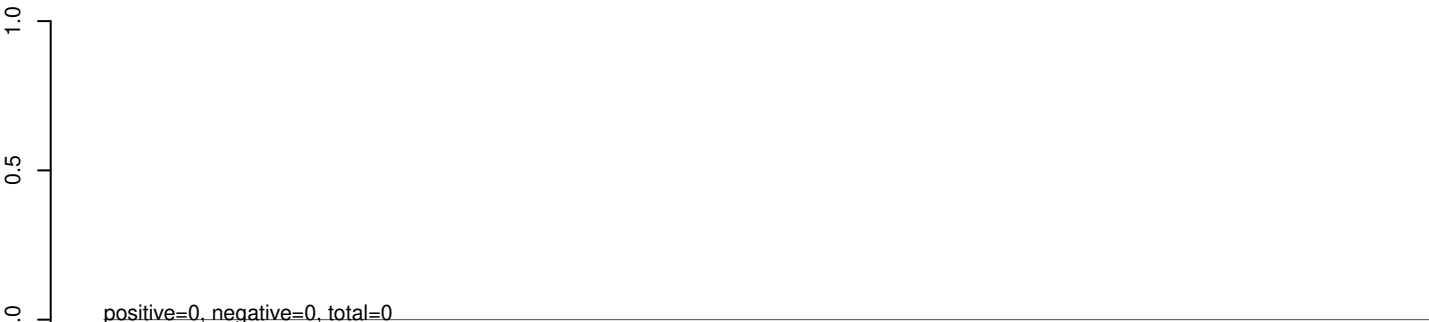
AeAeg_Whole_ZIKVdr_In2_GP.rep



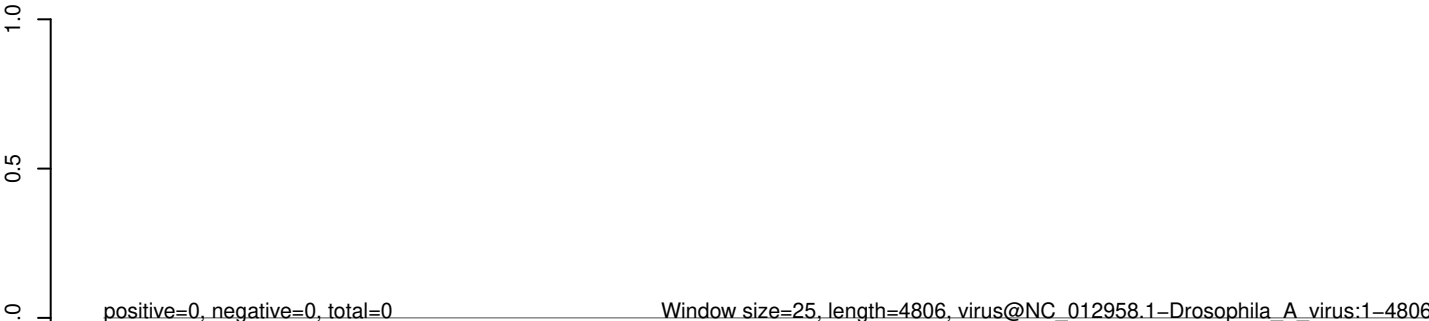
AeAeg_Whole_ZIKVdr_In2_GP.18_23.rep



AeAeg_Whole_ZIKVdr_In2_GP.24_35.rep



AeAeg_Whole_ZIKVdr_In2_GP.rep



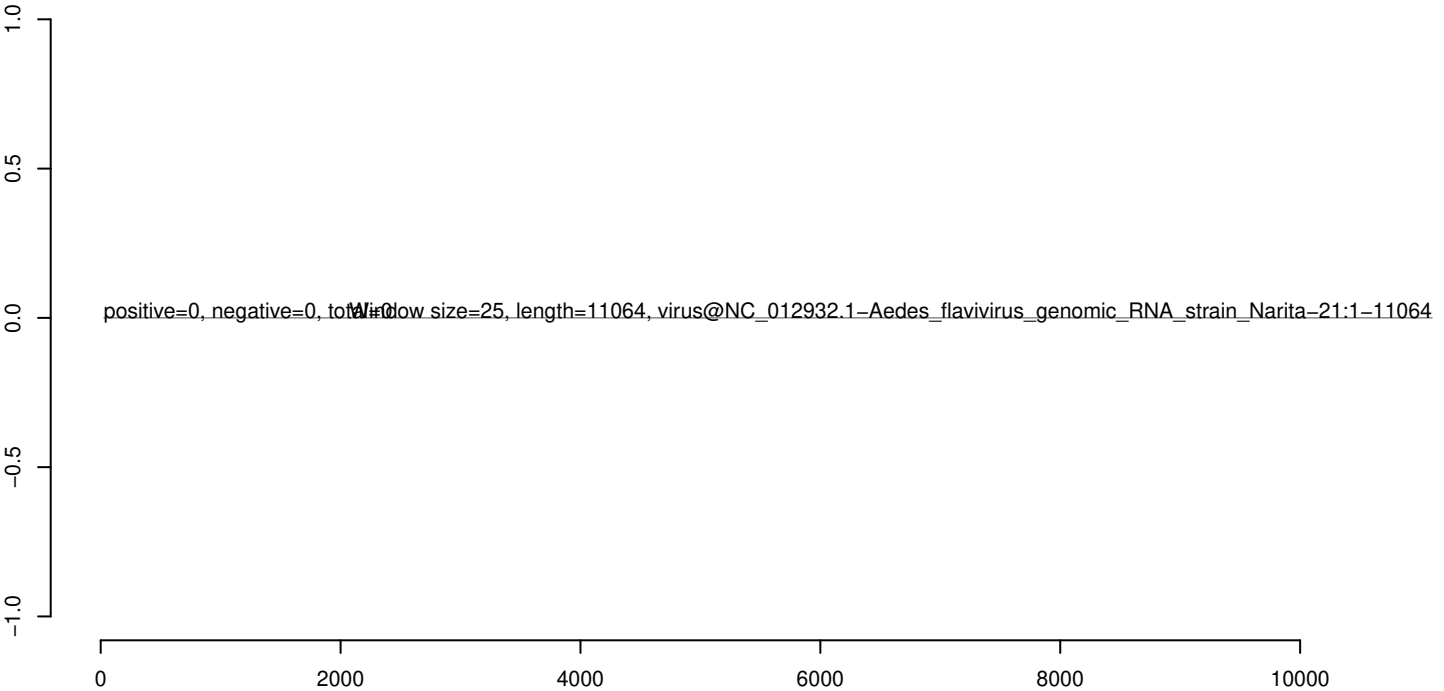
AeAeg_Whole_ZIKVdr_In2_GP.18_23.rep



AeAeg_Whole_ZIKVdr_In2_GP.24_35.rep



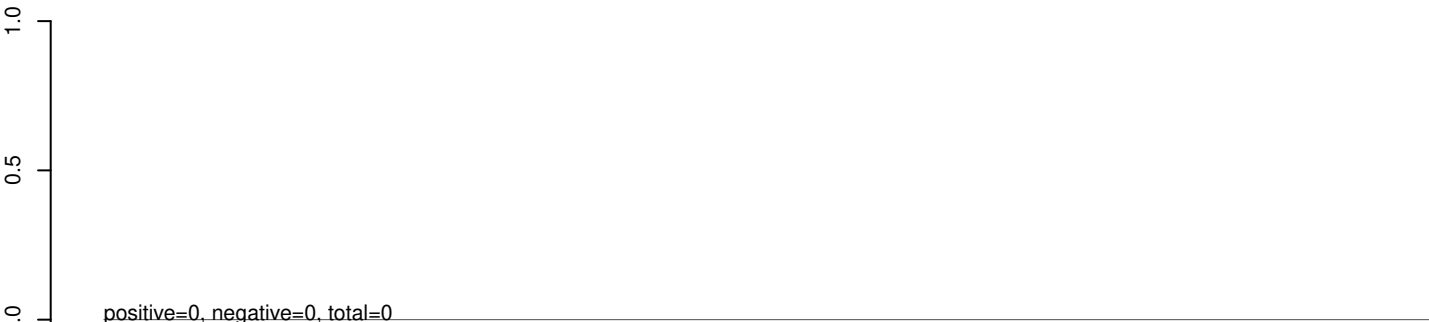
AeAeg_Whole_ZIKVdr_In2_GP.rep



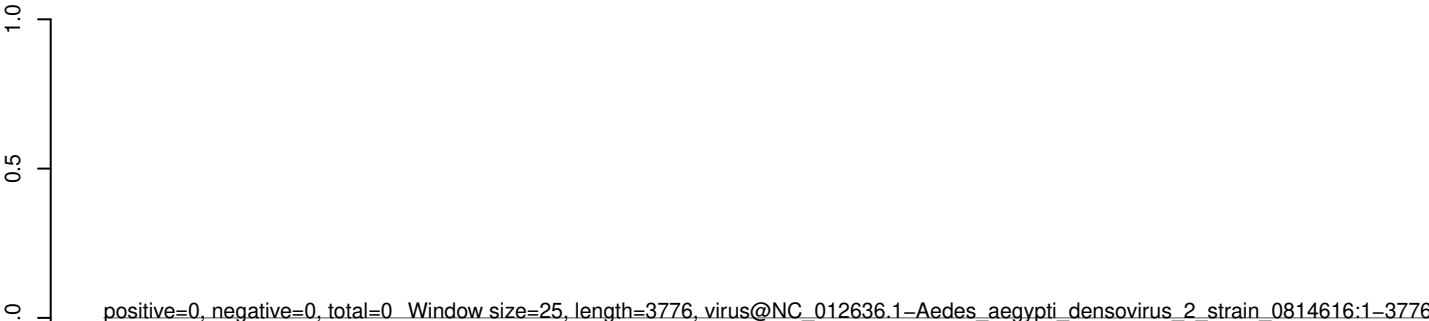
AeAeg_Whole_ZIKVdr_In2_GP.18_23.rep



AeAeg_Whole_ZIKVdr_In2_GP.24_35.rep



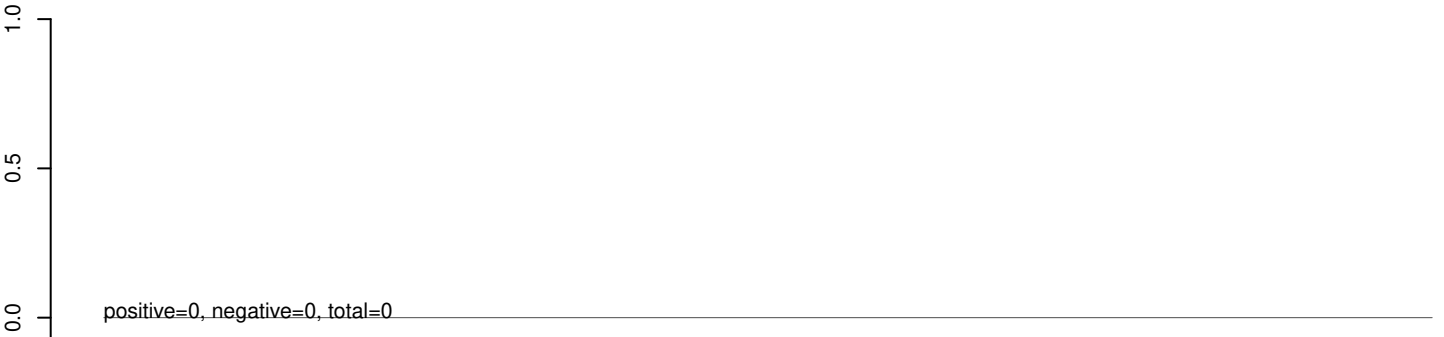
AeAeg_Whole_ZIKVdr_In2_GP.rep



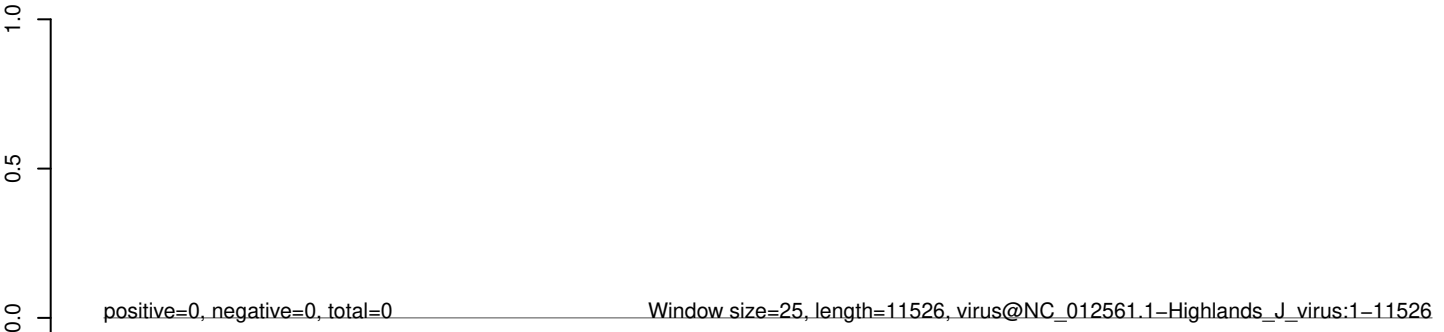
AeAeg_Whole_ZIKVdr_In2_GP.18_23.rep



AeAeg_Whole_ZIKVdr_In2_GP.24_35.rep



AeAeg_Whole_ZIKVdr_In2_GP.rep



0 2000 4000 6000 8000 10000 12000

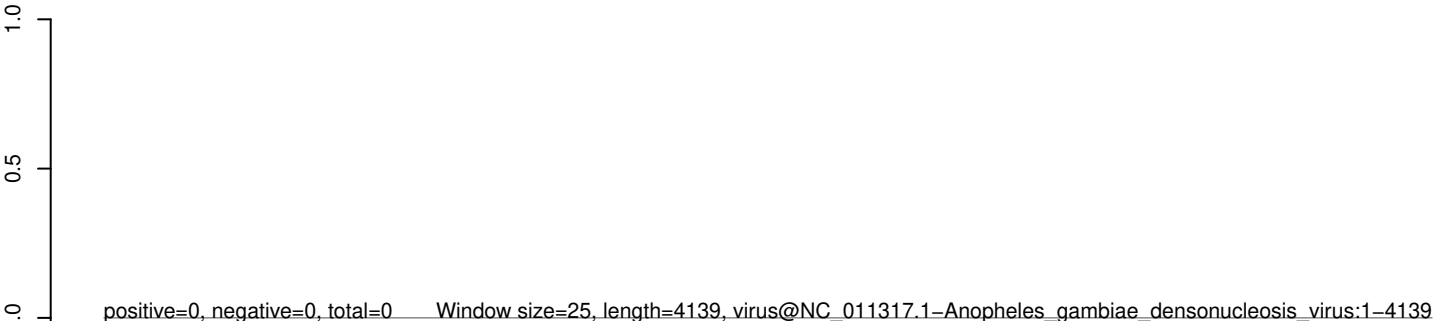
AeAeg_Whole_ZIKVdr_In2_GP.18_23.rep



AeAeg_Whole_ZIKVdr_In2_GP.24_35.rep



AeAeg_Whole_ZIKVdr_In2_GP.rep



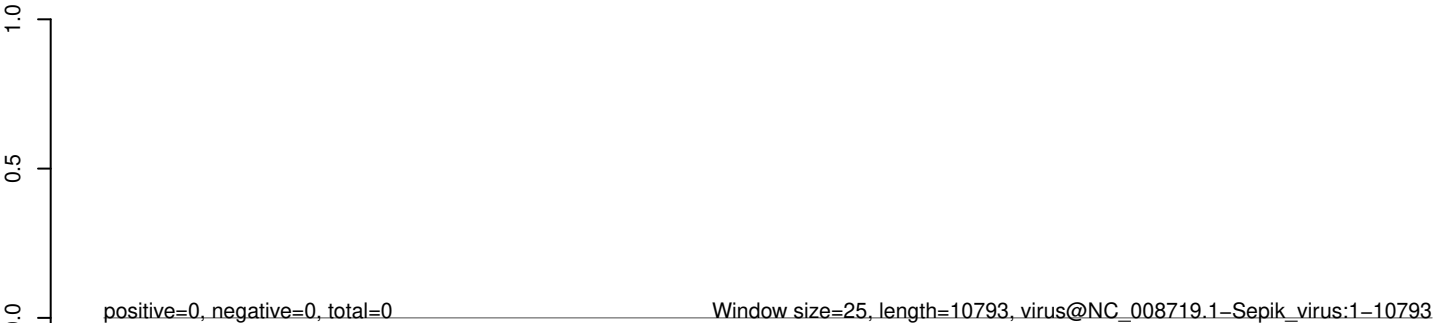
AeAeg_Whole_ZIKVdr_In2_GP.18_23.rep



AeAeg_Whole_ZIKVdr_In2_GP.24_35.rep



AeAeg_Whole_ZIKVdr_In2_GP.rep



0 2000 4000 6000 8000 10000

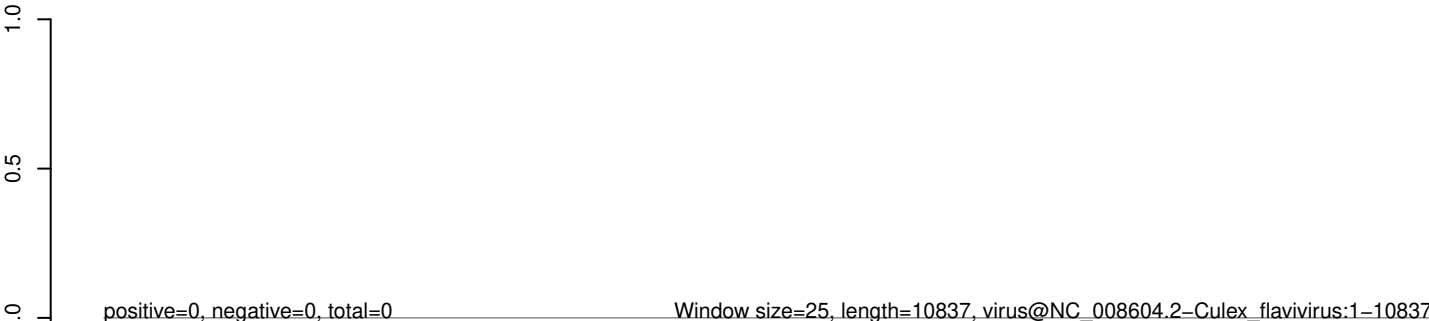
AeAeg_Whole_ZIKVdr_In2_GP.18_23.rep



AeAeg_Whole_ZIKVdr_In2_GP.24_35.rep



AeAeg_Whole_ZIKVdr_In2_GP.rep



0 2000 4000 6000 8000 10000

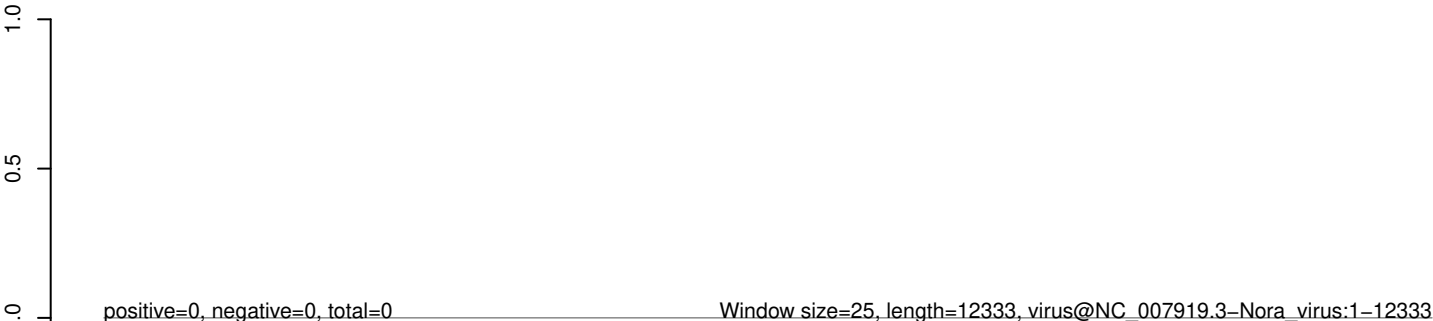
AeAeg_Whole_ZIKVdr_In2_GP.18_23.rep



AeAeg_Whole_ZIKVdr_In2_GP.24_35.rep



AeAeg_Whole_ZIKVdr_In2_GP.rep



0 2000 4000 6000 8000 10000 12000

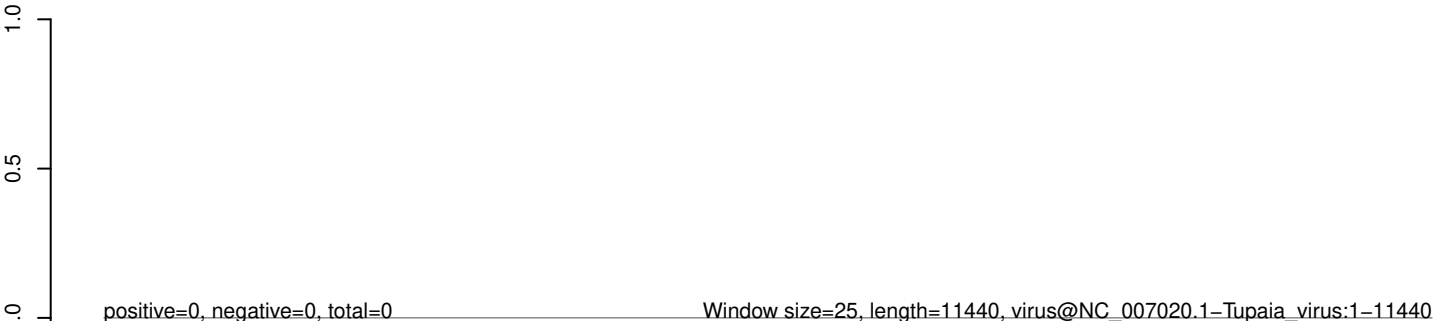
AeAeg_Whole_ZIKVdr_In2_GP.18_23.rep



AeAeg_Whole_ZIKVdr_In2_GP.24_35.rep



AeAeg_Whole_ZIKVdr_In2_GP.rep



0 2000 4000 6000 8000 10000

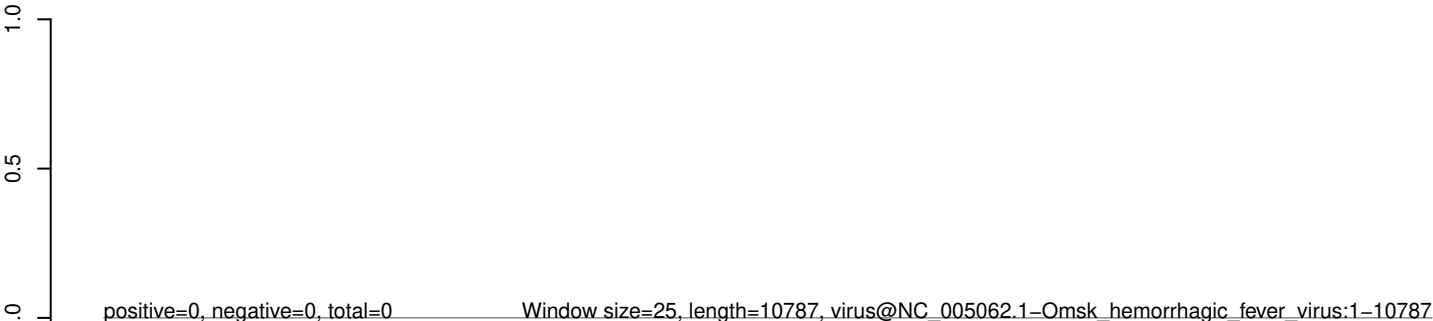
AeAeg_Whole_ZIKVdr_In2_GP.18_23.rep



AeAeg_Whole_ZIKVdr_In2_GP.24_35.rep



AeAeg_Whole_ZIKVdr_In2_GP.rep



0 2000 4000 6000 8000 10000

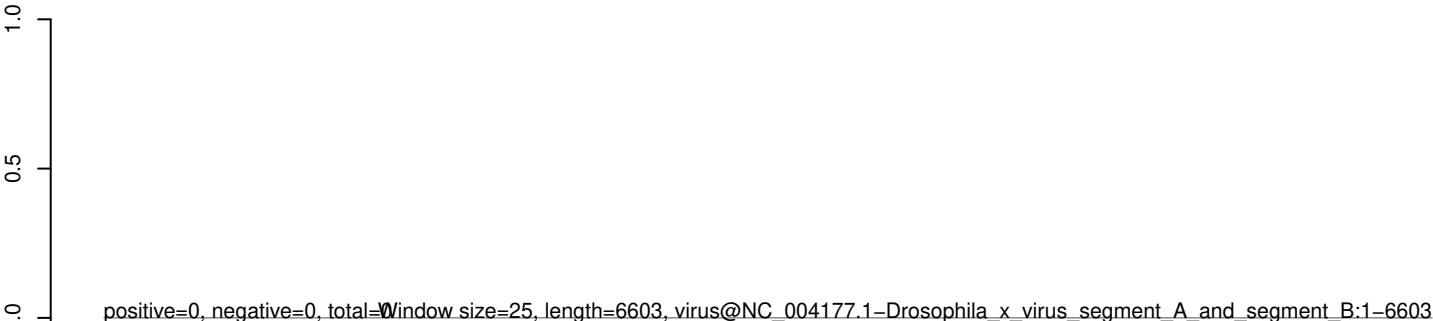
AeAeg_Whole_ZIKVdr_In2_GP.18_23.rep



AeAeg_Whole_ZIKVdr_In2_GP.24_35.rep



AeAeg_Whole_ZIKVdr_In2_GP.rep

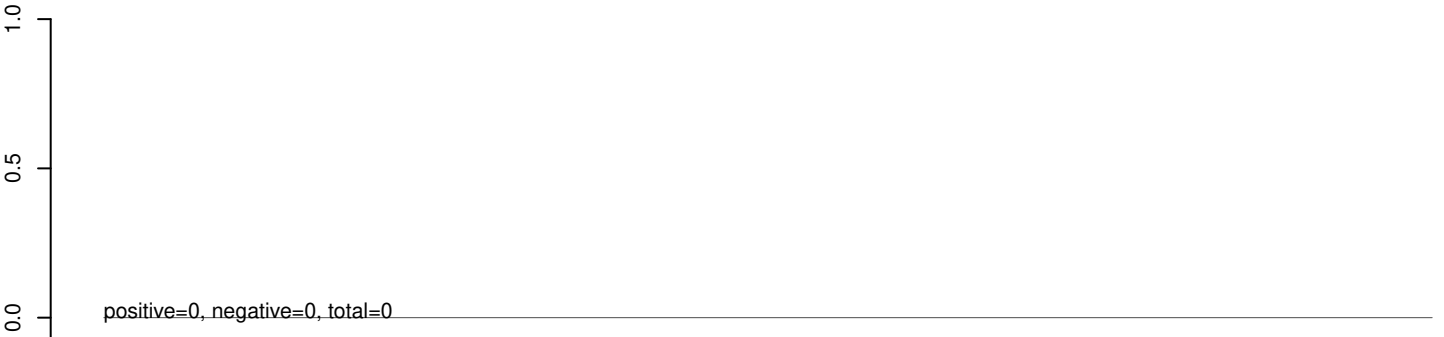


0 1000 2000 3000 4000 5000 6000

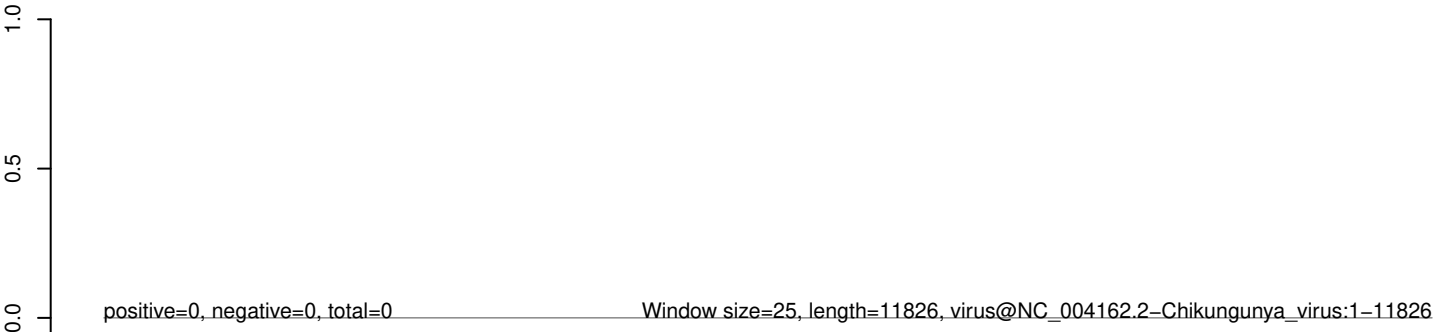
AeAeg_Whole_ZIKVdr_In2_GP.18_23.rep



AeAeg_Whole_ZIKVdr_In2_GP.24_35.rep



AeAeg_Whole_ZIKVdr_In2_GP.rep



0 2000 4000 6000 8000 10000 12000

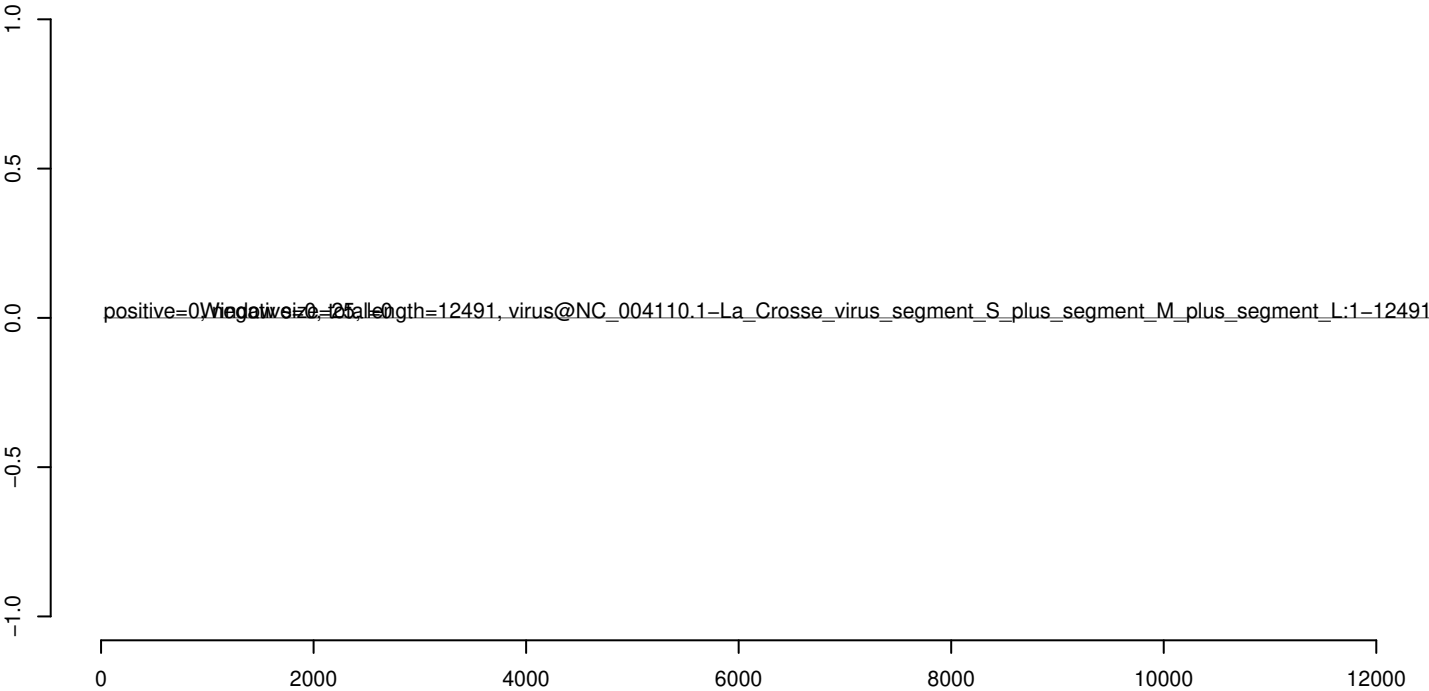
AeAeg_Whole_ZIKVdr_In2_GP.18_23.rep



AeAeg_Whole_ZIKVdr_In2_GP.24_35.rep



AeAeg_Whole_ZIKVdr_In2_GP.rep



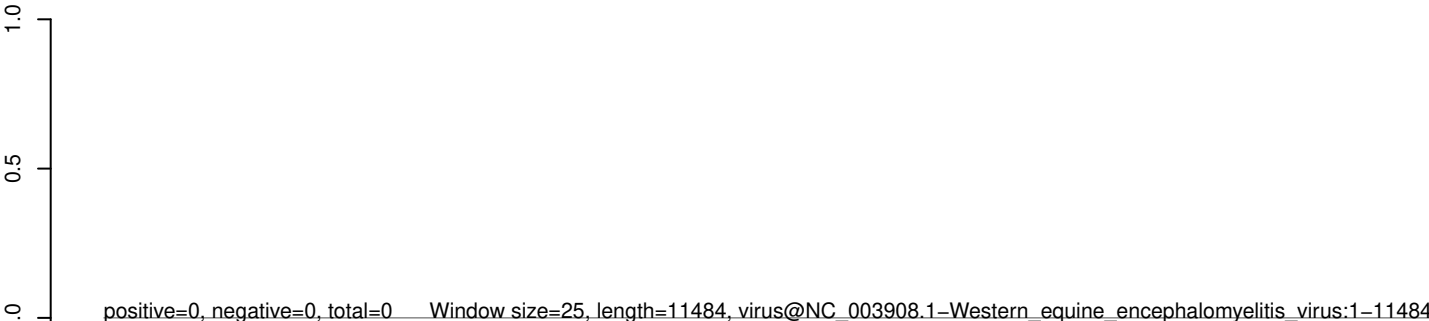
AeAeg_Whole_ZIKVdr_In2_GP.18_23.rep



AeAeg_Whole_ZIKVdr_In2_GP.24_35.rep



AeAeg_Whole_ZIKVdr_In2_GP.rep

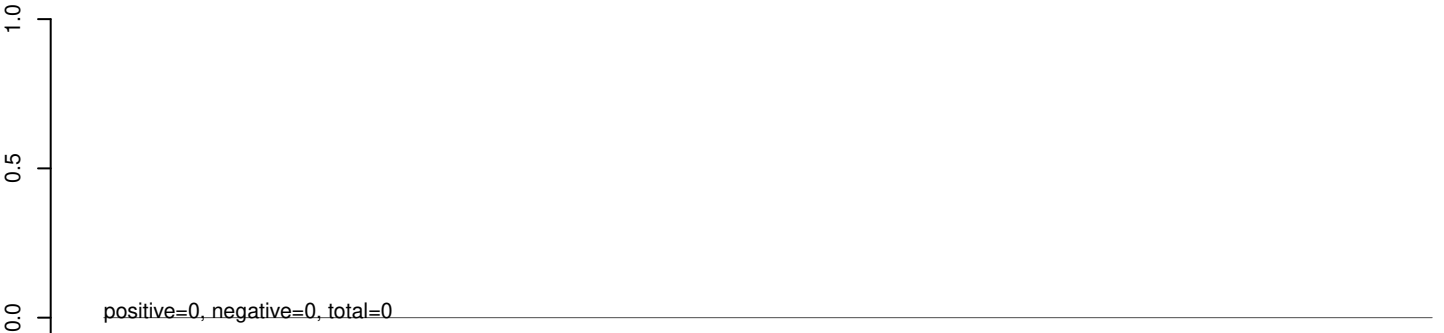


0 2000 4000 6000 8000 10000

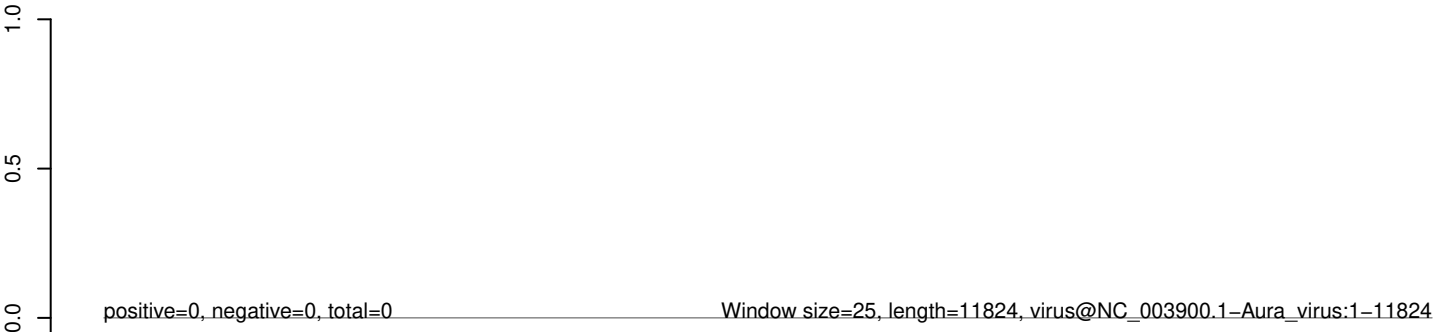
AeAeg_Whole_ZIKVdr_In2_GP.18_23.rep



AeAeg_Whole_ZIKVdr_In2_GP.24_35.rep



AeAeg_Whole_ZIKVdr_In2_GP.rep



0 2000 4000 6000 8000 10000 12000

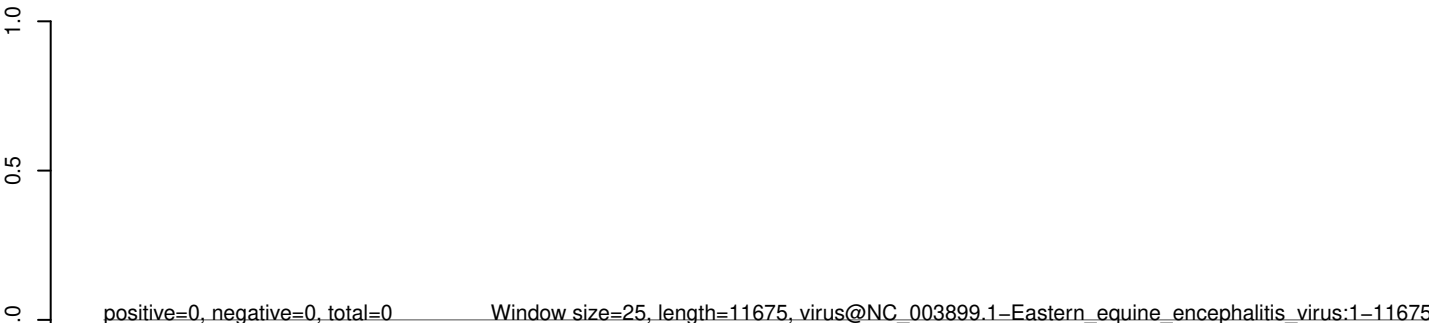
AeAeg_Whole_ZIKVdr_In2_GP.18_23.rep



AeAeg_Whole_ZIKVdr_In2_GP.24_35.rep



AeAeg_Whole_ZIKVdr_In2_GP.rep



0 2000 4000 6000 8000 10000 12000

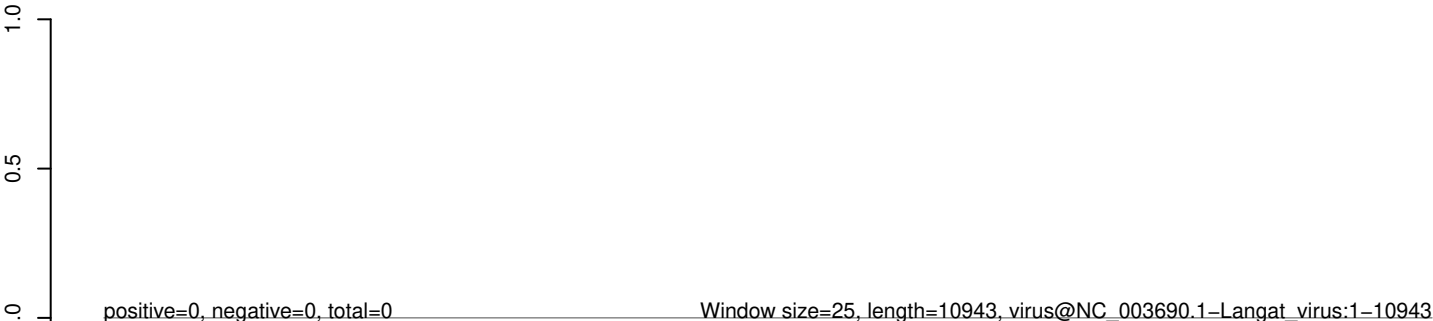
AeAeg_Whole_ZIKVdr_In2_GP.18_23.rep



AeAeg_Whole_ZIKVdr_In2_GP.24_35.rep



AeAeg_Whole_ZIKVdr_In2_GP.rep



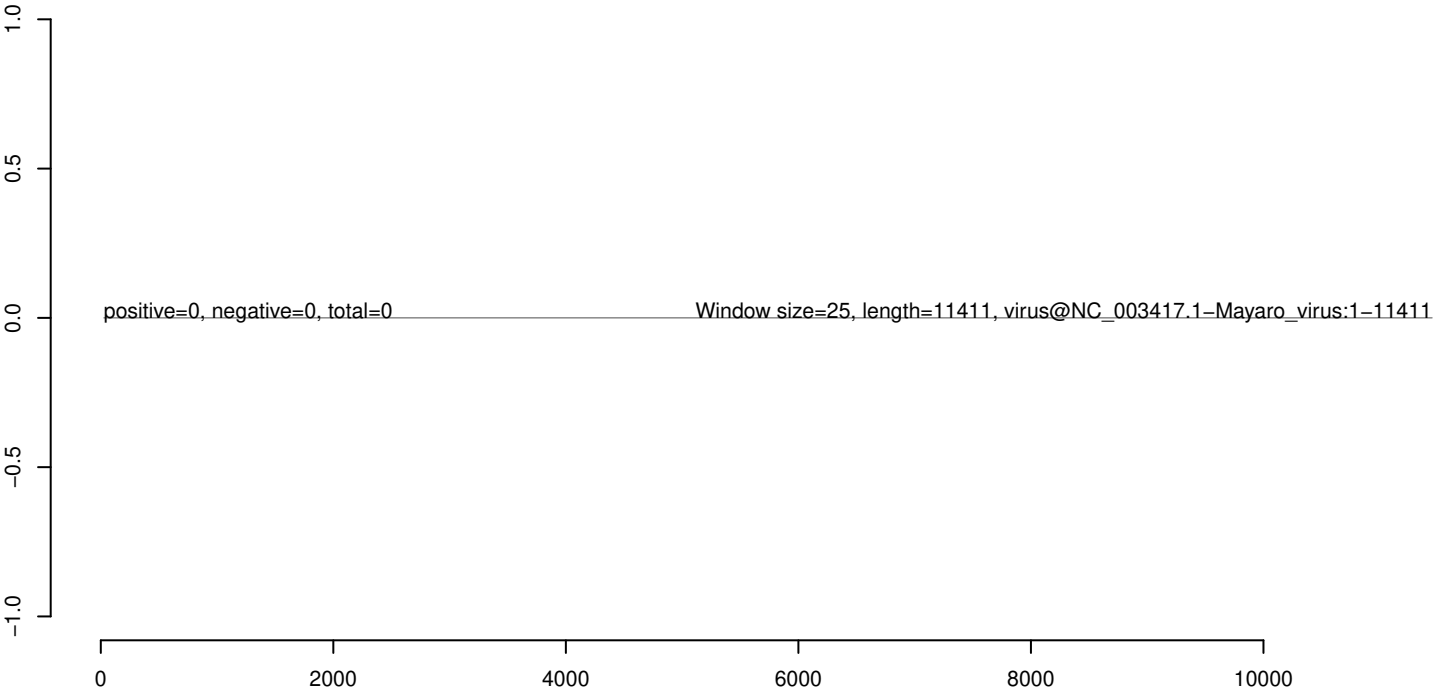
AeAeg_Whole_ZIKVdr_In2_GP.18_23.rep



AeAeg_Whole_ZIKVdr_In2_GP.24_35.rep



AeAeg_Whole_ZIKVdr_In2_GP.rep



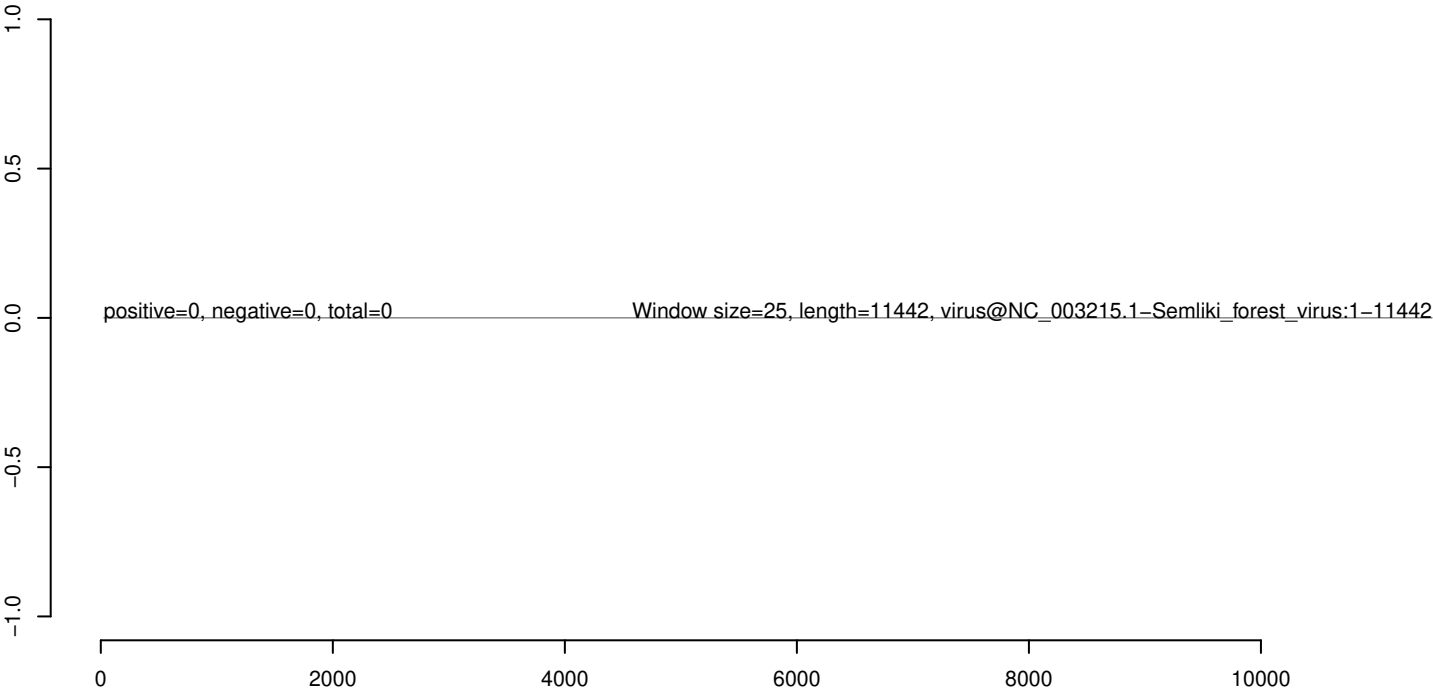
AeAeg_Whole_ZIKVdr_In2_GP.18_23.rep



AeAeg_Whole_ZIKVdr_In2_GP.24_35.rep



AeAeg_Whole_ZIKVdr_In2_GP.rep



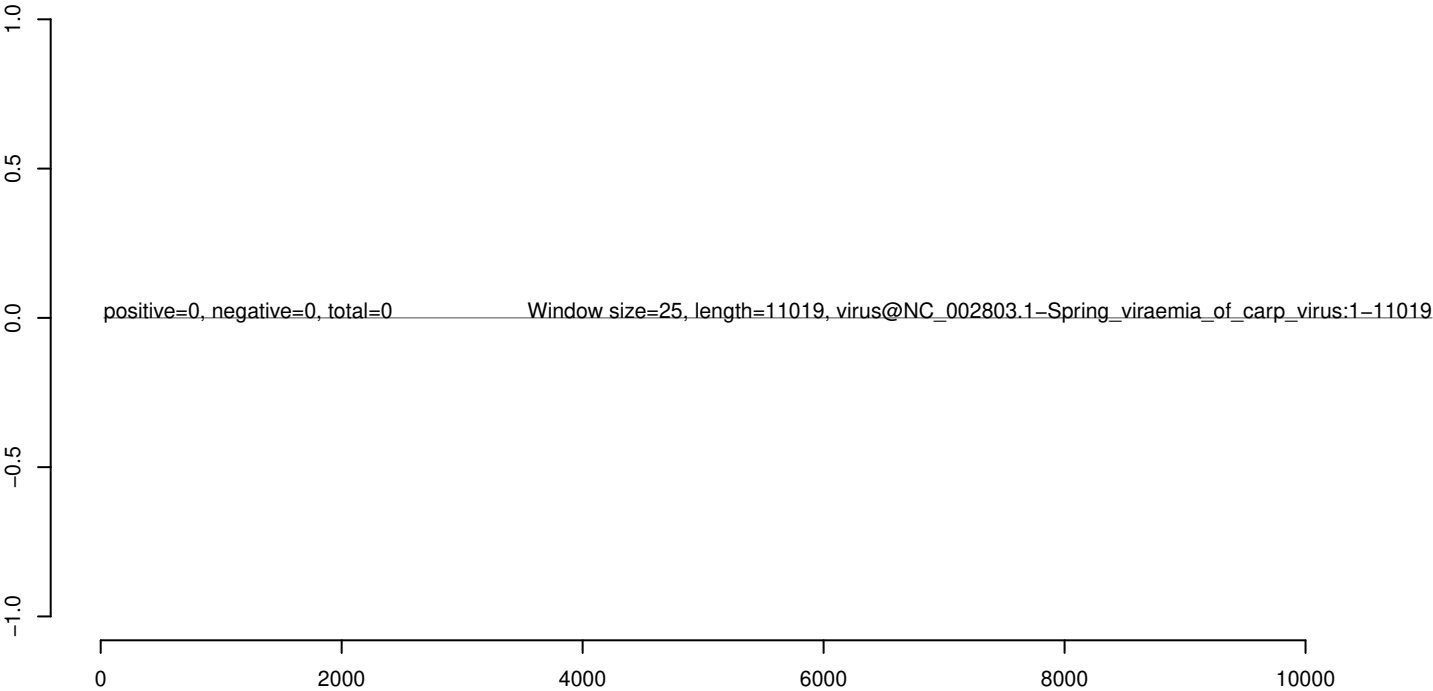
AeAeg_Whole_ZIKVdr_In2_GP.18_23.rep



AeAeg_Whole_ZIKVdr_In2_GP.24_35.rep



AeAeg_Whole_ZIKVdr_In2_GP.rep



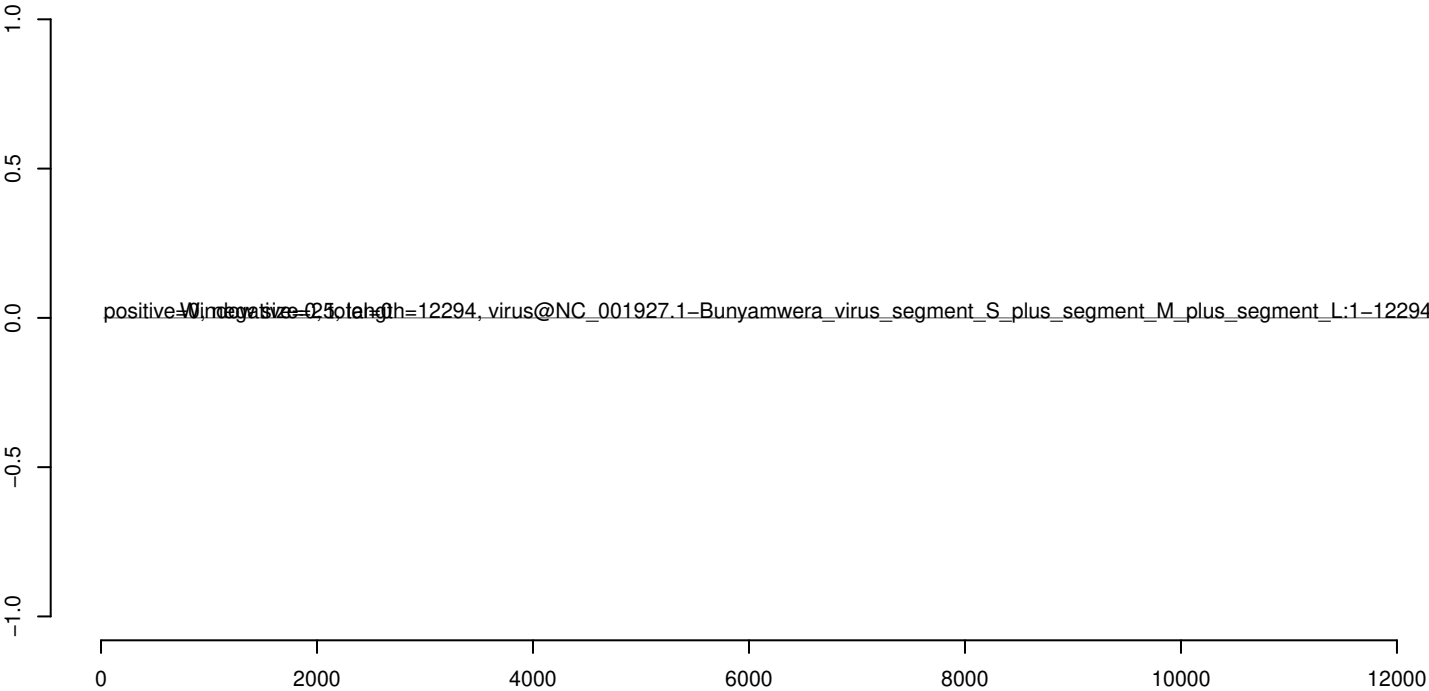
AeAeg_Whole_ZIKVdr_In2_GP.18_23.rep



AeAeg_Whole_ZIKVdr_In2_GP.24_35.rep



AeAeg_Whole_ZIKVdr_In2_GP.rep



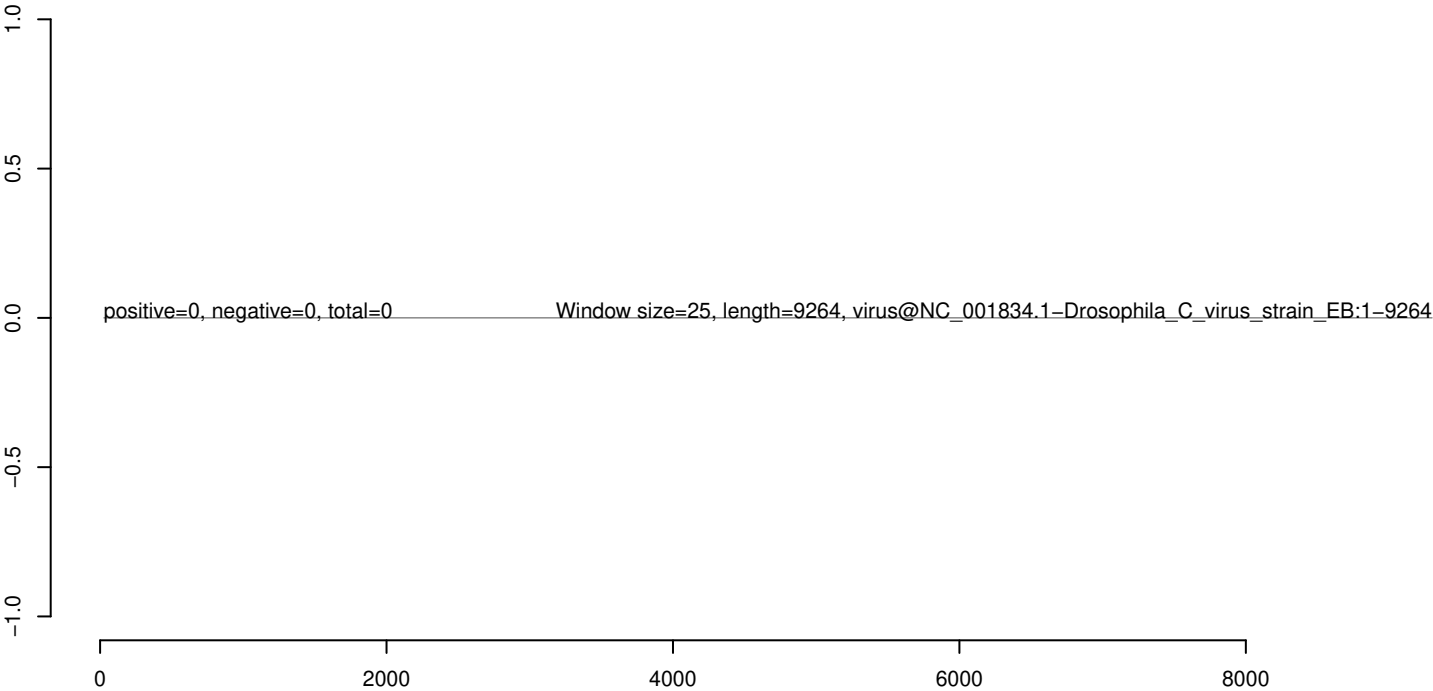
AeAeg_Whole_ZIKVdr_In2_GP.18_23.rep



AeAeg_Whole_ZIKVdr_In2_GP.24_35.rep



AeAeg_Whole_ZIKVdr_In2_GP.rep



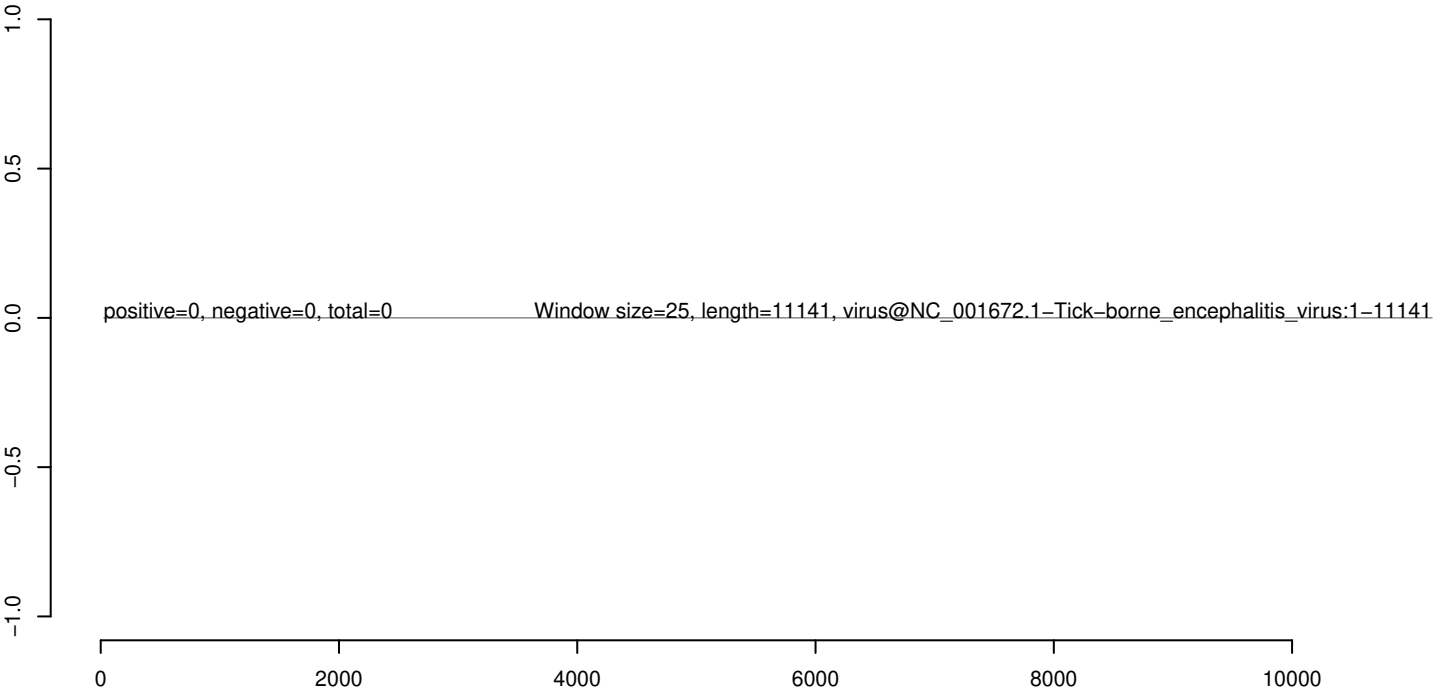
AeAeg_Whole_ZIKVdr_In2_GP.18_23.rep



AeAeg_Whole_ZIKVdr_In2_GP.24_35.rep



AeAeg_Whole_ZIKVdr_In2_GP.rep



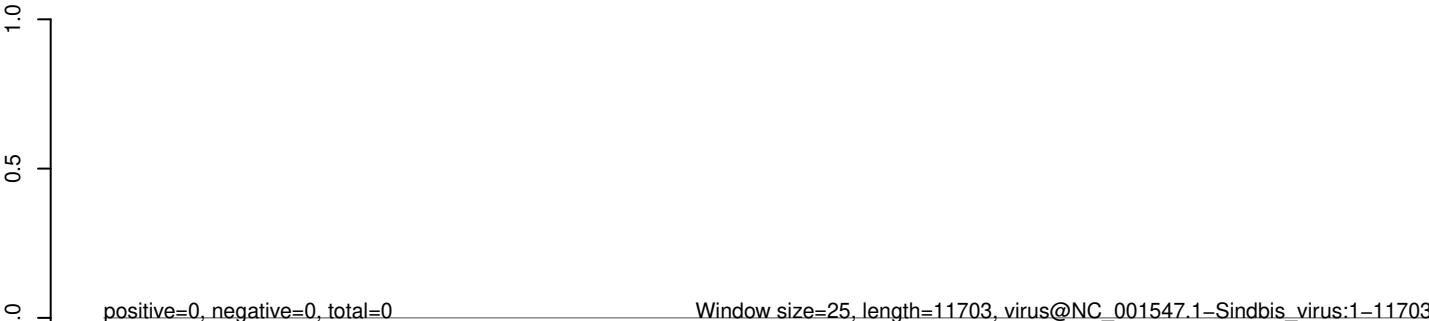
AeAeg_Whole_ZIKVdr_In2_GP.18_23.rep



AeAeg_Whole_ZIKVdr_In2_GP.24_35.rep



AeAeg_Whole_ZIKVdr_In2_GP.rep

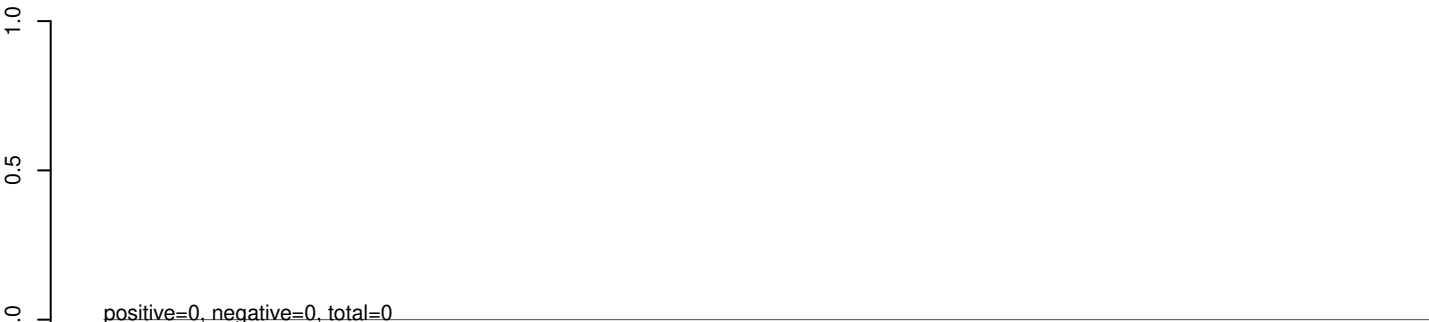


0 2000 4000 6000 8000 10000 12000

AeAeg_Whole_ZIKVdr_In2_GP.18_23.rep



AeAeg_Whole_ZIKVdr_In2_GP.24_35.rep



AeAeg_Whole_ZIKVdr_In2_GP.rep



AeAeg_Whole_ZIKVdr_In2_GP.18_23.rep



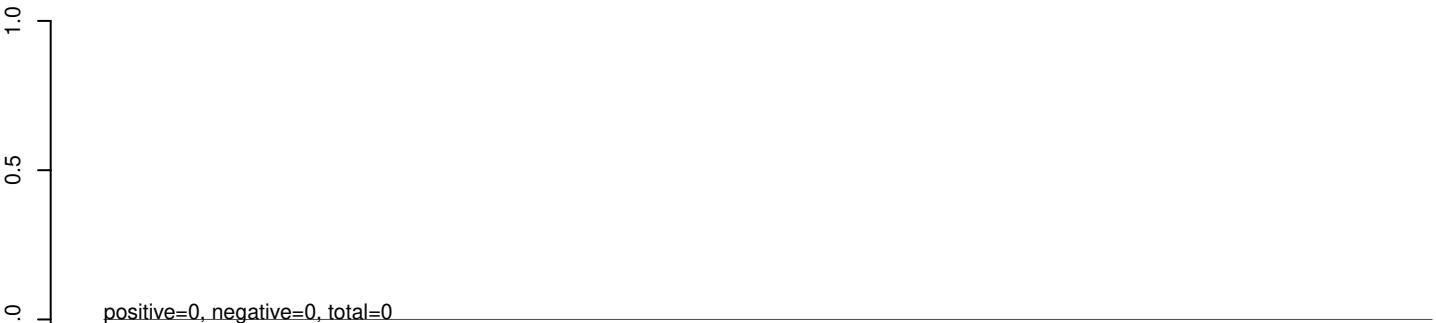
AeAeg_Whole_ZIKVdr_In2_GP.24_35.rep



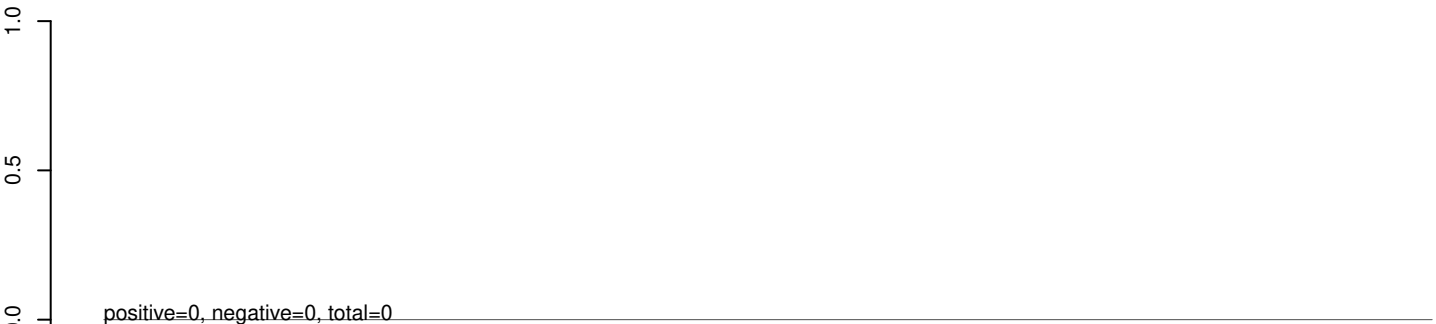
AeAeg_Whole_ZIKVdr_In2_GP.rep



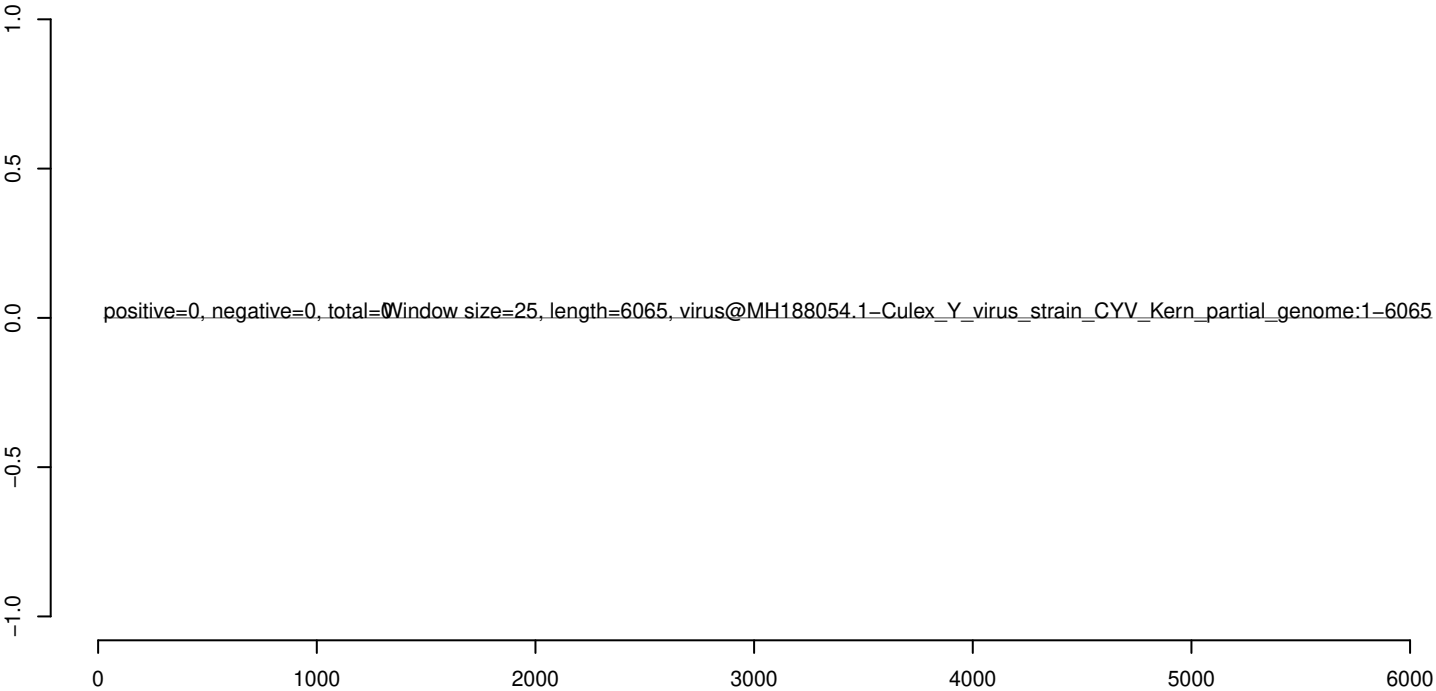
AeAeg_Whole_ZIKVdr_In2_GP.18_23.rep



AeAeg_Whole_ZIKVdr_In2_GP.24_35.rep



AeAeg_Whole_ZIKVdr_In2_GP.rep



AeAeg_Whole_ZIKVdr_In2_GP.18_23.rep



AeAeg_Whole_ZIKVdr_In2_GP.24_35.rep



AeAeg_Whole_ZIKVdr_In2_GP.rep



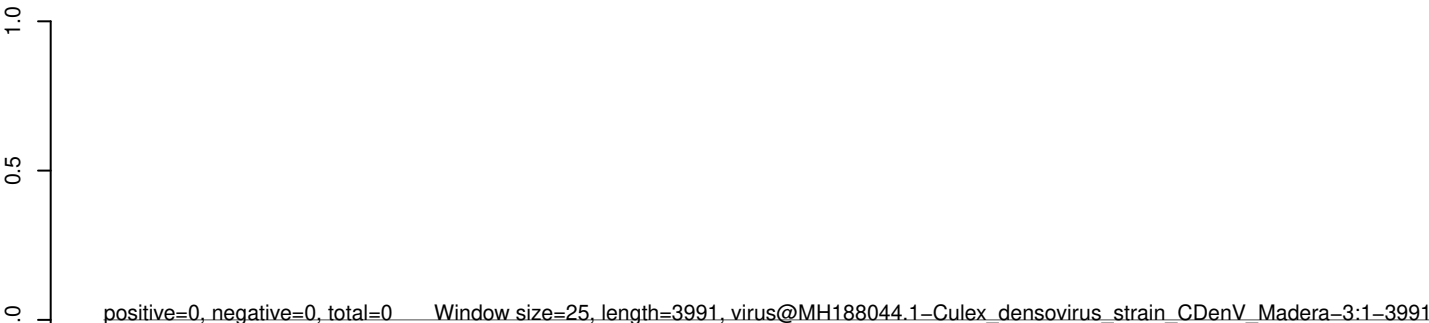
AeAeg_Whole_ZIKVdr_In2_GP.18_23.rep



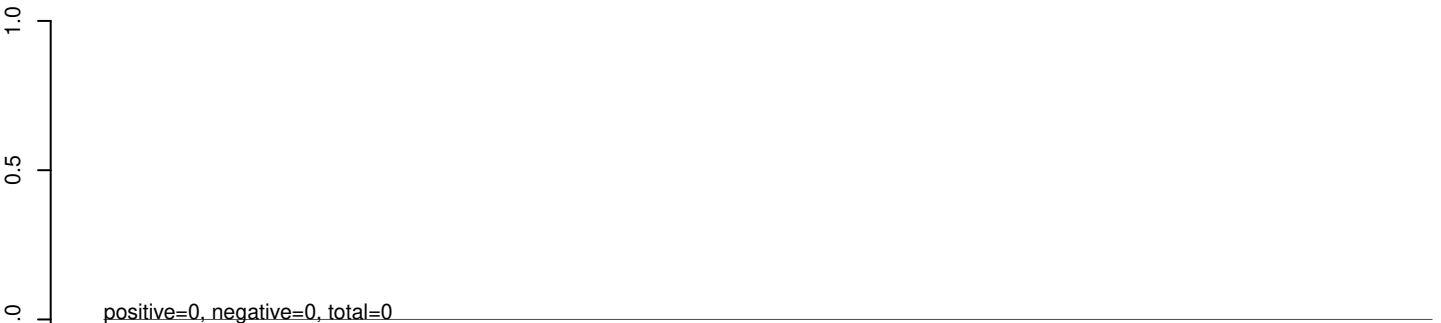
AeAeg_Whole_ZIKVdr_In2_GP.24_35.rep



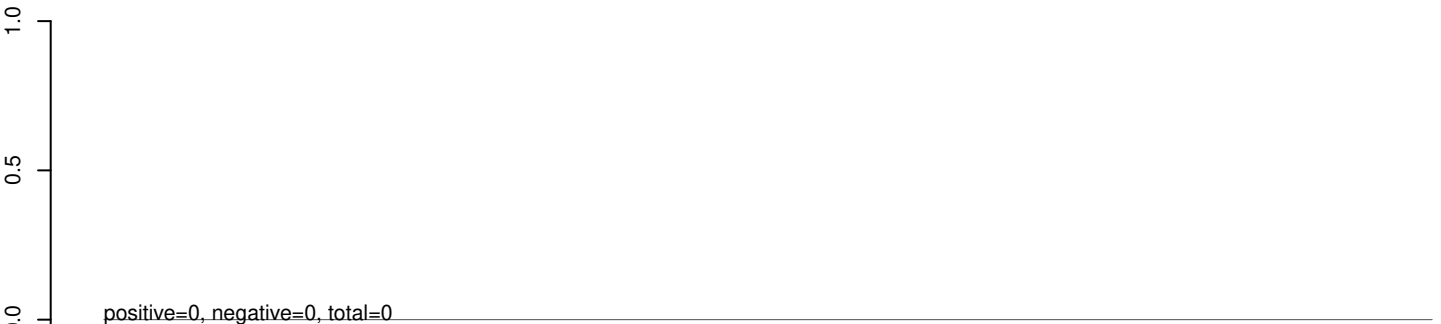
AeAeg_Whole_ZIKVdr_In2_GP.rep



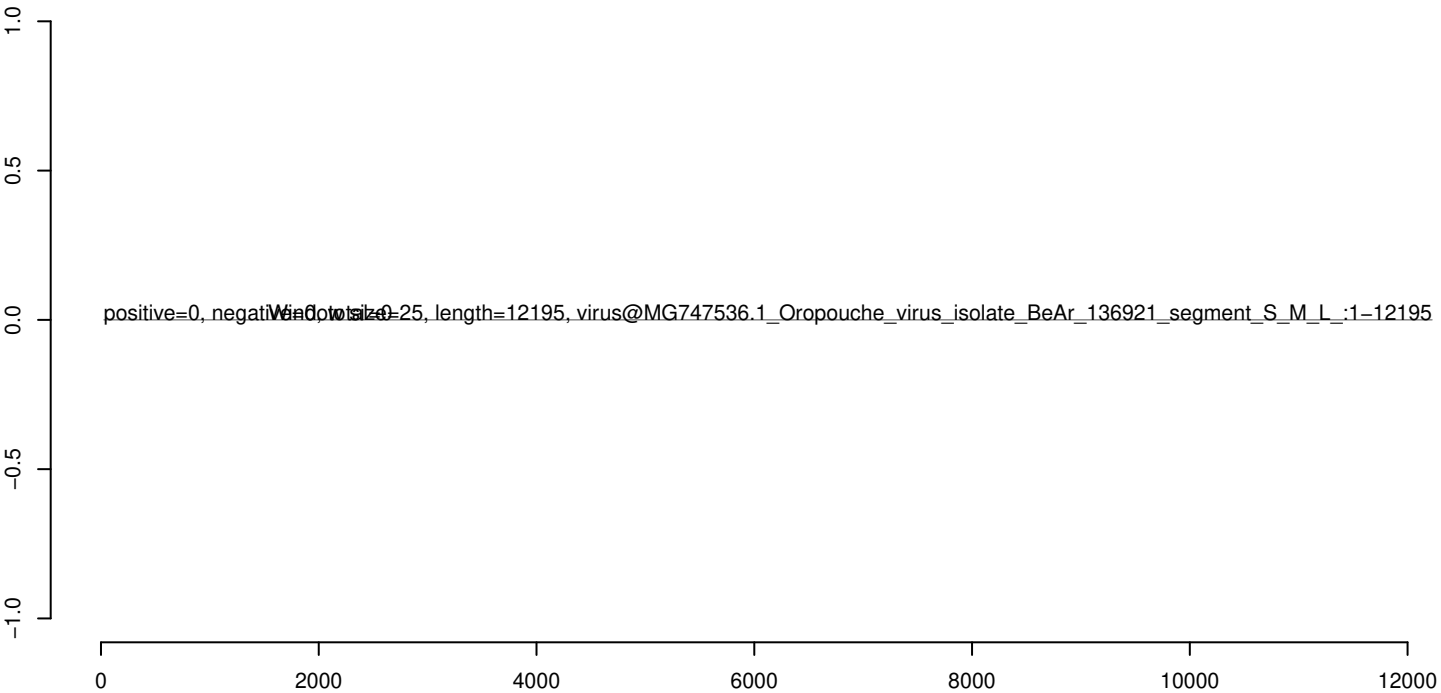
AeAeg_Whole_ZIKVdr_In2_GP.18_23.rep



AeAeg_Whole_ZIKVdr_In2_GP.24_35.rep



AeAeg_Whole_ZIKVdr_In2_GP.rep



AeAeg_Whole_ZIKVdr_In2_GP.18_23.rep



AeAeg_Whole_ZIKVdr_In2_GP.24_35.rep

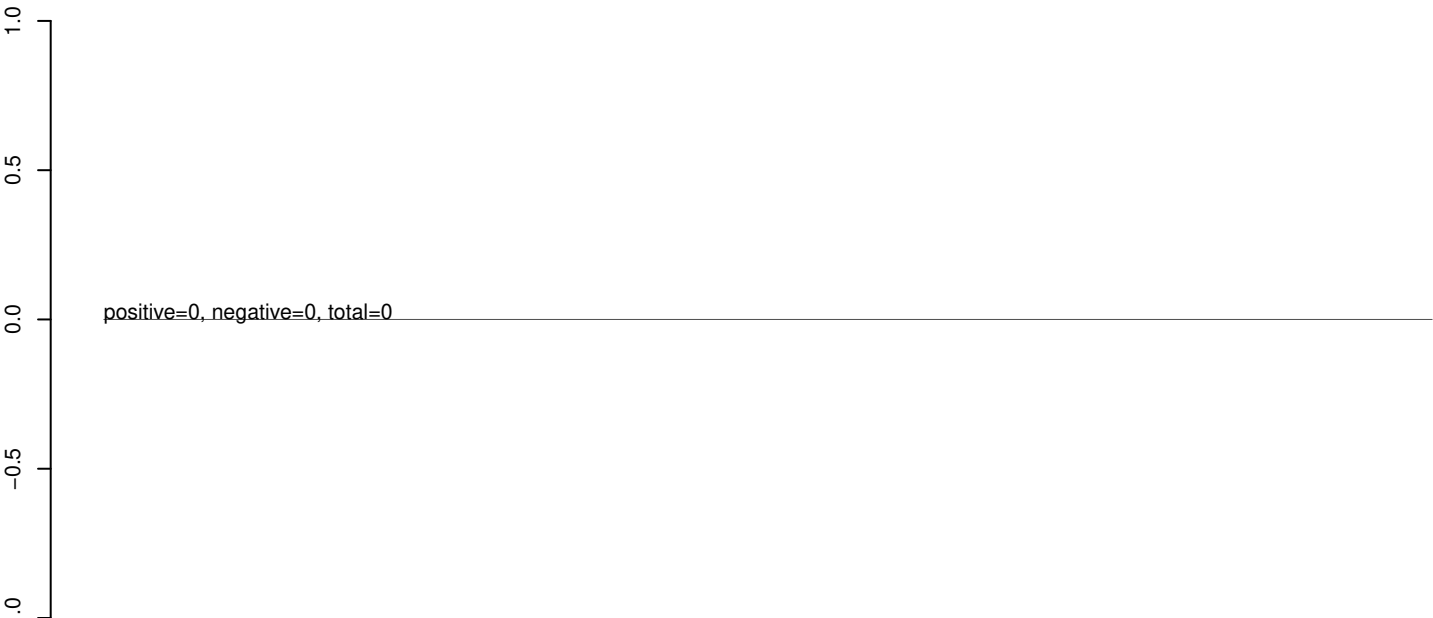


AeAeg_Whole_ZIKVdr_In2_GP.rep

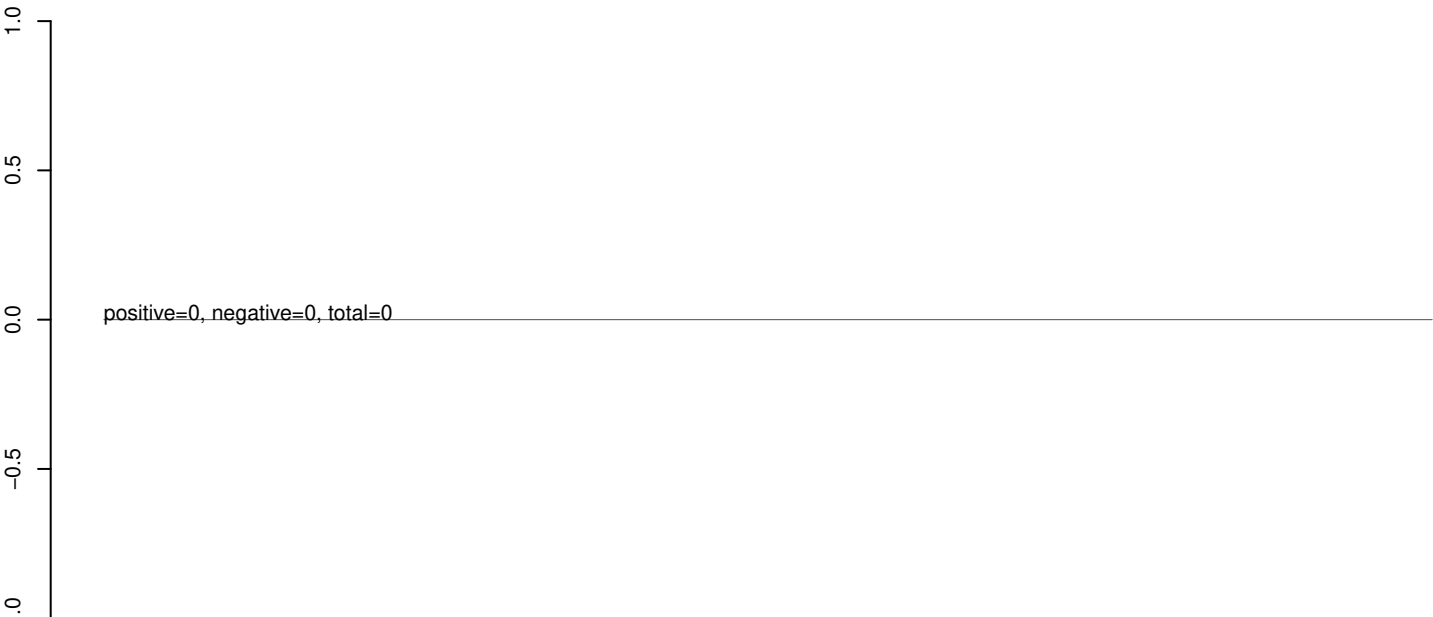


0 2000 4000 6000 8000 10000 12000

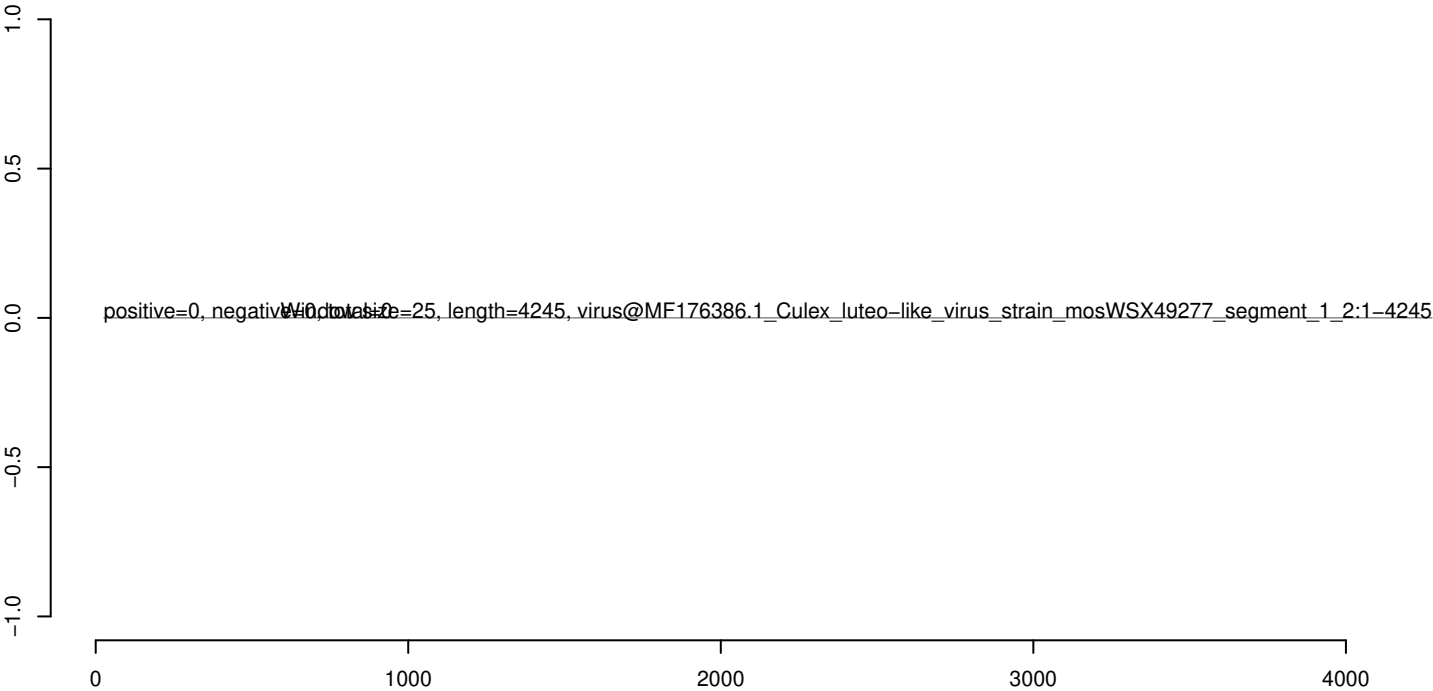
AeAeg_Whole_ZIKVdr_In2_GP.18_23.rep



AeAeg_Whole_ZIKVdr_In2_GP.24_35.rep



AeAeg_Whole_ZIKVdr_In2_GP.rep



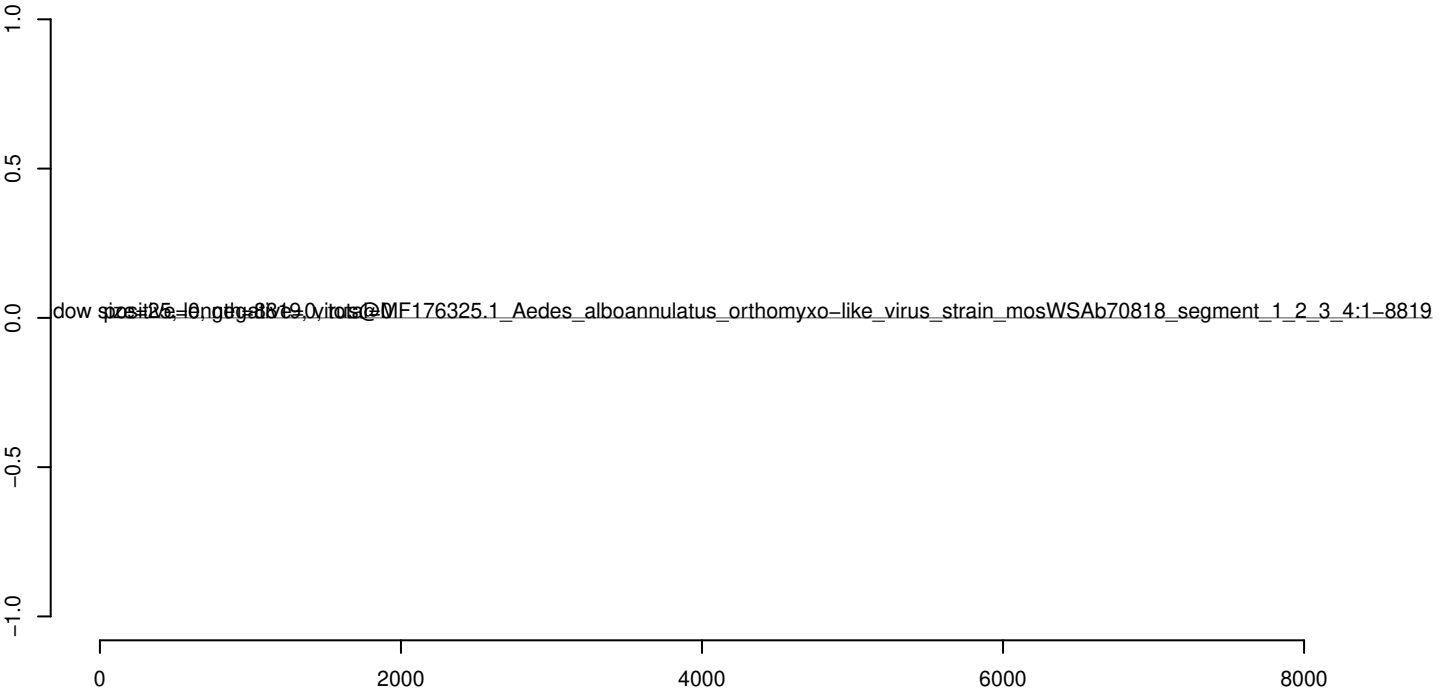
AeAeg_Whole_ZIKVdr_In2_GP.18_23.rep



AeAeg_Whole_ZIKVdr_In2_GP.24_35.rep



AeAeg_Whole_ZIKVdr_In2_GP.rep



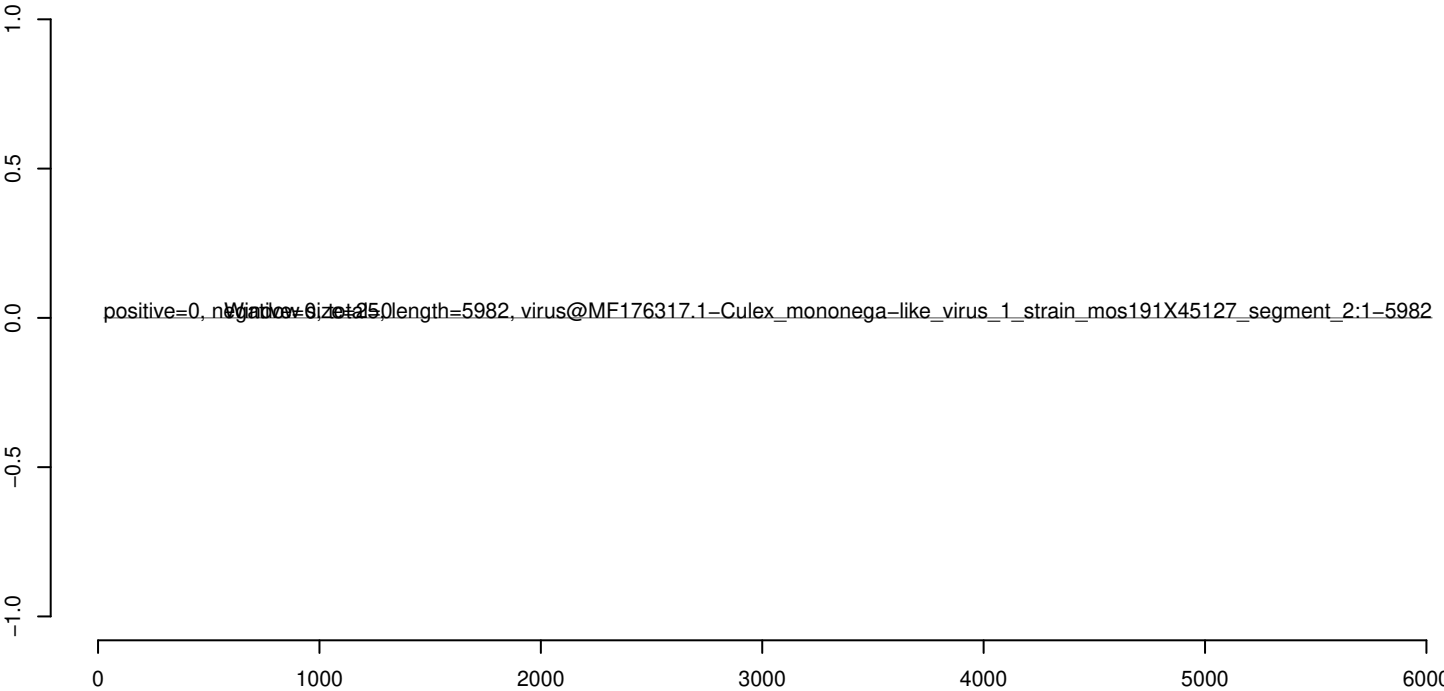
AeAeg_Whole_ZIKVdr_In2_GP.18_23.rep



AeAeg_Whole_ZIKVdr_In2_GP.24_35.rep



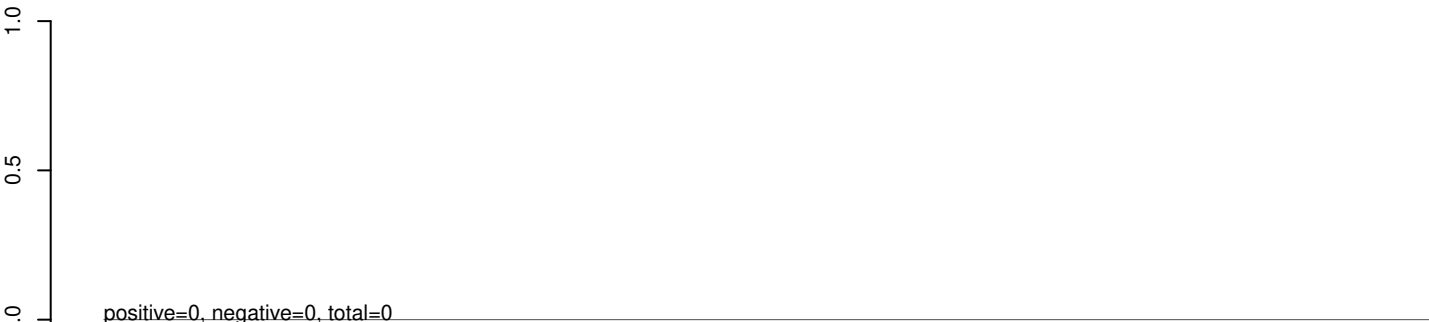
AeAeg_Whole_ZIKVdr_In2_GP.rep



AeAeg_Whole_ZIKVdr_In2_GP.18_23.rep



AeAeg_Whole_ZIKVdr_In2_GP.24_35.rep



AeAeg_Whole_ZIKVdr_In2_GP.rep

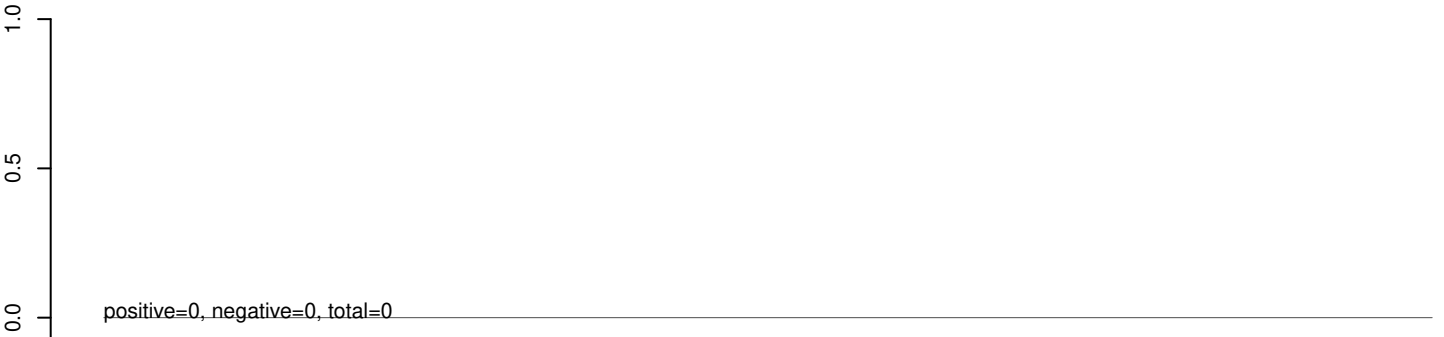


0 2000 4000 6000 8000 10000 12000

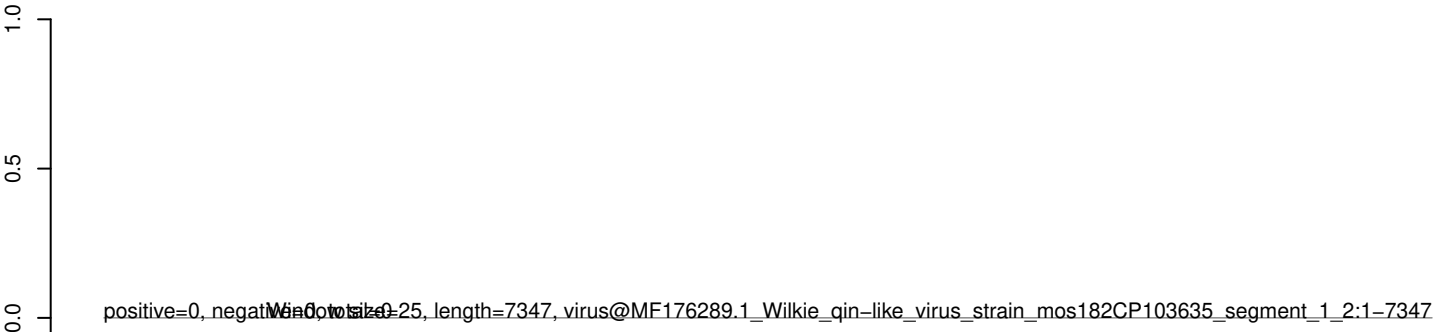
AeAeg_Whole_ZIKVdr_In2_GP.18_23.rep



AeAeg_Whole_ZIKVdr_In2_GP.24_35.rep



AeAeg_Whole_ZIKVdr_In2_GP.rep



AeAeg_Whole_ZIKVdr_In2_GP.18_23.rep



AeAeg_Whole_ZIKVdr_In2_GP.24_35.rep



AeAeg_Whole_ZIKVdr_In2_GP.rep



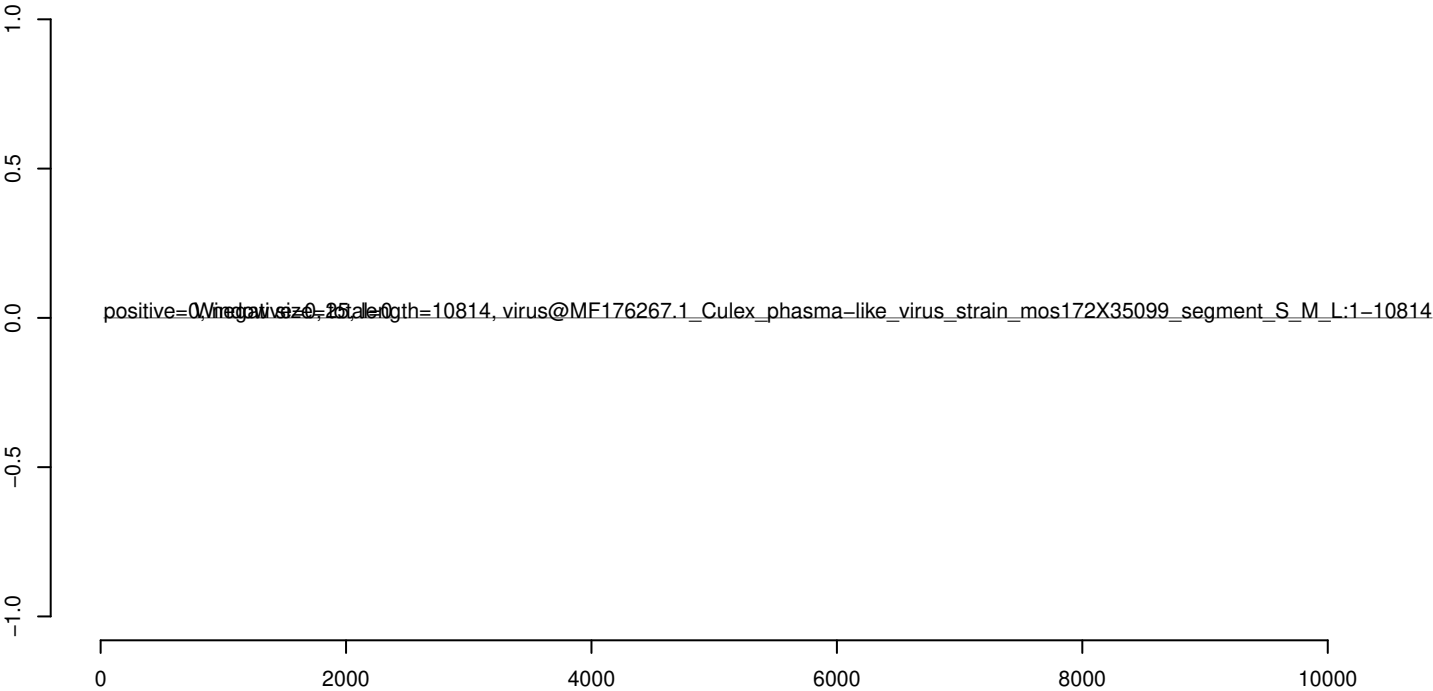
AeAeg_Whole_ZIKVdr_In2_GP.18_23.rep



AeAeg_Whole_ZIKVdr_In2_GP.24_35.rep



AeAeg_Whole_ZIKVdr_In2_GP.rep



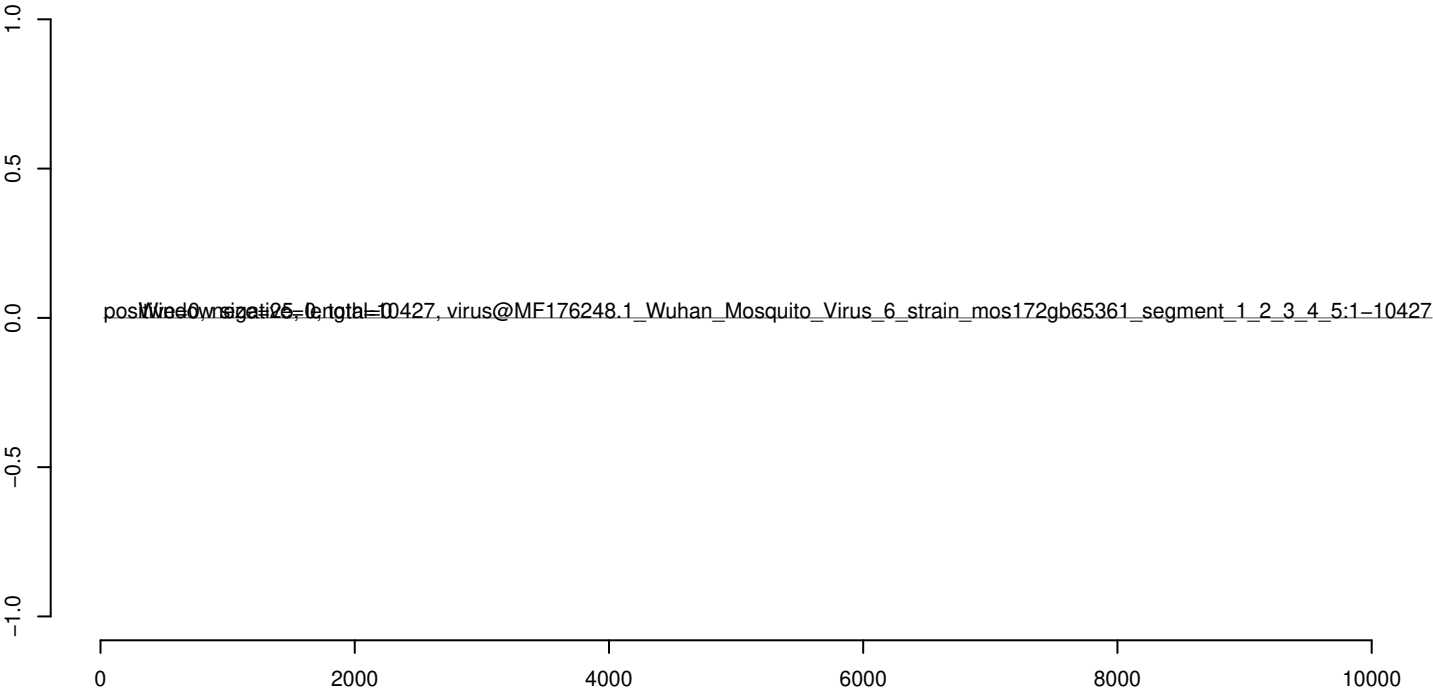
AeAeg_Whole_ZIKVdr_In2_GP.18_23.rep



AeAeg_Whole_ZIKVdr_In2_GP.24_35.rep



AeAeg_Whole_ZIKVdr_In2_GP.rep



AeAeg_Whole_ZIKVdr_In2_GP.18_23.rep



AeAeg_Whole_ZIKVdr_In2_GP.24_35.rep



AeAeg_Whole_ZIKVdr_In2_GP.rep



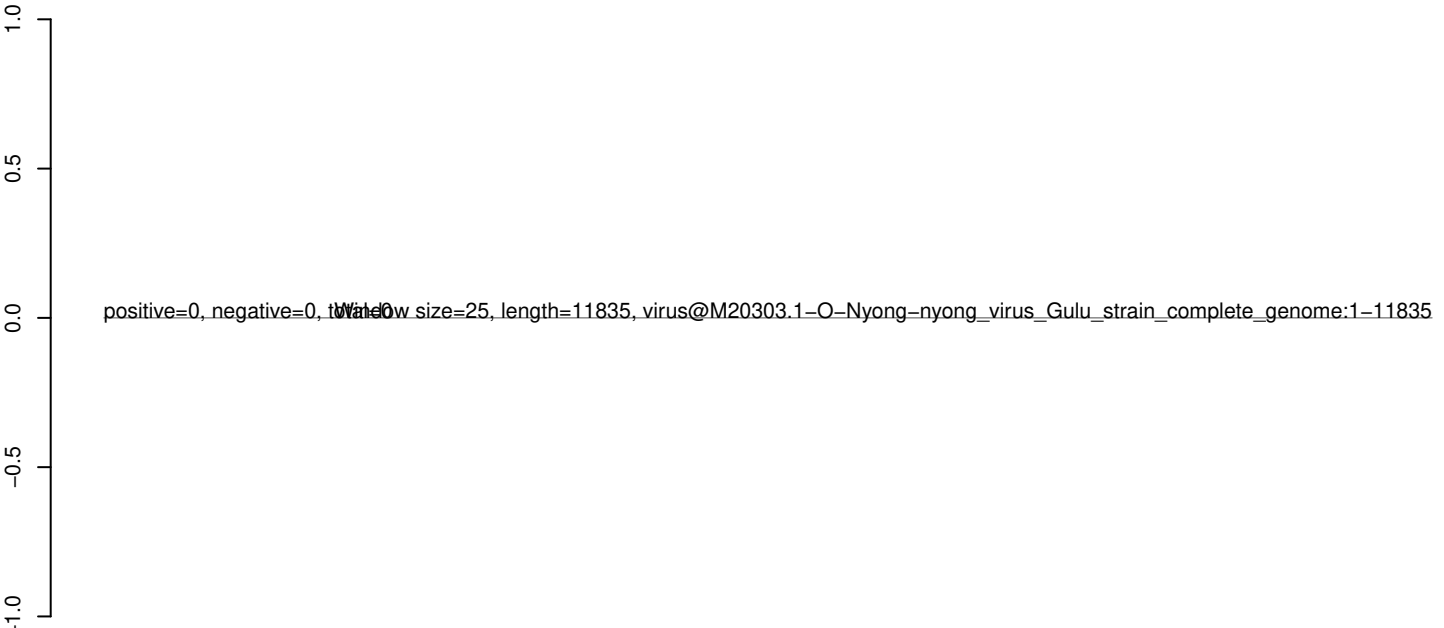
AeAeg_Whole_ZIKVdr_In2_GP.18_23.rep



AeAeg_Whole_ZIKVdr_In2_GP.24_35.rep



AeAeg_Whole_ZIKVdr_In2_GP.rep



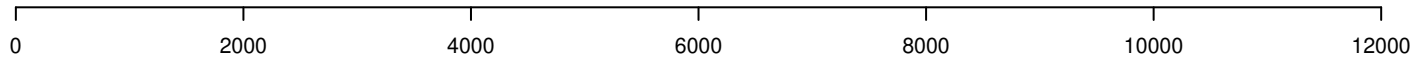
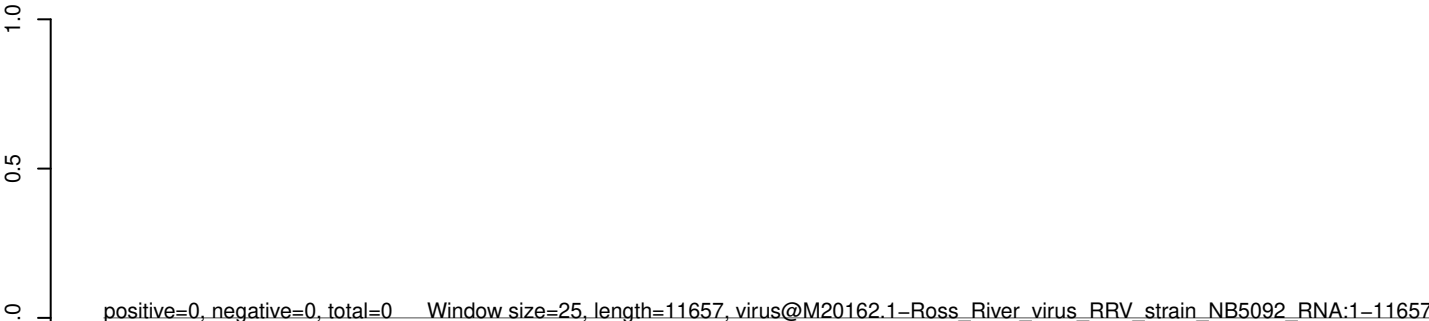
AeAeg_Whole_ZIKVdr_In2_GP.18_23.rep



AeAeg_Whole_ZIKVdr_In2_GP.24_35.rep



AeAeg_Whole_ZIKVdr_In2_GP.rep



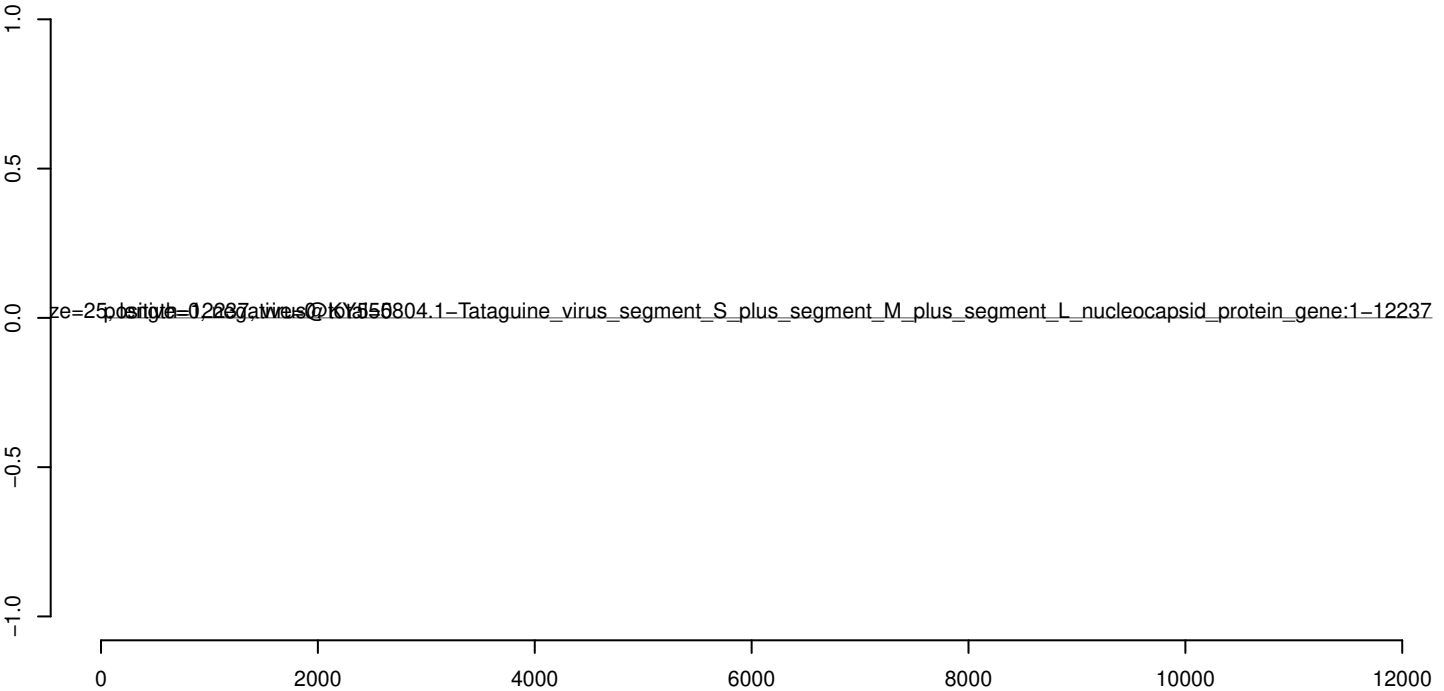
AeAeg_Whole_ZIKVdr_In2_GP.18_23.rep



AeAeg_Whole_ZIKVdr_In2_GP.24_35.rep



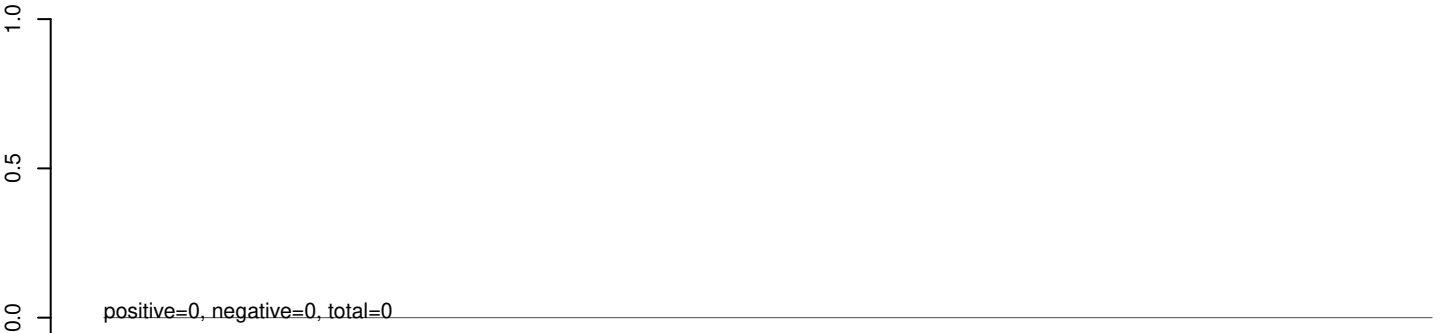
AeAeg_Whole_ZIKVdr_In2_GP.rep



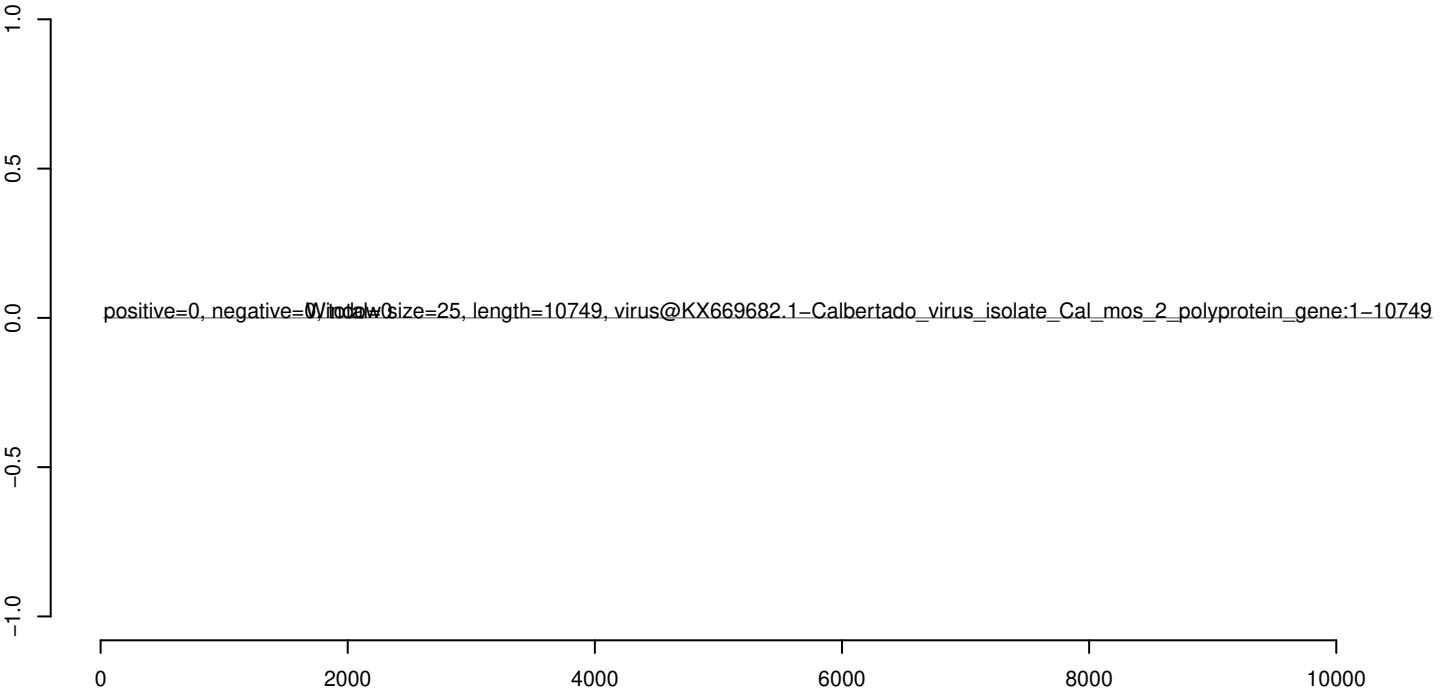
AeAeg_Whole_ZIKVdr_In2_GP.18_23.rep



AeAeg_Whole_ZIKVdr_In2_GP.24_35.rep



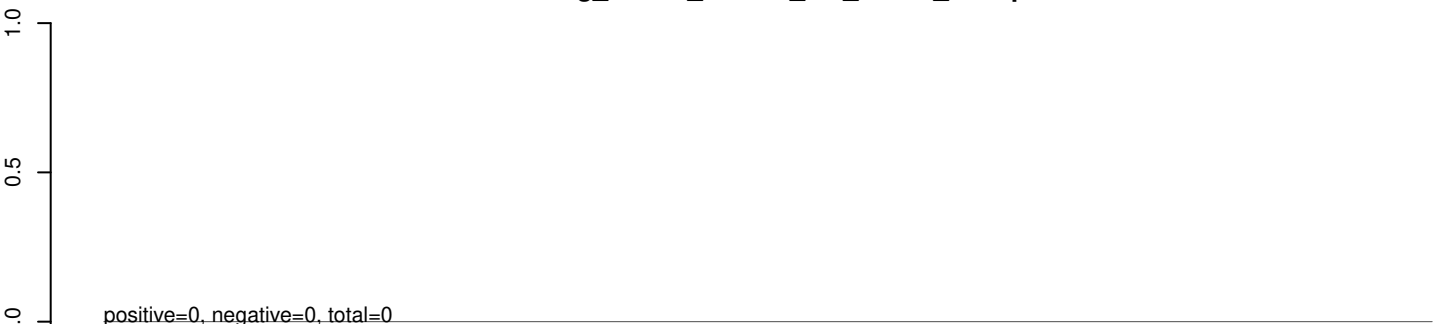
AeAeg_Whole_ZIKVdr_In2_GP.rep



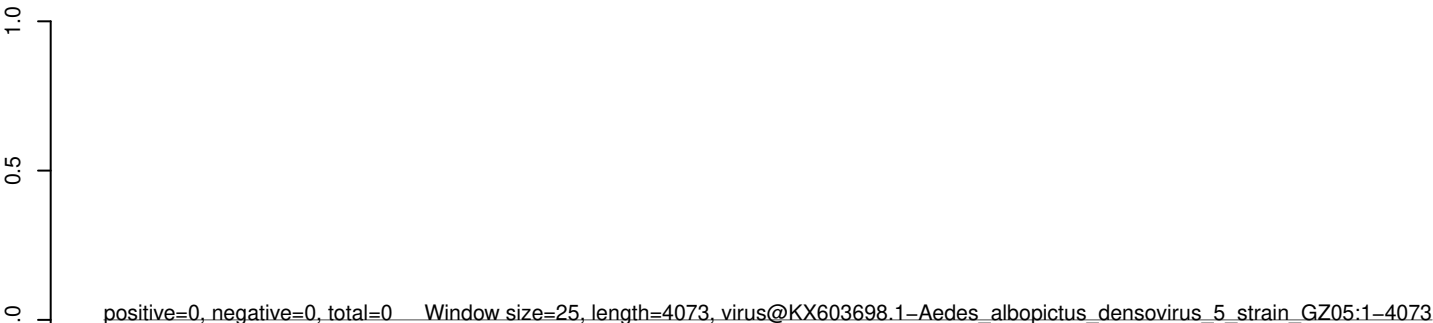
AeAeg_Whole_ZIKVdr_In2_GP.18_23.rep



AeAeg_Whole_ZIKVdr_In2_GP.24_35.rep



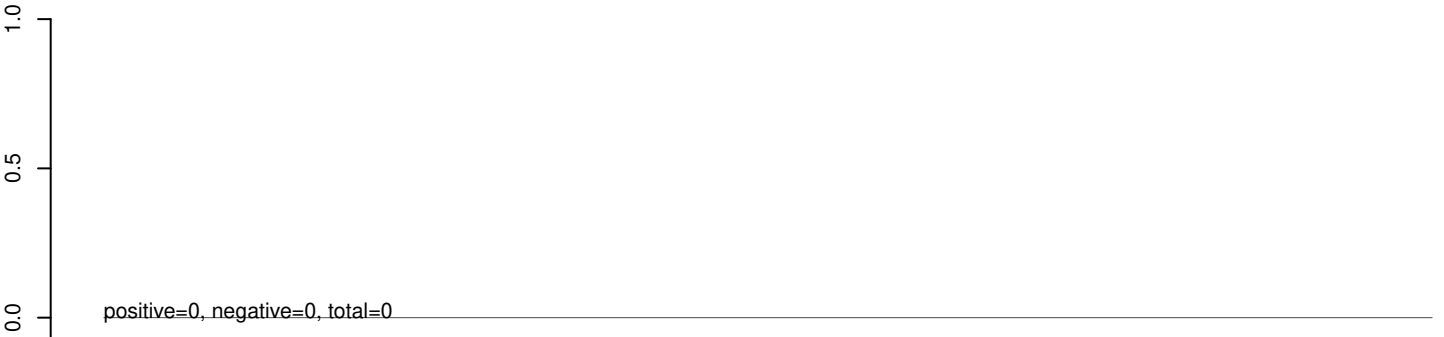
AeAeg_Whole_ZIKVdr_In2_GP.rep



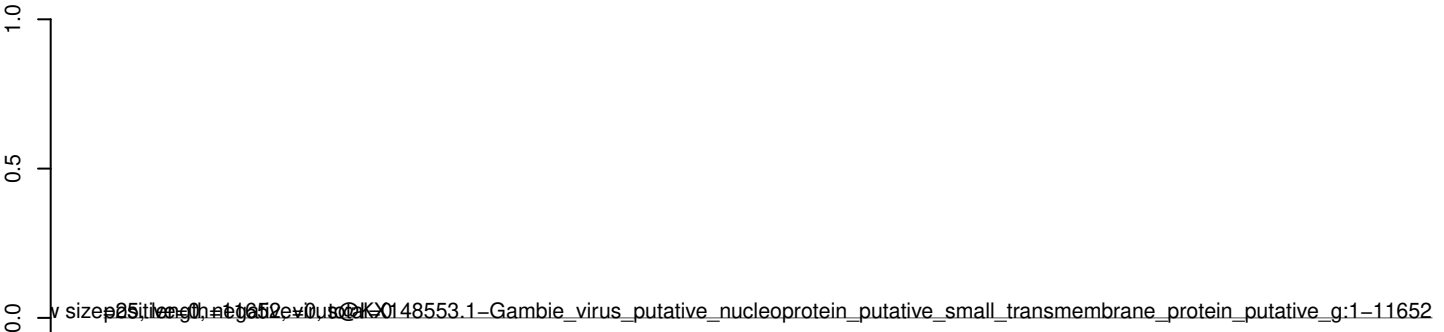
AeAeg_Whole_ZIKVdr_In2_GP.18_23.rep



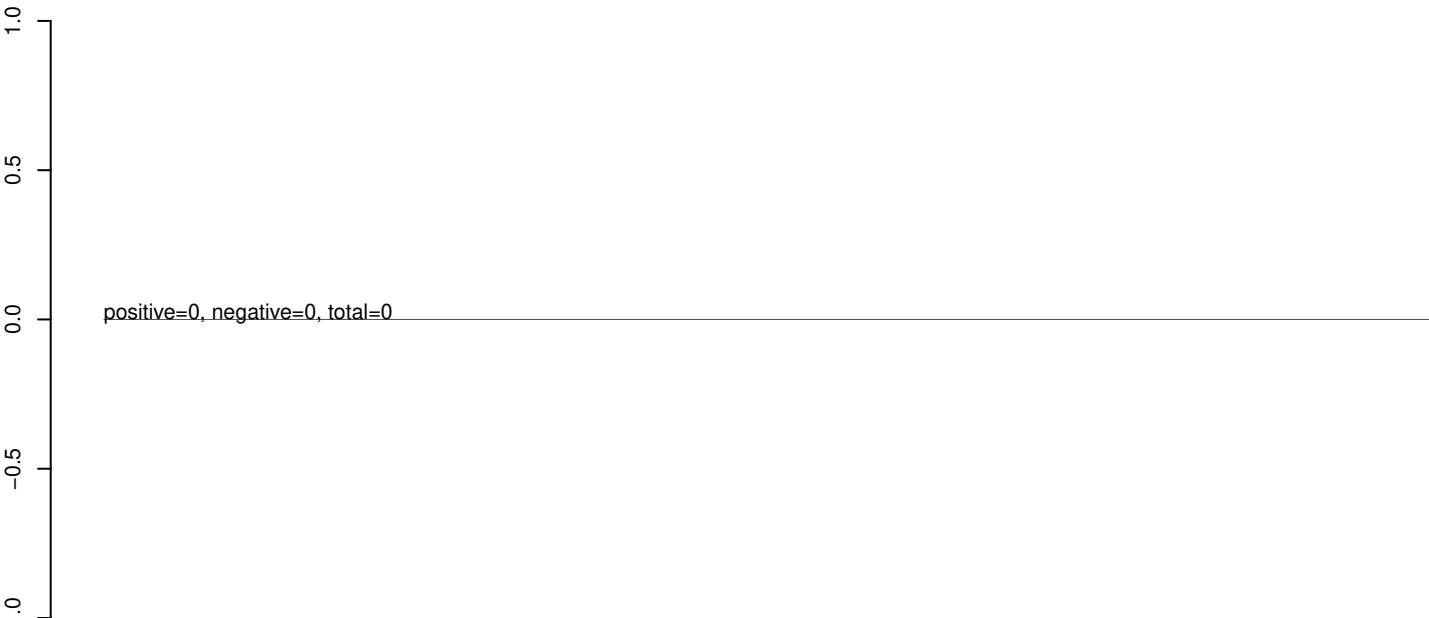
AeAeg_Whole_ZIKVdr_In2_GP.24_35.rep



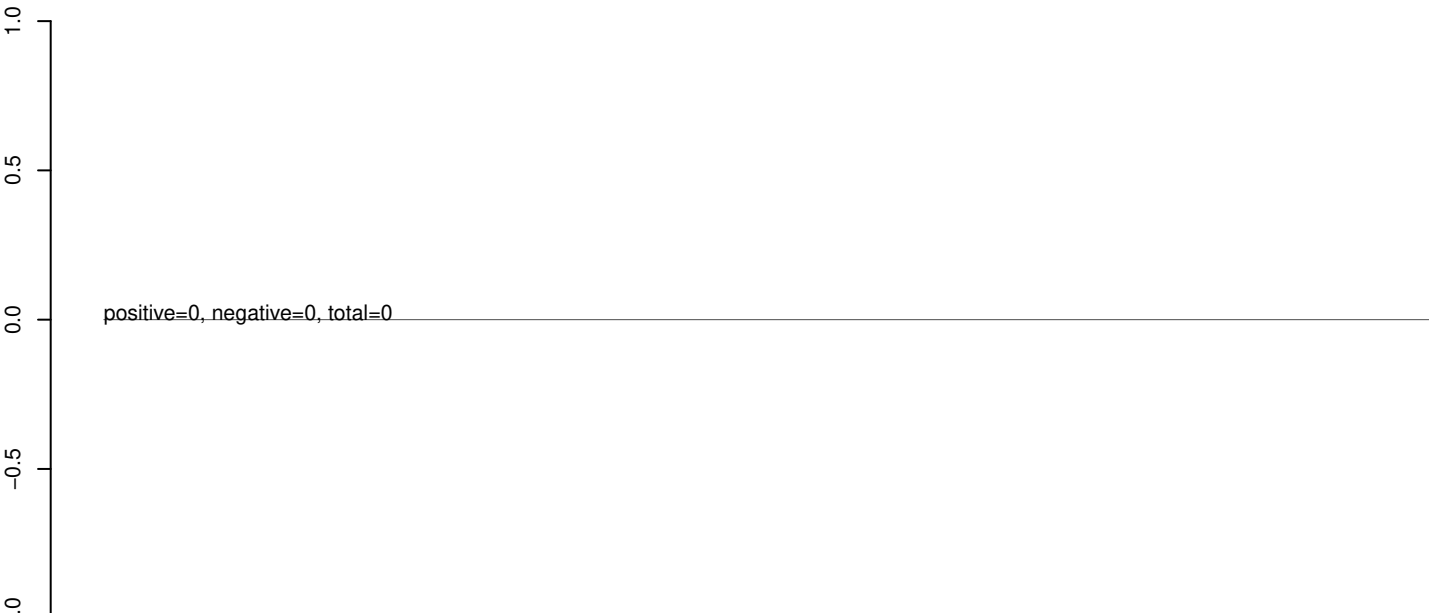
AeAeg_Whole_ZIKVdr_In2_GP.rep



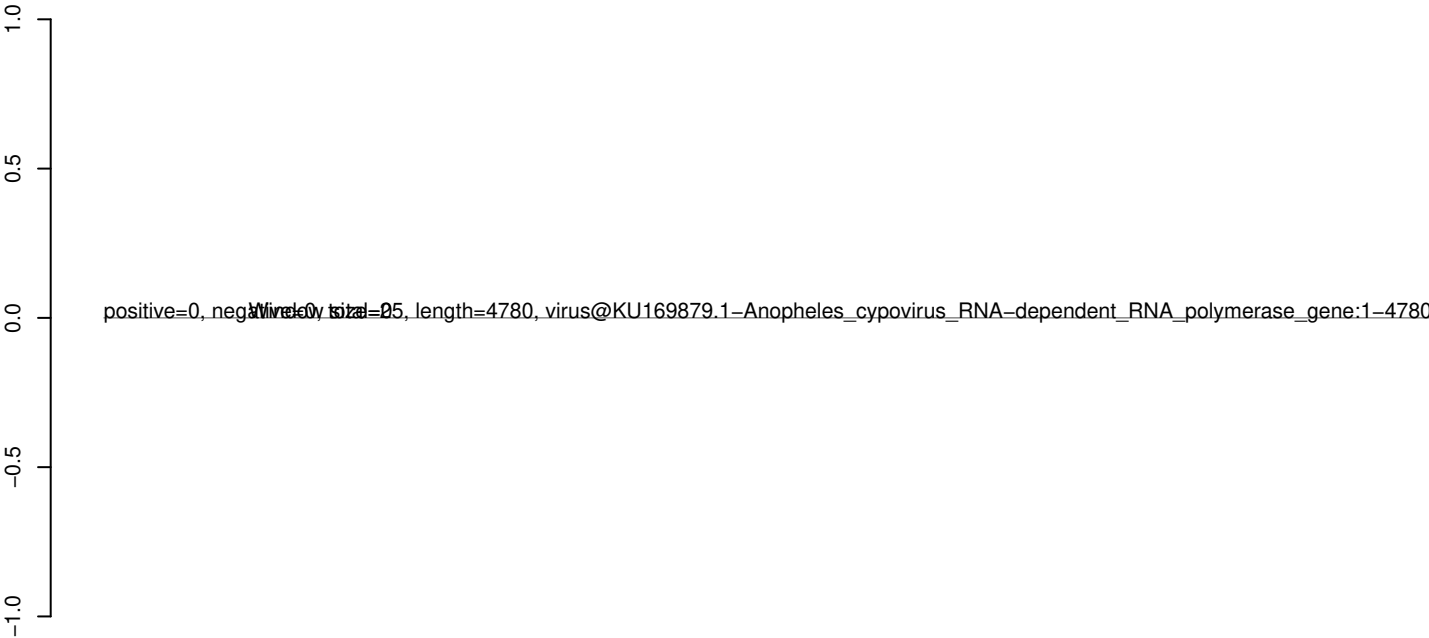
AeAeg_Whole_ZIKVdr_In2_GP.18_23.rep



AeAeg_Whole_ZIKVdr_In2_GP.24_35.rep



AeAeg_Whole_ZIKVdr_In2_GP.rep



0 1000 2000 3000 4000 5000

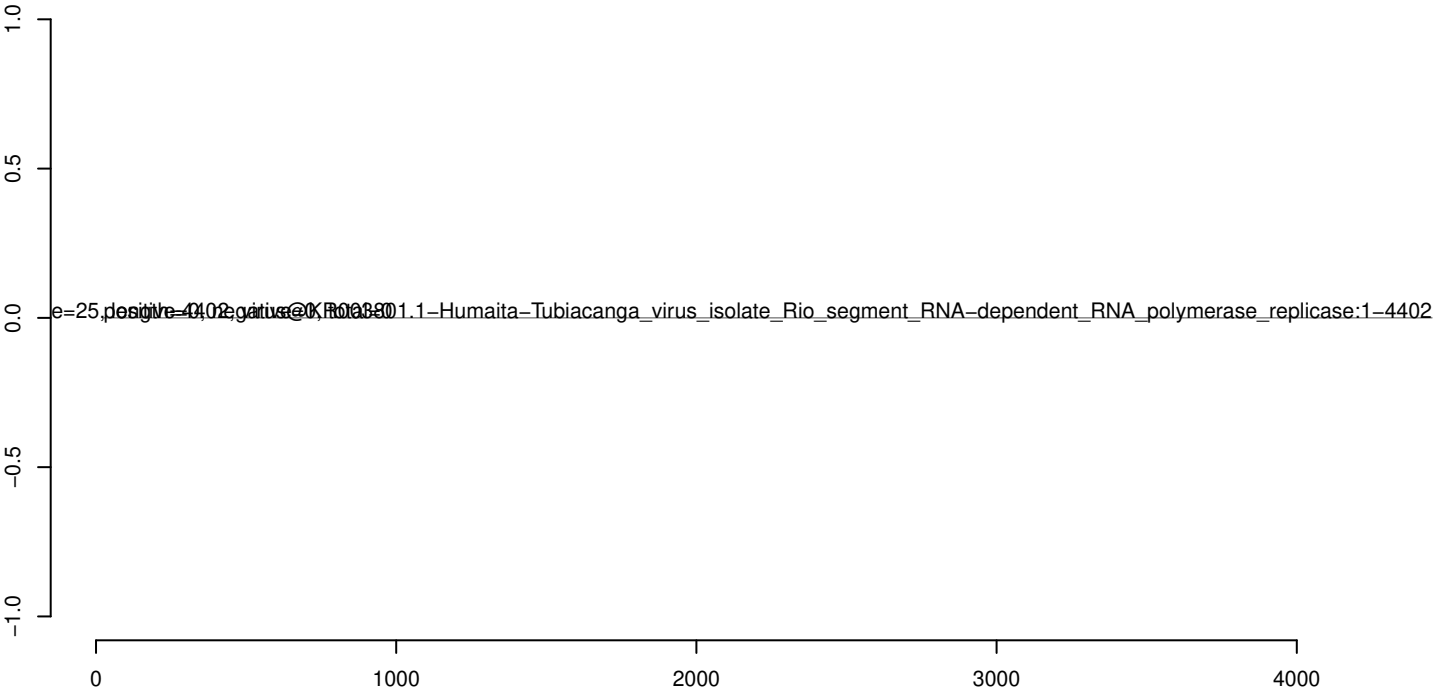
AeAeg_Whole_ZIKVdr_In2_GP.18_23.rep



AeAeg_Whole_ZIKVdr_In2_GP.24_35.rep



AeAeg_Whole_ZIKVdr_In2_GP.rep



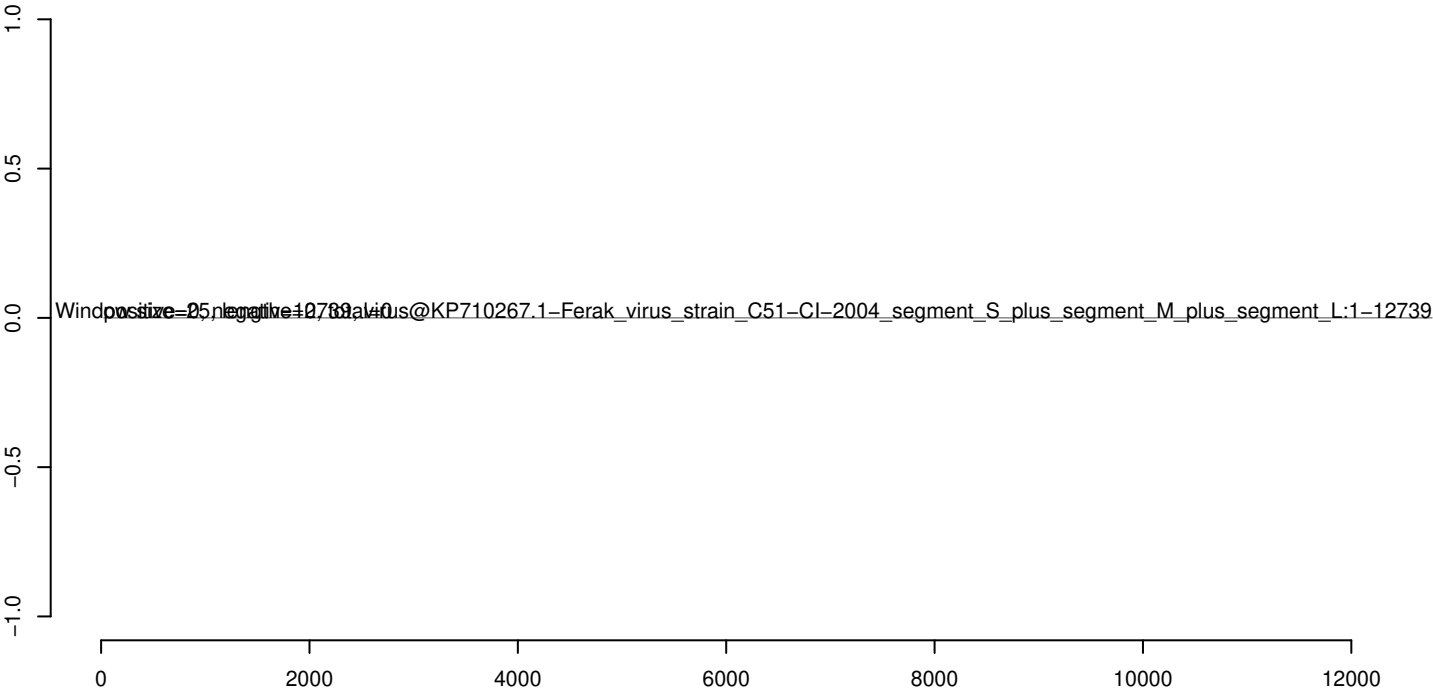
AeAeg_Whole_ZIKVdr_In2_GP.18_23.rep



AeAeg_Whole_ZIKVdr_In2_GP.24_35.rep



AeAeg_Whole_ZIKVdr_In2_GP.rep



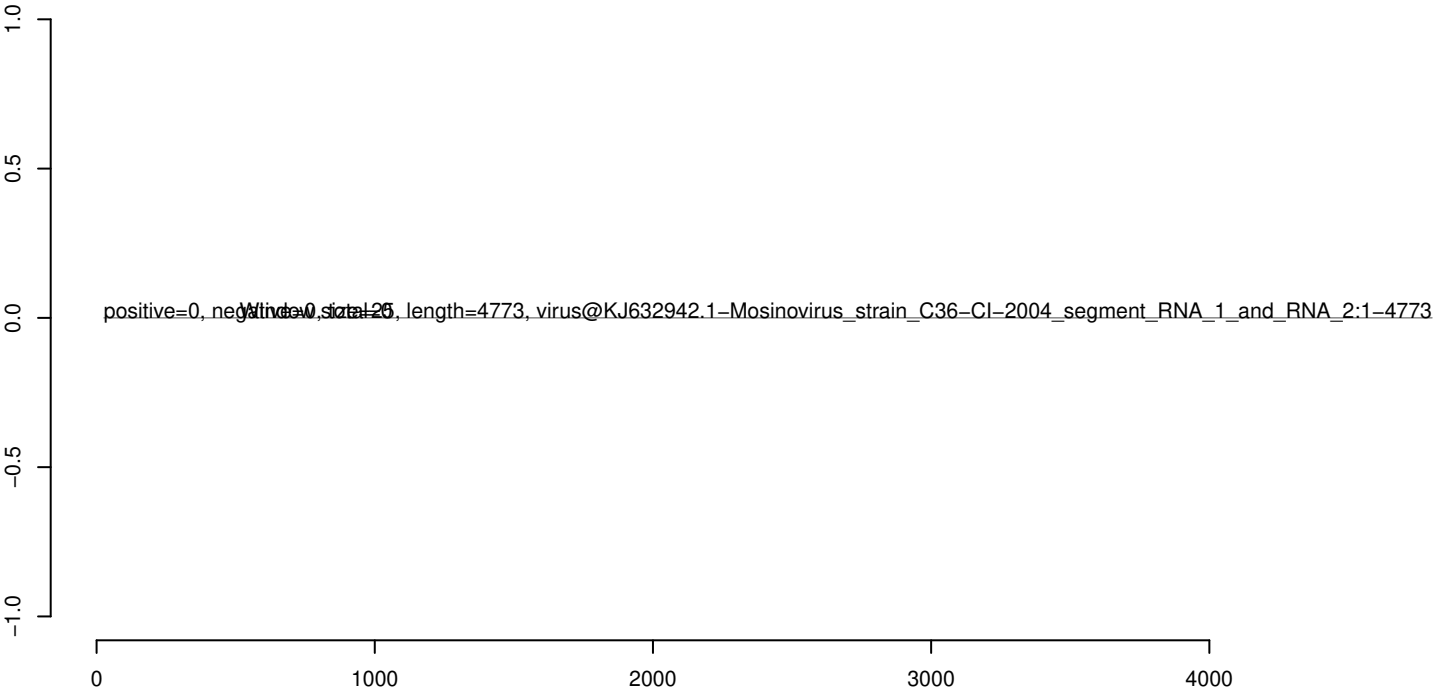
AeAeg_Whole_ZIKVdr_In2_GP.18_23.rep



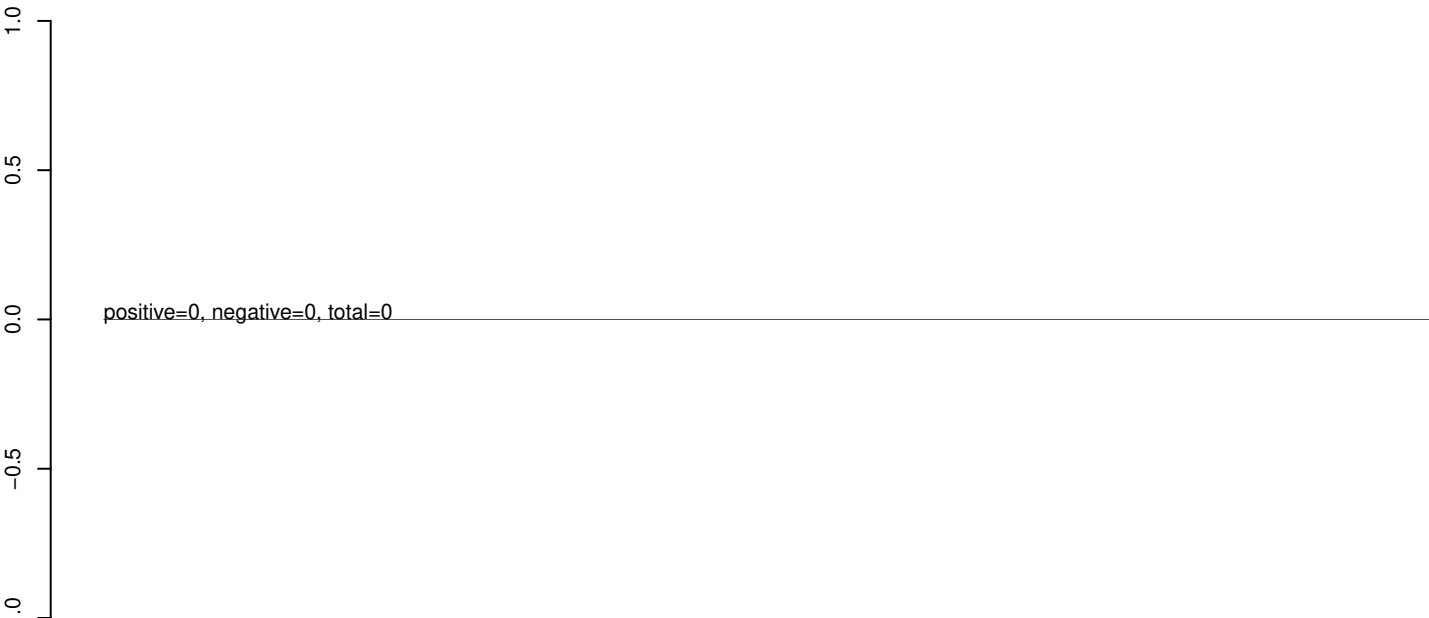
AeAeg_Whole_ZIKVdr_In2_GP.24_35.rep



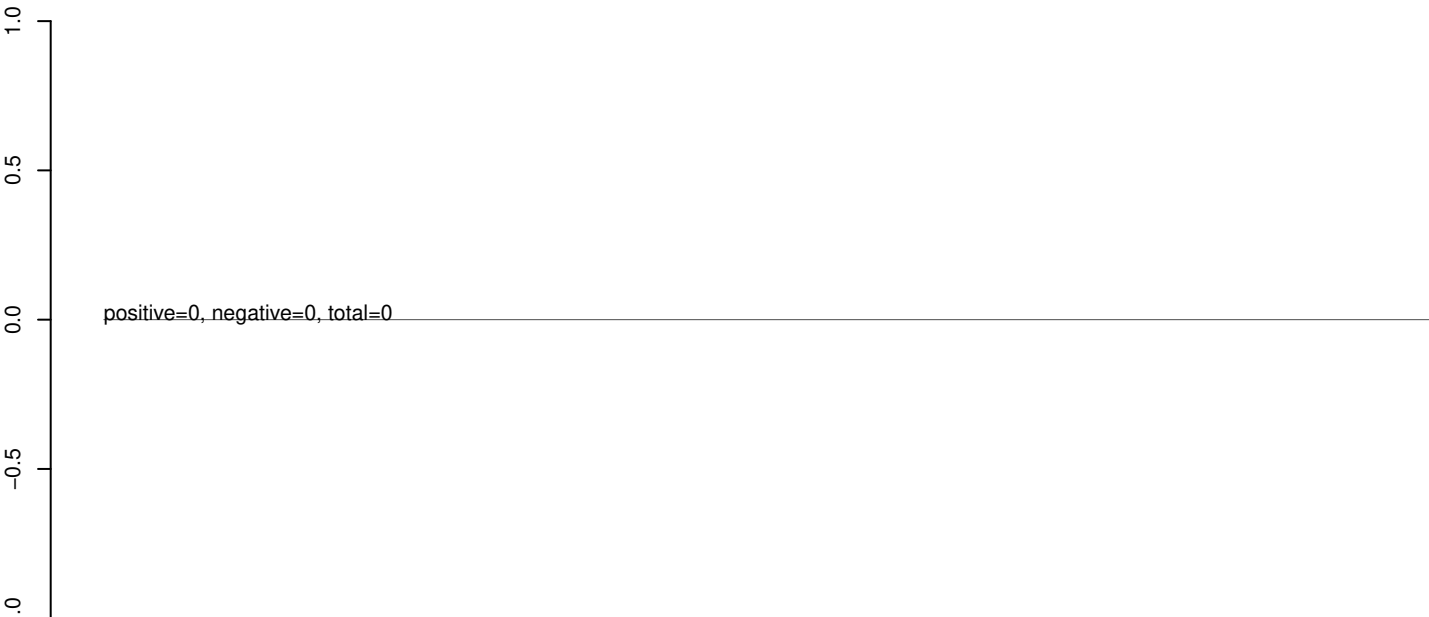
AeAeg_Whole_ZIKVdr_In2_GP.rep



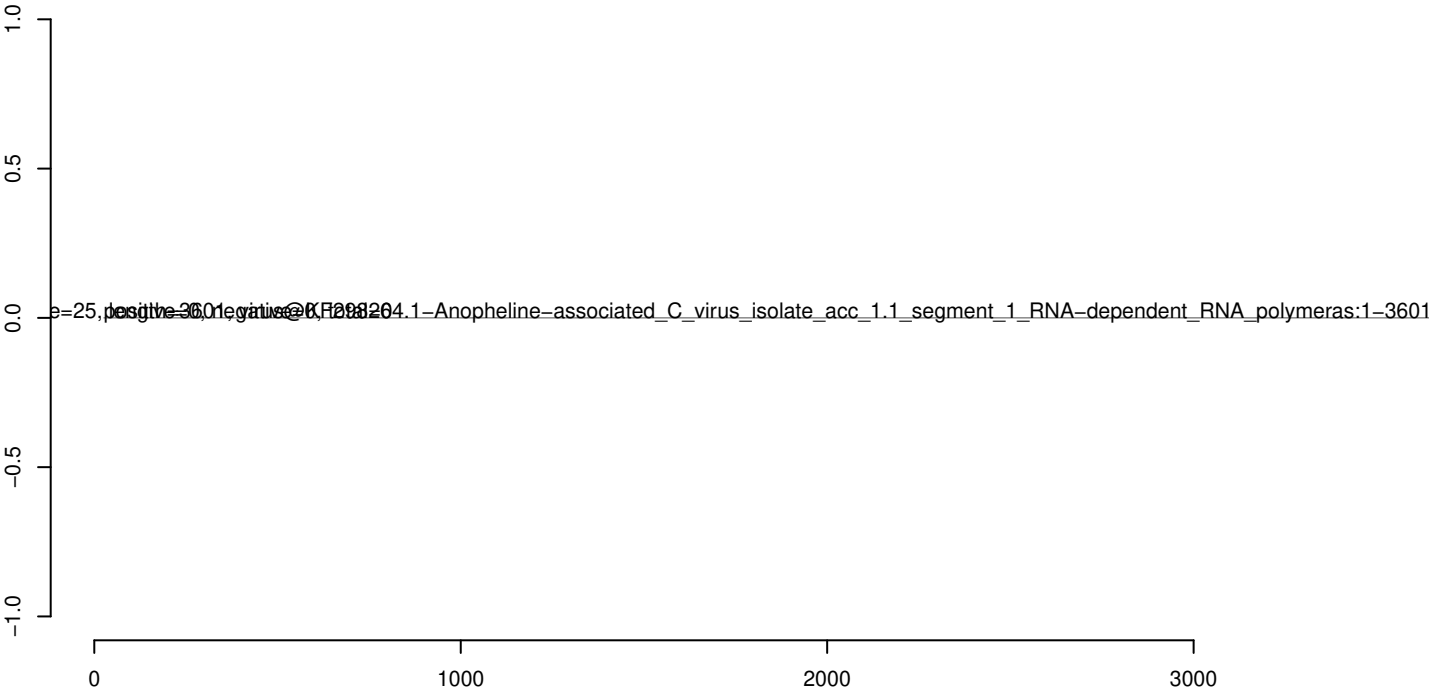
AeAeg_Whole_ZIKVdr_In2_GP.18_23.rep



AeAeg_Whole_ZIKVdr_In2_GP.24_35.rep



AeAeg_Whole_ZIKVdr_In2_GP.rep



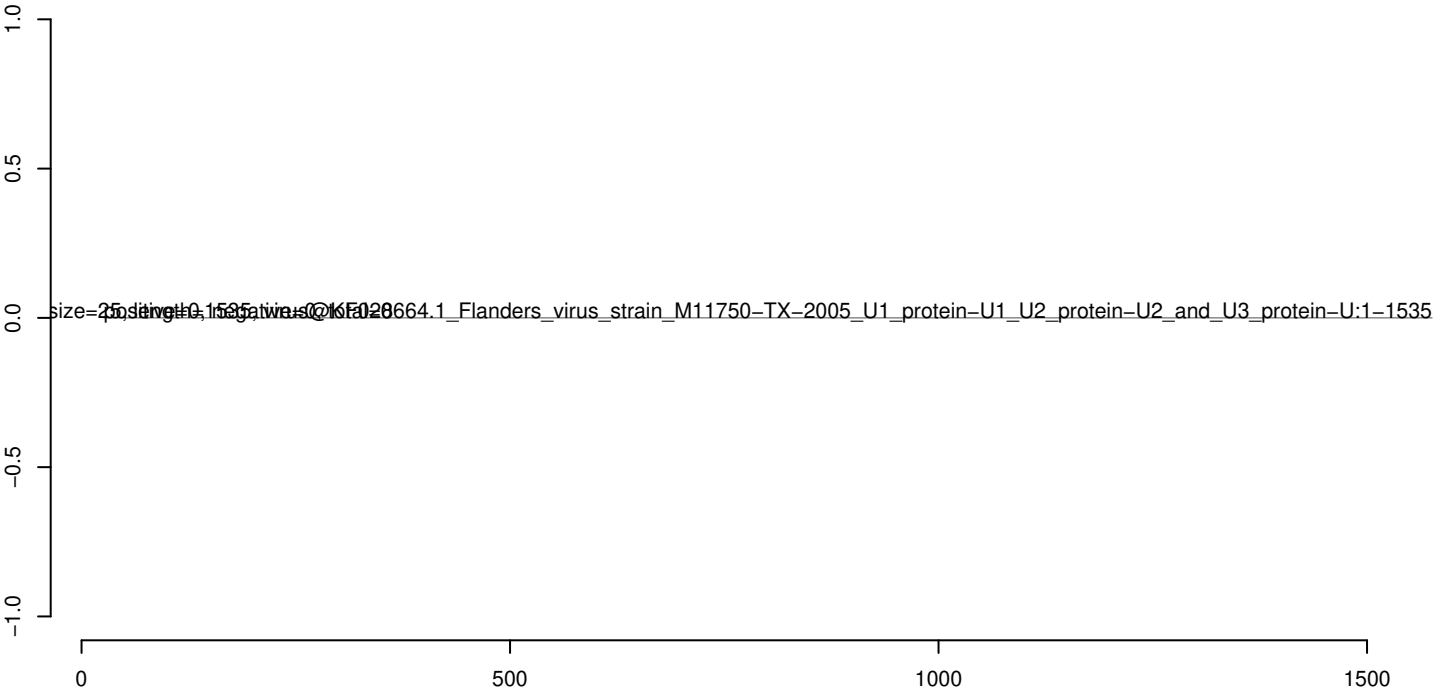
AeAeg_Whole_ZIKVdr_In2_GP.18_23.rep



AeAeg_Whole_ZIKVdr_In2_GP.24_35.rep



AeAeg_Whole_ZIKVdr_In2_GP.rep



AeAeg_Whole_ZIKVdr_In2_GP.18_23.rep



AeAeg_Whole_ZIKVdr_In2_GP.24_35.rep



AeAeg_Whole_ZIKVdr_In2_GP.rep



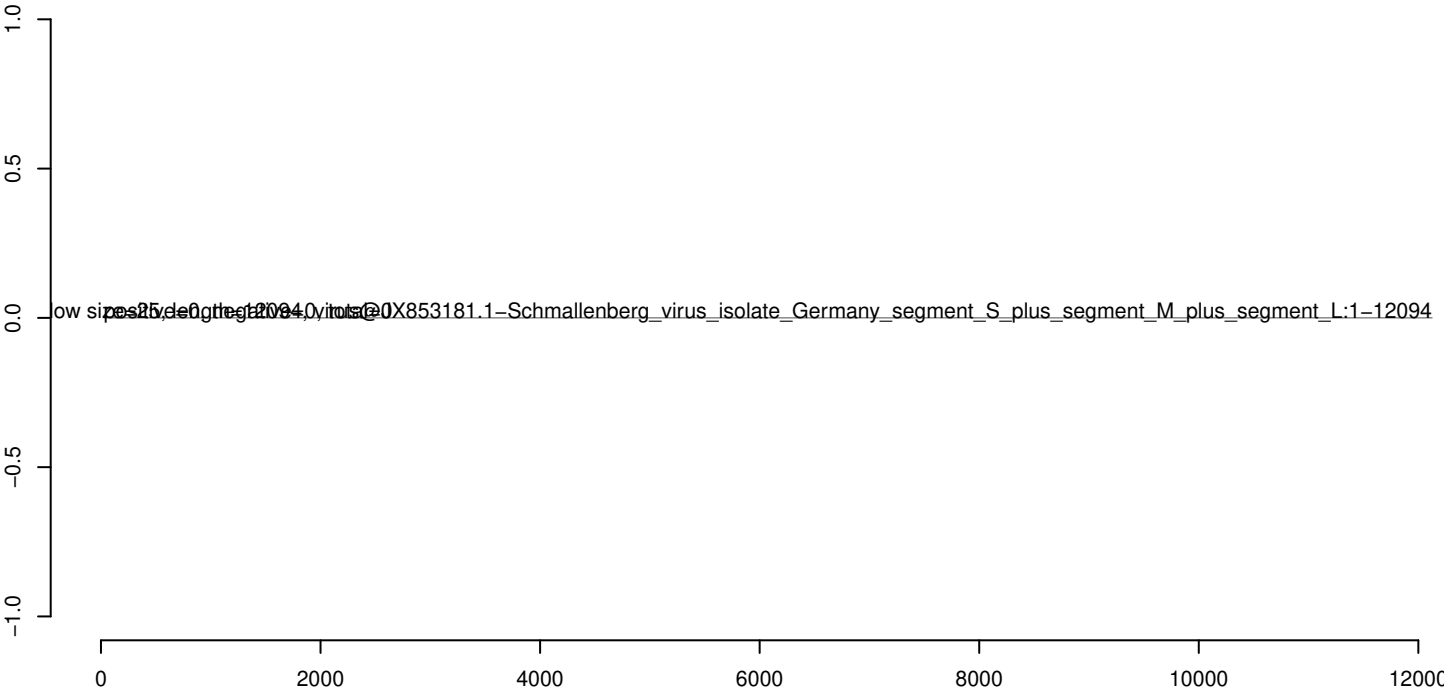
AeAeg_Whole_ZIKVdr_In2_GP.18_23.rep



AeAeg_Whole_ZIKVdr_In2_GP.24_35.rep



AeAeg_Whole_ZIKVdr_In2_GP.rep



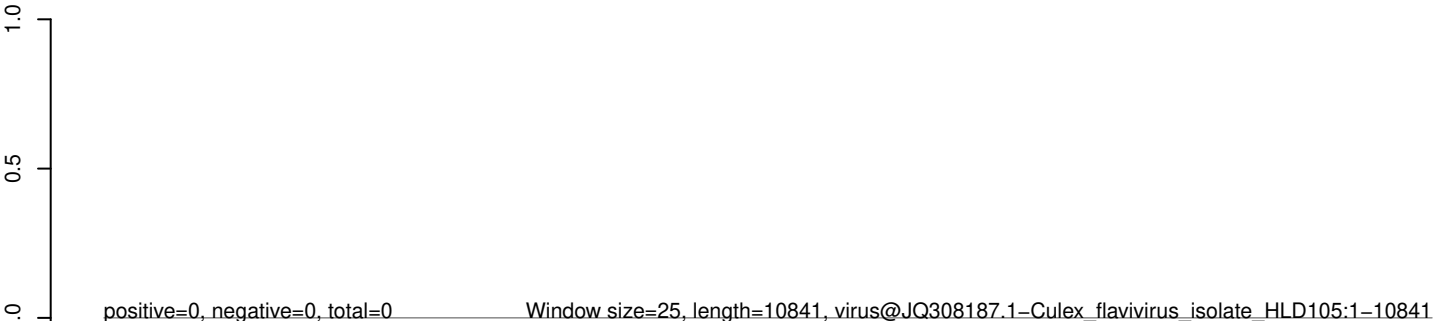
AeAeg_Whole_ZIKVdr_In2_GP.18_23.rep



AeAeg_Whole_ZIKVdr_In2_GP.24_35.rep



AeAeg_Whole_ZIKVdr_In2_GP.rep



0 2000 4000 6000 8000 10000

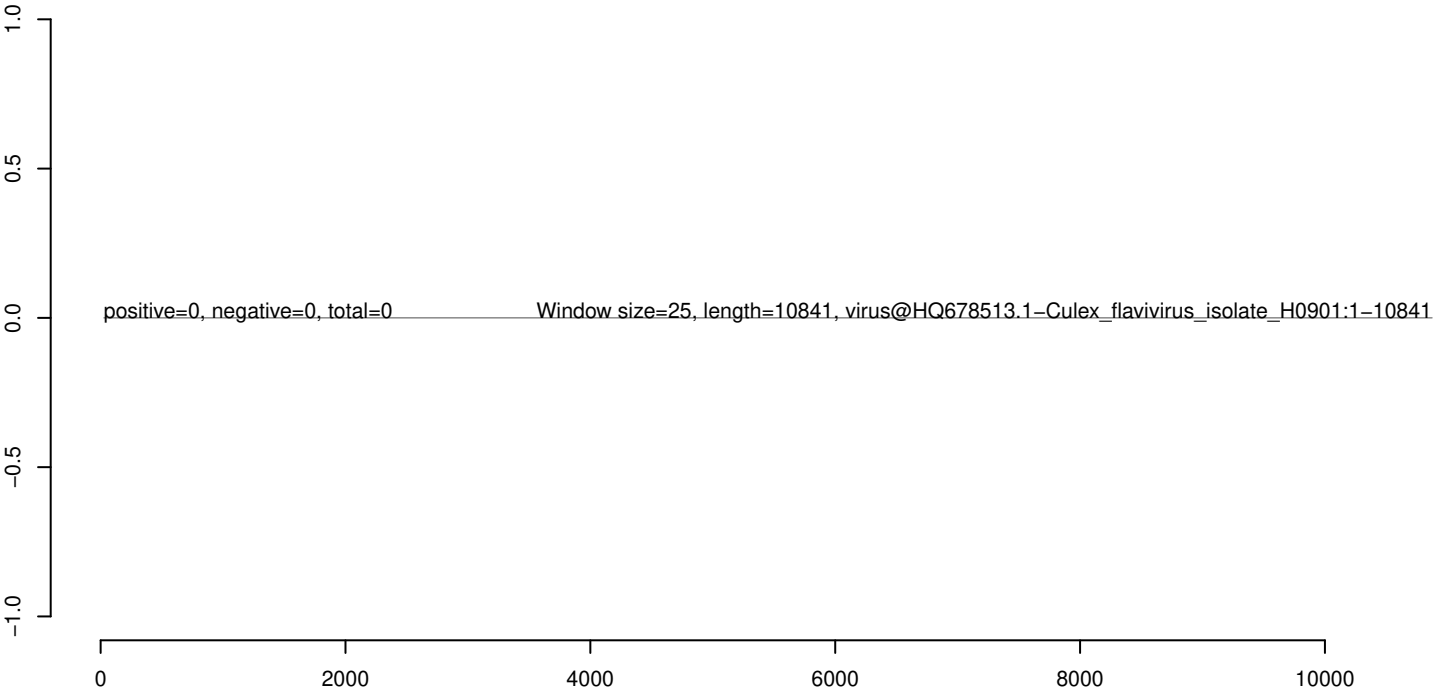
AeAeg_Whole_ZIKVdr_In2_GP.18_23.rep



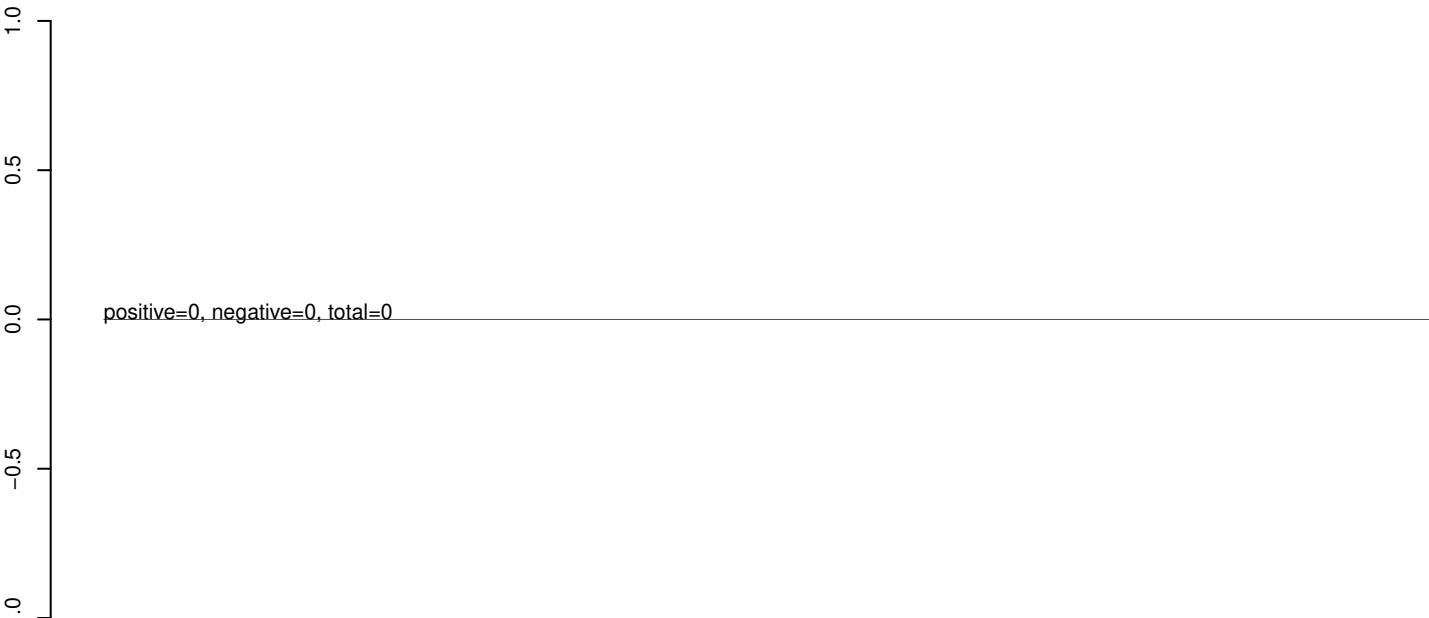
AeAeg_Whole_ZIKVdr_In2_GP.24_35.rep



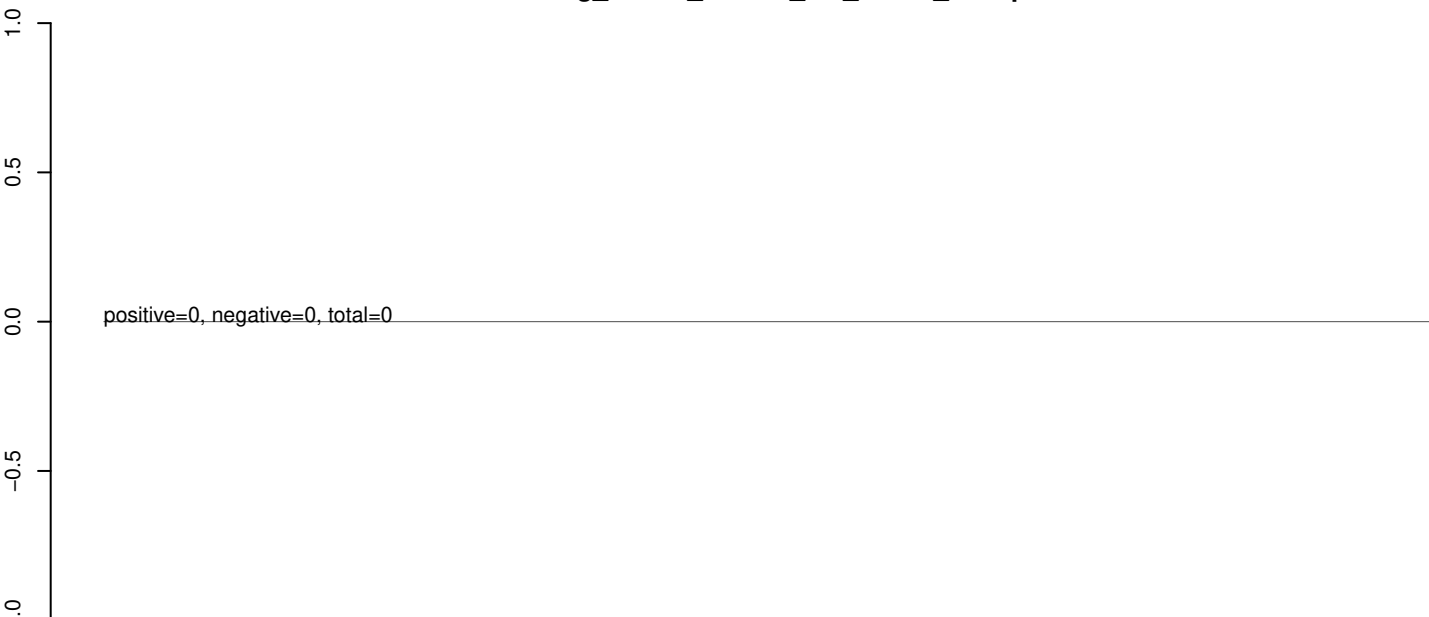
AeAeg_Whole_ZIKVdr_In2_GP.rep



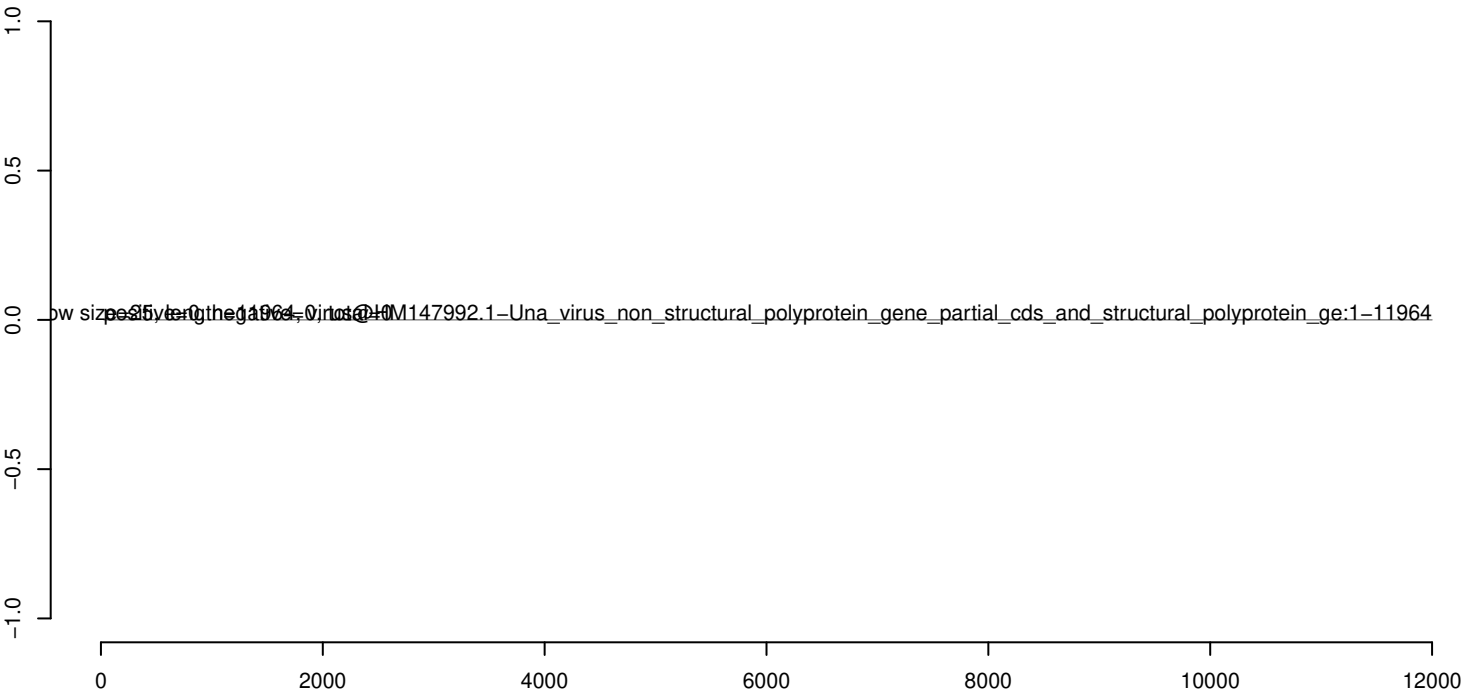
AeAeg_Whole_ZIKVdr_In2_GP.18_23.rep



AeAeg_Whole_ZIKVdr_In2_GP.24_35.rep



AeAeg_Whole_ZIKVdr_In2_GP.rep



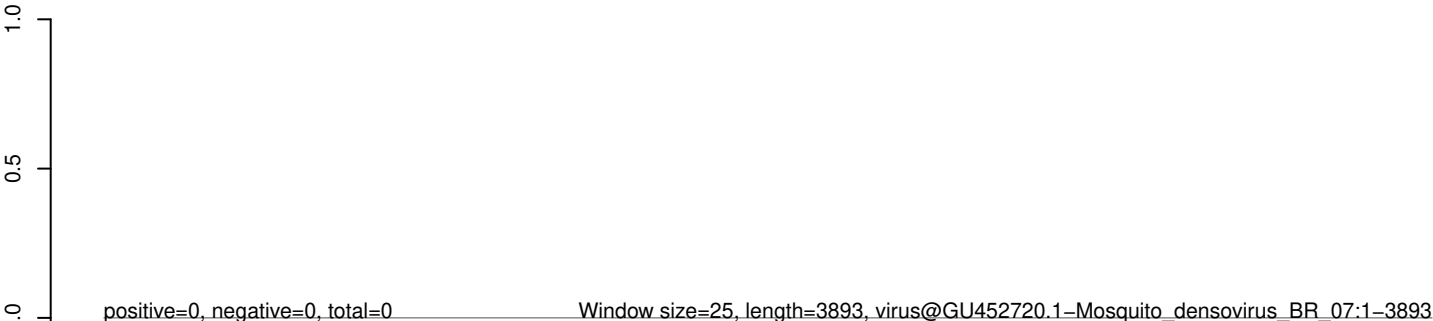
AeAeg_Whole_ZIKVdr_In2_GP.18_23.rep



AeAeg_Whole_ZIKVdr_In2_GP.24_35.rep



AeAeg_Whole_ZIKVdr_In2_GP.rep



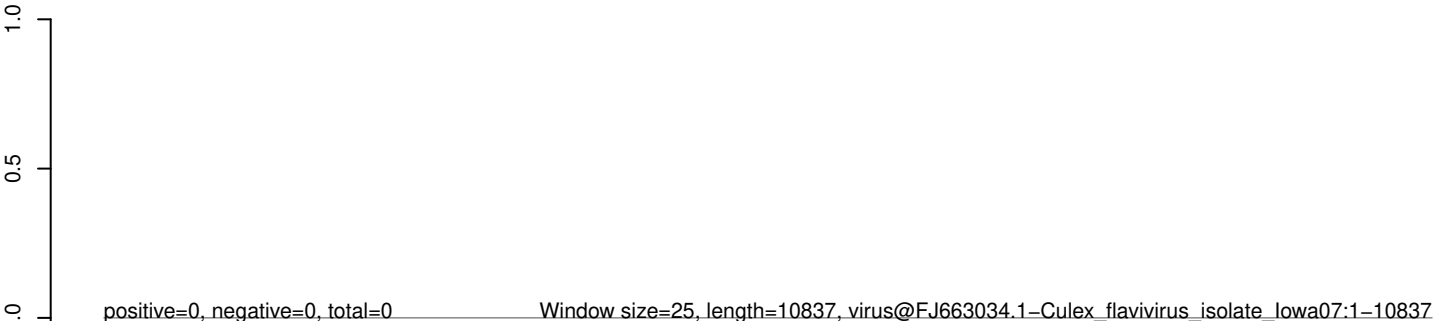
AeAeg_Whole_ZIKVdr_In2_GP.18_23.rep



AeAeg_Whole_ZIKVdr_In2_GP.24_35.rep



AeAeg_Whole_ZIKVdr_In2_GP.rep

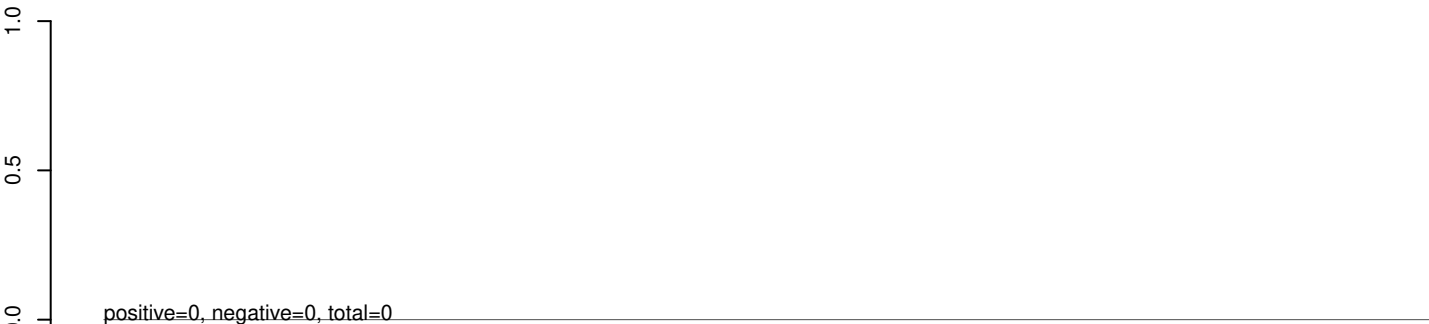


0 2000 4000 6000 8000 10000

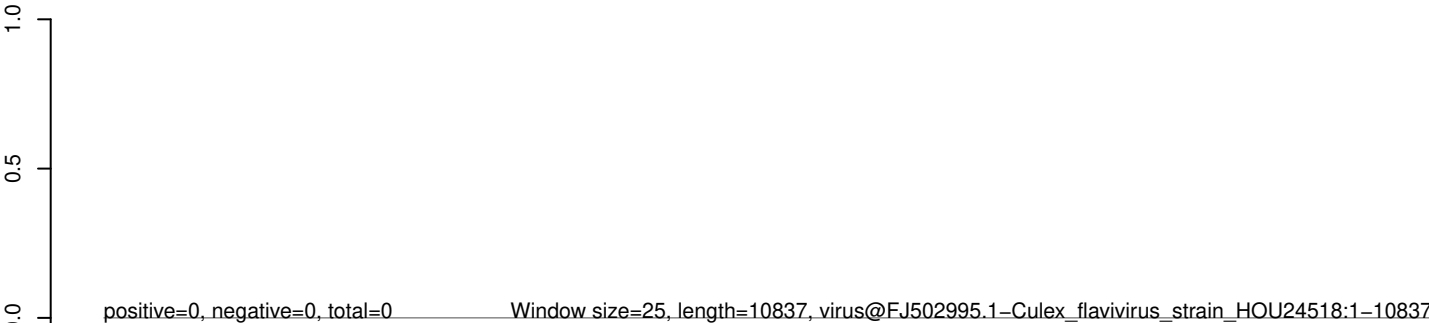
AeAeg_Whole_ZIKVdr_In2_GP.18_23.rep



AeAeg_Whole_ZIKVdr_In2_GP.24_35.rep



AeAeg_Whole_ZIKVdr_In2_GP.rep



0 2000 4000 6000 8000 10000

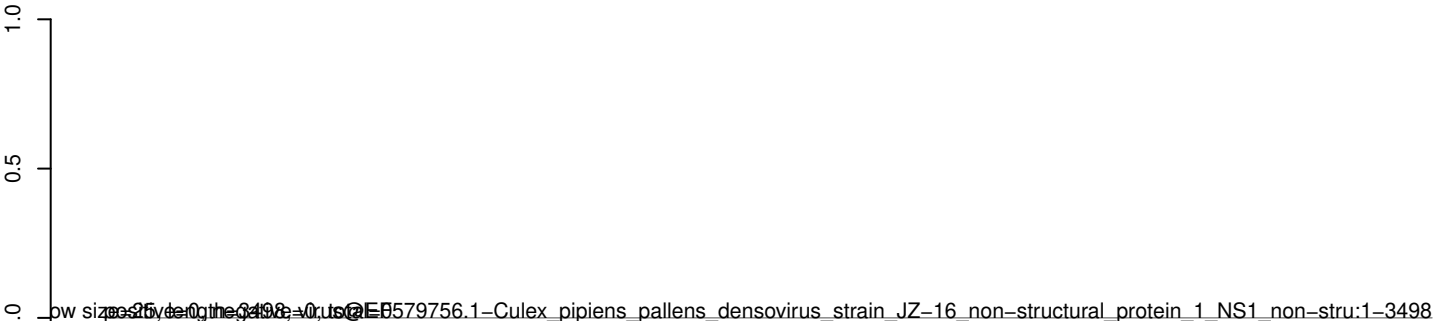
AeAeg_Whole_ZIKVdr_In2_GP.18_23.rep



AeAeg_Whole_ZIKVdr_In2_GP.24_35.rep



AeAeg_Whole_ZIKVdr_In2_GP.rep



0 500 1000 1500 2000 2500 3000 3500

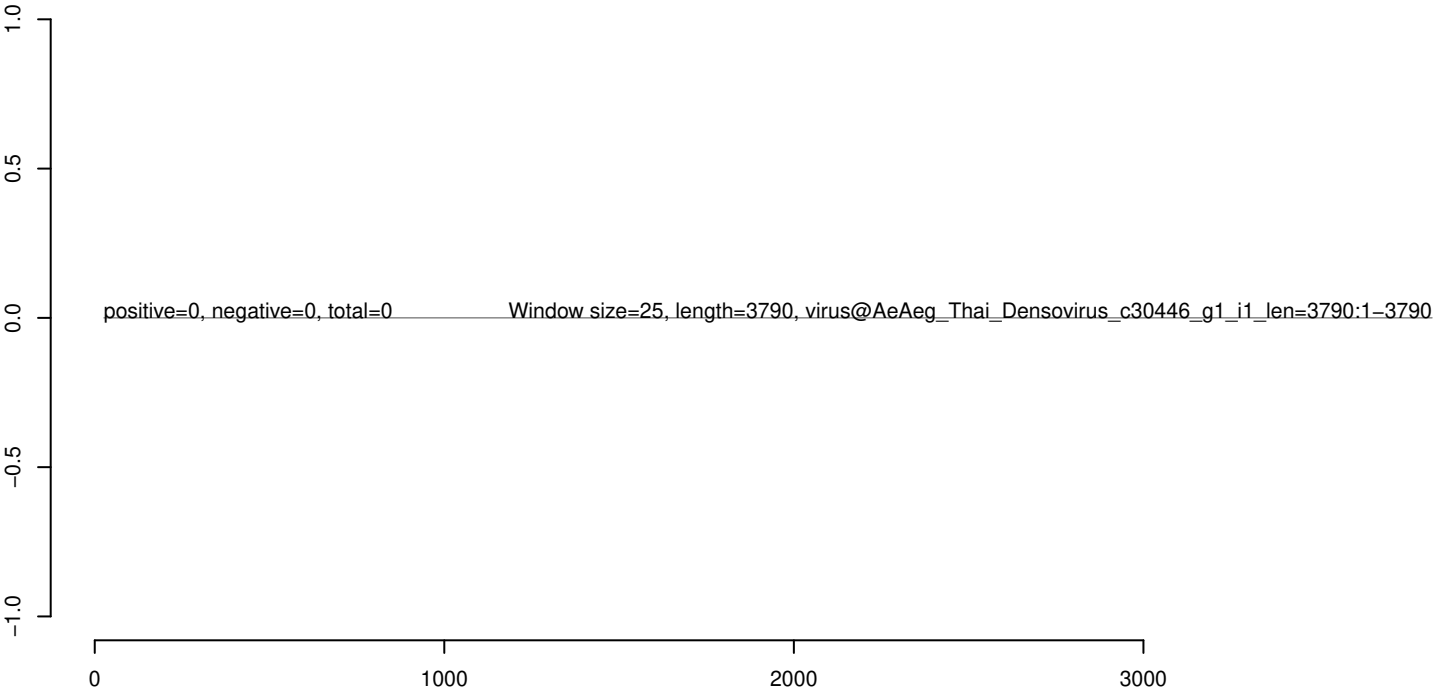
AeAeg_Whole_ZIKVdr_In2_GP.18_23.rep



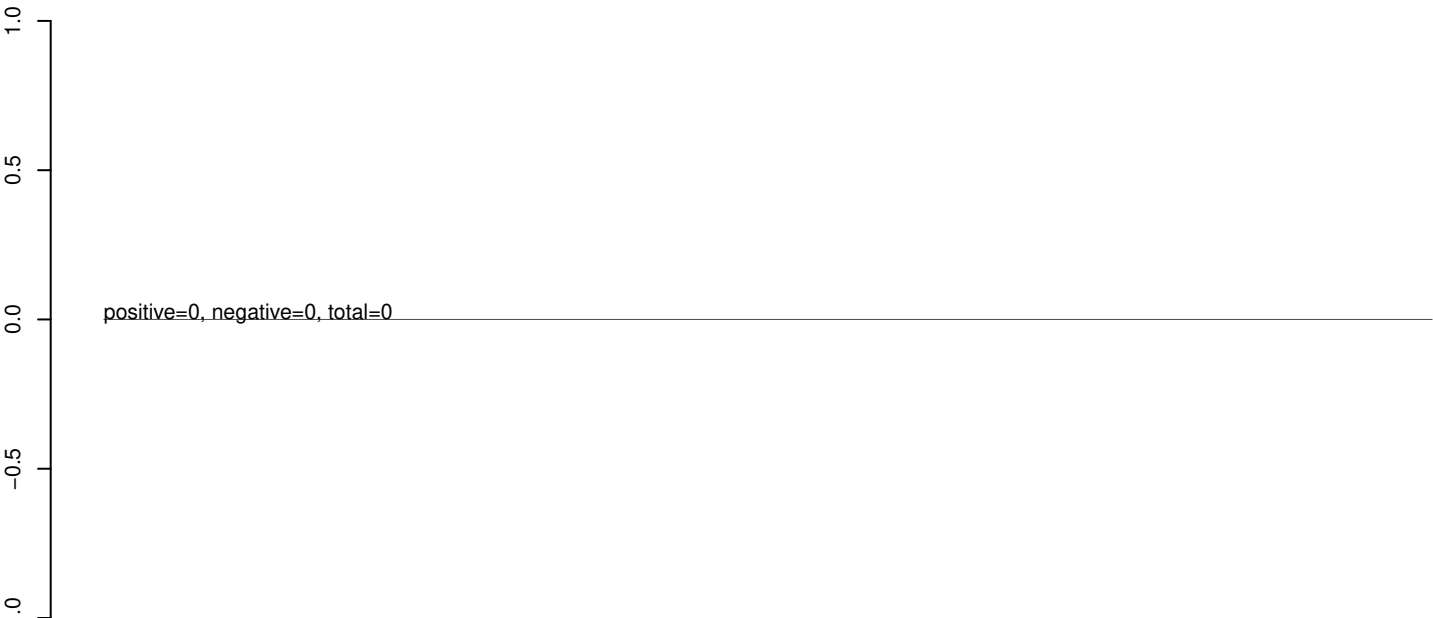
AeAeg_Whole_ZIKVdr_In2_GP.24_35.rep



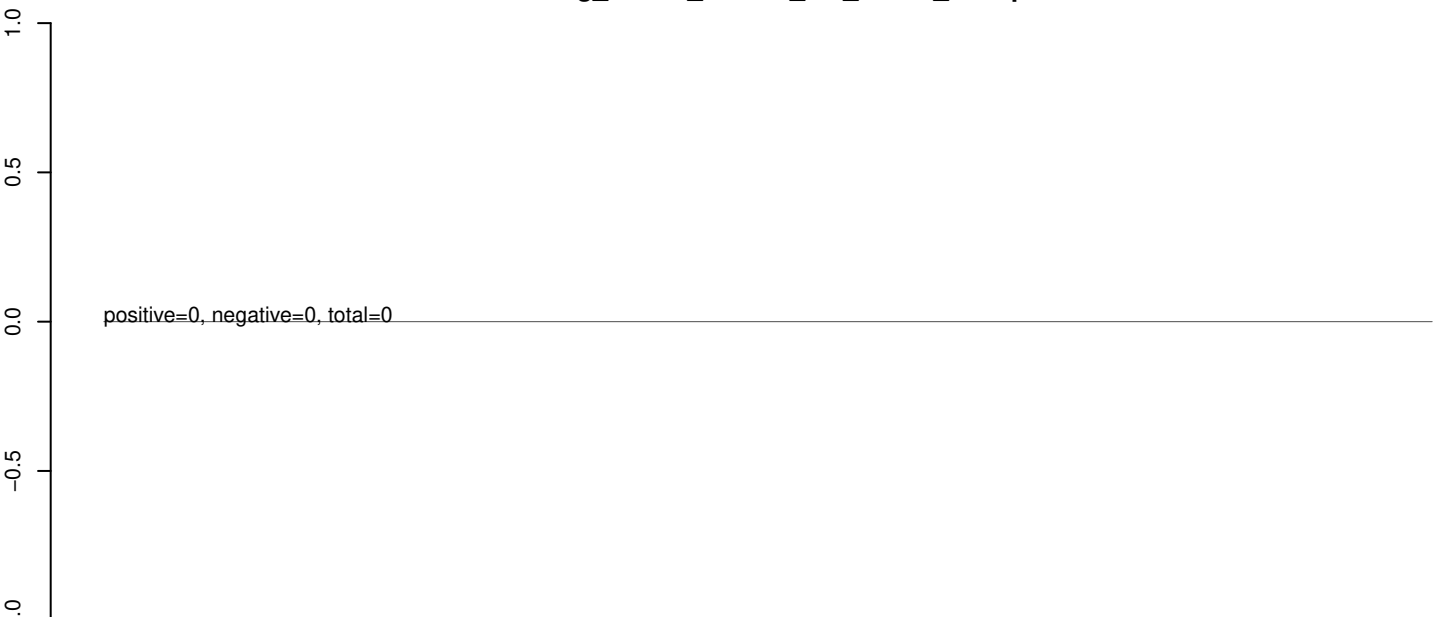
AeAeg_Whole_ZIKVdr_In2_GP.rep



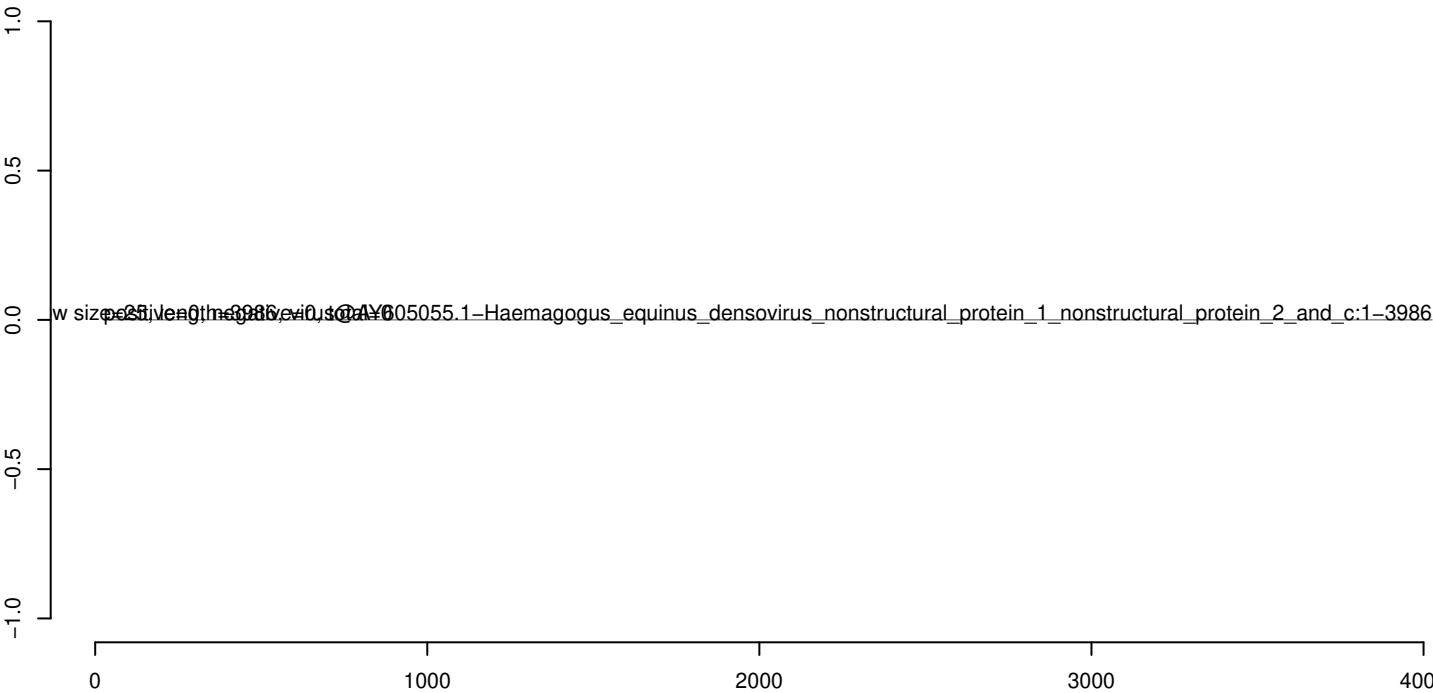
AeAeg_Whole_ZIKVdr_In2_GP.18_23.rep



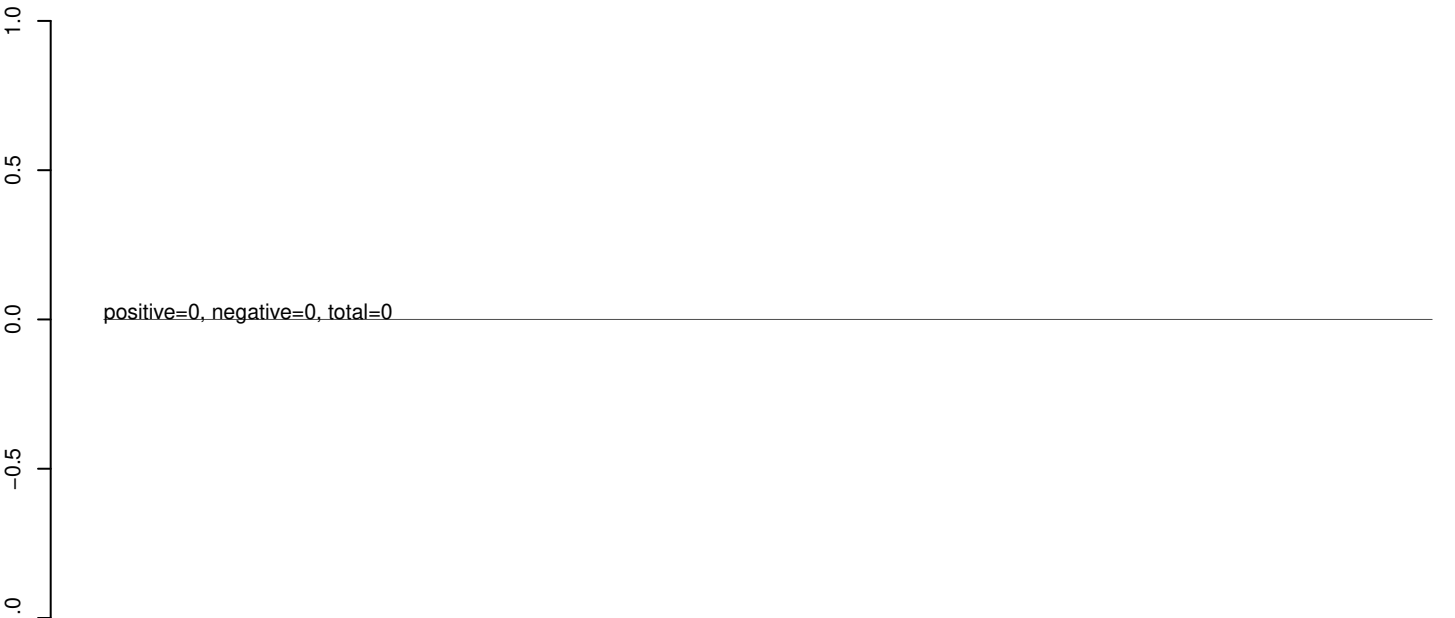
AeAeg_Whole_ZIKVdr_In2_GP.24_35.rep



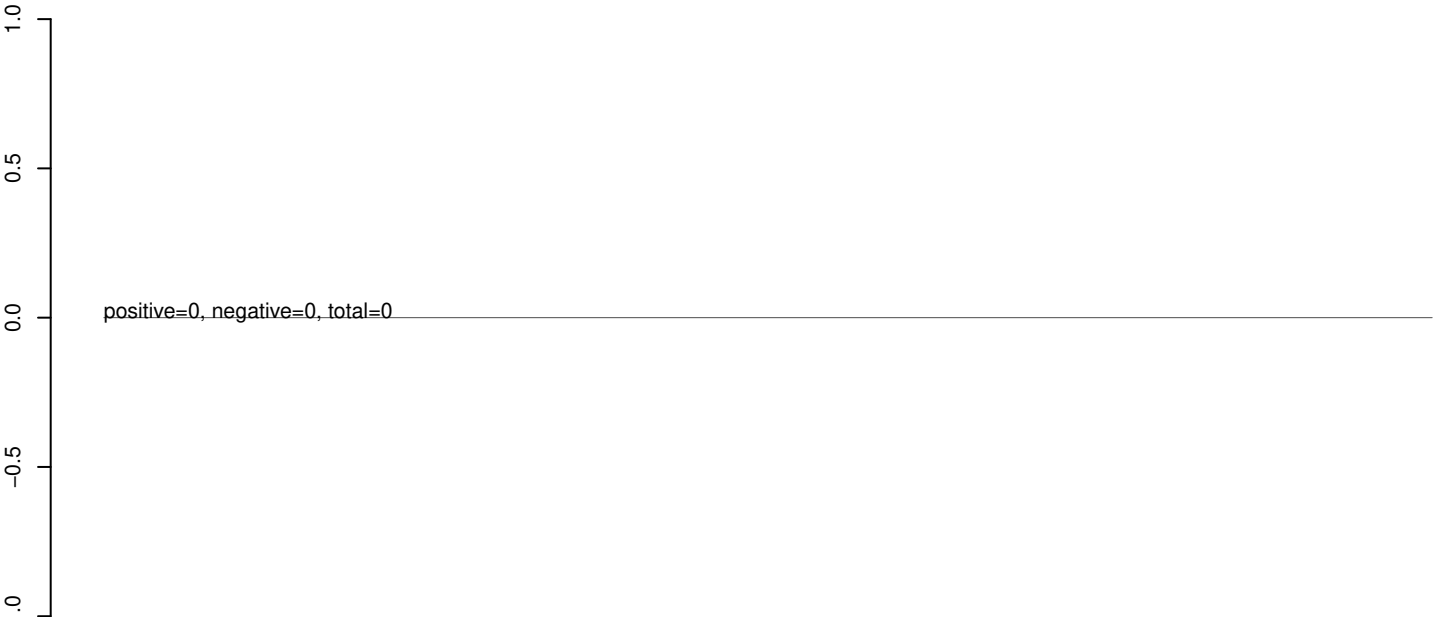
AeAeg_Whole_ZIKVdr_In2_GP.rep



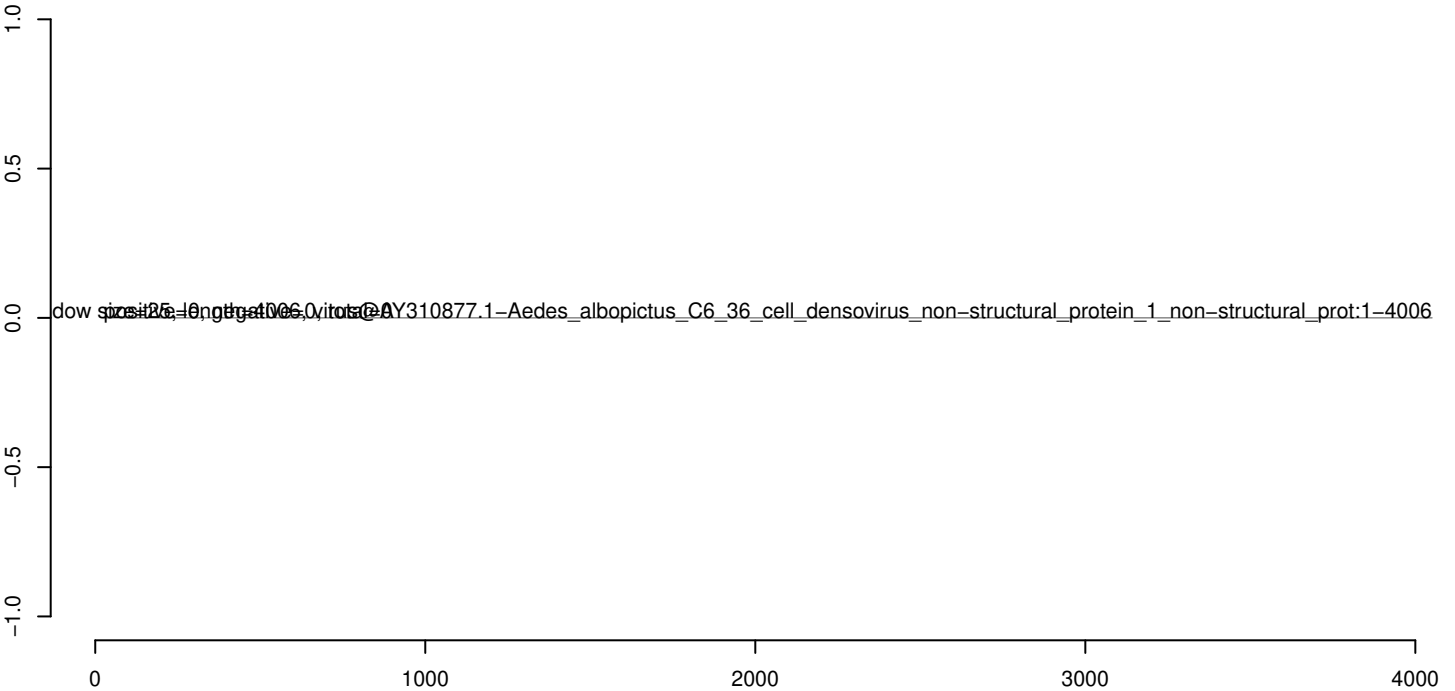
AeAeg_Whole_ZIKVdr_In2_GP.18_23.rep



AeAeg_Whole_ZIKVdr_In2_GP.24_35.rep



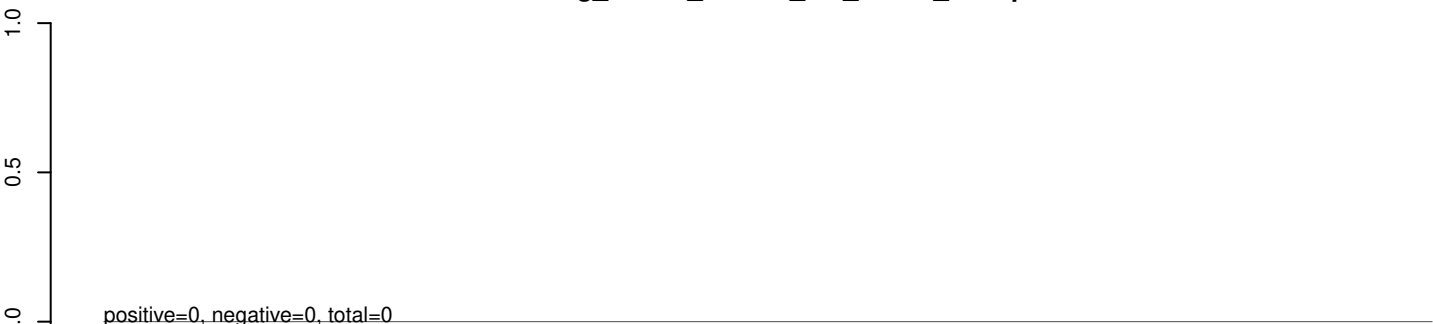
AeAeg_Whole_ZIKVdr_In2_GP.rep



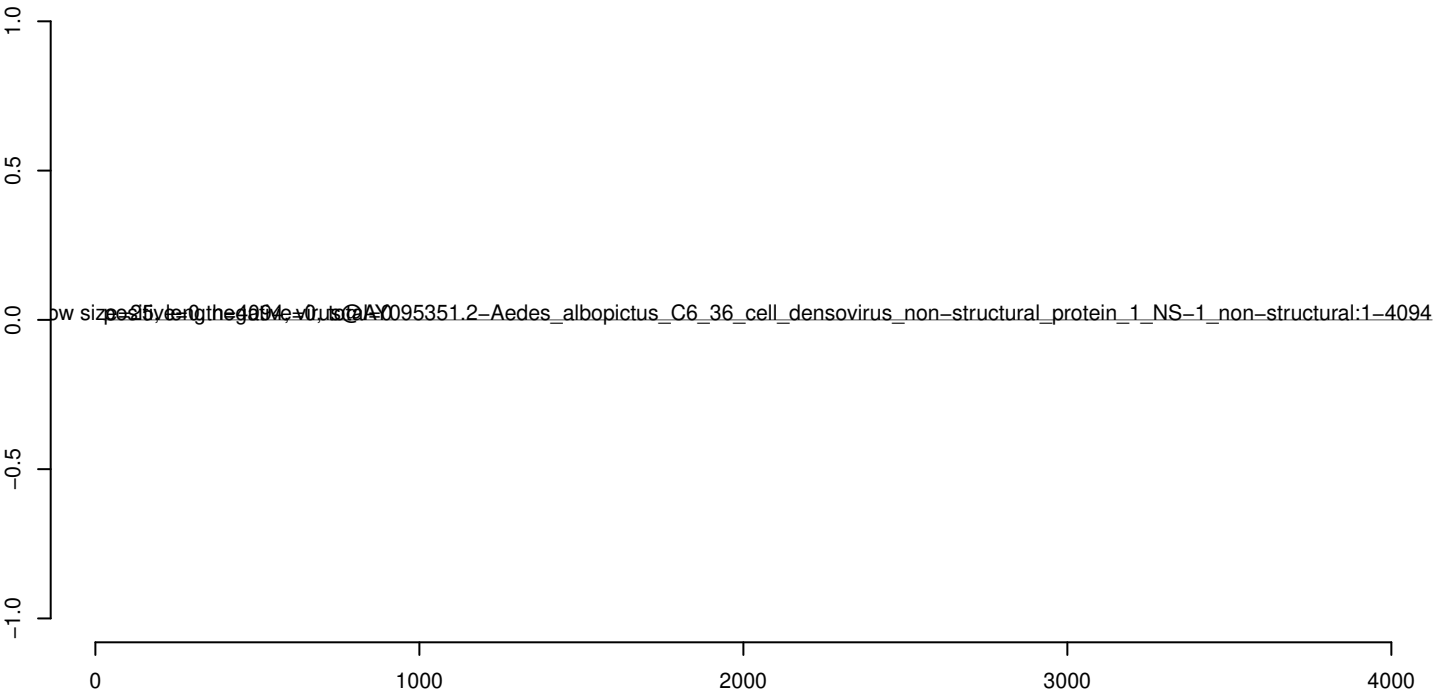
AeAeg_Whole_ZIKVdr_In2_GP.18_23.rep



AeAeg_Whole_ZIKVdr_In2_GP.24_35.rep



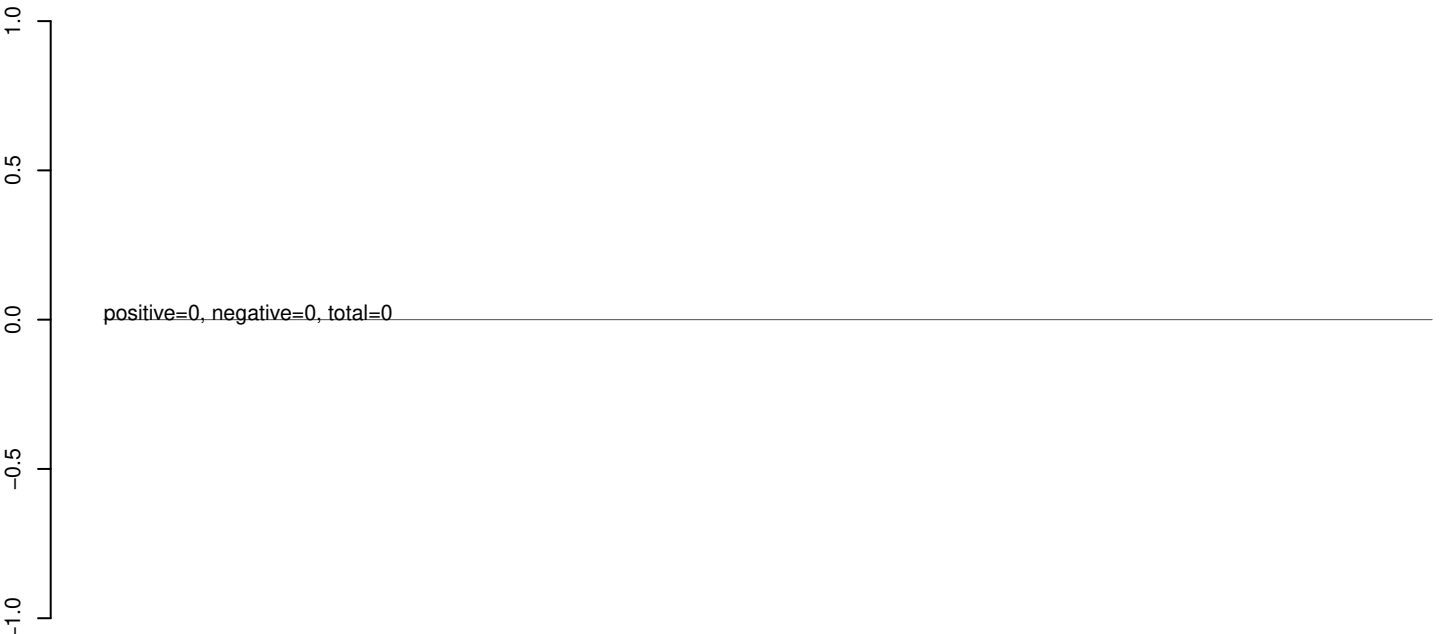
AeAeg_Whole_ZIKVdr_In2_GP.rep



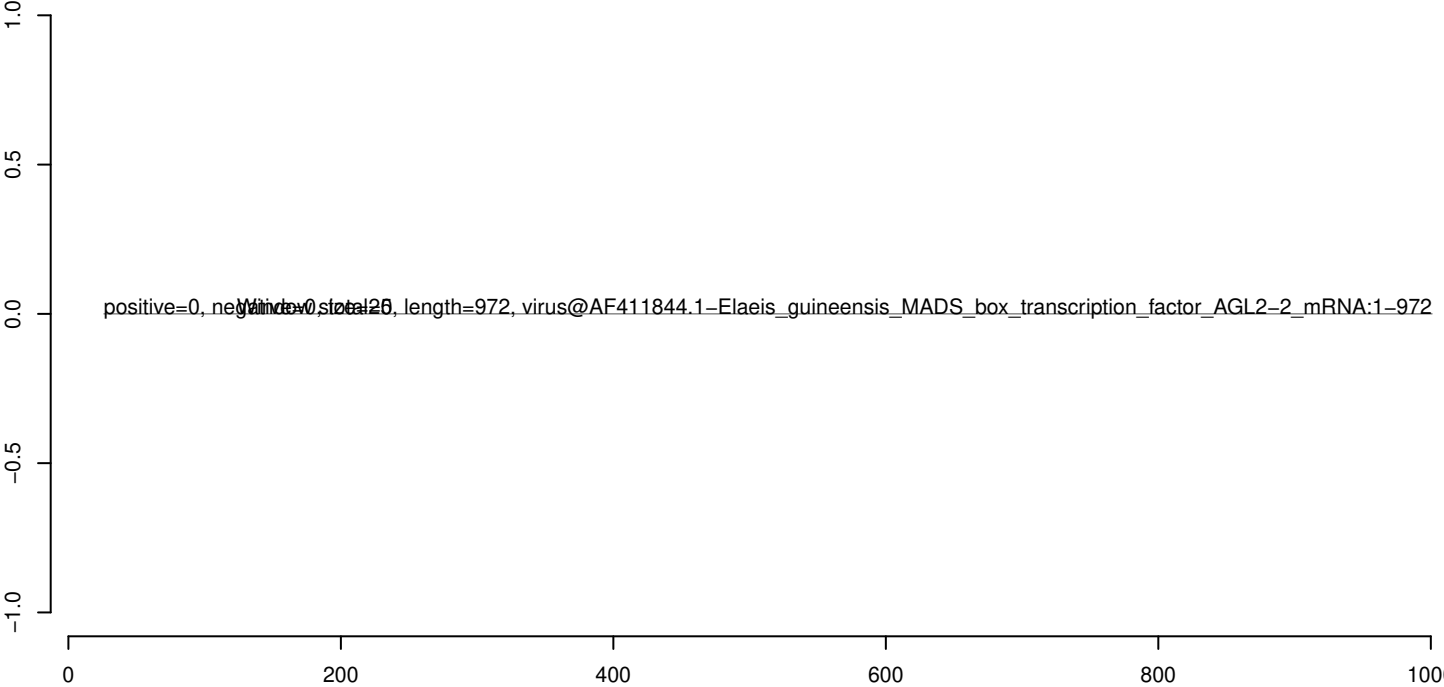
AeAeg_Whole_ZIKVdr_In2_GP.18_23.rep



AeAeg_Whole_ZIKVdr_In2_GP.24_35.rep



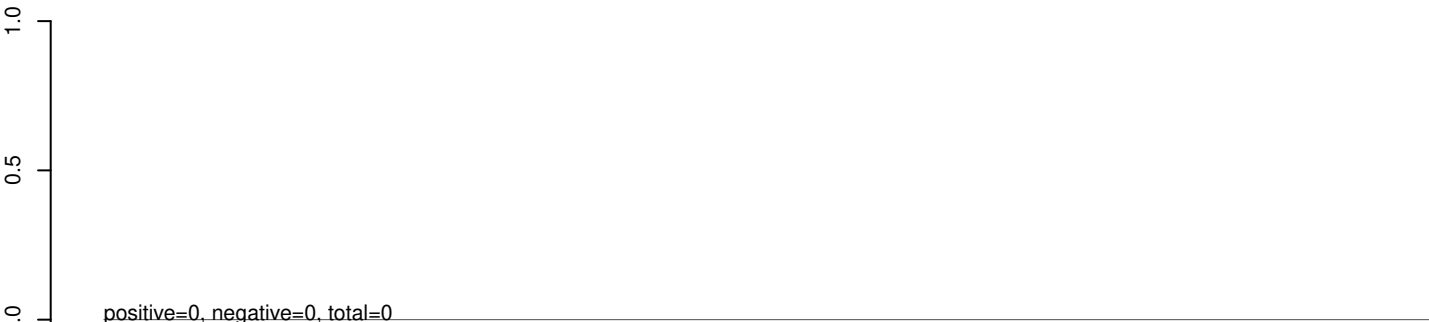
AeAeg_Whole_ZIKVdr_In2_GP.rep



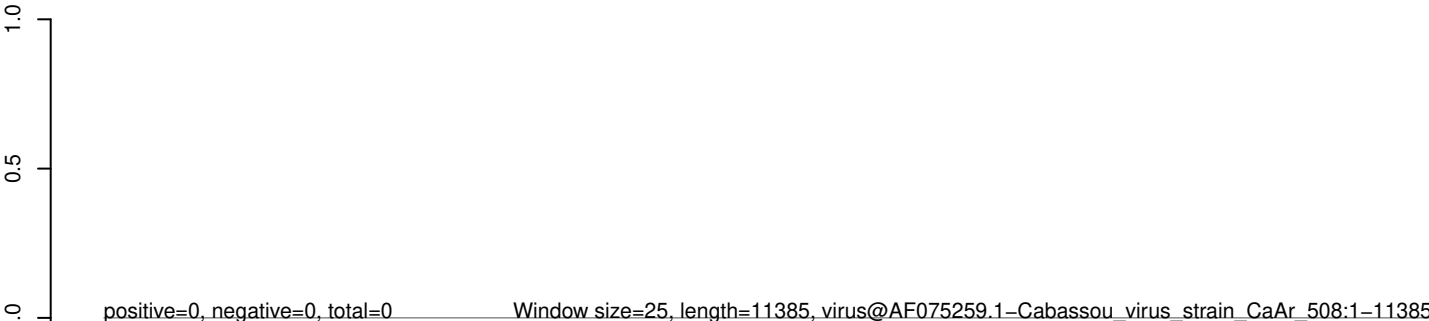
AeAeg_Whole_ZIKVdr_In2_GP.18_23.rep



AeAeg_Whole_ZIKVdr_In2_GP.24_35.rep



AeAeg_Whole_ZIKVdr_In2_GP.rep

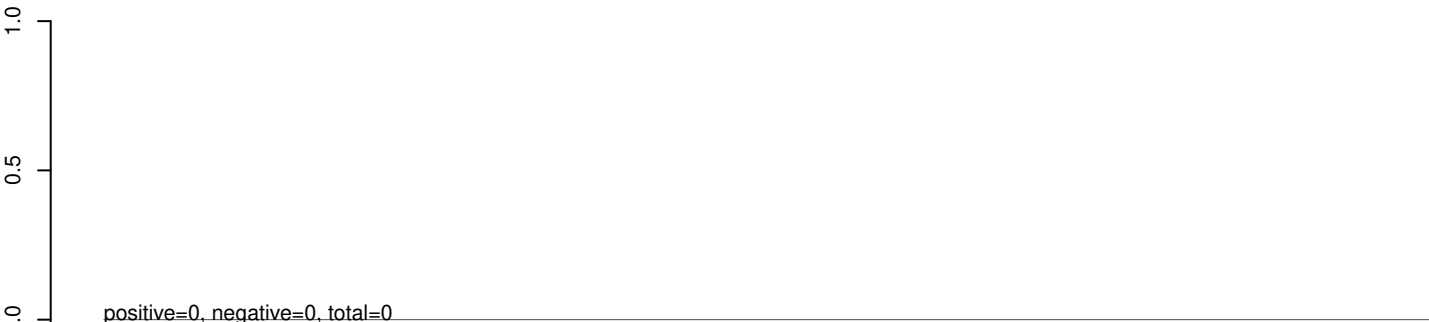


0 2000 4000 6000 8000 10000

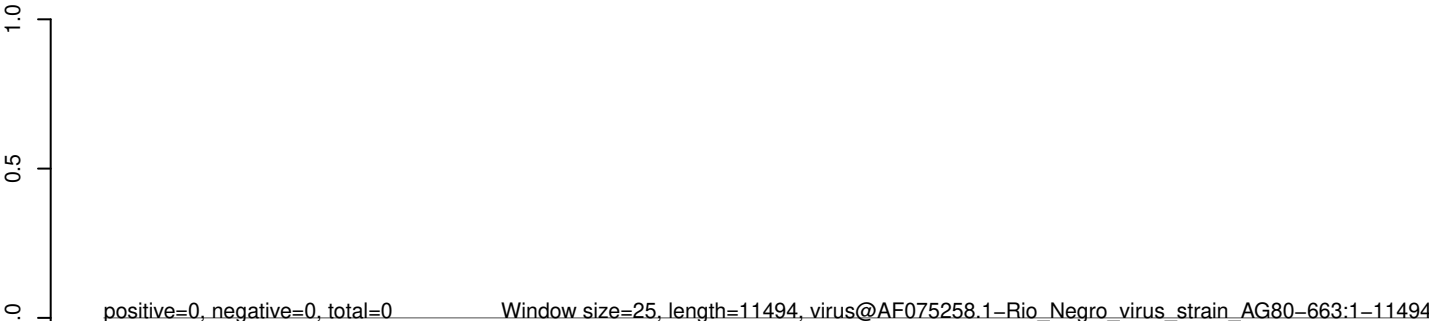
AeAeg_Whole_ZIKVdr_In2_GP.18_23.rep



AeAeg_Whole_ZIKVdr_In2_GP.24_35.rep



AeAeg_Whole_ZIKVdr_In2_GP.rep



0 2000 4000 6000 8000 10000

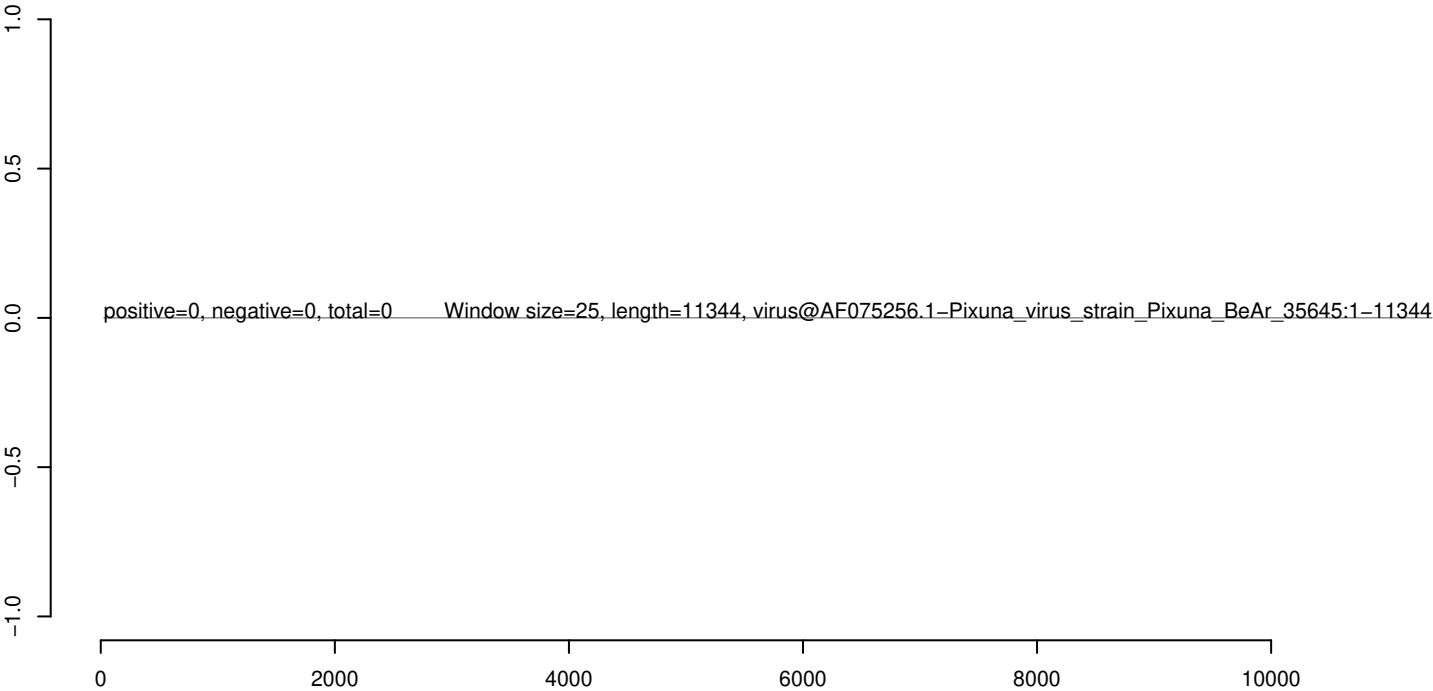
AeAeg_Whole_ZIKVdr_In2_GP.18_23.rep



AeAeg_Whole_ZIKVdr_In2_GP.24_35.rep



AeAeg_Whole_ZIKVdr_In2_GP.rep



AeAeg_Whole_ZIKVdr_In2_GP.18_23.rep



AeAeg_Whole_ZIKVdr_In2_GP.24_35.rep



AeAeg_Whole_ZIKVdr_In2_GP.rep



0 2000 4000 6000 8000 10000 12000

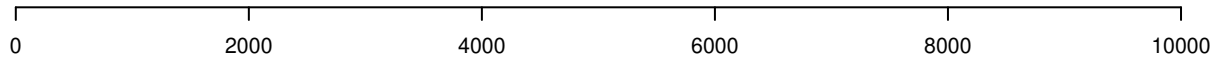
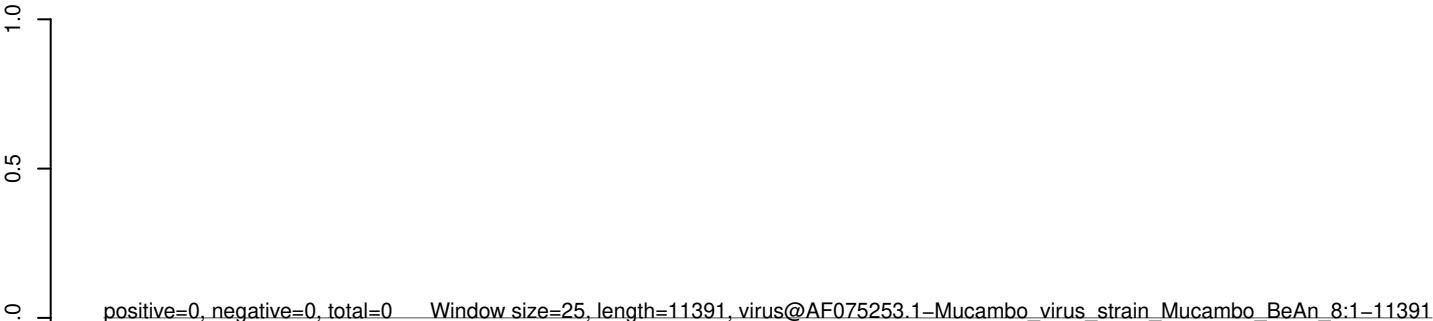
AeAeg_Whole_ZIKVdr_In2_GP.18_23.rep



AeAeg_Whole_ZIKVdr_In2_GP.24_35.rep



AeAeg_Whole_ZIKVdr_In2_GP.rep



AeAeg_Whole_ZIKVdr_In2_GP.18_23.rep



AeAeg_Whole_ZIKVdr_In2_GP.24_35.rep



AeAeg_Whole_ZIKVdr_In2_GP.rep



0 2000 4000 6000 8000 10000

AeAeg_Whole_ZIKVdr_In2_GP.18_23.rep



AeAeg_Whole_ZIKVdr_In2_GP.24_35.rep



AeAeg_Whole_ZIKVdr_In2_GP.rep

